









# Seen der Schwentine

Stendorfer See, Sibbersdorfer See, Großer Eutiner See, Kellersee, Dieksee, Behler See, Schwentinesee, Lanker See Herausgeber:

Landesamt für Natur und Umwelt des Landes Schleswig-Holstein Hamburger Chaussee 25 24220 Flintbek

Tel.: 0 43 47 / 704-0 www.lanu-sh.de

Ansprechpartnerin:

Gudrun Plambeck; Tel.: 0 43 47 / 704-429

Titelfotos (Gudrun Plambeck):

Der Behler See, Blick vom Campingplatz Adlerhorst kleine Fotos von links nach rechts: Stockente auf Schwentine-Brücke Nähe Großer Eutiner See - Lanker See - Höftsee, Anlegestelle der 5-Seen-Fahrt

Herstellung:

hansadruck, Kiel

Mai 2006

ISBN: 3-937937-04-8

Schriftenreihe: LANU SH - Gewässer; B 55

Diese Broschüre wurde auf Recyclingpapier hergestellt.

Diese Druckschrift wird im Rahmen der Öffentlichkeitsarbeit der schleswigholsteinischen Landesregierung herausgegeben. Sie darf weder von Parteien noch von Personen, die Wahlwerbung oder Wahlhilfe betreiben, im Wahlkampf zum Zwecke der Wahlwerbung verwendet werden. Auch ohne zeitlichen Bezug zu einer bevorstehenden Wahl darf die Druckschrift nicht in einer Weise verwendet werden, die als Parteinahme der Landesregierung zu Gunsten einzelner Gruppen verstanden werden könnte. Den Parteien ist es gestattet, die Druckschrift zur Unterrichtung ihrer eigenen Mitglieder zu verwenden.

Die Landesregierung im Internet: www.landesregierung.schleswig-holstein.de

# Die Seen der Schwentine

Kurzfassung	
Einleitung	5
Untersuchungskonzeption und Auswertungsmethoden	6
Die Seen im Überblick	10
Zustand und Belastung der einzelnen Seen	20
Stendorfer See	20
Sibbersdorfer See	32
Großer Eutiner See	44
Kellersee	57
Dieksee	70
Behler See	83
Schwentinesee	99
Lanker See	110
Literatur	129
Anhang	133

## Kurzfassung

Die Schwentine und die von ihr durchflossenen Seen stellen ein wesentliches Charakteristikum Schleswig-Holsteins dar. Im vorliegenden Bericht sind die Untersuchungsergebnisse von folgenden Seen aus den Jahren 2002 und 2004 zusammengestellt: Stendorfer See, Sibbersdorfer See, Großer Eutiner See, Kellersee, Dieksee, Behler See, sowie Schwentinesee und Lanker See. Der Große und Kleine Plöner See werden in separaten Berichten behandelt (LANU 2001 und LANU 2004).

Das Untersuchungsgebiet befindet sich im Östlichen Hügelland und liegt in der für die EG-Wasserrahmenrichtlinie relevanten Flussgebietseinheit Schlei/Trave. Darüber hinaus sind die Seen der Schwentine als FFH-Gebiete gemeldet. Der buchten- und inselreiche Lanker See mit seinen Naturschutzgebieten ist neben dem Großen Plöner See zusätzlich für den Vogelschutz von internationaler Bedeutung.

Die untersuchten Seen bilden eine durch die Schwentine verbundene Kette, wobei der Stendorfer See den Anfang und der Lanker See das Ende der Kette bildet. Der Große Eutiner See wird von der Schwentine nur peripher durchflossen, entwässert aber in diese. Da die untersuchten Seen kaskadenartig hintereinander liegen, sind die Umsetzungsprozesse in den Seen von den Einträgen aus den jeweils oberhalb liegenden Seen und den in ihnen stattfindenden Prozessen abhängig. Je stärker ein See durchströmt ist, umso größer ist diese Abhängigkeit. Insbesondere die Verfügbarkeit von anorganischem Stickstoff wird hierdurch beeinflusst.

Es wurden Daten zu den chemisch-physikalischen Eigenschaften der Seen sowie zu den Lebensgemeinschaften des Freiwassers (Plankton), des Ufers und des Seegrundes zusammengestellt. Der Zustand der Seen wurde nach der "Vorläufigen Richtlinie für eine Erstbewertung von natürlich entstandenen Seen nach trophischen Kriterien" der Länderarbeitsgemeinschaft Wasser (LAWA 1998) klassifiziert und bewertet. Um den Beitrag der verschiedenen Nährstoffquellen zu Belastungen der Seen beurteilen zu können, wurden Stoffausträge aus der Fläche des Einzugsgebietes und Einträge durch Abwasser abgeschätzt sowie die Nutzung der Seen und ihrer Ufer ermittelt. Die Ergebnisse liefern Anhaltspunkte für Entlastungsmöglichkeiten und Hinweise auf die Schutzwürdigkeit beziehungsweise Schutzbedürftigkeit der Seen.

Die Seen sind entsprechend ihrer Morphometrie und des daraus resultierenden Schichtungsverhal-

tens, der Größe des Einzugsgebietes und der Wasseraufenthaltszeit verschiedenen Seetypen zuzuordnen. Die Seen der oberen Schwentine, Stendorfer See und Sibbersdorfer See, sind flach, polymiktisch und stark durchströmt. Sie sind daher bereits von Natur aus nährstoffreichere (eutrophe) Seen, die jedoch nach der Klassifizierung des Istzustandes der Trophie nach LAWA als polytroph 1 bzw. polytroph 2 eingestuft wurden. Bewertet wurden diese Seen mit 3 bzw. 5. Der Große Eutiner See, ein instabil geschichteter, nur mäßig tiefer See, hat mit seinem vergleichsweise kleinen Einzugsgebiet Voraussetzungen für einen mesotrophen Zustand, wurde jedoch als polytroph 1 eingestuft und ist damit weit von seinem Entwicklungsziel entfernt (Bewertung 4). Die drei Seen Kellersee, Dieksee und Behler See weisen aufgrund ihrer großen mittleren Tiefe eine stabile sommerliche Temperaturschichtung auf. Sie zeigen im Vergleich zu den oberhalb gelegenen Seen in ihrem derzeitigen Zustand eine geringere Produktivität (eutroph 1) mit vergleichsweise ausgeglichenem Sauerstoffhaushalt. Da ihr potenziell natürlicher Zustand oligo- bis mesotroph ist, werden sie mit 2 bis 3 bewertet. Dabei scheint es, dass der Behler See von den dreien der nährstoffärmste ist. Der Schwentinesee, die seenartige Erweiterung der Schwentine zwischen Kleinem Plöner See und Lanker See, ist stark durchströmt und hat aufgrund der geringen Wasseraufenthaltszeit den Charakter eines Flusssees. Der gegenwärtige Trophiezustand (eutroph 2) sollte auf eutroph 1 verringert werden. Der Lanker See besitzt als unterster See der Kette das größte Einzugsgebiet und ist ebenfalls stark durchströmt. Dieser buchtenreiche See ist in weiten Teilen flach und ungeschichtet, er wurde als polytroph 1 eingestuft. Da sein potenziell natürlicher Zustand im mesotrophen Bereich liegt, ergibt sich eine Bewertung von 4.

Die Unterwasservegetation war besonders am Behler See aufgrund der Tiefenausdehnung und am Lanker See wegen der artenreichen Flora von Bedeutung. Eine Ausbreitung der Unterwasservegetation wurde am Stendorfer See, am Sibbersdorfer See, am Großen Eutiner See und am Lanker See beobachtet. Der Dieksee und der Kellersee hingegen entsprach hinsichtlich der Unterwasservegetation nicht den Erwartungen. Hinweise auf Absterben von Teilen des Röhrichtgürtels (z.B. Stoppelfelder) fanden sich mit Ausnahme von Stendorfer und Sibbersdorfer See an allen übrigen untersuchten Seen.

Im gesamten betrachteten **Schwentine**-**Einzugsgebiet** waren die diffusen Einträge aus der Fläche bei weitem die Hauptnährstoffquelle. Häusliches Abwasser hatte lediglich beim Stendorfer See mit 18 %, beim Behler See mit 17 % und beim Sibbersdorfer See mit 13 % noch einen nennenswerten Anteil an der Phosphorbelastung. Beim Großen Eutiner See war der Phosphoreintrag durch besiedelte Flächen mit 25 % überdurchschnittlich hoch.

Beim Großen Eutiner See wurde exemplarisch der Nährstoffeintrag durch Gänse abgeschätzt. Es zeigte sich, dass der Phosphoreintrag durch die Gänse im Vergleich zum Gesamteintrag mit höchstens 3 % gering ist.

Um den guten ökologischen Zustand gemäß Wasserrahmenrichtlinie bei den Seen der Schwentine zu erreichen, sollten zunächst vorrangig Maßnahmen im Oberlauf der Schwentine umgesetzt werden. Der so erreichte Nährstoffrückhalt hätte Auswirkungen auf die gesamte Seenkette.

## Einleitung

Ein wichtiges charakteristisches Landschaftselement Schleswig-Holsteins sind die Seen. Schleswig-Holstein hat etwa 300 Seen mit einer Gesamtfläche von 28.000 Hektar, das entspricht etwa 1,7 Prozent der Landesfläche. Darüber hinaus gibt es zahlreiche stehende Kleingewässer und Teiche. Sie sind als Lebensraum und Retentionsbereich von großer ökologischer, aber auch von wirtschaftlicher Bedeutung. Viele Seen werden fischereilich genutzt. Besonders wichtig sind die Seen auch für die Freizeitnutzung und den Tourismus.

Der Schutz der Gewässer als Trinkwasser-Reservoir und als Lebensraum für Pflanzen und Tiere gewinnt auf europäischer Ebene immer mehr Bedeutung. Aus diesem Grund hat die EU ihre Gewässerschutzpolitik neu ausgerichtet und eine EG-Wasserrahmenrichtlinie (WRRL) verabschiedet. Sie ist seit Dezember 2000 in Kraft und gilt für alle Gewässer der EG-Mitgliedsstaaten, das heißt für Oberflächengewässer einschließlich der Übergangs- und Küstengewässer und des Grundwassers. Ziel der Richtlinie ist es, nach einheitlichen Kriterien innerhalb der EU einen guten ökologischen Zustand der Gewässer zu erreichen.

Als Grundlage dafür sind vorerst alle stehenden Gewässer größer 50 ha zu typisieren, da sich die Zielzustände der Richtlinie an den für jeden Seentyp charakteristischen Lebensgemeinschaften orientieren.

Die überwiegende Zahl der größeren schleswigholsteinischen Seen erreicht voraussichtlich nicht den guten ökologischen Zustand gemäß EG-Wasserrahmenrichtlinie. Wichtigste Ursache hierfür ist bei den meisten Seen des Landes die Überversorgung mit Nährstoffen (Eutrophierung), die u.a. zur Trübung des Wassers durch Mikroalgen, zu verschlechterten Lebensbedingungen für Unterwasserpflanzen und bestimmten Fischarten sowie zur Veränderung des Nahrungsgefüges im See führen.

Der Untersuchungs- und Sanierungsbedarf ist also groß. Um die Seen in Schleswig-Holstein typisieren und bewerten zu können, müssen Datenlücken hinsichtlich der Lebensgemeinschaften in und an den Seen geschlossen werden. Außerdem ist neben dem Wasser- und Stoffhaushalt die Belastungssituation der Gewässer zu beschreiben. Es sind Maßnahmen vorzuschlagen, die zum Schutz und zur Regeneration der Seen und ihrer Ufer beitragen können.

Probleme und signifikante Defizite gegenüber dem guten ökologischen Zustand bestehen in den schleswig-holsteinischen Seen vor allem hinsichtlich folgender Aspekte:

- Zu hohe Nährstoffeinträge überwiegend aus der Fläche, zum Teil aus Abwassereinleitungen, von versiegelter Fläche sowie durch Niederschlag und mit negativen Folgen u.a. für den Phosphor- und Sauerstoffhaushalt.
- Veränderung der Lebensgemeinschaften im Wasser durch Unterbrechung der Verbindung mit den umgebenden Gewässern und durch selektive fischereiliche Bewirtschaftung,
- Abnahme der Artenzahl zugunsten der Dominanz einzelner weniger Arten,
- Veränderung des Wasserhaushaltes und der Ufermorphologie durch Wasserstandsabsenkungen,
- Störung der Uferzonen mit ihrer besonderen ökologischen Funktion durch Freizeitnutzung. In dem hier beschreibenen Untersuchungsgebiet spielen ebenfalls die Fraßschäden durch Wasservögel eine größere Rolle.

Gemäß EG-Wasserrahmenrichtlinie ist die relative Bedeutung der einzelnen Belastungen im Rahmen der Bewirtschaftungspläne für jeden See individuell zu ermitteln. Die Ergebnisse der vorliegenden Untersuchung können daher als Grundlage für die notwendigen Maßnahmeprogramme dienen.

Im vorliegenden Bericht sind die Ergebnisse der Seenuntersuchung von 2002 (2004) von folgenden Seen zusammengestellt: Stendorfer See, Sibbersdorfer See, Großer Eutiner See, Kellersee, Dieksee, Behler See, Schwentinesee und Lanker See.

Die nachfolgend dargestellten Untersuchungen waren nur möglich durch die Mitarbeit von Vertragspartnern, wie im Text jeweils erwähnt, und durch Personen vor Ort, die Sichttiefen ermittelten. Diesen und den am Programm beteiligten Mitarbeiterinnen und Mitarbeitern des Landesamtes gilt ein besonderer Dank. Frau Dr. Kerstin Wöbbecke erstellte im Auftrag des Landesamtes den vorliegenden Bericht in weiten Teilen.

## Untersuchungskonzeption und Auswertungsmethoden

#### **Einzugsgebiet**

Das oberirdische Einzugsgebiet ( $A_{Eo}$ ) jedes Sees wurde nach Höhenlinien der Deutschen Grundkarte (DGK 5) und zum Teil durch Begehung und Prüfung von Unterlagen der Wasser- und Bodenverbände ermittelt.

Die **geologischen Verhältnisse** wurden den Geologischen Karten für Schleswig-Holstein, Maßstab 1: 25.000 bzw. 1: 200.000, entnommen.

Die Flächennutzung im Einzugsgebiet der Seen wurde nach den Kriterien Acker, Grünland, Wald, Siedlung, Gewässer, Sonstiges aus Atkis-Daten ermittelt (Stand 1972).

Die Großvieheinheiten wurden nach Erhebungen des Statistischen Landesamtes auf der Basis der Bodenflächen nach Art der tatsächlichen Nutzung und der Viehzählung 2001 für die in den Einzugsgebieten landwirtschaftlich genutzten Flächen der entsprechenden Gemeinden ermittelt.

## Hydrologie

Die wichtigsten Zuläufe der Seen wurden erfasst. An den Zuläufen des Lanker Sees wurden Abflussmessungen vorgenommen. Die Seewasserstände des Großen Eutiner Sees, Kellersees, Dieksees und des Lanker Sees wurden mit Hilfe von Schreibpegeln ermittelt.

## Tiefenplan

Die Seen wurden mit Echolot vermessen und Tiefenpläne erstellt.

## Biologisch-chemisches Untersuchungsprogramm Physikalische und chemische Parameter:

Wassertemperatur im Tiefenprofil, Lufttemperatur, Luftdruck, Wetter, Windrichtung und -stärke, Sichttiefe, Sauerstoff-Profil, Farbe, Trübung, Geruch der Probe, pH-Wert, elektrische Leitfähigkeit, Chlorid, Säure-Base-Kapazität, Gesamtstickstoff, Nitrat, Nitrit, Ammonium, Gesamtphosphor, Phosphat, Sulfat, Kieselsäure, Calcium, Magnesium, Natrium, Kalium, Eisen, Mangan, Aluminium.

Die Sichttiefen des Großen Eutiner Sees wurden zusätzlich von März bis November etwa wöchentlich ehrenamtlich mit Hilfe einer Secchi-Scheibe ermittelt. Für den Behler See wurden die Daten, die im Rahmen des Seenbeobachtungsprogramms des Kreis Plön erhoben wurden, genutzt.

### **Biologische Parameter:**

parallel zur chemischen Probenahme: Chlorophyll a, Phaeophytin, Phyto- und Zooplankton qualitativ und halbquantitativ;

im Frühjahr: Profundal-Benthos, Probenahme mit Ekman-Greifer (Fläche: 225 cm²) aus verschiedenen Tiefen im Transekt, qualitativ und quantitativ;

Frühsommer: Erfassung von Ufer- und Unterwasservegetation.

# Abschätzung der Stoffeinträge aus dem Einzugsgebiet und durch Niederschlag

Da Phosphor in vielen Fällen der limitierende Faktor für das Algenwachstum in einem See ist, steht dieser Nährstoff in dem vorliegenden Bericht im Zentrum der Betrachtungen zum Stofffluss zwischen Einzugsgebiet und Gewässern. Darüber hinaus kann auch bei Seen, in denen Stickstoff oder andere Faktoren die Produktion regulieren, Phosphor am leichtesten an Land zurückgehalten und so zum Minimum-Faktor werden. Bei den Stoffflussbetrachtungen steht Phosphor zugleich stellvertretend für viele Stoffe, die permanent vom Land in die Gewässer eingetragen werden. RIPL (1995) fand im Einzugsgebiet der Stör, dass die Böden vor allem Kalk verlieren (etwa 65 % des Gesamtstoffverlustes). Stickstoff und Phosphor stellen zusammen hingegen nur 2 % der ausgetragenen Stoffe und spielen damit weniger für die Verarmung der Böden als für die Eutrophierung der Gewässer eine Rolle.

Alle Werte, die nach den im folgenden beschriebenen Methoden ermittelt werden, sind großen Schwankungen unterworfen. So variieren zum Beispiel Austräge aus (landwirtschaftlich genutzten) Flächen stark in Abhängigkeit von Bearbeitungsart, Bodenart, Entfernung zum Gewässer, Hangneigung und Intensität von Regenfällen. Auch für die Einträge von gereinigtem Abwasser gilt, dass zum einen der Kläranlagenablauf stark in seiner Fracht schwanken kann. Zum anderen ist auch der Nährstoffrückhalt, der zwischen Kläranlage und See im Boden oder Gewässer erfolgt, sehr variabel. Mit Hilfe der Schätzzahlen kann jedoch eine grobe Wichtung der einzelnen Belastungsquellen der Seen vorgenommen werden.

Für verschiedene Flächennutzungen werden in der Literatur unterschiedliche Werte für den jährlichen Austrag von Stickstoff und Phosphor angegeben (Tabelle 1). Für die Abschätzung der flächennutzungsabhängigen Einträge in die untersuchten Seen wurden im vorliegenden Bericht,

sofern nicht anders erwähnt, die mittleren Exportkoeffizienten verwendet. Für Siedlungen wurde ein Versiegelungsgrad von 30 % angenommen und die restliche Fläche wie Grünland behandelt. Daraus ergibt sich für Siedlungen ein mittlerer Exportkoeffizient von 0,75 kg/ha·a Phosphor und 13 kg/ha·a Stickstoff. Campingplätze werden, zusätzlich zu eventuellen Schmutzwassereinträgen, ebenfalls wie Grünland behandelt. Für Gewässer und "sonstige Flächen" wurde ohne weitere Differenzierung kein Stoffaustrag veranschlagt. Um die Einträge durch Viehhaltung abzuschätzen, wurden die Großvieheinheiten im Einzugsgebiet zusätzlich zur Flächennutzung berücksichtigt. Eine Großvieh-

einheit entspricht beispielsweise einem weiblichen Rind (älter als zwei Jahre) oder zwei Zuchtsauen. Dafür wurden durchschnittliche Nährstoffausscheidungen von 90 kg Stickstoff und 20 kg Phosphor zugrunde gelegt (MINISTERIUM FÜR LÄNDLICHE RÄUME, LANDWIRT-SCHAFT, ERNÄHRUNG UND TOURISMUS 1996). Nach HAMM (1976) erreicht etwa 1 % des für Großvieheinheiten veranschlagten Phosphors die Gewässer. Da Stickstoff besser transportiert wird als Phosphor, wird der Stickstoff-Eintrag durch landwirtschaftliche Viehhaltung dabei tendenziell unterschätzt.

Tabelle 1: Exportkoeffizienten für Phosphor und Stickstoff für verschiedene Flächennutzungen (kg/ha·a)

Nutzungsart		Exp	oortkoeffizient	Quelle
			(kg/ha·a)	
		mittel	Bereich	
Acker	P:	0,5	0,07 bis 2	SCHWERTMANN 1973, LW* 1991
	N:	20	20 bis 70	LW*1991
Grünland	P:	0,2	0,1 bis 0,8	ALLEN & KRAMER 1972, LW*1991
	N:	10	5 bis 15	BUCKSTEEG & HOLLFELDER 1975,
				LW*1991
Wald	P:	0,05	0,01 bis 0,183	DILLON & KIRCHNER 1975, LW* 1991
	N:	7	5 bis 10	LW* 1991
Hochmoorböden (sau-	P:	1,5		LAWA 1998
er)	N:	7		TREPEL Ökologiezentrum CAU Kiel
versiegelte Fläche	P:	2	2 bis 12	LW* 1991
	N:	20	17 bis 35	LW* 1991
Siedlung	P:	0,75		Erläuterung siehe Text
	N:	13		
Siedlung mit Regen-	P:	0,4		LW* unveröffentlicht
klärbecken bzw. Re-	N:	10		
genrückhaltebecken				
Gewässer,	P:	0		
sonstiges	N:	0		

LW\*: LANDESAMT FÜR WASSERHAUSHALT UND KÜSTEN SCHLESWIG-HOLSTEIN

Für die Ermittlung der Einträge von Stickstoff und Phosphor durch **Niederschlag** wurde die Messstelle Eutin des Landesamtes zugrunde gelegt.

Der Stand der **Abwasserbeseitigung** im Einzugsgebiet der untersuchten Seen wurde nach Angaben der Unteren Wasserbehörden ermittelt. In Abhängigkeit vom Ausbaugrad der Hauskläranlagen bzw. der Reinigungsleistung von zentralen

der Reinigungsleistung von zentralen Kläranlagen wurden Faustzahlen am Kläranlagenablauf pro Einwohnerwert veranschlagt (Tabelle 2). Bei konkreten Sanierungsmaßnahmen sind die Werte im Einzelfall aus den Ergebnissen der behördlichen Überwachung und der Selbstüberwachung heranzuziehen.

Tabelle 2: Faustzahlen zur Reinigungsleistung verschiedener Kläranlagen, Ausgangsdaten: 2,5 g P/EW·d, 12 g N/EW·d

			Ablaufkonzentrationen/-frachten		
Kläranlagentyp	I/E*·d	Stoff	mg/l	g/EW**·d	kg/EW·a
Kleinkläranlage als 3 Kammerausfaulgrube,	100	P:	20	2	0,7
nicht nachgerüstet		N:	100	10	3,7
Kleinkläranlage, nachgerüstet nach DIN 4261,	100	P:	8	0,8	0,3
mit Sandfilter, Tropfkörper, Belebungsbecken oder Nachklärteich		N:	80	8	3
Abwasserteich unbelüftet, 15 m²/E,	300	P:	3	1	0,4
Mischkanalisation		N:	15	5	1,8
Abwasserteich, belüftet, Trennkanalisation	150	P:	8	1,2	0,4
		N:	40	6	2,2
Abwasserteich, belüftet, mit P-Fällung,	150	P:	1,5	0,2	0,07
Trennkanalisation		N:	40	6	2,2
Abwasserteich mit zwischengeschaltetem	150	P:	8	1,2	0,4
Tropf- oder Tauchkörper und Rückführung, A 257		N:	20	3	1,1
Gebietskläranlage mit Schlammstabilisierung u.	100	P:	8	0,8	0,3
Nitrifikation (kl. Kläranlage, 50 bis 500 EW), A 122, Trennkanalisation		N:	60	6	2,2
KI. Kläranlage mit Schlammstabilisierung und	150	P:	5,5	0,8	0,3
Nitrifikation, 500 bis 5000 EW, A 126, Trennkanalisation		N:	35	5	1,8
KI. Kläranlage mit Schlammstabilisierung, Nitri-	150	P:	0,7	0,1	0,04
fikation, Denitrifikation und Simultanfällung, 500 bis 5000 EW, A 126, Trennkanalisation		N:	18	2,7	1
Gr. Kläranlage mit vollbiologischer Reinigung,	150	P:	8	1,2	0,4
> 5000 EW, Trennkanalisation		N:	18	2,7	1
Gr. Kläranlage mit vollbiologischer Reinigung	150	P:	1,5	0,2	0,08
und P-Elimination, > 5000 EW, Sofort-Programm Schleswig-Holstein		N:	18	2,7	1
Gr. Kläranlage mit vollbiologischer Reinigung	150	P:	1,5	0,2	0,08
und N- u. P-Elimination, > 5000 EW	<u> </u>	N:	10	1,5	0,5
Gr. Kläranlage mit vollbiol. Reinigung,	150	P:	0,5	0,075	0,03
N- u. P-Elimination u. Flockungsfiltration, > 5000 EW, Dringlichkeitsprogramm S-H		N:	10	1,5	0,5

E\*: Einwohner, EW\*\*: Einwohnerwert

# Nährstoffbelastungsmodell nach VOLLENWEIDER & KEREKES (1980)

Verschiedene Verfasser haben in Modellen versucht, die Phosphor-Belastung aus dem Einzugsgebiet zur seeinternen Phosphorkonzentration in Beziehung zu setzen. In dem stark ver-

einfachenden Modell von VOLLENWEIDER werden dabei die Gewässergestalt und die hydraulische Belastung (theoretische Wasseraufenthaltszeit) berücksichtigt, weil diese Größen einen besonderen Einfluss auf die Stoffumsetzungen in einem See haben.

$$P_E = \frac{L * Tw}{z (1 + \sqrt{Tw})}$$

PE: erwartete Phosphorkonzentration im See (mg/l)

L : jährliche Phosphor-Belastung pro Seefläche (g/a·m²)

Tw: theoretische Wasseraufenthaltszeit (a)\*

\* theoretische Wasseraufenthaltszeit (a) = Seevolumen (m³)\*\*: Zuflussmenge (m³/a)\*\*\*

\* \* Seevolumen (m³) = Seefläche (m²) x mittlere Tiefe (m)

\*\*\* Zuflussmenge (m³/a) = Einzugsgebiet  $A_{E_0}$  (km²) x Abflussspende (m³/a·km²)

z : mittlere Tiefe des Sees (m)

Im vorliegenden Bericht wird das Modell dazu verwendet, um die vorgenommenen Abschätzungen auf Plausibilität zu überprüfen.

# Bewertung der Trophie stehender Gewässer nach LAWA

Zur Klassifizierung und Bewertung der Trophie natürlich entstandener Seen hat die Länderarbeitsgemeinschaft Wasser (LAWA 1998) eine vorläufige Richtlinie herausgebracht, die anhand von 42 schleswig-holsteinischen Seen erprobt wurde (LANDESAMT FÜR NATUR UND UMWELT DES LANDES SCHLESWIG-HOLSTEIN 2000a).

Zur Ermittlung des potentiell natürlichen Zustandes (Referenzzustand) werden topographische und morphometrische Kenngrößen wie z.B. Einzugsgebietsgröße und Seetiefe miteinander verrechnet. Zur Klassifizierung des Istzustandes werden die Parameter Chlorophyll a, Sichttiefe und Phosphor genutzt. Aus der Differenz zwischen Istzustand und Referenzzustand ergibt sich die Bewertung.

## Die Seen im Überblick

Alle in diesem Bericht behandelten Seen sind Teil der Schwentine-Seenkette (Abbildung 1). Sie befinden sich im Östlichen Hügelland und liegen in der für die EG-Wasserrahmenrichtlinie relevanten Flussgebietseinheit Schlei/Trave (Teileinzugsgebiet Schwentine). Darüber hinaus sind die Seen der Schwentine als FFH-Gebiete gemeldet. Der buchten- und inselreiche Lanker See mit seinen Naturschutzgebieten ist neben dem Großen Plöner See zusätzlich für den Vogelschutz von internationaler Bedeutung.

Die Schwentine entspringt am Bungsberg, durchfließt den Stendorfer und den Sibbersdorfer See, passiert den Großen Eutiner See und durchfließt dann Kellersee, Dieksee und Behler See. In der Kette folgen Großer und Kleiner Plöner See, die jedoch Gegenstand von separaten Berichten sind (LANU 2001, LANU 2004). Der unterhalb des Kleinen Plöner Sees liegende hier so genannte Schwentinesee ist eine seenartige Erweiterung der Schwentine. Er wurde im Gegensatz zu den übrigen Seen 2004 untersucht. Der unterste See der Kette ist der Lanker See.

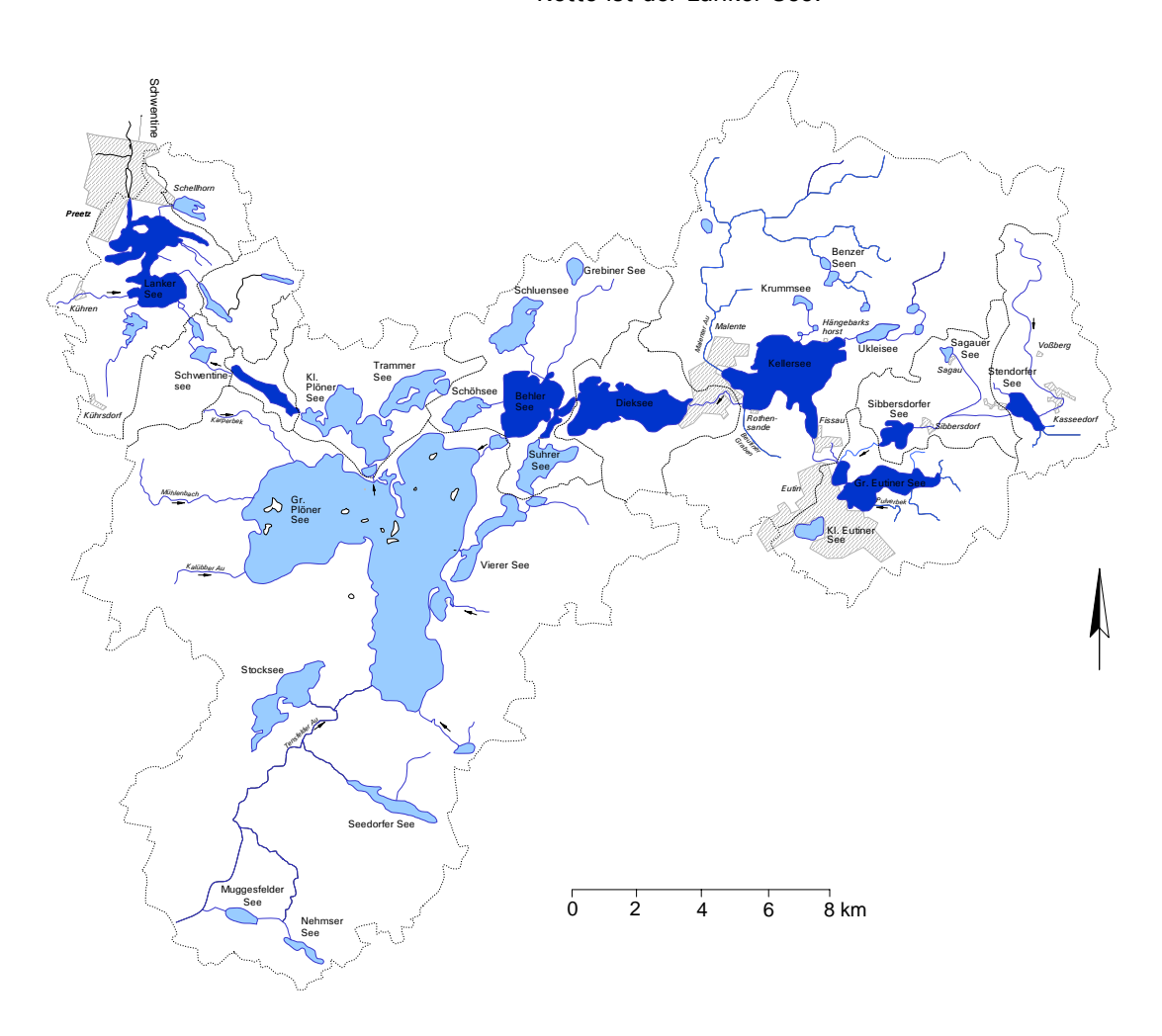


Abbildung 1: Die Seen des Schwentine-Einzugsgebiets, dunkelblau: in diesem Bericht dargestellte Seen

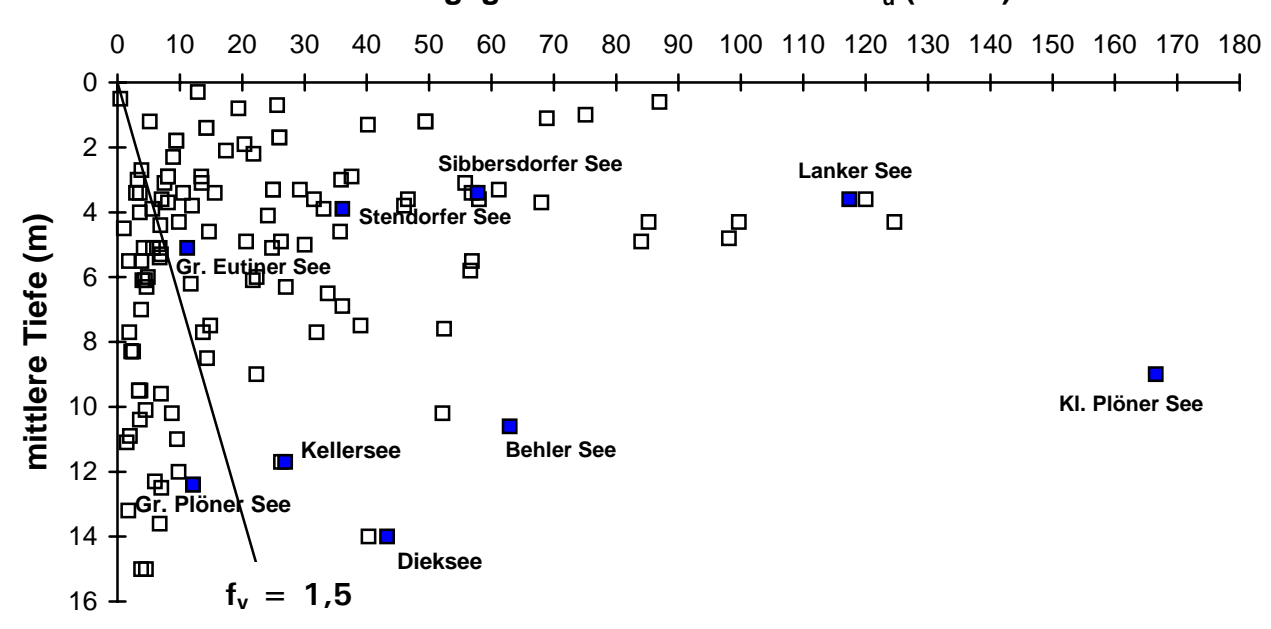
Die Ausgangsbedingungen der Seen für die Ausprägung eines hohen oder niedrigen Trophiezustandes aufgrund ihrer Beckenform und ihrer Einzugsgebietsgröße sind in Abbildung 2 veranschaulicht. Die mittlere Tiefe der Seen ist gegen das Verhältnis von Einzugsgebiets- zu Seefläche aufgetragen. Je kleiner das Einzugsgebiet im Verhältnis zur Seefläche ist, desto besser sind die natürlichen Voraussetzungen für eine mäßige Nährstoffbelastung des Sees und einen Zustand

geringer Trophie. Diagonal in der Grafik ist die Grenzlinie für das Verhältnis von Einzugsgebietsfläche zu Seevolumen ( $f_{\nu}$ ) = 1,5 eingetragen, da neben der Fläche auch das Seevolumen die natürlichen Voraussetzungen für die Produktivität eines Sees beeinflusst. Bei  $f_{\nu}$  < 1,5, d.h. bei Seen mit relativ kleinem Einzugsgebiet im Vergleich zum Seevolumen, ist ein relativ nährstoffarmer Zustand des Sees zu erwarten.

Diese Einteilung spiegelt die Trennung der Seetypen 10 und 13 nach MATHES et al. (2002) wider. Wegen seines großen Seevolumens ist das  $f_V$  des Großen Plöner Sees trotz großem Einzugsgebiet vergleichsweise klein, so dass der See somit zum Typ 13 (kalkreiche geschichtete Seen mit relativ kleinem Einzugsgebiet,  $f_V < 1,5$ ) zugeordnet wird. Kellersee, Dieksee, Behler See und Kleiner Plöner See gehören zum Typ 10 (kalkreiche geschichtete Seen mit relativ großem Einzugsgebiet,  $f_V > 1,5$ ).

Stendorfer, Sibbersdorfer, Großer Eutiner See und Lanker See sind schwach bzw. ungeschichtet und werden dem Typ 11 (ungeschichtete, kalkreiche Seen mit relativ großem Einzugsgebiet und einer Verweilzeit > 30 Tage) zugeordnet. Der Schwentinesee (in der Abbildung nicht dargestellt) ist wegen seiner sehr geringen Verweilzeit als Flusssee eingestuft (Typ 12: ungeschichtete, kalkreiche Seen mit relativ großem Einzugsgebiet, Verweilzeit 3 – 30 Tage).

## Einzugsgebietsfläche / Seefläche f<sub>u</sub> (m²/m²)



 $Abbildung \ 2: \quad Verhältnis \ von \ f_u \ (Einzugsgebietsfläche \ ohne \ Seefläche \ zu \ Seefläche, \ m^2/m^2) \ zur \ mittleren \ Seetiefe \ (m).$ 

 $f_{\nu}$  : Verhältnis von Einzugsgebietsfläche ohne Seefläche zu Seevolumen ( $m^2/m^3)$ 

: Seen der Schwentine

: bisher vom Landesamt untersuchte Seen.

Da die 2002 untersuchten Seen in einer Kette liegen, summieren sich die Teileinzugsgebiete (Ausnahme Großer Eutiner See, der nicht im Hauptstrom liegt). Der Stendorfer- und Sibbersdorfer See haben zwar noch vergleichsweise kleine Einzugsgebiete, durch ihre geringe Größe und Tiefe aber trotzdem Voraussetzungen für eine höhere Produktivität. Der Große Eutiner See ist hingegen nicht leicht einzuordnen, da er einerseits im Nebenstrom der Schwentine liegt und somit ein relativ kleines Einzugsgebiet besitzt, zum anderen aber aufgrund seiner geringen mittleren Tiefe nur eine schwache thermische Schichtung aufweist.

Trotz ihres großen Einzugsgebietes besitzen der Kellersee, Dieksee, Behler See und der Kleine Plöner See mit ihren großen Seevolumina gute Voraussetzungen für eine relativ geringe Produktivität. Die günstigsten morphometrischen Voraussetzungen für eine geringe Produktivität hat jedoch wegen seines sehr großen Seevolumens der Große Plöner See. Der Lanker See besitzt zwar eine recht große Seefläche, ist aber relativ flach und hat als letzter in der Kette das größte Einzugsgebiet der hier dargestellten Seen. Der Schwentinesee, der durch seine geringe Seefläche bei großem Einzugsgebiet ein fu von 649 hat, ist in der Grafik nicht dargestellt.

Insgesamt muss allerdings bei dieser Betrachtung beachtet werden, dass die Belastung dieser Seen nicht direkt mit der Einzugsgebietsgröße proportional ist, da durch die Vielzahl der flussaufwärtsliegenden Seen bereits eine erheblich Reduzierung der Belastung stattfindet. Das trifft vor allen Dingen für den Kleinen Plöner See zu, dem der Nährstoffrückhalt im Großen Plöner See zu Gute kommt.

In stabil geschichteten Seen (Typ 10, Typ 13) können vorübergehend erhöhte Nährstoffbelastungen durch Bindung der Nährstoffe im Sediment besser abgepuffert werden. Eine ausgeprägte, stabile Schichtung während der Sommermonate wiesen der Kellersee, der Dieksee, der Behler See, der Kleine und der Große Plöner See auf. Die Temperaturschichtung des Großen Eutiner Sees war hingegen instabil und durch eine zeitweilige Verlagerung der Sprungschicht in die Tiefe gekennzeichnet. Dieser See wird daher aufgrund der nur zeitweise zu beobachtenden Schichtung als ungeschichteter See betrachtet. Der Sibbersdorfer und Stendorfer See zeigten nur eine relativ schwache, instabile Temperaturschichtung, die sie ebenso wie den Großen Eutiner See als ungeschichtete Seen vom Typ 11 kennzeichnen. Das Nordbecken des Lanker Sees wies an seiner tiefsten Stelle eine stabile sommerliche Schichtung auf. Dieser Bereich ist für den in weiten Teilen sehr flachen See aber insgesamt nicht repräsentativ, so dass sein Grundcharakter eher dem eines polymiktischen Sees vom Typ 11 entspricht

Die Klassifizierung und Bewertung der tatsächlich vorgefundenen Verhältnisse nach LAWA (1998) zeigt, dass der Stendorfer und Sibbersdorfer See die erwarteten hoch produktiven Zustände auf-

wiesen (polytroph 1 und 2). Im Fall des hoch polytrophen Sibbersdorfer Sees führte dies zu einer sehr schlechten Bewertung von 5 auf der siebenstufigen LAWA-Skala (Tabelle 3). Ebenfalls polytroph 1 trotz seines vergleichsweise kleinen Einzugsgebiets war der Große Eutiner See. Da sein natürlicher Zustand mesotroph wäre, wurde er ebenfalls schlecht bewertet (4).

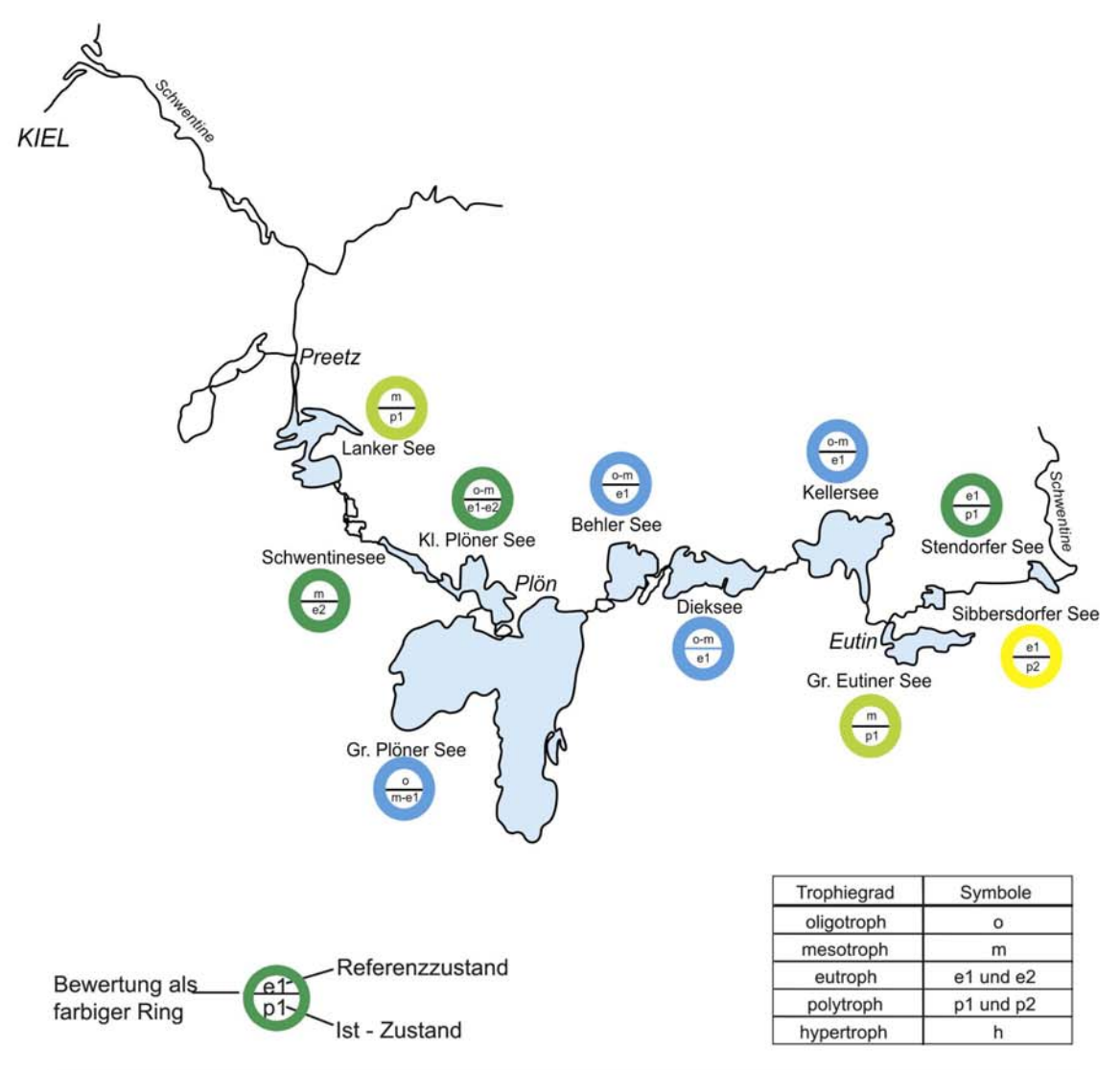
Der Kellersee, Dieksee und Behler See wurden als eutroph 1 eingestuft. Bei einem potenziell natürlichen oligo- bis mesotrophem Zustand ergibt sich eine Bewertung von 2 bis 3 für diese drei Seen.

Der Schwentinesee ist so stark durchströmt, dass das LAWA-Bewertungsschema auf ihn nicht angewendet werden kann. Für diesen Flusssee wird ein mesotropher Referenzzustand festgelegt. Bei einem Istzustand von stark eutroph ergibt sich eine Bewertung von 3.

Da der Lanker See einen großen Teil seines Zuflusses aus dem Kleinen Plöner See erhält, dessen Entwicklungsziel mesotroph bis eutroph 1 ist, wird für den Lanker See ein schwach eutropher Zustand (eutroph 1) angestrebt. Die Bewertung des gegenwärtigen Zustands (polytroph 1) ergibt eine 4.

Tabelle 3: Typisierung der Seen gemäß Wasserrahmenrichtlinie (WRRL) nach Mathes at al. (2002) sowie Klassifizierung und Bewertung von Referenz- und Istzustand der untersuchten Seen nach LAWA (1998 verändert).

See	Typ WRRL	Referenzzustand	Istzustand	Bewertung	Entwicklungsziel
Stendorfer See	11	eutroph 1	polytroph 1	3	eutroph 2
Sibbersdorfer See	11	eutroph 1	polytroph 2	5	eutroph 2
Großer Eutiner See	11	mesotroph	polytroph 1	4	eutroph 1
Kellersee	10	oligo- bis mesotroph	eutroph 1	2-3	mesotroph/ eutroph 1
Dieksee	10	oligo- bis mesotroph	eutroph 1	2-3	mesotroph/ eutroph 1
Behler See	10	oligo- bis mesotroph	eutroph 1	2-3	mesotroph/ eutroph 1
Großer Plöner See	13	oligotroph	meso-/ eutroph 1	2-3	mesotroph
Kleiner Plöner See	10	oligo- bis mesotroph	eutroph 1/2	3	mesotroph/ eutroph 1
Schwentinesee	12	(mesotroph)	eutroph 2	(3)	eutroph 1
Lanker See	11	mesotroph	polytroph 1	4	eutroph 1



Bewertung	Farbe	Erläuterungen
1		Referenz- und Ist- Zustand übereinstimmend; insbesondere bei oligo- und mesotrophen Seen sind alle Möglichkeiten des präventiven Gewässerschutzes zu nutzen, um den Zustand zu erhalten.
2		Referenz und Ist- Zustand weichen einen Trophiegrad voneinander ab. Sanierungsbedarf besteht vor allem dann, wenn Aussicht besteht, den See wieder in einen oligo- oder mesotrophen Zustand zu versetzen.
3		Über die Dringlichkeit von Sanierungsmaßnahmen ist im Einzelfall zu entscheiden
4		Dringender Handlungsbedarf. Da bei diese Bewertungsstufe besonders effektiver Sanierungsbedarf zu erwarten ist, sollten bei diesen Gewässern vordringlich Maßnahmen geprüft und durchgeführt werden.
5		Sanierungsmaßnahmen sind erforderlich, insbesondere bei Gewässem,deren Referenzzustand oligo- oder mesotroph ist.
6		Sanierungsmaßnahmen sind dringend erforderlich. Es sollte die Verbesserung vor mindestens ein Trophiegrad angestrebt werden.
7		Es ist zu prüfen, ob mit einem vertretbaren Aufwand durchführbare Sanierungsmaßnahmen Aussicht auf Erfolg haben.

Abbildung 3: Referenz- und Istzustand sowie Bewertung der untersuchten Seen anhand der Trophie nach LAWA (1998, verändert)

Trotz dieses teilweise negativen Bildes zeigt der Vergleich mit älteren Untersuchungen, dass in den letzten Jahrzehnten eine sichtbare Verbesserung der Trophieverhältnisse in den Seen der Schwentinekette stattgefunden hat. Außerdem ist erkennbar, dass hinsichtlich der Trophiekenngrößen Phosphorkonzentation, Sichttiefe und Chlorophyll a - Konzentration der gute ökologische Zustand gemäß Wasserrahmenrichtlinie beim Kellersee, Dieksee, Behler See und Großen Plöner See schon fast erreicht ist.

Der Referenzrahmen für verschiedene chemische und physikalische Parameter in schleswigholsteinischen Seen (Abbildung 4) verdeutlicht die Lage der untersuchten Seen im regionalen Zusammenhang. Der Medianwert, das heißt, derjenige Wert, der in der Mitte der nach ihrer Größe geordneten Messwerte liegt, ist jeweils als waagerechte bzw. senkrechte Linie dargestellt. Zur Verdeutlichung der gegenseitigen Abhängigkeit der einzelnen Seen der Kette sind einige Messgrößen zusätzlich im Fließverlauf dargestellt, wobei auch die in diesem Bericht nicht dargestellten Gewässer Großer und Kleiner Plöner See einbezogen wurden.

Überdurchschnittlich hohe Calciumkonzentrationen und ein hohes Säurebindungsvermögen zeichnete die im oberen Einzugsgebiet gelegenen Seen aus (Stendorfer See, Sibbersdorfer See, Großer Eutiner See, Keller See). Für quellnahe oder Grundwasser gespeiste Gewässer in kalkreichen Böden ist dies typisch. Im Verlauf der Schwentine wird immer mehr Calcium biogen ausgefällt (Abbildung 5). Dadurch verringert sich das Säurebindungsvermögen und die Pufferkapazität nimmt ab. Entsprechend hatten Behler See, Großer und Kleiner Plöner See, Schwentinesee und Lanker See eher unterdurchschnittlich hohe Calciumkonzentrationen und Säurebindungsvermögen.

Die Frühjahrskonzentrationen an **Gesamtphosphor** bewegten sich mit Ausnahme des Kleinen Plöner Sees (0,055 mg/l P) bei allen 2002 untersuchten Seen um 0,1 mg/l P und lagen damit über dem schleswig-holsteinischen Durchschnitt (Abbildung 4). Der Schwentinesee wies 2004 0,064 mg/l P auf. In den ungeschichteten Seen stieg die Phosphorkonzentration im Verlauf des Sommers stark an (z.B. auf das Dreifache im Sibbersdorfer See). Im Oberflächenwasser der stabil geschichteten Seen dagegen nahm sie deutlich ab, wie es charakteristisch für diesen Seetyp ist (z.B. auf 0,035 mg/l P im Kellersee).

Beim **Gesamtstickstoff** zeichneten sich wiederum die im Fließverlauf in den Seen stattfindenden Prozesse ab (Abbildung 4 und 6): Der Stendorfer See zeigte die höchsten Konzentrationen, während von den 2002 untersuchten Seen der Lanker See die geringsten Konzentrationen aufwies, da im

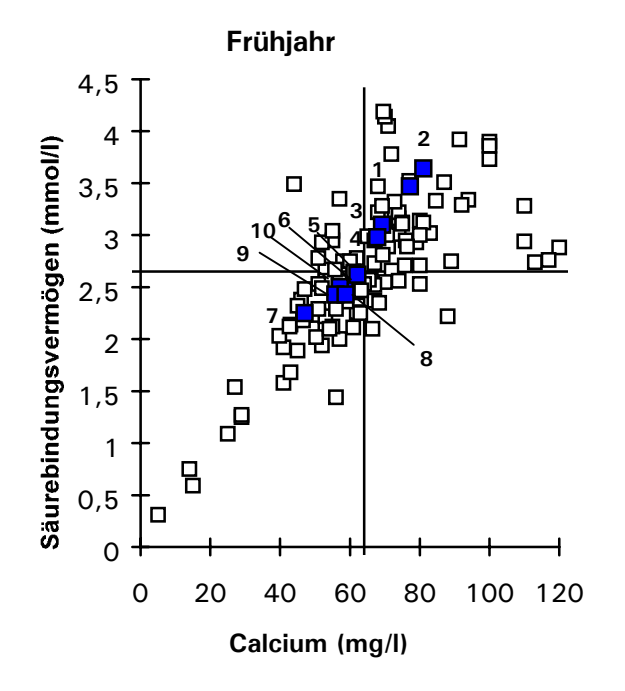
Fließverlauf der Schwentine erheblich Mengen an Stickstoff durch Denitrifikation verloren gehen. Dadurch kam es phasenweise in mehreren Seen zur Stickstofflimitierung des Phytoplanktonwachstums. Die Seen der unteren Schwentine, insbesondere Großer und Kleiner Plöner See sowie der Schwentinesee, hatten dadurch für eutrophe Seen ungewöhnlich niedrige N-Konzentrationen von unter 1 mg/l N und lagen hinsichtlich ihrer Stickstoffwerte unter dem schleswigholsteinischen Durchschnitt (Abbildung 4).

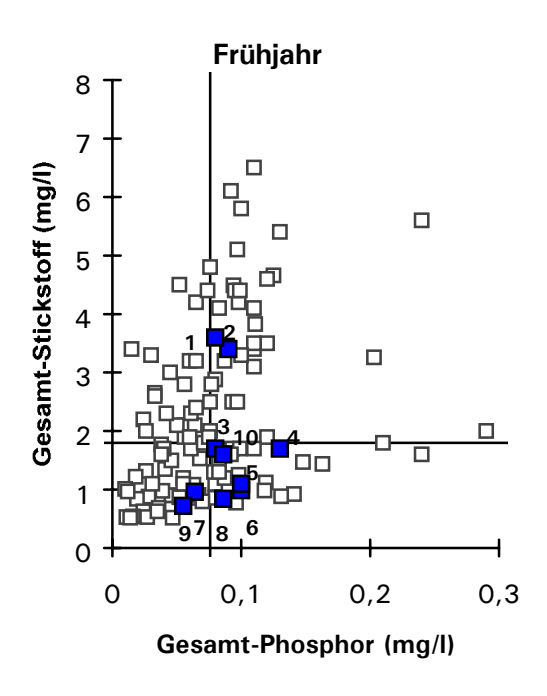
Auch bei der **Kieselsäureversorgung** sind die im unteren Einzugsgebiet gelegenen Seen weitgehend von der Zulieferung aus der Schwentine und damit dem Verbrauch in den oberhalb gelegenen Seen abhängig. Die sommerlichen Konzentrationen lagen daher in den Seen des oberen Einzugsgebiets am höchsten und waren von der mittleren Tiefe der Seen relativ unabhängig.

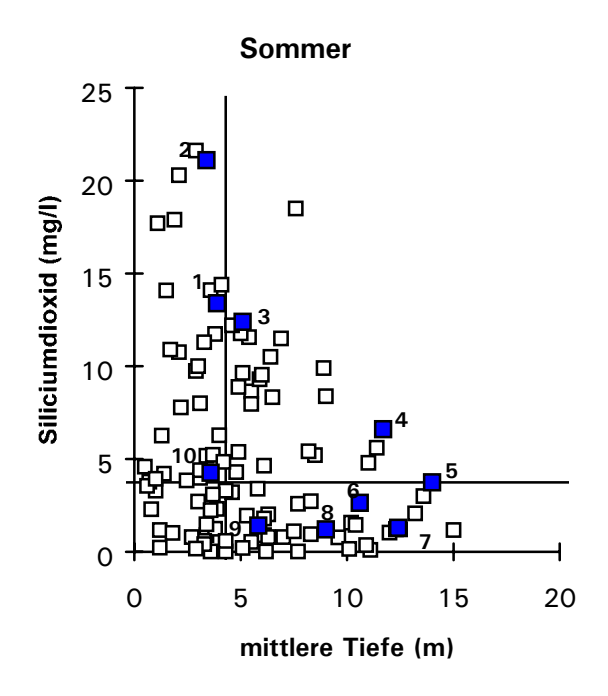
Die höchsten sommerlichen Sichttiefen sowie die geringsten sommerlichen Chlorophyll-a- und Gesamtphosphorwerte hatten die vier tiefen Seen Kellersee, Dieksee, Behler See und Großer Plöner See, während sich bei Stendorfer See, Sibbersdorfer See und Großem Eutiner See die umgekehrte Tendenz zeigte. Die Abhängigkeit zwischen der mittlerer Tiefe eines Sees und der Chlorophyll a-Konzentration ist in Abbildung 5 gut zu erkennen.

Auch zwischen Chlorophyll a und der theoretischen Wasseraufenthaltszeit ist eine Beziehung festzustellen. Seen mit kurzen Verweilzeiten sind in der Regel produktiver. Die Grenze bildet jedoch der Flusssee mit wenigen Tagen Aufenthaltszeit. Dort überwiegt der Durchspüleffekt mit der verbundenen Verdünnung und Verdriftung des Phytoplanktons.

Die Phytoplanktongemeinschaften waren im Frühjahr insbesondere in den ungeschichteten Seen vom Typ 11 (kalkreich, ungeschichtet, fv > 1,5, Stendorfer See, Sibbersdorfer See, Großer Eutiner See, Lanker See) durch Kieselalgen geprägt, die bereits im Februar hohe Biovolumina erreichten. Charakteristisch für diese Seen war auch die Dominanz von Cyanobakterien, die bereits im Hochsommer zu beobachten war und sich teilweise. wie im Lanker See, bis in den November hineinzog. Während des Hochsommers wurden hauptsächlich stickstofffixierende Blaualgen-Arten vorgefunden. Im Herbst wurden diese jedoch in allen oberen ungeschichteten Schwentineseen von coccalen Formen (Microcystis spp.) abgelöst. Im Schwentinesee (Typ 12) wurden Cyanobakterien im Jahr 2004 nur vorübergehend beobachtet, was vermutlich auf die zu kurze Wasseraufenthaltszeit zurückzuführen ist, die die Entwicklung einer Blüte verhindert.







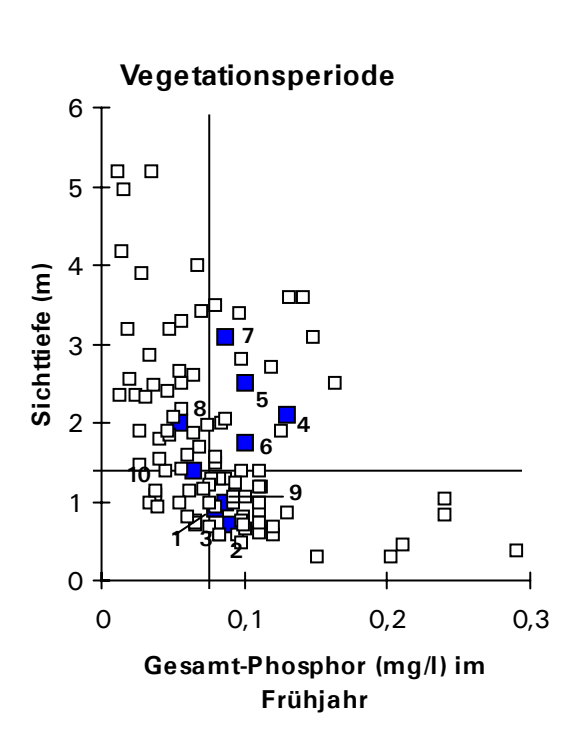
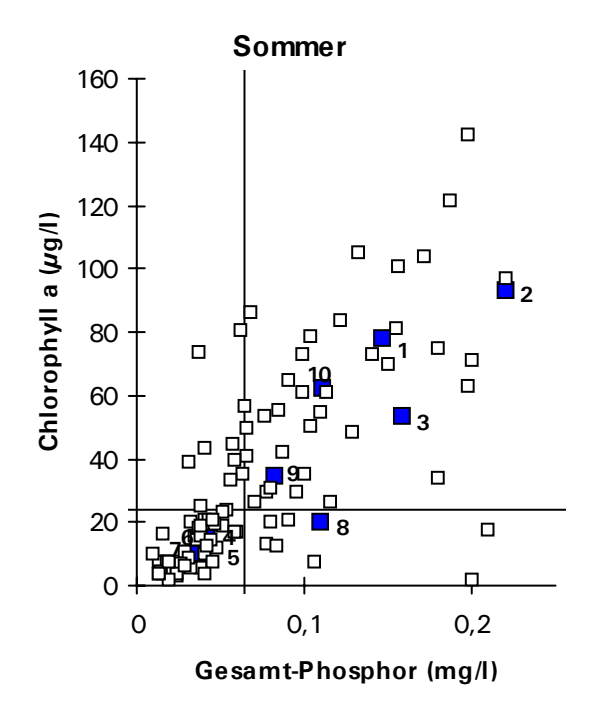
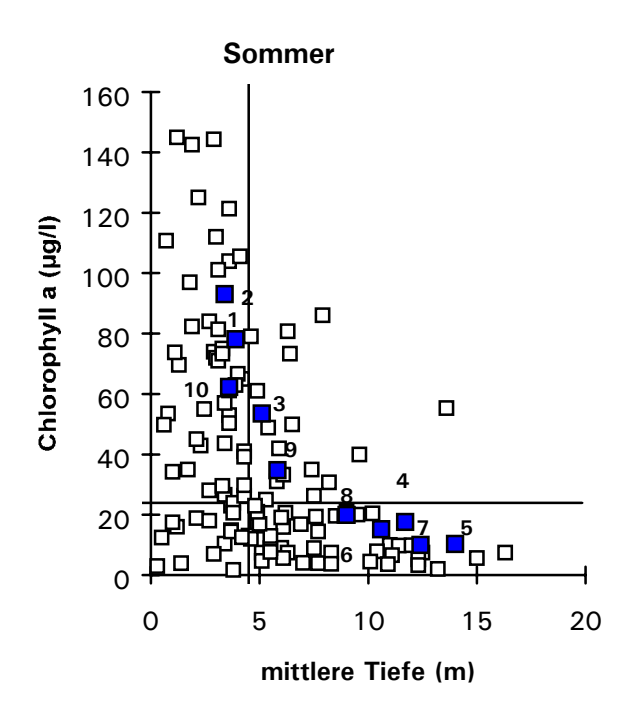
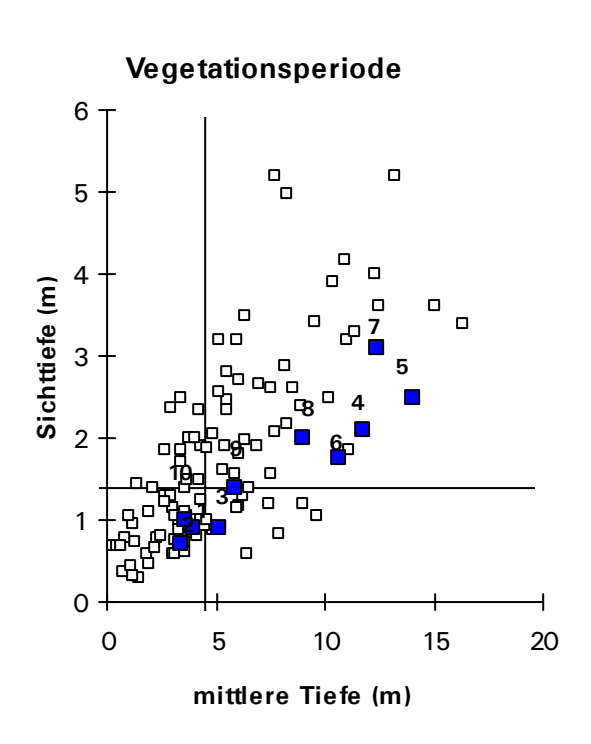


Abbildung 4: Referenzrahmen für chemische und physikalische Parameter in schleswig-holsteinischen Seen. Die durchgezogenen waagerechten bzw. senkrechten Linien kennzeichnen die Lage des Medianwertes

- 1: Stendorfer See, 2: Sibbersdorfer See, 3: Großer Eutiner See, 4: Kellersee, 5: Dieksee, 6: Behler See, 7: Großer Plöner See, 8: Kleiner Plöner See, 9: Schwentinesee, 10: Lanker See
- $\hfill \square$  bisher vom Landesamt untersuchte Seen.







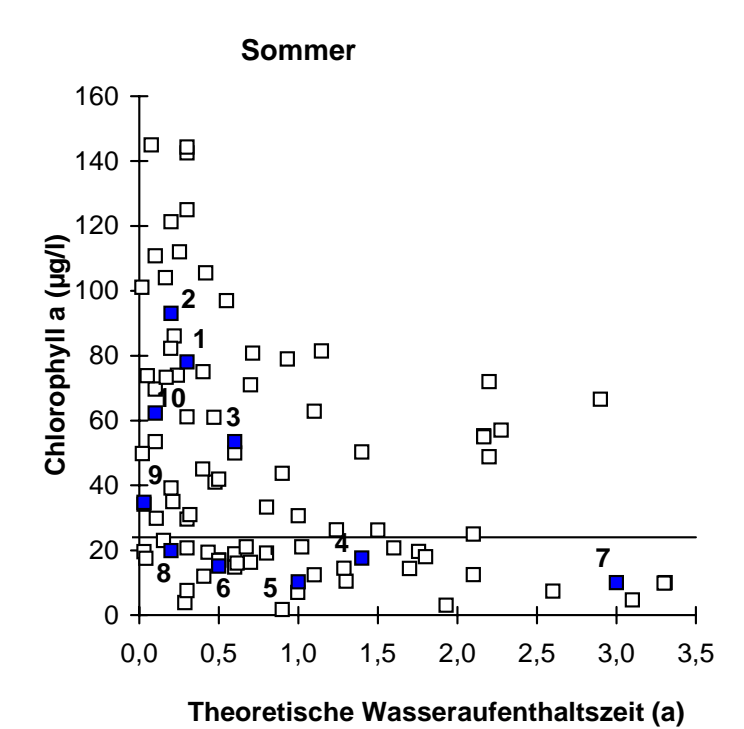
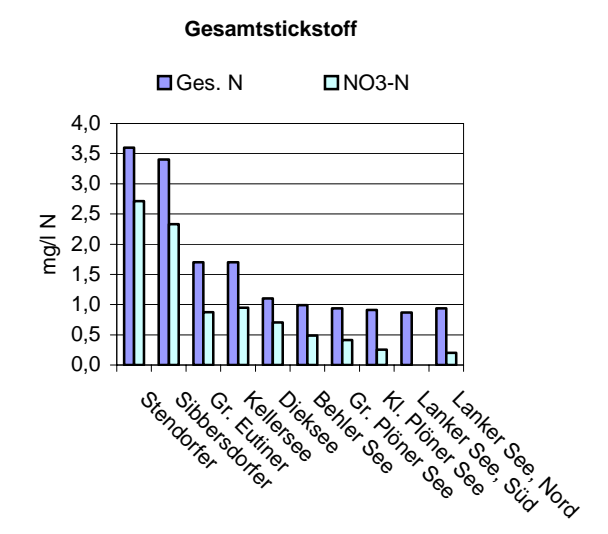


Abbildung 4: Fortsetzung Referenzrahmen



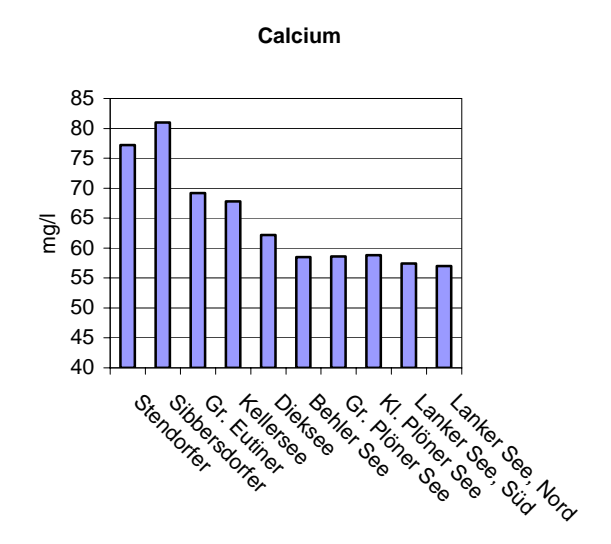


Abbildung 5: Frühjahrskonzentrationen von Gesamt- und Nitratstickstoff sowie von Calcium in den Seen der Schwentine

Während die ungeschichteten Seen ganzjährig hohe Biovolumina aufwiesen, erreichten die Biovolumina in den geschichteten Seen bis Ende Juli nur sehr geringe Werte < 1mm³/l. Erst im September war in diesen Seen ein Biomasseanstieg zu verzeichnen. Die Phytoplanktonzusammensetzung der Seen vom Typ 10 (kalkreich, geschichtet, fv < 1,5, Kellersee, Dieksee, Behler See) war dadurch gekennzeichnet, dass in der ersten Jahreshälfte hauptsächlich schnellwachsende Cryptophyceen und Chlorophyceen dominierten. Kieselalgen waren im Gegensatz zu den oberen, ungeschichteten Schwentineseen generell ohne Bedeutung. Augenfällig war die Dominanz von coccalen Chlorophyceen im Keller- und Dieksee während des Frühsommers, deren Biomasseniveau auf den höheren Trophiezustand dieser beiden Seen im Vergleich zum Behler See hindeutet. Ein weiteres typisches Merkmal der geschichteten Seen waren die verhältnismäßig spät im Jahr auftretenden Cyanobakterienblüten. Diese erreichten insgesamt hohe Biomassen, wobei sie aber im Kellersee und Behler See nur etwa die Hälfte des Niveaus vom Dieksee ereichten.

Beim **Zooplankton** traten größere, für die Kontrolle des Phytoplanktons wichtige Formen vor allem im Dieksee und im Lanker See, aber auch im Sibbersdorfer See auf. Ein Klarwasserstadium zeigte sich im Mai im Großen Eutiner See, im Behler See, im Kleinen Plöner See, im Großen Plöner See, im Schwentinesee und im Lanker See. Im Kellersee und im Dieksee fand vermutlich ebenfalls ein Klarwasserstadium statt, wurde aber nicht erfasst.

Der Sauerstoffhaushalt war in den flacheren eutrophen Seen unausgeglichen, während die geschichteten Seen Kellersee, Dieksee, Behler See und Großer Plöner See erst bei der Herbstbeprobung ein sauerstoff- und nitratfreies Hypolimnion mit Schwefelwasserstoffbildung zeigten. Das Hypolimnion des Kleinen Plöner Sees dagegen war bereits Anfang Juli fast vollständig sauerstofffrei.

Hinsichtlich ihrer Unterwasservegetation sind aus Sicht des Artenschutzes vor allem Lanker See, Behler See und der Dieksee von Bedeutung. Die Unterwasservegetation des buchtenreichen, in weiten Bereichen sehr flachen Lanker Sees ist mit 23 submersen Arten (davon 7 Arten Armleuchteralgen) besonders artenreich, wenn auch die dominanten Arten nährstoffliebende Pflanzen sind. Hier besiedelt die Unterwasservegetation streckenweise Bereiche, die durch das Absterben des Röhrichts freigeworden sind. Im Behler See liegt die Vegetationsgrenze bei 5 bis 6 m, was auf mesotrophe Verhältnisse hindeutet. Von den 14 gefundenen, submersen Arten sind fünf nach den Roten Listen der Farn- und Blütenpflanzen Schleswig-Holsteins (MIERWALD & BELLER 1990) bzw. der Armleuchteralgen Schleswig-Holsteins (GARNIEL & HAMANN 2002) gefährdet beziehungsweise vom Aussterben bedroht.

Im vergleichsweise nährstoffarmen, jedoch mit buchtenarmen, steilen Ufern ausgestatteten Dieksee ist die Unterwasservegetation durch das Vorkommen einer vom Aussterben bedrohten Art besonders erwähnenswert, ansonsten ist sie insgesamt eher artenarm (14 Arten) und spärlich. Ähnlich stellt sich die Situation am Kellersee dar. Unter den 12 gefundenen submersen Arten des Kellersees waren zwei Arten Armleuchteralgen. Die Unterwasservegetation des Kellersees dringt im allgemeinen bis 3 m Wassertiefe, vereinzelt auch bis 4 m vor.

Die spärliche Unterwasservegetation vom Stendorfer, Sibbersdorfer und Großem Eutiner See ist in weiten Bereichen von fädigen Grünalgen überwuchert. Die Unterwasservegetation des Schwentinesees ist mit 14 submersen Arten (davon 5 der Roten Liste Schleswig-Holsteins) zwar für seinen Typ eher artenreich und dringt bis zu einer Wassertiefe von 3,5 m bis 5 m vor, sie wird jedoch stark von der nährstoffliebenden Kanadischen Wasserpest dominiert, während die meisten anderen Arten nur sehr vereinzelt vorkommen.

Fast geschlossene relativ ungestörte Schilfgürtel weisen die **Ufer** der beiden Seen der oberen

Schwentine, Stendorfer und Sibbersdorfer See, auf, während die Ufer vom Kellersee, Dieksee und Lanker See einen mehr oder weniger starken Schilfrückgang zeigen. Der Lanker See besitzt insbesondere im Bereich des Naturschutzgebietes und einiger Buchten noch größere zusammenhängende Röhrichtflächen. Am steilufrigen Schwentinesee ist kaum Röhricht vorhanden, der schmale Gehölzsaum hat, entsprechend eines flussähnlichen Sees, Auwaldcharakter.

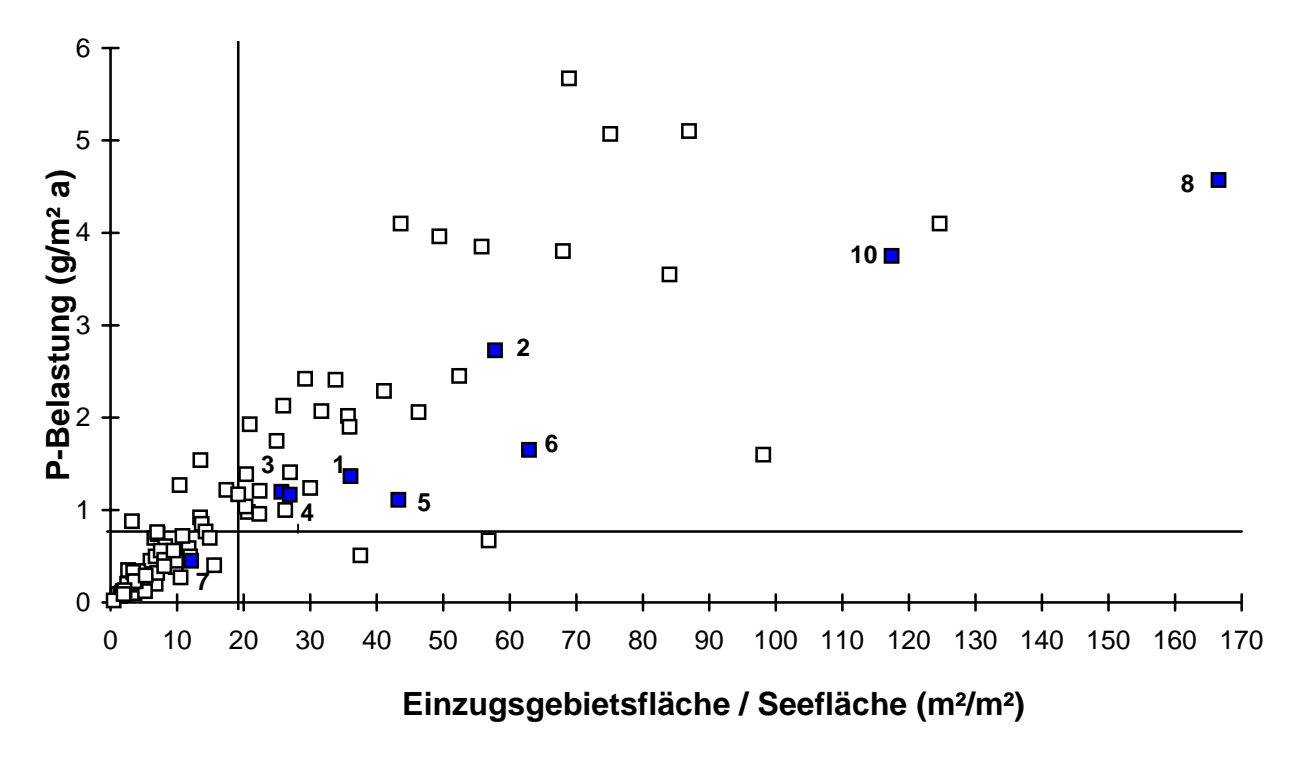


Abbildung 6: Phosphorbelastung, bezogen auf die Seefläche (g/a·m²), in Abhängigkeit von der relativen Einzugsgebietsgröße (Einzugsgebietsfläche/Seefläche (m²/m²)). Die durchgezogenen waagerechten bzw. senkrechten Linien kennzeichnen die Lage des Medianwertes für 71 vom Landesamt untersuchte Seen (siehe Abbildung 4)

1: Stendorfer See, 2: Sibbersdorfer See, 3: Großer Eutiner See, 4: Kellersee, 5: Dieksee, 6: Behler See, 7: Großer Plöner See, 8: Kleiner Plöner See, 10: Lanker See

□ bisher vom Landesamt untersuchte Seen

Die Höhe der **Flächenbelastung** durch Phosphoreinträge in die Seen ist Abbildung 6 zu entnehmen. Die geringste Belastung bezogen auf die Seefläche wurde mit 0,41 kg P pro m² Seefläche und Jahr für den Großen Eutiner See berechnet, der gleichzeitig ein im Verhältnis zur Seefläche recht kleines Einzugsgebiet aufweist. Ob diese Belastungsrate realistisch ist oder sich durch zeitweiligen Rückstau aus der Schwentine erhöht, kann an Hand des vorliegenden Datenmaterials nicht beurteilt werden. Der Große Plöner See hat mit 0,45 kg/m² Seefläche ebenfalls eine vergleichsweise geringe

jährliche Flächenbelastung, während die des Kleinen Plöner Sees fast das Vierfache beträgt und damit von den untersuchten Seen die zweithöchste war. Eine zwar absolut hohe, im Vergleich mit den übrigen Schwentineseen aber recht geringe Phosphor-Belastung haben auch Stendorfer See, Kellersee und Dieksee. Die höchste Nährstoffbelastung hat durch seinen starken Austausch der in der Grafik nicht dargestellte Schwentinesee (16,7 kg Phosphor pro m² Seefläche jährlich bei einem Verhältnis Einzugsgebiet zu Seefläche von 649).

Die relative Bedeutung verschiedener Phosphorund Stickstoffquellen wurde für die untersuchten Seen grob abgeschätzt. Dabei waren die diffusen Einträge von landwirtschaftlichen Flächen für die meisten Teileinzugsgebiete bei weitem die Hauptnährstoffquelle, lediglich im Teileinzugsgebiet des Kleinen Plöner Sees, der das Abwasser der Kläranlage Plön aufnimmt, hatte das Abwasser einen hohen Anteil (50 %) an der Gesamtbelastung. Im Einzugsgebiet von Stendorfer und Sibbersdorfer See gibt es noch eine relativ große Anzahl von nicht an die zentrale Abwasserentsorgung angeschlossenen Haushalten.

Die landwirtschaftliche Nutzung seenaher Flächen verursacht nicht nur Stoffeinträge in die Gewässer, sondern teilweise auch eine Zerstörung des Röhrichts, wenn, wie streckenweise z.B. am Kleinen Plöner See, am Lanker See und am Schwentinesee, Nutzvieh freien Zugang zum Ufer hat. Am Lanker See sind früher beweidete Uferbereiche inzwischen abgezäunt, haben sich aber auch nach mehreren Jahren noch nicht regeneriert. Der Vertritt der Uferbereiche durch das Vieh begünstigt die oberflächliche Einschwemmung von Nährstoffen, zudem erfolgt eine direkte Verunreinigung des Wassers durch die Ausscheidungen der Tiere. Andererseits wird in einigen dieser Bereiche ein Lebensraum für gefährdete Pflanzengemeinschaften und zahlreiche Vogelarten geschaffen. Hier gilt es zwischen den verschiedenen Schutzaspekten abzuwägen.

Das Ausmaß der internen Düngung aus dem Sediment lässt sich in einem See nur durch eine umfangreichere Untersuchung abschätzen. Anhand der vorliegenden Erhebungen kann aber vermutet werden, dass dieser Prozess im Großen Eutiner See, möglicherweise auch im Stendorfer und im Sibbersdorfer See von Bedeutung war. Hohe Nitratkonzentrationen, wie sie von Zuflüssen aus landwirtschaftlicher Nutzfläche, die noch keine Seen durchflossen haben (obere Schwentine, Malenter Au, Tensfelder Au) verzögerten besonders zum Anfang der Schwentineseen-Kette die Phosphorrücklösung, wobei aber insgesamt die hohen Stickstoffeinträge aus der Landwirtschaft gerade auch in diesen zeitweilig Stickstoff limitierten Seen stark zur Eutrophierung beitragen.

Alle untersuchten Seen werden durch Berufsfischer oder Angelsportvereine bewirtschaftet. Eine auf hohe Erträge bestimmter **Fisch**arten, zum Beispiel von beliebten Speisefischen, ausgerichtete Fischbewirtschaftung stellt fast immer eine Stö-

rung des Nahrungsnetzes im See dar. Für die untersuchten Seen liegen keine genaueren Zahlen über die Fischbestände vor, die Zusammensetzung des Phyto- und Zooplanktons ließ aber bei einigen Seen auf ein Ungleichgewicht in der Zusammensetzung der Fischfauna schließen. Für weitergehende Aussagen sind jedoch genauere Erhebungen an jedem einzelnen See nötig. Die Erarbeitung von Hegeplänen, wie sie das Landesfischereigesetz vorschreibt, wird zukünftig Fischer und Angler fachlich unterstützen.

Alle Seen des Plöner Gebietes sind durch Freizeitnutzung, Badestellen und ufernahe Besiedlung mit Stegen stark beeinflusst. Lediglich der Stendorfer und Sibbersdorfer See sind vom Tourismus bisher weitgehend unberührt.

An vielen Seen ist der Schilfgürtel durch Fraßschäden von Gänsen geschädigt. Dort ist es wichtig, störungsfreie Äsungsflächen zu finden. Ein entsprechend umfangreich angelegtes Projekt hat sich deshalb zum Ziel gesetzt, ein ornithologisches Managementkonzept zu entwickeln, um die Röhrichte der Seen der Holsteinischen Schweiz (JENSEN 2005) zu schützen.

2005 wurden im Schwentineverlauf, an der Öhlmühle in Plön und in Malente-Gremsmühlen, zwei Stauwehre durch Sohlgleiten ersetzt und somit die Durchgängigkeit für Fische verbessert.

Die erarbeiteten Entlastungsempfehlungen sind Hinweise, die gegebenenfalls durch genauere Untersuchungen untermauert und ergänzt werden müssen. Sie orientieren sich an den jeweils vorherrschenden Belastungen. In der Regel sollte über eine weitere Verringerung des Phosphoreintrages versucht werden, Phosphor zum begrenzenden Faktor werden zu lassen, da Phosphor leichter im Einzugsgebiet zurückzuhalten ist als der gut lösliche Stickstoff. Sollten mittelfristig die Bemühungen um Verringerung des Nährstoffeintrags von landwirtschaftlichen Flächen Erfolg haben, könnte im Tiefenwasser von einigen Stillgewässern die Verringerung der Nitratkonzentrationen verschlechterte Redoxbedingungen am Sediment zur Folge haben, die zu Phosphorrücklösung und interner Düngung führen könnte. Trotzdem sollte jede vermeidbare Einleitung von Nährstoffen in die produktive Zone von Seen unterbleiben, da der gleichzeitig verringerte Phosphoreintrag und die somit verringerte Produktion im Gewässer diesem Effekt entgegenwirkt.

## Stendorfer See (2002)

Topographische Karte (1 : 25.000):	1830		
Flusssystem:	Schwentine, Ostsee		
Kreis:	Ostholstein		
Gemeinde:	Kasseedorf		
Eigentümer:	privat		
Pächter:	Angelverein		
Lage des oberirdischen Einzugsgebietes:			
Rechtswerte:	441460 – 441840		
Hochwerte:	600226 - 601000		
Höchster Wasserstand (Abflussjahr 2002, m ü.NN):			
Mittlerer Wasserstand (Abflussjahr 2002, m ü.NN):			
Niedrigster Wasserstand (Abflussjahr 2002, m ü.NN):			
Größe des oberirdischen Einzugsgebietes (km²):	18,6		
Seefläche (km²):	0,54		
Seevolumen Mio.( m³) bei 32,6 m ü.NN:	2,1		
Maximale Tiefe (m):	7,9		
Mittlere Tiefe (m):	3,9		
Uferlänge (km):	3,3		
Theoretische Wasseraufenthaltszeit (a):	0.20		
(bei einem geschätzten Abfluss von 10 l/(s·km²))	0,36		
Umgebungsarealfaktor (m²/m²):	35,1		
Umgebungsvolumenfaktor (m²/m³):	9,0		
Uferentwicklung:	1,3		
Hypolimnion/Epilimnion (m³/m³):	-		
Mischungsverhalten:	schwache, instabile Schichtung		
Seetyp	11		

## **Entstehung**

Die eiszeitliche Entstehung des Stendorfer Sees nach GRIPP (1953) ist in LANDESAMT FÜR WASSERHAUSHALT UND KÜSTEN SCHLESWIG-HOLSTEIN (1993) dargestellt: die aus Osten vorstoßende Eutiner Gletscherzunge schob das ehemalige große Becken des Kellersees aus, das den Sibbersdorfer, den Stendorfer und den Großen und Kleinen Eutiner See umfasste. Diese Seen wurden später durch weniger mächtige Moränen folgender Eisvorstöße vom Becken des heutigen Kellersees abgetrennt.

## Einzugsgebiet und Morphologie des Sees

Der Stendorfer See, mit einer Fläche von 0,55 km², ist der erste der von der Schwentine durchflossenen Seen (Abbildung 8). Mit 18,7 km² ist sein oberirdisches Einzugsgebiet im Verhältnis zur Seefläche (Umgebungsarealfaktor 35,1) und auch im Verhältnis zum Seevolumen (Umgebungsvolumenfaktor 9) recht groß. In der direkten Umgebung wechselt Grünlandnutzung mit Wald und

wenig Acker. Im Nordwesten grenzt das Gut Stendorf mit Schloss und Schlosspark an den See.

Die unversiegelten Böden des Einzugsgebiets bestehen überwiegend aus Geschiebelehm, im Süden und Südosten auch Sand mit untergeordnetem Kies. In unmittelbarer Seenähe und zum Teil. entlang der Zuflüsse sind diese durch anmoorige Böden überlagert.

Die Schwentine, die etwa 10 km nördlich des Stendorfer Sees am Bungsberg entspringt, passiert den Kasseedorfer Mühlenteich, der einen weiteren, kleinen Zufluss aufnimmt, und mündet dann unterhalb des Ortes Kasseedorf am Südostufer in den Stendorfer See. Der Stendorfer See hat darüber hinaus kleinere Zuläufe im Norden sowie drei im Süden. Die Schwentine verlässt ihn wieder am Westufer (Abbildung 7). Die auf Grund der Einzugsgebietsgröße bei einer zu Grunde gelegten Abflussspende von 10 l/s·km² berechnete theoretische Wasseraufenthaltszeit ist mit 0,36 Jahre (entspricht 4,3 Monate) kurz.

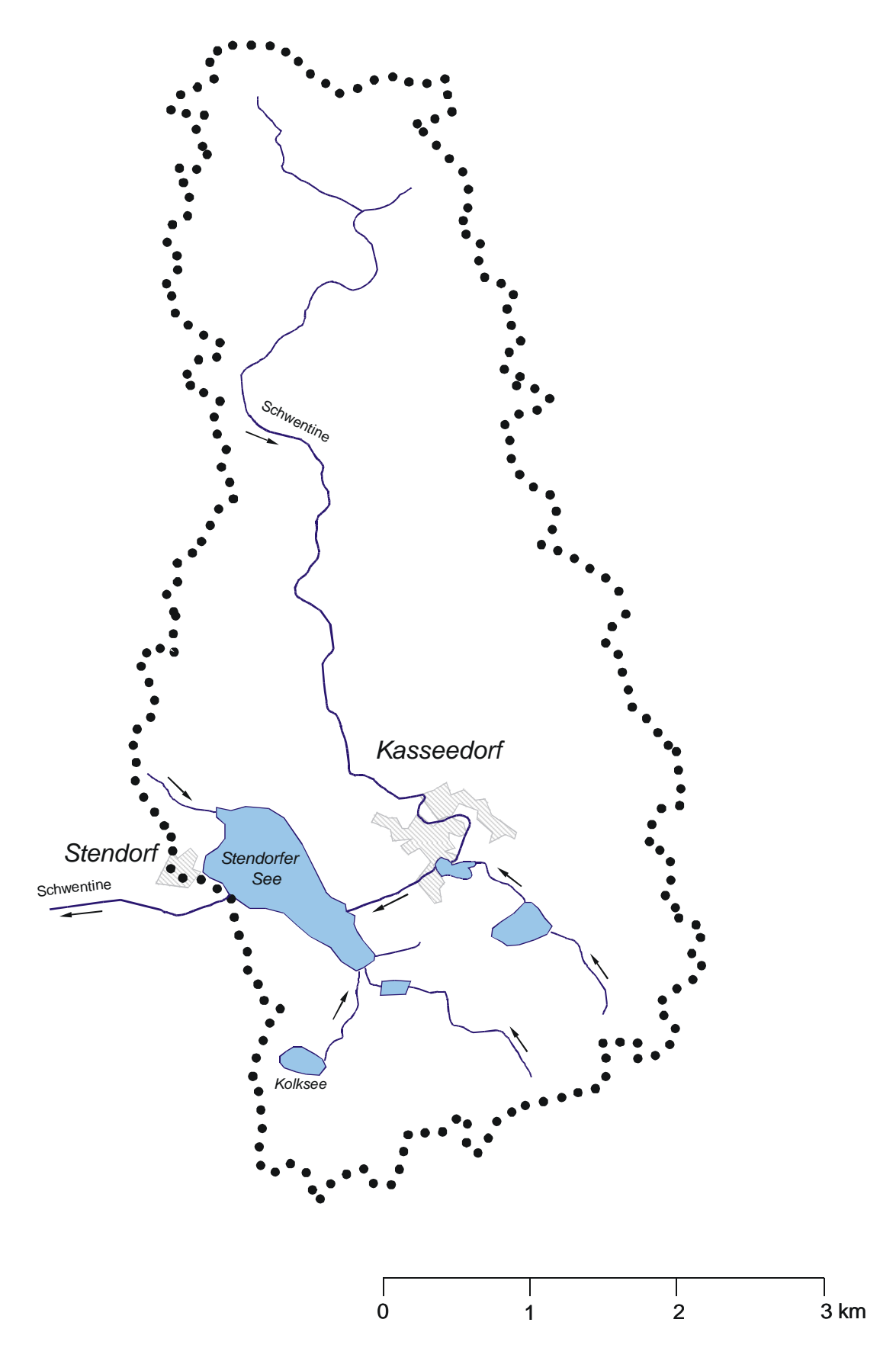
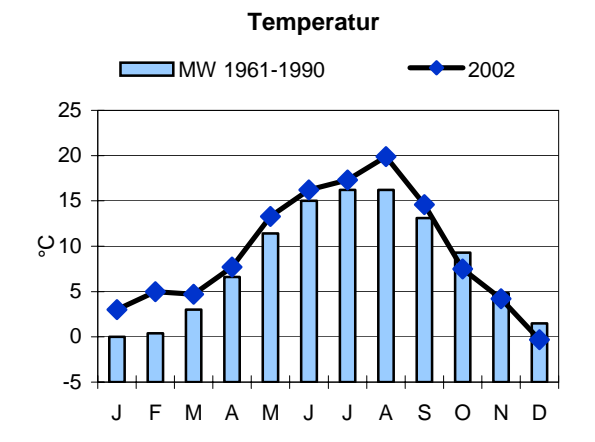


Abbildung 7: Einzugsgebiet des Stendorfer Sees

In Abbildung 8 sind die Temperatur- und Niederschlagsverhältnisse an der Messstation Eutin dargestellt. Das Jahr 2002 war insgesamt wärmer als im langjährigen Mittel, insbesondere Januar und Februar, aber auch der August, wiesen überdurchschnittlich hohe Temperaturen auf. 2002 war

gleichzeitig ein sehr nasses Jahr, die Niederschlagssumme lag an der Messstelle Eutin 44 % über dem langjährigen Mittelwert. Besonders viel Regen fiel im Februar und vor allem im Juli, der sich durch mehrere extreme Starkregenereignisse auszeichnete.



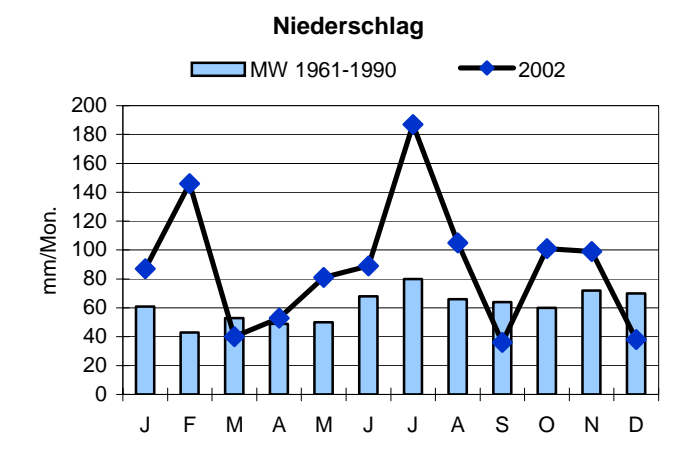


Abbildung 8: Mittlere Monatstemperaturen und monatliche Niederschlagshöhen 2002 an der Messstation Eutin im Vergleich zum langjährigen Mittel 1961/90

Das längliche Becken des Stendorfer Sees erstreckt sich in nordwest-südöstlicher Richtung und ist ungegliedert. Die tiefste Stelle (7,9 m) liegt in der Nähe des Nordostufers. In diesem Bereich fallen die Ufer steil ab, während in den übrigen Bereichen, insbesondere im Süden, die Ufer flach sind (Abbildung 9).

Der Stendorfer See wies 2002 eine schwach ausgeprägte Temperaturschichtung auf. Die Temperaturdifferenz zwischen Oberfläche und Tiefenwasser betrug im August nur 4°C. Die Lage der Sprungschicht schwankte stark zwischen 5 und 6 m im Juni und September und 2 und 3 m im sehr heißen August. Die Schichtungsdauer dieses stark durchströmten, in weiten Bereichen sehr flachen Sees ist nur kurz. Insbesondere in regenreichen Jahren wie 2002 ist sie vermutlich vorübergehend aufgehoben. Bei 1982/83 durchgeführten Untersuchungen des Landesamtes (LANDESAMT FÜR WASSERHAUSHALT UND KÜSTEN 1993) mit monatlicher Probenahme wurde nur in Juli und August eine Schichtung festgestellt. Der See entspricht somit Typ 11 der Wasserrahmenrichtlinie (MATHES et al. 2002).

### Ufer

Die Ufervegetation des Stendorfer Sees wurde im Auftrag des Landesamtes von STUHR (2002) grob erfasst. Die folgenden Ausführungen sind seinem Bericht entnommen.

Ufergehölze sind am Stendorfer See im Norden und Süden aufgrund der bewaldeten Ufer praktisch durchgehend vorhanden, während vor den Grünlandflächen bzw. -brachen am mittleren Ostund Westufer der Gehölzsaum zum Teil lückig ist. Vorherrschende Baumart ist die Schwarzerle Alnus glutinosa, als weitere häufige Gehölzarten treten Weiden Salix sp., S. cinerea und im Norden auch Esche Fraxinus excelsior auf. Am südlichen Westufer erweitert sich der sonst schmale Ufergehölzsaum zu einem über 50 m breiten Bruchwald. Der Unterwuchs der von Schwarzerle beherrschten Fläche weist überwiegend Bruch- bzw. Sumpfwaldcharakter auf, typisch sind Feuchtezeiger wie Sumpfsegge Carex acutiformis, Echtes Mädesüß Filipendula ulmaria, Waldengelwurz Angelica sylvestris, Sumpfdotterblume Caltha palustris, Bachnelkenwurz Geum rivale, Kohldistel Cirsium oleraceum, Gewöhnlicher Gilbweiderich Lysimachia vulgaris, u.a..

Die am mittleren Ost- und Westufer landseitig angrenzende Feuchtgrünlandflächen bzw. deren Brachestadien sind überwiegend relativ artenarm und von Flutrasen geprägt, höhere Anteile von Sauergräsern finden sich meist nur kleinflächig in Ufernähe.

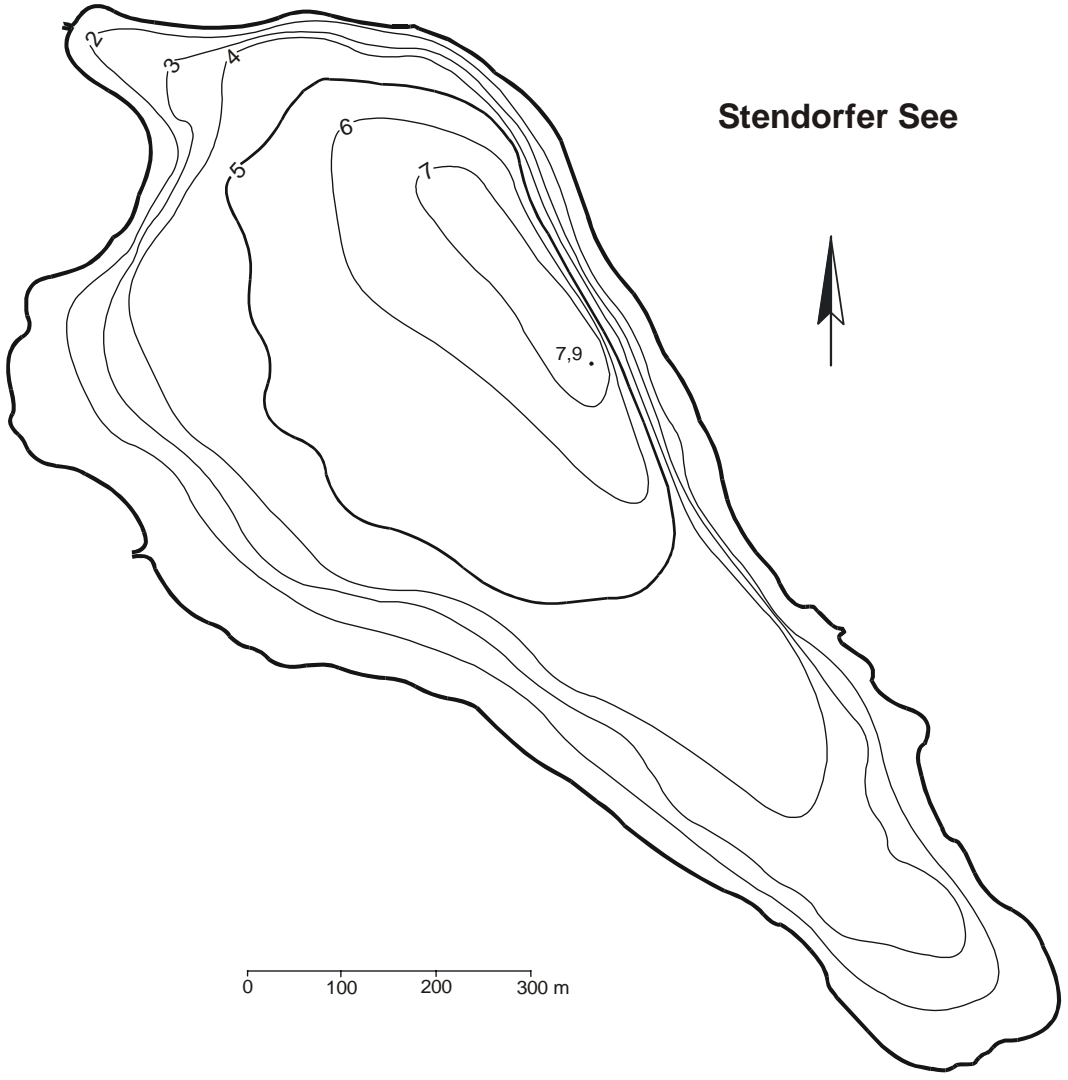


Abbildung 9 : Tiefenplan des Stendorfer Sees

Ein Röhrichtgürtel ist am Stendorfer See, abgesehen von vereinzelten kleineren Lücken, geschlossen vorhanden. Vorherrschend ist Schilf Phragmites australis, zweithäufigste Art ist der Schmalblättrige Rohrkolben Typha angustifolia, der häufig den Schilfbeständen zur Seeseite hin saumartig vorgelagert ist, aber auch kleinflächig wie die Seebinse Schoenoplectus lacustris und Kalmus Acorus calamus eigene Bestände im flacheren Wasser aufbaut. Weitere, eher zerstreut bis selten auftretende Arten sind Breitblättriger Rohrkolben Typha latifolia, Ästiger Igelkolben Sparganium erectum, Sumpfschwertlilie Iris pseudacorus, Sumpf- und Schnabelsegge Carex acutiformis, C. rostrata. Das Röhricht dringt in Wassertiefen bis um 1 m vor, vereinzelt auch bis 1,5 m. Die Breite der Bestände liegt meist im Bereich zwischen 5 und 10 m. Südlich von Gut Stendorf werden auch etwa 20 m erreicht.

Ein **Schwimmblatt**gürtel existiert auf etwa 15 % der Uferlinie des Sees vor allem am nördlichen

Westufer in den beiden Buchten nördlich und südlich von Schloss Stendorf sowie im Süden. Häufigste Art ist die Gelbe Teichrose *Nuphar lutea*, nur südlich von Gut Stendorf dominiert teilweise die Weiße Seerose *Nymphaea alba*. Der Schwimmblattgürtel besitzt Breiten zwischen 5 und 10, vereinzelt auch 20 m und siedelt bis in Wassertiefen von knapp 2 m. Als weitere Arten traten Kleine Wasserlinse *Lemna minor* und Vielwurzelige Teichlinse *Spirodela polyrhiza* meist innerhalb des Röhrichts auf.

Unterwasserpflanzen wachsen in fast allen Uferbereichen bis über 2 m Wassertiefe, auch wenn vielfach Bestände fädiger Grünalgen dominieren. Drei der elf gefundenen Arten gelten nach der Roten Liste der Farn- und Blütenpflanzen Schleswig-Holsteins (MIERWALD & BELLER 1990) als gefährdet oder stark gefährdet. Sehr häufig und im gesamten Gewässer anzutreffen ist der Sumpfteichfaden Zannichellia palustris, mit ihm zusammen findet sich vielfach das gefährdete Zwerglaichkraut

Potamogeton pusillus (RL 3). Weitere zerstreut auftretende Arten sind Kanadische Wasserpest Elodea canadensis, Wasserstern Callitriche sp., Krauses Laichkraut Potamogeton crispus, Kammlaichkraut Potamogeton pectinatus und der bis 2,8 m Wassertiefe festgestellte Spreizende Wasserhahnenfuß Ranunculus circinatus. Nur im Einmündungsbereich der Schwentine traten Einfacher Igelkolben Sparganium cf. emersum und das stark gefährdete Stachelspitzige Laichkraut Potamogeton friesii (RL 2) auf. Die gefundenen Arten sind typisch für eutrophe Gewässer.

Armleuchteralgen fanden sich nur sehr vereinzelt, so die Zerbrechliche Armleuchteralge *Chara globularis* in 1,6 m Wassertiefe im Süden des Sees sowie die gefährdete Gegensätzliche Armleuchteralge *Chara contraria* (RL 3, GARNIEL & HAMANN 2002) in der Bucht im Nordwesten in 2 m Wassertiefe.

Insgesamt ist die Ufervegetation des Stendorfer Sees als von mittlerer Bedeutung einzustufen. Die Unterwasservegetation des Sees, der noch Ende der 80er Jahre als weitgehend frei von Unterwasserpflanzen bezeichnet wurde (LANDESAMT FÜR WASSERHAUSHALT UND KÜSTEN SCHLESWIG-HOLSTEIN 1993), hat sich deutlich zum Positiven entwickelt, entspricht aber noch nicht dem guten ökologischen Zustand. Der Röhrichtgürtel scheint stabil. Wesentliche Störungen, z.B. durch Erholungsnutzung, wurden nicht beobachtet.

#### **Freiwasser**

Der Stendorfer See wies im Sommer eine relativ schwache thermische Schichtung auf (Abbildung 10), die möglicherweise vorübergehend aufgehoben wurde (s.u.). Bei Calciumkonzentrationen um 77 mg/l (Frühjahr) war der See mit einer Säurekapazität um 3,5 mmol/l (Frühjahr) sehr gut gepuffert. Die pH-Werte lagen im Oberflächenwasser zwischen 8,1 und 9,0. Die elektrische Leitfähigkeit schwankte mit Werten zwischen 32 und 48 mS/m recht stark, war insgesamt aber eher gering (Abbildung11).

Die Nährstoffkonzentrationen im See waren von der Qualität des zuströmenden Schwentinewassers geprägt. Die Gesamtphosphorkonzentrationen lagen mit 0,082 mg/l P im Frühjahr in einem mittleren Bereich, stiegen im Verlauf des Sommers jedoch auf den sehr hohen Wert von 0,26 mg/l P. Die Stickstoffkonzentrationen lagen mit Frühjahrswerten um 3,6 mg/l N relativ hoch. Anorganisch gelöster Phosphor war stets vorhanden. Stickstoff stellte möglicherweise ab August den Minimumfaktor dar.

Im Februar war der Stendorfer See bis zum Grund durchmischt. Das Phytoplankton, das von SPETH & SPETH (2002) untersucht wurde, wies zu diesem Zeitpunkt noch eine geringe Biomasse auf (ca. 8 µg/l Chlorophyll a und 2,4 mm³/l Biovolumen) und bestand überwiegend aus kleinen zentralen Kieselalgen (Abbildung 12). Entsprechend lag der Phosphor (0,082 mg/l P) fast vollständig in anorganischer Form vor. Der Gesamtstickstoff (> 3,5 mg/l N) bestand zu diesem Zeitpunkt noch überwiegend aus Nitrat, die vergleichsweise hohen Nitritkonzentrationen zeigen jedoch, dass bereits jetzt eine deutliche Denitrifikation stattfand. Darauf deutet auch die trotz Volldurchmischung leichte Sauerstoff-Untersättigung des Wasserkörpers (94 % Sättigung) hin.

Bei vergleichsweise geringem Zustrom aus der Schwentine hatten im **Juni** die Gesamtphosphorkonzentrationen im Oberflächenwasser leicht abgenommen (0,051 mg/l P). Der Gesamtstickstoff war, vermutlich überwiegend durch Denitrifikation, auf weniger als die Hälfte gesunken. Die Temperaturschichtung führte im Tiefenwasser des Sees bereits zu einem starken Sauerstoffdefizit (4 % Sättigung) und nach Aufzehrung des Nitrats zur Bildung von Schwefelwasserstoff. Das Phytoplankton (4,2 mm²/l Biovolumen) setzte sich jetzt neben centrischen Kieselalgen (*Aulacoseira granulata*) aus Cryptophyceen und dem Dinoflagellaten *Ceratium hirundinella* zusammen. Der anorganische Phosphor war nahezu aufgebraucht.

Im August nahm die Gesamtphosphorkonzentration auffällig zu (0,13 mg/l P), was mit einem Anstieg der Phytoplanktonbiomasse auf 117  $\mu$ g/l Chlorophyll a bzw. 27,3 mm³/l Biovolumen einherging. Daraus resultierte eine geringe Sichttiefe von 0,6 m und eine Sauerstoffsättigung von 200 % im Oberflächenwasser. Ceratium machte zu diesem Zeitpunkt etwa die Hälfte der Phytoplanktonbiomasse aus, die Kieselalge Aulacoseira granulata und die fadenförmige Cyanobakterien-Art Aphanizomenon flos-aquae bildeten je ein Viertel des Biovolumens. Die Zunahme einiger oxidierter Stoffe im Tiefenwasser (Nitrat, Nitrit, Sulfat) deutet darauf hin, dass vorübergehend eine Aufhebung der Schichtung stattgefunden hatte, die das Planktonwachstum durch Einmischung nährstoffreichen Tiefenwassers in die obere Wasserzone begünstigt haben könnte. Möglicherweise war dies im niederschlagsreichen August durch vermehrten Zustrom von Schwentinewasser verursacht, das gleichzeitig für eine erneute Phosphorzufuhr sorgte. Anorganischer Stickstoff war jetzt im Oberflächenwasser kaum noch vorhanden. Das Metalimnion hatte sich nach oben verlagert (zwischen 2 und 3 m Wassertiefe), und die sauerstofffreie Zone hatte sich entsprechend ausgedehnt.

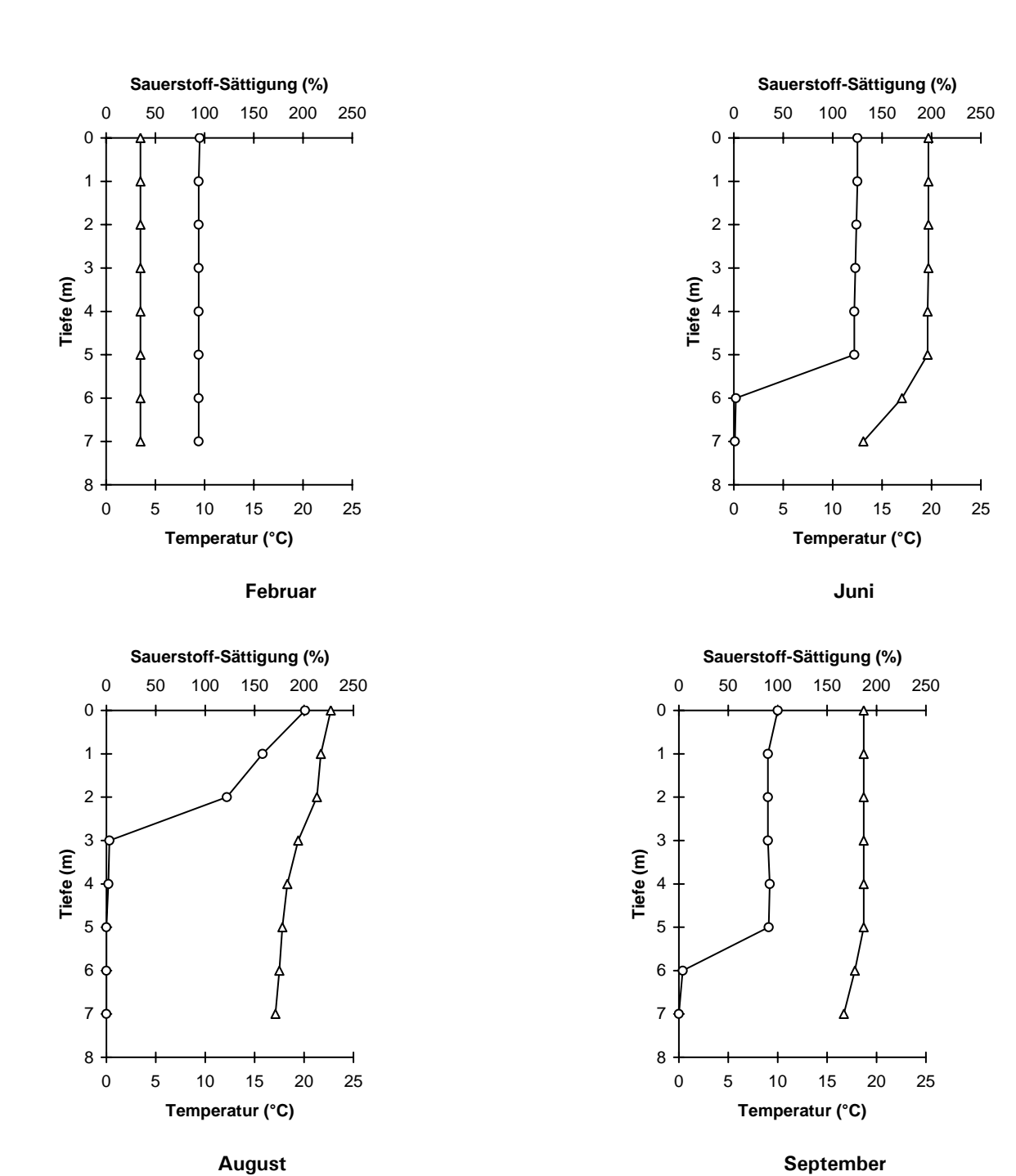


Abbildung 10: Tiefenprofile von Temperatur (°C) und Sauerstoff-Sättigung (%) im Stendorfer See im Frühjahr und Sommer 2002; Temperatur  $\Delta$  Sauerstoff o

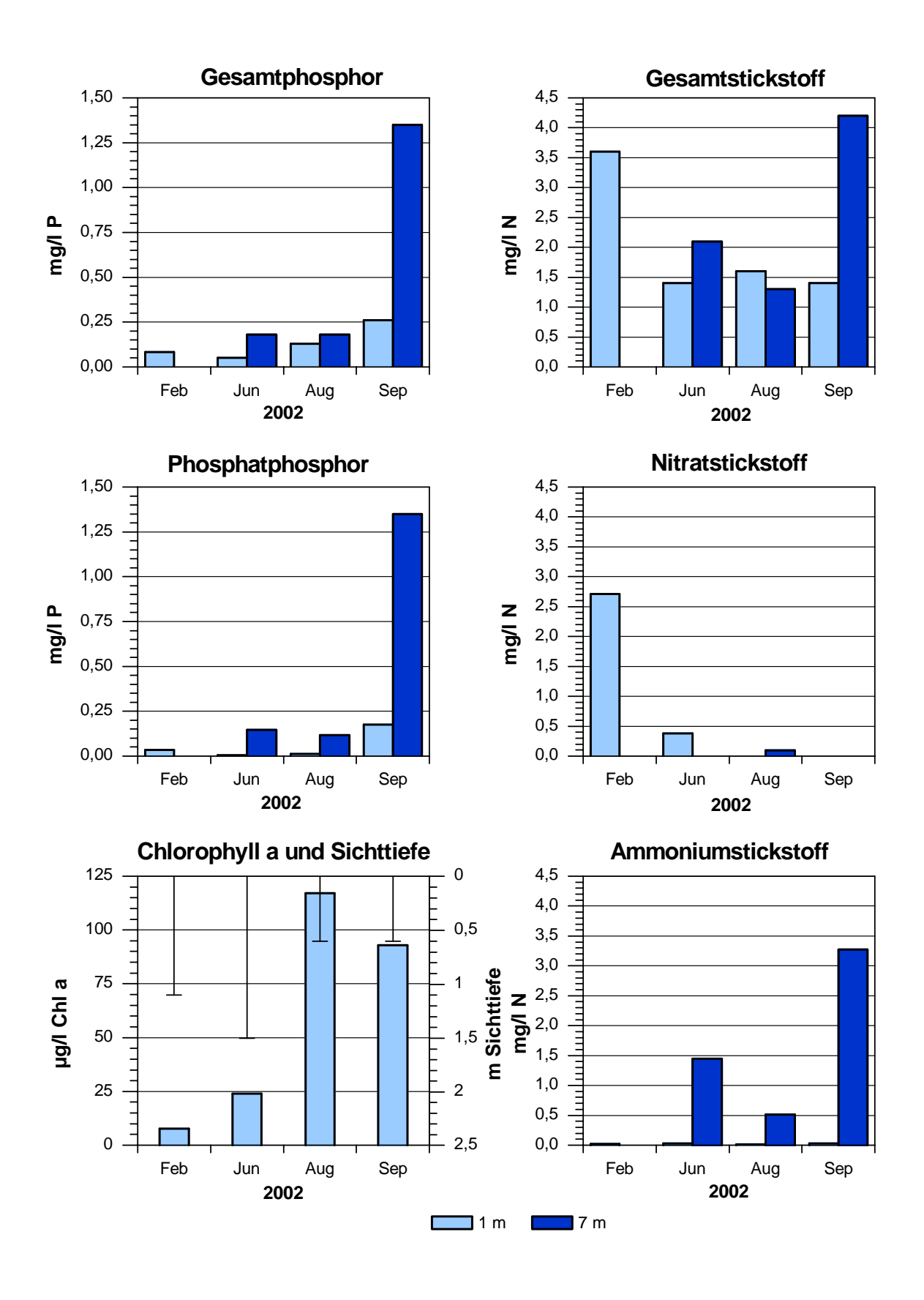


Abbildung 11: Gesamtphosphor (mg/l P), Gesamtstickstoff (mg/l N), Phosphat (mg/l P), Nitrat (mg/l N), Ammonium (mg/l N) sowie Chlorophyll a (\mu g/l) und Sichttiefen (m) im Stendorfer See 2002

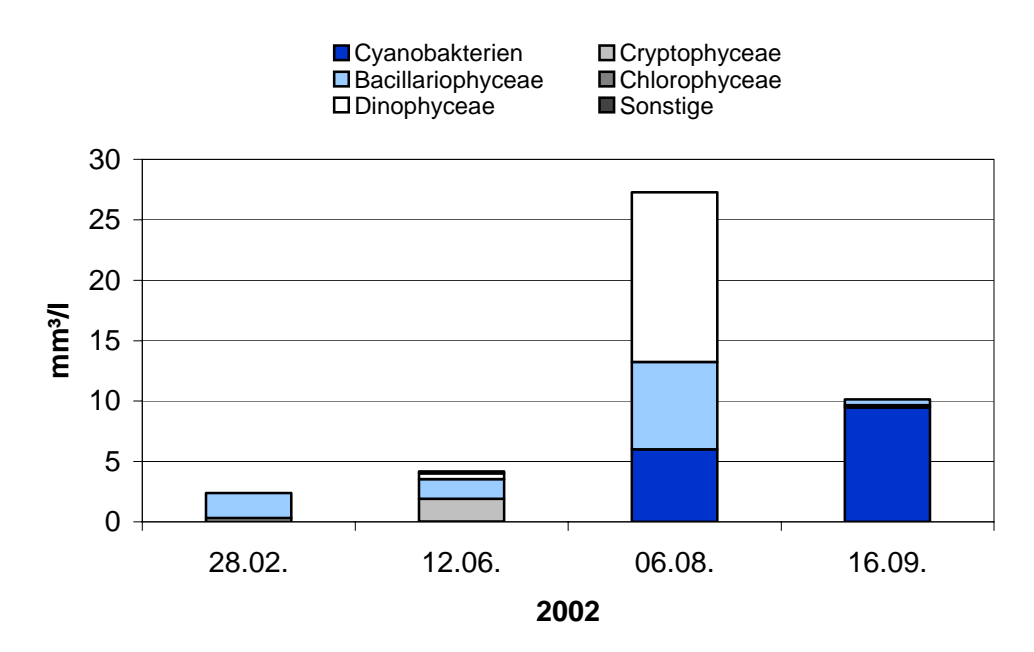


Abbildung 12: Entwicklung des Biovolumens der dominierenden Phytoplanktongruppen (mm³/l) im Stendorfer See 2002

Im September war der Gesamtphosphor im Oberflächenwasser weiter angestiegen (0,26 mg/l P), vermutlich durch das Absinken der Sprungschicht auf jetzt etwa 5 m und Einmischen von phosphorreichem Tiefenwasser ins Epilimnion. Die Phytoplanktonbiomasse hatte sich mit 10,1 mm³/l Biovolumen mehr als halbiert, hielt sich aber weiter auf hohem Niveau (93  $\mu$ g/l Chlorophyll a). Die Phytoplanktongemeinschaft wurde fast ausschließlich von coccalen Cyanobakterien der Gattung Microcystis dominiert. Anorganischer Phosphor war reichlich vorhanden (0,175 mg/l P). Das Verhältnis Gesamtstickstoff zu Gesamtphosphor, das bereits seit Februar kontinuierlich abnahm. sank deutlich unter 7 (5,4), was auf eine potenzielle Wachstumslimitation des Phytoplanktons durch Stickstoff hindeutet. Im Tiefenwasser hatten sich große Mengen an Phosphor (1,5 mg/l P) und Ammonium (3,2 mg/l N) angereichert.

Das Zooplankton, ebenfalls von SPETH & SPETH (2002) analysiert, schien im Stendorfer See insgesamt eine untergeordnete Rolle zu spielen. Lediglich Rädertiere traten vorübergehend (Juni) etwas häufiger auf.

Insgesamt sind die Stoffumsätze im Freiwasser des Stendorfer Sees durch die Zuflüsse aus der nitratreichen Schwentine geprägt. Der See wirkt als Reaktionsbecken für die Denitrifikation, wobei die hierfür notwendige organische Substanz größtenteils durch die Algenbiomasse geliefert wird. Ist das Nitrat in abflussarmen Zeiten verbraucht, tritt

Stickstofflimitierung ein. Eine vorübergehende Aufhebung der Schichtung kann die Algenproduktion forcieren, indem nährstoffreiches Tiefenwasser in die oberen Zonen gelangt. Das Fehlen größerer Zooplanktonarten deutet auf eine gestörte Nahrungskette im Freiwasser.

Zum Fischbestand des Stendorfer Sees gibt es keine Angaben.

Der Stendorfer See wird bereits von OHLE (1959) erwähnt. Leitfähigkeit, Hydrogenkarbonat-, Chlorid- und Sulfatkonzentrationen lagen in den 1950er Jahren in einem ähnlichen Bereich wie heute (elektrische Leitfähigkeit: 410  $\mu$ S/cm²0 , Hydrogenkarbonat: 3,46 mval/l, Chlorid: 25,0 mg/l und Sulfat: 24,5 mg/l). Bereits damals gab es also vermutlich eine deutliche Eutrophierung im Stendorfer See.

## Seegrund

Die Besiedlung des Seegrundes des Stendorfer Sees wurde 2001 von OTTO (2001) untersucht. Die folgenden Ausführungen sind seinem Bericht entnommen.

Im Stendorfer See wurden 40 Taxa gefunden, von denen die Zuckmückenlarven (17 Taxa) und die Weichtiere (11 Taxa) den größten Anteil hatten. In den flacheren Bereichen war ein vergleichsweise artenreiche ufertypische Fauna zu finden. Ufertypische Zerkleinerer und Weidegänger (Abbildung 13) waren bis zu einer Wassertiefe von 3 m zu finden, der Übergang zur Tiefenzone befand sich zwischen 3 und 4 m, die Uferzone ist damit recht schmal.

Mit Ausnahme der Wenigborster, die in allen Tiefen in Dichten von 1000 bis 4000 Ind/m² vertreten waren, waren die Individuendichten eher gering. In der Tiefenzone dominierte die Sauerstoffmangel tolerierende Larve der Büschelmücke *Chaoborus flavicans* mit Dichten über 1000 Ind./m². Daneben kam aber auch die Zuckmückenlarve *Chironomus plumosus* in höheren Dichten vor.

Auf Grund der Anwesenheit von *Chironomus plumosus* in der Tiefenzone wurde der Stendorfer See als *Chironomus plumosus*-See im Sinne von THIENEMANN (1922) eingestuft. Die geringe Tiefenausdehnung der Uferzone zeigt den hohen Trophiegrad des Sees an.

Zur Bonitierung des Stendorfer Sees aus fischereilicher Sicht wurde 1951 von UTERMÖHL (unveröff.) ein Gutachten erstellt. Der Sauerstoffgehalt lag in 4 m Wassertiefe bereits unter 2 mg/l. Der Seegrund war mit Benthostieren jedoch sehr gut besiedelt. Sehr häufig waren die Zuckmückenlarve *Chironomus plumosus* und *Tanypus* sp. Auch Wenigborster traten an allen Stellen recht häufig auf. Büschelmückenlarven wurden in mittlerer Dichte

gefunden. Insgesamt zeigte sich bezüglich der Zusammensetzung der Fauna also eine recht ähnliches Bild, die Individuendichte wurde jedoch höher eingeschätzt als von OTTO.

## Nutzung des Sees und seines Einzugsgebiets

Die Stendorfer See ist Teil des FFH-Gebietes "Gebiet der Oberen Schwentine", das 2004 als FFH-Gebiet gemeldet worden ist.

Die fischereiliche Nutzung des **See**s erfolgt durch einen Angelverein.

Die Beschreibung der **Ufer**nutzung folgt im wesentlichen STUHR (2002). Das Westufer wird vom Gelände des nur locker bebauten, parkähnlichen Gut Stendorf eingenommen. Hier befinden sich drei Einzelbootsstege, davon einer in einer künstlichen Bucht, sowie eine kleine Badestelle. Nördlich des Schwentineabflusses befindet sich ein Jagdsitz im Röhricht. Die übrigen Bereiche werden entweder durch Wald (Nordufer, südliches Westufer) oder überwiegend artenarmes Grünland eingenommen. Nördlich der Schwentinemündung gibt es eine etwa 10 m breite Badestelle. Insgesamt ist die Erholungsnutzung am Stendorfer See gering. Er wird überwiegend von Anwohnern genutzt.

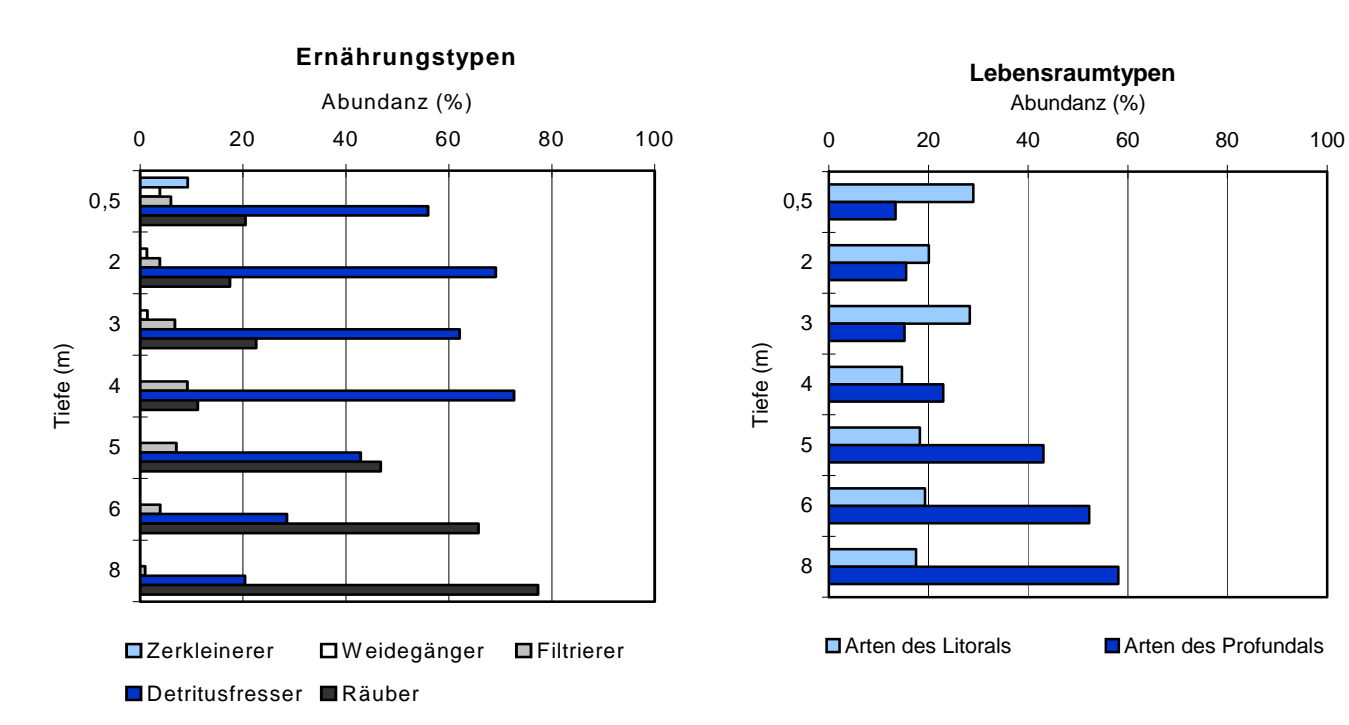


Abbildung 13: Das Makrozoobenthos im Stendorfer See; Abundanz als Anteil an der Gesamtindividuenzahl der Ernährungs- und Lebensraumtypen in den verschiedenen Wassertiefen

Im **Einzugsgebiet** des Stendorfer Sees wird etwa die Hälfte der Fläche landwirtschaftlich genutzt, davon 70 % als Acker, 30 % als Grünland. 4,2 % der Fläche sind Wasserflächen, etwa 2,5 % sind Siedlung. Der Waldanteil ist mit 41 % sehr hoch. Die Zahl der Großvieheinheiten lag mit durchschnittlich 0,70 GVE/ha landwirtschaftlich genutzter Fläche eher hoch.

**Abwasser** erhält der Stendorfer See aus 15 Hauskläranlagen mit insgesamt 96 EW des Ortes Kasseedorf sowie 15 Hauskläranlagen mit 158 EW aus Bergfeld.

### Belastungssituation des Sees

Aufgrund der Flächennutzung und der Abwasserbeseitigung im Einzugsgebiet sowie der Niederschlagsbeschaffenheit werden im Folgenden die Einträge der Nährstoffe Phosphor und Stickstoff in den Stendorfer See grob abgeschätzt (Abbildung 14 und Tabelle 4).

Tabelle 4: Einträge von Phosphor und Stickstoff in den Stendorfer See aus verschiedenen Quellen (Abschätzung gemäß Kapitel Auswertungsmethoden)

Flächennutzung	[ha] bzw.	[kg/ha a] bzw.	P-Eintrag	[kg/ha a] bzw.	N-Eintrag
	Stück	[kg/GVE a]	[kg/a]	[kg/DE al	[kg/a]
Wasserflächen	79				
Acker	668	0,5	334	20	13.360
Grünland	291	0,2	58	10	2.910
Großvieheinheiten	671	0,20	134	0,9	604
Moor	10	0,2	2	10	100
Wald	765	0,05	38	7	5.355
Siedlung	46	0,8	35	13	598
Andere Nutzuna	1	0.1	0	10	10
Summe	1.860		601		22.937
Niederschlag	54	0,15	8	12	648
auf die Seefläche					
Punktquellen	Einleitmenge	P-Konzentration	P-Eintrag	N-Konzentration	N-Eintrag
Schmutzwasser		[ma/l]	[ka/a]	[ma/l]	[kg/a]
KA Kasseedorf	36.000	0,5	18	40	1440
Haus-KAś Kasseedorf	5.256	8	42	80	420
Haus-KAś Bergfeld	8.650	8	69	80	692
Summe			129		2.552
Gesamteintrag in den See			Phosphor		Stickstoff
Summe [kg/a]		738,5		26.137	
g/m² a (bezogen auf Seef		1,37		48,40	
kg/ha a (bezogen auf Land	dfläche)		0,40		13,76

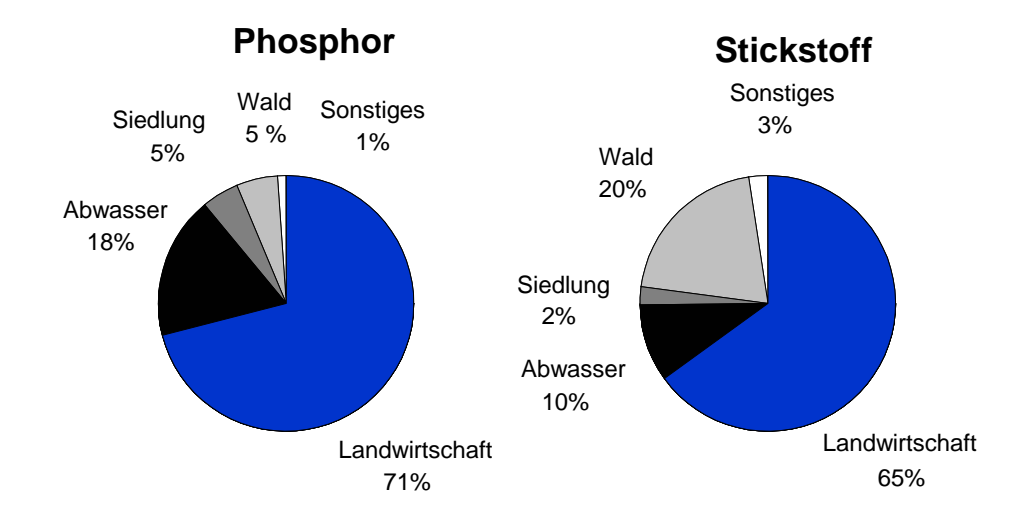


Abbildung 14: Quellen für Phosphor- und Stickstoffeinträge in den Stendorfer See

Die Einträge aus dem Einzugsgebiet und durch Niederschlag lagen insgesamt bei 739 kg/a Phosphor und bei 26,1 t/a Stickstoff. Die Hauptquelle beim Phosphor (ca. 71 %) und beim Stickstoff (65 %) stellt die landwirtschaftliche Flächennutzung dar. Aber auch die Abwasserbeseitigung hat mit 18 % der Phosphor-Belastung und fast 10 % der Stickstoffbelastung noch einen relativ hohen Anteil an dem Nährstoffeintrag. Mit jährlich 1,37 g Phos-

phor pro m² Seefläche ist die Flächenbelastung des Stendorfer Sees relativ hoch.

Die Berechnung der zu erwartenden Phosphorkonzentration nach VOLLENWEIDER & KEREKES (1980) anhand der Phosphoreinträge kann für den Stendorfer See nur mit Vorbehalt erfolgen, da der See stark durchströmt ist:

$$PE = \frac{L * Tw}{z (1 + \sqrt{Tw})}$$

 $P_{E:}$  : = erwartete Phosphor-Konzentration im See (mg/l)

L : 1,37 = jährliche Phosphor-Belastung pro Seefläche (g/a·m²)

Tw : 0,36 = theoretische Wasseraufenthaltszeit (a)

z : 3.9 = mittlere Tiefe des Sees (m)

$$PE = \frac{1,37 * 0,36}{3,9 (1+\sqrt{0,36})} = 0,08 \text{ mg/l P}$$

Die zu erwartende Phosphorkonzentration lag mit 0,08 mg/l Phosphor bei der im Frühjahr gemessenen Konzentration (0,082 mg/l P). Da der See aber stark durchströmt ist und die Phosphorkonzentrationen im See im Lauf des Jahres auf das dreifache anstiegen, ist die Relevanz dieser Aussage fraglich. Ob der Stendorfer See nun als Phosphor-Quelle oder Senke wirkt, kann letzten Endes nur durch Messungen in der Schwentine und/oder genauere Messungen im See bestimmt werden. Eine Abschätzung der Bilanzgrößen, die aber wegen der starken Durchströmung und der

geringen räumlichen und zeitlichen Probedichte nur eine sehr grobe Einschätzung sein kann, weist darauf hin, dass der Stendorfer See übers Jahr betrachtet als schwache Quelle für Phosphor bzw. neutral wirkt (LANU 2005).

### **Bewertung**

Der Stendorfer See besitzt ein im Verhältnis zu seiner Seefläche recht großes Einzugsgebiet und damit von Natur aus die Voraussetzung für einen eher nährstoffreichen Zustand. Die derzeitige jährliche Nährstoffbelastung ist mit 1,37 g/m $^2$  Seefläche P und 48,4 g/m $^2$  N hoch.

Durch seine instabile Schichtung und die Abhängigkeit vom zufließendem Schwentinewasser waren die Umsatzprozesse relativ instabil (zeitweilig sehr hohe Chlorophyllkonzentrationen, intensive Denitrifikation) und wiesen vergleichsweise starke Schwankungen auf. Durch die temporäre Auflösung der Schichtung wurden das Algenwachstum immer wieder intensiviert.

Die Phytoplanktonentwicklung wurde überwiegend durch das Wirken abiotischer Faktoren (P-Rezirkulierung, N-Limitation durch Denitrifikation) bestimmt, während das Zooplankton auf das Algenwachstum keinen sichtbaren Einfluss hatte.

Die Ufervegetation des Stendorfer Sees zeigt zwar deutliche Eutrophierungserscheinungen, weist mit Unterwasserpflanzen-, Schwimmblatt- und Röhrichtzone eine relativ intakte, nur wenig durch Erholungsnutzung oder Beweidung beeinträchtigte Zonierung auf.

Der Stendorfer See wurde bereits 1983 vom LANDESAMT FÜR WASSERHAUSHALT UND KÜSTEN SCHLESWIG-HOLSTEIN (1993) untersucht. Wegen der unterschiedlichen Methodik, der insgesamt sehr großen Schwankungen in diesem See und der 2002 extremen Witterungsverhältnisse ist ein Vergleich der Daten nur bedingt möglich. Deutliche Unterschiede gibt es in der Ausdehnung der Unterwasserpflanzen, die 1983 nahezu völlig fehlten, 2002 jedoch in allen Uferbereichen Wassertiefen bis 2 m besiedelten. Dies deutet auf eine merkliche Verringerung der Wassertrübung und damit der Trophie hin.

### **Empfehlungen**

Nach dem Bewertungsschema der LAWA (1998) wäre der potentielle trophische Zustand dieses Sees schwach eutroph (e1), sein gegenwärtiger Zustand ist schwach polytroph (p1). Der anzustrebende Zustand, der dem guten ökologischen Zustand nach Wasserrahmenrichtlinie entspricht, wäre hoch eutroph (eu2). Um diesen Zustand zu erreichen, müsste die jährliche Phosphorbelastung auf etwa 1,0 g/m² Seefläche, d.h. um etwa 180 kg P, verringert werden. Folgende Möglichkeiten werden empfohlen:

- Die Belastung durch Abwasser hat mit 18 % einen verhältnismäßig großen Anteil an der P-Belastung des Sees, wobei die Hauskläranlagen den größten Anteil haben. Hier sollte als erstes geprüft werden, ob der Anschluss an die Kläranlage Kasseedorf eine finanziell realisierbare Möglichkeit darstellt. Wo dies in weiter entfernten Gehöften nicht möglich ist, sollte die Verbesserung der Klärtechnik angeregt und gefördert werden.
- Die Kläranlage Kasseedorf entwässert über einen Graben direkt in den Stendorfer See. Hier könnte geprüft werden, inwieweit eine Nitrifizierung des Ablaufs mit gezielter Einleitung über dem Seegrund sich positiv auf das Phosphorbindungsvermögen des Sees auswirken kann. Hierzu sollte eine separate Studie durchgeführt werden.
- Den größten Teil an der Belastung macht die landwirtschaftliche Flächennutzung aus. Durch Gewässerrand- und Pufferstreifen könnte insbesondere im gefällereichen Oberlauf der Schwentine der Phosphoreintrag erheblich verringert werden. An Strecken wie der zwischen Voßberg und Kasseedorf, aber auch der gefällereichen Strecke oberhalb von Kasseedorf (soweit nicht bereits extensiv genutzt) wäre die Anlage solcher Randstreifen besonders effektiv.
- Insbesondere durch die direkt an den See angrenzenden Flächen kann es zu Nährstoffeinträgen kommen. Daher sollten die zwischen Kasseedorf und Stendorfer See an der Schwentine gelegenen entwässerten Grünlandflächen (ca. 30 ha), die vermutlich ehemalige Niedermoorflächen sind, extensiviert und der Grundwasserspiegel angehoben werden. Insbesondere die nach STUHR (2002) brachliegenden Flächen südlich der Schwentinemündung, die allerdings nur einen relativ kleinen Anteil ausmachen, bieten sich hierfür an. Ähnliches gilt für das am Südwestufer gelegene Feuchtgrünland, deren Entwässerungsgräben jetzt direkt in den See münden.

## Sibbersdorfer See (2002)

Topographische Karte (1 : 25.000):	1829
Flusssystem:	Schwentine, Ostsee
Kreis:	Eutin
Gemeinde:	Fissau/Sibbersdorf
Eigentümer:	Land Schleswig-Holstein
Pächter:	Gewerblicher Fischer
Lage des oberirdischen Einzugsgebietes:	
Rechtswerte:	401040 - 441840
Hochwerte:	600226 - 601000
Höchster Wasserstand (Abflussjahr 2002, m ü.NN):	-
Mittlerer Wasserstand (Abflussjahr 2002, m ü.NN):	-
Niedrigster Wasserstand (Abflussjahr 2002, m ü.NN):	-
Größe des oberirdischen Einzugsgebietes (km²):	31,9
Teileinzugsgebiet (km²):	13,4
Seefläche (km²):	0,55
Seevolumen (Mio. m³) bei 26,9 m ü.NN:	1,93
Maximale Tiefe (m):	5,8
Mittlere Tiefe (m):	3,4
Uferlänge (km):	3,8
Theoretische Wasseraufenthaltszeit (a):	0,19
(bei einem geschätzten Abfluss von 10 l/(s·km²))	
Umgebungsarealfaktor (m²/m²):	56,8
Umgebungsvolumenfaktor (m²/m³):	16,4
Uferentwicklung:	1,4
Hypolimnion/Epilimnion (m³/m³):	-
Mischungsverhalten:	instabile Schichtung
Seetyp	11

## **Entstehung**

Die eiszeitliche Entstehung des Sibbersdorfer Sees nach GRIPP (1953) ist in LANDESAMT FÜR WASSERHAUSHALT UND KÜSTEN SCHLESWIG-HOLSTEIN (1993) dargestellt: die aus Osten vorstoßende Eutiner Gletscherzunge schob das ehemalige große Becken des Kellersees aus, das den Sibbersdorfer, den Stendorfer und den Großen und Kleinen Eutiner See umfasste. Durch weniger mächtige Moränen folgender Eisvorstöße wurden diese Seen später vom Becken des heutigen Kellersees abgetrennt.

## Einzugsgebiet und Morphologie des Sees

Der Sibbersdorfer See ist der zweite größere See, der von der Schwentine durchflossen wird. Die Fließstrecke zwischen diesen beiden Seen beträgt etwa 4 km, wobei auf der Hälfte der Strecke ein weiteres Fließgewässer einmündet, das den Sagauer See entwässert (Abbildung 15). Die Fläche des oberirdischen Teileinzugsgebiets des Sibbersdorfer Sees beträgt 13,4 km². Das gesamte Einzugsgebiet ist 31,9 km² groß und beträgt damit das 57fache seiner Seefläche (0,55 km²). Auch im Verhältnis zum Volumen ist das Einzugsgebiet des Sibbersdorfer Sees größer als das des stromaufwärts gelegenen Stendorfer Sees.

Seine direkte Umgebung ist vor allem durch Grünlandnutzung, im Süden auch durch Acker, geprägt. Die unversiegelten Böden des Einzugsgebiets bestehen im Norden überwiegend aus Geschiebelehm, im Süden aus sandigen Ablagerungen, im Westen und Osten befindet sich mariner Sand über Niedermoor.

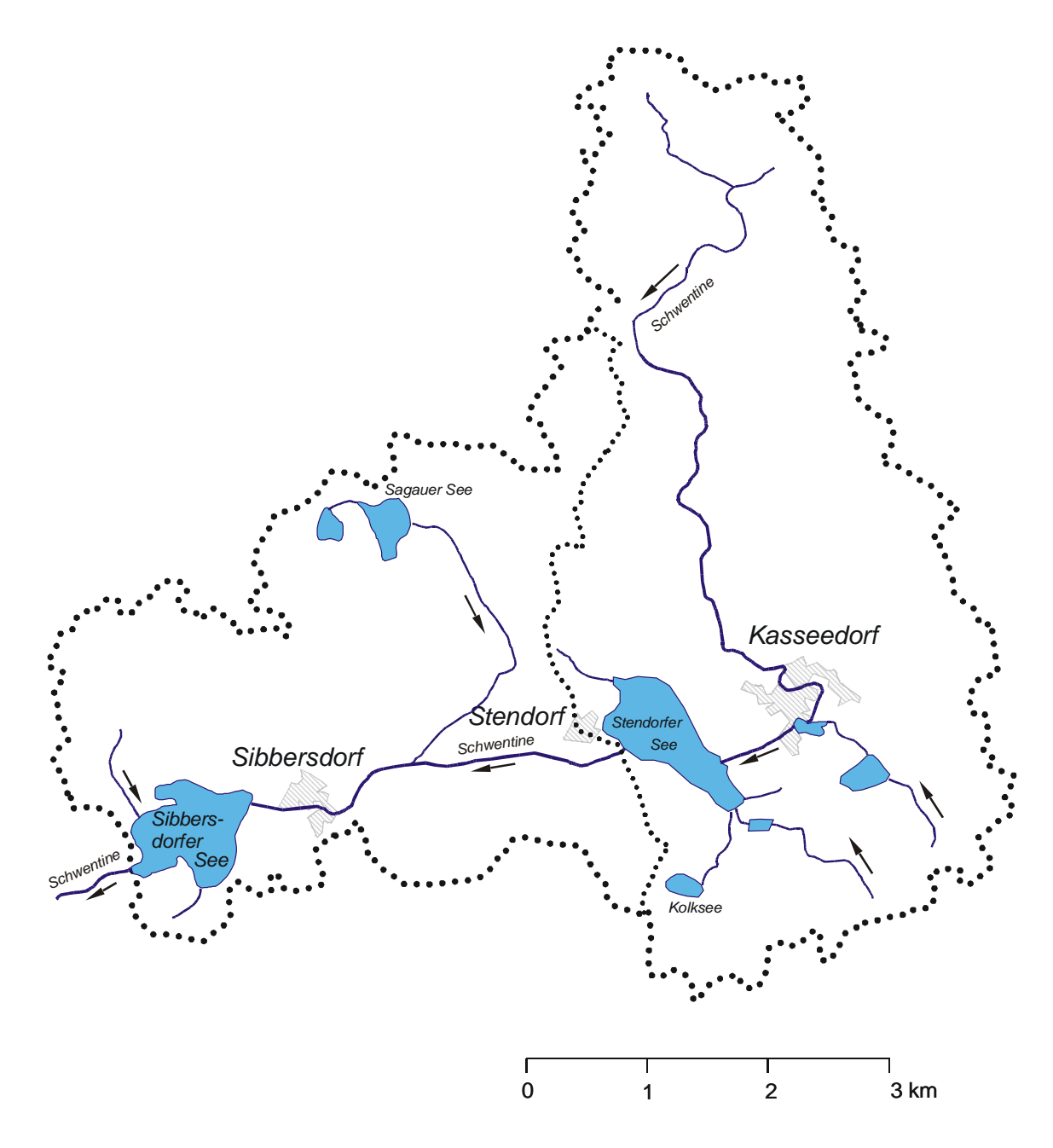


Abbildung 15: Einzugsgebiet des Sibbersdorfer Sees

Die Schwentine mündet im Nordosten in den See und verlässt ihn wieder am Südufer (Abbildung 15). Weitere, sehr viel kleinere Zuflüsse gibt es im Süden sowie im Norden des Sees. Die auf Grund der Einzugsgebietsgröße bei einer zu Grunde gelegten Abflussspende von 10 l/s·km² berechnete theoretische Wasseraufenthaltszeit ist mit 0,19 Jahren (entspricht 2,3 Monate) sehr kurz.

In Abbildung 16 sind die Temperatur- und Niederschlagsverhältnisse an der Messstation Eutin dargestellt. Das Jahr 2002 war insgesamt wärmer als im langjährigen Mittel, insbesondere Januar und Februar, aber auch der August, wiesen überdurchschnittlich hohe Temperaturen auf. 2002 war gleichzeitig ein sehr nasses Jahr, die Niederschlagssumme lag an der Messstelle Eutin 44 % über dem langjährigen Mittelwert. Besonders viel Regen fiel im Februar und vor allem im Juli, der sich durch mehrere extreme Starkregenereignisse auszeichnete.

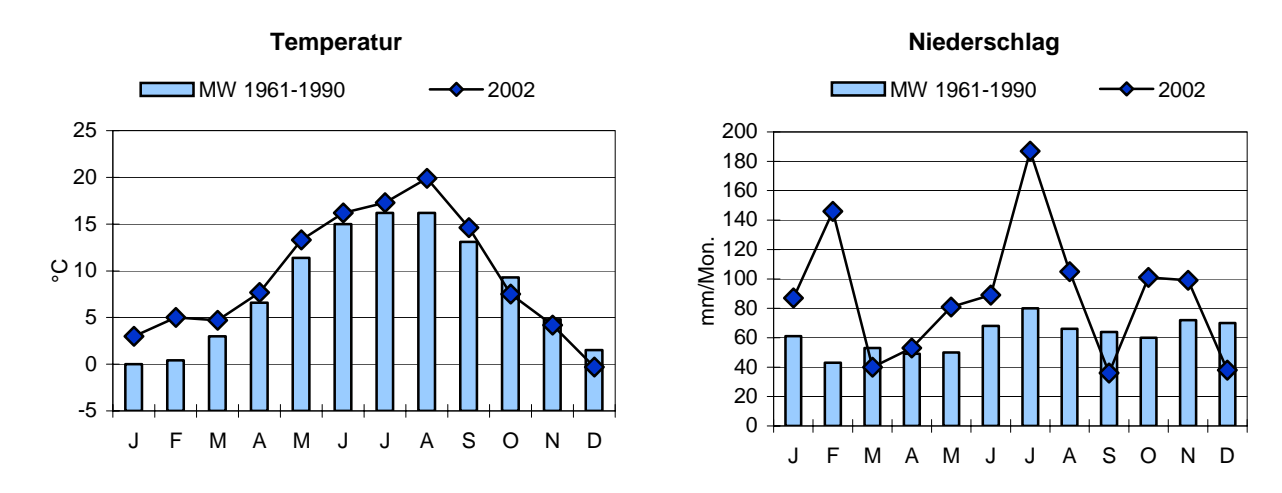


Abbildung 16: Mittlere Monatstemperaturen und monatliche Niederschlagshöhen für 2002 an der Messstation Eutin im Vergleich zum langjährigen Mittel 1961/90

Die Fläche des Sibbersdorfer Sees bildet annähernd ein Quadrat, bei dem die Ecken als Buchten ausgebildet sind. Vor der nordöstlichen Bucht befindet sich eine Insel. Die Ufer fallen zunächst steil ab, bevor der Seeboden relativ eben verläuft,

so dass ein pfannenförmiges Becken entsteht. Die tiefsten Bereiche (5,8 m) liegen etwa in der Mitte (Abbildung 17).

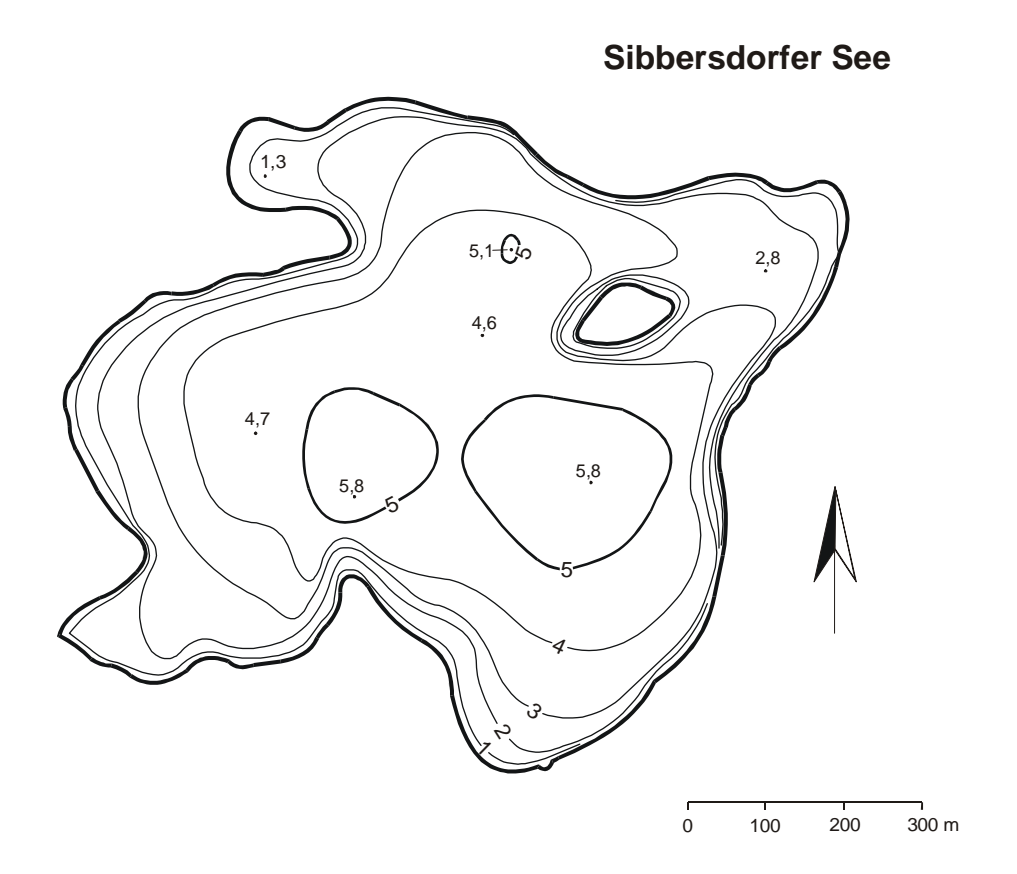


Abbildung 17: Tiefenplan des Sibbersdorfer Sees

Der Sibbersdorfer See wies 2002 nur eine sehr schwach ausgeprägte Temperaturschichtung auf (über 17 °C im Tiefenwasser). Lediglich im August war, verursacht durch die hohe Lufttemperatur und entsprechende Temperaturen im Oberflächenwasser, eine deutliche Schichtung vorhanden. Er entspricht damit dem Typ 11 der Wasserrahmenrichtlinie (MATHES et al. 2002).

#### Ufer

Die Ufervegetation des Sibbersdorfer Sees wurde im Auftrag des Landesamtes von STUHR (2002) grob erfasst. Die folgenden Ausführungen sind seinem Bericht entnommen.

Ufergehölze sind am Sibbersdorfer See nur am Nordufer, im Bereich der Landzunge im Nordwesten sowie in Südwesten und Südosten als mehr oder weniger geschlossene und meist nur schmale Säume vorhanden. Am Ostufer ist streckenweise zwischen Weidegrünland und Ufer ein Brachestreifen abgetrennt, auf dem vermehrt Gehölze wachsen. Am nördlichen Westufer und am westlichen Südufer sind kleinflächig zwei Bruchwälder bzw. Brüche entwickelt. Der Unterwuchs der von Schwarzerle Alnus glutinosa und z.T. Grauweide Salix cinerea gebildeten Gehölze ist von Nässezeigern geprägt, darunter Sumpfsegge Carex acutiformis, Wasserminze Mentha aquatica, Sumpfschwertlilie Iris pseudacorus, Uferwolfstrapp Lycopus europaeus und Bittersüßer Nachtschatten Solanum dulcamara. Zudem finden sich in der nördlichen Fläche Bestände des nach der Roten Liste der Farn- und Blütenpflanzen Schleswig-Holsteins (MIERWALD & BELLER 1990) gefährdeten Sumpffarns Thelypteris palustris (RL 3).

Artenreiches Feuchtgrünland findet sich entlang des gesamten Westufers, meist als mehr oder weniger schmaler Streifen zwischen den Grünlandflächen und dem Röhricht. Insbesondere an der Bucht am Nordwestufer dehnt sich eine derartige Fläche auf gut 1 ha Größe aus und weist zahlreiche gefährdete Arten auf, darunter Sumpfsternmiere Stellaria palustris (RL 3), Schildehrenpreis Veronica scutellata (RL 3), Sumpfdreizack Triglochin palustre (RL 3), Fieberklee Menyanthes trifoliata (RL 3), Zungenhahnenfuß Ranunculus lingua (RL 3) und Straußgilbweiderich Lysimachia thyrsiflora (RL 3).

Der **Röhrichtgürtel** ist am Sibbersdorfer See trotz vieler kleiner Lücken auf etwa auf 80 – 90 % der Uferlinie ausgebildet. Neben dem Schilf *Phragmites australis* bilden in einzelnen Uferbereichen weitere Arten Dominanzbestände. So ist am

Westufer z.T. der beweidungsresistentere Kalmus Acorus calamus die aspektprägende Art und bildet dort einen etwa 6 m breiten Saum. Schmalblättriger Rohrkolben Typha angustifolia und Seebinse Schoenoplectus lacustris sind vielfach dem Schilfröhricht seewärts saumartig vorgelagert, Sumpfsegge Carex acutiformis, Ästiger Igelkolben Sparganium erectum und Wasserschwaden Glyceria maxima dominieren vielerorts den Flachwasserbereich bis um 0.5 m Wassertiefe. Die Großröhrichte besiedeln Wassertiefen bis um 1 m, ihre Breite liegt meist um 5 m, nur im Nordwesten sind sie mit 10 - 15 m z.T. breiter entwickelt. Bestandsrückgänge des Schilfsröhrichts wurden um die Möweninsel herum beobachtet, die gegenwärtig fast ohne Wasserröhricht ist.

Eine **Schwimmblattzone** in großflächiger Ausprägung existiert v.a. im Nordwesten des Sees, wo Bestände der Gelben Teichrose *Nuphar lutea* in einer Bucht auf über 100 m Länge und in Breiten bis um 30 m entwickelt sind. Weitere kleinere Vorkommen, auch zusammen mit der Weißen Seerose *Nymphaea alba*, finden sich im Südwesten vor dem Schwentineablauf und im Südosten. Die Schwimmblattbestände dehnen sich meist bis um 1 m, max. bis 1,4 m Wassertiefe aus.

Die Besiedlung mit Unterwasserpflanzen ist teilweise nur spärlich, in vielen Uferbereichen dominieren Bestände fädiger Grünalgen. Insgesamt wurden neun Arten gefunden. Eine recht häufige Tauchblattart ist der Sumpfteichfaden Zannichellia palustris, der fast im gesamten Gewässer regelmäßig anzutreffen ist. Nicht selten ist zudem das Kammlaichkraut Potamogeton pectinatus, das v.a. am ehemals beweideten nördlichen Ostufer auftrat. Weitere Arten wurden eher vereinzelt bis max. 1,8 m Wassertiefe beobachtet, v.a. im Nordosten und im Nordwesten des Sees, darunter Krauses Laichkraut Potamogeton crispus, Spreizender Wasserhahnenfuß Ranunculus circinatus, Kanadische Wasserpest Elodea canadensis, Wasserstern Callitriche sp., Schwanenblume Butomus umbellatus und das gefährdete Zwerglaichkraut Potamogeton pusillus (RL 3). Mit 2 m Wassertiefe erreichte der Einfache Igelkolben Sparganium cf. emersum vor der Schwentineeinmündung die größte Siedlungstiefe submerser Arten. Armleuchteralgen wurden nicht gefunden.

Zwar hat sich die Besiedlung mit Unterwasserpflanzen im Sibbersdorfer See im Vergleich mit dem für 1983 konstatierten nahezu makrophytenlosen Zustand (LAWAKÜ 1993) wesentlich verbessert, die relativ geringe Artenzahl und spärliche Besiedlung bei den Tauchblattpflanzen sowie die häufige Dominanz fädiger Grünalgen weisen aber auf immer noch auf gestörte Verhältnisse, so dass die Unterwasservegetation nur als von mittlerer Bedeutung eingestuft werden kann. In seinem Wert höher einzuschätzen ist der breit ausgebildete und naturnahe Verlandungsbereich im Nordwesten des Sees, der neben einer schön ausgebildeten Zonierung mit Schwimmblatt- und Röhrichtgürtel landseitig auch großflächig Feuchtgrünland mit zahlreichen gefährdeten Arten aufweist.

#### **Freiwasser**

Der Sibbersdorfer See wies im Sommer eine relativ schwache thermische Schichtung auf (Abbildung 18). Bei Calciumkonzentrationen um 81 mg/l (Frühjahr) war der See mit einer Säurekapazität zwischen 3,1 und 3,8 mmol/l (Oberflächenwasser) sehr gut gepuffert. Die pH-Werte lagen zwischen 8,5 und 9,0. Die elektrische Leitfähigkeit schwankte mit Werten zwischen 39 und 49 mS/m, war insgesamt aber eher gering.

Die Gesamtphosphorkonzentrationen lagen mit 0,092 mg/l P im Frühjahr in einem mittleren Bereich, stiegen im Verlauf des Sommers jedoch auf den sehr hohen Wert von 0,3 mg/l P (Abbildung 29). Die Stickstoffkonzentrationen lagen mit einem Frühjahrswert von 3,4 mg/l N relativ hoch. Anorganisch gelöster Phosphor war stets vorhanden. Stickstoff stellte möglicherweise bereits im Juni den Minimumfaktor dar.

Bereits Ende Februar zeigte sich im Sibbersdorfer See bei Sichttiefen von 0,6 m der Beginn der Entwicklung einer Frühjahrsblüte, die ein Biovolumen von 19,5 mm³/l bzw. ein Chlorophyll a-Gehalt von 59  $\mu$ g/l erreichte (Abbildung 20). Das Phytoplankton bestand fast ausschließlich aus centrischen Kieselalgen, insbesondere Stephanodiscus-Arten, die trotz stetem Zustrom von Schwentinewasser die Silikatkonzentrationen auf unter 3 mg/l senken konnten (SPETH & SPETH 2002). Bei Gesamtphosphorkonzentrationen von 0,092 mg/l P war der Anteil des anorganisch gelösten Phosphats entsprechend gering (0,011 mg/l P). Anorganischer Stickstoff war als Nitrat noch reichlich vorhanden (2,3 mg/l N), erhöhte Nitritkonzentrationen (0,022 mg/l N) wiesen aber bereits auf Denitrifikationsprozesse hin. Obwohl der See vollständig durchmischt schien, wies das Tiefenwasser bereits eine leichte Sauerstoffuntersättigung auf (97 %). Zooplankton, ebenfalls von SPETH & SPETH (2002) analysiert, spielte im Februar noch keine Rolle. Lediglich Wimpertierchen erreichten eine gewisse Häufigkeit.

Mitte **Juni** erreichte die Biomasse des Phytoplanktons ein geringfügig niedrigeres Niveau (53  $\mu$ g/l Chlorophyll a, 9,9 mm³/l Biovolumen), es bestand nun überwiegend aus Cryptophyceen der Gattung *Cryptomonas* . Nun traten vermehrt Rädertiere

auf, unter den Blattfußkrebsen war Bosmina coregoni häufiger. Die Gesamtphosphorkonzentrationen waren auf 0,15 mg/l P gestiegen. Der Gesamtstickstoff lag überwiegend in organischer Form vor, während Nitrat kaum noch vorhanden war. Vermutlich führten intensive Denitrifikationsprozesse im flussaufwärts gelegenen Stendorfer See sowie auf der sich anschliessenden Fließstrecke, zu einer drastischen Verringerung der Gesamtstickstoffkonzentration von 3,4 auf 1,5 mg/l N. Die Intensität der Zehrungsprozesse ist an der Sauerstoffuntersättigung ab 3 m Wassertiefe erkennbar, die, obwohl kaum ein Temperaturunterschied zwischen Oberflächen- und Tiefenwasser bestand, bei 5 m Wassertiefe nur noch etwa 50 % betrug. Da bei den meisten Nährstoffen noch kein deutlicher Gradient ausgeprägt war, bestand die Schichtung vermutlich noch nicht sehr lange.

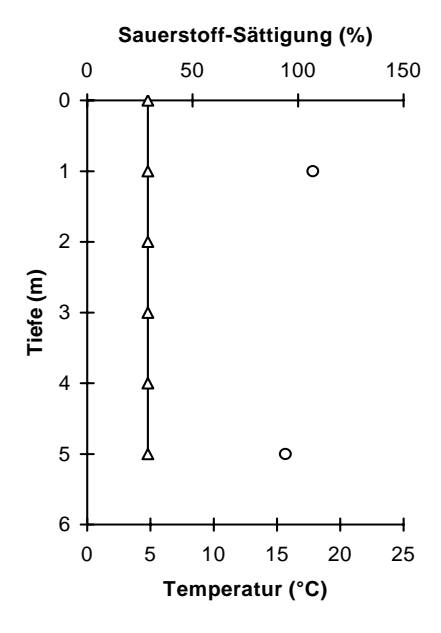
Im August hatte sich mit 100  $\mu$ g/l Chlorophyll a und einem Biovolumen von 21 mm³/l eine hohe Phytoplanktonbiomasse gebildet, die zu über 40 % aus Cyanobakterien der Gattung Microcystis und der zur Stickstofffixierung befähigten Art Anabaena spiroides bestand. Neben Cyanobakterien wurde die Phytoplanktongemeinschaft durch zentrale Kieselalgen und Cryptophyceen dominiert. Im Zooplankton wurden vermehrt Blattfußkrebse, darunter neben Bosmina coregoni auch Chydorus sphaericus sowie Daphnia cucullata und Vertreter des D.-longispina-Komplexes gefunden. Auch Ruderfußkrebse, insbesondere cyclopoide Vertreter, erreichten im August ihre höchste Individuendichte. Der anorganische Stickstoff war völlig aufgezehrt, sodass ein Wechsel von P- zu N-Limitation zu verzeichnen war. Das Tiefenwasser war bis zu einer Wassertiefe von 4 m sauerstofffrei, die Temperaturschichtung war jetzt mit einer Differenz von 3,6 °C etwas größer. Trotz der instabilen Schichtungsverhältnisse hatte sich bei den meisten Nährstoffen jetzt ein deutlicher Gradient eingestellt. Auffällig ist insbesondere die Zunahme des Orthophosphats im Tiefenwasser auf 0,24 mg/l P.

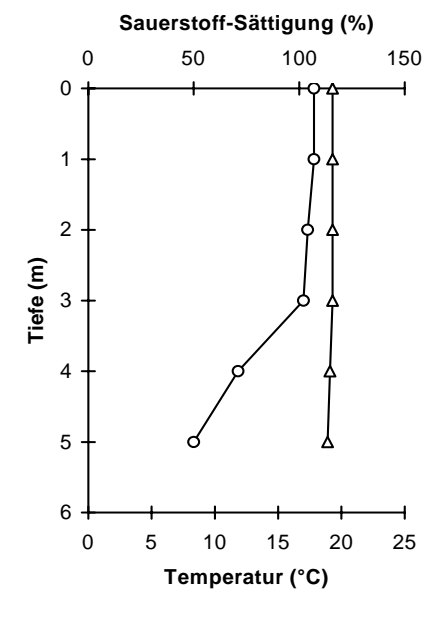
Im September war der Sibbersdorfer See schon wieder weitgehend durchmischt. Die Phytoplanktonbiomasse nahm im Vergleich zum Vormonat weiter zu (126  $\mu$ g/l Chlorophyll a). Blaualgen machten jetzt 93 % der Biomasse aus, wobei Microcystis spp., vor allem M. aeruginosa, dominierten. Blattfußkrebse waren immer noch in vergleichsweise hoher Dichte vertreten. Der Anstieg des Phosphorgehaltes auf 0,3 mg/l P wurde vermutlich teils durch den Anstieg des Phosphorgehaltes in der Schwentine (siehe Stendorfer See) sowie teils durch die Einmischung von phosphorreichem Tiefenwasser mit Auflösung der thermischen Schichtung verursacht. Bei minimalen Sichttiefen von 0,5 m wurde das Phytoplankton wahrscheinlich nicht nur durch Stickstofflimitation

scheinlich nicht nur durch Stickstofflimitation sondern auch durch die geringe Lichtverfügbarkeit in seinem Wachstum begrenzt.

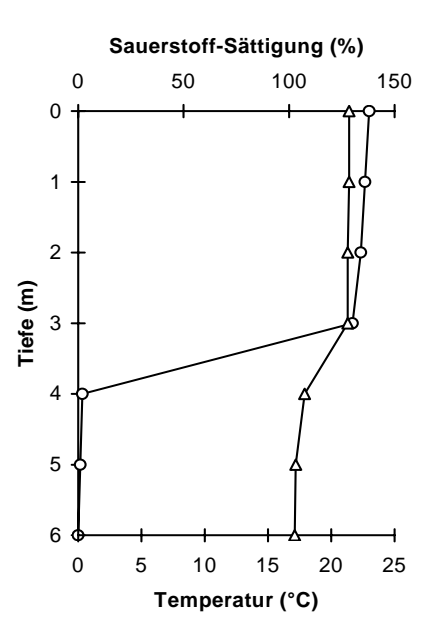
Insgesamt war der Stoffumsatz im Freiwasser des Sibbersdorfer Sees durch das zufließende Schwentinewasser geprägt, das den See zumindest im Sommer mit recht hohen Planktondichten und einem vergleichsweise niedrigen N/P-Verhältnis erreichte. Bereits im Juni gelangte das N/P-Verhältnis in einen Bereich, in dem Phosphor limi-

tierend wirken kann, im August traten stickstofffixierende Cyanobakterien auf. Die Nährstoffe im Tiefenwasser zeigten intensive Zehrungsprozesse an. Durch erhöhte Nährstoffeinträge aus dem Einzugsgebiet lagen die Gesamtphosphorkonzentrationen im Sibbersdorfer See deutlich höher als im Stendorfer See. Der Sibbersdorfer See war aber vermutlich in allen Bereichen besser durchmischt, so dass die Erhöhung der Phosphor- und Ammoniumkonzentrationen im Tiefenwasser dort im September weniger deutlich war.

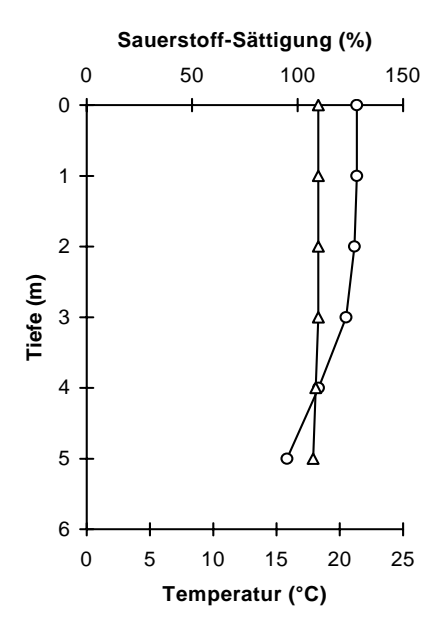




## **Februar**



## Juni



August September

Abbildung 18: Tiefenprofile von Temperatur (°C) und Sauerstoff-Sättigung (%) im Sibbersdorfer See im Frühjahr und Sommer 2002

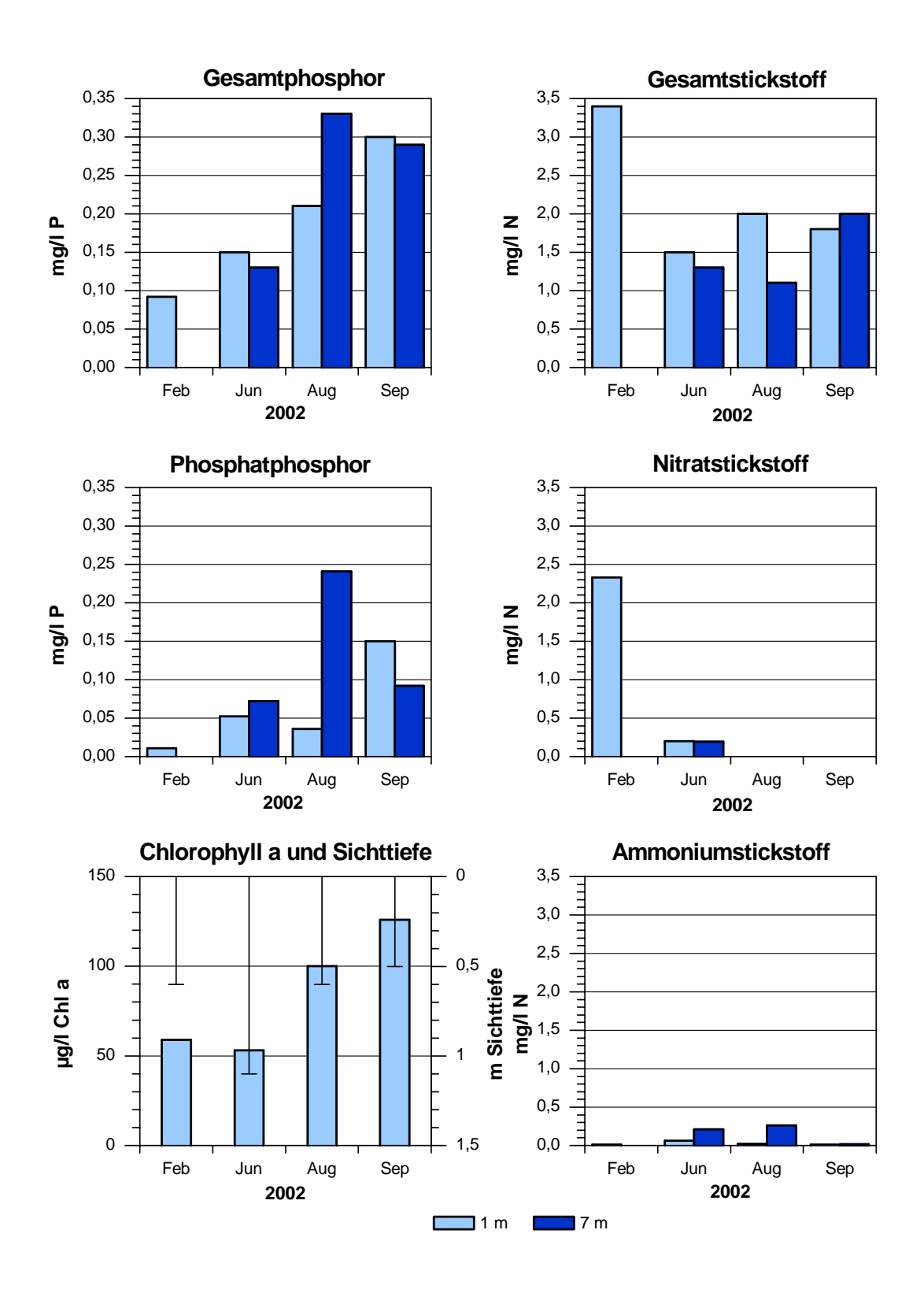


Abbildung 19: Gesamtphosphor (mg/l P), Gesamtstickstoff (mg/l N), Phosphat (mg/l P), Nitrat (mg/l N), Ammonium (mg/l N) sowie Chlorophyll a ( $\mu$ g/l) und Sichttiefen (m) im Sibbersdorfer See 2002

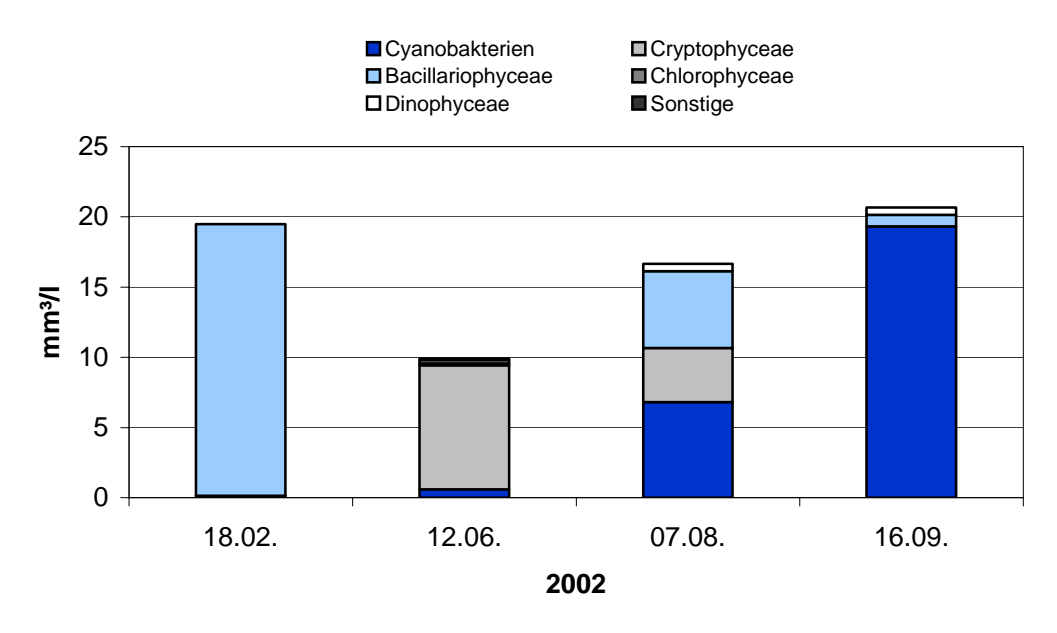


Abbildung 20: Biovolumen der Phytoplanktongruppen (mm³/l) im Sibbersdorfer See 2002

Das Phytoplankton wies im Sibbersdorfer See, besonders aber im Februar, deutlich höhere Dichten mit höheren Chlorophyllkonzentrationen und geringeren Sichttiefen auf als im Stendorfer See. Es zeigte hinsichtlich seiner dominanten Gruppen (Bacillariophyceae, Cyanobakterien, Cryptophyceae und Dinophyceae) sowie dem geringen Anteil an Grünalgen eine gewisse Ähnlichkeit mit der Phytoplanktonzusammensetzung des flussaufwärts liegenden Sees. Die absolute Phytoplanktonbiomasse und die relativen Anteile der einzelnen Gruppen sowie des Artenspektrums innerhalb der Gruppen unterschieden sich jedoch deutlich. Das Gesamtbiovolumen lag im Sibbersdorfer See bereits im Februar deutlich höher als im Stendorfer See und sank in diesem noch nährstoffreicheren See zu den Untersuchungsterminen nicht unter 10 mm<sup>3</sup>/l. Die Gruppe der Cyanobakterien wurde im Sibbersdorfer See im wesentlichen von Anabaena flos-aquae, Microcystis wesenbergii und Microcystis aeruginosa dominiert, während im Stendorfer See im August Aphanizomenon flosaquae und im September Microcystis wesenbergii auftraten. Im Zooplankton des Sibbersdorfer Sees waren im Gegensatz zu dem des Stendorfer Sees zwar zeitweilig auch größere Formen vorhanden, dies scheint jedoch wegen des intensiven Phytoplanktonwachstums nur einen geringen Einfluss auszuüben.

Nach Angaben von Anglern können im Sibbersdorfer See Aal, Barsch, Brassen, Hecht, Karpfen, Plötze, Schleie, Seeforelle, Weißfisch und Zander gefangen werden. Genauere Angaben zur Fischfauna liegen nicht vor.

Der Sibbersdorfer See wird bereits von OHLE (1959) erwähnt, der für seine Messwerte aber leider nicht den Messzeitpunkt angibt. Von den bei ihm erwähnten Messgrößen lagen Hydrogenkarbonat-, Chlorid- und Sulfatkonzentrationen in den 1950er Jahren in einem ähnlichen Bereich wie heute, während die 2002 gemessenen Leitfähigkeiten deutlich höher waren (elektrische Leitfähigkeit 1950er: 385  $\mu$ S/cm²0, heute: 440 mS/cm, Hydrogenkarbonat: 3,22 mval/l, Chlorid: 24,5 mg/l und Sulfat: 28,0 mg/l). Bereits damals gab es also eine deutliche Eutrophierung im Sibbersdorfer See.

## Seegrund

Die tierische Besiedlung des Sedimentes im Sibbersdorfer See wurde im Auftrag des Landesamtes von OTTO (2002) untersucht. Die folgenden Ausführungen sind seinem Bericht entnommen.

Am Sibbersdorfer See wurden entlang eines Transektes in 1, 2, 3, 4, 5 und 5,5 m Wassertiefe Benthosproben entnommen.

Insgesamt wurden 34 Taxa gefunden. Die artenreichsten Gruppen waren die Zuckmückenlarven (10 Taxa) und die Weichtiere (9 Taxa, davon 3 nur als Schalenfunde).

In allen Tiefen waren Wenigborster in großer Zahl vorhanden. Bei 1 m wurde die Schnecke *Potamopyrgus antipodarum* in großer Zahl gefunden. Weitere typische Vertreter der Uferzone waren zwei Arten von Egeln sowie Wasserspinnen,

5

5,5

■ Zerkleinerer ■ Filtrierer

Räuber

Arten von Egeln sowie Wasserspinnen, Wasserasseln Asellus aquaticus und Eintagsfliegenlarven Caenis horaria und Larven mehrerer Köcherfliegen-Arten. Bei 2 und 3 m Wassertiefe waren die Wasserasseln in großer Zahl vertreten, es kamen aber auch eine große Zahl typischer Vertreter der Tiefenzone, insbesondere die Zuckmückenlarven Procladius sp. und Chironomus cf. plumosus, hinzu (Abbildung 22). Unterhalb von 4 m Wassertiefe, dies entspricht der sauerstofffreien Zone im August 2002, nahm die Artenzahl drastisch ab. Es

dominierten die Wenigborster, daneben wurden Chaoborus flavicans, Procladius sp., Ch. cf. plumosus und weitere Zuckmückenlarven gefunden. Auch Ceratopogoniden erreichten teilweise höhere Dichten. An der tiefsten Stelle waren Wenigborster noch mit über 5200 Ind./m² vertreten, und auch Procladius sp. und Ch. cf. plumosus kam noch vor.

Insgesamt herrschten bereits ab 3 m Wassertiefe typische Vertreter der Tiefenzone vor.

# Abundanz (%) 0 20 40 60 80 100

Ernährungstypen

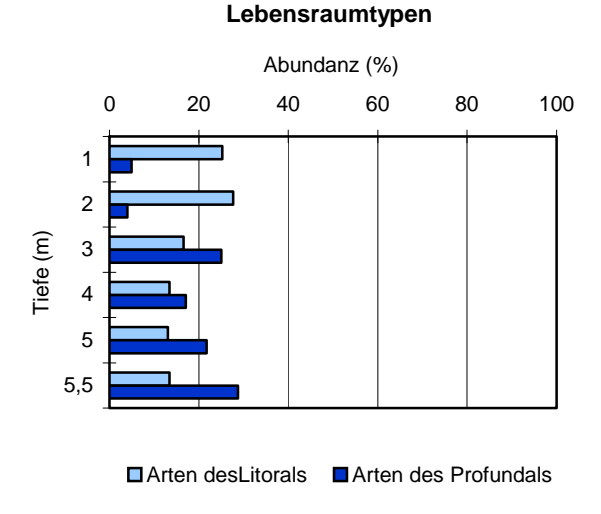


Abbildung 21: Benthos im Sibbersdorfer See; Abundanz als Anteil an der Gesamtindividuenzahl der Ernährungs- und Lebensraumtypen in den verschiedenen Wassertiefen

□Weidegänger

Detritusfresser

Wegen seiner geringen Tiefe ist der Sibbersdorfer See nach dem System von THIENEMANN (1922) nur eingeschränkt zu bewerten. Wegen des Vorkommens von *Chironomus plumosus* an der tiefsten Stelle kann er als *Chironomus*-See bezeichnet werden, andererseits deutet die geringe Ausdehnung des Litorals auf einen sehr nährstoffreichen See. Gegenüber den Untersuchungen des Landesamtes für Wasserhaushalt und Küsten Schleswig-Holstein (1993) von 1983 stellt OTTO keine deutliche Veränderungen fest.

# Nutzung des Sees und seines Einzugsgebietes

Die fischereiliche Nutzung des **See**s erfolgt durch einen gewerblichen Fischer. Angeln ist vom Boot aus möglich. Vom Mai bis September können Ruder- und Tretboote gemietet werden

Die Beschreibung der **Ufer**nutzung folgt STUHR (2002). Die Möwen-**Inseln**, die an den Fischereibetrieb verpachtet ist und von einer Möwenkolonie besiedelt ist, wird jährlich einmal gemäht. Das teils artenreiche Feuchtgrünland des westlichen Seeufers wird extensiv beweidet, in einigen Bereichen gibt es Viehtränken. In der südöstlichen Bucht

finden sich zwei Bootsstege, zwei weitere Stege sowie eine durchs Röhricht führende Zugangsstelle gibt es am Nordufer vor den Siedlungsgrundstücken. Vor den drei großen Grundstücken am südlichen Ostufer werden Schneisen im Röhricht als Bootsliegeplätze und –zugangsstellen genutzt, auf kurzen Strecken ist das Ufer mit Feldsteinen befestigt. Im Süden gibt es ein kleines Freizeitareal mit Rasenfläche und Bank. Direkt daneben befindet sich ein 7 m breite Viehtränke.

Das direkte Teil-Einzugsgebiet des Sees wird zu 75 % landwirtschaftlich (überwiegend als Acker) genutzt. Wald und Forst machen knapp 14 % aus, Gewässer nehmen 5,8 % der Fläche ein, 2,7 % der Fläche ist Siedlungsfläche. Die Zahl der Großvieheinheiten lag mit durchschnittlich 0,7 GVE/ha landwirtschaftlich genutzter Fläche mäßig hoch.

Abwasser erhält der Sibbersdorfer See aus 18 Hauskläranlagen (349 EW) der Gemeinde Sibbersdorf sowie 7 Hauskläranlagen (54 EW) der Gemeinde Sagau. Der Ablauf der Kläranlagen Sagau I und II mit einer Einleitmenge von zusammen 10.000 m³ jährlich erreicht über die Schwentine ebenfalls den See.

# Belastungssituation des Sees

Die Sibbersdorfer See ist Teil des FFH-Gebietes "Gebiet der Oberen Schwentine", das seit 2004 als FFH-Gebiet gemeldet worden ist.

Aufgrund der Flächennutzung und der Abwasserbeseitigung im Einzugsgebiet sowie der Niederschlagsbeschaffenheit werden im folgenden die Einträge der Nährstoffe Phosphor und Stickstoff in den Sibbersdorfer See grob abgeschätzt (Abbildung 22 und Tabelle 5).

Tabelle 5 :Einträge von Phosphor und Stickstoff in den Sibbersdorfer See aus verschiedenen Quellen (Abschätzung gemäß Kapitel Auswertungsmethoden)

Flächennutzung	[ha] bzw.	[kg/ha a] bzw.	P-Eintrag	[kg/ha a] bzw.	N-Eintrag
	Stück	[kg/GVE a]	[kg/a]	[kg/DE a]	[kg/a]
Wasserflächen	77				
Acker	809	0,5	405	20	16.180
Grünland	183	0,2	37	10	1.830
Großvieheinheiten	694	0,20	139	0,9	625
Moor	6	0,2	1,2	10	60
Wald	183	0,05	9,2	7,0	1.281
Siedlung	36	0,8	27	13	468
Andere Nutzung	31	0,05	1,6	10	310
Summe	1.325		619		20.754
			<u> </u>		
Niederschlag	55	0,15	8,3	12	660
auf die Seefläche					
Punktquellen	Einleitmenge	P-Konzentration	P-Eintrag	N-Konzentration	N-Eintrag
Schmutzwasser	[m³]	[mg/l]	[kg/a]	[mg/l]	[kg/a]
Sagau I	4.000	1,2	5	40	160
Sagau II	6.000	1,5	9	40	240
Haus-KA´s Sagau	2956	8	24	80	236
Haus-KA's Sibbersdorf	19.108	8	153	80	1529
Summe			190		2.165
	km²		Jahresmittelwerte		
aus Einzugsgebiet	10 5	0.12	750	1 2	11 660
aus Einzugsgebiet Schwentine	18,5	0,13	758	2	11.668
Schwentine		0,13		2	
Schwentine Gesamteintrag in den See		0,13	Phosphor	2	Stickstoff
Schwentine	9	0,13		2	

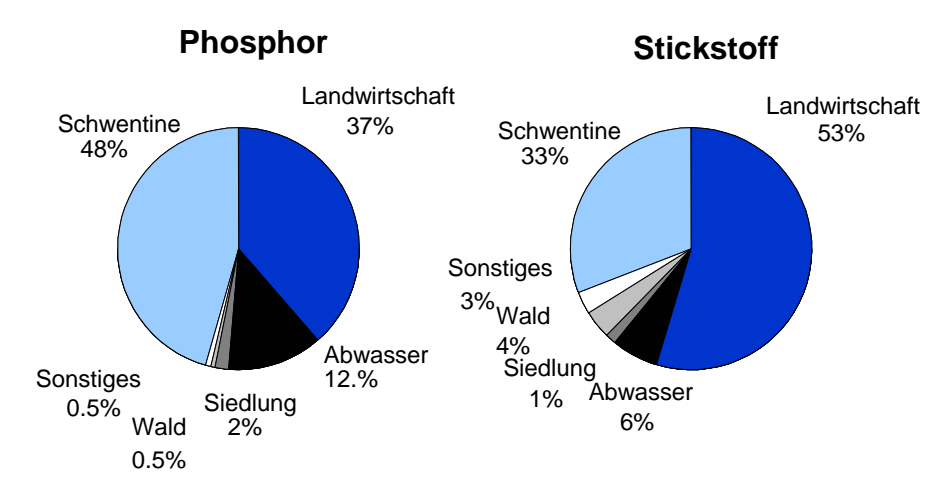


Abbildung 22: Quellen für Phosphor- und Stickstoffeinträge in den Sibbersdorfer See

Die Einträge aus dem Einzugsgebiet und durch Niederschlag lagen insgesamt bei 1,58 t/a Phosphor und bei 35,3 t/a Stickstoff. 48 % des Phosphors gelangt über die Schwentine in den See. Beim Stickstoff trägt die landwirtschaftliche Nutzung aus dem direkten Einzugsgebiet am meisten zur Belastung bei (53 %). Sowohl beim Stickstoff als auch beim Phosphor hat die Belastung durch Abwasser einen vergleichsweise hohen Anteil an

der Gesamtbelastung. Mit jährlich 2,9 g/a·m² Seefläche Phosphor ist die Flächenbelastung des Sibbersdorfer Sees sehr hoch.

Die Berechnung der zu erwartenden Phosphorkonzentration nach VOLLENWEIDER & KEREKES (1980) anhand der Phosphoreinträge kann für den Sibbersdorfer See nur mit Vorbehalt erfolgen, da der See sehr stark durchströmt ist:

$$PE = \frac{L * Tw}{z (1 + \sqrt{Tw})}$$

P<sub>E:</sub> : = erwartete Phosphor-Konzentration im See (mg/l)

L : 2,9 = jährliche Phosphor-Belastung pro Seefläche (g/a·m²)

Tw : 0,19 = theoretische Wasseraufenthaltszeit (a)

z : 3,4 = mittlere Tiefe des Sees (m)

$$P_E = \frac{2.9 * 0.19}{3.4 (1 + \sqrt{0.19})} = 0.11 \,\text{mg/l P}$$

Die nach VOLLENWEIDER zu erwartende Phosphor-Konzentration im Sibbersdorfer See liegt bei 0,11 mg/l Phosphor. Die tatsächliche Konzentrationen im stark durchströmten Sibbersdorfer See schwankten sehr stark zwischen 0,09 mg/l Phosphor im Februar und 0,3 mg/l Phosphor im September und kann daher kaum mit diesem Erwartungswert verglichen werden. In einer Bilanz, die für die Schwentine erstellt wurde (LANU 2005, unveröff.), wurde versucht abzuschätzen, ob der Sibbersdorfer See als Phosphor-Quelle oder -Senke für die Schwentine wirkt. Nach dieser Abschätzung wird übers Jahr betrachtet aus dem Sibbersdorfer See etwa genauso viel Phosphor freigesetzt wie festgelegt.

# **Bewertung**

Der Sibbersdorfer See besitzt ein im Verhältnis zu seiner Seefläche relativ großes Einzugsgebiet und damit von Natur aus die Voraussetzung für einen eher nährstoffreichen Zustand. Die derzeitige Nährstoffbelastung (bezogen auf die Seefläche) ist mit 2,7g/m² und Jahr P und 48,4 g/m² und Jahr N hoch.

Die Stoffumsatzprozesse im Sibbersdorfer See werden in hohem Maße vom Zustrom des Schwentinewassers geprägt. Hohe Phosphorgehalte in der Schwentine führten 2002 schon früh im Jahr zu einer Kieselalgenblüte. Die Phosphorkonzentrationen im Sibbersdorfer See folgten im wesentlichen denen des flussaufwärts liegenden

Stendorfer Sees, dessen abfließende Schwentine etwa 60 % des Gesamtzuflusses zum Sibbersdorfer See ausmacht. Anders beim Stickstoff: Obwohl der See aus seinem überwiegend als Acker genutzten Teileinzugsgebiet vermutlich hohe Nitratkonzentrationen erhält, sind die Stickstoffkonzentrationen gegenüber dem flussaufwärts liegenden Stendorfer See nicht wesentlich erhöht. Der Wechsel von P- zu N-Limitation des Planktonwachstums, der möglicherweise schon im Juni stattfand, führte vorübergehend zur Dominanz von stickstofffixierenden Blaualgen. Die starke Durchströmung bei gering ausgeprägter thermischer Schichtung trug vermutlich zu den sehr hohen Phytoplanktonbiomassen bei, auf die das Zooplankton, obwohl auch größere Formen auftraten, keinen sichtbaren Einfluss ausübte.

Das Makrozoobenthos war, zumindest mengenmäßig, wegen der nur vorübergehenden Schichtung mit Sauerstofffreiheit relativ gut ausgebildet.

Die Ufervegetation ist in Bereichen mit artenreichem Feuchtgrünland vor allem am Westufer wertvoll. Die Unterwasserflora hat sich zwar im Vergleich mit 1983, als der See als nahezu makrophytenfrei beschrieben wurde, deutlich erholt, es sind jedoch bisher nur nährstoffreiche Verhältnisse tolerierende Arten vertreten, die darüber hinaus im Sommer mit fädigen Grünalgen überwuchert waren

Nach LANDESAMT FÜR WASSERHAUSHALT UND KÜSTEN SCHLESWIG-HOLSTEIN (1993) hat der Sibbersdorfer See nationale Bedeutung als Brut-, Rast- und Winterquartier für Wasservögel. Neben der Lachmöwenbrutkolonie auf der Möweninsel kommen Schnatterenten, Tafelenten, Reiherenten, Schellenten, Flussseeschwalben, Haubentauchern und Graugänsen als Brutvögel vor.

#### **Empfehlungen**

Der potentiell natürliche trophischer Zustand des Sibbersdorfer Sees ist schwach eutroph (e1), sein gegenwärtiger Zustand ist hoch polytroph (p2). Der anzustrebende Zustand, der dem guten ökologischen Zustand nach Wasserrahmenrichtlinie entspricht, liegt bei hoch eutroph (e2). Um diesen Zustand zu erreichen, müsste die jährliche Phosphorbelastung auf etwa 1,5 g/m² Seefläche, d.h. um etwa 650 kg P, verringert werden. Ein Teil dieser Verringerung könnte bereits durch die Maßnahmen im Einzugsgebiet des Stendorfer Sees erreicht werden. Da die Reaktion des Stendorfer Sees wegen der seeinternen Prozesse jedoch nicht im Voraus abzuschätzen ist, ist die Höhe der hierdurch für den Sibbersdorfer See zur Wirkung kommenden Entlastung nicht vorauszusagen. Im

Teileinzugsgebiet des Sibbersdorfer Sees sollten folgende Maßnahmen angestrebt werden:

- Beim Sibbersdorfer See trägt die Abwasserbelastung noch zu 23 % zur Phosphorbelastung aus dem direkten Einzugsgebiet bei. Hauskläranlagen in Sagau und vor allem in Sibbersdorf sind die Hauptverursacher, während der Beitrag der beiden Kläranlagen Sagau I und Sagau II gering ist. Weiterer Anschluss und Verbesserung der eingesetzten Hausklärtechniken sollten weiterhin angestrebt werden.
- Es sollte geprüft werden, ob für die Kläranlage Sagau eine Nitrifizierung mit Einleitung des Ablaufs in den Sibbersdorfer See möglich ist. Hierdurch könnte die interne Phosphorretention des Sees verbessert werden.
- Die Niederung der Schwentine unterhalb des Stendorfer Sees wird durch Schöpfwerke entwässert (HANSEN 2001). Hier sollte eine Wiedervernässung, zumindest aber eine Extensivierung der in weiten Bereichen als Acker genutzten Flächen angestrebt werden (ca. 70 ha). Das Gebiet ist Teil des Naturschutz-Großprojektes Stendorfer See, in dem eine Vernässung dieser Flächen ebenfalls abgestrebt wird (HANSEN 2001). Eine vollständige Wiedervernässung wird derzeit allerdings durch die Lage der Klärteiche der Kläranlage, die in der Niederung in die Schwentine entwässern, behindert. Eine weitere als Acker genutzte Niedermoorfläche befindet sich an dem südlichen kleinen Zufluss (ca. 7 ha).
- Das von Sagau kommende Fließgewässer verläuft in einer als Grünland genutzten moorigen Niederung, die Fläche (ca. 20 ha) sollte extensiviert oder zumindest mit ausreichenden Rand- und Pufferstreifen versehen werden.
- Das artenreiche Feuchtgrünland am Westufer sollte jedoch nach STUHR (2002) erhalten werden. Hier wird daher die Beibehaltung der dort bisher durchgeführte extensive Beweidung mit einer Rinderherde auf großer Fläche empfohlen.
- Die Einrichtung von nicht genutzten Randstreifen und extensiv genutzten Pufferstreifen entlang der Fließgewässer könnte den P-Eintrag aus den übrigen, überwiegend als Acker genutzten Flächen deutlich verringern.

# Großer Eutiner See (2002)

Topographische Karte (1: 25.000):

Flusssystem: Schwentine, Ostsee

Kreis: Ostholstein

Gemeinde: Eutin/Fissau/Zarnekau
Eigentümer: Land Schleswig-Holstein
Pächter: Gewerblicher Fischer

Lage des oberirdischen Einzugsgebietes:

Rechtswerte: 440794 - 441546 Hochwerte: 599825 - 600372

Höchster Wasserstand (Abflussjahr 2002, m ü.NN): 27,01

Mittlerer Wasserstand (Abflussjahr 2002, m ü.NN): 26,76

Niedrigster Wasserstand (Abflussjahr 2002, m ü.NN): 26,60

Größe des oberirdischen Einzugsgebietes (km²): 20,5 (56,2)\*

Seefläche (km²):2,18Seevolumen (Mio. m³) bei 26,67 m ü.NN:11,2Maximale Tiefe (m):16,2Mittlere Tiefe (m):5,1

Uferlänge (km): 3,1

Theoretische Wasseraufenthaltszeit (a): 1,7 (0,6)\*

(bei einem geschätzten Abfluss von 10 l/(s·km²))
Umgebungsarealfaktor (m²/m²):

8,4 (24,8)\*

Umgebungsvolumenfaktor (m²/m³): 1,6 (4,8)\*
Uferentwicklung: 2,2
Hypolimnion/Epilimnion (m³/m³): -

Mischungsverhalten: instabil geschichtet

Seetyp: 1

## **Entstehung**

Die eiszeitliche Entstehung des Großen Eutiner Sees nach GRIPP (1953) ist in LANDESAMT FÜR WASSERHAUSHALT UND KÜSTEN SCHLESWIGHOLSTEIN (1993) dargestellt: die aus Osten vorstoßende Eutiner Gletscherzunge schob das ehemalige große Becken des Kellersees aus, das den Sibbersdorfer, den Stendorfer und den Großen und Kleinen Eutiner See umfasste. Diese Seen wurden später durch weniger mächtige Moränen folgender Eisvorstöße vom Becken des heutigen Kellersees abgetrennt.

#### Einzugsgebiet und Morphologie des Sees

Die Schwentine fließt im Nordwesten in das Westbecken des Großen Eutiner Sees, die Fissauer

Bucht, und verlässt den See nur etwa hundert Meter weiter westlich (Abbildung 23). Das Hauptbecken des Großen Eutiner Sees bleibt daher im Normalfall vom Schwentinewasser relativ unbeeinflusst. Bei allen Berechnungen, die das Einzugsgebiet einbeziehen, wird daher nur die Fläche des direkten Einzugsgebietes zu Grunde gelegt. Ob es zeitweilig einen Rückstau der Schwentine in den Großen Eutiner See hinein gibt, lässt sich an Hand des vorhandenen Datenmaterials nicht feststellen.

Mit 20,5 km² ist das direkte oberirdische Einzugsgebiet des Großen Eutiner Sees mäßig groß im Verhältnis zur Seefläche (2,2 km²). Die direkte Umgebung des Sees ist im Südwesten durch die Stadt Eutin, im Norden durch Wald und im Süden und Osten durch Grünland- und Ackernutzung geprägt. Die unversiegelten Böden des Einzugsgebie-

<sup>\*</sup> Angaben in Klammern beziehen sich auf das Gesamteinzugsgebiet der Schwentine gemäß Flächenverzeichnis inklusive Sibbersdorfer See und Stendorfer See.

tes bestehen im Süden aus Geschiebelehm, im Norden aus sandigen Ablagerungen. Weitere Zuflüsse gibt es im Westen (Fischteiche, "Schötteln") sowie im Süden vom Übungsplatz, von Pulverbeck, sowie in Eutin aus dem Stadtpark, und am Bahnhof. Der Seewasserstand schwankte im Jahresverlauf um etwa 40 cm (Abbildung 24). Die theoretische Wasseraufenthaltszeit im Großen Eutiner See beträgt 1,7 Jahre bei einer zu Grunde gelegten Abflussspende von 10 l/s·km².

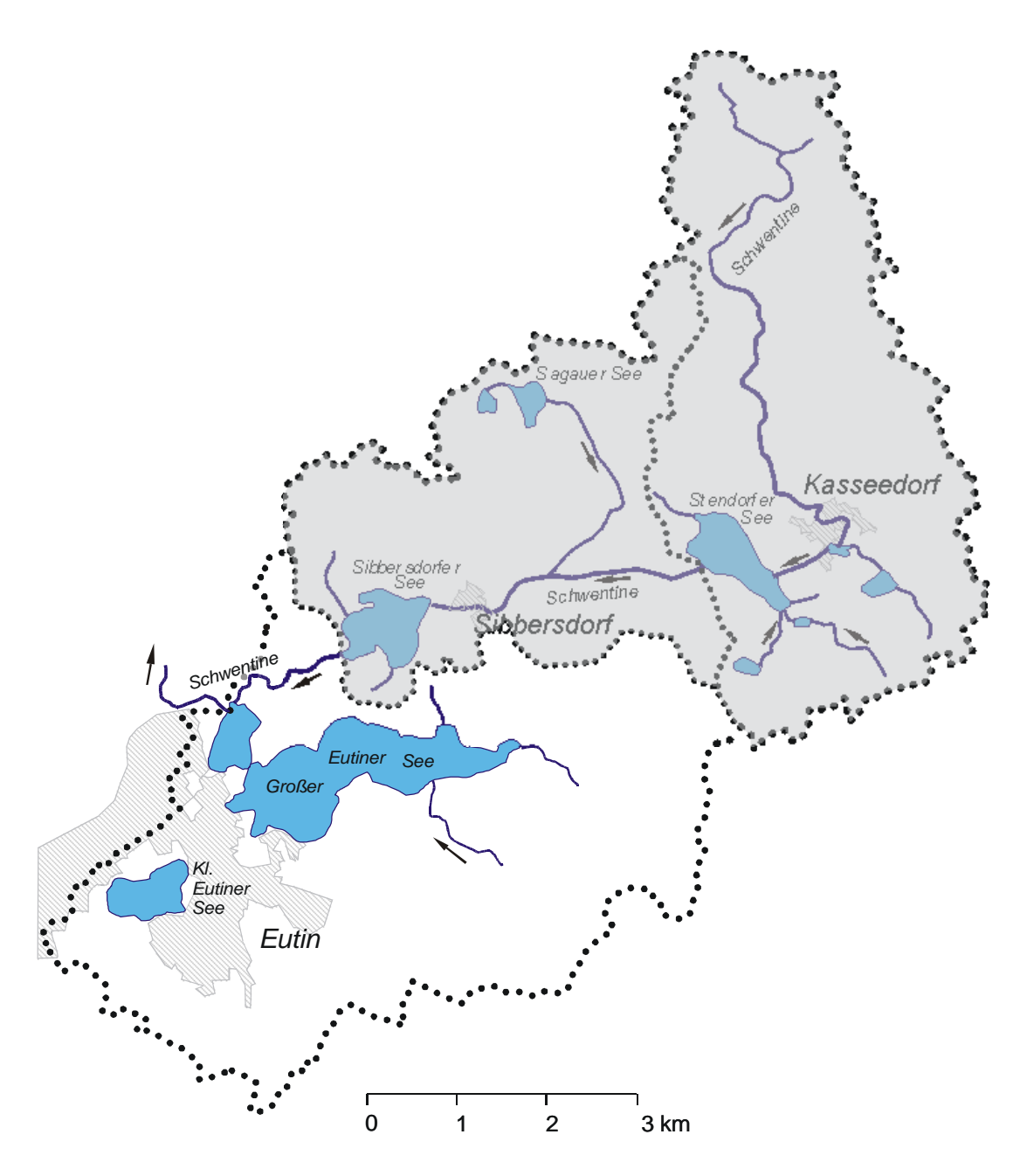


Abbildung 23: Einzugsgebiet des Großen Eutiner Sees (Einzugsgebiet der Schwentine grau hinterlegt)

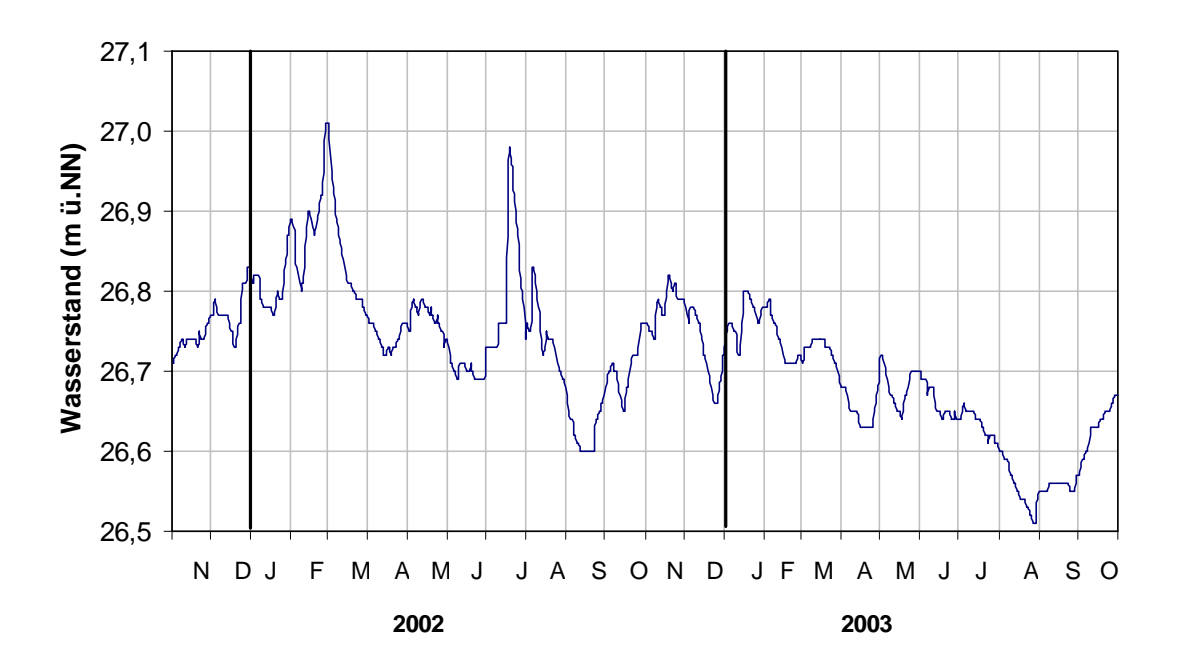
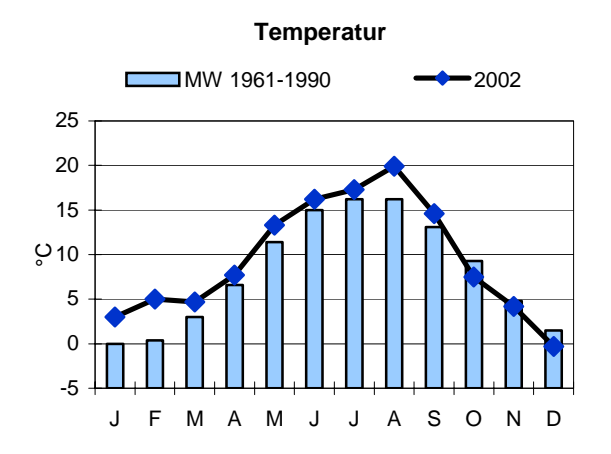


Abbildung 24: Seewasserstände (m ü.NN) im Großen Eutiner See 2002 und 2003

In Abbildung 25 sind die Temperatur- und Niederschlagsverhältnisse an der Messstation Eutin dargestellt. Das Jahr 2002 war insgesamt wärmer als das langjährige Mittel, insbesondere Januar und Februar, aber auch der August, wiesen überdurchschnittlich hohe Temperaturen auf. 2002 war

gleichzeitig ein sehr nasses Jahr, die Niederschlagssumme lag an der Messstelle Eutin 44 % über dem langjährigen Mittelwert. Besonders viel Regen fiel im Februar und vor allem im Juli, der sich durch mehrere extreme Starkregenereignisse auszeichnete.



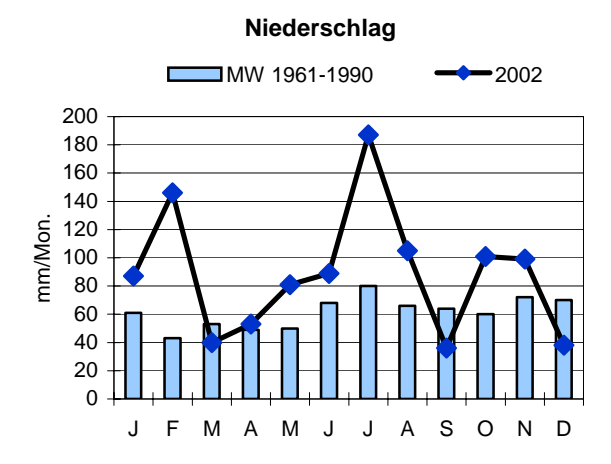


Abbildung 25: Mittlere Monatstemperaturen und monatliche Niederschlagshöhen 2002 an der Messstation Eutin im Vergleich zum langjährigen Mittel 1961/90

Das längliche Becken des Großen Eutiner Sees erstreckt sich in west-östlicher Richtung. Im Nordwesten ist ein kleineres Becken, die Fissauer Bucht, nur durch einen schmalen Durchgang mit dem wesentlich größeren östlichen Seebecken verbunden. Im Südwesten dieses Beckens gibt es eine kleinere und eine größere Insel. Die tiefste

Stelle (16,2 m) liegt in der Nähe des Nordufers. In diesem Bereich fallen die Ufer ebenso wie im mittleren Südufer steil ab, während die Ufer in den übrigen Bereichen, insbesondere im Süden vor der Stadt Eutin, wesentlich flacher sind (Abbildung 26).

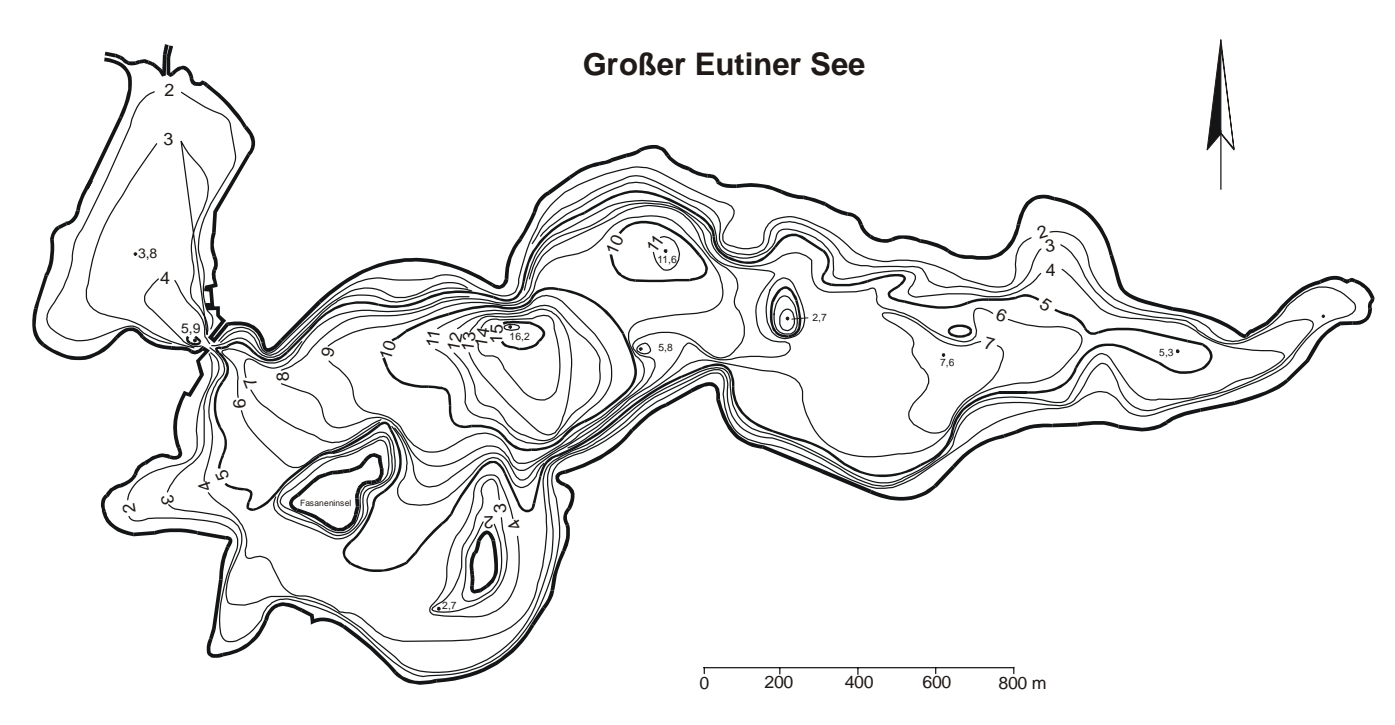


Abbildung 26: Tiefenplan des Großen Eutiner Sees

Die Temperaturschichtung war im Großen Eutiner See instabil, die Sprungschicht zeigte eine starke Verlagerung in die Tiefe. Der See kann somit als Mischtyp 10/11 der Typisierung nach Wasserrahmenrichtlinie angesehen werden (MATHES et al. 2002). Aufgrund der nur zeitweise zu beobachtenden Schichtung wird er dem Typ 11 zugeordnet.

## Ufer

Die Ufervegetation des Großen Eutiner Sees wurde im Auftrag des Landesamtes von STUHR (2002) grob erfasst. Die folgenden Ausführungen sind seinem Bericht entnommen.

Standorttypische **Ufergehölzen** säumen mit Ausnahme des Siedlungsbereichs von Eutin weite Bereiche der Ufer des Großen Eutiner Sees. Dieser Gehölzsaum ist am Südufer zwischen Wasserlinie und Wanderweg allerdings weitgehend schmal ausgebildet und wohl zumindest teilweise auf Anpflanzung zurückzuführen. Vorherrschende Gehölzarten sind Schwarzerle *Alnus glutinosa* sowie Esche *Fraxinus excelsior* und Weiden *Salix sp.*. Im Unterwuchs treten als Feuchtezeiger nahe der Wasserlinie v.a. Zottiges Weidenröschen *Epilobium hirsutum*, Gewöhnliche Zaunwinde *Calystegia sepium*, Rohrglanzgras *Phalaris arundinacea*, Wasserdost *Eupatorium cannabinum* und Sumpfsegge *Carex acutiformis* auf.

Bruch- bzw. Sumpfwälder sind vor allem im Nordwesten im Bereich der Schwentine und an mehreren Stellen des waldbestandenen Nordufers auch in z.T. größerer Ausdehnung anzutreffen. Sie sind teils von Schwarzerle, teils auch von Esche dominiert, v.a. am mittleren bis östlichen Nordufer sind auch Grauweidengebüsche Salix cinerea als breiterer Saum vorgelagert. Bezeichnende Arten der Krautschicht sind u.a. Sumpfschwertlilie Iris pseudacorus, Wasserschwaden Glyceria maxima, Ästiger Igelkolben Sparganium erectum, Bittersüßer Nachtschatten Solanum dulcamara sowie Rohrglanzgras Phalaris arundinacea), Kriechender Günsel Ajuga reptans, Sumpfdotterblume Caltha palustris, Echtes Mädesüß Filipendula ulmaria, Bachnelkenwurz Geum rivale, Gewöhnlicher Gilbweiderich Lysimachia vulgaris, Rasenschmiele Deschampsia cespitosa, Kohldistel Cirsium oleraceum, Wasserdost Eupatorium cannabinum, Sumpflabkraut Galium palustre, Wasserminze Mentha aquatica und Sumpfsegge Carex acutiformis. Zudem fand sich mehrfach der nach der Roten Liste der Farn- und Blütenpflanzen Schleswig-Holsteins (MIERWALD & BELLER 1990) gefährdete Sumpffarn Thelypteris palustris (RL 3). Stellenweise waren auch quellige Bereiche mit vermehrtem Auftreten von Bitterem Schaumkraut Cardamine amara und Gegenblättrigem Milzkraut Chrysosplenium oppositifolium zu beobachten.

Artenreiches **Feuchtgrünland** existiert nur im Nordwesten im Bereich der Schwentine. Die Flächen weisen hohe Anteile von Sauergräsern auf, darunter Sumpfsegge *Carex acutiformis*, Schlank-

segge *C. acuta*, Zweizeilige Segge *C. disticha*, Wiesensegge *C. nigra*, Flatterbinse *Juncus effusus*, in einzelnen Gräben fanden sich Bestände der Wasserfeder *Hottonia palustris* und des Froschbisses *Hydrocharis morsus-ranae*. Ufernahe Brachstadien besitzen einen hohen Anteil an Schilf *Phragmites australis* und gehen allmählich in das Röhricht des Sees über.

Der Röhrichtgürtel ist auf etwa drei Viertel der Uferlinie, streckenweise mit vielen kleinen Lücken, ausgebildet. Er fehlt am Südufer auf größerer Strecke im Siedlungsbereich von Eutin und westlich Redderkoppel im Osten des Sees. Die Röhrichte werden überwiegend von Schilf Phragmites australis gebildet. Sie erreichen nur am östlichen Nordufer größere Breiten von über 20 m und bilden ansonsten Bestände von nur 5 - 10 m Breite. Am Nordufer werden Wassertiefen von etwa 0,8 bis 1 m besiedelt. Am Südufer reichen die Bestände oft nur bis 0,3 m Wassertiefe, davor sind, teilweise bis 1 m Wassertiefe, Schilfstoppeln mit Rhizomresten zu finden, die die ursprüngliche Ausdehnung der Bestände in diesem Bereich dokumentieren. Andere Arten wie Schmalblättriger Rohrkolben Typha angustifolia und Seebinse Schoenoplectus lacustris, Wasserschwaden Glyceria maxima, Aufrechter Igelkolben Sparganium erectum, Sumpfsegge Carex acutiformis, Ufersegge C. riparia, Kalmus Acorus calamus und Breitblättriger Rohrkolben Typha latifolia sind nur in kleinflächigen Bestände zu finden.

Eine **Schwimmblattzone** ist an mehreren, vor Westwind geschützten Uferbereichen ausgebildet. Die größten Vorkommen existieren im Nordwestteil des Großen Eutiner Sees, wo gut die Hälfte der gesamten Uferlänge von 10 – 30 m breiten Beständen der Gelben Teichrose *Nuphar lutea* und der Weißen Seerose *Nymphaea alba* eingenommen werden. Weitere größere Vorkommen der Teichrose finden sich am Nordufer, am Ostende des Sees und in der Bucht am Eutiner Schloss. Beide Arten erreichen Siedlungstiefen zwischen 1,6 und 2 m

Die Unterwasserpflanzen sind in weiten Bereichen nur spärlich entwickelt, im flachen Wasser prägen vielfach Polster fädiger Grünalgen das Bild. Insgesamt wurde 12 Arten (davon zwei Arten Armleuchteralgen) gefunden, von denen jedoch nur vier Arten häufiger vorkamen. Flächig entwickelte Bestände gibt es an den flacheren weniger gestörten Ufern im östlichen Teil des Sees am Nord- und Südufer. Hier finden sich auf bis zu 30 m Breite Massenbestände von Kammlaichkraut Potamogeton pectinatus, die meist mit größeren Vorkommen von Sumpfteichfaden Zannichellia palustris und dem gefährdeten Zwerglaichkraut Potamogeton pusillus (RL 3) vergesellschaftet sind. Allge-

mein im See verbreitet und häufig ist das Krause Laichkraut Potamogeton crispus, während das Durchwachsenes Laichkraut Potamogeton perfoliatus nur einen auffälligen größeren Bestand am Nordufer bildet. Weitere vereinzelt bis zerstreut auftretende Arten sind Spreizender Wasserhahnenfuß Ranunculus circinatus und Kanadische Wasserpest Elodea canadensis. Das stark gefährdete Stachelspitzige Laichkraut Potamogeton friesii (RL 2) findet sich nur im Nordwesten. Diese Arten besiedelten Wassertiefen von etwa 1,5 - 2m. Bis zu einer Tiefe von 3,5 m kann man die zerstreut im Uferbereich auftretende submerse Form der Schwanenblume Butomus umbellatus finden. Armleuchteralgen wurden in verschiedenen Uferabschnitten nur sporadisch und meist vereinzelt im Flachwasser festgestellt. Neben der nach der Roten Liste der Armleuchteralgen (GARNIEL & HAMANN 2002) gefährdeten Gegensätzlichen Armleuchteralge Chara contraria (RL 3) fand sich in einem Fall auch die Zerbrechliche Armleuchteralge Chara globularis.

Insgesamt ist die Ufervegetation des Großen Eutiner Sees in weiten Bereichen durch die Siedlungsnähe geprägt. Beim Röhricht hat, zumindest in einigen Bereichen ein deutlicher Rückgang stattgefunden. Die Unterwasservegetation des Großen Eutiner Sees spiegelt mit ihrem eingeschränkten Artenspektrum und dem häufigen Auftreten von fädigen Grünalgen zwar hoch eutrophe Verhältnisse, gegenüber dem 1982/83 vom LANDESAMT FÜR WASSERHAUSHALT UND KÜSTEN SCHLESWIG-HOLSTEIN (1993) beschriebenen Zustand (in weiten Teilen frei von Unterwasserpflanzen, nur drei Arten von Unterwasserpflanzen) ist jedoch eine deutliche Verbesserung festzustellen. Aus floristischer Sicht ist die Unterwasservegetation von mittlerer Bedeutung.

#### Freiwasser

Der Große Eutiner See wies im Sommer eine thermische Schichtung auf, die sich im regenreichen Juli vorübergehend teilweise auflöste. Im August war dies an einer zweistufigen Sprungschicht zu erkennen (Abbildung 27). Bei Calciumkonzentrationen um 69 mg/l (Frühjahr) war der See mit einer Säurekapazität im Oberflächenwasser zwischen 3,7 und 4,8 mmol/l sehr gut gepuffert. Die pH-Werte lagen im Oberflächenwasser zwischen 8,4 und 9,0. Die elektrische Leitfähigkeit schwankte mit Werten zwischen 37 und 46 mS/m recht stark, war insgesamt aber eher unterdurchschnittlich.

Die Gesamtphosphorkonzentrationen lagen mit 0,076 mg/l P im Frühjahr in einem mittleren Bereich, stiegen im Verlauf des Sommers jedoch auf

den sehr hohen Wert von 0,25 mg/l P. Die Stickstoffkonzentrationen lagen mit Frühjahrswerten um 1,7 mg/l N ebenso mäßig hoch. Anorganisch gelöster Phosphor war stets vorhanden. Stickstoff stellte möglicherweise ab August den Minimumfaktor für das Phytoplanktonwachstum dar.

Ende **Februar** war der Große Eutiner See vollständig durchmischt. Der Gesamtphosphor (0,08 mg/l P) lag zu über 50 % anorganisch vor, und der Gesamtstickstoff (1,7 mg/l N) war ebenfalls zur Hälfte anorganisch (als Nitrat) gelöst. Die Phytoplanktonmeinschaft erreichte zu dieser Jahreszeit ein Biovolumen von 4,7 mm³/l bzw. eine Chlorophyll-a-Konzentration von 18 µg/l und bestand zu fast 100 % aus centrischen Kieselalgen (SPETH & SPETH 2002). Die gelösten Silikatkonzentrationen waren hierdurch auf unter 0,3 mg/l gesunken.

Mitte Juni war mit einer Chlorophyll a -Konzentration von 37  $\mu$ g/l und einem Biovolumen von 15 mm³/l das Maximum der Phytoplanktonentwicklung im Jahresverlauf zu verzeichnen. Die Sichttiefe halbierte sich im Vergleich zum Klarwasserstadium im Mai von 2.5 m auf 1,2 m (Abbildung 30). Die Phytoplanktonbiomasse bestand jetzt etwa je zur Hälfte aus Kieselalgen und Grünalgen (Abbildung 29). Bei den Grünalgen handelte es sich hauptsächliche um koloniebildende Vertreter, vor allem Coelastrum astroideum und Oocystis spp. Innerhalb der Kieselalgen dominierte die kettenbildende Art Aulacoseira granulata Der anorganische Phosphor war jetzt nahezu aufgezehrt. Eine deutliche thermische Schichtung mit einer Sprungschicht zwischen 6 und 10 m hatte sich ausgebildet. Das Hypolimnion war bereits vollständig sauerstoff- und nitratfrei, und deutlicher Schwefelwasserstoffgeruch im Tiefenwasser zeigte Desulfurikation an. Ammonium, Phosphat und Hydrogenkarbonat als Abbauprodukte der sedimentierten Biomasse hatten sich stark angereichert.

Im August sank das Phytoplanktonbiovolumen im vergleich zum Vormonat auf 5,9 mm³/l bei gleichzeitiger Verdopplung der Chlorophyll – a Konzentration auf 73  $\mu$ g/l. Diese gegenläufige Entwicklung wurde durch den Dominanzwechsel von Kieselalgen und Grünalgen hin zu Cyanobakterien verursacht, die nun nahezu 100 % des Biovolumens ausmachten. Dominant waren die zur Stickstofffixierung befähigten Anabaena planctonica und Anabaena circinalis sowie Microcystis sppabaena spp. Die Sprungschicht hatte sich im Juli weit in die Tiefe verlagert (sichtbar an dem zweistufigen Temperatursprung), und nährstoffreiches Tiefenwasser wurde ins Epilimnion eingemischt. Der Gesamtphosphor hatte weiter zugenommen (0,16 mg/l P). Das N/P-Verhältnis sank auf 8, so das Stickstoff nun zum potenziell limitierenden

Faktor für das Algenwachstum angenommen werden kann. Im Tiefenwasser zeigte starker H<sub>2</sub>S-Geruch, eine Sulfatabnahme um 10 mg/l und eine starke Zunahme der Konzentrationen von Ammonium (5,3 mg/ N) und Hydrogenkarbonat (290 mg/l) intensive Abbauprozesse mit Desulfurikation an. Die Ammoniumkonzentrationen waren auf über 5 mg/l N gestiegen. Der Anstieg der Phosphormenge im See deutet auf P-Freisetzung aus dem Sediment, die PO<sub>4</sub>-P-Konzentrationen im Tiefenwasser lagen mit jetzt 2,3 mg/l P sehr hoch.

Im **September** wurde das Phytoplankton weiterhin zu mehr als 90% von Cyanobakterien dominiert. Vertreter der Gattung *Microcystis* stellten jetzt 80 % des Gesamtbiovolumens von 12 mm³/l (51 µg/l Chlorophyll a). Die Gesamtphosphorgehalte waren weiter stark angestiegen (0,25 mg/l P), das N/P-Verhältnis betrug jetzt 4,4. Die Sprungschicht hatte sich wieder stabilisiert und lag zwischen 9 und 10 m. H<sub>2</sub>S-Geruch wurde nun schon bei 10 m Wassertiefe festgestellt. Die Ammonium-Konzentration hatte im Tiefenwasser jetzt einen Wert von über 8 mg/l N erreicht, und das Hydrogenkarbonat war auf über 300 mmol/l angestiegen.

Zooplankton spielte im Großen Eutiner See zu den Untersuchungszeitpunkten kaum eine Rolle. Insbesondere Cladoceren, deren größere Formen einen begrenzenden Einfluss auf das Phytoplanktonwachstum haben können, wurden kaum gefunden.

Insgesamt ist der Stoffumsatz im großen Eutiner See durch intensive Produktion mit sommerlichen Sichttiefen meist unter einem Meter und sehr intensiven Zehrungsprozessen in der Tiefenzone geprägt. Die Phosphorkonzentrationen nahmen zwar zunächst geringfügig ab, stiegen dann aber in ähnlicher Größenordnung wie im Sibbersdorfer See bis zum Herbst hin stark an. Im Großen Eutiner See zeigten im Gegensatz zum Sibbersdorfer und Stendorfer See die starke Sauerstoffzehrung und die stete Akkumulation von Abbauprodukten im Tiefenwasser (Phosphat, Ammonium, Schwefelwasserstoff), dass das Hypolimnion an der tiefsten Stelle des Sees den ganzen Sommer über nicht durchmischt wurde (geschichteter See, Typ 10 WRRL). Die sommerliche Zunahme von Phosphor im Epilimnion, die durch die Verlagerung der Sprungsschicht in die Tiefe bewirkt wurde, charakterisiert den Großen Eutiner See jedoch eher als einen ungeschichteten See vom Typ 11.

In allen drei Seen war das Nitrat im gesamten Wasserkörper sehr schnell aufgezehrt und die Gesamtstickstoffkonzentrationen nahmen über den Sommer hin deutlich ab. Intensive Schwefelwasserstoffbildung führte vermutlich zu Phosphorrück-

lösung aus dem Sediment, während die Desulfurikation im Sibbersdorfer See eher gering war.

Die Zusammensetzung des Phytoplanktons ähnelte der des Sibbersdorfer Sees. So war die Phytoplanktongemeinschaft im Frühjahr bzw. Frühsommer durch die Dominanz von Kieselalgen gekennzeichnet, während Cyanobakterien bereits Anfang August sowie im September die dominierende Algengruppe darstellte. Die für geschichtete Seen im Sommer oft typischen Dinoflagellaten fehlten ebenso wie im Sibbersdorfer See auch im Gr. Eutiner See. Diese Verhältnisse in der Dominanzstruktur weisen den Gr. Eutiner See als einen ungeschichteten See vom Typ 11 nach Mathes et al. 2002 aus. Das vermehrte Auftreten von Grünalgen im Frühsommer kann als Indiz für einen hohen Trophiezustand gewertet werden.

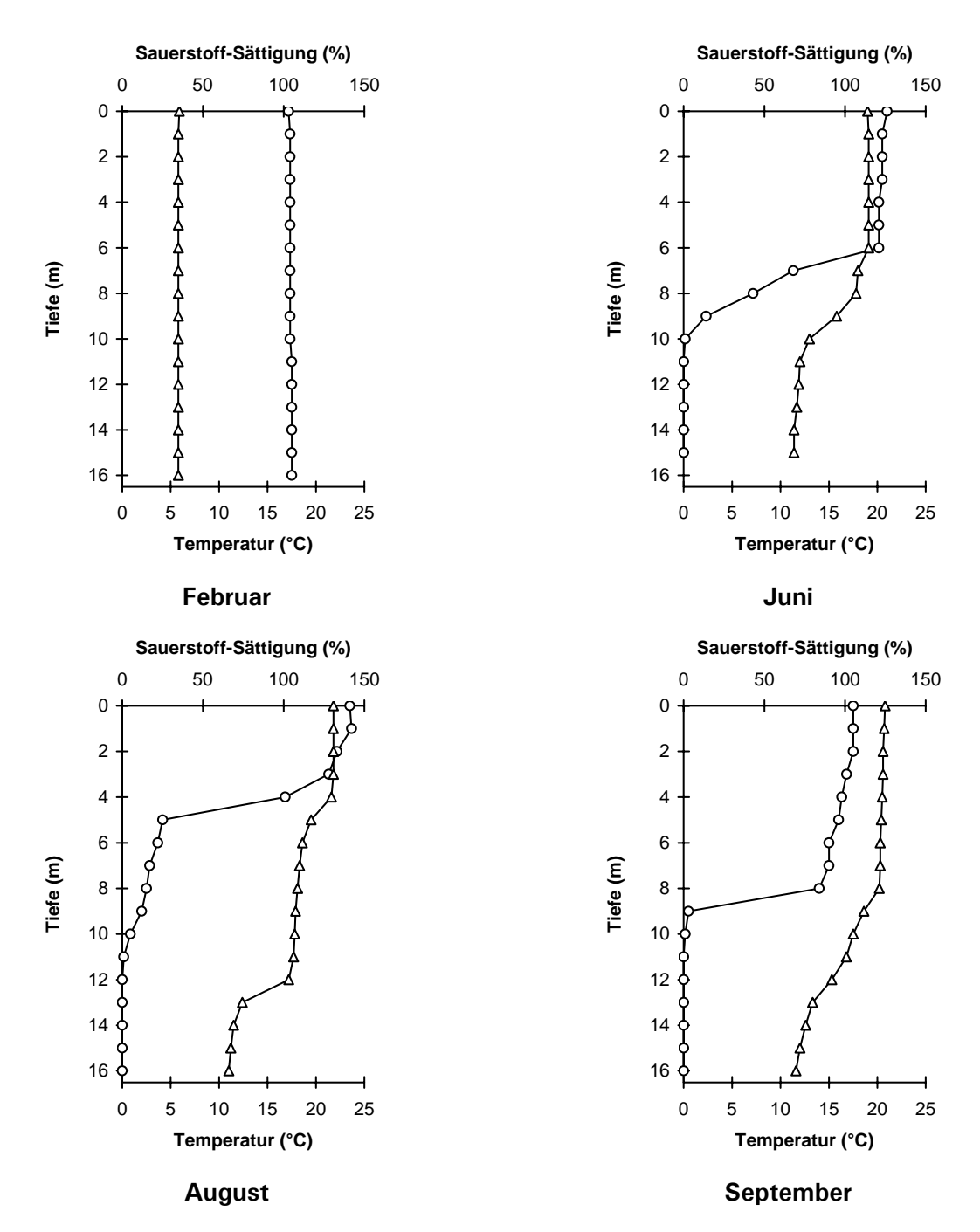


Abbildung 27: Tiefenprofile von Temperatur (°C) und Sauerstoff-Sättigung (%) im Großen Eutiner See im Frühjahr und Sommer 2002; Temperatur Δ Sauerstoff o

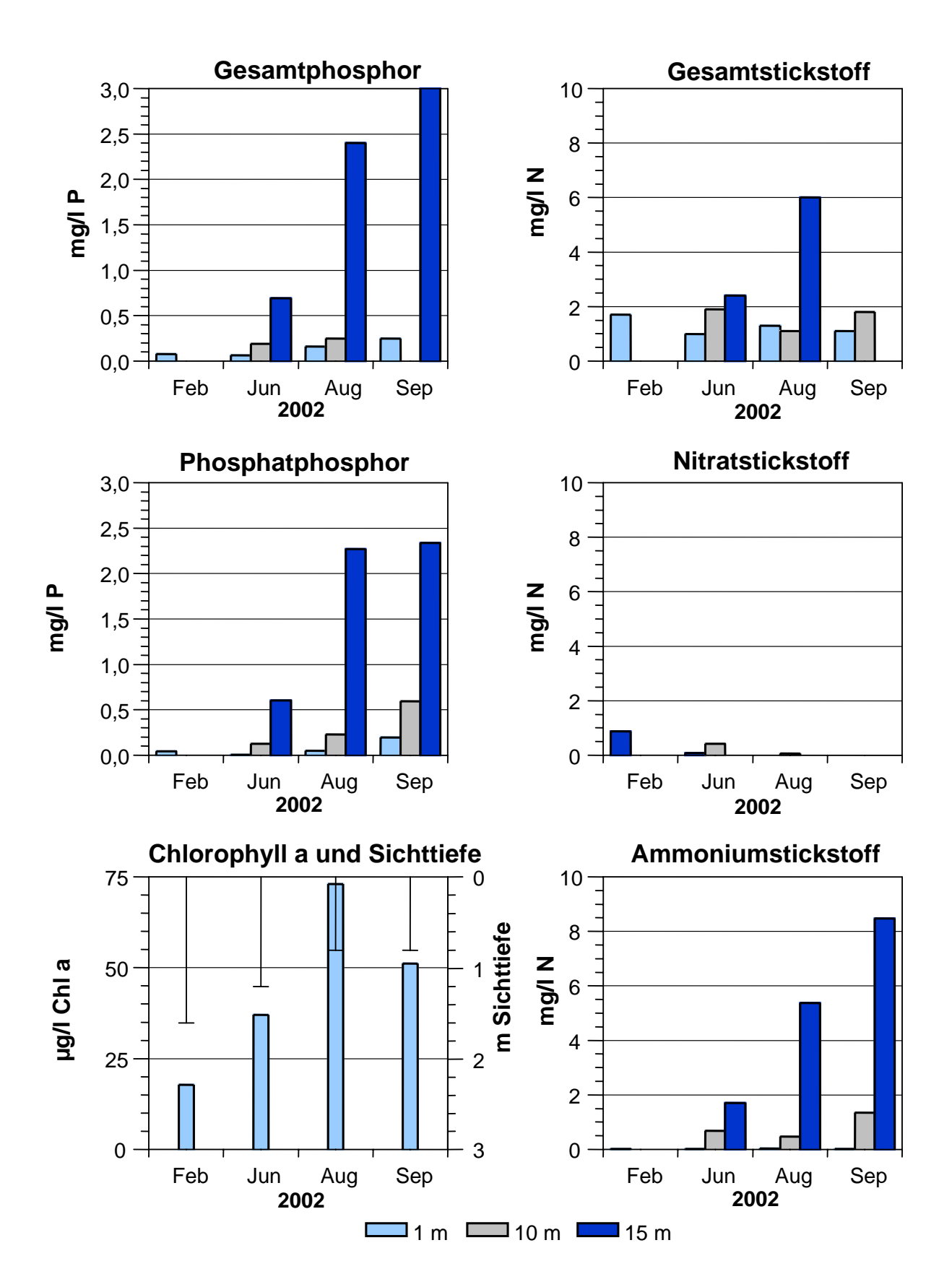


Abbildung 28: Gesamtphosphor (mg/l P), Gesamtstickstoff (mg/l N), Phosphat (mg/l P), Nitrat (mg/l N), Ammonium (mg/l N) sowie Chlorophyll a (µg/l) und Sichttiefe (m) im Großen Eutiner See 2002

Bezüglich der Höhe der Biovolumina ist im Großen Eutiner See ein deutlich höheres Potenzial zur Bildung von Phytoplanktonbiomasse im Vergleich zu den nachfolgenden geschichteten Seen zu verzeichnen. Es war jedoch niedriger als im Sibbersdorfer See. Das Zooplankton war insgesamt von untergeordneter Bedeutung.

Da die tatsächlichen Stoffeinträge bei diesem See schwer abzuschätzen sind, bleibt offen, ob er als Phosphorquelle oder –senke für das Schwentine-Einzugsgebiet fungiert.

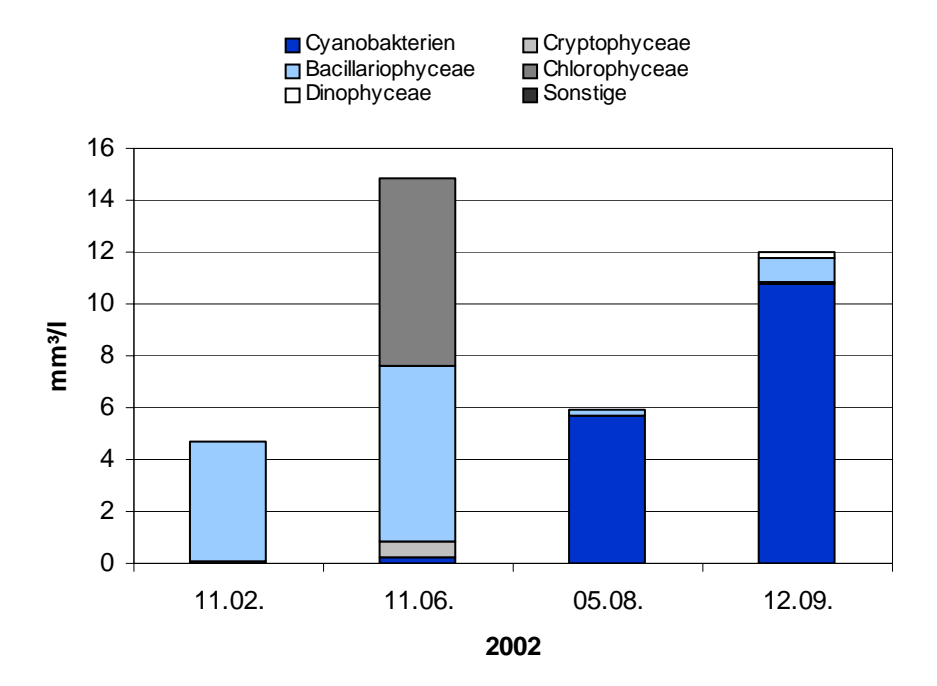


Abbildung 29: Entwicklung des Biovolumens der dominierenden Phytoplanktongruppen (mm³/l) im Großen Eutiner See 2002

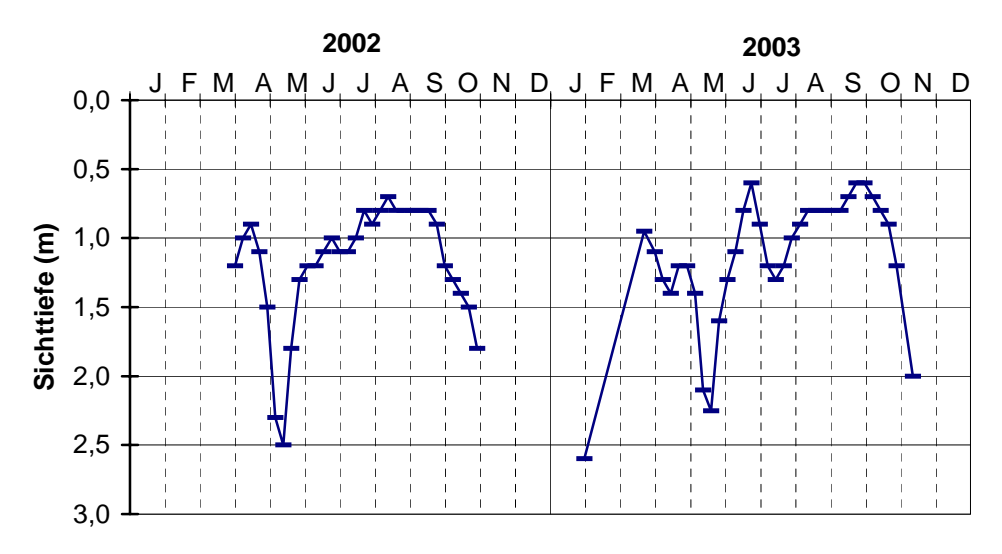


Abbildung 30: Vergleich der Sichttiefen (m) im Großen Eutiner See 2002 und 2003

Nach Angaben von Anglern sowie des Fischereibetriebs können im Großen Eutiner See Aal, Barsch, Brassen, Hecht, Karpfen, Plötze, Schleie, Weißfisch und Zander gefangen werden. Genauere Angaben zum Fischbestand wurden 2005 erhoben.

Eine Eutrophierung des Großen Eutiner Sees war schon zu Beginn des 19. Jahrhunderts zu beobachten: "Allsommerlich überaus starke Cyanophyceenwasserblüten" wurden von THIENE-MANN (1922) bereits für die 1910er Jahre für den Großen Eutiner See beschrieben. Die Sauerstoff-

sättigung im unteren Hypolimnion lag in jener Zeit jedoch noch meist über 18 %, also deutlich höher als heute.

Sichttiefen und Temperatur- und Sauerstoffverhältnisse im Großen Eutiner See wurden von Mai bis November 1993 von HARBST (1993) im Auftrag des Landesamtes für Wasserhaushalt und Küsten untersucht. Der See wies bereits im Mai eine ausgeprägte Temperaturschichtung und eine nahezu sauerstofffreies Hypolimnion auf. Die Sichttiefen lagen in der Vegetationsperiode 1993 mehrfach über 2,5 m, die maximale gemessene Sichttiefe betrug 3,75 m. In der Vegetationsperiode 2002 betrug die maximale Sichttiefe 2,5 m, 2003 sogar nur 2,25 m. Ob diese Verschlechterung der Sichttiefen signifikant ist oder durch 1993 günstigere meteorologische Einflüsse bedingt, lässt sich nicht eindeutig sagen. Auf Grund der Ausdehnung der Unterwasservegetation lässt sich eher eine Zunahme der mittleren Sichttiefen in den letzten Jahren vermuten.

#### Seegrund

Die tierische Besiedlung des Sedimentes im Großen Eutiner See wurde im Auftrag des Landesamtes von OTTO (2002) untersucht. Die folgenden Ausführungen sind seinem Bericht entnommen.

Das Makrozoobenthos des großen Eutiner Sees wurde an zwei Transekten, eines von der tiefsten Stelle nach Süden, das andere im westlichen Hauptbecken nach Südosten reichend, untersucht.

Insgesamt wurden 56 Taxa, davon 18 Zuckmückenlarven- und zwölf Weichtierarten (vier nur als Schalenfunde) bestimmt. Unterhalb von 5 m Wassertiefe dominierten an beiden Stellen Arten, die für die Tiefenzone typisch sind.

Die Uferzone wurde an beiden Stellen von der Zuckmückenlarve *Cladotanytarsus* sp. beherrscht, die mit Dichten bis über 7.100 Ind./m² vorkam. Wenigborster waren ebenfalls in der Uferzone in hohen Zahlen vertreten. Diese Gruppe war auch in der Tiefenzone beider Stellen in hohen Dichten zu finden und gehörte zu den dominierenden Taxa. Zuckmückenlarven der *Chironomus plumosus*-Gruppe waren mit Ausnahme der tiefsten Stelle im Transekt 1 überall im Profundal vertreten, erreichten jedoch nur geringe Dichten (max. 444 Ind./m²).

Im östlichen Probetransekt traten vereinzelt bis zur größten Tiefe für die Uferzone typische Arten auf, sowohl der Bachflohkrebs *Gammarus pulex* nach FITTKAU et al. (1992) als auch die Zuckmücken-

larve *Stictochironomus sp.* sind nach WILSON (1996) Anzeiger für mesotrophe Gewässer im Litoral. Weiterhin wurden dort Büschelmückenlarven *Chaoborus flavicans* in größerer Dichte (2.020 Ind./m² in 9 m Tiefe) gefunden.

Hohe Dichten der Büschelmückenlarve (6.689 Ind./m²) beschreibt auch LUNDBECK (1926). Ebenso die von LUNDBECK festgestellten Dichten der *Ch. plumosus* bewegen sich in diesem Bereich. LENZ (1931) beschreibt ebenfalls für den Großen Eutiner See (Probenahmetiefe: 10 m) hohe Dichten an *Chaoborus*-Larven und Tubifiziden, während bei den Zuckmückenlarven nur überwiegend *Tanypus* gefunden wurde und Vertreter der *Chironomus-plumosus*-Gruppe nur in geringerer Dichte gefangen wurden.

Der Große Eutiner See ist aufgrund der hohen Dichte der Büschelmücke und der Präsenz der *C. plumosus*-Gruppe in fast allen Tiefen der Tiefenzone nach THIENEMANN (1922) als eutropher *C. plumosus*-See zu beurteilen. LUNDBECK (1926), der bei den Dichten von *Chaoborus* und *Chironomus plumosus* zu sehr ähnlichen Individuendichten kam, gelangte zu derselben Einordnung.

Das Sediment des Großen Eutiner Sees, das 1997 untersucht wurde, war an der tiefsten Stelle weich, graubraun und ohne Geruch, die Schwefelwasserstoffbildung scheint also gering. Dies kommt auch in den relativ geringen Schwefelkonzentrationen in der Fraktion < 20 m zum Ausdruck (8900 mg S/g TS), widerspricht aber der in dieser Untersuchung festgestellten intensiven Desulfurikation im Tiefenwasser.

### Nutzung des Sees und seines Einzugsgebietes

Die Fissauer Bucht ist Teil des FFH-Gebietes "Gebiet der Oberen Schwentine", dass seit 2004 als FFH-Gebiet gemeldet worden ist.

Die fischereiliche Nutzung des Sees erfolgt durch eine Berufsfischerin.

Die größere der beiden **Inseln**, die "Fasaneninsel", ist bebaut und in Privatbesitz. Das Betreten der erlenbestandenen "Liebesinsel" dagegen ist verboten, da hier noch Munitionsreste vermutet werden.

Die Beschreibung der **Ufer**nutzung ist STUHR (2002) entnommen. Im Südwesten grenzt die Stadt Eutin an den See, am östlichen Ende des Sees befindet sich die kleine Ansiedlung Redderkrug. Das Nordufer ist mit Wald bestanden, ansonsten sind weite Teile des Südufers sowie der Bereich an der Fissauer Bucht von landwirtschaftlichen Nutzflächen geprägt. Der See ist,

abgesehen von einzelnen Teilstrecken im Westen, fast rundum von einem meist ufernah geführten Wanderweg umgeben, von dem aus insbesondere in den siedlungsnahen Bereichen zahlreiche Uferzugänge durch Trittstellen gekennzeichnet sind. Das mittlere Südufer ist durchgehend mit Steinen befestigt.

Westlich der Fissauer Bucht gibt es ein Freizeitgelände mit Badeanstalt. Daneben gibt es eine kleine Badestelle am Ostufer sowie direkt nördlich von Eutin an der Fissauer Bucht eine kleine Badestelle mit Schwimmplattform und Sitzgelegenheiten im Röhricht. Stege und Steganlagen sind vor allem vor den Siedlungsbereichen Eutin und Redderkrug sowie dem Freizeitgelände zahlreich. Der Große Eutiner See wird von Fahrgastschiffen befahren. Das Einzugsgebiet des Sees wird fast zur Hälfte der Fläche (48 %) landwirtschaftlich, davon über 62 % als Acker, genutzt. 11 % sind Wasserflächen, etwa 12 % sind Siedlung. Der Waldanteil ist mit knapp 24 % des Einzugsgebietes. Die Zahl der Großvieheinheiten lag mit durchschnittlich

0,40 GVE/ha landwirtschaftlich genutzter Fläche recht niedrig.

Abwasser erhält der Große Eutiner See aus 11 überwiegend mit Nachklärteich ausgerüsteten Hauskläranlagen mit insgesamt 110 Einwohnergleichwerten aus Zarnekau.

#### Belastungssituation des Sees

Aufgrund der Flächennutzung und der Abwasserbeseitigung im Einzugsgebiet sowie der Niederschlagsbeschaffenheit werden im Folgenden die Einträge der Nährstoffe Phosphor und Stickstoff in den Großen Eutiner See grob abgeschätzt (Abbildung 31 und Tabelle 6). Dabei wird davon ausgegangen, dass die Schwentine keinen nennenswerten Einfluss auf die Einträge in das Hauptbecken hat. Auch der Einfluss des Kleinen Eutiner Sees, der in den Großen Eutiner See entwässert, aber schwer einzuschätzen ist, muss außer Acht gelassen werden.

Tabelle 6: Einträge von Phosphor und Stickstoff in den Großen Eutiner See aus verschiedenen Quellen (Abschätzung gemäß Kapitel Auswertungsmethoden)

Flächennutzung	[ha] bzw.	[kg/ha a] bzw.	P-Eintrag	[kg/ha a] bzw.	N-Eintrag
	Stück	[kg/GVE a]	[kg/a]	[kg/DE a]	[kg/a]
Wasserflächen	264				
Acker	722	0,5	361	20	14.440
Grünland	450	0,2	90	10	4.500
Großvieheinheiten	469	0,20	94	0,9	422
Moor	0	0,2	0	10	0
Wald	578	0,05	29	7	4.046
Siedlung	294	0,8	221	13	3.822
Andere Nutzung	120	0,1	6	10	1.200
Summe	2.428		800		28.430
Niederschlag	218	0,15	33	12	2.616
auf die Seefläche					
Punktquellen	Einleitmenge	P-Konzentration	P-Eintrag	N-Konzentration	N-Eintrag
Schmutzwasser	[m³]	[mg/l]	[kg/a]	[mg/l]	[kg/a]
Klärteiche Zarnekau	6.000	2,5	15	40	240
Haus-KAs Zarnekau	6.022	8	48	80	482
Summe			63		722
km²		Jahresmittelwerte		Jahresmittelwerte	
aus Einzugsgebiet					
Schwentine	31,94	0	0	0	0
Gesamteintrag in den See			Phosphor		Stickstoff
Summe [kg/a]			896		31.768
g/m² a (bezogen auf Seefläd	che)		0,41		14,6
kg/ha a (bezogen auf Landfläche)			0,16		5,2

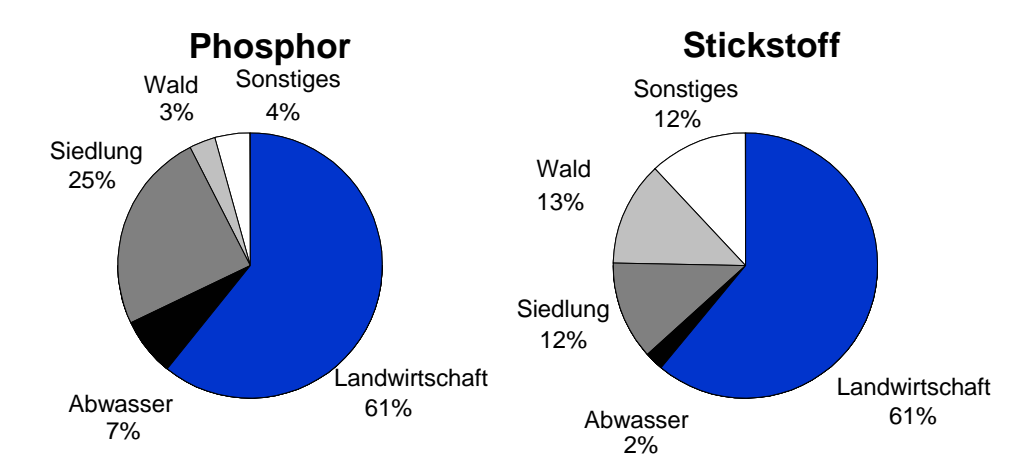


Abbildung 31: Quellen für Phosphor- und Stickstoffeinträge in den Großen Eutiner See

Die Abschätzung der Einträge aus dem Einzugsgebiet und durch Niederschlag ergaben insgesamt 896 kg/a für Phosphor und bei 32 t/a für Stickstoff. Hauptquelle für Phosphor und Stickstoff (je 61 %) ist die landwirtschaftliche Nutzung, die Siedlungsentwässerung trägt beim Phosphor zu 25 %, beim Stickstoff zu 12 % zur Gesamtbelastung bei. Die Abwasserbelastung hat mit 7,1 % beim Phosphor und 2,3 % beim Stickstoff einen relativ geringen Anteil. Mit jährlich 0,41 g/

m<sup>2</sup> Seefläche Phosphor ist die abgeschätzte Flächenbelastung des Großen Eutiner Sees noch relativ gering.

Anhand der ermittelten Phosphoreinträge lässt sich nach VOLLENWEIDER & KEREKES (1980) unter Einbeziehung der Seebeckengestalt und des Wasseraustausches die zu erwartende Phosphor-Konzentration im See abschätzen:

$$P_E = \frac{L * T_W}{z (1 + \sqrt{T_W})}$$

PE: = erwartete Phosphor-Konzentration im See (mg/l)

L : 0,41 = jährliche Phosphor-Belastung pro Seefläche (g/a·m²)

Tw : 1,73 = theoretische Wasseraufenthaltszeit (a)

z : 5,1 = mittlere Tiefe des Sees (m)

$$P_E = \frac{0.41 * 1.73}{5.1 (1 + \sqrt{1.73})} =$$
**0.06 mg/l P**

Die nach VOLLENWEIDER zu erwartende Phosphor-Konzentration im Großen Eutiner See liegt mit 0,06 mg/l Phosphor unter dem tatsächlichen Wert von 0,08 mg/l P. Ursachen können zum einen eine Unterschätzung der Einträge, zum anderen eine Phosphorrücklösung aus dem Sediment sein. Für eine Phosphorrücklösung sprechen die Hinweise auf intensive Zehrungsprozesse im Tiefenwasser mit völligem Sauerstoff- und Nitratschwund, intensiver Desulfurikation und starker Zunahme der Phosphatkonzentrationen im Tiefenwasser im August und September. Vermutlich wurden aber bei diesem See auch die Einträge unterschätzt, da der bei Rückstau stattfindende Einstrom von Schwentinewasser nicht berücksichtigt werden konnte. Bei der vom LANU (2005, unveröff.) für das

Schwentinesystem aufgestellten Bilanz wurde abgeschätzt, dass im Großen Eutiner See die Festlegung in etwa die P-Freisetzung ausgleicht.

Eine weitere Nährstoffquelle sind die Gänse am Großen Eutiner See. Es ist jedoch schwer, diesen Nährstoffpfad zu quantifizieren. In Annahme, dass sich im Mittel ca. 150 Vögel im Jahr täglich am See befinden (KOOP 2005, persönliche Mitteilung), und von einer Weidegans eine Phosphorbelastung von 0,21 kg/a P ausgeht (REGIERUNG VON MITTELFRANKEN 2004), ergibt sich durch die Nährstoffausscheidungen eine Belastung von ca. 32 kg/a P. Dabei ist jedoch zu bedenken, dass viele Gänse die Pflanzen im See fressen und es sich somit nicht um einen Nährstoffeintrag, son-

dern höchstens um eine Nährstoffmobilisierung handelt. Außerdem gehen andere Autoren von geringeren P-Einträgen durch Wildgänse aus (TAPPENBECK & RASCHEWSKI 1993). Die Gänse sind daher mit maximal 3 % des Gesamtphosphoreintrages für den Großen Eutiner See als geringe Nährstoffquelle einzustufen.

#### **Bewertung**

Der Große Eutiner See hat mit seinem verhältnismäßig kleinen Einzugsgebiet (ohne Schwentine) gute Voraussetzungen für einen relativ nährstoffarmen Zustand. Die Abschätzung der jährlichen Phosphorbelastung ergab mit 0,41 g/m² Seefläche nur eine relativ mäßige Belastung, die sich aber nicht in einer geringen Trophie widerspiegelt. Ursache ist zum einen die interne Düngung aus den Sedimenten, die bei den ungünstigen Schichtungsverhältnissen die in früheren Phasen abgelagerten Nährstoffe besonders leicht in die oberen Wasserschichten gelangen lässt. Zum anderen kann möglicherweise auch die Belastung durch Rückstau der Schwentine, die hier vernachlässigt wurde, eine Rolle spielen.

Insgesamt ist der Stoffumsatz im Großen Eutiner See durch stark ansteigende Phosphorkonzentrationen im Sommer, intensive Produktion und sehr intensive Zehrungsprozesse in der Tiefenzone geprägt. Cyanobakterien bestimmen im Hochsommer das Bild der Phytoplankton-Gemeinschaft, Zooplankton ist insgesamt von untergeordneter Bedeutung. Bei den Zehrungsprozessen spielt Denitrifikation eine untergeordnete Rolle, da weniger Nitrat zur Verfügung steht. Stattdessen findet im unteren Hypolimnion, das von der vorübergehenden Auflösung der Schichtung nicht erfasst wird, verstärkt Sulfatatmung statt, ein Prozess der wiederum zu vermehrter P-Freisetzung führt und darüber hinaus durch Schwefelwasserstoffbildung das Makrozoobenthos verarmen lässt. Ein verarmtes Benthos kann wiederum den Fraßdruck der Fische auf das Zooplankton erhöhen und sich dadurch weiter negativ auf die Stoffumsätze im See auswirken. Insgesamt scheint der Große Eutiner See sich in einer Phase zu befinden, in der er eher als Phosphor-Quelle denn als Senke für das stromabwärts gelegene Einzugsgebiet wirkt.

Das Röhricht ist durch die Nähe zu Siedlungen und durch Fraßschäden durch Wasservögel geprägt und weist entsprechende Schädigungen auf. Die Unterwasservegetation hat dagegen eine deutliche Ausdehnung erfahren, ein Hinweis, dass die Sichttiefen im Großen Eutiner See zugenommen, die Produktivität abgenommen hat. Insgesamt war die Ufervegetation aus floristischer Sicht von mittlerer Bedeutung.

#### Empfehlungen

Der potenzielle trophische Zustand des Großen Eutiner Sees nach LAWA (1998) ist mesotroph, der derzeitige Zustand ist schwach polytroph (p1). Um einen guten ökologischen Zustand zu erreichen, ist der schwach eutrophe Zustand (e1) anzustreben. Dazu müssen die Phosphorfrachten um etwa 400 kg P reduziert werden.

Da sich die Nährstoffeinträge durch das Schmutzwasser in den letzten Jahren durch eine Erhöhung des Anschlussgrades jedoch verringert haben, ist auf eine leichte Erholung des Sees zu hoffen. Das Entwicklungsziel wird bei diesem See dennoch schwer erreichbar sein. Daher werden für die im Folgenden aufgeführten Maßnahmen keine Flächen angegeben, sondern diese sind so umfangreich wie möglich auszulegen.

- Da die Siedlungsentwässerung erheblich zur Belastung des Großen Eutiner Sees beiträgt, sollte geprüft werden, ob die Nährstoffretention mit Ausbau oder Verbesserung der Regenwasserreinigung optimiert werden könnte. Entsprechende Planungen laufen bereits.
- Eine Aufklärung der Anwohner bezüglich Düngung von Gartenflächen, Kompostlagerung, Fütterung von Wasservögeln etc. könnte angesichts der dicht besiedelten Ufer ebenfalls zur Eutrophierungsminderung beitragen.
- Ufernahe Ackerflächen zwischen Pulverbek und Eutin sowie am Kleinen Eutiner See sollten wenn irgend möglich stillgelegt werden.
- Die Grünlandflächen auf Niedermoor an der Schwentine zwischen Sibbersdorfer und Großem Eutiner See sollten extensiviert oder wiedervernässt werden.
- Pufferstreifen sollten an der Pulverbek sowie dem aus dem Truppenübungsplatz kommenden Gewässer angelegt werden.
- Im Nordosten des Sees befindet sich eine große Fischteichanlage, die 2004 größtenteils abgelassen war. Es sollte geprüft werden, ob und wie diese Anlage betrieben wird, da hier möglicherweise nährstoffreicher Schlamm eingeschwemmt wird.
- Um die Fraßschäden durch Wasservögel am Schilf zu reduzieren, ist es wichtig, störungsfreie Äsungsflächen zu finden. Ein entsprechend umfangreich angelegtes Projekt hat sich deshalb zum Ziel gesetzt, ein ornithologisches Managementkonzept zu entwickeln, um die Röhrichte der Seen der Holsteinischen Schweiz (JENSEN 2005) zu schützen.

# Kellersee (2002)

Topographische Karte (1 : 25.000):			
Flusssystem:	Schwentine, Ostsee		
Kreis:	Ostholstein		
Gemeinde:	Malente, Eutin		
Eigentümer:	Land Schleswig-Holstein		
Pächter:	Gewerblicher Fischer		
Lage des oberirdischen Einzugsgebietes:			
Rechtswerte:	440360 - 441840		
Hochwerte:	599825 - 601480		
Höchster Wasserstand (Abflussjahr 2002, m ü.NN):	24,74		
Mittlerer Wasserstand (Abflussjahr 2002, m ü.NN):	24,39		
Niedrigster Wasserstand (Abflussjahr 2002, m ü.NN):	24,23		
Größe des oberirdischen Einzugsgebietes (km²):	148		
Größe des oberirdischen Teileinzugsgebietes (km²):	93,2		
Seefläche (km²):	5,5		
Seevolumen (Mio. m³) bei 24,26 m ü.NN:	64,5		
Maximale Tiefe (m):	25,8		
Mittlere Tiefe (m):	11,7		
Uferlänge (km):	15,5		
Theoretische Wasseraufenthaltszeit (a):	1,4		
(bei einem geschätzten Abfluss von 10 I/(s·km²))	1,4		
Umgebungsarealfaktor (m²/m²):	25,9		
Umgebungsvolumenfaktor (m²/m³):	2,2		
Uferentwicklung:	1,9		
Hypolimnion/Epilimnion (m³/m³):	0,8		
Mischungsverhalten:	im Sommer stabil geschichtet		
Seetyp	10		

## **Entstehung**

Die eiszeitliche Entstehung des Kellersees nach GRIPP (1953) ist in LANDESAMT FÜR WASSERHAUSHALT UND KÜSTEN SCHLESWIGHOLSTEIN (1993) dargestellt: Die aus Osten vorstoßende Eutiner Gletscherzunge schob das ehemals sehr viel größere Becken des Kellersees aus, das damals auch den Sibbersdorfer, den Stendorfer und den Großen und Kleinen Eutiner See umfasste. Der heutige Kellersee entstand durch Abtrennung dieser Seen durch weniger mächtige Moränen folgender Eisvorstöße.

# Einzugsgebiet und Morphologie des Sees

Nachdem die Schwentine den Großen Eutiner See passiert hat, durchfließt sie den Kellersee (Abbildung 33). Sein oberirdisches Einzugsgebiet ist mit 148 km² dementsprechend umfangreich. Trotz der relativ großen Seefläche von 5,5 km² ergibt sich daher ein recht großer Umgebungsarealfaktor von 26. Sein Umgebungsvolumenfaktor ist jedoch durch seine Tiefe nur mäßig groß. Die direkte Umgebung des Kellersees ist vor allem durch Siedlungen (Malente-Gremsmühlen, Fissau, Sielbeck), aber auch durch Wald geprägt. Die unversiegelten Böden des Einzugsgebiets bestehen überwiegend aus Geschiebelehm.

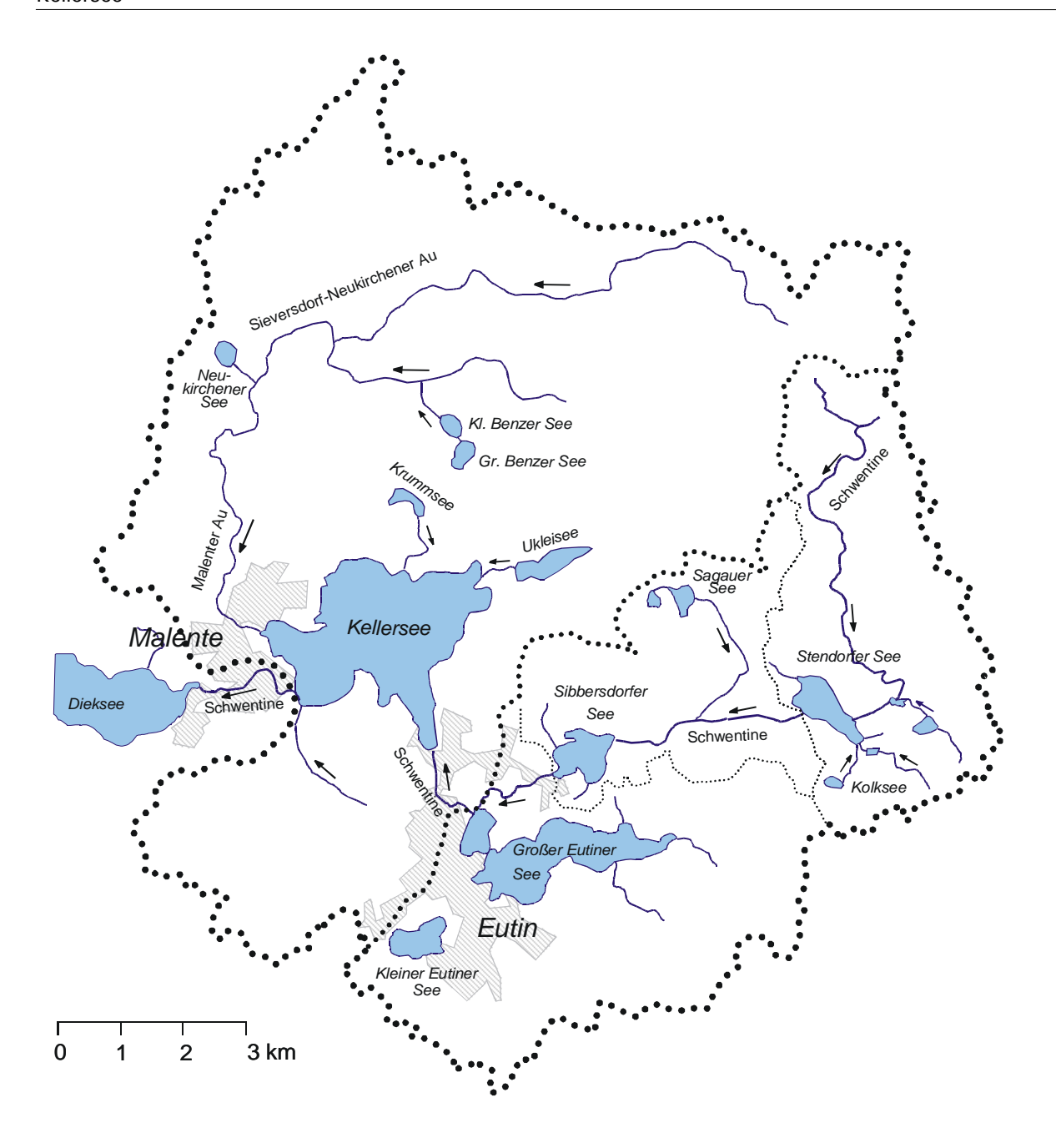


Abbildung 32: Einzugsgebiet des Kellersees

Nachdem die Schwentine den Großen Eutiner See verlassen hat, durchfließt sie auf 1,5 km den Ort Fissau und erreicht dann den Kellersee an seiner südöstlichen Bucht. Im Westen zwischen Malente und Rothensande verlässt sie den Kellersee (Abbildung 32). Die in die Malenter Bucht einmündende Malenter Au bildet den größten Zufluss. Das Hauptbecken des Kellersees wird von der Malenter Au aber vermutlich nur wenig beeinflusst. Weitere, kleinere Zuflüsse sind der Zulauf aus dem Ukleisee

im Nordosten, der Waldfriedengraben ebenfalls im Nordosten, der Beutiner Graben im Süden und der Krummseegraben im Norden.

Der Seewasserstand schwankte im Jahresverlauf 2002 um 51 cm (Abbildung 33). Die theoretische Wasseraufenthaltszeit im Kellersee beträgt 1,7 Jahre bei einer zu Grunde gelegten Abflussspende von 10 l/s·km².

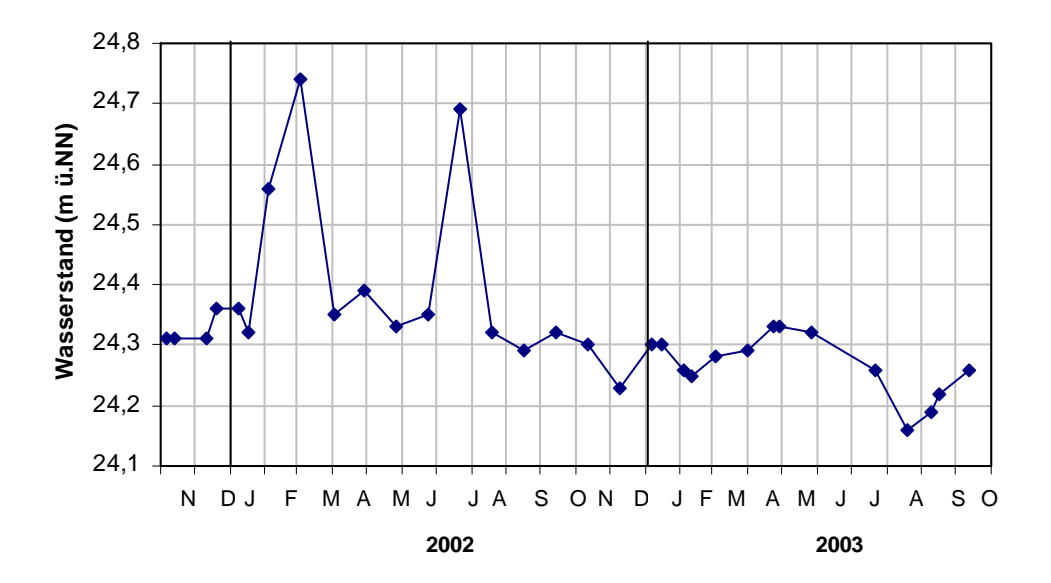
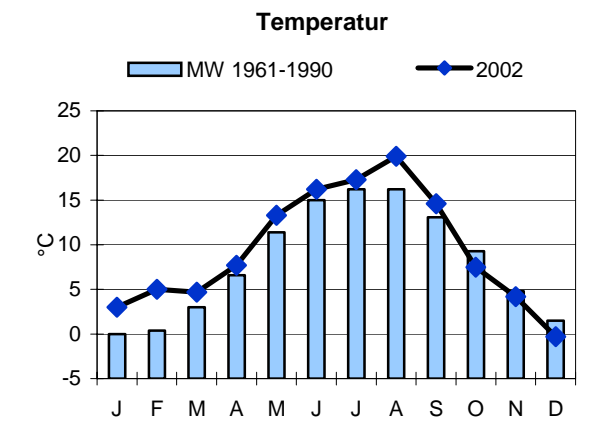


Abbildung 33 : Seewasserstände (m ü.NN) im Kellersee 2002 und 2003

In Abbildung 34 sind die Temperatur- und Niederschlagsverhältnisse an der Messstation Eutin dargestellt. Das Jahr 2002 war insgesamt wärmer als das langjährige Mittel, insbesondere Januar und Februar, aber auch der August, wiesen überdurchschnittlich hohe Temperaturen auf. 2002 war

gleichzeitig ein sehr nasses Jahr, die Niederschlagssumme lag an der Messstelle Eutin 44 % über dem langjährigen Mittelwert. Besonders viel Regen fiel im Februar und vor allem im Juli, der sich durch mehrere extreme Starkregenereignisse auszeichnete.



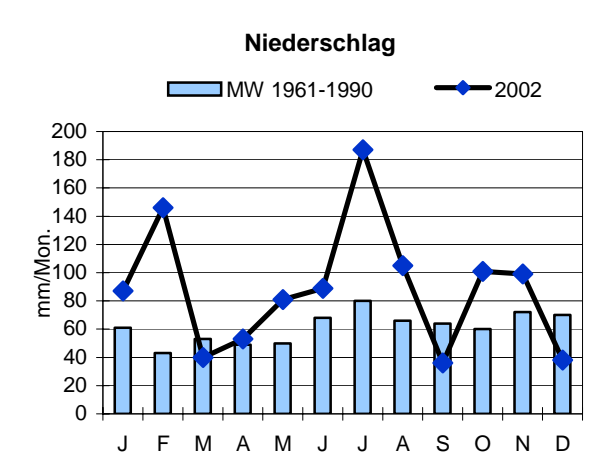


Abbildung 34: Mittlere Monatstemperaturen und monatliche Niederschlagshöhen für 2002 an der Messstation Eutin im Vergleich zum langjährigen Mittel 1961/90

Das buchtenreiche Becken des Kellersees ist mit mehreren tiefen Stellen recht unruhig gestaltet. Die tiefste Stelle (25,8 m) liegt im südlichen Bereich des Hauptbeckens. Die Ufer fallen meist mehr oder weniger steil ab (Abbildung 35). Der Kellersee weist eine stabile sommerliche Temperaturschichtung auf und gehört damit nach MATHES et al. 2002 zum Typ 10. Setzt man die Mitte der Sprungschicht bei 8 m an, sind Epi- und Hypolimnion ungefähr gleich groß.

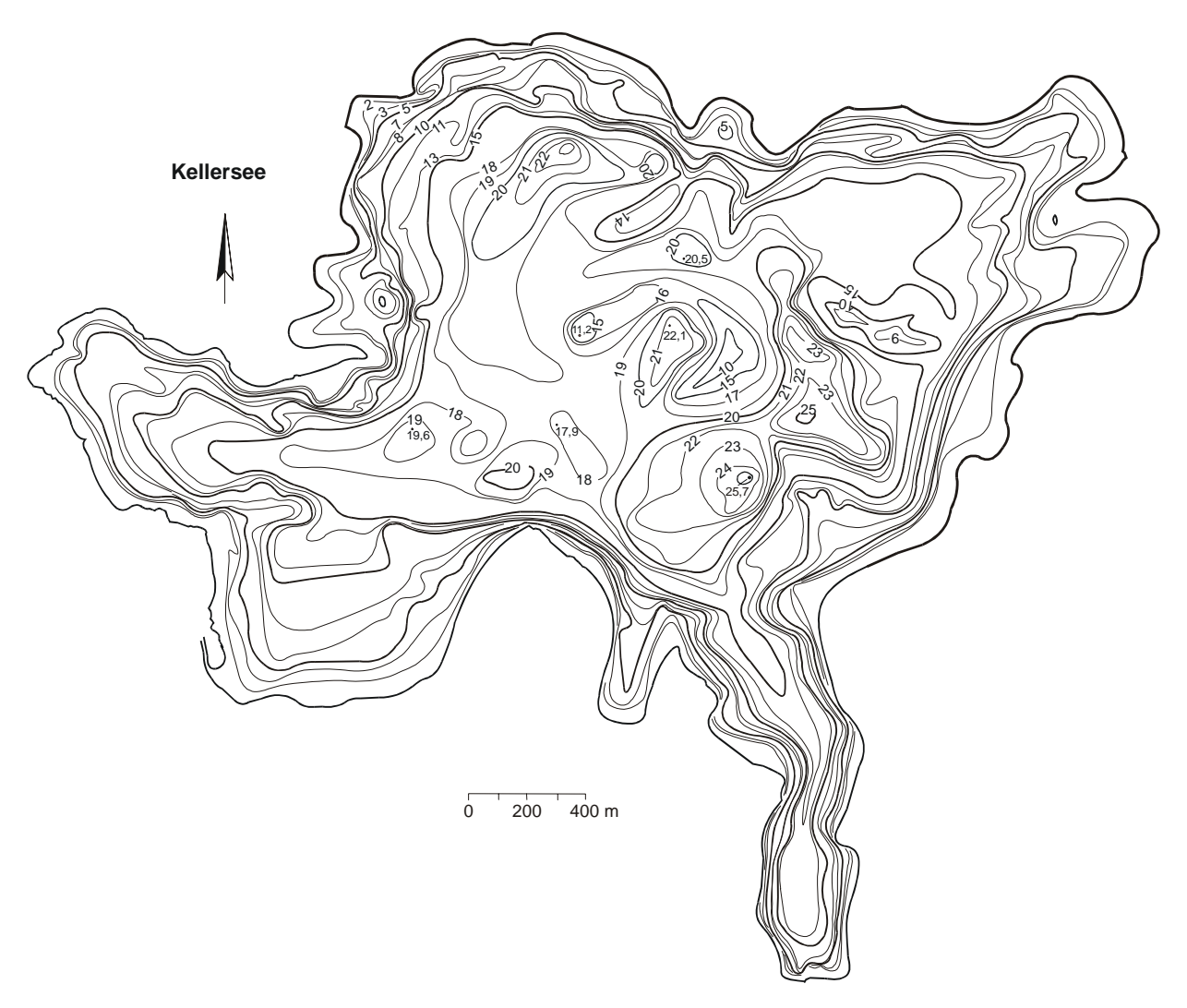


Abbildung 35 : Tiefenplan des Kellersees

## Ufer

Die Ufervegetation des Kellersees wurde im Auftrag des Landesamtes von STUHR (2002) erfasst. Die folgenden Ausführungen sind seinem Bericht entnommen.

Der Kellersee ist fast durchgehend von einem schmalen Saum standorttypischer Ufergehölze umgeben, der allerdings in den Siedlungsbereichen der drei angrenzenden Orte häufig kleinere Lücken besitzt. Vorherrschende Gehölzarten sind Schwarzerle Alnus glutinosa, Esche Fraxinus excelsior und Weiden Salix spp.. Der nach der Roten Liste der Farn- und Blütenpflanzen Schleswig-Holsteins (MIERWALD & BELLER 1990) gefährdete Wildapfel Malus sylvestris (RL 3) tritt an der Wasserlinie auf. Feuchtezeiger treten im Ufersaum meist nur nahe der Wasserlinie auf, häufige Arten sind Zottiges Weidenröschen Epilobium hirsutum, Gewöhnliche Zaunwinde Calystegia sepium, Wasserdost Eupatorium cannabinum, Rohrglanzgras Phalaris arundinacea, Sumpfsegge Carex acutiformis, Gewöhnlicher Gilbweiderich Lysimachia vulgaris u.a.. Am mittleren Ostufer sowie am östlichen Nordufer finden sich im Wald in Ufernähe **Quellbereiche** mit vermehrtem Auftreten von Bitterem Schaumkraut *Cardamine amara* und Gegenblättrigem Milzkraut *Chrysosplenium oppositifolium*.

Bruch- bzw. Sumpfwälder finden sich an mehreren Stellen mit Ausnahme des Nordufers, so im Bereich der Malenter Bucht im Südwesten und am nördlichen Ostufer, im Bereich der Fissauer Bucht gibt es zwei kleinere Flächen. Dominierende Gehölzarten sind Schwarzerle, z.T. aber auch Esche, und verschiedene Weidenarten Salix spp.. Bezeichnende Arten der Krautschicht sind u.a. Sumpfsegge Carex acutiformis, Bittersüßer Nachtschatten Solanum dulcamara, Sumpflabkraut Galium palustre, Gewöhnlicher Gilbweiderich Lysimachia vulgaris, Sumpfschwertlilie Iris pseudacorus, Sumpfreitgras Calamagrostis canescens, Wasserminze Mentha aquatica. Hopfen Humulus lupulus. Wasserdost Eupatorium cannabinum u.a.. In einer Fläche trat als gefährdete Art der Fieberklee Menyanthes trifoliata (RL 3) auf. Als floristische Besonderheit existiert in einer nassen Senke landseitig des ufernahen Wanderweges am nördlichen

Ostufer ein über 1 ha großer Bestand der stark gefährdeten Binsenschneide *Cladium mariscus* (RL 2). Recht häufig tritt außerdem der gefährdete Sumpffarn *Thelypteris palustris* (RL 3) auf.

Artenreiches Feuchtgrünland findet sich nur auf einer kleinen Fläche im Nordosten sowie als Brachestadium im Bereich der Landzunge am Schwentineabfluss. Beide Flächen weisen hohe Anteile von Sauergräsern auf, auf der Brache scheint sich überdies Schilf *Phragmites australis* auszudehnen. Im Südwesten südlich der Schwentine existiert ein durch Überstauung von Grünland entstandenes, mehrere Hektar großes Feuchtgebiet, in dem offene Wasserflächen, ausgedehnte Röhrichte und im Randbereich auch Gehölzflächen eng miteinander verzahnt sind.

Ein Röhrichtgürtel ist auf knapp zwei Drittel der Gesamtuferlänge ausgebildet. Die größten geschlossenen Vorkommen finden sich vor den bewaldeten Ufern im Norden, Osten und Süden. Im Siedlungsbereich von Malente, Sielbeck-Uklei und Fissau sind die Röhrichte meist nur lückig oder inselhaft entwickelt. Hauptbestandsbildner ist Schilf *Phragmites australis*, vereinzelt dominiert aber auch die Seebinse Schoenoplectus lacustris, die neben eigenen Beständen streckenweise den Schilfröhrichten seewärts vorgelagert sind. Nur kleine Beständen bilden Schmal- und Breitblättriger Rohrkolben Typha angustifolia, T. latifolia, Kalmus Acorus calamus, Aufrechter Igelkolben Sparganium erectum und Sumpfsegge Carex acutiformis. Der Röhrichtgürtel ist durchschnittlich 10 m breit, vor einigen bewaldeten Ufern werden auch 15 bis 20 m, vereinzelt auch bis 30 m, erreicht. Schilf wie Seebinse wachsen i.d.R. bis zu einer Wassertiefe von etwa 1 m, vereinzelt aber auch bis 1,4 m bzw. 1,5 m. Am Ostufer in der Sielbecker Bucht finden sich seewärtig bis 1 m Wassertiefe auf größeren jetzt vegetationsfreien Flächen Rhizomreste. Ein Rückgang der Röhrichtbestände wurde bereits 1983 beobachtet (LW 1993), er scheint seit dem weiter fortgeschritten zu sein. Die Ursachen sind vielfältig, wie bei den meisten Seen des Plöner Gebietes spielte beim Rückgang aber vermutlich die Erholungsnutzung eine große Rolle, während der Fraß durch Wasservögel die Wiederausbreitung verhindert.

Größere Bestände von **Schwimmblatt**pflanzen kommen vor allem am Westufer vor, kleinere Vorkommen finden sich vereinzelt am Nordufer sowie in zwei Buchten des waldbestandenen Südufers. Dominierende Art ist die Gelbe Teichrose *Nuphar lutea*. In den größeren Beständen, die bis etwa 0,5 ha Flächenausdehnung erreichen, tritt meist auch die Weiße Seerose *Nymphaea alba* auf. Beide Arten erreichen Siedlungstiefen von max. 2 bzw. 1,6 m. Als weitere Schwimmblattart bildete der Wasserknöterich *Polygonum amphibium* am nördlichen Westufer und am mittleren Südufer einzelne

mittelgroße Bestände bis etwa 1,5 m Wassertiefe aus

Unterwasserpflanzen kommen in allen Bereichen des Ufers in mehr oder weniger gut ausgeprägten Beständen bis 3 m, vereinzelt auch über 4 m Wassertiefe vor. Sie sind wesentlich durch das Kammlaichkraut Potamogeton pectinatus geprägt, das meist Wassertiefen bis 2 m besiedelt. Insgesamt wurde 12 Arten an Unterwasserpflanzen gefunden, davon zwei Armleuchteralgen-Arten. Drei der gefundenen Arten waren als gefährdet eingestuft. Im flacheren Wasser häufig war der Sumpfteichfaden Zannichellia palustris. In Wassertiefen von etwa 2,5 bis über 3 m dominierten vielfach Bestände des stark gefährdeten Stachelspitzigen Laichkrauts Potamogeton friesii (RL 2) und des gefährdeten Zwerglaichkrauts Potamogeton pusillus (RL 3). Weitere, relativ häufige Arten waren das Durchwachsene Laichkraut Potamogeton perfoliatus und der Spreizende Wasserhahnenfuß Ranunculus circinatus, die bis maximal 3,5 m Wassertiefe auftraten. Nur verstreut fanden sich Krauses Laichkraut Potamogeton crispus und die Kanadische Wasserpest Elodea canadensis, die vermehrt im Westteil des Sees in der Malenter Bucht gefunden wurde. Vor dem Mündungsbereich der Malenter Au trat im See der Einfache Igelkolben Sparganium emersum bis in 2,5 m Wassertiefe auf. Zerstreut in verschiedenen Uferbereichen, dabei vereinzelt bis 3,1 m Wassertiefe, siedelte die Schwanenblume Butomus umbellatus, das Rauhe Hornblatt Ceratophyllum demersum fand sich nur in einer Bucht am Nordufer. Armleuchteralgen fanden sich in fast allen Uferabschnitten, aber nur in vereinzelten Exemplaren bzw. kleinen Beständen, die in keinem Fall flächigen Charakter hatten. Es handelte sich fast ausschließlich um die gefährdete Gegensätzliche Armleuchteralge Chara contraria (RL 3; GARNIEL & HAMANN 2002), in einem Fall trat auch die Zerbrechliche Armleuchteralge Chara globularis auf. Die Unterwasservegetation scheint sich in ihrer Ausdehnung seit den 80er Jahren (LANDESAMT FÜR WASSERHAUSHALT UND KÜSTEN SCHLESWIG-HOLSTEIN 1993) nur wenig verändert zu haben. Unterschiede in der Artenzusammensetzung gab es vor allem bei den Laichkräutern: Potamogeton pusillus und P. friesii haben sich ausgedehnt, P. lucens wurde 2001 nicht mehr gefunden. Ebenso war das Ährige Tausendblatt Myriophyllum spicatum, das 1983 im Kellersee gefunden wurde, nicht mehr vorhanden.

In vielen Uferbereichen traten z.T. auch größere Polster fädiger Grünalgen auf.

Insgesamt ist am Kellersees die Ufervegetation oberhalb der Wasserlinie in weiten Bereichen durch die anliegenden Siedlungen geprägt. Uferbefestigungen, Steganlagen, Badestellen und Bootsstege bestimmen hier das Bild. Die Röhrichtbestände sind in diesen Bereichen entweder völlig zurückgegangen oder nur noch sehr lückig bzw. inselartig vorhanden. Die in den meisten Bereichen recht gut ausgeprägte und verhältnismäßig artreiche Unterwasservegetation dagegen kann trotz stellenweise vorhandener Störung durch Grünalgenmatten als von landesweiter Bedeutung eingestuft werden.

#### Freiwasser

Der Kellersee wies 2002 während des gesamten Sommers eine gut ausgeprägte, stabile thermische Schichtung auf (Abbildung 36). Bei Calciumkonzentrationen um 68 mg/l (Frühjahr) war der See mit einer Säurekapazität um 3,0 mmol/l (Frühjahr) gut gepuffert. Die pH-Werte lagen im Oberflächenwasser zwischen 8,3 und 8,8. Die elektrische Leitfähigkeit im Oberflächenwasser schwankte zwischen 42 und 48 mS/m, und war damit im mittleren Bereich (Abbildung 37).

Die Gesamtphosphorkonzentration war im Frühjahr mit 0,13 mg/l P eher hoch. Ob die Gesamtphosphorkonzentration zur Frühjahrszirkulation in Jahren mit weniger extremen Februar-Niederschlägen geringer ist, bleibt zu vermuten. Die Stickstoffkonzentrationen lagen mit Frühjahrswerten um 1,7 mg/l N im mittleren Bereich. Anorganisch gelöster Stickstoff war stets vorhanden, während beim anorganisch gelösten Phosphor im Sommer nur sehr geringe Konzentrationen gemessen wurden. Phosphor stellte damit über die längste Zeit des Beobachtungszeitraums den Minimumfaktor für das Phytoplanktonwachstum dar.

Im Februar war der Kellersee vollständig durchmischt und der Sauerstoffhaushalt war mit knapp 100 % nahezu ausgeglichen (Abbildung 38). Der Gesamtphosphor lag fast gänzlich als gelöstes Phosphat vor, und der Gesamtstickstoff bestand zum größten Teil aus gelöstem Nitrat. Das Biovolumen des Phytoplanktons war zu dieser frühen Jahreszeit mit 0,35 mm³/l (2,4  $\mu$ g/l Chlorophyll a, Sichttiefe: 3,1 m) noch sehr gering. Es bestand überwiegend aus Cryptophyceen (*Rhodomonas* sp.) sowie aus solitären centrischen Kieselalgen (SPETH & SPETH, 2002).

Im **Juni** hatte sich eine thermische Schichtung mit einer Sprungschicht zwischen 5 und 8 m ausgebildet. Das Phytoplankton-Biovolumen war mit 0,95 mm³/l (Chlorophyll a: 11  $\mu$ g/l, Sichttiefe: 2,9 m) relativ gering. Die hohe Sauerstoffsättigung von 130 %, der nahezu vollständige Verbrauch des gelösten Phosphats und die deutliche Abnahme des Nitrats im Oberflächenwasser weisen aber deutlich auf die Produktivität des Phytoplanktons hin. Die Phytoplanktongemeinschaft wurde zu diesem Zeitpunkt von Grünalgen dominiert, wobei koloniebildende Vertreter der Gattung *Coelastrum* 

gegenüber besser fressbaren einzelligen Arten überwogen. Blaualgen (überwiegend *Anabaena* spp.) erreichten einen Anteil von 16 % am Gesamtbiovolumen. Zooplankter waren nur in geringen Abundanzen vorhanden. Unterhalb der Sprungschicht wurde ein Sauerstoffschwund sichtbar, die Sättigung erreichte bei 12 m Tiefe 50 %, in der unteren Wasserschicht bei 25 m war jedoch noch 14 % Sättigung vorhanden. Eine Nitratzehrung war noch nicht sichtbar.

Im Juli hatte sich die Sprungschicht in die Tiefe verlagert, sie lag jetzt zwischen 12 und 13 m Wassertiefe. Die Phytoplanktonbiomasse erreichte mit einem Biovolumen von 0,92 mm³/l und einer Chlorophyll a -Konzentration von 8,8  $\mu$ g/l (Sichttiefe 2,1 m) ein ähnlich niedriges Niveau wie im Vormonat. Es dominierten Dinoflagellaten (Ceratium sp., 67 %) und Cryptophyceen (21 %), beides begeißelte, bewegliche Formen. Im Zooplankton erlangten Rädertiere eine etwas größere Dichte, auch der Wasserfloh Bosmina coregoni wurde nun in etwas höherer Individuenzahl gefunden. Der Gesamtstickstoff, vor allem der Nitratanteil, hatte im Oberflächenwasser deutlich abgenommen. Im Tiefenwasser waren Zehrungsprozesse zu beobachten. Das Hypolimnion war vollständig sauerstofffrei, Nitrat war zwar noch vorhanden, sehr hohe Nitritkonzentrationen (über 0,2 mg/l N) waren jedoch ein Hinweis für die intensive Denitrifikation. Abbauprodukte wie Hydrogenkarbonat, Phosphat und Ammonium hatten sich aber nur in vergleichsweise mäßigen Konzentrationen angereichert.

Im September hatte sich die Sprungschicht wieder in die oberen Wasserschichten zwischen 4 und 9 m verlagert, war aber weniger scharf ausgeprägt. Die Phytoplanktonbiomasse verzeichnete im Vergleich zum Vormonat mit einem Biovolumen von 7,6 mm<sup>3</sup>/l (33  $\mu$ g/l Chlorophyll a, 1,4 m Sichttiefe) einen deutlichen Zuwachs. Zu dieser hohen Phytoplanktonbiomasse trugen hauptsächlich Dinoflagellaten (Ceratium spp.) mit 53%, und Cyanobakterien mit 45 % (Microcystis spp., Aphanizomenon spp.) bei. Rädertiere waren noch immer vergleichsweise häufig, größere Zooplankter erreichten hingegen nur noch geringe Individuendichten. Der Gesamtphosphor im Oberflächenwasser nahm deutlich zu. Diese Zunahme wurde durch Einmischung von P-reichen Wasser durch vorübergehende Verlagerung der Sprungschicht oder durch phosphorreicheres Schwentinewasser verursacht. Nitrat war im Oberflächenwasser jetzt fast völlig aufgezehrt, möglicherweise ein Grund für das Erscheinen der zur Fixierung von Luftstickstoff befähigten Aphanizomenon-Arten. Im unteren Bereich der Sprungschicht (bei 10 m) war noch Nitrat vorhanden, ein kleiner Nitritpeak (0,06 mg/l N) zeigt Denitrifikation an. Im Tiefenwasser war das Nitrat durch Denitrifikation völlig aufgebraucht, und Schwefelwasserstoffgeruch

zeigte, dass Desulfurikation eingesetzt hatte. Ammonium und Phosphat hatten sich weiter angereichert.

Beim Vergleich des Kellersees mit dem Großen Eutiner See hinsichtlich der Entwicklung und Zusammensetzung des Phytoplanktons fällt neben

25

0

10

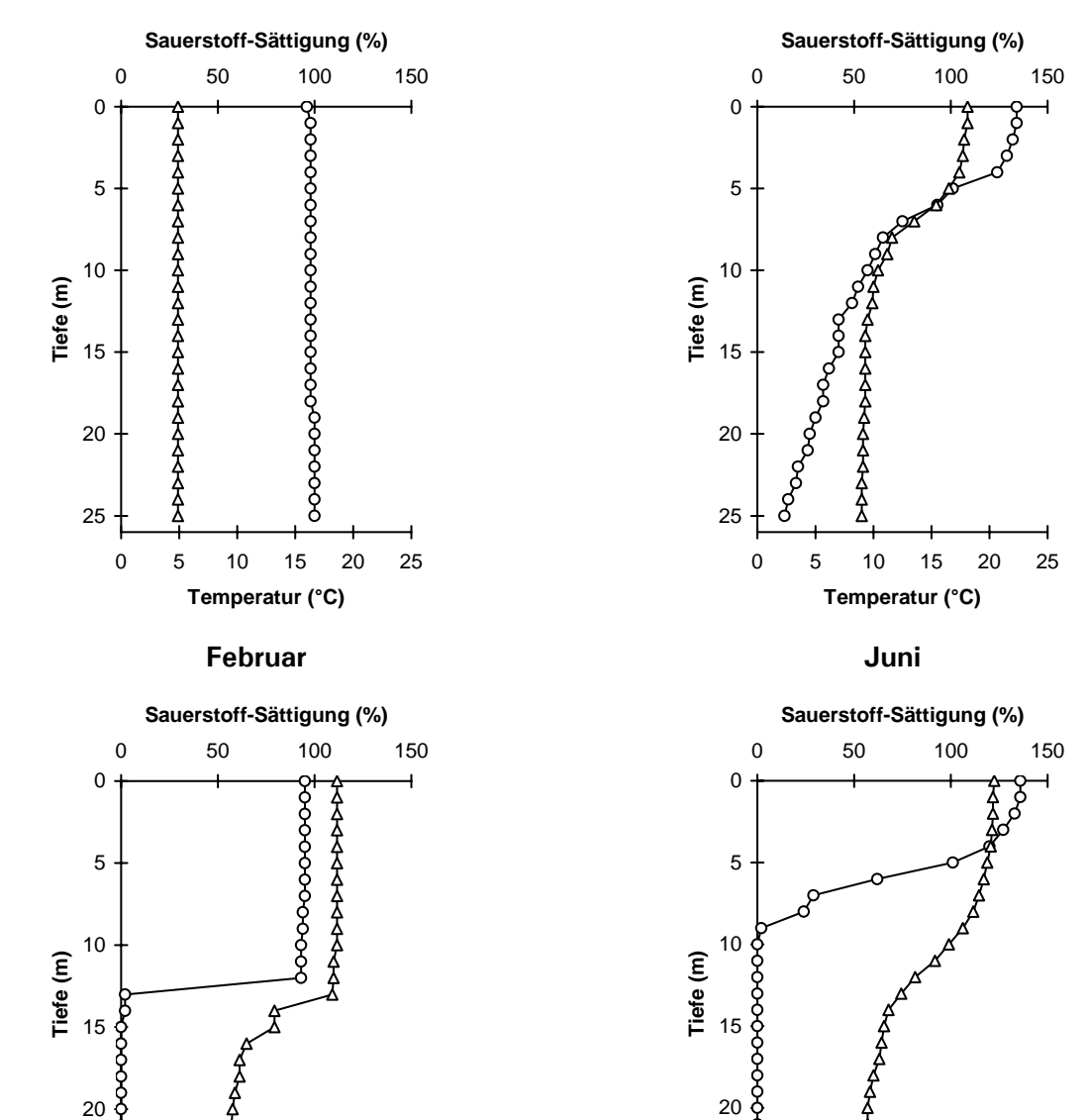
15

Temperatur (°C)

Juli

20

dem geringeren Biovolumen im Jahresverlauf die geringe Präsenz von Diatomeen im Frühsommer im Kellersee auf. Während das Phytoplankton im Großen Eutiner See ab Juli von Cyanobakterien dominiert wird, treten diese im Kellersee erst im September auf. Die ab Juli im Kellersee verstärkt auftretenden Dinophyceen fehlen hingegen im Großen Eutiner See.



25

Sauerstoff

0

5

10

Temperatur (°C)

September

15

20

25

Abbildung 36: Tiefenprofile von Temperatur (°C) und Sauerstoff-Sättigung (%) im Kellersee in 2002; Temperatur

25

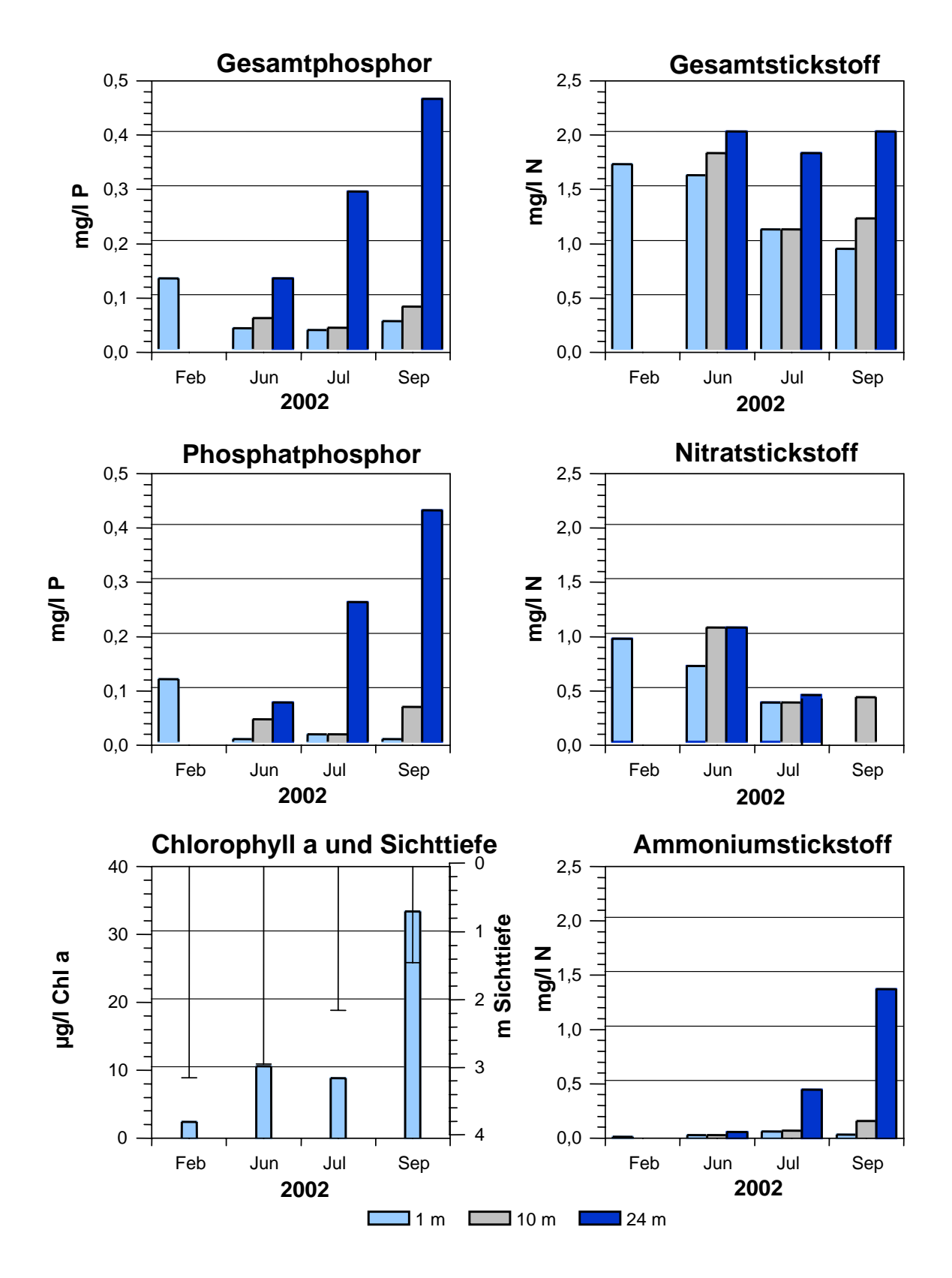
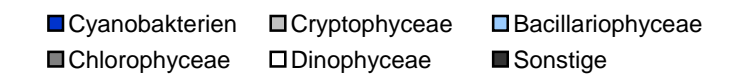


Abbildung 37: Gesamtphosphor (mg/l P), Gesamtstickstoff (mg/l N), Phosphat (mg/l P), Nitrat (mg/l N), Ammonium (mg/l N) sowie Chlorophyll a (µg/l) und Sichttiefen (m) im Kellersee 2002



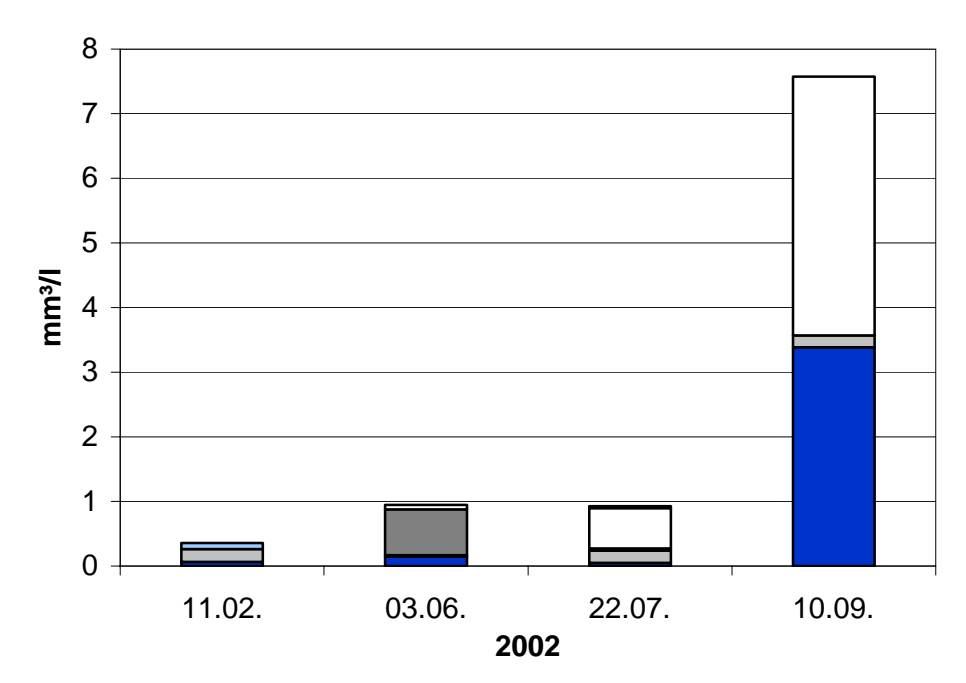


Abbildung 38: Entwicklung des Biovolumens der dominierenden Phytoplanktongruppen (mm³/l) im Kellersee 2002

Nach Auskunft von Anglern kann man im Kellersee Aal, Barsch, Brassen, Hecht, Karpfen, Plötze, Rotfeder, Rutte, Schleie und Zander fangen. Außerdem werden Maränen eingesetzt. Genauere Angaben zur Fischfauna liegen für den Kellersee nicht vor.

Insgesamt zeigte der Kellersee mit vergleichsweise geringen Phytoplanktondichten und verhältnismäßig spätem Auftreten von Cyanobakterien, einem nicht allzu früh einsetzendem Sauerstoffund Nitratschwund im Tiefenwasser mit moderater Anreicherung von Phosphor und Ammonium einen sehr viel ausgeglicheneren Stoffhaushalt als die oberhalb liegenden Seen. Im Gegensatz zum Großen Eutiner See mit seinen ungünstigen Schichtungsverhältnissen nahmen die Phosphorwerte im Oberflächenwasser über den Sommer hin deutlich ab. Durch die vergleichsweise günstigen Schichtungsbedingungen im Kellersee (lange Schichtungsdauer, relativ großes Hypolimnion) können die zufließenden Phosphorfrachten hier effektiv verringert werden und der See wirkt als Phosphorfalle für das Schwentinesystem. Negativ zu bewerten ist lediglich das verstärkte Auftreten der Dinoflagellaten im Herbst und das Fehlen größerer Zooplanktonarten, die einen kontrollierenden Einfluss auf das Phytoplankton ausüben könnten.

Der Kellersee wurde von THIENEMANN (1922) bereits zwischen 1918 und 1924 untersucht. Sauerstoff war in jenem Zeitraum auch gegen Ende der Sommerstagnation im unteren Hypolimnion (mit einer Ausnahme) noch vorhanden und die Sättigung lag über 10 %, der Sauerstoffhaushalt war also wesentlich ausgeglichener als heute. 1988 untersuchten MAKULLA & SOMMER (1993) Phytoplankton und Nährstoffverhältnisse im Kellersee. Die Gesamtphosphorkonzentration schien mit Werten zwischen 0,05 und 0,22 mg/l P zur damaligen Zeit selbst bei Einbeziehung möglicher methodischer Unterschiede in der Analytik deutlich höher als heute zu liegen. Am deutlichsten jedoch war der Unterschied beim Nitrat: während 2002 an allen vier Beprobungstagen die Nitratkonzentrationen unter 1 mg/l N lagen (0,05 bis 0,95 mg/l N), wurden 1988 stets Werte über 1 mg/l N gemessen (1,15 - 1,69 mg/l N). Das Phytoplankton setzte sich 1988 bis zum Klarwasserstadium im Mai aus Kieselalgen zusammen, die im Februar 2002 bei geringen Kieselsäurekonzentrationen nur in geringen Abundanzen auftraten. Durch den milden Winter 2001/2002 setzte die Kieselalgenblüte in den stromaufwärts liegenden Seen wahrscheinlich früher ein, so dass der Kellersee nur noch geringe Mengen an Kieselsäure aus der Schwentine erhielt.

Sichttiefen sowie Temperatur- und Sauerstoffverhältnisse im Kellersee wurden von Mai bis November 1993 von HARBST (1993) im Auftrag des Landesamtes für Wasserhaushalt und Küsten untersucht. Die Sauerstoffverhältnisse im Hypolimnion waren ähnlich wie 2002: kontinuierliche Abnahme ab Juni und vollständige Sauerstofffreiheit im Hypolimnion im Juli. Die 2002 an den vier Beprobungstagen gemessenen Sichttiefen lagen mit 1,4 m Minimum und 3,1 m Maximum

deutlich unter den 1993 gemessenen Werten. 1993 wurden an 3 von 7 Tagen Sichttiefen von 6 m und mehr gemessen, das Minimum betrug 2,85 m.

Der Kellersee war zu Beginn des 20. Jahrhunderts also sehr viel nährstoffärmer, Ende der 1980er Jahre war seine Trophie jedoch bedeutend höher als zum jetzigen Zeitpunkt, während die 1993 durchgeführten Untersuchungen bereits auf eine Verringerung der Trophie hindeuten.

#### Seegrund

Die tierische Besiedlung des Sedimentes im Kellersees wurde im Auftrag des Landesamtes von OTTO (2002) untersucht. Die folgenden Ausführungen sind seinem Bericht entnommen.

Am Kellersee wurden zwei Transekte untersucht: das eine reichte von der Jugendherberge Ohlenhof über die Malenter Bucht bis zum südwestlichen Ufer, das andere zog sich von der tiefsten Stelle nach Nordwesten. In der Malenter Bucht wurden in 0,5, 2, 5 und 10 m Wassertiefe Proben entnommen, im Hauptbecken in 0,5 m sowie 2, 5, 10 und 25 m Tiefe.

Insgesamt wurden 56 Taxa gefunden, davon 6 nur als Schalenfunde. Das Transekt, das sich über die Malenter Bucht zog, war mit 41 lebenden Arten artenreicher als das über die tiefste Stelle (34 lebende Arten). Die artenreichsten Gruppen waren die Zuckmückenlarven (19 Arten) und die Weichtiere (13 Taxa, davon 6 nur als Schalenfunde).

Die obere Uferzone beider Transekte wurde durch hohe Zahlen von Wenigborstern (1500 - 2000 Ind./m²) und Zuckmückenlarven (*Polypedilum* cf. *nubeculosum*, 1200 - 1950 Ind./m², und *Cladotanytarsus* sp., 4500 Ind./m²) geprägt. Unterhalb von 5 m gab es mit Ausnahme von Büschelmückenlarven, diese allerdings in sehr hohen Dichten von bis zu 11.000 Ind./m², nur noch relativ wenig Bodentiere.

An beiden Transekten dominierte die Profundalfauna ab etwa 5 m Tiefe. Einige litorale Elemente wurden aber bis in 10 m Tiefe gefunden. Der Übergang zum Profundal befand sich somit zwischen 5 und 10 m.

Im Sinne von THIENEMANN (1922) ist der Kellersee als eutropher *Chironomus-plumosus*-See einzustufen, da die Büschelmückenlarve und Vertreter der *C. plumosus*-Gruppe gefunden wurden. LUNDBECK (1926) bezeichnet ihn als *Chironomus-anthracinus/plumosus*-See, wobei C. *plumosus* überwiegt. Demzufolge hat sich der See zwischen diesen Untersuchungen aufgrund der Zunahme der Trophie von einem *anthracinus*-See zu einem

plumosus-See entwickelt. Möglicherweise deutet das Massenvorkommen der Büschelmückenlarve und die verhältnismäßig geringe Dichte von Vertretern der *Chironomus-plumosus*-Gruppe einen Übergang zu einem *Chironomus*-losen *Chaoborus*-See an.

Der Kellersee wird von KOPPE (1923) noch als Gewässer mit sehr geringer Schlammbildung bezeichnet.

#### Nutzung des Sees und seines Einzugsgebietes

Der Kellersee ist Teil des FFH-Gebietes "Seen des mittleren Schwentine-Systems und Umgebung", das 2004 als FFH-Gebiet gemeldet wurde.

Die fischereiliche Nutzung des **See**s erfolgt durch einen Berufsfischer. Außerdem werden dort in Netzgehegeanlagen der Nordseeschnäpel vorgezogen. Der Kellersee wird von Ausflugsdampfern befahren.

Die Beschreibung der Nutzung der Ufer folgt im wesentlichen den Angaben von STUHR (2002). Die Ufer sind in weiten Bereichen durch die angrenzenden Siedlungen Malente, Fissau und Sielbeck geprägt. Zahlreiche Stege, einige Schiffsanleger, Uferbefestigungen und Trittstellen bestimmen hier das Bild. In den mit Wald bestandenen Bereichen ist das Ufer durch einen ufernahen Wanderweg erschlossen. Badestellen gibt es in Malente sowie bei Sielbeck eine kleinere rasenbewachsene Stelle. Nördlich der Halbinsel Ohlenhof gibt es einen beweideten Uferbereich.

Das Teil-**Einzugsgebiet** des Sees wird zu etwa knapp zwei Drittel (61 %) der Fläche landwirtschaftlich, davon drei Viertel als Acker, genutzt. 22 % sind Wald, 7,9 % Wasserflächen, Siedlung machen 6,6 % der Einzugsgebietsfläche aus. Die Zahl der Großvieheinheiten lag mit durchschnittlich 0,7 GVE/ha landwirtschaftlich genutzter Fläche mäßig hoch.

Abwasser erhält der Kellersee aus den zentralen Kläranlagen Malente und Eutin (Eintrag insgesamt 390 kg/a Phosphor). Im Vergleich dazu tragen die noch in den Orten Malente, Eutin, Söhren, Malkwitz, Sieversdorf und Neukirchen vorhandenen Hauskläranlagen mit insgesamt 116 Einwohnergleichwerten und unter 50 kg/a P nur gering zur Phosphorbelastung bei.

# Belastungssituation des Sees

Aufgrund der Flächennutzung und der Abwasserbeseitigung im Einzugsgebiet sowie der Niederschlagsbeschaffenheit werden im folgenden die Einträge der Nährstoffe Phosphor und Stickstoff in den Kellersee grob abgeschätzt (Abbildung 39 und Tabelle 7).

Tabelle 7: Einträge von Phosphor und Stickstoff in den Kellersee aus verschiedenen Quellen (Abschätzung gemäß Kapitel Auswertungsmethoden)

Flächennutzung	[ha] bzw.	[kg/ha a] bzw.	P-Eintrag	[kg/ha a] bzw.	N-Eintrag
	Stück	[kg/GVE a]	[kg/a]	[kg/DE a]	[kg/a]
Wasserflächen	642	, ,			. 0 .
Acker	3.870	0,5	1.935	20	77.400
Grünland	1.146	0,2	229	10	11.460
Großvieheinheiten	3.511	0,20	702	0,9	3.160
Moor	4	0,2	1	10	40
Wald	1.781	0,05	89	7	12.467
Siedlung	538	0,8	404	13	6.994
Andere Nutzung	122	0,1	6	10	1.220
Summe	8.103		3.366		112.741
Niederschlag	551	0,15	83	12	6.612
auf die Seeflächen					
Punktquellen	Einleitmenge	P-Konzentration	P-Eintrag	N-Konzentration	N-Eintrag
Schmutzwasser	[m³]	[mg/l]	[kg/a]	[mg/l]	[kg/a]
Haus KA´s Eutin	1.752	8	14	80	140
Haus KA's Neukirchen	547	8	4	80	44
Haus KA's Sieversdorf	1.314	8	11	80	105
Haus KA´s Söhren	2.300	8	18	80	184
ZKA Malente	650.000	0,2	130	10	6500
ZKA Eutin	1.300.000	0,2	260	10	13000
Summe			437		19.973
	km²	Jahresmittelwerte		Jahresmittelwerte	
aus Einzugsgebiet Uklei See	12,12	0,06	229	2,5	9.555
aus Einzugsgebiet					
Schwentine	55,23	0,13	2.264	1,27	22.120
		-,		.,	
Gesamteintrag in den See			Phosphor		Stickstoff
Summe [kg/a]			6.379		171.001
g/m² a (bezogen auf Seefläche	e)		1,16		31,0
kg/ha a (bezogen auf Landfläc	,		0,44		11,1

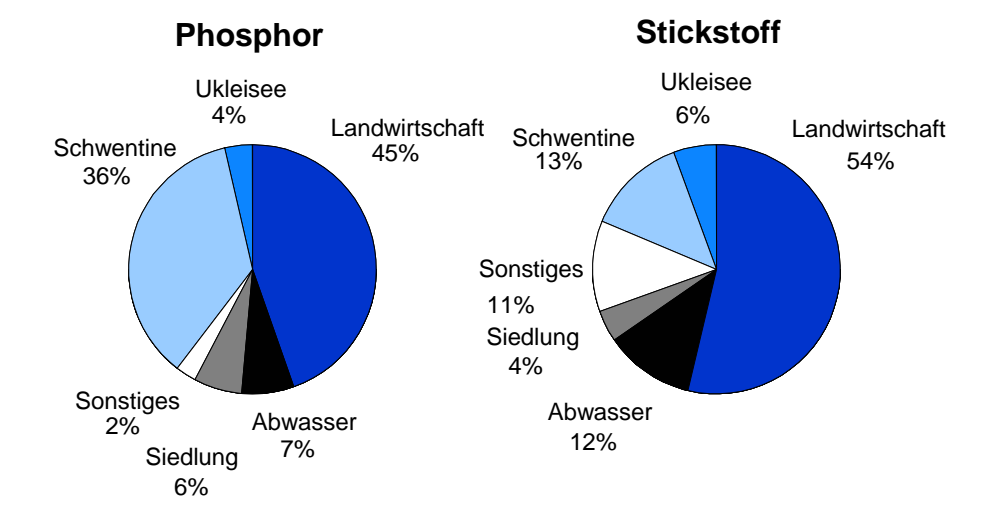


Abbildung 39: Quellen für Phosphor- und Stickstoffeinträge in den Kellersee

Die Einträge aus dem Einzugsgebiet und durch Niederschlag lagen insgesamt bei 6,4 t/a Phosphor und bei 171 t/a Stickstoff. Hauptquelle beim Phosphor (45 %) stellt die landwirtschaftliche Nutzung des Teileinzugsgebietes dar, der Eintrag über die Schwentine macht 36 % aus. Abwasser und Siedlungsentwässerung haben mit 6,8 und 6,3 % einen ähnlich hohen Anteil an der Phosphorbelastung bei. Beim Stickstoff trägt die Landwirtschaft im Teileinzugsgebiet über die Hälfte

(54 %) zur Belastung bei, auch das Abwasser hat mit 12 % einen relativ hohen Anteil. Mit jährlich 1,17 g/a·m² Seefläche Phosphor ist die Flächenbelastung des Kellersees hoch.

Anhand der ermittelten Phosphoreinträge lässt sich nach VOLLENWEIDER & KEREKES (1980) unter Einbeziehung der Seebeckengestalt und des Wasseraustausches die zu erwartende Phosphorkonzentration im See abschätzen:

$$PE = \frac{L * Tw}{z (1 + \sqrt{Tw})}$$

PE: : = erwartete Phosphor-Konzentration im See (mg/l) L : 1,16 = jährliche Phosphor-Belastung pro Seefläche (g/a·m

L : 1,16 = jährliche Phosphor-Belastung pro Seefläche (g/a⋅m²)
Tw : 1,4 = theoretische Wasseraufenthaltszeit (a)

z : 11,7 = mittlere Tiefe des Sees (m)

$$P_{E} = \frac{1,16*1,4}{11,7~(1+\sqrt{1,4})} \quad = \text{ 0,063 mg/l P}$$

Die nach VOLLENWEIDER zu erwartende Phosphor-Konzentration im Kellersee liegt mit 0,06 mg/l Phosphor deutlich unter der gemessenen Frühjahrskonzentration von 0,13 mg/l P. Wie bereits oben erwähnt, waren die Frühjahrs-Phosphorkonzentrationen 2002 jedoch möglicherweise durch die extremen Niederschläge im Februar höher als in gewöhnlichen Jahren und sind damit nicht für die durchschnittliche Phosphormenge im See repräsentativ. Insgesamt lässt sich für diesen See anhand dieser Betrachtungen keine Aussage zur Phosphorretention treffen. Eine grobe Bilanzabschätzung für die Schwentineseekette (LANU 2005, unveröff.) ergab für den Kellersee aber eine deutliche Nettofestlegung von Phosphor. Die vergleichsweise guten Sauerstoffbedingungen und die relativ geringen P-Konzentrationen im Tiefenwasser unterstützen diese Vermutung.

#### **Bewertung**

Der von der Schwentine durchflossene Kellersee besitzt ein sehr großes Einzugsgebiet. Die derzeitige Phosphorbelastung wurde auf 1,16 g/m² und Jahr geschätzt und liegt damit sehr hoch. Es ist allerdings zu vermuten, dass nur ein Teil der aus der Malenter Au zufließenden Frachten tatsächlich das Hauptbecken des Kellersees erreicht, so dass die tatsächliche Belastung zumindest für diesen Seeteil geringer anzusetzen wäre.

Die Stoffumsätze im Kellersee sind trotz der hohen Phosphorbelastung durch die günstigen Schichtungsverhältnisse relativ ausgeglichen. Dies wird an den geringen Phytoplanktonbiovolumina und dem späten Auftreten von Blaualgen, einem nicht

allzu früh einsetzenden Sauerstoff- und Nitratschwund im Tiefenwasser mit moderater Anreicherung von Phosphor und Ammonium deutlich. Phosphor, der stets der limitierende Faktor für das Algenwachstum bleibt, nimmt im Oberflächenwasser über den Sommer hin ab, und der See wirkt vermutlich als Phosphorfalle für das Schwentinesystem.

Die Zusammensetzung des Makrozoobenthos dagegen, das unterhalb von 5 m Wassertiefe nur aus der Büschelmückenlarve bestand, deutet auf starke Zehrungsprozesse im Tiefenwasser hin.

Das Röhricht des Kellersees ist stark durch Siedlung und Freizeitnutzung beeinträchtigt, der bereits vor 20 Jahren konstatierte Rückgang ist weiter fortgeschritten. Die Unterwasservegetation ist stabil, mit 14 Arten liegt der Kellersee jedoch bezüglich der Artenzahlen nur im Mittelfeld der basischen Seen Schleswig-Holsteins. Auf eine Störung im Artengefüge deuten trotz der vergleichsweise guten Tiefenausdehnung der Vegetation das Fehlen empfindlicher Arten, insbesondere größerer Bestände von Armleuchteralgen, sowie das vielfach beobachtete Auftreten von Polstern fädiger Grünalgen hin.

#### **Empfehlungen**

Der gegenwärtige trophische Zustand des Kellersees nach LAWA (1998) ist schwach eutroph (e1), sein Referenzzustand wäre oligo- bis mesotroph. Der gute ökologische Zustand für den Kellersee, meso- bis schwach eutroph, ist zwar recht nah am Istzustand, da aber andere Hinweise, wie die Artenzusammensetzung des Benthos, auf

eine Eutrophierung hin deuten und Maßnahmen zur Verringerung der Phosphorbelastung darüber hinaus dem gesamten Schwentine-Einzugsgebiet zugute kommen, sollten auch am Kellersee die Nährstofffrachten verringert werden. Dies sollte zum einen durch Maßnahmen im oberhalb gelegenen Einzugsgebiet geschehen, zum anderen aber auch durch Maßnahmen im Teileinzugsgebiet. Folgende Maßnahmen werden vorgeschlagen:

- An der Malenter Au befinden sich oberhalb und unterhalb von Sieversdorf ausgedehnte ehemalige Niedermoorgebiete, die teilweise wiedervernässt und extensiv genutzt werden könnten (ca. 110 ha). Nach HANSEN (2001) wird ein Teil des Grünlandes schon extensiv bewirtschaftet. Einige Flächen wurden bereits aufgekauft.
- Die entwässerte Niedermoorfläche, die der im Süden in den Kellersee mündende Beutiner Graben durchfließt, werden im oberen Bereich als Acker, im seenahen Bereich als Grünland genutzt. Eine Extensivierung der seenahen Flächen und eine Umwandlung der entlang der Bahn Eutin-Malente gelegenen Ackerflächen in Grünland sollte daher ebenfalls geprüft werden (ca. 120 ha).
- Größere Ackerflächen auf Niedermoorböden befinden sich nordwestlich des Kleinen Benzer Sees sowie im Quellgebiet der Malenter Au (ca. 80 ha). Diese Flächen sind zwar vergleichsweise weit vom Kellersee entfernt, da aber Acker auf Niedermoor einen besonders hohen Nährstoffaustrag aufweist, könnte eine Umwandlung in Grünland deutlich zur Nährstoffentlastung beitragen.
- Von den direkt an den See angrenzenden Flächen sollten vorrangig die Nutzung einzelner ufernah gelegener Ackerflächen, so z.B. die in Hanglage zum See befindliche Fläche südlich Hängebargshorst am östlichen Nordufer, extensiviert werden. Östlich von Rothensande trennt nur ein schmaler Gehölzstreifen den Acker vom Gewässer. Auch nördlich von Fissau ist eine steil abfallende Obstbaufläche nur durch einen Gehölzsaum vom Seeufer getrennt.
- Alle zufließenden Gewässer sollten mit einem nicht genutzten Randstreifen sowie einem extensiv bewirtschafteten Pufferstreifen versehen werden, dessen Breite von Größe, Abfluss und Hangneigung am Gewässer abhängt (s. MLUR 2005). Im Einzugsgebiet des Kellersees betrifft dies besonders die Malenter Au.
- Die Abzäunung der bisher auf etwas über 100 m Länge beweideten Ufer vor dem Grünland nördlich Ohlenhof könnte den direkten

- Nährstoffeintrag ebenfalls deutlich verringern.
- Bewohner der ufernahen Privatgrundstücke (z.B. in Fissau) können durch Unterlassen oder Verringerung der Düngung von ufernahen Flächen sowie einer sinnvollen Lagerung der Gartenabfälle ebenfalls zur Verringerung der Belastung beitragen. Wenn auch der Anteil dieser Quelle verglichen mit der Gesamtbelastung gering ist, so haben diese Düngestoffe durch den unmittelbar am Ufer erfolgenden Eintrag doch vermutliche einen verhältnismäßig großen Einfluss auf die Ufervegetation. Hier könnte Aufklärungsarbeit geleistet werden.
- Entsprechend der starken Nutzung der Ufer ist der Röhrichtgürtel geschädigt bzw. streckenweise nicht mehr vorhanden. Um die Restbestände vor den bewaldeten Uferbereichen zu erhalten, sollte, wie größtenteils bereits geschehen, weiterhin versucht werden, den Vertritt im Uferbereich durch sanfte Besucherlenkung zu verringern.

# Dieksee (2002)

Topographische Karte (1 : 25.000):	1828/1829
Flusssystem:	Schwentine, Ostsee
Kreis:	Ostholstein
Gemeinde:	Malente
Eigentümer:	Land Schleswig-Holstein
Pächter:	Gewerblicher Fischer
Lage des oberirdischen Einzugsgebietes:	
Rechtswerte:	359714 - 360164
Hochwerte:	600230 - 600760
Höchster Wasserstand (Abflussjahr 2002, m ü.NN):	22,78
Mittlerer Wasserstand (Abflussjahr 2002, m ü.NN):	22,44
Niedrigster Wasserstand (Abflussjahr 2002, m ü.NN):	22,32
Größe des oberirdischen Einzugsgebietes (km²):	165,6
Größe des oberirdischen Teileinzugsgebietes (km²):	16,2
Seefläche (km²):	3,75
Seevolumen (Mio. m³) bei 22,45 m ü.NN:	54,1
Maximale Tiefe (m):	38,1
Mittlere Tiefe (m):	14,0
Uferlänge (km):	11,5
Theoretische Wasseraufenthaltszeit (a): (bei einem geschätzten Abfluss von 10 l/(s·km²))	1,0
Umgebungsarealfaktor (m²/m²):	43,3
Umgebungsvolumenfaktor (m²/m³):	3,0
Uferentwicklung:	1,7
Hypolimnion/Epilimnion (m³/m³):	0,74
Mischungsverhalten:	im Sommer stabil geschichtet
Seetyp:	10

## **Entstehung**

Die eiszeitliche Entstehung des Dieksees nach GRIPP (1953) ist in LANDESAMT FÜR WASSERHAUSHALT UND KÜSTEN SCHLESWIGHOLSTEIN (1984) dargestellt: Der Dieksee, der im Süden von einem aufgestauchten Binnensander begrenzt wird, wurde als Zungenbecken vorgeformt. Während eines weiteren Gletschervorstoßes wurde nördlich des Sees ein Endmoränenwall gebildet, während die vorgeformte Hohlform durch das dazwischen lagernde Toteis konserviert wurde und sich nach Abschmelzen des Eises mit Wasser füllte.

#### Einzugsgebiet und Morphologie des Sees

Nachdem die Schwentine den Kellersee durchflossen hat, mündet sie nach einer Fließstrecke von

ca. 2 km, die überwiegend durch Stadtgebiet führt, in den Dieksee (Abbildung 40).

Das oberirdische Einzugsgebiet dieses Sees ist mit 165,5 km² groß. Bei einer Seefläche von 3,75 km² ergibt sich daher ein relativ großer Umgebungsarealfaktor von 43. Der Umgebungsvolumenfaktor liegt mit 3 im mäßigen Bereich. Die direkte Umgebung des Sees ist vor allem durch Wald, Acker und Siedlung (Gremsmühlen, Timmdorf, Niederkleveez) geprägt. Im Süden befindet sich eine große Kiesgrube. Die unversiegelten Böden des Teileinzugsgebiets bestehen im Norden überwiegend aus Geschiebelehm, während die Stauchmoräne am Südufer sich vorwiegend aus Kies und Sand zusammensetzt.

Die Schwentine durchfließt den Dieksee auf seiner ganzen Länge, verlässt ihn am Westufer und mündet über den Langensee in den Behler See (Abbildung 40). Einen weiteren, sehr viel kleineren Zufluss gibt es bei Hofkamp am östlichen Nordufer. Der Seespiegel des Dieksees liegt auf einer Höhe mit dem des Behler Sees und wurde bisher durch ein Stauwehr in Malente und den unterhalb des Behler Sees gelegenen Stau (Ölmühle) reguliert. Im Zuge der Wiederherstellung der Durchgängigkeit für Fische wurden die Stauwehre abgerissen und durch Sohlgleiten ersetzt. Die Wasserspiegelschwankungen des Dieksees waren im nieder-

schlagsreichen Jahr 2002 mit 46 cm recht hoch (Abbildung 41). Die auf Basis der Einzugsgebietsgröße bei einer zu Grunde gelegten Abflussspende von 10 l/s·km² berechnete theoretische Wasseraufenthaltszeit ist mit 1,0 Jahr relativ gering.

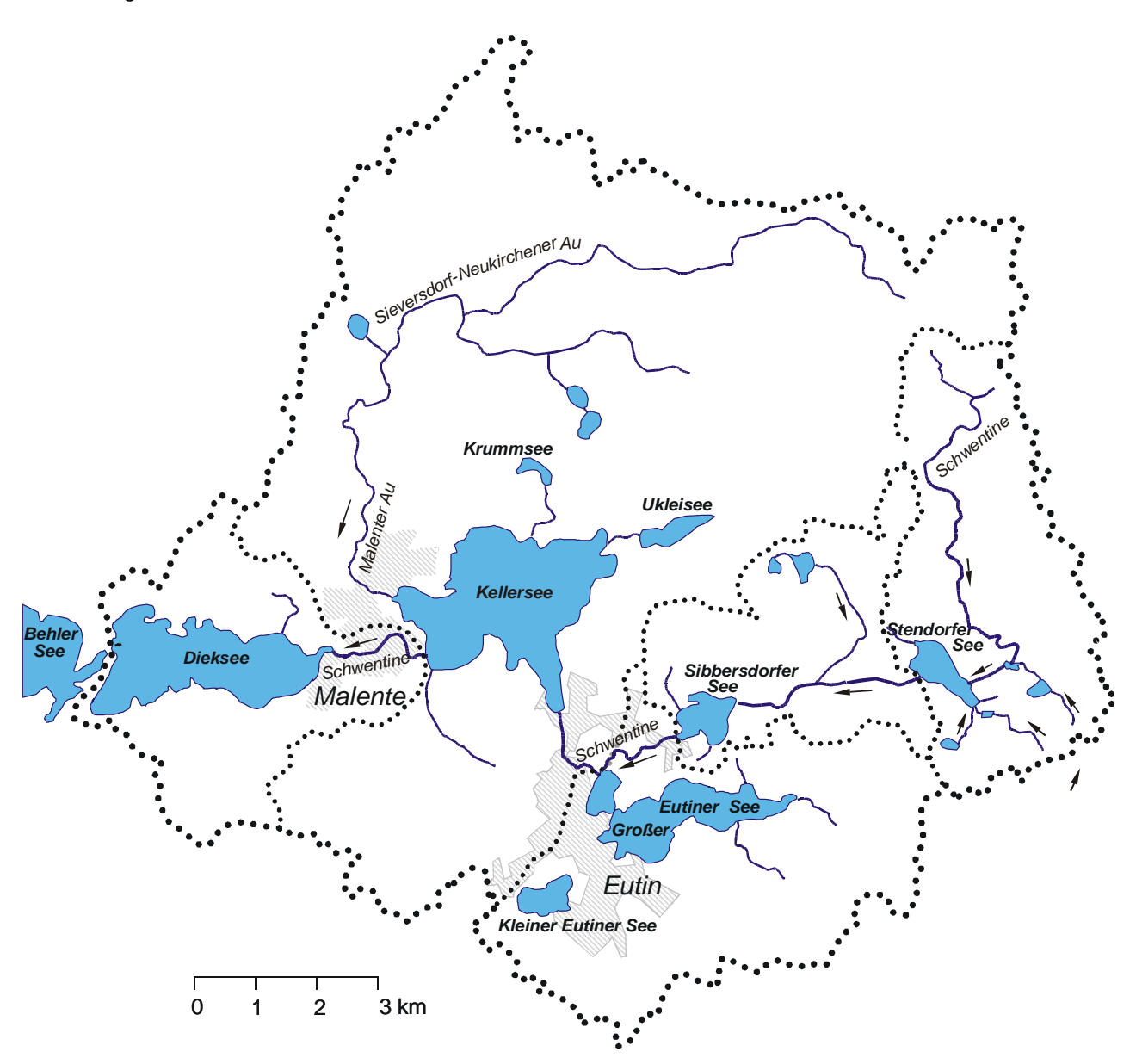


Abbildung 40: Einzugsgebiet des Dieksees

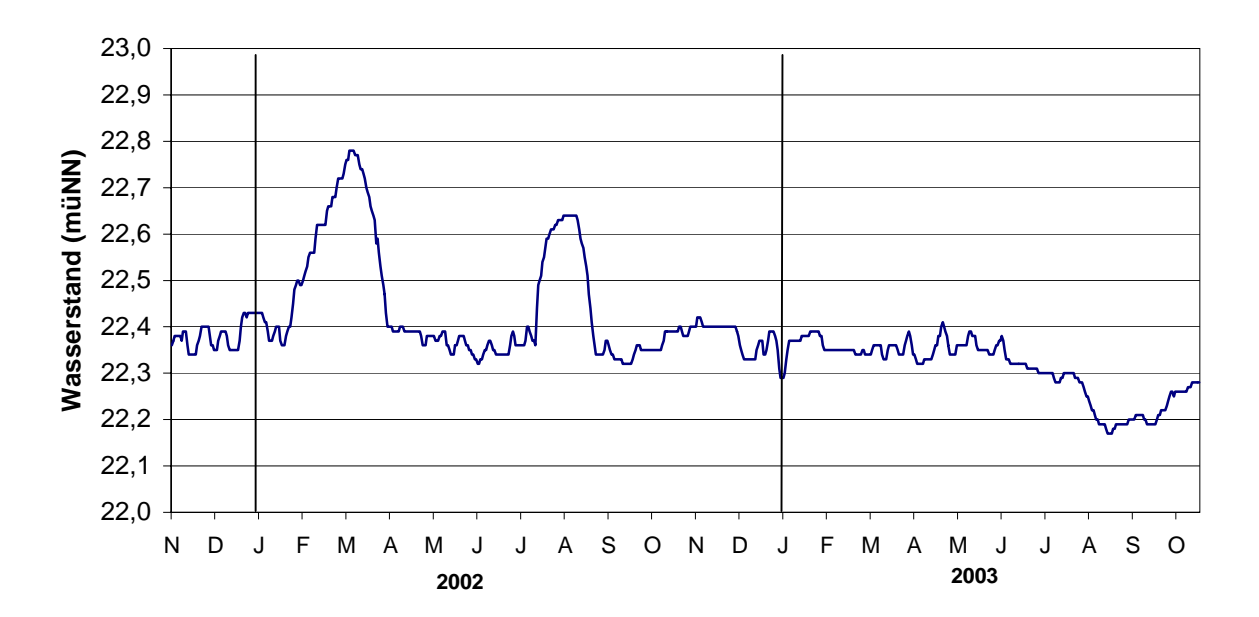
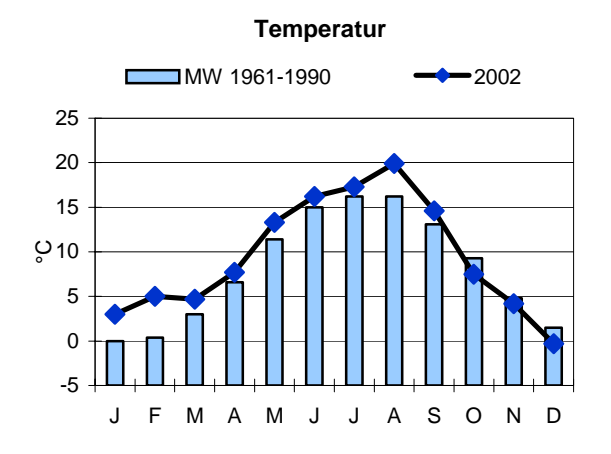


Abbildung 41: Seewasserstände (m ü.NN) im Dieksee 2002 und 2003

In Abbildung 42 sind die Temperatur- und Niederschlagsverhältnisse an der Messstation Eutin dargestellt. Das Jahr 2002 war insgesamt wärmer als im langjährigen Mittel, insbesondere der Januar und Februar, aber auch der August, wiesen überdurchschnittlich hohe Temperaturen auf. 2002

war gleichzeitig ein sehr nasses Jahr, die Niederschlagssumme lag an der Messstelle Eutin 44 % über dem langjährigen Mittelwert. Besonders viel Regen fiel im Februar und vor allem im Juli, der sich durch mehrere extreme Starkregenereignisse auszeichnete.



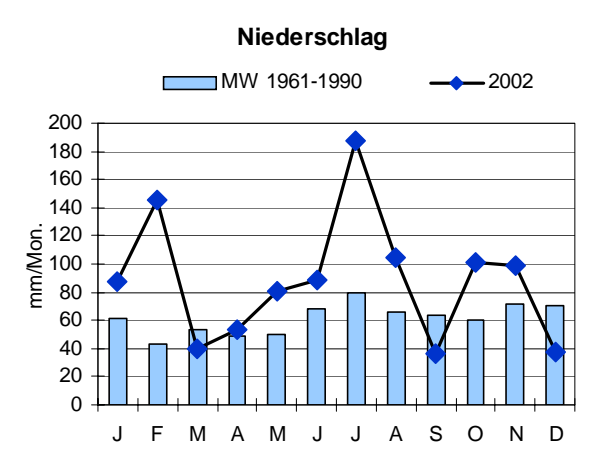


Abbildung 42: Mittlere Monatstemperaturen und monatliche Niederschlagshöhen für 2002 an der Messstation Eutin im Vergleich zum langjährigen Mittel 1961/90

Das längliche Becken des Dieksees erstreckt sich in west-östlicher Richtung und ist relativ wenig gegliedert. Die tiefste Stelle (38,1 m) liegt im westlichen Seeteil. Die Ufer fallen im westlichen Seeteil eher flach ab, im östlichen Teil sind sie steil. Auffallend ist am östlichen Nordufer die ausgeprägte Seeterrasse. Es gibt eine größere (Langenwerder) und eine kleinere Insel (Gremswerder, Abbildung 43).

Der Dieksee weist eine stabile sommerliche Temperaturschichtung auf und ist somit nach MATHES et al. 2002 dem Typ 10 zuzuordnen. Setzt man die Mitte der Sprungschicht bei 10 m an, so beträgt das Wasservolumen des Hypolimnions während der sommerlichen Schichtungsphase 43 % des Gesamtvolumens (Verhältnis Hypolimnion- zu Epilimnion-Volumen = 0,74).

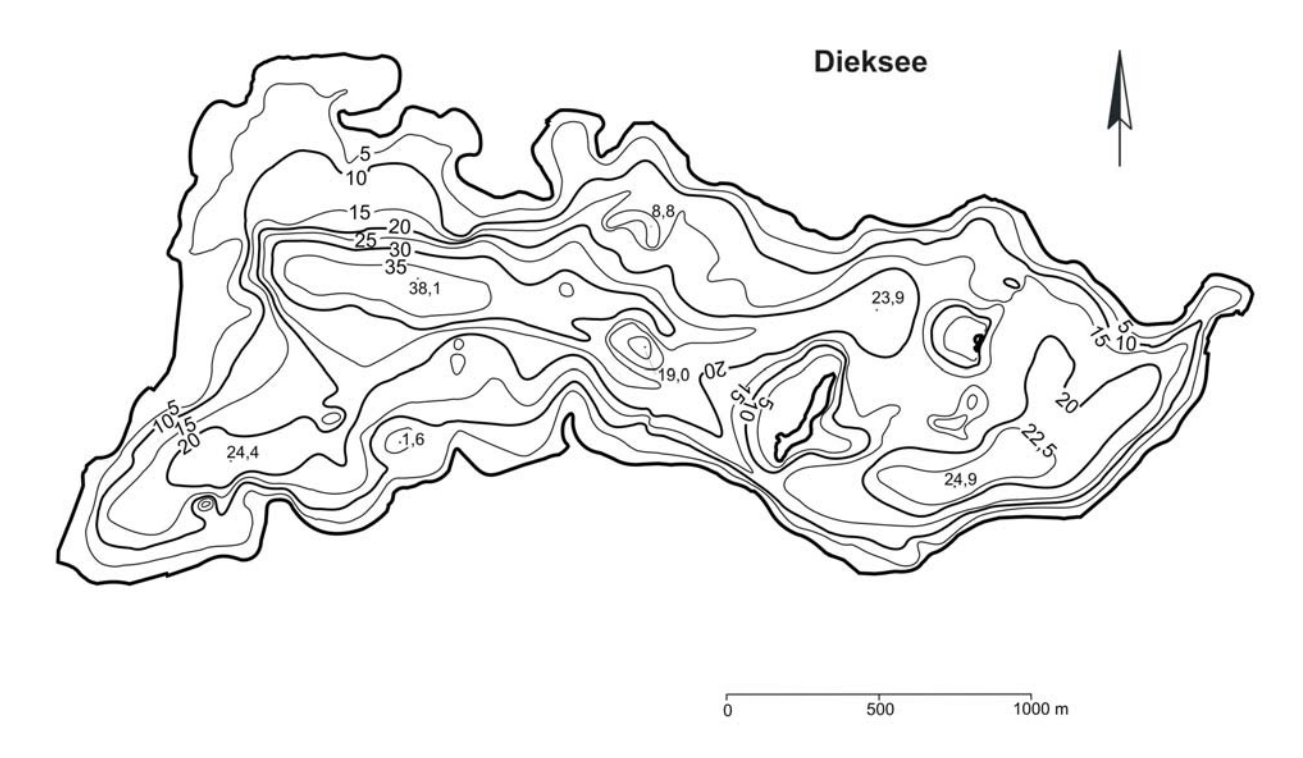


Abbildung 43: Tiefenplan des Dieksees

#### Ufer

Die Ufervegetation des Dieksees wurde im Auftrag des Landesamtes von GARNIEL (2002) erfasst. Die folgenden Ausführungen sind weitgehend ihrem Bericht entnommen.

Weite Strecken der Ufer des Dieksees sind durch die Siedlungen der Orte Gremsmühlen, Timmdorf und Niederkleevez geprägt und entsprechend naturfern.

Ufergehölze finden sich als schmaler Eschensumpfwald mit Eschen Fraxinus excelsior,
Schwarzerlen Alnus glutinosa und verschiedenen
Weidenarten Salix spp. am Südufer auf der Uferterrasse, dort wo diese breit genug ist, dass sie nicht von den oberhalb wachsenden Buchen beschattet wird, sowie auf der Insel Langenwarder. In den übrigen Bereichen ist er als schmaler Saum ausgebildet. Erlenbruchwälder mit Schwarzerle finden sich nur kleinflächig am mittleren Nordufer, am Südwestufer und am Auslauf der Schwentine, hier als entwässerter, nitrophiler Erlenbruch.

Außerhalb der Siedlungsgebiete sind die Uferzonen des Dieksees fast durchgehend bewaldet oder mit breiten Gehölzsäumen bestanden, die den gesamten Bereich der Uferterrasse und das angrenzende Kliff einnehmen. An den Brandungsufern sind die Bäume oft unterspült und teilweise umgestürzt.

Das Röhricht am Dieksee ist stark geschädigt. Wasserröhrichte, die auch im Sommer permanent überflutet sind, gibt es noch am Südufer, wo sie wegen der steilen Ufer auch natürlicherweise nur schmal ausgeprägt sind, sowie am mittleren Nordufer, wo die schütteren Restbestände durch Wasservogelverbiss stark geschädigt sind, und in sehr schmaler und stark zerschnittener Ausprägung vor den Siedlungsbereichen von Timmdorf. Die Bucht bei Timmdorf besaß früher ein wesentlich ausgedehnteres Röhricht. Das wird sowohl von alten Luftbildaufnahmen als auch durch noch vorhandene ausgedehnte Stoppelfelder dokumentiert. Weite Bereiche sind hier jetzt kahl, von Steganlagen zerschnitten oder nur von schmalen Säumen von Ersatzgesellschaften (Kalmus, Wasserschwaden, Wasserschwertlilie) bewachsen. Lediglich am Westufer nahe der Verbindung zum Behler See gibt es einen größeren Bestand, der bis zu einer Wassertiefe von 1,2 m wächst, jedoch auch bereits eine bultige Auflösung zeigt. An diesen Bestand schließt sich landseitig ein Verlandungsröhricht an. Dies ist der einzige Standort einer derartigen Sukzessionsreihe.

Als Ursache für den Röhrichtrückgang wird in der Vergangenheit die Eutrophierung und die Zer-

schneidung der Bestände durch Freizeitnutzung angesehen, während die Wiederausbreitung wie an anderen schleswig-holsteinischen Seen jetzt durch Verbiss von Wasservögeln, insbesondere von Graugänsen und Blässrallen, verhindert wird. Am Dieksee wird dies u.a. dadurch deutlich, dass an den für die Wasservögel störungsärmsten Uferbereichen wie dem südlich der Bahnlinie am Nordufer die Schäden am Röhricht am größten sind.

Schwimmblattvegetation ist am Dieksee nur spärlich ausgebildet. Die Gelbe Teichrose Nuphar lutea und die Weiße Seerose Nymphaea alba kommen in den wenigen geschützten Buchten in kleinen Beständen vor.

An Unterwasserpflanzen wurden 14 Arten gefunden und liegt somit bezüglich der Artenzahlen im Mittelfeld der basenreichen Seen Schleswig-Holsteins. Häufigste Art ist das Kammlaichkraut Potamogeton pectinatus, das in allen Uferbereichen vorkommt. Im Flachwasser bis 1 m Wassertiefe haben Unterwasserpflanzen oft den früher von Wasserschilf bewachsenen Raum besiedelt. Hier kommen fast alle am Dieksee gefundenen Arten vor. Einen eindeutigen Schwerpunkt zeigen hier der Sumpfteichfaden Zannichellia palustris und die Gemeine Armleuchteralge Chara vulgaris. Armleuchteralgen bilden im Dieksee jedoch keine flächigen Rasen aus, wie es in weniger nährstoffreichen Seen häufig der Fall ist. In geschützten Buchten (z.B. bei Timmdorf) baut der Spreizende Wasserhahnenfuß Ranunculus circinatus dichte, einartige Dominanzbestände auf. An exponierten Standorten dominiert dagegen das Kammlaichkraut. Zwischen 1 und 2 m Wassertiefe kommen alle festgestellten Arten vor. Mit Ausnahme der Bereiche mit Massenbeständen von Kammlaichkraut oder Spreizendem Wasserhahnenfuß ist die Vegetation lückig. Unbewachsene Flächen dominieren. Unterhalb von 2 m beträgt die bewachsenen Fläche nur noch weniger als 20 %. Die untere Makrophytengrenze liegt meist bei 2,8 m, nur vereinzelt werden 3,8 m erreicht. Zerbrechliche Armleuchteralge Chara globularis, Kanadische Wasserpest Elodea canadensis, Stachelspitziges Laichkraut Potamogeton friesii, Kammlaichkraut Potamogeton pectinatus, Zwerglaichkraut Potamogeton pusillus und Spreizender Wasserhahnenfuß Ranunculus circinatus wurden hier gefunden.

Als floristische Besonderheit sind jedoch drei Funde des Glanz-Laichkrautes *Potamogenton x nitens* hervorzuheben, dass laut Roter Liste (MIERWALD & BELLER 1990) in Schleswig-Holstein als ausgestorben gilt.

Die Festsubstrate der Flachwasserzone (Steine, Findlinge) sind mit Grünalgen überzogen.

Im Rahmen des Seenprogramms des Landesamtes für Wasserhaushalt und Küsten fand schon 1980 eine Aufnahme der Vegetation des Dieksees statt (LANDESAMT FÜR WASSERHAUSHALT UND KÜSTEN SCHLESWIG-HOLSTEIN 1984). Hinsichtlich der unteren Makrophytengrenze ist jedoch kein wesentlicher Unterschied zwischen 1980 und 2002 festzustellen. Unterschiede im Artenspektrum führt GARNIEL überwiegend auf Bestimmungsschwierigkeiten zurück.

#### Freiwasser

Der Dieksee wies im Sommer eine stabile thermische Schichtung auf (Abbildung 44). Bei Calciumkonzentrationen um 62 mg/l (Frühjahr) war der See mit einer Säurekapazität von 2,6 mmol/l (Frühjahr) gut gepuffert. Die pH-Werte lagen im Oberflächenwasser zwischen 8,2 und 8,7. Die elektrische Leitfähigkeit schwankte mit Werten zwischen 40,6 und 46,2 mS/m (Abbildung 48).

Die Gesamtphosphorkonzentrationen lagen mit 0,10 mg/l P im Frühjahr in einem mittleren Bereich, fielen im Verlauf des Sommers jedoch stark ab (0,03 mg/l P). Auch die Stickstoffkonzentrationen lagen mit Frühjahrswerten um 1,1 mg/l N im mittleren Bereich (Abbildung 47).

Im Februar war der Dieksee bei Wassertemperaturen von ca.  $4^{\circ}$ C und Sauerstoffsättigungen von nahe 100 % vollständig durchmischt. Die Phytoplanktonbiomasse war bei Sichttiefen von 4,5 m noch sehr gering ausgeprägt (0,15 mm³/l Biovolumen, 1,6  $\mu$ g/l Chlorophyll a). Sie setzte sich überwiegend aus Kieselalgen und Cryptophyceen zusammen (SPETH & SPETH 2002). Entsprechend der geringen Ausnutzung durch das Phytoplankton lag der Gesamtphosphor überwiegend in anorganischer Form vor.

Im Juni hatte sich eine stabile Temperaturschichtung ausgebildet. Das Phytoplanktonbiovolumen befand sich mit 0,81 mm<sup>3</sup>/l (7,8 µg/l Chlorophyll a) noch immer auf einem sehr niedrigen Niveau. Dominiert wurde die Phytoplanktongemeinschaft von Grünalgen, die einen Anteil von 60% erreichten. Neben den vorherrschenden koloniebildenden Arten der Gattungen Coelastrum, Eutetramorus, und Eudorina/Pandorina waren auch einzellige, gut fressbare Arten der Gattungen Chlamydomonas und Ankyra von Bedeutung. Im Zooplankton traten mit Vertretern des *Daphnia-longispina*-Komplexes und Copepodidstadien der filtrierenden calanoiden Ruderfußkrebse auch größeres Zooplankton in höherer Individuendichte auf. Der Gesamtphosphor im Oberflächenwasser nahm, vermutlich durch Sedimentation von abgestorbener Algenbiomasse, bereits deutlich ab (0,04 mg/l P) und lag überwiegend organisch vor. Im Tiefenwasser hatte eine Anreicherung der sedimentierten Nährstoffe (0,16 mg/l P, 1,6 mg/l N) stattgefunden. Das Hypolimnion wies aber auch in der untersten Schicht noch eine Sauerstoffsättigung von über 30 % auf.

Im Juli hatte sich, wahrscheinlich infolge der starken Niederschläge, die Sprungschicht in die Tiefe verlagert. Das Phytoplankton erreichte mit einem Biovolumen von 0,37 mm $^3$ /I (6,3  $\mu$ g/I ChlorophylI a, 2,4 m Sichttiefe) eine noch geringere Biomasse als im Juni. Neben Cryptophyceen (44 %) waren mit je etwa 18 bis 20 % auch Kieselalgen, Jochalgen und Blaualgen (überwiegend Microcystis aeruginosa) beteiligt. Mit Ausnahme von Bosmina coregoni war jetzt kaum noch großes Zooplankton vorhanden. Dafür traten vermehrt Ciliaten (Epistylis spp.) und Rädertiere (vor allem Keratella cochlearis) auf. Beide Gruppen zählen eher zu den Detritusfressern, die sich möglicherweise aufgrund des Eintrages von organischem Material während der Starkregenereignisse vermehrt entwickelt haben. Auf das Vorhandensein von Abbauprozessen organischer Biomasse deutet auch die Sauerstoffuntersättigung (90 %) im Oberflächenwasser. Im oberen Hypolimnion betrug die Sättigung noch etwa 10 %, unterhalb von 30 m Wassertiefe war das Tiefenwasser nahezu sauerstofffrei. Dort hatte nun Denitrifikation eingesetzt, erkennbar an den stark erhöhten Nitritwerten (>0,11 mg/l N). Die Anreicherung von Ammonium und Phosphat war noch immer recht gering.

Im September hatte sich die Sprungschicht wieder bei 10 m stabilisiert. Das Phytoplanktonbiovolumen erreichte mit 7,7 mm $^3$ /l (16,7  $\mu$ g/l Chlorophyll a, 1,9 m Sichttiefe) das Maximum der im Beobachtungszeitraum gemessenen Werte und wurde zu mehr als 80% von der Blaualge Microcystis aeruginosa dominiert. Zooplankter waren nur noch in geringer Dichte vorhanden. Der Phosphor im Oberflächenwasser lag jetzt fast vollständig partikulär gebunden vor und erreichte mit einer Konzentration von 0,038 mg/l P weiterhin recht niedrige Werte. Im Hypolimnion war die Zehrung bis zur völligen Sauerstofffreiheit fortgeschritten. Nitrat war in der Mitte des Hypolimnions noch vorhanden, die hohen Nitritwerte in dieser Tiefe zeigen, dass eine intensive Denitrifikation stattfand. Im unteren Hypolimnion war das Nitrat vollständig aufgezehrt. Dort hatte nun Desulfurikation eingesetzt, die an einem starken Schwefelwasserstoffgeruch deutlich wurde. Die Erhöhung der Phosphorwerte im Hypolimnion waren jedoch noch vergleichsweise gering (knapp 0,5 mg/l P) und daher nur auf Freisetzung aus frisch sedimentierten Algen zurückzuführen, eine P-Freisetzung aus dem Sediment fand vermutlich nicht statt.

Der Vergleich des Dieksees mit dem oberhalb gelegenen Kellersee zeigt hinsichtlich der Entwicklung der Phytoplanktonbiomasse einen sehr ähnlichen Verlauf. Dieser war dadurch gekennzeichnet, dass das Phytoplanktonbiovolumen bis Ende Juli nur sehr niedrige Werte < 1mm³/l erreichte und im September ein Maximum mit relativ hohen Biovolumina um 7-8 mm<sup>3</sup>/l zu verzeichnen war. Hinsichtlich der Zusammensetzung der Phytoplanktongemeinschaft fällt auf, dass diese in beiden Seen bis zum Frühsommer hin eine hohe Ähnlichkeit aufwies. Ab Juli entwickelten sich beide Seen jedoch unterschiedlich. Besonders auffällig in diesem Zusammenhang ist der geringe Anteil von Dinoflagellaten im Dieksee, während diese im Kellersee im September mehr als 50% der gesamten Algenbiomasse ausmachten. Dennoch war das Phytoplankton beider Seen im September durch einen Anstieg der Cyanobakterienbiomasse gekennzeichnet, der im Dieksee jedoch noch weitaus stärker ausgeprägt war. In beiden Seen war Microcystis aeruginosa die dominierende Art.

Der Fischbestand des Dieksees setzt sich nach Auskunft von Anglern aus Aal, Barsch, Brassen, Hecht, Plötze, Weißfisch, Zander, Kleiner und Edelmaräne zusammen.

Der Dieksee wurde bereits in den 1910er Jahren von THIENEMANN (1922) untersucht. Die Sauerstoffsättigung im unteren Hypolimnion lag zwischen 1916 und 1920 gegen Ende der Sommerstagnation meist noch über 20 % und damit deutlich höher als heute. Bei einer weiteren Untersuchung vom Dieksee im August 1930 wurde neben der Vertikalverteilung von Zooplankton auch ein Sauerstoffprofil erhoben (NABER 1933). Das Metalimnion lag bei etwa 11 bis 13 m. Der Sauerstoffgehalt unterhalb der Sprungschicht betrug etwa 2 ccm/l (entspricht einer Sauerstoffsättigung von etwa 10 %) und sank dann ab etwa 30 m Wassertiefe rapide auf nahe Null. Dies kann als Anzeichen gewertet werden, dass bereits in den dreißiger Jahren des vergangen Jahrhunderts erste Eutrophierungsprozesse im Dieksee eingesetzt hatten.

1978 bis 1979 wurden das Freiwasser und die einmündenden Gewässer vom Landesamt für Wasserhaushalt und Küsten untersucht (LANDESAMT FÜR WASSERHAUSHALT UND KÜSTEN SCHLESWIG-HOLSTEIN 1984). Der Vergleich mit älteren Daten ist aufgrund unterschiedlicher Analysenmethoden schwierig, es lassen sich jedoch folgende Trends erkennen: Es bestand damals weder Stickstoff- noch Phosphorlimitierung für das Phytoplanktonwachstum. Anorganischer Phosphor und anorganischer Stickstoff in Form von Ammonium und Nitrat waren

stets vorhanden. Gesamtstickstoff und vor allem Gesamtphosphor waren im Untersuchungsjahr 1984 deutlich höher als heute. Auch im Tiefenwasser war bis Ende Oktober noch Nitrat vorhanden. Im Oberflächenwasser wurden mehrfach starke Sauerstoffübersättigungen von bis zu 300 % erreicht. Blaualgen (*Oscillatoria* spp.) traten im September und Oktober vermehrt auf, ansonsten dominierten meist Kieselalgen. Wie 2002 fiel

im Tiefenwasser die Sauerstoffsättigung Ende Juli auf Null, Nitrat war jedoch bis auf den Monat Juli stets noch vorhanden. Trotzdem erreichten die Phosphatkonzentrationen im Tiefenwasser wesentlich höhere Werte als heute. Insgesamt scheint es, als sei die Produktivität zum damaligen Zeitpunkt deutlich höher gewesen.

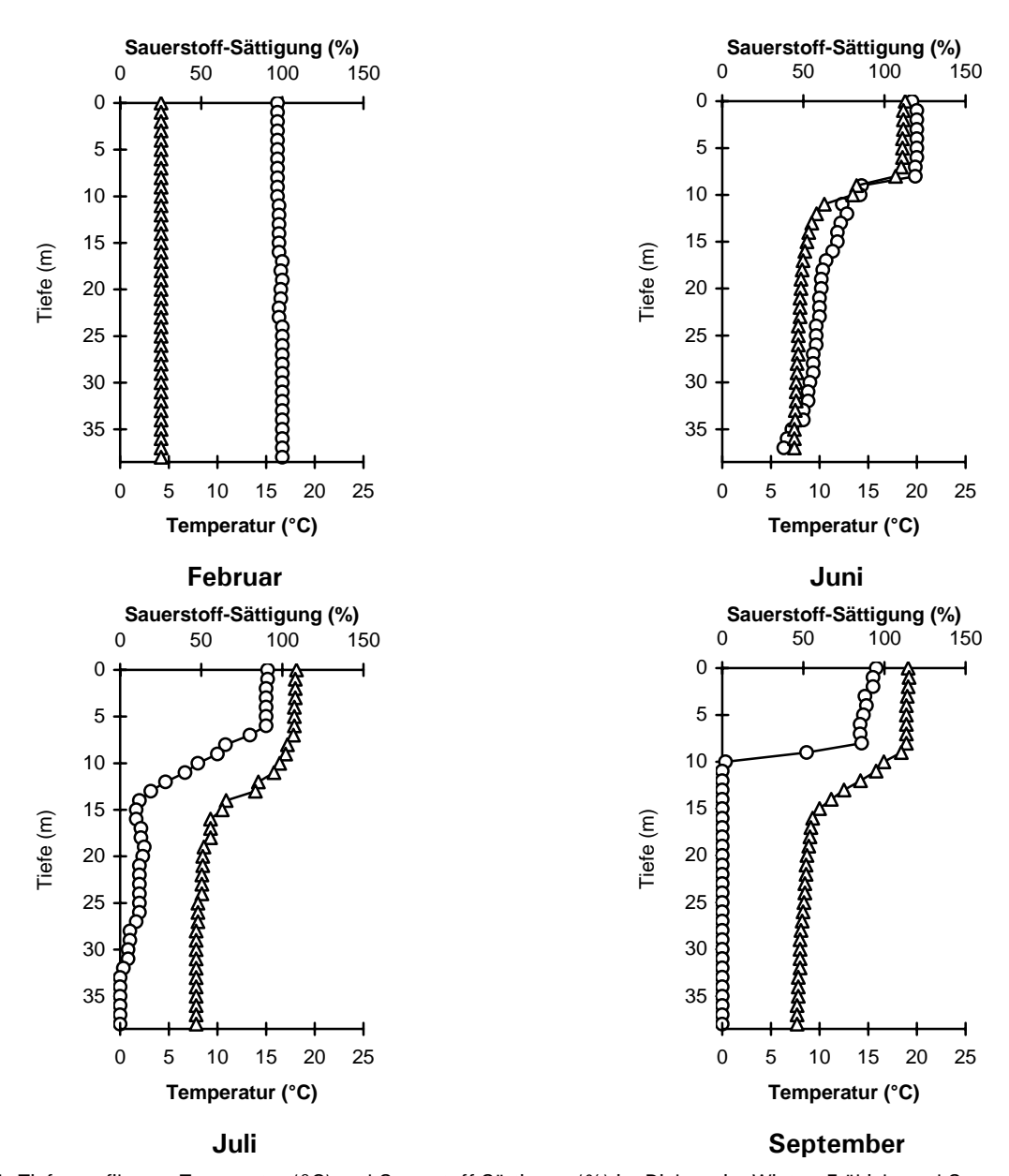


Abbildung 44: Tiefenprofile von Temperatur ( $^{\circ}$ C) und Sauerstoff-Sättigung ( $^{\circ}$ ) im Dieksee im Winter, Frühjahr und Sommer 2002; Temperatur  $^{\Delta}$  Sauerstoff o

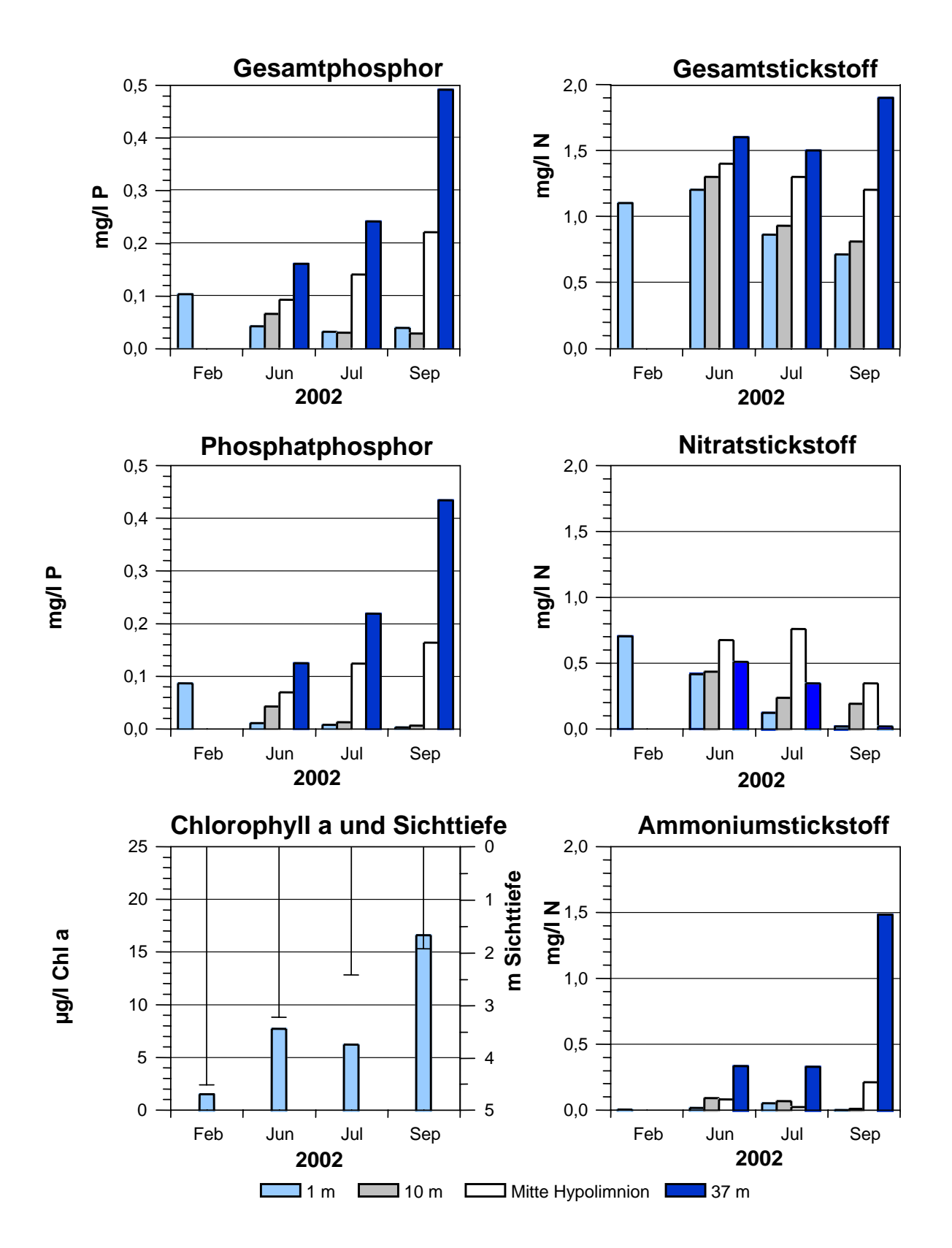


Abbildung 45: Gesamtphosphor (mg/l P), Gesamtstickstoff (mg/l N), Phosphat (mg/l P), Nitrat (mg/l N), Ammonium (mg/l N) sowie Chlorophyll a ( $\mu$ g/l) und Sichttiefen (m) im Dieksee 2002

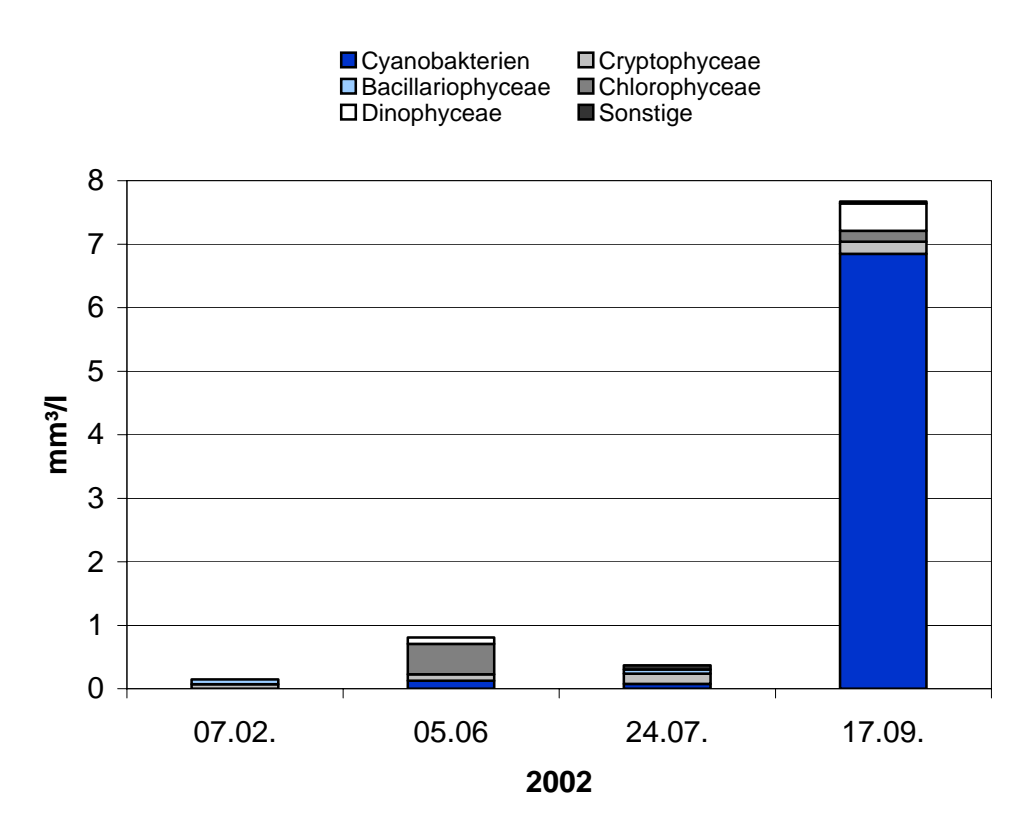


Abbildung 46: Entwicklung des Biovolumens der dominierenden Phytoplanktongruppen (mm³/l) im Dieksee 2002

Sichttiefen sowie Temperatur- und Sauerstoffverhältnisse im Dieksee wurden von Mai bis November 1993 von HARBST (1993) im Auftrag des Landesamtes für Wasserhaushalt und Küsten untersucht. Die Schichtungsverhältnisse waren ähnlich wie 2002, es wurde jedoch von Mai bis Juli ein metalimnisches Sauerstoffminimum beobachtet. Das Hypolimnion war ab Mitte August vollständig sauerstofffrei (< 0,2 mg O<sub>2</sub>/l). Die 1993 von Mai bis November monatlich gemessenen Sichttiefen lagen zwischen 3,5 und 7,3 m und damit deutlich höher als 2002 (Minimum: 1,9 m, Maximum: 4,5 m). Ob diese Unterschiede durch meteorologische Schwankungen bedingt sind oder eine tatsächliche Veränderung anzeigen, kann nicht eindeutig geklärt werden.

Der Dieksee wurde außerdem im Seenuntersuchungsprogramm des Landkreises Plön von 1992 bis 2000 untersucht (KREIS PLÖN 2001). Im Oberflächenwasser zeigte sich in allen Untersuchungsjahren im Sommer zeitweilig eine deutliche Sauerstoffübersättigung im Oberflächenwasser (bis zu 140 %), zeitweilig auch Untersättigungen (80 – 90 %). Phasenweise wurde ein metalimnisches Sauerstoffminimum beobachtet. Ab ca. Ende August war das Hypolimnion unterhalb von 15 m sauerstofffrei. Die Phosphorgehalte zeigten 1992 bis 2000 zur Zeit der Herbstzirkulation einen deutlichen Rückgang. Die sommerlichen Sichttiefen verringerten sich hingegen leicht, ein Trend der

in vielen Seen beobachtet wird und der möglicherweise mit den wärmeren Wintern der letzten Jahre zusammenhängt.

Insgesamt zeigte sich der Dieksee 2002 mit vergleichsweise geringen Phytoplanktondichten und spätem Auftreten von Blaualgen auf einem relativ geringen Trophieniveau. Der vergleichsweise spät einsetzende Schwund von Sauerstoff und Nitrat im Tiefenwasser mit nur moderater Anreicherung von Phosphor und Ammonium unterstützt diese Bewertung. Der Stoffhaushalt des Dieksees scheint relativ ausgeglichenen zu sein. Positiv zu bewerten ist auch das zumindest phasenweise vermehrte Auftreten größerer Zooplanktonarten, die dann einen kontrollierenden Einfluss auf das Phytoplankton ausüben konnten. Der Dieksee wirkt vermutlich als Phosphorfalle für das Schwentinesystem. Erste Eutrophierungserscheinungen zeigten sich am Dieksee bereits Anfang der 1930er Jahre. Gegenüber den 1970er Jahren hat sich die Trophie verringert.

# Seegrund

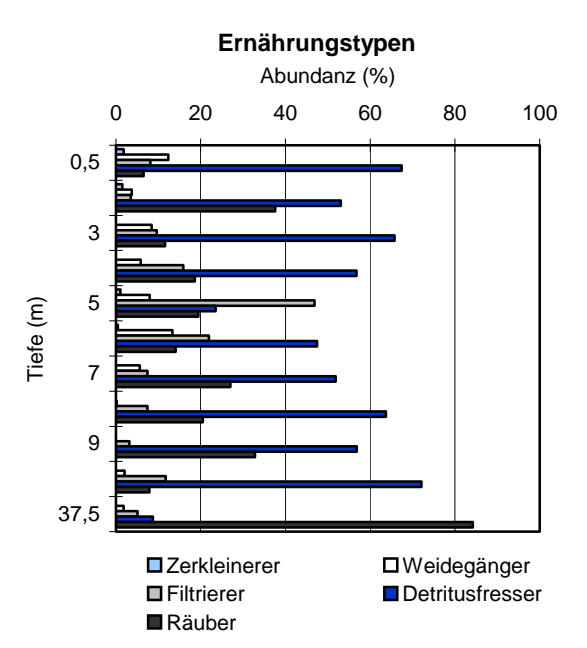
Die tierische Besiedlung des Sedimentes im Dieksee wurde im Auftrag des Landesamtes von OTTO (2001) untersucht. Die folgenden Ausführungen sind seinem Bericht entnommen. Am Dieksee wurden bei 0,5 m sowie jeweils in Meterschritten bei 2 bis 9 m, weiterhin bei 15 und 37,5 m Proben entnommen. Das Sediment war in der untersten Tiefe weich und schwarz und roch stark nach Schwefelwasserstoff.

Insgesamt wurden 59 Taxa gefunden. Die artenreichsten Gruppen waren die Zuckmückenlarven (19 Arten) und die Weichtiere (18 Taxa, davon acht nur als Schalenfunde). Insgesamt waren die meisten Taxa individuenarm.

Ufertypische Formen fanden sich überwiegend in 0 bis 7 m Tiefe, ab 8 m überwogen die Profundalarten, die jedoch nur in geringer Dichte vorhanden waren. Der Übergang zwischen Litoral und Profundal lag somit zwischen 7 und 8 m. Im Litoral kamen neben den in höheren Dichten (1000 bis 2000 Ind./m²) auftretenden Wenigborstern und der Schnecke Potamopyrgus antipodarum Larven der Zuckmückenarten Tanypus vilipennis, Polypedilum nubeculosum, Cladotanytarsus sp. und Tanytarsus

sp. vor. Auch wurden einige auf geringe Nährstoffe hindeutende Arten (die Schnecke *Gyraulis crista* und die Larve der Zuckmücke *Zalutschia zalutschicola*) gefunden.

Im oberen Profundal (bei 8 m) erreichten Larven der Zuckmückenarten *Chironomus anthracinus* (133 Ind./m²) und *Chironomus plumosus* (178 Ind./m²) höhere Dichten, ab 15 m wurden nur noch *Chironomus*-Arten (Summe: 444 Ind./m²) sowie zunehmend Larven der Büschelmücke *Chaoborus flavicans* (600 ind./m² an der tiefsten Stelle) gefunden. Der See wird daher im Sinne von THIENEMANN (1922) als mäßig eutropher *Chironomus-plumosus*-See eingestuft. Bereits in den 20er Jahren wurde der Dieksee von LUNDBECK (1926) als See diesen Typs klassifiziert, allerdings war damals der empfindlichere *Chironomus anthracinus* noch häufiger vertreten.



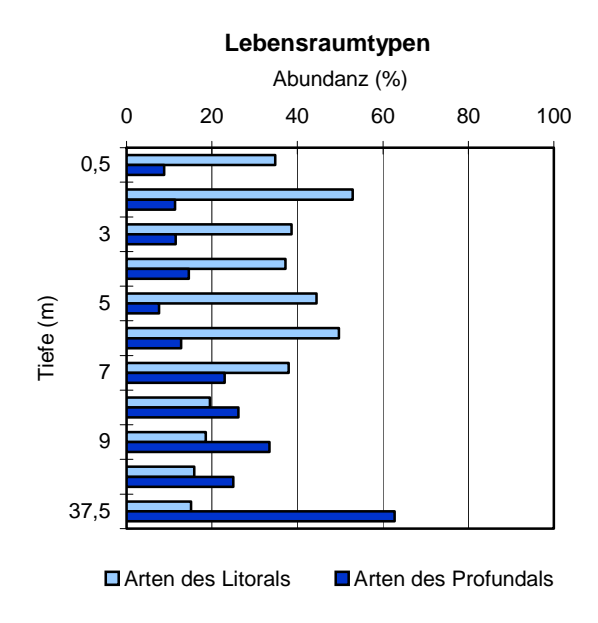


Abbildung 47: Benthos im Dieksee; Abundanz als Anteil an der Gesamtindividuenzahl der Ernährungs- und Lebensraumtypen in den verschiedenen Wassertiefen

# Nutzung des Sees und seines Einzugsgebietes

Der Dieksee ist Teil des FFH-Gebietes "Seen des mittleren Schwentine-Systems und Umgebung", das 2004 gemeldet wurde.

Die fischereiliche Nutzung des Sees erfolgt durch einen Berufsfischer. Das Befahren mit Motorbooten ist lediglich dem Fischer und der Ausflugsdampfergesellschaft ("5-Seen-Tour") gestattet, die am Dieksee in Gremsmühlen, Timmdorf und Niederkleevez Anlegestellen besitzt. Die Schiffe befahren den See von Mitte April bis Mitte Oktober täglich mit vier Touren. Verglichen mit dem Großen Plöner oder dem Kellersee wird der Dieksee von Wassersportlern relativ wenig genutzt.

Die **Inseln** sind unbewohnt, insbesondere der Lange Warder scheint jedoch bei Wassersportlern als Rastplatz beliebt zu sein. Trittschäden und Vermüllung sind die Folge.

Das Südufer des Dieksees ist bewaldet, hier verläuft ufernah ein stark frequentierter Wanderweg von Malente nach Plön. In diesem Bereich sind zahlreiche Vertrittstellen zu beobachten. Am

Nordufer reicht Ackerland relativ nah an den See, es wird jedoch nach ökologischen Richtlinien bewirtschaftet (Bioland). Am Westufer grenzt Weideland an, das aber bis auf zwei Tränkestellen vom Ufer abgezäunt ist. Auf circa einem Drittel seiner Länge ist das Ufer von Siedlungen geprägt. Während die Uferpromenade in Gremsmühlen mit ihrem hohen Versiegelungsgrad einen deutlich städtischen Charakter aufweist, herrschen in Timmdorf und Niederkleveez Gartengrundstücke mit einem hohen Grünflächenanteil vor. Vor den Privatgrundstücken gibt es zahlreiche Einzelstege. Die beiden Segelvereine (in Gremsmühlen und Niederkleevez) besitzen Sammelstege. Am Südwestufer sind die Quellhänge vor über 100 Jahre zur Speisung einer großen Kneipp-Anlage und von mehreren Ziergewässern zerstört worden. Das aus dem steilen Hang austretende Wasser wird in einem hangparallelen Graben gesammelt.

Das **Teileinzugsgebiet** des Dieksees wird zu etwa einem Drittel der Fläche landwirtschaftlich, davon

drei Viertel als Acker, genutzt. 23 % der Fläche sind Wasserflächen, etwa 10 % sind Siedlung. Der Waldanteil liegt mit fast 25 % recht hoch. Eine Sondernutzung ist der südlich des Sees großflächig erfolgende Kiesabbau. Die Zahl der Großvieheinheiten lag mit durchschnittlich 0,34 GV/ha landwirtschaftlich genutzter Fläche sehr niedrig.

Abwasser erhält der Dieksee aus seinem direkten Einzugsgebiet so gut wie gar nicht mehr. Lediglich von zwei Hauskläranlagen in Malente (8 EW) geraten geringe Mengen Abwasser in den See.

### Belastungssituation des Sees

Aufgrund der Flächennutzung und der Abwasserbeseitigung im Einzugsgebiet sowie der Niederschlagsbeschaffenheit werden im folgenden die Einträge der Nährstoffe Phosphor und Stickstoff in den Dieksee grob abgeschätzt (Abbildung 48 und Tabelle 8).

Tabelle 8: Einträge von Phosphor und Stickstoff in den Dieksee aus verschiedenen Quellen (Abschätzung gemäß Kapitel Auswertungsmethoden)

Flächennutzung	[ha] bzw.	[kg/ha a] bzw.	P-Eintrag	[kg/ha a] bzw.	N-Eintrag
	Stück	[kg/GVE a]	[kg/a]	[kg/DE a]	[kg/a]
Wasserflächen	380				
Acker	432	0,5	216	20	8.640
Grünland	130	0,2	26	10	1.300
Großvieheinheiten	337	0,20	67	0,9	303
Moor	0	0,2	0	10	0
Wald	397	0,05	20	7	2.779
Siedlung	163	0,8	122	13	2.119
Andere Nutzung	120	0,1	6	10	1.200
Summe	1.622		458		16.341
Niederschlag	375	0,15	56	12	4500
auf die Seefläche	0.0	37.3			
Dunktovallan	Finleitmen no	D Konnontrotion	D. Cintuna	N Kannantration	N. Fintro
Punktquellen	Einleitmenge	P-Konzentration	P-Eintrag	N-Konzentration	N-Eintrag
Schmutzwasser Malanta	[m³]	[mg/l] 8	[kg/a] 4	[mg/l]	[kg/a]
Hauskläranlagen Malente	438	8	<u> </u>	80	35
Summe			4		35
Finance abiet Caboon	km²	Jahresmitt	elwerte	Jahresmitt	telwerte
aus Einzugsgebiet Schwen- tine	149,41	0,08	3.769	1,3	61.253
Gesamteintrag in den See			Phosphor		Stickstoff
Summe [kg/a]			4.286,7		82.130
g/m² a (bezogen auf Seefläche)			1,11		21,3
kg/ha a (bezogen auf Landfläche)			0,26		4,70

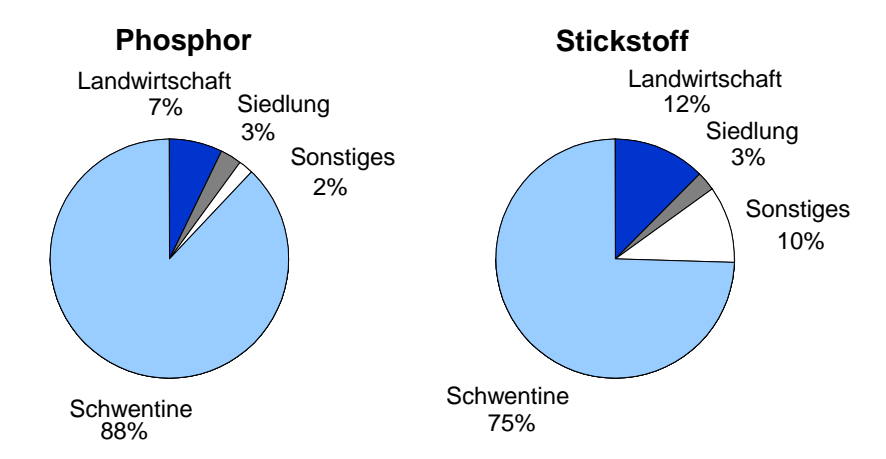


Abbildung 48: Quellen für Phosphor- und Stickstoffeinträge in den Dieksee

Die jährlichen Einträge aus dem Einzugsgebiet und durch Niederschlag lagen insgesamt bei 4,3 t/a Phosphor und bei 82,1 t/a Stickstoff. Hauptquelle für den Phosphor (88 %) und den Stickstoff (75 %) stellt die Schwentine dar. Die Abwasserbeseitigung im Teileinzugsgebiet spielt für die Nährstoffbelastung des Dieksees keine Rolle (0,1 % beim Phosphor, 0,0 % beim Stickstoff). Mit jährlich 1,11 g/a\*m² Seefläche Phosphor ist

die errechnete Flächenbelastung des Dieksees hoch.

Anhand der ermittelten Phosphoreinträge lässt sich nach VOLLENWEIDER & KEREKES (1980) unter Einbeziehung der Seebeckengestalt und des Wasseraustausches die zu erwartende Phosphor-Konzentration im See abschätzen:

$$P_E = \frac{L * T_W}{z (1 + \sqrt{T_W})}$$

 $P_E$  : = erwartete Phosphor-Konzentration im See (mg/l) L : 1,11 = jährliche Phosphor-Belastung pro Seefläche (g/a·m²)

 $T_W$ : 1,0 = theoretische Wasseraufenthaltszeit (a)

z : 14,0 = mittlere Tiefe des Sees (m)

$$P_E = \frac{1,11 * 1,0}{14,0 (1+\sqrt{1,0})} = 0,040 \text{ mg/l P}$$

Die nach VOLLENWEIDER & KEREKES zu erwartende Phosphor-Konzentration im Dieksee liegt mit 0,04 mg/l Phosphor deutlich unter dem tatsächlich im Frühjahr im Epilimnion gemessenen Wert von 0,13 mg/l P, wobei die sommerlichen Phosphorwerte allerdings nur zwischen 0,031 und 0,041 mg/l P lagen. Trotzdem ist nicht anzunehmen, dass im Dieksee eine Nettofreisetzung von Phosphor aus den Sedimenten stattfindet, da die Phosphatkonzentrationen im Hypolimnion auch im September nicht sehr stark angestiegen waren und erst ab September H<sub>2</sub>S-Geruch im Tiefenwasser festgestellt wurde.

Die frühere Belastung des Dieksees ist in einem Bericht des Landesamtes (LANDESAMT FÜR WASSERHAUSHALT UND KÜSTEN SCHLESWIGHOLSTEIN 1984) dargestellt, in dem u.a. die Schwentine und sechs weitere Zuflüsse hinsichtlich ihrer Nährstoffbelastung untersucht wurden. Die Zuflüsse waren z.T. stark belastet, und der Dieksee erhielt sowohl aus mangelhaften Kläranlagen eines Gewerbebetriebes als auch aus nicht an die zentrale Abwasserentsorgung angeschlossenen privaten Einfamilienhäusern in Timmdorf, Neversfelde und Kreuzfeld sowie der Badeanstalt Timmdorf häusliches Abwasser. Ein großer Teil dieser Einleitungen ist von etwa Anfang bis Mitte der 80er Jahre saniert worden.

#### **Bewertung**

Durch die Schwentine besitzt der Dieksee ein großes Einzugsgebiet. Die derzeitige jährliche Phosphorbelastung ist mit 1,11 g/m² entsprechend hoch.

Über den Sommer hinweg wird in dem Seeökosystem ein großer Teil des im Winter und Frühjahr aus der Schwentine und der Malenter Au über den Kellersee eingeschwemmten Phosphors gebunden und aus der produktiven Zone entfernt. Dadurch bleibt die Phytoplanktonproduktion zunächst relativ gering. Das wird an den vergleichsweise geringen Biovolumina des Phytoplanktons und auch an der geringen Anreicherung von Abbauprodukten in der Tiefenzone sichtbar. Die Tiefenzone bleibt über einen großen Teil des Sommers weitgehend oxidiert, so dass die Desulfurikation erst verhältnismäßig spät einsetzt. Der Sprung in erhöhte Produktivität mit Dominanz von Cyanobakterien und Desulfurikation im Hypolimnion im September könnte dabei 2002 auch mit den ungewöhnlich starken Niederschlägen und der damit verbundenen Verlagerung der Sprungsschicht zusammenhängen. Positiv zu bewerten ist auch das Auftreten höherer Dichten von größeren Zooplanktern, das einen kontrollierenden Einfluss auf die Phytoplanktonbiomasse auszuüben scheint.

Bei den festgestellten Unterwasserpflanzenarten handelt es sich überwiegend um belastungstolerante Arten mit weiter ökologischer Amplitude. Es ist unklar, welche Gründe für eine bereits in der Vergangenheit gegebene Artenarmut des Dieksees verantwortlich sein könnten. Eine Verbesserung des Ist-Zustandes kann voraussichtlich nur durch Neuansiedlung oder durch gezielte Maßnahmen zur Wiederansiedlung von Makrophyten erfolgen.

# **Empfehlungen**

Der potenzielle trophische Zustand des Dieksees nach LAWA ist aufgrund seiner stabilen thermischen Schichtung oligo- bis mesotroph, das Entwicklungsziel für den guten ökologischen Zustand wäre demnach meso- bis schwach eutroph. Der derzeitige Zustand ist mit schwach eutroph zwar diesem Entwicklungsziel nahe, trotzdem sollten einige Maßnahmen ergriffen werden, um den Zustand des Sees zu stabilisieren. Dabei sind die empfohlenen Maßnahmen von den Seen des oberen Einzugsgebietes der Schwentine am wichtigsten. Aber auch direkt am See können Maßnahmen den Nährstoffeintrag, insbesondere im Uferbereich verringern, wovon vor allem die Unterwasservegetation profitieren kann. Folgende Maßnahmen werden empfohlen:

- Am Nordufer des Dieksees befindet sich eine steil abfallende Ackerfläche die biologisch bewirtschaftet wird. Zwar ist zu vermuten, dass durch die biologische Bewirtschaftung der Nährstoffeintrag bereits stark verringert ist, durch die starke Neigung der Fläche findet aber vermutlich trotzdem eine erosionsbedingte Einschwemmung von Nährstoffen statt, so dass der Austrag durch einen entsprechenden Rand- und Pufferstreifen minimiert werden sollte.
- Der Eintrag aus den privaten Kleingartenflächen, sollte durch Vermeidung von Düngereinsatz und der ufernahen Lagerung von Kompost (Aufklärung der Nutzer) ebenfalls auf ein Minimum reduziert werden.
- Es sollte geprüft werden, inwieweit die Besucherlenkung am stark frequentierten Wanderweg am Südufer noch verbessert werden kann, um die Schäden durch Vertritt und durch "Schnitzereien" an den teilweise sehr alten Bäumen zu verringern. Maßnahmen könnten in Aufklärung der Besucher, aber auch in der Anlage von "Leitstrukturen" (liegende Baumstämme, niedrige Zäune, geschickt platzierte Bänke etc.) bestehen.
- Eine derartige Besucherlenkung kann auch zum Röhrichtschutz beitragen, wenn auch die Verhinderung der Wiederausbreitung heute überwiegend durch den Verbiss durch Wasservögel verursacht ist. Weitere Maßnahmen für den Röhrichtschutz sind ebenfalls zu empfehlen.

# Behler See (2002)

Topographische Karte (1 : 25.000):	1828
Flusssystem:	Schwentine
Kreis:	Plön
Gemeinde:	Plön
Eigentümer:	privat
Pächter:	gewerblicher Fischer
Lage des oberirdischen Einzugsgebietes:	
Rechtswerte:	359320 - 441837
Hochwerte:	599843 - 601483
Höchster Wasserstand Dieksee (2002) (m ü.NN):	22,78
Mittlerer Wasserstand Dieksee (2002) (m ü.NN):	22,44
Niedrigster Wasserstand (1997/1998) (m ü.NN):	22,32
Größe des oberirdischen Einzugsgebietes (km²):	195,11
Größe des oberirdischen Teileinzugsgebiet (km²)	16,56
Seefläche (km²):	3,1
Seevolumen (m³) bei 22,36 m ü.NN:	32.800.000
Maximale Tiefe (m):	42,5
Mittlere Tiefe (m):	10,6
Uferlänge (km):	9,1
Theoretische Wasseraufenthaltszeit (a):	0,5
(bei einem geschätzten Abfluss von 10 l/s·km²)	
Umgebungsarealfaktor (m²/m²):	61,9
Umgebungsteilarealfaktor /m²/m²):	3,8
Umgebungsvolumenfaktor (m²/m³):	5,9
Umgebungsteilvolumenfaktor(m²/m³):	0,4
Uferentwicklung:	1,5
Hypolimnion/Epilimnion (m³/m³):	0,5
Mischungsverhalten:	stabil geschichtet
Seetyp:	10

# **Entstehung**

Der Behler See ist ein glazial entstandener Rinnensee. Die langgestreckte Hohlform wurde durch die Erosionskraft des strömenden Schmelzwassers geschaffen. Beim Vorrücken spätglazialer Eiszungen konnte das Eis Querriegel absetzen, die den Rinnenverlauf unterbrachen, so dass die nacheiszeitlich entstandenen Seen Dieksee, Langensee, Behler See, Höftsee und Edebergsee kettenartig angeordnet sind (SCHMIDTKE 1992).

# Einzugsgebiet und Morphologie des Sees

Vom Dieksee fließt die Schwentine über den Langensee in den Behler See, an dessen Nordostufer der kleine Ort Timmdorf grenzt. Mit 195 km² ist sein Gesamteinzugsgebiet etwa 62mal so groß

wie seine Seefläche (Abbildung 49). Der Umgebungsvolumenfaktor liegt mit 5,9 mäßig hoch. In seinem Teil-Einzugsgebiet liegen weitere Seen wie der Suhrer See, Schöhsee und Schluensee.

Im Einzugsgebiet des Sees dominiert Geschiebelehm beziehungsweise Geschiebemergel. Der Bereich im direkten Umfeld des Behler Sees gliedert sich wie folgt: Am Westufer überwiegt stark kiesiger Sand, der stellenweise stein- und blockhaltig ist. Vom Nordufer, an dem sich ein kleines Areal mit der Bodenart Torf über Kalk befindet, bis zum Südufer umgibt das Gewässer Sand, der stellenweise schwach kiesig ist. In diesen Sand ist Braunmoos-, Bruchwald- sowie Seggentorf kleinflächig beziehungsweise am Nordufer großflächig eingelagert. Dieses Material wird nach Norden hin durch stark kiesigen Sand abgelöst.

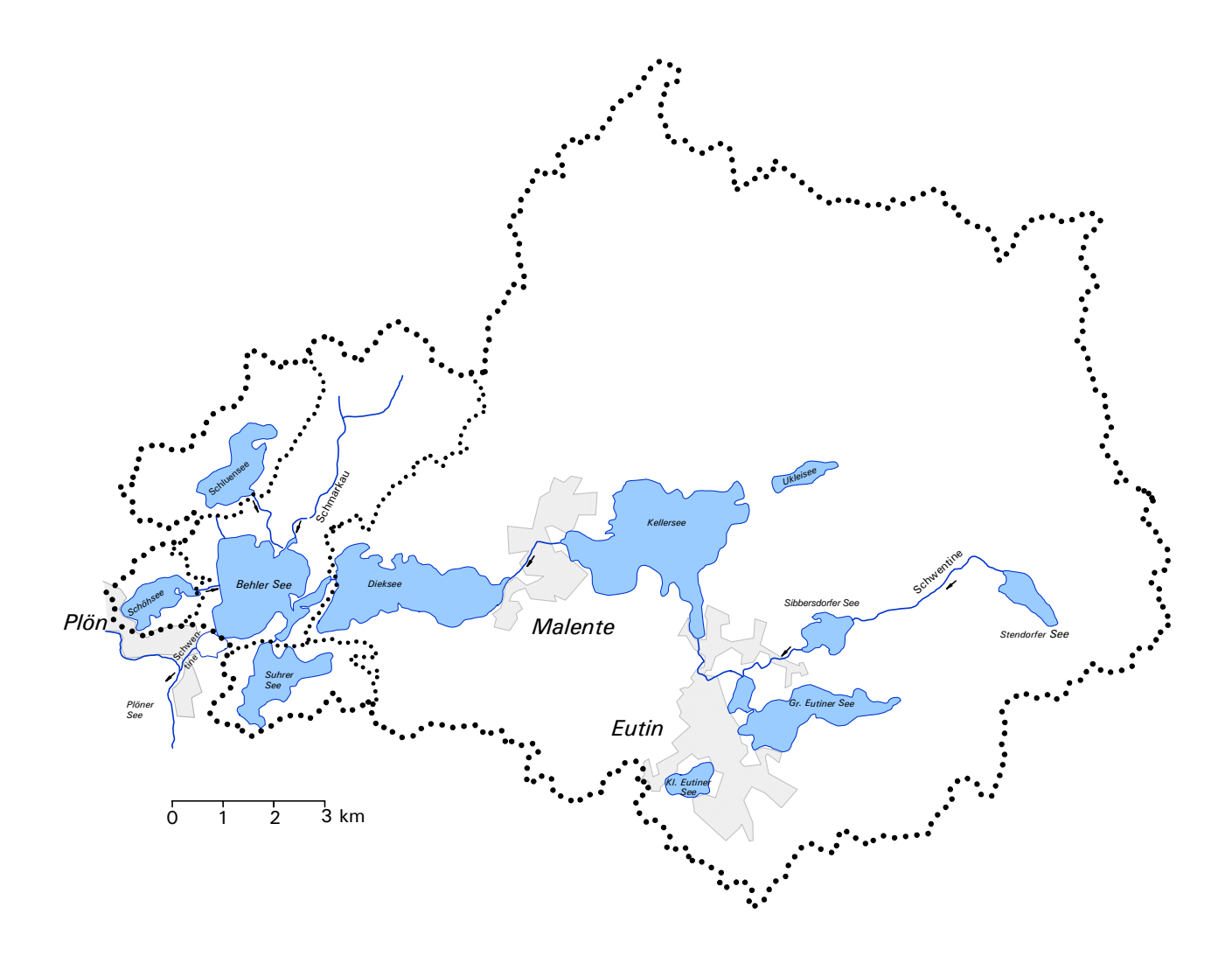


Abbildung 49: Einzugsgebiet des Behler Sees

Tabelle 9: Untergliederung des Einzugsgebiets des Behler Sees in Teileinzugsgebiete

Einzugsgebiet des Suhrer Sees	4,1 km²	2 %
Einzugsgebiet des Schöhsees	2,3 km²	1 %
Einzugsgebiet des Schluensees	6,5 km²	3 %
Einzugsgebiet des Dieksees und der oberen	165,6 km²	85 %
Schwentine Seen		
Teileinzugsgebiet des Behler Sees	16, 6 km²	9 %
gesamtes Einzugsgebiet des Behler Sees	195,1 km²	100 %

Der Behler See wird von der Schwentine durchflossen, die im Nordosten vom Dieksee her kommend kanalisiert in den Langensee (Ostteil des Behler Sees) einmündet und den Behler See im Südwesten über den Höftsee wieder verlässt. Seit dem Frühjahr 2005 wird das Wasser nicht mehr durch ein Wehr an der Ölmühle aufgestaut, sondern fließt über eine Sohlgleite in Richtung Höftsee. Ebenfalls in den Langensee (Südende) mündet der Ablauf des Suhrer Sees. Über den Zulauf am westlichen Ufer des Behler Sees entwässert der Schöhsee. Am Nordufer fließen, neben einem kleinen Graben, die Behler Au, der Ablauf des

Schluensees, und die Schmarkau zu. Letztere entwässert den nördlich gelegenen Grebiner See und den Schmarksee (Abbildung 50).

Der Behler See wird hauptsächlich durch die Schwentine gespeist. Die Seewasserstände des Behler Sees werden vom Dieksee widergespiegelt. Langjährige Vergleichsmessungen haben ergeben, dass die Wasserstände im Behler See nur um ein bis drei Zentimeter niedriger liegen als im Dieksee. Dies ist mit der Geomorphologie des Behler Sees zu erklären, da er geringfügig tiefer liegt als der Dieksee. Der Seewasserstand des Dieksees

schwankte im Abflussjahr 2002 um 46 cm (Abbildung 51). Diese für den Dieksee große Wasserstandsschwankung war bedingt durch zwei Hochwasserereignisse. Diese lagen im Februar/März 2002 und im Juli/August 2002. Sie waren jeweils auf hohe Niederschlagsmengen zurückzu-

führen. Die theoretische Wasseraufenthaltszeit des Behler Sees beträgt 0,5 Jahre bei einer zugrunde gelegten Abflussspende von 10 l/s·km².

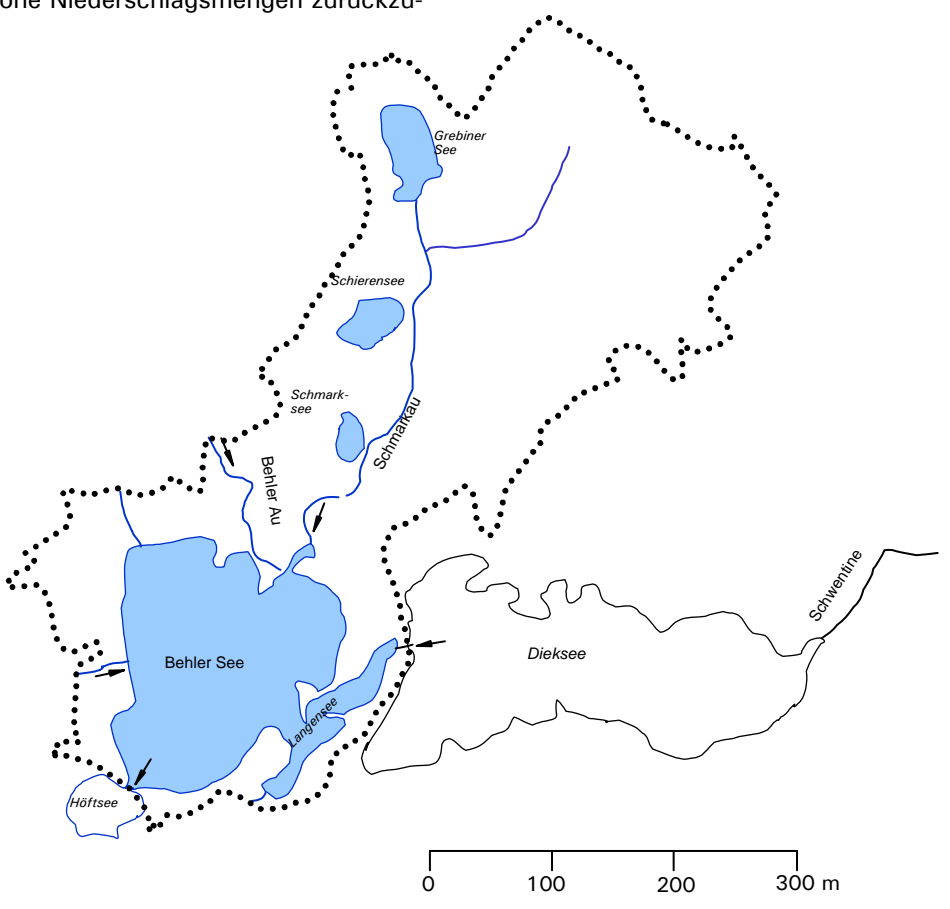


Abbildung 50: Teileinzugsgebiet des Behler Sees

Der Behler See hat eine etwa ovale Form. Die tiefste Stelle mit 42,5 m liegt etwa 20 m unter NN etwas östlich der Seemitte (Abbildung 52). Seine Ufer fallen unter Wasser außer am Nordufer relativ steil ab. Außerhalb des Schwentinebettes gibt es vor allem im nordwestlichen Seeteil in einiger Entfernung vom Ufer unter Wasser Erhebungen (Unterwasserinseln), die stellenweise die Tiefe beispielsweise auf 3,4 m oder sogar auf 3,1 m anheben.

Der Behler See weist im Sommer eine stabile thermische Schichtung auf und ist somit nach MATHES et al. 2002 dem Typ 10 zuzuordnen. Während der Schichtungsphase ist das Wasservolumen des Epilimnions (oberhalb von 10 m Wassertiefe) doppelt so groß wie das des Hypolimnions.

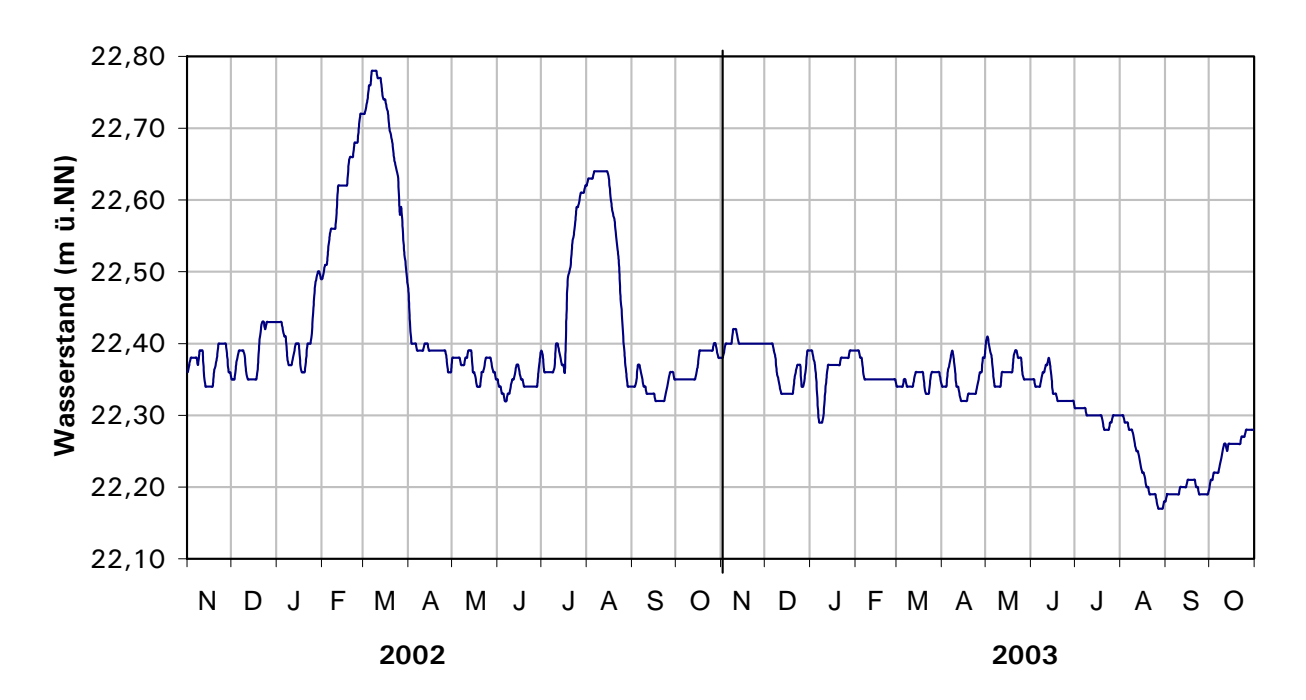


Abbildung 51: Seewasserstände (m ü.NN) im Dieksee (sie spiegeln die Seewasserstände im Behler See wider)

#### Ufer

Die Ufervegetation des Sees wurde im Auftrag des Landesamtes von STUHR (2002) grob erfasst. Die folgenden Ausführungen sind seinem Bericht entnommen.

Der Behler See ist von einem Saum standorttypischer Ufergehölze umgeben, der eine Breite von 10 selten bis 20 m erreicht. Am Südufer schließt sich Wald an diesen an. Lediglich am Nordufer vor dem angrenzenden Grünland und am Ostufer vor dem angrenzendem Siedlungsbereich weist dieser Saum einzelne größere Lücken auf. Die Insel, der Große Warder, ist nahezu gehölzfrei. Vorherrschende Gehölzart ist die Schwarz-Erle Alnus glutinosa, daneben sind Eschen Fraxinus excelsior und Weiden Salix spec. zum Teil sehr häufig. Im Unterwuchs der Gehölze nahe der Uferlinie dominieren Arten wie Zottiges Weidenröschen Epilobium hirsutum, Rohr-Glanzgras Phalaris arundinacea, Wasserdost Eupatorium cannabinum und Sumpf-Segge Carex acutiformis, vereinzelt tritt auch der nach der Roten Liste der Farn- und Blütenpflanzen

Schleswig-Holstein (MIERWALD & BELLER 1990) gefährdete Strauß-Gilbweiderich Lysimachia thyrsiflora auf. An mehreren Uferabschnitten rund um den See finden sich einzelne kleinere Bruchwälder beziehungsweise Brüche. Die Flächen sind zum Teil sehr nass und in der Baumschicht meist von Schwarz-Erlen beherrscht. Drei stärker vermoorte Flächen im Südosten weisen höhere Anteile von Moor-Birken Betula pubescens auf und besitzen zudem Vorkommen von Torfmoosen Sphagnum spec.. Ansonsten sind in der Feldschicht der Bruchwälder neben der charakteristischen Vegetation mit hohen Anteilen von Bittersüßem Nachtschatten Solanum dulcamara, Sumpf-Segge Carex acutiformis, Sumpf-Labkraut Galium palustre, Sumpf-Schwertlilie Iris pseudacorus, Sumpf-Reitgras Calamagrostis canescens auch einige gefährdete Arten vorhanden. Von diesen ist der gefährdete Sumpffarn Thelvpteris palustris recht häufig, während der gefährdete Kleine Baldrian Valeriana dioica und der gefährdete Fieberklee Menyanthes trifoliata deutlich seltener sind.



Abbildung 52: Tiefenplan des Behler Sees

Artenreiches Feuchtgrünland findet sich nur am Nordufer sowie im Nordosten landseits von Timmdorf. Einen hohen Anteil gefährdeter Arten weisen dabei insbesondere die Flächen am Nordufer auf, wo unter anderem Sumpf-Dreizack Triglochin palustre, Kleiner Baldrian Valeriana dioica, Stumpfblütige Binse Juncus subnodulosus, Großer Klappertopf Rhinanthus serotinus, Breitblättriges Knabenkraut Dactylorhiza majalis, Moor-Labkraut Galium uliginosum und als stark gefährdete Art die Zusammengedrückte Quellbinse Blysmus compressus auftreten.

Ein **Röhricht**gürtel fehlt über weite Strecken praktisch vollständig. Die existierenden Röhrichte sind häufig lückig und inselhaft, wenngleich sich auch

mehrere breite und geschlossene Bestände von zum Teil weit über 100 m Länge und einer Breite bis zu 10 m, in Einzelfällen bis zu 15 bis 20 m, ausgebildet haben. Sie siedeln bis in Wassertiefen um 1 m. Die vorherrschende Art ist das Schilf Phragmites australis, daneben werden von der Seebinse Schoenoplectus lacustris und dem Schmalblättriger Rohrkolben Typha angustifolia häufig eigene Dominanzbestände erreicht. Weitere Arten, die eher landseitig des Großröhrichts im flacheren Wasser auftreten, sind Wasser-Schwaden Glyceria maxima, Aufrechter Igelkolben Sparganium erectum, Sumpf-Segge Carex acutiformis, Kalmus Acorus calamus sowie vereinzelt Schwanenblume Butomus umbellatus und Salz-Teichsimse Schoenoplectus tabemaemontani. Am

Südufer fehlt das Schilf fast gänzlich, die hier vielfach noch zu beobachtenden Rhizomreste weisen auf einen stärkeren Bestandsrückgang der Art hin.

Eine Schwimmblattzone aus der gelben Teichrose Nuphar lutea und der etwas seltener auftretenden weißen Seerose Nymphaea alba lässt sich nur punktuell in geschützten Lagen finden. Die gelbe Teichrose dringt bis in 2 m Wassertiefe vor. Zum Teil baut sie auch gemeinsam mit der weißen Seerose Bestände von 5 m Breite auf, in Ausnahmefällen können diese bis zu 50 m Länge und 10 m Breite erreichen. Der Wasser-Knöterich Polygonum amphibium, der im Behler See bis zu einer maximalen Wassertiefe von 1 m siedelt, ist in drei Beständen zwischen 10 und 80 m² am Übergang zum Höftsee, am mittleren Nordufer und im Langensee vertreten. Des Weiteren sind noch die Kleine Wasserlinse Lemna minor und die Vielwurzelige Teichlinse Spirodela polyrhiza verstreut meist im Flachwasser zwischen dem Röhricht im Gewässer vorhanden.

Die Unterwasservegetation ist im Behler See insgesamt mit 14 submersen Arten, von denen fünf nach den Roten Listen der Farn- und Blütenpflanzen Schleswig-Holsteins (MIERWALD & BELLER 1990) oder der Armleuchteralgen Schleswig-Holsteins (GARNIEL & HAMANN 2002) gefährdet, beziehungsweise vom Aussterben bedroht sind, praktisch an der gesamten Uferlinie gut entwickelt. Nur im Ostteil, im Langensee, ist ihr Vorkommen etwas spärlicher. Die Bestände dehnen sich in Wassertiefen bis 5 m, zum Teil auch unter 6 m, aus. Besonders in Flachwasserbereichen ist der Sumpf-Teichfaden Zannichellia palustris häufig zu beobachten. Überall anzutreffen und den Bereich bis 2 m Wassertiefe vielfach beherrschend ist das Kamm-Laichkraut Potamogeton pectinatus. Sehr häufig in diesem Bereich kommt außerdem das Durchwachsene Laichkraut Potamogeton perfoliatus und der Spreizende Wasserhahnenfuß Ranunculus circinatus vor. Das Rauhe Hornblatt Ceratophyllum demersum und das gefährdete Zwerg-Laichkraut Potamogeton pusillus treten auch in größeren Beständen, wenn nicht sogar in Massenbeständen zum Beispiel westlich des Großen Warders, vermehrt in tieferen Bereichen auf. Häufig bis verstreut sind die Kanadische Wasserpest Elodea canadensis, das gefährdete Ahrige Tausendblatt Myriophyllum spicatum und das stark gefährdete Stachelspitzige Laichkraut Potamogeton friesii im See zu finden. Der vom Aussterben bedrohte Grasblättrige Froschlöffel Alisma gramineum siedelt in Wassertiefen von 1 m bis um 3 m vor allem am West- und Nordufer. Die gefährdete Gegensätzliche Armleuchteralge Chara contraria kommt vom Flachwasser bis unter 4 m Wassertiefe häufig vor, sie bildet am Nord- und am Südufer sowie vor dem Westufer des Großen

Warders rasige, zum Teil großflächige Bestände, vor allem aber in Wassertiefen von 2 bis 3 m. Die Zerbrechliche Armleuchteralge *Chara globularis* tritt ebenfalls häufig in Erscheinung, allerdings in kleineren Populationen, die eine Tiefe von unter 5 m erreichen können.

Zusammenfassend lässt sich sagen, dass der Behler See eine mäßig artenreiche und gut entwickelte submerse Vegetation besitzt, die 14 Arten beinhaltet, von denen 5 gefährdet beziehungsweise vom Aussterben bedroht sind. Es erscheint in Anbetracht der großen Tiefenausdehnung der Vegetation ihre Artenzahl etwas reduziert. Obwohl die großflächigen Armleuchteralgenrasen besonders hervorzuheben sind, weisen auch bei diesen Arten andere vergleichbare Gewässer im Raum Plön eine höhere Artenzahl und eine mehr oder weniger deutliche Zonierung auf. Trotz dieser Einschränkungen ist der Erhalt der submersen Vegetation des Behler Sees von landesweiter Bedeutung.

#### Freiwasser

Der See war durch seine große Tiefe im Sommer thermisch stabil geschichtet (Abbildung 54).

Im Februar 2002 wurden im Oberflächenwasser des noch volldurchmischten Sees die Pflanzenhauptnährstoffe Phosphor in verhältnismäßig hoher Konzentration (0,095 mg/l Ges.-P) und Stickstoff in niedriger Konzentration (0,99 mg/l Ges.-N), knapp die Hälfte hiervon als Nitrat (0,49 mg/l NO<sub>3</sub>-N), festgestellt (Abbildung 55). Die Ammoniumkonzentration war mit 0,016 mg/l NH<sub>4</sub>-N sehr niedrig.

Im Sommer wurde im oberflächennahen Wasser eine für stabil geschichtete Seen typische Nährstoffverknappung und eine Anreicherung über dem Grund beobachtet. Bis Juli sank die Gesamtphosphor-Konzentration im Oberflächenwasser auf 0,035 mg/l P. Gelöstes Phosphat (0,012 mg/l PO4--P) war zu diesem Zeitpunkt messbar, sonst lag es unter der Bestimmungsgrenze (0,005 mg/l PO<sub>4</sub>-P). Über dem Seegrund stiegen die Phosphor- und die Phosphat-Konzentrationen kontinuierlich bis auf 0,35 mg/l P-Ges beziehungsweise bis 0,299 mg/l PO<sub>4</sub>-P an (Abbildung 56). Im Oberflächenwasser blieb Nitrat den Sommer über unter der Nachweisgrenze (0,05 NO<sub>3</sub>-N), war jedoch im Tiefenwasser vorhanden. Im Juli wurde in 25 m Tiefe ein hoher Nitratgehalt (0,71 mg/l NO<sub>3</sub>-N) und ein niedriger Ammoniumgehalt (0,029 mg/l NH<sub>4</sub>-N) gemessen. Im September lag die Nitrat-Konzentration nur noch in 25 m mit 0,181 mg/l im messbaren Bereich. Dieses lässt Denitrifikationsprozesse vermuten, bei denen das Nitrat durch Bakterien über Nitrit zu molekularem Stickstoff umgewandelt und an die Atmosphäre abgegeben wird. Höhere Ammonium-Konzentrationen über dem Grund und nur noch Spuren von Nitrat deuten gleichzeitig auf eine Nitratammonifikation hin. Diese findet ebenfalls unter anaeroben Bedingungen statt und ist die Reduktion von Nitrat zu Ammonium. Die anaerobe Verhältnisse in der Tiefe machen es wahrscheinlich, dass es hier zu Nährstofffreisetzungen aus dem Sediment kommt, die sich aber wegen ihrer relativ geringen Intensivität und der stabilen Schichtung der Wassersäule nicht im gesamten Wasserkörper des Sees auswirken.

Die Calciumkonzentration (58,5 mg/l) und die (Säurekapazität 2,5 mmol/l) waren leicht unterdurchschnittlich. Die Leitfähigkeit lag mit 45,1 mS/m für schleswig-holsteinische Seen im Durchschnitt. Durch die Nährstoffverknappung, die im Sommer im Oberflächenwasser stattfand verringerte sich hier die Leitfähigkeit geringfügig, während sie in der Tiefe etwas zunahm. Die pH-Werte lagen im alkalischen Bereich (8,2 bis 8,9). Gelöste Kieselsäure, ein wichtiger Nährstoff für Kieselalgen, war im Februar in hoher Konzentration vorhanden (5,4 mg/l SiO<sub>2</sub>). Diese ging im Juni im Oberflächenwasser auf ein Minimum (0,6 mg/l SiO<sub>2</sub>) zurück, erreichte jedoch bis September wieder einen Wert von 2,6 mg/l SiO<sub>2</sub>.

Die thermische Schichtung des Behler Sees lässt sich in Abbildung 54 in den Monaten Juni bis September deutlich erkennen. Nach Einsetzen der thermischen Schichtung war zunächst noch Sauerstoff über dem Seegrund vorhanden, Ende Juli war das Wasser unterhalb von 25 m sauerstofffrei. Die hohe Sauerstoff-Sättigung an der Wasseroberfläche von 130 % und der pH-Wert von 8,9 weisen im Juni auf eine hohe Produktivität des Phytoplanktons hin.

Die Ganglinie der Sichttiefe (Abbildung 53) zeigt Ende Mai/Anfang Juni 2001 ein Klarwasserstadium. Im Jahre 2002 konnte es bereits Mitte Mai beobachtet werden, allerdings für eine kürzere Zeitspanne. Dabei wurden Sichttiefen von 5,6 m bzw. 6,2 m erreicht. 2002 lag die durchschnittliche Sichttiefe bei 2,1 m und fiel damit um 0,6 m geringer aus als die aus dem Jahr 2001. Die geringsten Sichttiefen (0,6 bis 1 m) wurden 2002 im August/September festgestellt. Die Chlorophyll a-Konzentration zu dieser Zeit war mit 30  $\mu$ g/l entsprechend hoch. Im übrigen Untersuchungszeitraum schwankten die Chlorophyll a-Konzentrationen zwischen 1,7 und 9,8  $\mu$ g/l (Abbildung 56).

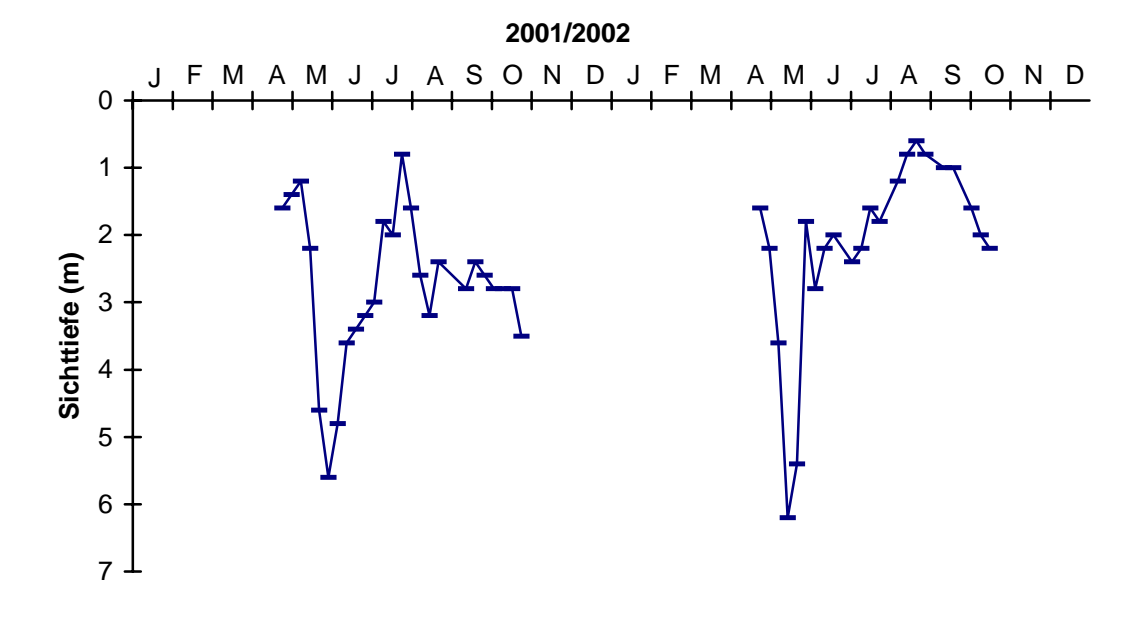


Abbildung 53: Sichttiefen (m) im Behler See 2001 und 2002

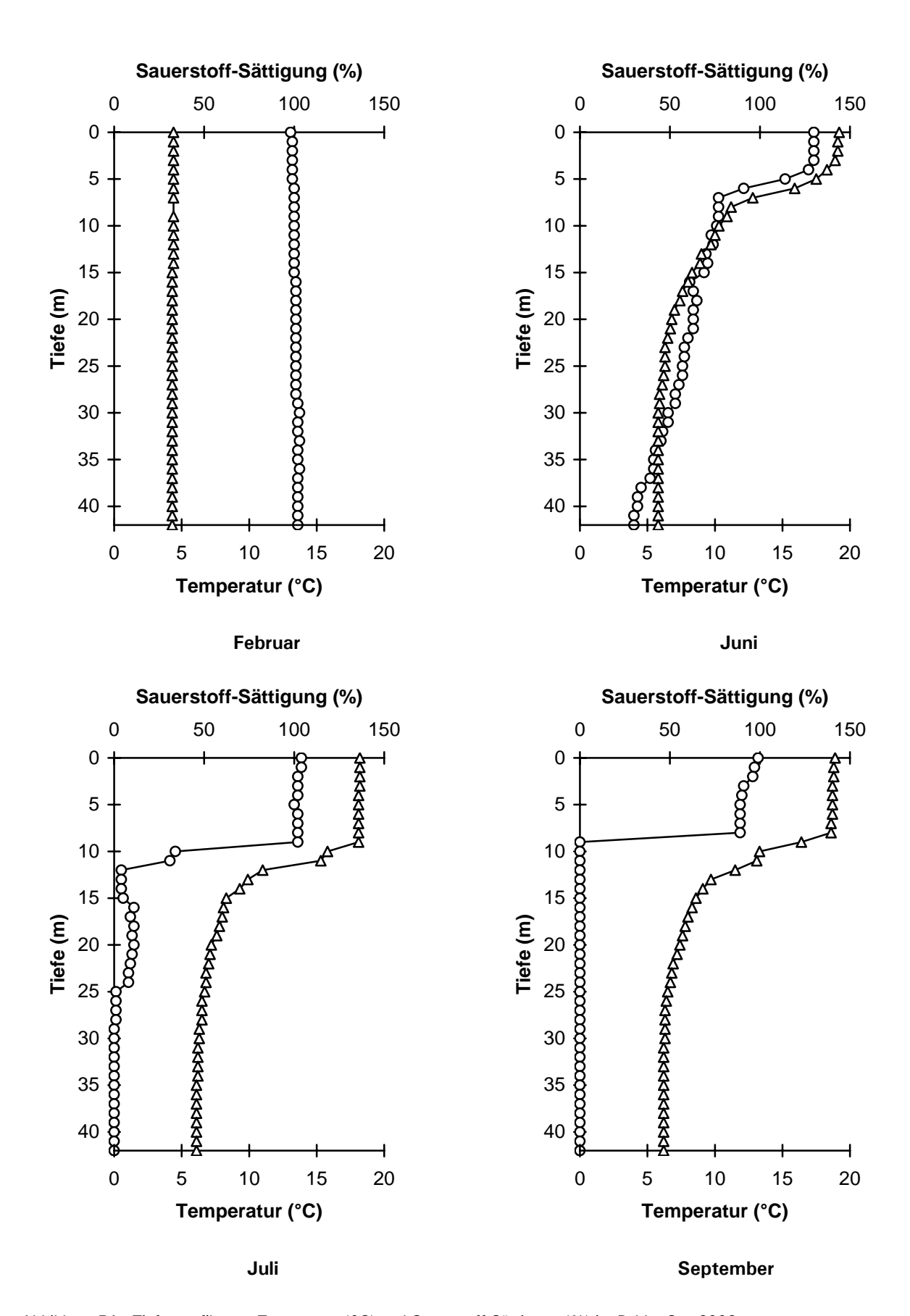


Abbildung 54: Tiefenprofile von Temperatur (°C) und Sauerstoff-Sättigung (%) im Behler See 2002; Temperatur  $\Delta$  Sauerstoff o

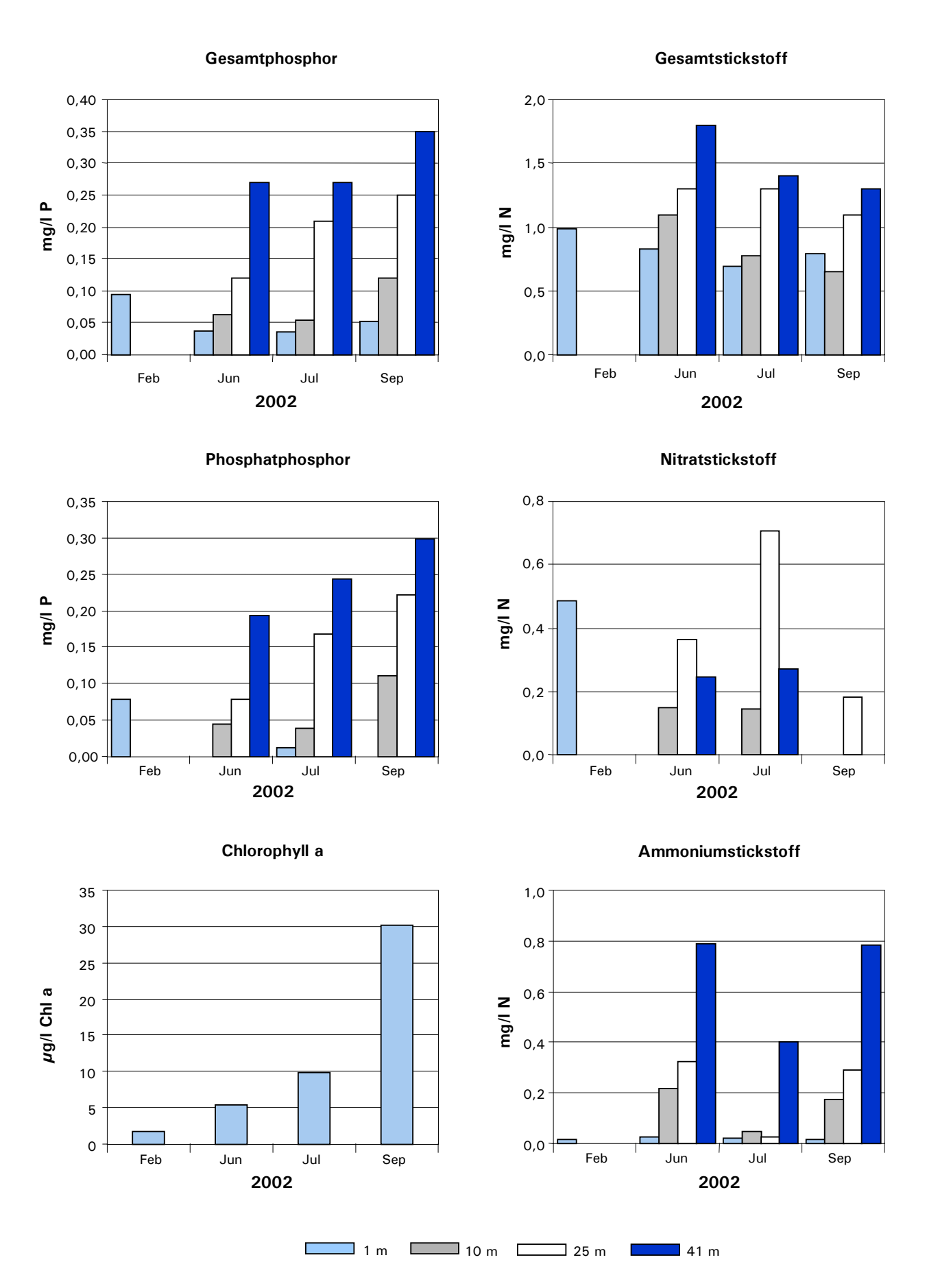


Abbildung 55: Gesamtphosphor (mg/l), Phosphat (mg/l), Gesamtstickstoff (mg/l), Nitrat (mg/l), Ammonium (mg/l) und Chlorophyll a ( $\mu$ g/l) in verschiedenen Tiefen im Behler See 2002

Das **Plankton** im See wurde im Auftrag des Landesamtes von SPETH (2002) untersucht. Die folgenden Ausführungen basieren auf diesem Bericht.

Im Februar war das Phytoplanktonbiovolumen (0,35 mm³/l) noch sehr gering. Es wurde zu 60% von großen zentrischen Kieselalgen gebildet. Cryptophyceen (*Cryptomonas* spp., *Rhodomonas* spp.) stellten mit einem Biovolumenanteil von 39% die zweite wichtige Algengruppe.

Anfang Juni konnte ein nur minimaler Anstieg der Phytoplanktonbiomasse (0,43 mm³/l) im See beobachtet werden. Zu diesem Zeitpunkt wurde die Phytoplanktongemeinschaft hauptsächlich von Cryptophyceen (*Rhodomonas lacustris*), Dinoflagellaten, Cyanobakterien und zu einem geringeren Anteil von Grünalgen geprägt. Bei den Grünalgen handelte es sich um koloniebildende Arten (Gattungen *Coelastrum*, *Eutetramorus/Sphaerocystis*), die für das Zooplankton relativ schlecht fressbar waren. Chroococcale Cyanobakterien erreichten im Juni zwar hohe Zellzahlen, aufgrund ihres geringen Zellvolumens war ihr Anteil an der Phytoplanktonbiomasse jedoch sehr klein.

Zum Zeitpunkt der Juliprobenahme wurde das Gesamtbiovolumen des Phytoplanktons (0,91 mm³/l) zu mehr als 50 % durch die Kieselalgenarten *Aulacoseira granulata*, *Asterionella formosa* und *Fragilaria crotonensis* bestimmt. Das Vorkommen großer Kieselalgen im Sommer wies auf eine noch gute Silikatversorgung hin. Cryptophyceen erreichten einen ähnlich hohen Anteil (32%) am Gesamtbiovolumen wie im Vormonat.

Im September, der sich durch sommerliche Temperaturen auszeichnete, verursachten vor allem fadenförmige Cyanobakterien wie *Anabaena spiroides* var. *tumida*, *Aphanizomenon* spp. und die koloniebildende coccale Blaualge *Microcystis aeruginosa* einen deutlichen Anstieg des Phytoplanktonbiovolumens auf 4,67 mm³/l. Begleitet wurde diese Cyanobakterienblüte durch die Grünalge *Carteria* sp., die einen Biomassenanteil von 19 % erreichte.

Die Umsatzprozesse und die Zusammensetzung der Phytoplanktongemeinschaft in den drei Seen vom Typ 10 Kellersee, Dieksee und Behler See, wird zum einen durch die Qualität des von den oberen Seen beeinflussten Schwentinewassers geprägt (verringerter Silikatgehalt, verringerter Stickstoffgehalt und damit verringertes N/P-Verhältnis), zum anderen durch seeinterne Prozesse (Silikat- und P-Fällung aus dem Epilimnion). Im Unterschied zu den

ungeschichteten Seen kann in diesen Seen der Silikat- und Phosphorverbrauch nicht durch Rücklösung aus dem Sediment ausgeglichen werden

Die Entwicklung der **Phytoplanktonbiomasse** zeigte in allen drei geschichteten Seen einen sehr ähnlichen Verlauf: Das Biovolumen erreichte an den Probenahmeterminen von Februar bis Ende Juli stets nur sehr geringe Biovolumina von  $<1 \mathrm{mm}^3$ /l. Dies entspricht einer ebenfalls sehr niedrigen Chlorophyll a-Konzentration von  $<10~\mu\mathrm{g/l}$ . Zu berücksichtigen ist dabei jedoch, dass die Frühjahrsblüte nicht erfasst wurde. Im September konnte in allen drei Seen ein enormer Biomasseanstieg um das vier- bis achtfache der Juli-Werte beobachtet werden.

Auch der Vergleich der Phytoplanktonzusammensetzung ergibt für alle drei Seen vom Typ 10 hinsichtlich der dominierenden Algengruppen ein relativ einheitliches Bild. Dieses war dadurch gekennzeichnet, dass sich die Phytoplankton-Gemeinschaft in der ersten Jahreshälfte hauptsächlich aus schnellwachsenden Cryptophyceen und Chlorophyceen sowie zu sehr geringen Anteilen aus Cyanobakterien und Dinoflagellaten zusammensetzte. Kieselalgen waren im Gegensatz zu den oberen, ungeschichteten Schwentineseen generell ohne Bedeutung. Augenfällig war die Dominanz von coccalen Chlorophyceen im Keller- und Dieksee während des Frühsommers, deren Biomasseniveau auf den höheren Trophiezustand dieser beiden Seen im Vergleich zum Behler See hindeutet. Ein weiteres typisches Merkmal der drei geschichteten Seen waren die verhältnismäßig spät im Jahr auftretenden Cvanobakterienblüten. Diese erreichten insgesamt hohe Biomassen, wobei sie aber im Kellersee und Behler See nur etwa die Hälfte des Niveaus vom Dieksee ereichten. Interessant hierbei ist, das sich der spätsommerliche Cyanobakterienpeak im Kellerund Dieksee aus coccalen Microcystis-Arten zusammensetzte, während im unterhalb gelegenen Behler See fadenförmige, Stickstoff-fixierende Vertreter dominierten.

Das Zooplankton setzte sich im Untersuchungszeitraum aus 36 Arten (ohne Protozoen) zusammen. Im Februar war nur wenig Zooplankton im See vorhanden.

Im Juni zeigten große, überwiegend herbivore Zooplankter wie *Daphnia* und die calanoiden Ruderfußkrebse, vor allem *Eudiaptomus graciloides* 

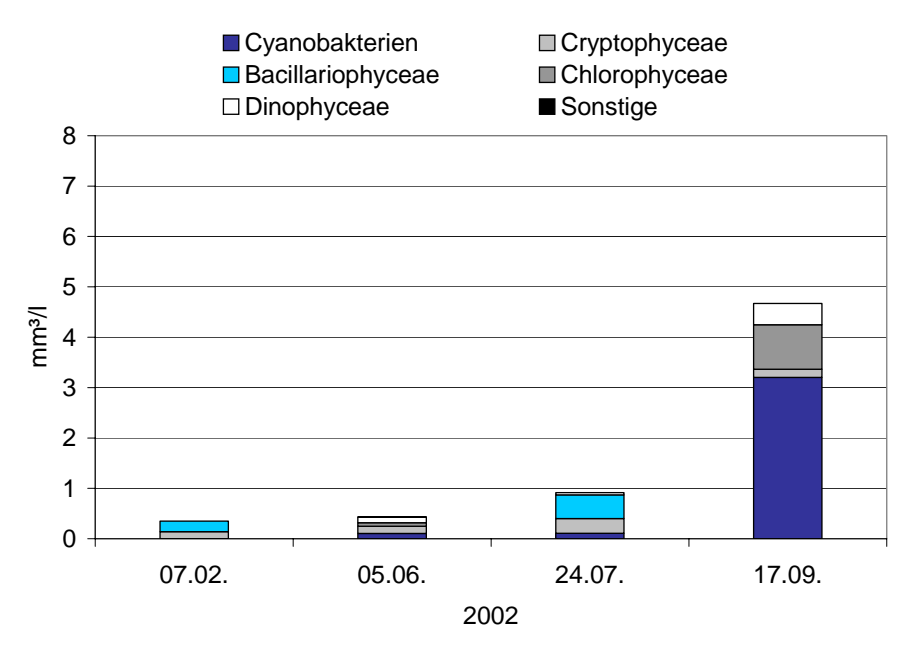


Abbildung 56: Entwicklung des Biovolumens der dominierenden Phytoplanktongruppen (mm³/l) im Behler See 2002

sowie deren Jugendstadien, ihre stärkste Entwicklung. Ihre Populationsdichte entsprach aber, ebenso wie die der kleineren vorwiegend herbivoren Naupliusstadien der Ruderfußkrebse, nur der Größenordnung "wenig". Das Langschwanzkrebschen Bythotrephes longimanus wurde selten gefunden. Diese räuberische Art bevorzugt große nährstoffärmere (oligo- bis schwach eutrophe) Seen.

Im Juli wurde die stärkste zahlenmäßige Entwicklung von Wimpertierchen und Rädertieren erfasst. Keratella cochlearis und Polyarthra dolichoptera/vulgaris waren in mittlerer Häufigkeit vertreten. Neun weitere Rädertierarten konnten in der Häufigkeitsstufe "wenig" im See beobachtet werden. Nauplien der cyclopoiden Ruderfußkrebse waren in mittlerer Häufigkeit vorhanden.

Im September verringerten sich die Individuenzahlen der Wimpertierchen, Rädertiere und Ruderfußkrebse. Wasserflöhe waren in diesem Monat ebenso wie im Juli nur selten vertreten.

# Seegrund

Bei Sedimentanalysen im August 1997 im Behler See wurden neben einem hohen Calciumgehalt (100 g/kg) geringe Anteile der anderen geogenen Metalle und der Schwermetalle (zum Beispiel 780 mg/kg Na, 2000 mg/kg K, 1400 mg/kg Mg, 3800 mg/kg Fe, 860 mg/kg Mn, 2200 mg/kg Al, 13 mg/kg Cu, 68 mg/kg Zn, 0,58 mg/kg Cd, 0,10 mg/kg Hg, 35 mg/kg Pb, 3,4 mg/kg As) ermittelt. Bei einem hohen Calciumgehalt ist anzunehmen, dass an der Probenahmestelle Kalkmudden vorgelegen haben, die in der Seemitte eutropher Hartwasserseen gebildet werden. Das Sediment hatte in 42 m Tiefe eine weiche Konsistenz und roch

nach Schwefelwasserstoff (LANDESAMT FÜR NATUR UND UMWELT 2001).

Die tierische Besiedlung des Sediments im Behler See wurde in 0,5 m, 2 m, 3 m, 5 m, 6 m, 7 m, 8 m, 10 m, 20 m und 35 m Tiefe im Auftrag des Landesamtes von OTTO (2001) untersucht. Die folgenden Ausführungen sind seinem Bericht entnommen.

Im Rahmen dieser Untersuchung konnten im Behler See 54 Arten festgestellt werden. Die höchste Artenzahl erreichten die Zuckmückenlarven mit 22 und die Weichtiere (Muscheln und Schnecken) mit 9 Arten.

Das Litoral im Bereich von 0,5 m Tiefe wurde durch die Zuckmückenlarven, Pseudochironomus prasinatus (1502 Tiere/m²) und Cladotanytarsus sp. (2677 Tiere/m²) sowie durch die Wenigborster (1437 Tiere/m²) beherrscht. Einige der vorhandenen Litoralvertreter, Gammarus pulex, Centroptilum luteolum, Microtendipes pedellus und Stictochironomus sp. sind Anzeiger für mesotrophe Gewässer. Auffällig war, dass einige Arten nahezu alle Tiefenbereiche besiedelten (Wenigborster, Polypedilum nubeculosum und Tanytarsus sp.). Die Wenigborster kamen bis in 20 m Tiefe vor, wo sie ihre größte Verbreitung mit 2575 Tieren/m² hatten. Zwischen 8 m und 10 m Tiefe befand sich der Übergang zwischen Litoral und Profundal. Die Anzahl der Arten verringerte sich deutlich ab 10 m Tiefe und die Dominanz der profundalen Arten setzte ein. In den Tiefenbereichen von 10 m. 15 m, und 35 m wurden die Profundalvertreter Chaoborus flavicans, Chironomus plumosus und Chironomus anthracinus in mittleren Dichten gefunden, wobei Chironomus anthracinus im Vergleich zu Chironomus plumosus geringere Individuenzahlen

erreichte. Zu ähnlichen Ergebnissen gelangte auch schon LUNDBECK (1926).

Der Behler See ist aufgrund der mittleren Dichte der Büschelmücke und der Präsenz der *Chironomus plumosus*- Gruppe und von *Chironomus anthracinus* nach THIENEMANN (1922) als mäßig eutropher *Chironomus anthracinus*-See zu beurteilen. Die weite Ausdehnung des Litorals und das Auftreten von mesotrophen Charakterarten lassen für das Litoral einen Übergang zu einem mesotrophen Gewässer erkennen. Somit ist der See als mäßig eutroph mit einer Tendenz zu mesotroph einzustufen.

#### Nutzung des Sees und seines Einzugsgebietes

Der Behler See liegt teilweise im Landschaftsschutzgebiet "Trammer See, Schluensee, Wald und Knicklandschaft zwischen Schöhsee und Behler See und Umgebung" (Öff. Anz. Plön 1999, Nr. 5 S. 102). An sein Südufer grenzt das Wasserschutzgebiet Plön-Stadtheide (GVOBI. Schl.-H. vom 17.02.2000, S. 145) und das Naturschutzgebiet Suhrer See und Umgebung (GVOBI. Schl.-H. vom 28.08.2003, S. 410).

Der Behler See ist Teil des FFH-Gebietes "Seen des mittleren Schwentine-Systems und Umgebung", das 2004 als FFH-Gebiet gemeldet wurde.

Der See befindet sich in Privatbesitz. Er wird durch einen gewerblichen Fischer bewirtschaftet. Der See ist durch Freizeitnutzungen wie die 5-Seen-Fahrt und Wassersport (Segeln) geprägt. An der Spitze der Halbinsel am Südufer (Abgrenzung zum Langensee) befindet sich ein Campingplatz mit einer Badestelle. Zudem gibt es eine öffentliche Badestelle am östlichen Nordufer. Auf der westlichen Halbinsel am Nordufer wird eine Fläche als Freizeitareal mit Steganlage genutzt. An dem bewaldeten Südufer des Sees verläuft ein ufernaher Wanderweg.

An etwa einem Viertel der **Ufer**linie grenzen Privatgrundstücke, während sonst überwiegend landwirtschaftliche Flächen in Form von Grünland direkt am See liegen. Im Siedlungsbereich des nördlichen Westufers und der Ortschaft Timmdorf sowie am Ostufer im Bereich des Langensees befinden sich insgesamt etwa 25 Stege. Am nördlichen Westufer sind einzelne Bootsliegeplätze am Ufer und im Wasser sowie eine private Badestelle vorhanden. Es gibt in diesem Abschnitt vereinzelte Uferbefestigungen. Das Ostufer im Siedlungsbereich von Timmdorf weist eine 30 m lange und 1 m hohe Betonuferbefestigung und zahlreiche klei-

nere Uferbefestigungen verschiedenster Art auf. Im Siedlungsbereich des Langensees und am Campinglatz kommen verschiedene kleinere Uferbefestigungen vor. Vereinzelte Hütten und Bootsliegeplätze sind außerdem am Ufer des Langensees vorhanden. Die Ufer der westlichen Halbinsel am Nordufer sind zum Teil mit Bauschutt befestigt. Der Uferbereich der östlichen Halbinsel am Nordufer wird auf einer Länge von 400 m extensiv beweidet. Am mittleren Westufer ist auf einer Strecke von 80 m ein Weidezaun im Wasser gezogen und es findet hier Uferbeweidung statt. Weiterhin befinden sich zwei Viehtränken am Westund eine am Nordufer. Am gesamten Ufer des Behler Sees sind kleinere Uferzugangsstellen und somit kleinflächiger Vertritt vorhanden.

Auf die Grünlandflächen am Nordufer werden laut Auskunft von Anwohnern zum Teil schon im Februar/März erhebliche Güllemengen aufgebracht.

Das **Teileinzugsgebiet** des Behler Sees (16,56 km²) wird zu gut 60 % landwirtschaftlich, überwiegend als Acker, genutzt. Der Waldanteil liegt bei 13 %. Bebaut sind ca. 4 % des Einzugsgebietes. Die Zahl der Großvieheinheiten lag bei durchschnittlich 0,76 GVE/ha landwirtschaftlich genutzter Fläche.

Der Behler See erhält gereinigtes **Abwasser** aus der Kläranlage Grebin, die über einen Zulauf in die Schmarkau entwässert. Seit 2000 wird dort das Abwasser von 800 EW über eine SBR-Anlage mit Phosphatfällung gereinigt. Die zulässige Gesamtphosphor-Konzentration des Abwassers beträgt 2 mg/l. Außerdem entwässern in der Gemeinde Grebin 168 EW über 42 nachgerüstete Hauskläranlagen. Über die Behler Au erhält der See gereinigtes Abwasser der Belebungsanlage mit belüftetem Abwasserteich (300 EGW) von Gut und Meierei Behl. Daneben fällt aus der Gemeinde Bösdorf und der Stadt Plön des Abwasser von fünf Hauskläranlagen mit Untergrundverrieselung an.

# Belastungssituation des Sees

Für insgesamt 91 % des Wassers des Gesamteinzugsgebietes des Behler Sees fungieren der Dieksee und die oberen Schwentineseen sowie der Schluensee, der Schöhsee und der Suhrer See als "Vorklärbecken" (Tabelle 8). Im Folgenden werden daher die Nährstofffrachten aus diesen Seen mit der mittleren epilimnischen Jahreskonzentration von Stickstoff und Phosphor und einer mittleren Abflussspende von 10 l/s·km² verrechnet und nur die Nutzung im Teileinzugsgebiet des Behler Sees wie gewohnt berücksichtigt.

Tabelle 10: Stoffausträge aus dem Dieksee und	d den oberen Schwentinesee	en, Schluensee, Schöhsee un	d Suhrer See (Abschät-
zung)			

		ee/Obere ntineseen	Schluensee		Schöhsee		Suhr	er See
	Phosphor	Stickstoff	Phosphor	Stickstoff	Phosphor	Stickstoff	Phosphor	Stickstoff
Frühjahrskonzentra- tion (mg/l)	0,08	1	0,067	0,6	0,015	0,49	0,021	0,5
Fracht (mg/s·km²) für 10 l/s·km² bzw. 12,7 l/s km²*	0,8	10	0,85*	7,62*	0,15	4,9	0,21	5,0
Einzugsgebiet (km²)	16	65,6	6	3,5	2	2,3	4	1,1
Stoffaustrag (mg/s)	132,5	1656	5,5	49,5	0,34	11,27	0,86	20,5
Stoffaustrag (kg/a)	4178	52224	175	1572	11	355	26	645

Mit dem Zulauf der Schwentine aus dem Dieksee kommen demnach 4178 kg Phosphor und 52 t Stickstoff im Jahr in den Behler See. Aus dem Schluensee gelangen jährlich 175 kg Phosphor und rund 1,6 t Stickstoff in den Behler See. Den Schöhsee verlassen 11 kg/a Phosphor sowie 355 kg/a Stickstoff und aus dem Suhrer See werden 26 kg Phosphor und 645 kg Stickstoff pro Jahr in den Behler See eingetragen.

Tabelle 11: Einträge von Phosphor und Stickstoff in den Behler See aus verschiedenen Quellen des Teileinzugsgebietes (ohne das Einzugsgebiet der oberen Schwentineseen, des Schluensees, Schöhsees, Suhrer Sees) (Abschätzung gemäß Kapitel Auswertungsmethoden) - \* Daten der behördlichen Überwachung

Flächennutzung	(ha) bzw.	(kg/ha a) P	Phosphoreintrag	(kg/ha a) N	Stickstoffeintrag
		bzw.		bzw.	
	Stück	(kg/GVE a) P	(kg/a)	(kg/GVE a) N	(kg/a)
Acker	570	0,5	285	20	11400
Grünland	422	0,2	84	10	4220
Großvieheinheiten	755	0,2	151	0,9	680
Wald	218	0,05	11	7	1526
Siedlung	66	0,75	50	13	858
Gewässer	368		0		0
Moor	2	0,2	0	10	20
andere Nutzung	10	0,1	1	10	100
Summe (ha)	1656		582		18804

Niederschlag	310	0,08	25	9,9	3069
auf die Seefläche					

Punktquellen			Phosphoreintrag		Stickstoffeintrag
	EW	(kg/EW a) P	(kg/a)	(kg/EW a) N	(kg/a)
HKA Grebin, Plön, Bösdorf	185	0,3	56	3	555
KA Grebin	800		40*		183*
Gut Behl	300		26*		56*
Summe			122		794

Eintrag aus dem Teileinzugsgebiet in den See	Phosphor	Stickstoff
Summe (kg/a)	729	22667

Die im Rahmen des Seenkurzprogrammes 2001 (LANDESAMT FÜR NATUR UND UMWELT 2002) abgeschätzten Einträge in den Schöhsee lagen bei 72 kg Phosphor und 2343 kg Stickstoff im Jahr. Demnach entlastet der Schöhsee den Behler See

um 61 kg Phosphor und 1988 kg Stickstoff im Jahr. Die ermittelten Einträge in den Suhrer See aus dem Untersuchungsjahr 1994/95 betrugen 173 kg/a Phosphor und 5371 kg/a Stickstoff (LANDESAMT FÜR NATUR UND UMWELT 1997).

Dies würde bei einer unveränderten Belastungssituation des Suhrer Sees zum jetzigen Zeitpunkt zu einer Entlastung des Behler Sees von 147 kg/a Phosphor und 4726 kg/a Stickstoff führen.

Aufgrund der Flächennutzung und der Abwasserbeseitigung im Teileinzugsgebiet sowie der Niederschlagsbeschaffenheit werden im Folgenden stellvertretend für viele andere Stoffe die Einträge von Phosphor und Stickstoff in den Behler See grob abgeschätzt (Abbildung 57 und Tabelle 11).

Die Einträge aus dem Teileinzugsgebiet und durch Niederschlag lagen insgesamt bei 729 kg/a Phosphor und bei über 22 t/a Stickstoff. Als Hauptquelle ist für Phosphor sowie für Stickstoff mit jeweils 72 % die landwirtschaftliche Flächennutzung anzusehen. Die Abwasserbeseitigung macht 17 % der Phosphor- und 4 % der Stickstoffbelastung aus. 14 % der Stickstoffbelastung wird durch Niederschlag in den See eingetragen. Die Einträge

aus dem Teileinzugsgebiet sind zum Teil durch Gewässer, die sich im Teileinzugsgebiet des Behler Sees befinden, wie zum Beispiel Grebiner See, Schierensee, Schmarksee und Trentsee, gemindert worden, bevor sie den Behler See erreichten, da diese Gewässer wahrscheinlich als Nährstoffsenken für das Wasser aus ihrem jeweiligen direktem Einzugsgebiet wirken.

Der Gesamteintrag in den Behler See ergibt sich aus der Summe der Stoffeinträge aus dem Dieksee/obere Schwentineseen, dem Schluensee, dem Schöhsee und dem Suhrer See sowie dem Teileinzugsgebiet des Behler Sees (Tabelle 12) und beträgt rund 5,1 t Phosphor und 77,4 t Stickstoff. Die Belastung bezogen auf die Seefläche ist mit 1,65 g/a·m² Phosphor fast 3 mal so hoch wie der Durchschnitt schleswig-holsteinischer Seen (0,6 g/a·m²).

Tabelle 12: Einträge von Phosphor und Stickstoff in den Behler See aus den verschiedenen Teileinzugsgebieten

Einträge in den Behler See	Phosphor	Stickstoff
Aus dem Dieksee/obere Schwentineseen (kg/a)	4178	52224
Aus dem Schluensee (kg/a)	175	1572
Aus dem Schöhsee ( kg/a)	11	355
Aus dem Suhrer See (kg/a)	26	645
Aus dem Teileinzugsgebiet Behler See (kg/a)	729	22667
Summe (kg/a)	5119	77462
Bezogen auf die Seefläche (g/a·m²)	1,65	25

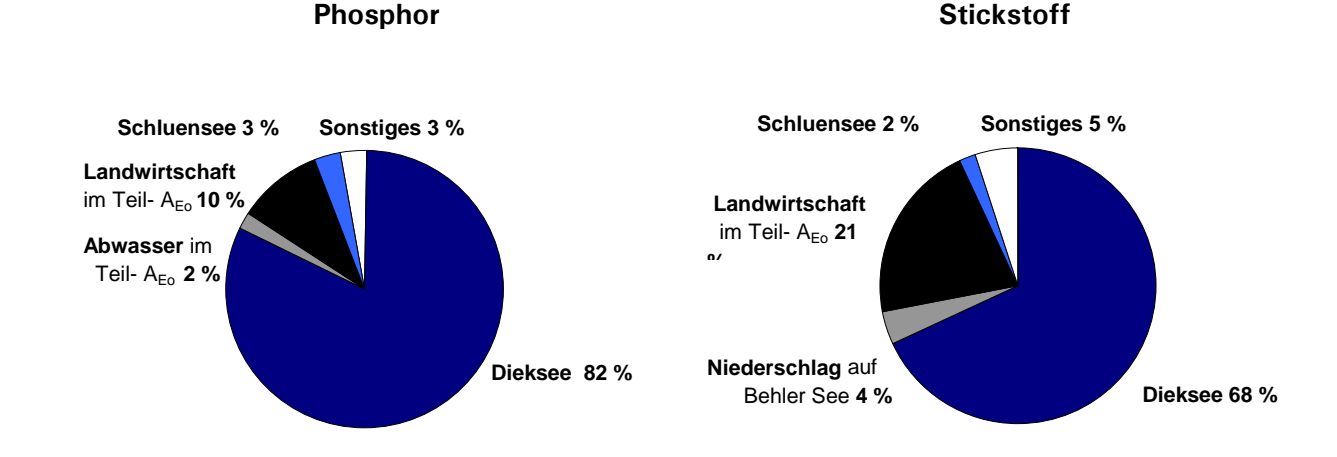


Abbildung 57: Quellen für Phosphor- und Stickstoffeinträge aus dem gesamten Einzugsgebiet in den Behler See (Teil-A<sub>EO</sub> = Teileinzugsgebiet)

Über den Dieksee/obere Schwentineseen werden in einem durchschnittlich feuchten Jahr 82 % des Phosphors und 68 % des Stickstoffs in den Behler See eingetragen. Die Landwirtschaft im Teilein-

zugsgebiet Behler See verursacht am jeweiligen Gesamteintrag 10 % beim Phosphor und 21 % beim Stickstoff. Die Einträge des Schluensees machen 2 bis 3 % der Stoffeinträge aus. Die Frachten aus den Einzugsgebieten des Schöhsees und des Suhrer Sees liegen sowohl beim Stickstoff als auch beim Phosphor unter 1 % und sind angesichts des enormen Gesamteintrages vernachlässigbar.

Anhand der ermittelten Phosphoreinträge lässt sich nach VOLLENWEIDER & KEREKES (1980) unter Einbeziehung der Seebeckengestalt und des Wasseraustausches die zu erwartende Phosphor-Konzentration im Behler See abschätzen:

$$P_E = \frac{L * T_W}{z (1 + \sqrt{T_W})}$$

 $P_E$ : = erwartete Phosphor-Konzentration im See (mg/l) L: 1,65 = jährliche Phosphor-Belastung pro Seefläche (g/a·m²)

Tw: 0,5 = theoretische Wasseraufenthaltszeit (a)

Z: 10,6 = mittlere Tiefe des Sees (m)

$$P_E = \frac{1,65 * 0,5}{10,6 (1+0,7)} = 0,05 \text{ mg/l P}$$

Die nach VOLLENWEIDER zu erwartende Phosphor-Konzentration im See liegt mit 0,05 mg/l P unter der tatsächlichen Frühjahreskonzentration von 0,1 mg/l P. Dies erklärt sich dadurch, dass das Vollenweidermodell nicht auf Seen mit geringer Wasseraufenthaltszeit (Tw etwa < 1) angewendet werden kann (DOKULIL et al. 2001).

#### **Bewertung**

Der Behler See hat nach LAWA (1998) einen oligotrophen bis mesotrophen Referenzzustand (potenziell natürlicher Zustand), der durch die potenziell natürliche Bodenauswaschung und die Verweildauer des Wassers im See bestimmt wird. Tatsächlich befindet sich der See gegenwärtig in einem schwach eutrophen Zustand. Aus der Differenz zwischen Istzustand und Referenzzustand ergibt sich die Bewertungsstufe 2 bis 3. Daraus lässt sich ein gewisser Handlungsbedarf zur Entlastung des Sees erkennen, wobei ein mesotropher bis schwach eutropher Zustand anzustreben ist.

Die derzeitige Phosphorbelastung des Sees von 1,65 g/a·m² Seefläche ist hoch und liegt weit über der mittleren Phosphor-Belastung schleswigholsteinischer Seen von 0,6 g/a·m² Seefläche. Die größte Nährstofffracht gelangt über die Schwentine in den Behler See. Ihr Anteil am Gesamteintrag erreicht beim Phosphor 82 % und beim Stickstoff 68 %. Andererseits wirken der Dieksee und die oberen Schwentineseen für das Wasser aus 85 % des Gesamteinzugsgebietes (Tabelle 8) durch Sedimentation und Denitrifikation als Nährstoffsenken. Der Schluensee, der Schöhsee und der Suhrer See fungieren ebenfalls für weitere 6 % des Gesamteinzugsgebiet als Nährstoffsenken und entlasten somit auch den Behler See. Die geringe Wasseraufenthaltszeit von 0,5 Jahren bewirkt, dass die zugeführte Nährstofffracht verminderte Auswirkungen im Behler See hat.

Aufgrund der vorhandenen hohen Belastung durch die Schwentine beträgt der Anteil der Landwirtschaft im Teileinzugsgebiet an der Gesamtbelastung des Sees 10 % beim Phosphor und 21 % beim Stickstoff. Betrachtet man jedoch lediglich das Teileinzugsgebiet, so sind hier die Einträge aus der Landwirtschaft mit jeweils 72 % beim Phosphor und beim Stickstoff erheblich. Durch die geringe Nährstoffbindungsfähigkeit des Sandbodens im Einzugsgebiet haben menschliche Aktivitäten wie landwirtschaftliche Düngung und Abwasserbeseitigung für die Gewässer weitreichende Folgen. Der Abwasseranteil des Wassers, das dem See durch die Schwentine zugeführt wird, ist durch zahlreiche Kleinkläranlagen und die zentralen Kläranlagen Eutin und Malente mit einem Ausbaugrad von 35000 beziehungsweise 21000 EW erhöht (LANDESAMT FÜR NATUR UND UMWELT 2001). Im Teileinzugsgebiet des Behler Sees spielt die Abwasserbeseitigung nur eine untergeordnete Rolle.

Der See zeigt typische Merkmale eines schwach eutrophen Sees. Der Stoffhaushalt des Sees ist durch ein Ungleichgewicht von Produktion und Abbau geprägt, das im Verlauf der sommerlichen Schichtungsphase zu Sauerstofffreiheit im Tiefenwasser und infolgedessen zu Nährstofffreisetzungen aus dem Sediment führt. Aufgrund der stabilen Schichtung des Sees stehen jedoch die rückgelösten Nährstoffe den Algen in den oberen Wasserschichten in der Vegetationsperiode nicht zur Verfügung.

Die Dominanzverhältnisse im Phyto- und Zooplankton sowie die saisonale Artenfolge charakterisieren den Behler See als eutrophen geschichteten See. Nach WILLEN (2000) liegt das Biovolumen des Sees im charakteristischen Bereich eines schwach eutrophen ("eutroph 1") Sees. Im Behler See wurde die sommerliche Phytoplanktongemeinschaft von Anabaena flos-aquae/Anabaena spiroides var.

tumida, Aphanizomenon spp. und Microcystis aeruginosa bestimmt. Eine sommerliche Dominanz von Cyanobakterien und/oder Dinoflagellaten (vor allem Ceratium spp.) wird häufig in eutrophen, geschichteten Seen beobachtet, in denen es im Verlauf der Vegetationsperiode zu einer Verarmung an verfügbarem Phosphor kommt (SOMMER et al. 1986). Microcystis aeruginosa, Microcystis viridis und Microcystis wesenbergii sowie Aphanizomenon flos-aquae. und Anabaena spp. gelten als typische Blaualgenvertreter in eutrophen Gewässern, in denen sie auch beachtliche Anteile an der Biomasse bilden können (REYNOLDS 1997, LEPISTO & ROSENSTRÖM 1998, TRIFONOVA 1998). Das Wachstum des Phytoplanktons, das durch die Nährstoffsituation begünstigt ist, wird zwar in einem gewissen, aber nicht mehr im optimalen Maße durch die vorhandenen räuberischen Zooplanktonarten begrenzt.

Die weite Ausdehnung des Litorals im Vergleich zu anderen Seen - der Übergang zum Profundal befindet sich zwischen 8 m und 10 m - sowie das Auftreten von mesotrophen Charakterarten lassen einen eher mesotrophen Zustand erkennen. Aufgrund der Besiedlung des Profundals ist der See nach THIENEMANN (1922) als mäßig eutropher *Chironomus anthracinus*-See zu beurteilen. Ein Vergleich mit den Ergebnissen von LUNDBECK (1926), lässt die Aussage zu, dass sich der Zustand des Sees, in Bezug auf die Fauna des Seegrundes, nicht verschlechtert hat.

Ein Röhrichtgürtel fehlt über weite Strecken fast vollständig. Die existierenden Röhrichte sind häufig lückig und inselhaft, am Südufer konnte ein stärkerer Bestandsrückgang beobachtet werden. Dem Schilfrückgang liegt in der Regel das Abknicken der Schilfhalme zugrunde, das verschiedene Ursachen haben kann: direkte Zerstörung, mechanische Belastung, Fraßschädigung, Nährstoffbelastung der Röhrichte sowie Seespiegelmanipulation. Die Ursache für den gestörten Röhrichtbestand am Behler See kann im Rahmen dieser Untersuchung nicht geklärt werden, möglicherweise kommt es zu einer Schädigung des Röhrichts durch mechanische Belastung infolge Schiffsverkehr und Fraßschädigung durch Rinder und Wasservögel. So wurde der Behler See z.B. 1999 von 54 Graugänsepaaren als Brutplatz bzw. von 110 Graugänsen als Mauserplatz genutzt (KOOP 1999a, KOOP 1999b). Mausernde Graugänse ernähren sich zwar an vielen Stellen im Grünland, an einigen Mauserplätzen jedoch auch von Jungschilf.

Eine Schwimmblattzone lässt sich nur punktuell in geschützten Lagen finden.

Positiv zu bewerten ist die mäßig artenreiche, gut entwickelte Unterwasservegetation, die aus 14 Arten besteht, von denen fünf gefährdet beziehungsweise vom Aussterben bedroht sind. Die Tiefenausdehnung und das Artenspektrum der submersen Vegetation ist typisch für ein eutrophes Gewässer. Besonders hervorzuheben sind die großflächigen Armleuchteralgenrasen. Der Erhalt der submersen Vegetation ist im Behler See von landesweiter Bedeutung.

#### Empfehlungen

Da der See gute Regenerationschancen hat, sind Entlastungsmaßnahmen hier besonders Erfolg versprechend. Aus fachlicher Sicht ist ein meso- bis schwach eutropher Zustand anzustreben. Somit ist der Istzustand dem guten ökologischen Zustand schon sehr nahe. Trotzdem sollten Maßnahmen zur Entlastung des Sees ergriffen werden, da die untersuchten Lebensgemeinschaften Defizite aufwiesen. Dabei sind die für die Seen der oberen Schwentine vorgeschlagenen Maßnahmen am wichtigsten. Aber auch im direkten Einzugsgebiet des Behler Sees ist es sinnvoll, Maßnahmen umzusetzen.

Entsprechend des hohen Anteils der landwirtschaftlichen Nutzung im Teileinzugsgebiet des Sees sind zu seiner Entlastung in erster Linie Maßnahmen in diesem Bereich zu ergreifen. Vordringlich sollte hierbei die seenahe Nutzung berücksichtigt werden.

Die Aufhebung der Beweidung der Seeufer und der Beseitigung der Viehtränken im See, die durch Weidepumpen ersetzbar wären, würde den Nährstoffeintrag in den See reduzieren und zum Uferschutz beitragen.

Die Änderung bzw. eine Reduzierung der Düngung am Nordufer, die laut Anwohner sehr früh im Jahr stattfindet und intensiv ist, würde zur Entlastung des Sees beitragen.

Eine Änderung der bisherigen Ackernutzung oder die Anlage hangparalleler Furchen auf den Ackerflächen bzw. von Knickwällen am nördlichen Westufer und am Ostufer des Sees ist aus Sicht des Gewässerschutzes anzuraten.

Das Schaffen von Uferrandstreifen würde zu geringeren Nährstoffeinträgen in das jeweilige Gewässer führen.

Die Beweidung der Ufer der östlichen Halbinsel am Nordufer sollte aus Artenschutzmaßnahmen beibehalten werden, da die stark gefährdete Zusammengedrückte Quellbinse *Blysmus compressus* hierdurch bessere Lebensbedingungen findet. Diese Beweidung sollte jedoch in ihrer jetzigen Intensität nicht überschritten werden.

# Schwentinesee (2004)

Topographische Karte (1 : 25.000):

Flusssystem: Schwentine, Ostsee

Kreis: Plön

Gemeinde: Dörnick, Wittmoldt.

Eigentümer: Land Schleswig-Holstein

Pächter:

Lage des oberirdischen Einzugsgebietes:

Höchster Wasserstand (Abflussjahr 2002, m ü.NN):

Rechtswerte: 358212 - 441838 Hochwerte: 598690 - 601508

Mittlerer Wasserstand (Abflussjahr 2002, m ü.NN):

Niedrigster Wasserstand (Abflussjahr 2002, m ü.NN):

Größe des oberirdischen Einzugsgebietes (km²):

Größe des oberirdischen Teileinzugsgebietes (km²):

Seefläche (km²):

Seevolumen (Mio. m³) bei 24,26 m ü.NN:

3,68

Maximale Tiefe (m):

10,9

Theoretische Wasseraufenthaltszeit (a): 0,028 (11 Tage)

5,8 6,29

(bei einem geschätzten Abfluss von 10 l/(s·km²))

Umgebungsarealfaktor (m²/m²):650Umgebungsvolumenfaktor (m²/m³):111,6Uferentwicklung:2,3Hypolimnion/Epilimnion (m³/m³):-

Mischungsverhalten: ungeschichtet

Seetyp 12

## Entstehung

Mittlere Tiefe (m):

Uferlänge (km):

Das hier "Schwentinesee" genannte Gewässer ist die seenartige Erweiterung der Schwentine zwischen dem Kleinen Plöner See und dem Kronsee. Über die eiszeitliche Ausformung dieses speziellen Teils der Schwentine liegen keine Informationen vor.

# Einzugsgebiet und Morphologie des Sees

Das oberirdische Einzugsgebiet der Schwentine hat bis unterhalb des Schwentinesees eine Größe von 403 km².

Bei einer Seefläche von 0,63 km² gibt sich daher der große Umgebungsarealfaktor von 650. Auch der Umgebungsvolumenfaktor ist mit 111,6 sehr hoch. Die direkte Umgebung des Schwentinesees ist vor allem durch landwirtschaftliche Nutzung geprägt.

Die unversiegelten Böden des Einzugsgebiets bestehen überwiegend aus Geschiebelehm.

Nachdem die Schwentine den Kleinen Plöner See verlassen hat, erweitert sie noch einmal ihren Lauf zum hier "Schwentinesee" genannten Flusssee, bevor sie über Kronsee und Fuhlensee in den Lanker See fließt.

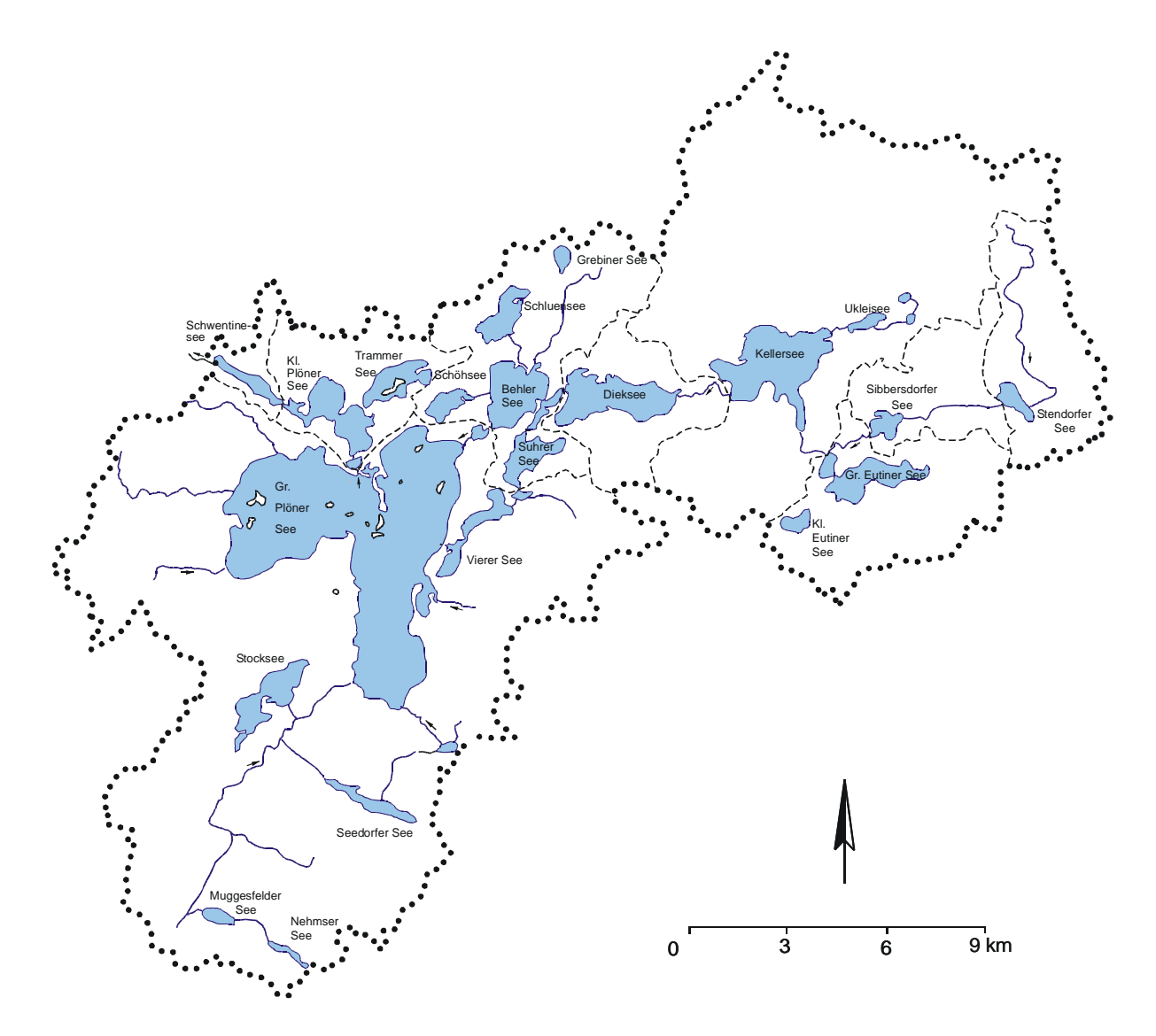


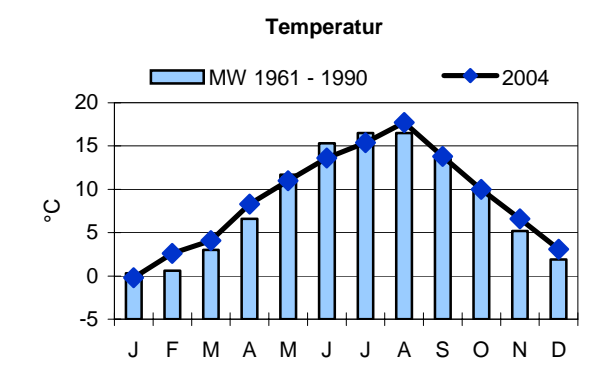
Abbildung 58: Einzugsgebiet des Schwentinesees

Der Seewasserstand entspricht in etwa dem des Kleinen Plöner Sees, mit dem der Schwentinesee in freier Verbindung steht. Der Seewasserstand des Kleinen Plöner Sees schwankte im Jahresverlauf 2004 um 80 cm. Die auf Grund der Einzugsgebietsgröße bei einer zu Grunde gelegten Abflussspende von 10 l/s·km² berechnete theoretische Wasseraufenthaltszeit ist mit 0,028 Jahren (11 Tage) sehr kurz und charakterisiert den Schwentinesee als Flusssee (MATHES et al. 2002).

In Abbildung 59 sind die Temperatur- und Niederschlagsverhältnisse an der Messstation Dörnick dargestellt. Das Jahr 2004 wies insgesamt durchschnittliche Temperaturen mit leicht erhöhten Werten von Februar bis April auf. Die Jahressumme der Niederschläge entsprach ebenfalls in etwa dem Durchschnitt, es fiel jedoch im August und September überdurchschnittlich viel, von Oktober bis Dezember dagegen weniger Regen.

Das lang gestreckte Becken des Schwentinesees ist von einfacher Form mit steilen Ufern und wenig Buchten. Die tiefste Stelle (10,9 m) liegt nahezu in der Mitte (Abbildung 60).

Der Schwentinesee zeigt zwar phasenweise ausgeprägte Schichtungen, diese waren jedoch nicht stabil.



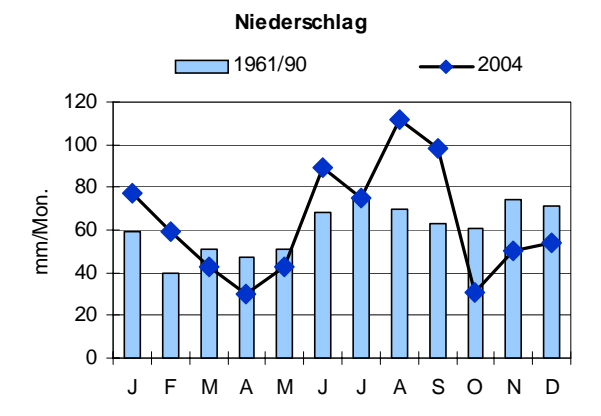


Abbildung 59: Mittlere Monatstemperaturen und monatliche Niederschlagshöhen für das Jahr 2004 an der Messstation Dörnick im Vergleich zum langjährigen Mittel 1961/90

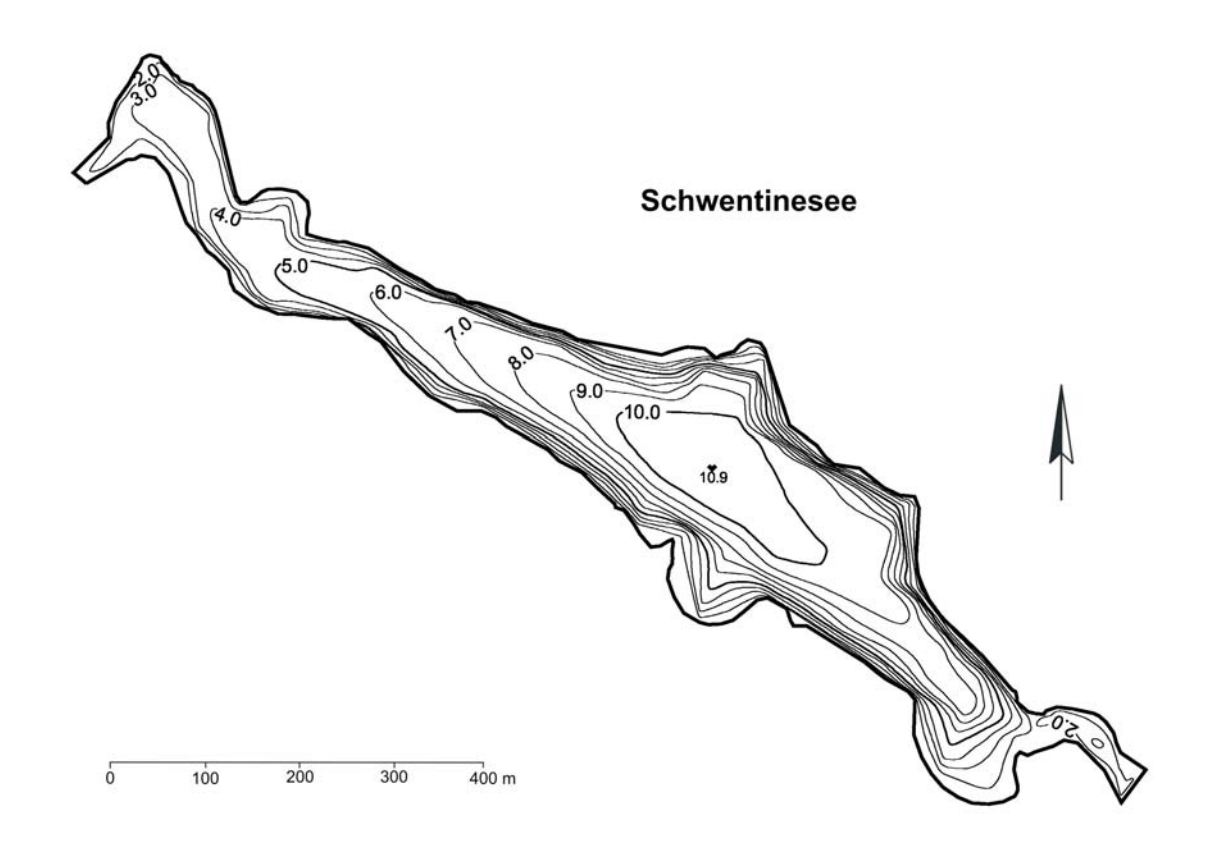


Abbildung 60: Tiefenplan des Schwentinesees

#### Ufer

Die Ufervegetation des Schwentinesees wurde im Auftrag des Landesamtes von MARILIM (2004) erfasst. Die folgenden Ausführungen sind dem Bericht entnommen.

Die angrenzenden Uferbereiche werden im Norden und Osten überwiegend als Acker, z.T. auch als Grünland genutzt. Siedlungen sind die Orte Wittmold und Dörnick, sowie in näherer Umgebung mehrere Gutshöfe.

Der Schwentinesee ist fast durchgehend von einem schmalen Saum standorttypischer Ufergehölze umgeben, die Auwaldcharakter haben. Dominante Arten sind Pappeln Populus sp., die nach der Roten Liste der Farn- und Blütenpflanzen Schleswig-Holsteins (MIERWALD & BELLER 1990) gefährdeten Ulmen Ulmus laevis (RL 3), Moorbirken Betula pubescens, Hängebirken B. pendula, Schwarzerlen Alnus glutinosa, Eschen Fraxinus excelsior sowie Traubenkirsche Prunus padus, diverse Weidenarten (u. a. Salix caprea, S. fragilis, S. alba) und Weißdorn Crataegus sp.. Im Unterwuchs finden sich mit Sumpfschwertlilie Iris pseudacorus, diversen Seggen Carex spp., Wechsel-

blättrigem Milzkraut Chrysosplenium alternifolium, Gewöhnlichem Hexenkraut Circaea lutetiana u. a. typische Charakterarten feuchter Auwälder. Der Saum wächst in unmittelbarer Ufernähe und ist lediglich in Bereichen, wo Grünland oder Siedlungsflächen an das Gewässer angrenzen, aufgelockert oder unterbrochen. Der Uferabschnitt der Siedlung Dörnick weist einen lockeren Bewuchs mit Weiden auf.

Ein Großröhricht findet sich entlang der Uferlinie lediglich in den geschützten Buchten. Es besteht hauptsächlich aus Schilfrohr Phragmites australis sowie Breitblättrigem Rohrkolben Typha latifolia und Schmalblättrigem Rohrkolben T. angustifolia. Röhrichtbildner schilffreier Bereiche sind Rohrglanzgras Phalaris arundinacea. Großer Schwaden Glyceria maxima, Seggen Carex spp., Aufrechter Igelkolben Sparganium erectum und Kalmus Acorus calamus. Auch die Schwanenblume Butomus umbellatus, Binsen Juncus spp. und die Teichsimse Eleocharis palustris finden sich in manchen Uferbereichen. Diese Kleinröhrichte treten an Seeufern oft an gestörten Stellen auf. Sie sind typisch für nährstoffreiche Standorte, jedoch auch für Bach- und Flussufer.

Das Ufer ist in den meisten Abschnitten zu steil für die Ausbildung einer **Schwimmblattzone**. Lediglich im flacheren Bereich der Ausbuchtung nahe dem Abfluss ist ein schmaler Mischbestand aus Gelber Teichrose *Nuphar lutea* und Weißer Seerose *Nymphaea alba* ausgebildet. In geschützten Bereichen finden sich vereinzelt lockere kleinflächige Bestände der Gelben Teichrose *Nuphar lutea*.

Der Bestand der Unterwasserpflanzen ist im Schwentinesees deutlich vom Vorkommen der Amerikanischen Wasserpest Elodea nuttallii dominiert. Sie bildet großflächige Bestände in Wassertiefen bis zu 3,5 m, vereinzelt wurden sogar vitale Exemplare bis zu 5 m Wassertiefe gefunden. Weitere häufige, aber eher kleinflächige Verbreitung findet die submerse Form der Schwanenblume Butomus umbellatus. Zu den stetig vertretenen Arten zählen der Spreizende Hahnenfuß Ranunculus circinatus, der im Schwentinesee häufig in Verbindung mit Elodea nuttallii auftritt, das Durchwachsene Laichkraut Potamogeton perfoliatus, das Krause Laichkraut P. crispus sowie vereinzelt die Kanadische Wasserpest Elodea canadensis und der Wasserhahnenfuß Ranunculus aquatilis. Als Besonderheit muss der Fund des Herbstwassersterns Callitriche hermaphroditica gelten, der in Schleswig-Holstein als "stark gefährdet" (RL 2) eingestuft wird. Weitere nachgewiesene Rote-Liste-Arten sind das Zwerglaichkraut Potamogeton pusillus (RL 3) und das Ährige Tausendblatt Myriophyllum spicatum (RL 3). Stellenweise kommt in flachen, geschützten Bereichen die Zerbrechliche Armleuchteralge Chara globularis vor. Eine Armleuchteralgenzone ist jedoch nicht ausgebildet. Insgesamt wurden 14 Arten von Unterwasserpflanzen gefunden, von denen viele jedoch nur vereinzelt oder kleinflächig auftreten.

Insgesamt ist die Ufervegetation des Schwentinesees deutlich durch den Flusscharakter des Gewässers geprägt. Die Unterwasservegetation ist zwar mäßig artenreich, viele Arten treten jedoch nur vereinzelt auf, die dominanten Arten zeigen die Eutrophierung an. Die in den letzten Jahren verstärkte Ausbreitung des pflanzlichen Neubürgers Amerikanische Wasserpest könnte das Verschwinden anderer Arten begünstigen und sollte weiter beobachtet werden. An einigen Stellen scheint die Ufervegetation durch Wassersportler beeinträchtigt zu sein.

#### Freiwasser

Der Schwentinesee zeigte an den Beprobungstagen im Jahr 2004 nur im August eine deutliche thermische Schichtung (Abbildung 61). Bei Calciumkonzentrationen um 55,8 mg/l (Frühjahr) war der See mit einer Säurekapazität um 2,4 mmol/l (Frühjahr) recht gut gepuffert. Die pH-Werte lagen im Oberflächenwasser zwischen 8,1 und 9,0. Die elektrische Leitfähigkeit schwankte zwischen 39 und 48 mS/m (Abbildung 62).

Die Gesamtphosphorkonzentration lag im Frühjahr mit 0,064 mg/l P im mittleren Bereich. Die Stickstoffkonzentrationen dagegen waren mit Frühjahrswerten um 0,96 mg/l N eher niedrig. Anorganisch gelöster Stickstoff war im Oberflächenwasser meist nur in geringen Konzentrationen vorhanden, während anorganisch gelöster Phosphor zu den Probetagen stets vorhanden war.

Im **März** war der Schwentinesee vollständig durchmischt. Die Sauerstoffsättigung zeigte mit 128 % bereits ein deutliches Phytoplanktonwachstum an, was sich auch in einer erhöhten Chlorophyll a - Konzentration von 36  $\mu$ g/l widerspiegelte (Abbildung 62). Die Sichttiefe betrug nur 1,8 m. Der Phosphor lag zum Teil noch als gelöstes Phosphat vor und auch geringe Mengen von Nitrat waren vorhanden.

Ende **Mai** schien ein Klarwasserstadium eingetreten zu sein, da sich die Chlorophyll a - Konzentration auf 7 µg/l verringerte bei einem gleichzeitigem Anstieg der Sichttiefe auf 4,1 m. Das Phytoplankton, das ebenso wie das Zooplankton von ARP (2005) analysiert wurde, setzte sich überwiegend aus Grünalgen (*Planktosphaeria gelatinosa* und *Ankyra* spp.) zusammen. Das Zooplankton wies zu diesem Zeitpunkt nur geringe Abundanzen auf (Rotatorien 31 Ind./l, Crustaceen 27 Ind./l) Der Sauerstoffgehalt befand sich unterhalb des Sättigungswertes (91 %). Der Gesamtphosphor (0,082

mg/l P) lag zu mehr als der Hälfte als gelöstes Phosphat vor, Nitrat war dagegen nicht mehr vorhanden. Ammonium, ein Hinweis auf den Abbau organischer Substanz, wurde jedoch in für Oberflächenwasser vergleichsweise hohen Konzentrationen gefunden (0,15 mg/l N). Im Tiefenwasser war ein Temperaturabfall sichtbar, die Sauerstoffsättigung fiel in dieser untersten Wasserschicht nahezu auf Null. Leichter H<sub>2</sub>S-Geruch und verringerte Sulfatkonzentrationen im Tiefenwasser zeigen, dass bereits zu diesem frühen Zeitpunkt Desulfurikation in der Tiefe stattfand.

Ende Juni war ein deutlicher Anstieg des Phytoplanktonbiovolumens auf 5,9 mm<sup>3</sup>/l (Chlorophyll a 14,8 µg/l) zu verzeichnen, der mit einer Verringerung der Sichttiefe auf 1,9 m einher ging. Das Phytoplankton bestand nun überwiegend aus kettenförmigen, zentrischen Kieselalgen (Aulacoseira granulata) und koloniebildenden pennaten Kieselalgen (Asterionella formosa, Fragilaria crotonensis). Im Zooplankton nahm die Abundanz bei den Mikrofiltrierern, Ciliaten und Rotatorien deutlich zu. Ciliaten waren durch das Wimpertier Epistylis sp. vertreten (100 Ind./I) sowie Rotatorien hauptsächlich durch Keratella cochlearis (161 Ind./I). Die Sauerstoffsättigung im Oberflächenwasser lag bei nur 90 %. Der Gesamtstickstoff im Oberflächenwasser hatte weiter abgenommen und lag vollständig organisch gebunden vor, während der Phosphor weiterhin zu fast 50 % als anorganisches Phosphat vorlag. Im Tiefenwasser hatte vermutlich vorübergehend eine Durchmischung stattgefunden, da eine Zunahme der Sulfatkonzentrationen sowie eine Abnahme der Hydrogenkarbonat-, Phosphor- und Stickstoffkonzentrationen beobachtet werden konnte. H2S-Geruch wurde nicht mehr festgestellt. Die Sprungschicht lag ietzt etwas höher und der Sauerstoffschwund setzte daher bereits bei etwa 8 m Wassertiefe ein.

Anfang August war ein enormer Anstieg des Phytoplanktonbiovolumens auf das Jahresmaximum von 62 mm<sup>3</sup>/l (53  $\mu$ g/l Chlorophyll a) zu verzeichnen, der sich in einer niedrigen Sichttiefe von 1,0 m niederschlug. Die massive Phytoplanktonblüte wurde von Dinoflagellaten der Arten Ceratium furcoides und Ceratium hirundinella verursacht, die mehr als 88% zum gesamten Biovolumen beitrugen. Daneben traten vermehrt Cyanobakterien der stickstofffixierenden Gattung Anabaena auf, die einen Biomasseanteil von 10% erreichten. Die Sauerstoffsättigung war mit über 250 % extrem hoch. Die Zooplanktonentwicklung war weiterhin unbedeutend. Neben Rädertieren (Keratella cochlearis und Trichocerca similis) erlangten lediglich Jugendstadien der Hüpferlinge eine etwas größere Individuendichte von 11 Ind./I. Mit Ascomorpha saltans und Trichocerca-Arten traten Vertreter auf, die sich vom Inhalt angestochener Algenzellen ernähren. Der Gesamtstickstoff im Oberflächenwasser hatte etwas zugenommen, insgesamt waren im Oberflächenwasser weder anorganisch gelöster Stickstoff noch Phosphor in höheren Konzentrationen vorhanden. Im Vertikalprofil war erstmals im Jahr eine deutliche Schichtung ausgeprägt. Bereits unterhalb von 2 m Wassertiefe fiel der Sauerstoffgehalt stark ab und das Tiefenwasser war ab 5 m sauerstofffrei. Die verringerten Sulfatkonzentrationen zeigen Desulfurikation an, Schwefelwasserstoffgeruch wurde jedoch nicht festgestellt.

Ende August sank das Phytoplanktonbiovolumen nach Zusammenbruch der Dinoflagellatenblüte wieder auf ein wesentlich niedrigeres Niveau von  $3.4 \text{ mm}^3/\text{I}$  (37  $\mu\text{g/I}$  Chlorophyll a, 1,25 m Sichttiefe). Das Phytoplankton bestand nun zu etwa gleichen Teilen aus Dinoflagellaten (Peridinium sp.), Cryptophyceen (Rhodomonas lacustris, Cryptomonas sp.) sowie aus penaten und centrischen Kieselalgen. Der Sauerstoffgehalt lag etwa im Sättigungsbereich (114 %). Für das Zooplankton war eine leichte Zunahme der Abundanzen, insbesondere der Rädertiere (Keratella cochlearis, Keratella cochlearis f. tecta) mit 147 Ind./I gegenüber dem Monatsanfang zu beobachten. Unter den größeren Formen erlangte nur der für die Uferzone typische Kugelkrebs Chydorus sphaericus eine etwas größere Häufigkeit. Die Gesamtphosphorkonzentration nahm im Oberflächenwasser deutlich zu, was vermutlich aus der nicht mehr vorhandenen Sprungschicht resultierte. Die sauerstofffreie Zone begann jetzt erst bei 8 m. Intensive Desulfurikation wurde durch die deutlich verringerten Sulfatkonzentrationen und einen mittleren Schwefelwasserstoffgeruch angezeigt. Gleichzeitig stiegen die Phosphatkonzentrationen im Tiefenwasser auf 0,4 mg/l P an. Möglicherweise fand hier eine Phosphorfreisetzung aus dem Sediment

Anfang Oktober war der Schwentinesee wieder vollständig durchmischt. Das Phytoplanktonbiovolumen (2,7 mm<sup>3</sup>/l) und der Chlorophyllgehalt (22 µg/l) erreichten ähnliche Werte wie Ende August, die Sichttiefe lag jetzt bei 1,8 m. Das Phytoplankton bestand fast ausschließlich aus centrischen Kieselalgen (überwiegend Aulacoseira granulata). Für das Zooplankton wurden zu diesem Zeitpunkt die höchsten Abundanzen im Jahresverlauf ermittelt, wobei Rädertiere mit 362 Ind./I (hauptsächlich Keratella cochlearis) dominierten. Größere Zooplanktonarten wie Bosmina longirostris (6 Ind./I) und Chydorus sphaericus erreichten erstmals seit Mai wieder etwas höhere Dichten. Der Sauerstoffgehalt lag nun wieder unter dem Sättigungswert (92 %). Die Gesamtphosphorkonzentration hatte weiter zugenommen und lag jetzt über 0,1 mg/l P. Die Stickstoffkonzentration dagegen hatten weiter abgenommen

(0,79 mg/l N), erstmals war jetzt wieder Nitrat vorhanden (0,077 mg/l N).

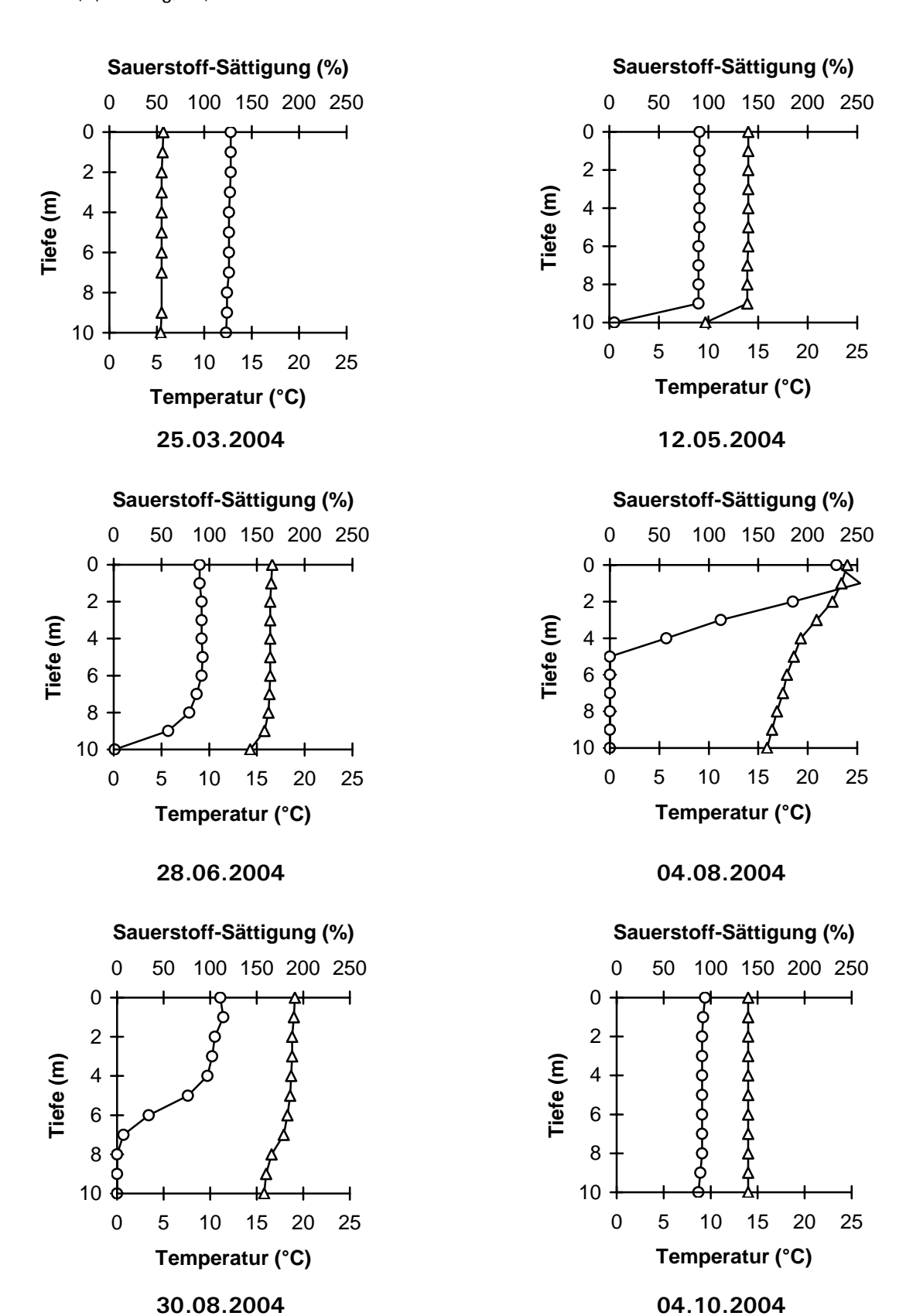


Abbildung 61: Tiefenprofile von Temperatur (°C) und Sauerstoff-Sättigung (%) im Schwentinesee 2004; Temperatur  $\Delta$  Sauerstoff o

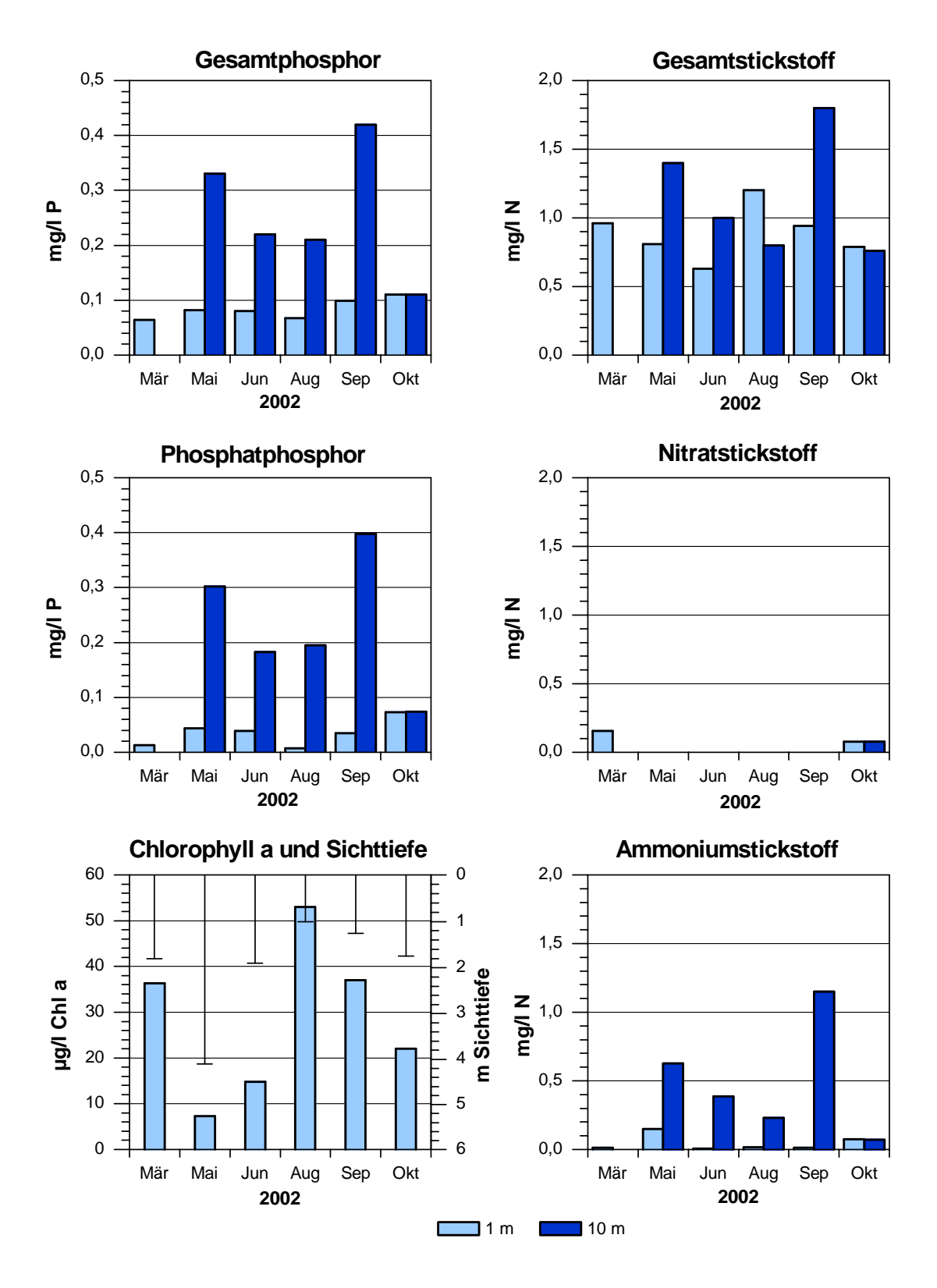


Abbildung 62: Gesamtphosphor (mg/l P), Gesamtstickstoff (mg/l N), Phosphat (mg/l P), Nitrat (mg/l N), Ammonium (mg/l N) sowie Chlorophyll a ( $\mu$ g/l) und Sichttiefen (m) im Schwentinesee 2004

Insgesamt sind die Stoffumsatzprozesse in dieser seenartigen Erweiterung der Schwentine durch die Wasser- und Stoffzufuhr aus dem Kleinen Plöner See geprägt. Die Wasserzufuhr bestimmt wesentlich das Schichtungsregime, da die Schichtung während des Sommers zeitweilig, vermutlich in Phasen vermehrten Abflusses, aufgehoben wird. Der vergleichsweise geringe Stickstoffgehalt der Schwentine, die bis zu diesem Punkt bereits eine Anzahl Seen durchflossen hat und dabei Stickstoff durch Denitrifikation verloren hat, führt zu einer potenziellen Stickstofflimitierung des Phytoplanktonwachstums fast während der gesamten Vegetationsperiode. Trotzdem treten Stickstofffixierende Cyanobakterien nur vorübergehend und lediglich in geringer Menge während der Stagnationsphase Anfang Juli in Erscheinung. Die Wasseraufenthaltszeit im Schwentinesee ist für die Entwicklung der langsamwachsenden N2-Fixierer, die zudem stabile Schichtungsverhältnisse bevorzu-

gen, wahrscheinlich zu kurz. Das zeitweilig massenhafte Auftreten von Detritus fressenden Wimpertieren und von Dinoflagellaten, die sich bei Bedarf heterotroph ernähren können, deutet auf Einschwemmung von organischer Substanz aus dem oberhalb liegenden Kleinen Plöner See. Das jahreszeitliche Muster der Phytoplanktonaspekte, die im Schwentinesee im Jahr 2004 stark wechselten, zeigte dagegen wenig Ähnlichkeit mit der im Jahr 2002 beobachteten Sukzession im Kleinen Plöner See.

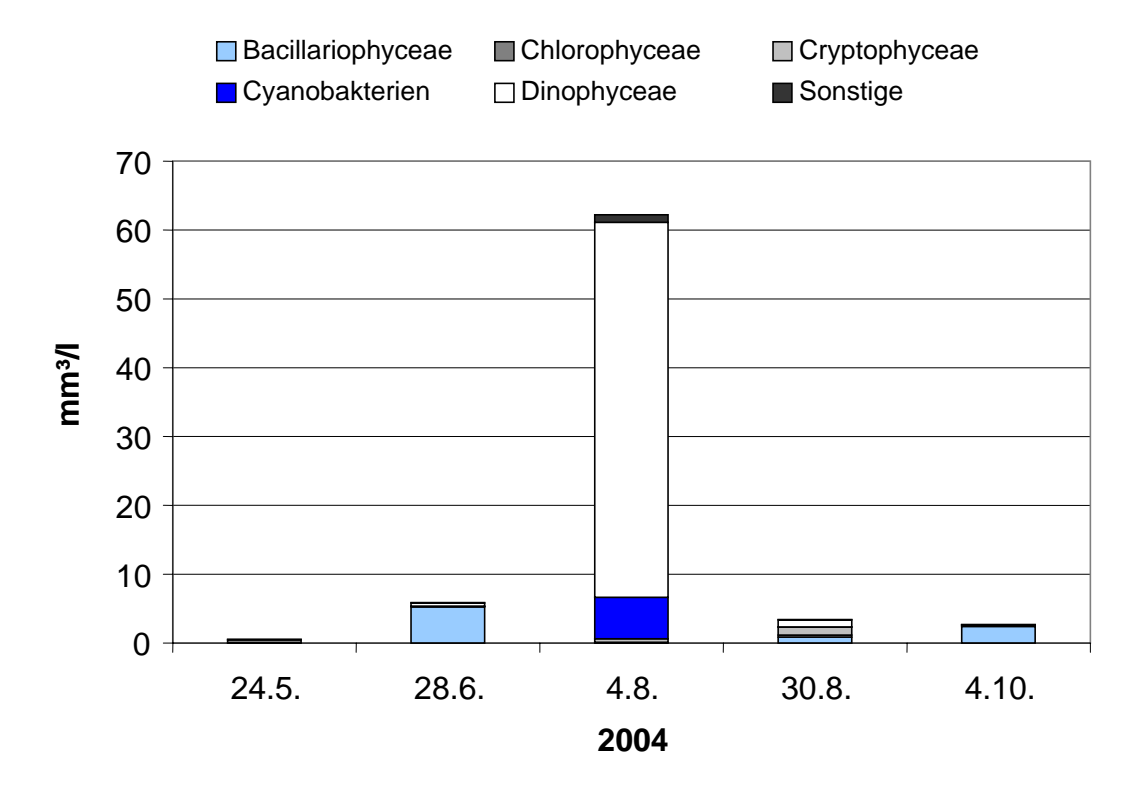


Abb. 63: Entwicklung des Biovolumens der dominierenden Phytoplanktongruppen (mm³/l) im Schwentinesee 2004

### Seegrund

Die tierische Besiedlung des Sediments im Schwentinesee wurde im Auftrag des Landesamtes von OTTO (2004) untersucht. Die folgenden Ausführungen sind seinem Bericht entnommen.

Am Schwentinesee wurden drei Transekte untersucht. Dazu wurden in 0 bis 1 m und 2 bis 3 m Wassertiefe sowie am dritten Transekt zusätzlich in 5 bis 7 m und 10 bis 12 m Tiefe Proben entnommen.

Insgesamt wurden 56 Taxa gefunden, wovon die Zuckmückenlarven mit 18 Taxa den größten, die Weichtiere mit 12 Taxa den zweitgrößten Anteil hatten.

Im Schwentinesee war in der Zone 2 bis 4 m noch eine vergleichsweise artenreiche ufertypische Fauna vorhanden. Ab dieser Tiefe nahmen die für die Tiefenzone typischen Vertreter zu und überwogen schließlich in der Zone 5 bis 7 m. Der Übergang zum Profundal befand sich somit etwa zwischen 4 und 5 m.

Im Schwentinesee dominierten in allen Tiefen die Zuckmückenlarven und Wenigborster. In der Uferzone waren darüber hinaus Larven verschiedener Eintagsfliegenarten der Gattung *Caenis* in z.T. hohen Dichten vertreten.

Auf Grund der Präsenz der Zuckmückenlarve *Chironomus plumosus* sowie der Büschelmückenlarve *Chaoborus flavicans* im Profundal ist der See als eutropher *Chironomus plumosus*-See im Sinne von THIENEMANN (1922) zu bezeichnen. Diese Be-

wertung wird durch die Ausdehnung der Uferzone gestützt.

## Nutzung des Sees und seines Einzugsgebietes

Der Schwentinesee ist Teil des FFH-Gebietes "Seen des mittleren Schwentine-Systems und Umgebung", das 2004 als FFH-Gebiet gemeldet wurde.

Die fischereiliche Nutzung des Sees erfolgt durch einen Angelverein.

Die Beschreibung der Nutzung der Ufer folgt im wesentlichen den Angaben von STUHR (2004). Die Ufer sind in weiten Bereichen durch landwirtschaftliche Nutzung geprägt. Südöstlich von Wittmold hat das Vieh an mehreren Stelle Zugang zum Ufer, und auch die Weiden am Nordende des Sees besitzen keine Abzäunung zum Seeufer. Vor Wittmold gibt es eine Badestelle, zwei weitere kleine Badestellen befinden sich am Nordende des Sees. Private Bootsstege gibt es vereinzelt vor Wittmold, nordwestlich von Dörnick sowie am Nordufer. In

Nordufer. In einigen Uferbereichen sind Vertrittschäden durch anlegende Wassersportler zu beobachten.

Das **Einzugsgebiet** des Sees wird zu drei Viertel der Fläche landwirtschaftlich, davon 72 % als Acker, genutzt. Nur 6 % sind Wald, 3 % Siedlung. Wasserflächen nehmen 15 % des Einzugsgebiets ein. Die Zahl der Großvieheinheiten lag mit durchschnittlich 0,8 GVE/ha landwirtschaftlich genutzter Fläche eher hoch.

**Abwasser** erhält der Schwentinesee aus seinem Teileinzugsgebiet nicht.

## Belastungssituation des Sees

Aufgrund der Flächennutzung und der Abwasserbeseitigung im Einzugsgebiet sowie der Niederschlagsbeschaffenheit werden im Folgenden die Einträge der Nährstoffe Phosphor und Stickstoff in den Schwentinesee grob abgeschätzt (Abbildung 64 und Tabelle 13).

Tabelle 13 : Einträge von Phosphor und Stickstoff in den Schwentinesee aus verschiedenen Quellen (Abschätzung gemäß Kapitel Auswertungsmethoden)

Flächennutzung	[ha] bzw.	[kg/ha a] bzw.	P-Eintrag	[kg/ha a] bzw.	N-Eintrag
	Stück	[kg/GVE a]	[kg/a]	[kg/DE a]	[kg/a]
Wasserflächen	63				
Acker	222	0,5	111	20	4.436
Grünland	85	0,2	17	10	848
Großvieheinheiten	558	0,20	112	0,9	502
Moor	5	0,2	1	10	50
Wald	25	0,05	1	7	174
Siedlung	11	0,8	8	13	139
Andere Nutzung	0	0,1	0	10	0
Summe	410		250		6.149
Niederschlag	63	0,15	9	12	744
auf die Seefläche					
	km²				
aus Einzugsgebiet KI. Plöner					
See	399	0,08	10.066	0,8	100.000
				T	
Gesamteintrag in den See			Phosphor		Stickstoff
Summe [kg/a]			10.330		106.890
g/m² a (bezogen auf Seefläche)			16,7		1.724
kg/ha a (bezogen auf Landfläcl	ne)		0,26		2,63

# Phosphor Landwirtschaft Sonstiges 1% Schwentine

# Stickstoff Landwirtschaft 5% Sonstiges 1% Schwentine

94%

Abbildung 64: Quellen für Phosphor- und Stickstoffeinträge in den Schwentinesee

96%

Die Einträge aus dem Einzugsgebiet und durch Niederschlag lagen insgesamt bei 10,3 t/a Phosphor und bei 107 t/a Stickstoff. Die Schwentine trägt bei beiden Nährstoffen ganz überwiegend zur Belastung bei (P: 96 %, N: 94 %). Abwasser und Siedlungsentwässerung haben mit unter 0,1 % einen sehr geringen Anteil. Mit jährlich 16,7 g/a·m²

Seefläche Phosphor ist die Flächenbelastung des Schwentinesees sehr hoch.

Anhand der ermittelten Phosphoreinträge lässt sich nach VOLLENWEIDER & KEREKES (1980) unter Einbeziehung der Seebeckengestalt und des Wasseraustausches die zu erwartende Phosphorkonzentration für einen See abschätzen:

$$P_E = \frac{L * T_W}{z (1 + \sqrt{T_W})}$$

P<sub>E</sub> : = erwartete Phosphor-Konzentration im See (mg/l) L : 16,7 = jährliche Phosphor-Belastung pro Seefläche (g/a·m²)

 $T_{W}$ : 0,03 = theoretische Wasseraufenthaltszeit (a)

z : 5,8 = mittlere Tiefe des Sees (m)

$$P_E = \frac{16.7 * 0.03}{5.8 (1 + \sqrt{0.03})} = 0.074 \text{ mg/l}$$

Die nach VOLLENWEIDER zu erwartende Phosphorkonzentration im Schwentinesee liegt somit bei 0,074 mg/l Phosphor. Wegen des starken Wasseraustauschs, der im Jahresdurchschnitt theoretisch bei nur 11 Tagen liegt, ist ein Vergleich mit den tatsächlich gefundenen Konzentrationen, die im Jahresverlauf stark schwanken, schwierig. Die 2004 im Schwentinesee gemessenen Phosphorkonzentrationen lagen zwischen 0,064 mg/l P (März) und 0,11 mg/l P (Oktober) und damit etwa in dem berechneten Bereich. Inwieweit der Schwentinesee als Phosphorsenke wirkt, ist durch die vorliegenden Untersuchungen nicht eindeutig zu klären. Eine nennenswerte Nettofreisetzung von Phosphor scheint jedoch nicht stattzufinden.

### **Bewertung**

Der Schwentinesee besitzt ein großes Einzugsgebiet. Die derzeitige Phosphorbelastung ist mit 16,7 g/m² im Jahr sehr hoch.

Als Flusssee mit sehr geringer Wasseraufenthaltszeit ist er stark vom Zufluss geprägt. Insbesondere die Schichtungsverhältnisse und die Ausbildung von Tiefengradienten hängen stark vom jeweiligen Abfluss der Schwentine ab. Wenn sich eine vorübergehende Temperaturschichtung aufbaute wie im August 2004, werden intensive Zehrungsprozesse im Tiefenwasser deutlich, die wahrscheinlich mit Phosphorfreisetzung verbunden sind. Allerdings ist das Phytoplanktonwachstum vermutlich bereits ab Mai Stickstoff limitiert, da durch

Denitrifikation in den Seen des Oberlaufs der Schwentine die Stickstofffrachten bereits stark verringert wurden. Durch diese instabilen Verhältnisse ist die zeitliche Dynamik in der Entwicklung und Zusammensetzung der Phytoplanktonbiomasse sehr hoch. Die jahreszeitliche Sukzession war damit weder mit den anderen ungeschichteten Schwentineseen (Typ 11) noch mit dem oberhalb liegenden Kleinen Plöner See (Typ 10) zu vergleichen, wobei der Schwentinesee allerdings nicht im selben Jahr untersucht wurde wie die anderen genannten Seen.

Die Bodenzone ist in weiten Bereichen gut besiedelt, die Zusammensetzung des Makrozoobenthos deutet auf einen eutrophen See hin.

Die Ufervegetation des Schwentinesees ist teilweise durch Freizeitnutzung beeinträchtigt. In der Unterwasservegetation hat sich in den letzten Jahren der Neubürger *Potamogeton nuttallii* ausgebreitet, der möglicherweise andere Arten verdrängt, so dass dieser Trend weiter beobachtet werden sollte.

# **Empfehlungen**

Der gegenwärtige trophische Zustand des Schwentinesees nach LAWA (1998) ist hoch eutroph (e 2). Ein Referenzzustand gemäß dem System nach LAWA lässt sich für diesen stark durchströmten, see-ähnlichen Flussabschnitt nicht angeben. Die intensiven Zehrungsprozesse zeigen jedoch, dass sich der Stoffhaushalt dieses Sees nicht im Gleichgewicht befindet.

Maßnahmen zur Reduzierung der Nährstofffrachten konzentrieren sich im wesentlichen auf das flussaufwärts gelegene Einzugsgebiet der Schwentine und sind bereits bei den entsprechenden Seen besprochen. Einige Maßnahmen sind jedoch auch im Teileinzugsgebiet des Schwentinesees sinnvoll:

- Die Äcker der steilen Ufer im Norden und Süden sind nur durch einen schmalen Gehölzstreifen vom Gewässer getrennt. Um direkten Eintrag durch Erosion zu verhindern, sollten hier entsprechend breite Pufferstreifen eingerichtet werden (s. MLUR 2005)
- Viehweiden sollten vom Gewässerufer vollständig abgezäunt werden, um Vertritt und Eintrag durch Fäkalien zu verhindern
- Der Schwentinesee wird, wie die anderen Seen des Plöner Gebiets, im Sommer recht stark von Wassersportlern frequentiert. Diese suchen sich häufig Stellen, an denen man am Ufer anlegen oder auch aussteigen kann. Eventuell ist hier noch Aufklärungsarbeit zu leisten, um die Schilfzone besser zu schützen.

# Lanker See (2002)

1727/1827 Topographische Karte (1: 25.000): Flusssystem: Schwentine, Ostsee Kreis: Plön Gemeinde: Preetz Eigentümer: Privat Pächter: Angelverein Lage des oberirdischen Einzugsgebietes: Rechtswerte: 358116 - 441838 598679 - 601480 Hochwerte: Höchster Wasserstand (Abflussjahr 2001/2003, m ü.NN): 20,23 Mittlerer Wasserstand (Abflussjahr 2002, m ü.NN): 19.38 Niedrigster Wasserstand (Abflussjahr 2002, m ü.NN): 18,96 Größe des oberirdischen Einzugsgebietes (km²): 445,5 21,9 Größe des oberirdischen Teileinzugsgebietes (km²): Seefläche (km²): 3,8 Seevolumen (m³) bei 19,28 m ü.NN: 13,8 Mio. Maximale Tiefe (m): 20,5 Mittlere Tiefe (m): 3,6 Uferlänge (km): 15,2 Theoretische Wasseraufenthaltszeit (a): 0,10 (bei einem geschätzten Abfluss von 10 I/(s·km²)) Umgebungsarealfaktor (m²/m²): 119,4 32,0 Umgebungsvolumenfaktor (m²/m³): Uferentwicklung: 2,2 Hypolimnion/Epilimnion (m³/m³): Mischungsverhalten: Nordbecken im Sommer stabil geschich-11 Seetyp

### **Entstehung**

Wie die meisten Seen des Östlichen Hügellands ist auch der Lanker See durch die Weichseleiszeit entstanden. Der genaue Entstehungsprozess ist relativ kompliziert und war lange umstritten. Der gegenwärtige Kenntnisstand zur Entstehung des Lanker Sees ist von GARNIEL (2002) dargestellt: Danach wurde die Landschaft um den Lanker See von einer Eiszunge geformt, die aus nordwestlicher Richtung nach Südosten vordrang. Zwei Randlagen dieser Eiszunge, die dem Frankfurter Stadium bzw. dem dritten Weichsel-Vorstoß zuzuordnen sind, lassen sich heute noch erkennen. Die ältere Randlage bildet die östliche Umrahmung des Lanker Sees und verläuft über Sophienhof, dem Kolksee, Wahlstorf und lässt sich nach Westen hin bis Depenau verfolgen. Die jüngere, südöstliche Randlage verläuft über Dörnick, Wittmold und Theresienhof.

# Einzugsgebiet und Morphologie des Sees

Der Lanker See ist der letzte größere See in der Kette der Schwentineseen (Abbildung 65). Entsprechend ist sein gesamtes Einzugsgebiet mit 446 km², von denen nur 21,9 km² zum eigenen Teileinzugsgebiet gehören, sehr groß. Bei einer Seefläche von 3,8 km² ergibt sich ein großer Umgebungsarealfaktor von 116. Die direkte Umgebung des Lanker Sees ist vor allem durch Landwirtschaft und die im Norden gelegene Stadt Preetz geprägt.

Das direkte Einzugsgebiet besteht überwiegend aus Braunerden, Niedermoortorfen, Pseudogleyen und Gleyböden. Im Untergrund herrscht Geschiebelehm vor.

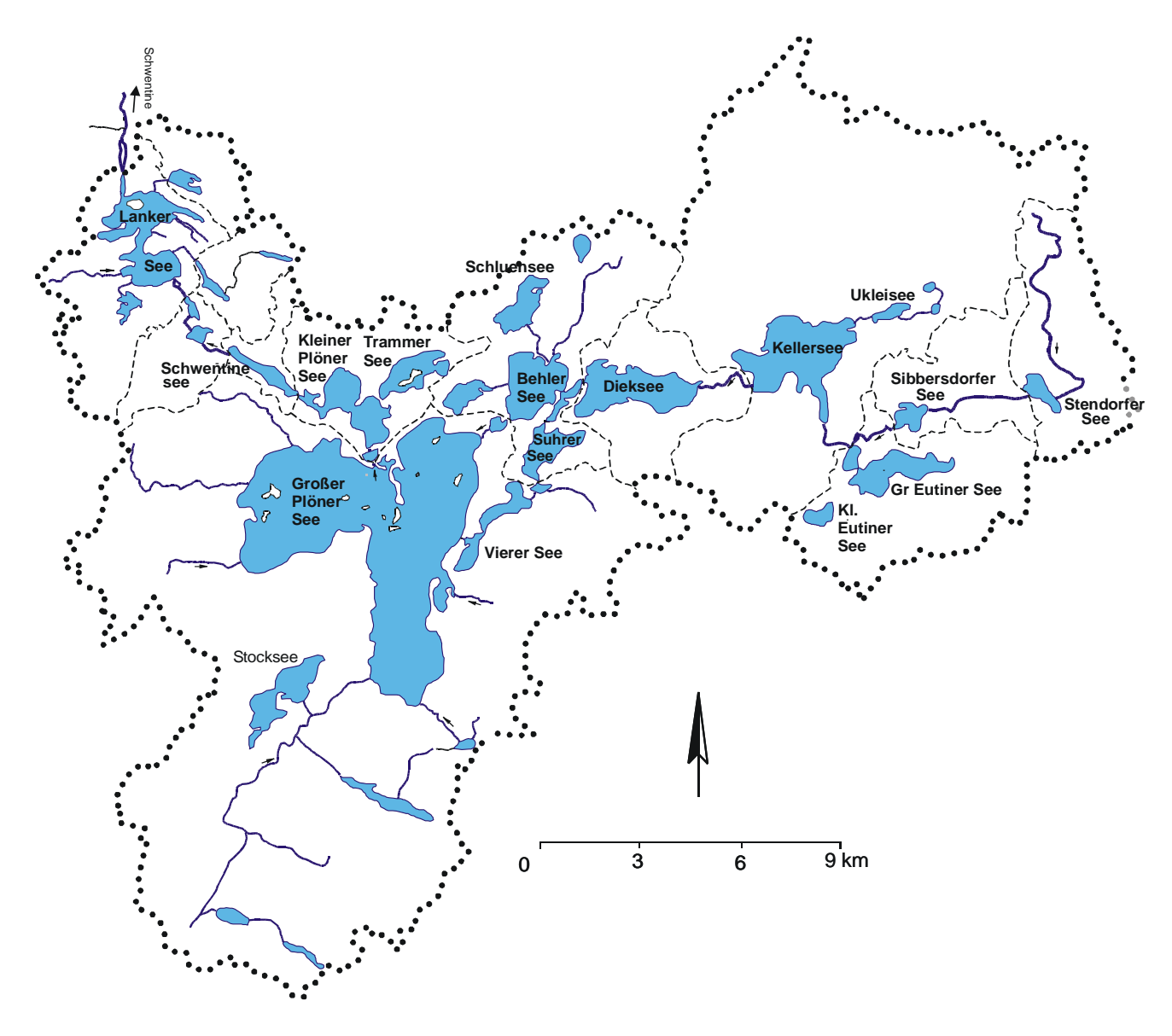


Abbildung 65: Einzugsgebiet des Lanker Sees

Die Schwentine fließt im Süden in den Lanker Sees und verlässt ihn im Norden. Sie ist sein größter Zulauf. Neben zahlreichen Wiesenentwässerungen münden folgende kleineren Zuflüsse in den See: Die Abläufe vom Wielener See und Kührener Teich, der zum Abfischen regelmäßig in den Lanker See abgelassen wird, sowie die Kührener Au fließen in das Südbecken. Die Abläufe vom Scharsee und Kolksee sowie das Fließgewässer aus der

Gläserkoppel münden in das Nordbecken. Im Sommerhalbjahr führen die kleineren Zuflüsse oft sehr wenig Wasser oder fallen sogar trocken. Für diese Untersuchung wurden die beiden größten der kleineren Zuläufe, nämlich der Ablauf aus dem Scharsee und der aus Kühren kommende Zulauf beprobt. Die Abflussmenge dieser Zuläufe betrug jedoch meistens deutlich unter 5 % der Gesamtmenge.

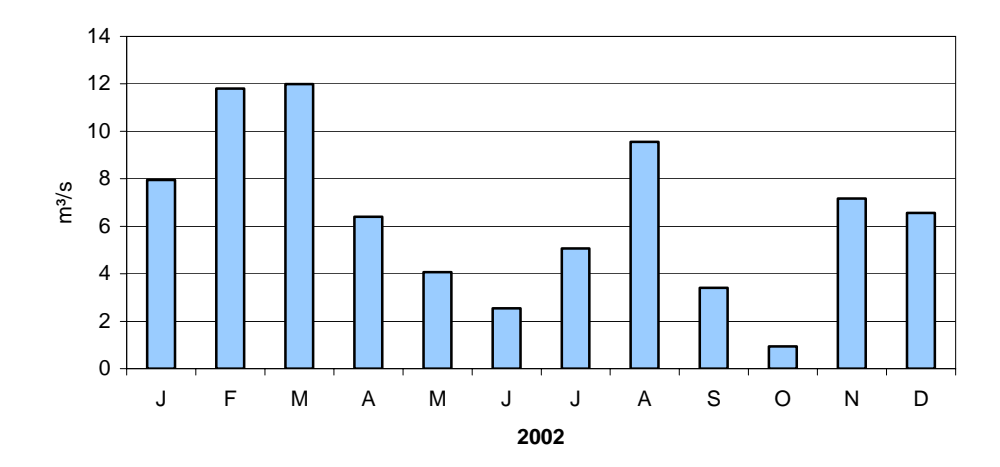
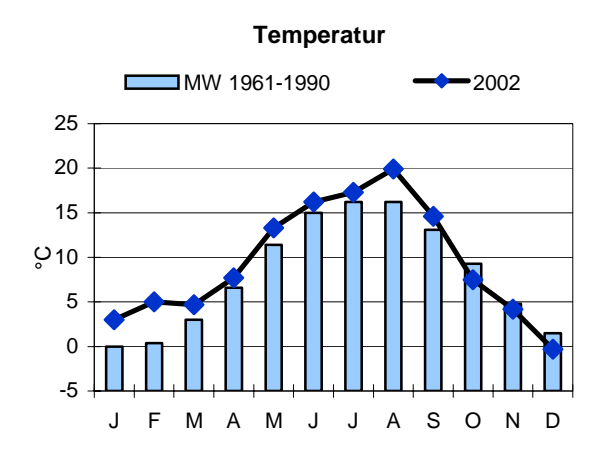


Abbildung 66: Abflussmengen (m³/s) der Schwentine oberhalb des Lanker Sees am Messpunkt Wahlstorf im Jahr 2002 (Einzelmessungen)

Aufgrund der extremen Niederschläge waren die Abflüsse der Schwentine im Jahr 2002 sehr ungleichmäßig. Ungewöhnlich hoch waren die sommerlichen Abflüsse in der unteren Schwentine vor allem im August (Abbildung 66).

In Abbildung 67 sind die Temperatur- und Niederschlagsverhältnisse an der Messstation Eutin dargestellt. Das Jahr 2002 war insgesamt wärmer als im langjährigen Mittel, insbesondere der Januar und Februar, aber auch der August, wiesen überdurchschnittlich hohe Temperaturen auf. 2002 war gleichzeitig ein sehr nasses Jahr, die Niederschlagssumme lag an der Messstelle Eutin 44 % über dem langjährigen Mittelwert. Besonders viel Regen fiel im Februar und vor allem im Juli, der sich durch mehrere extreme Starkregenereignisse auszeichnete.



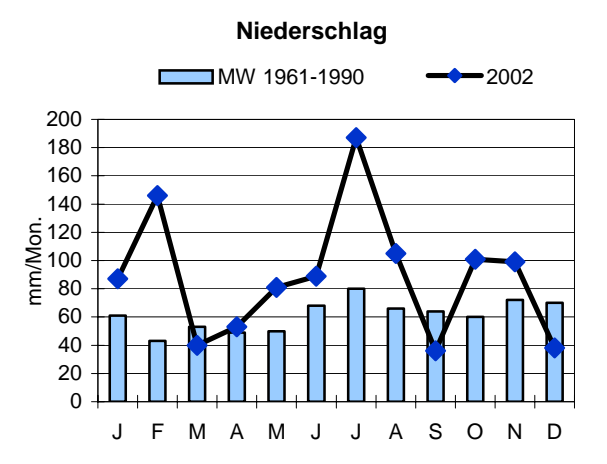


Abbildung 67: Mittlere Monatstemperaturen und monatliche Niederschlagshöhen für 2002 an der Messstation Eutin im Vergleich zum langjährigen Mittel 1961/90

Die Seespiegelschwankungen waren 2002 beim Lanker See durch die ungewöhnlich hohen Niederschläge mit 1,1 m sehr hoch (Abbildung 68).

Das Becken des Lanker Sees ist mit zwei Teilbecken, vier größeren und etwa sechs kleineren Inseln und zahlreichen Ausbuchtungen recht strukturreich geformt (Abbildung 69). Die größte Insel, Probstenwerder, ist mehrere Hektar groß, die

Halbinsel Appelwarder war bis zur Seespiegelsenkung Anfang des 20. Jahrhunderts eine selbständige Insel und wurde Anfang der 80er Jahre durch einen künstlichen Durchstich wieder als Insel hergestellt (LANDESAMT FÜR NATURSCHUTZ UND LANDSCHAFTSPFLEGE 1990). Mit einer mittleren Tiefe von nur 3,6 m ist der Lanker See, der zu den 15 größten Seen Schleswig-Holsteins gehört (LANDESAMT FÜR

WASSERHAUSHALT UND KÜSTEN SCHLESWIG-HOLSTEIN 1989), sehr flach. Das südliche Becken besitzt eine maximale Tiefe von 6,7 m, weite Bereiche sind flacher als 5 m. Die tiefste Stelle des Sees (20,5 m) befindet sich im Osten des Nordbeckens. Nord- und Südbecken sind durch einen nur

wenig mehr als 1 m tiefen Durchfluss miteinander verbunden. Die Ufer weisen Terrassen unterschiedlicher Ausprägung auf. Besonders eindrucksvoll ist das Ostufer geformt, wo mehrere parallel verlaufende sehr hohe Stauchmoränenwälle an den See stoßen.

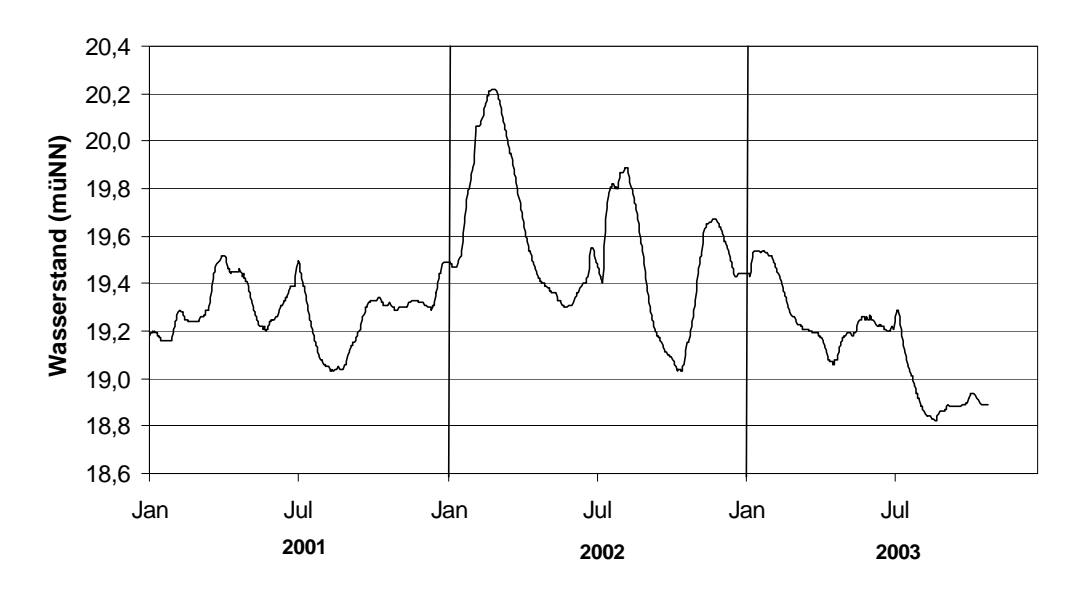


Abbildung 68 : Seewasserstände (m ü.NN) im Lanker See 2001 bis 2003

Der Lanker See ist an der tiefsten Stelle des Nordbeckens im Sommer stabil geschichtet. Die Lage der Sprungschicht im Nordbecken wechselte aber sehr stark, so dass hier für 2002 kein Verhältnis von Hypolimion- zu Epilimnion-Volumen angegeben werden kann. Da die tiefe Stelle jedoch nur einen sehr kleine Fläche einnimmt, beträgt das Volumen des Epilimnion ein Vielfaches von dem des Hypolimnions. Das Südbecken weist keine stabile sommerliche Schichtung auf. Der See wird deshalb insgesamt dem Typ 11 nach MATHES et al. 2002 zugeordnet.

# Ufer

Die Ufervegetation des Lanker Sees wurde im Auftrag des Landesamtes von GARNIEL (2002) erfasst. Die folgenden Ausführungen sind ihrem Bericht entnommen.

Einige Uferabschnitte des Lanker See sind mit schmalen **Gehölz**säumen bestanden, die oft nur aus einer einzigen Baumreihe bestehen. Standortgerechte, einheimische Baumarten wie Esche *Fraxinus excelsior*, Schwarzerle *Alnus glutinosa* und verschiedene Weidenarten *Salix* spp. herrschen

vor. Vereinzelt trifft man auf alte Pappeln *Populus* spp..

An die Ufer angrenzend herrscht Grünlandnutzung vor. Intensiv genutzte Weiden, z. T. mit Zugang der Tiere zum Wasser und Bodenschäden, befinden sich am Südufer sowie am Nordostufer bei Freudenholm. Die übrigen Bereiche sind überwiegend extensiv genutzt, teilweise werden sie aus Naturschutzgründen beweidet. Drei Typen artenreichen Feuchtgrünlandes werden gefunden: Seggenreiche Sumpfdotterblumenwiesen mit u.a. Breitblättrigem Knabenkraut Dactylorhiza majalis, das nach der Roten Liste der Farn- und Blütenpflanzen Schleswig-Holsteins (MIERWALD & BELLER 1990) gefährdet ist (RL 3), Sumpfveilchen Viola palustris (RL 3), Fieberklee Menyanthes trifoliata (RL 3) und Fadenbinse Juncus filiformis (RL 3) kommen auf Niedermoortorfen der Verlandungszone vor allem im Norden des NSG vor. Kleinflächig in Bereichen mit basenreichem Sickerwasser oder auf Seekreideablagerungen gibt es Vorkommen typischer Arten der Kalkflachmoore mit u.a. Stumpfblütiger Binse Juncus subnodulosus (RL 3), Fleischrotem Knabenkraut Dactylorhiza incarnata (RL 2) und Sumpf-Dreizack Triglochin palustre (RL 3).

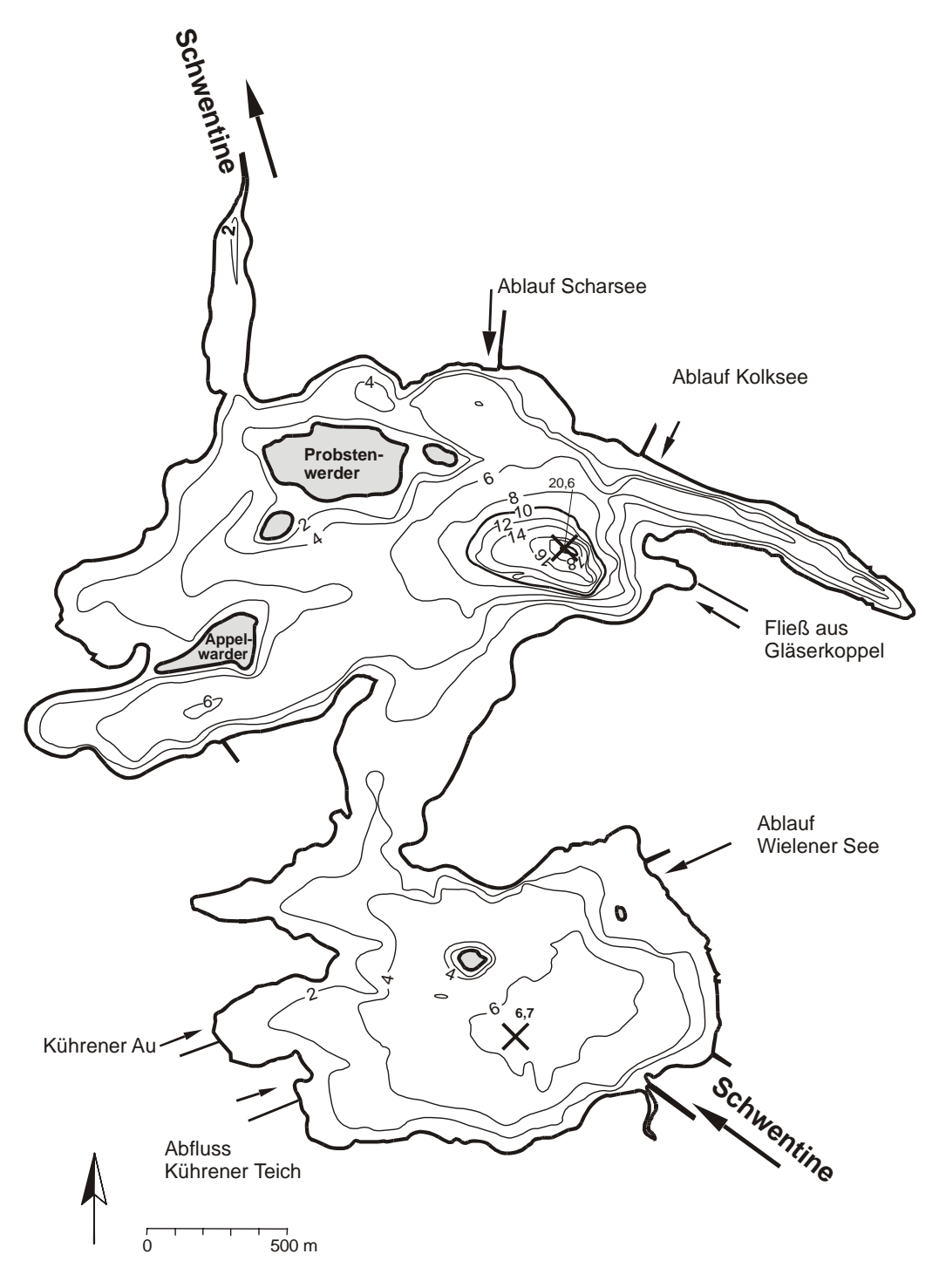


Abbildung 69 : Tiefenplan des Lanker Sees (X = Probestelle)

Durch Aufgabe der Beweidung ist diese Artenzusammensetzung z.T. gefährdet (so auf der Kührener Halbinsel). Auf den trockeneren, basenreichen Böden des Appelwarders kommen u.a. Goldhafer *Trisetum flavescens* (RL 2) und Wiesenprimel *Primula veris* (RL 3) vor. Der Wiesenprimel-Bestand auf dem Appelwarder ist das größte geschlossene Vorkommen dieser Art in Schleswig-Holstein und entfaltet im Mai einen eindrucksvollen Blühaspekt.

Die Röhrichte des Lanker Sees sind durch die frühere Beweidung der Ufer, die vermutlich alle Bereiche des Sees betraf, mehr oder weniger stark geprägt. Die heutigen Röhrichtbestände haben sich wahrscheinlich erst seit ca. 120 Jahren (nämlich nach einer Seespiegelsenkung) in den See hinein ausgedehnt. Größere zusammenhängende und relativ intakte Landröhrichte kommen im NSG an der Kührener Halbinsel und gegenüberliegend am Ostufer vor. Diese Röhrichte setzen sich überwie-

gend aus Schilf Phragmites australis zusammen. Vor allem am Nordostufer und am Südufer sind die Auswirkungen der früheren Beweidung noch immer zu erkennen. Hier bestehen noch immer mosaikartige Ersatzgesellschaften von beweidungstoleranten Arten, vor allem Kalmus Acorus calamus. Das Schilf konnte seine ursprüngliche Dominanz, vermutlich durch den hohen Fraßdruck der Wasservögel, bisher nicht zurück gewinnen. Verlandungsschilf auf organischen Böden findet man in den Buchten des Westufers. An der Wasserlinie wächst das Schilf hier auf instabilen Schilftorfmudden. Am Außensaum sind schwimmende Matten aus Wasserschierling Cicuta virosa, Scheinzypersegge Carex pseudocyperus, Flussampfer Rumex hydrolapathum und Wassersumpfkresse Rorippa amphibia ausgebildet. Wasserröhrichte, d.h. auf permanent überflutetem Boden wachsende Röhrichte, kommen außer an der Schwentine im Übergang zum Kirchsee ebenfalls nur an der Kührener Halbinsel und am gegenüberliegenden Ostufer vor. Sie siedeln lediglich bis zu einer Wassertiefe von 0,6 bis 0,8 m. Auf weite Strecken ist dem Schilfröhricht hier wasserseitig ein schmaler Saum von Schmalblättrigem Rohrkolben Typha angustifolia vorgelagert. Die Röhrichte sind in weiten Bereichen geschädigt. Schilfstoppelfelder vor der wasserseitigen Front weisen hier wie in anderen Bereichen, in denen das Wasserschilf völlig verschwunden ist, auf die ursprüngliche Ausdehnung der Röhrichte. In Bereichen, in denen die Röhrichte seit Jahrhunderten beweidet werden, finden sich dagegen keine Stoppelfelder. Insgesamt wird der Rückgang aber nicht als so stark eingeschätzt wie in anderen schleswig-holsteinischen Seen.

In den ruhigen Buchten ist dem Röhricht ein **Schwimmblattgürtel** mit Gelber Teichrose *Nuphar lutea* und Weißer Seerose *Nymphaea alba* vorgelagert.

An Unterwasserpflanzen wurden 23 Arten (ohne submerse Formen von Röhrichtpflanzen) gefunden, davon sieben Arten Armleuchteralgen. Bei den festgestellten Arten handelt es sich größtenteils um belastungstolerante Arten mit weiter ökologischer Amplitude. Zu den charakteristischen Arten des Sees gehören das Kammlaichkraut Potamogeton pectinatus, das Zwerglaichkraut Potamogeton pusillus, das nach der Roten Liste der Farn und Blütenpflanzen Schleswig-Holsteins (MIERWALD & BELLER 1990) als gefährdet eingestuft wird (RL 3), sowie das Durchwachsene Laichkraut Potamogeton perfoliatus, die Zerbrechliche Armleuchteralge Chara globularis und der Spreizende Wasserhahnenfuß Ranunculus circinatus. Diese Arten sind für basen- und nährstoffreiche Seen des schleswig-holsteinischen Östlichen Hügellandes charakteristisch. Auch die eingewanderte

Art Nutalls Wasserpest Elodea nutallii, die in Schleswig-Holstein in starker Ausbreitung begriffen ist, wurde im Lanker See festgestellt. Unter den gefundenen Armleuchteralgen sind mehrere in Schleswig-Holstein sehr seltene Arten wie die Stachelspitzige Glanzarmleuchteralge Nitella mucronata (RL 1) und die Knäuelarmleuchteralge Tolvpella glomerata (RL 2). Gefährdete Arten sind auch unter den untergetaucht lebenden Moosen (Gemeines Brunnenmoos Fontinalis antipyretica, RL 3) und den höheren Pflanzen (Herbstwasserstern Callitriche hermaphroditica, RL 2) vertreten. Diese lichtbedürftigen Arten treten im Lanker See nur im Flachwasserbereich auf, der nach Verdrängung des Röhrichts durch Beweidung zur Verfügung stand. Damit waren Bedingungen erfüllt, die trotz starker Nährstoffbelastung das Überleben von kleinen Beständen von seltenen Wasserpflanzen erlaubten.

Von GARNIEL wurde auch ein Vergleich der eigenen Untersuchungen mit der Vegetationskartierung des Landesamtes für Wasserhaushalt und Küsten von 1986 (LW 1989) vorgenommen. Trotz der unterschiedlichen Methodik wurde deutlich, dass sich die Tauchblattpflanzen im Lanker See deutlich in die Tiefe ausgebreitet haben, ein Indiz für verbesserte Lichtverhältnisse im Wasser und damit eine Verringerung der Trophie. Die Zunahme der Tiefenausdehnung lag, je nach Art, zwischen 1 und 2 m. Die 1986 geringe Artenzahl (13 Arten) führt GARNIEL dagegen auf Unterschiede in der Untersuchungsmethode zurück. Ein Vergleich mit einer Arbeit aus den 1930er Jahren (SAUER 1937 nach GARNIEL 2002) weist darauf hin, dass der Lanker See bereits damals einen eutrophen Zustand aufwies.

In einem älteren Bericht (LANDESAMT FÜR NATURSCHUTZ UND LANDSCHAFTSPFLEGE 1990) wird dargestellt, dass die Ufer noch 1986 beweidet wurden (bes. Nordufer, gesamtes Südufer, einzelne Strecken des Westufers) und weitgehend röhrichtfrei waren. In dieser Veröffentlichung sind darüber hinaus frühere Nutzungen der Ufer, größtenteils aus Informationen aus der topografischen Karte von 1877, zusammengefasst: Weite Bereiche der Ufer wurden bereits im 19. Jahrhundert beweidet. Im Bereich der Halbinsel und des heutigen NSG am Westufer und gegenüber liegend am Ostufer westlich Vogelsang wurde Torf gestochen. Eine Bucht nördlich von Freudenholm war bereits trocken gelegt. Diese Fläche wurde Anfang der 1980er Jahre aus der Nutzung genommen und entwickelte sich zu einem Sumpfgebiet.

Insgesamt ist die Vegetation des Lanker Sees mit über 360 Arten ungewöhnlich artenreich. 33 Arten - in erster Linie handelt es sich um Arten des ex-

tensiv genutzten Grünlands - gelten nach der Roten Liste Schleswig-Holsteins als gefährdet. Das Röhricht des Lanker Sees ist jedoch in weiten Bereichen geschädigt bzw. zerstört. Die überwiegend durch Uferbeweidung zerstörten Röhrichte konnten sich auch nach Aufgabe dieser Nutzung aufgrund Wasservogelfraß in den meisten Bereichen nicht regenerieren. Die Unterwasservegetation ist artenreich und hat sich nach Verringerung der Trophie deutlich ausgedehnt, wobei allerdings ein Teil des Artenreichtums auf die Besiedlung der früher durch Röhricht bewachsenen Flächen zurückzuführen ist.

### Freiwasser

Der Lanker See wurde an zwei Probestellen untersucht: An der tiefsten Stelle des flachen Südbeckens, die nur vorübergehend Temperaturschichtungen zeigte und an der Stelle der Maximaltiefe im Nordbecken, die im Sommer stabil geschichtet war (Abbildung 73).

Bei Calciumkonzentrationen um 57 mg/l (Frühjahr) war der Lanker See mit einer Säurekapazität von 2,5 mmol/l (Frühjahr) recht gut gepuffert. Die pH-Werte lagen im Oberflächenwasser zwischen 8,0 und 9,0. Die elektrische Leitfähigkeit war gering und schwankte zwischen 39 und 43 mS/m,

Die Stoffkonzentrationen werden bei einer theoretischen Wasseraufenthaltszeit von nur 36 Tagen in beiden Becken wesentlich vom Zufluss bestimmt. Die Gesamtphosphorkonzentrationen lagen zwischen 0,06 und 0,18 mg/l P, die Gesamtstickstoffkonzentrationen zwischen 0,7 und 1,6 mg/l N. Im Vergleich mit anderen schleswigholsteinischen Seen sind die Phosphorwerte als mittel bis hoch, die Stickstoffwerte als eher gering einzustufen. In beiden Becken war meist anorganisch gelöster Phosphor vorhanden, während der anorganische Stickstoff von Juni bis September nur in geringen Konzentrationen und fast ausschließlich als Ammonium vorlag. Das N/P-Verhältnis bewegte sich im Sommer zwischen 6 und 12 und lag damit in einem Bereich, in dem der Stickstoff zum wachstumslimitierenden Faktor werden kann

Von den beiden Probestellen liegt die des Südbeckens direkt im Anstrom der Schwentine, während die tiefste Stelle des Nordbeckens zusätzlich durch den Zufluss von Kühren sowie den Ablauf des Scharsees beeinflusst wird. Der Beitrag dieser beiden Zuflüsse zur Gesamtzuflussmenge war zwar gering, da aber beide zeitweilig einen Gesamtphosphorgehalt von über 0,5 mg/l P aufwiesen, könnten die Zuflüsse vorübergehend einen Einfluss auf die Nährstoffkonzentrationen gehabt haben.

In Abbildung 71 sind die Abflussmengen der Schwentine am Einstrom in den Lanker See sowie die Chloridkonzentrationen in den beiden Seeteilen und in der Schwentine dargestellt. Die Konzentrationen des Chlorids, das biologisch nicht in nennenswerter Menge umgesetzt wird und daher als "Tracer" dienen kann, zeigen im flachen Becken einen nahezu identischen Verlauf wie in der Schwentine, während an der tiefen Stelle im Nordbecken teilweise erst verzögerte Konzentrationserhöhungen eintreten. Es wird außerdem sichtbar, dass das Schwentinewasser den See im Epilimnion durchquert und das Hypolimnion nicht erfasst.

Wegen des unterschiedlichen Schichtungsverhaltens und der damit verschieden ablaufenden Umsatzprozesse sollen die beiden Becken im Folgenden getrennt besprochen werden.

# Südbecken

Das flache Südbecken, das für einen großen Teil des Sees repräsentativ ist, wird besonders häufig mit Schwentinewasser ausgetauscht. Nimmt man an, dass der Anteil dieses Seebeckens am Gesamtseevolumen etwa ein Drittel ausmacht, so wurde dieses Becken in den abflussreichen Monaten Februar, März und August etwa dreimal, im abflussarmen Oktober immerhin noch zu einem Drittel ausgetauscht. Die hohe Austauschrate trägt dazu bei, dass an der 6,7 m tiefen Probestelle zu den Beprobungstagen nur vorübergehend eine Schichtung zu sehen war.

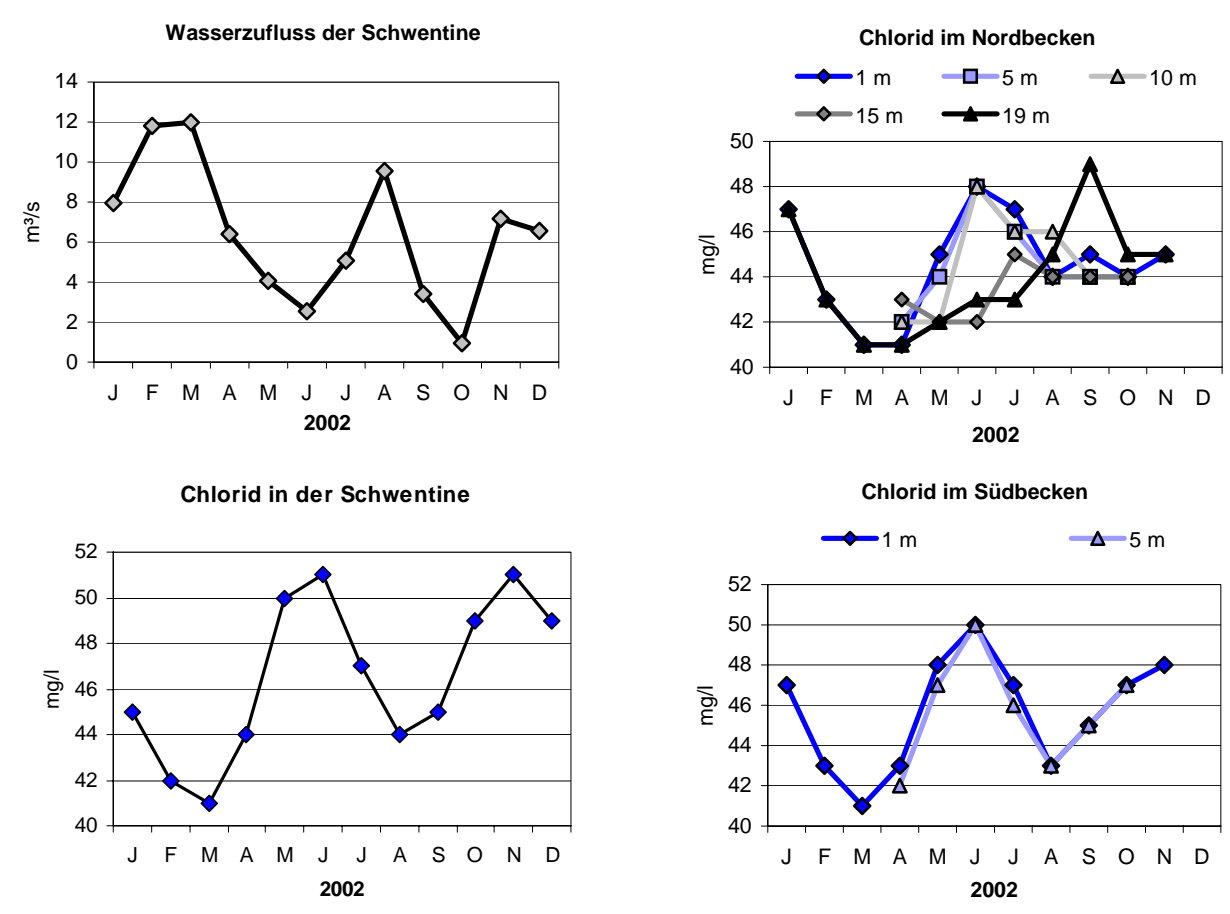


Abbildung 70: Abflussmengen und Chloridkonzentrationen der Schwentine bei Gut Wahlsdorf sowie Chloridkonzentrationen im Süd- und im Nordbecken des Lanker Sees 2002

In den Wintermonaten (Januar und Februar) strömten dem Lanker See aus der Schwentine monatlich 2,5 bzw. 3,7 t Phosphor zu, und die Phosphorkonzentrationen im See erreichten Werte von über 0,1 mg/l P. Die Stickstoffkonzentration lag bei 1,6 mg/I N. Bereits zu dieser Zeit erreichte das Phytoplanktonbiovolumen relativ hohe Werte zwischen 13 und 21 mm³/l (SPETH 2002), das einer Chlorophyll a - Konzentration von 35 bis 50  $\mu$ g/l entsprach. Das Phytoplankton wurde zu mehr als 75 % von der centrischen Kieselalge Aulacoseira islandica dominiert. Das Zooplankton erreichte nur geringe Biomassen, es bestand überwiegend aus Ciliaten und Einzellern, Bakterien und Detritus fressenden Gruppen, die für das Winterplankton typisch sind (SPETH 2002).

Im März und April hatten Phosphor- und Stickstofffrachten aus der Schwentine und im Seewasser deutlich abgenommen, anorganische Nährstoffe waren im Seewasser im April kaum noch vorhanden. Die Kieselsäurekonzentration in der Schwentine war unter die Nachweisgrenze gesunken, so dass die Kieselalgenpopulation im März weitgehend zusammenbrach und Detritus fressende Ciliaten vermehrt auftraten. Im Zooplankton traten im April mit dem Hüpferling *Cyclops vicinus* 

und dem Blattfußkrebs *Daphnia cucullata* größere Formen häufiger auf. Da die Phytoplanktondichte trotz steigender Konzentrationen von anorganischem Phosphor und Kieselsäure gering blieb, war in dieser Phase vermutlich eine Kontrolle des Algenwachstums durch das Zooplankton gegeben.

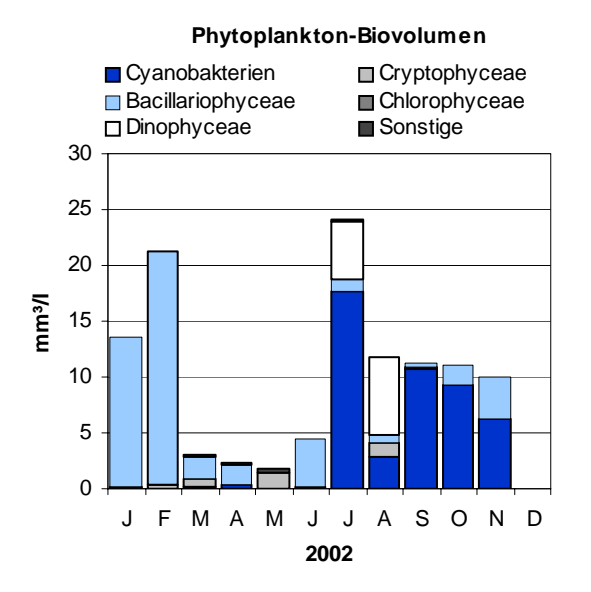
Bei weiterhin zunehmender Dichte der Blattfußkrebse im Mai wechselte der Phytoplankton-Aspekt zu Cryptophyceen (v.a. Rhodomonas lacustris), die einen Anteil von mehr als 80% am Gesamtbiovolumen erreichten. Die Chlorophyll a -Konzentration sank auf das Jahresminimum von 7  $\mu$ g/l, und mit 2,8 m Sichttiefe trat kurzzeitig ein Klarwasserstadium auf. Der zunehmende Fraßdruck durch Blattfußkrebse sorgte vermutlich weiterhin bis Juni für abnehmende Phytoplanktonbiomassen. Eine Besonderheit war das Auftreten des sehr großen (bis 4 mm Körperlänge) räuberischen Kleinkrebses Leptodora kindtii, der im Mai und Juli mit bis zu 4 Ind./I gefunden wurde. Der Gesamtphosphor, der jetzt überwiegend anorganisch vorlag, nahm zu, die Kieselsäurekonzentrationen schnellten wieder in die Höhe.

Im **Juni** traten kurzfristig noch einmal vermehrt Kieselalgen (hauptsächlich *Aulacoseira granulata*)

auf, was einen deutlichen Anstieg des Biovolumens bewirkte. Das N/P-Verhältnis in der Schwentine lag jetzt bei 10 und geriet damit in einen Bereich, in dem Stickstoff zum wachstumsbegrenzenden Faktor für das Phytoplankton wird. Anorganischer Stickstoff stand nur in geringen Konzentrationen als Ammonium zur Verfügung.

Ende Juli bis Ende August stiegen die Phosphorkonzentrationen im See sprunghaft an, obwohl die Gehalte in der Schwentine gleich geblieben waren. Unter vermutlich windstillen Verhältnissen und geringem Wasserzustrom hatte sich im Juli eine Temperaturschichtung eingestellt, die im Tiefenwasser zu Sauerstoffdefiziten führte. Zwar sank die Sauerstoffsättigung in der 5 m-Schicht nur auf 50 %, am Sediment war sie vermutlich aber geringer, denn in der nachfolgenden Durchmischungsphase stieg der Phosphor deutlich an, obwohl der P-Gehalt der Schwentine im abflussreichen August eher niedrig lag (Abbildung 72). Starker Fraß von Cladoceren (Daphnia cucullata mit über 100 Ind./I) kann ebenfalls zur höheren Verfügbarkeit von Phosphor, der jetzt zu etwa 50 % anorganisch vorlag, beigetragen haben. Zudem waren die Frachten der beiden kleineren Zuflüsse im Juli erhöht (s.o.), und es kam aufgrund der hohen Niederschläge zu erhöhten Abschwemmungen von den seenahen Flächen. Ab Juli dominierten in der Phytoplanktongemeinschaft fädige Cyanobakterien, deren Biomasse Ende Juli das Jahresmaximum erreichte. Lediglich Ende August wurde die kurzzeitig abnehmende Biomasse der Cyanobakterien von der der Dinoflagellaten (hauptsächlich *Periniopsis polonicum*) übertroffen. Zu beiden Zeitpunkten traten hauptsächlich zur Stickstofffixierung befähigte Cyanobakterienarten der Gattung *Anabaena* auf, die bei einer potenziellen Stickstofflimitation einen möglichen Selektionsvorteil nutzen konnten.

Von September bis November dominierten mit leicht abnehmender Tendenz weiterhin Cyanobakterien, wobei jetzt jedoch im Gegensatz zu den Vormonaten hauptsächlich Vertreter der Gattung Limnothrix vorherrschten. Ab Oktober wurden diese zunehmend durch centrische Kieselalgen verdrängt, die im November einen Biovolumenanteil von 38% ausmachten. Das Gesamtbiovolumen (10 mm³/l) und die Chlorophyllwerte (56  $\mu$ g/l) blieben bis in den November hinein auf einem hohen Niveau. Das Zooplankton verlor an Bedeutung, lediglich die Zahlen der Detritus fressenden Gruppe der Ciliaten nahmen noch zu. Der Sauerstoffhaushalt war überwiegend ausgealichen. Nur in kurzen, vermutlich windstillen Phasen kam es zu Temperaturschichtungen mit Sauerstoffzehrung im Tiefenwasser und Übersättigung im Oberflächenwasser (besonders ausgeprägt im Juli 2002).



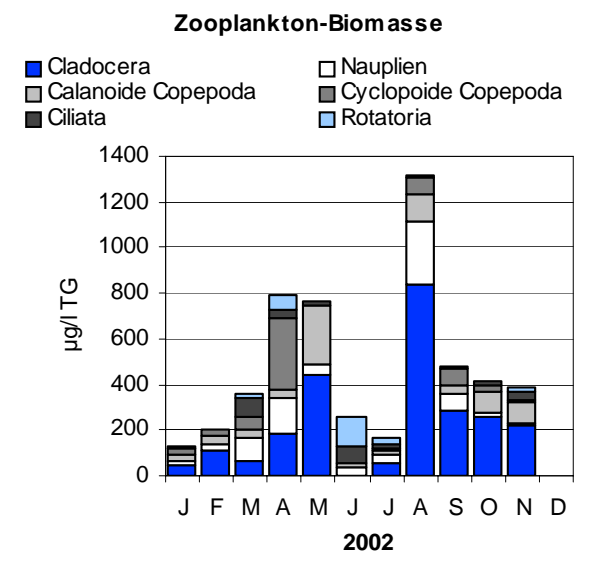


Abbildung 71: Phytoplankton-Biovolumen sowie Zooplankton-Biomasse (als Trockengewicht) im Südbecken des Lanker Sees 2002 (Zooplankton-Trockengewicht ohne *Leptodora kindtii*, die im Mai, Juni und Juli mit Biomassen von bis zu 4000  $\mu$ g/l auftrat)

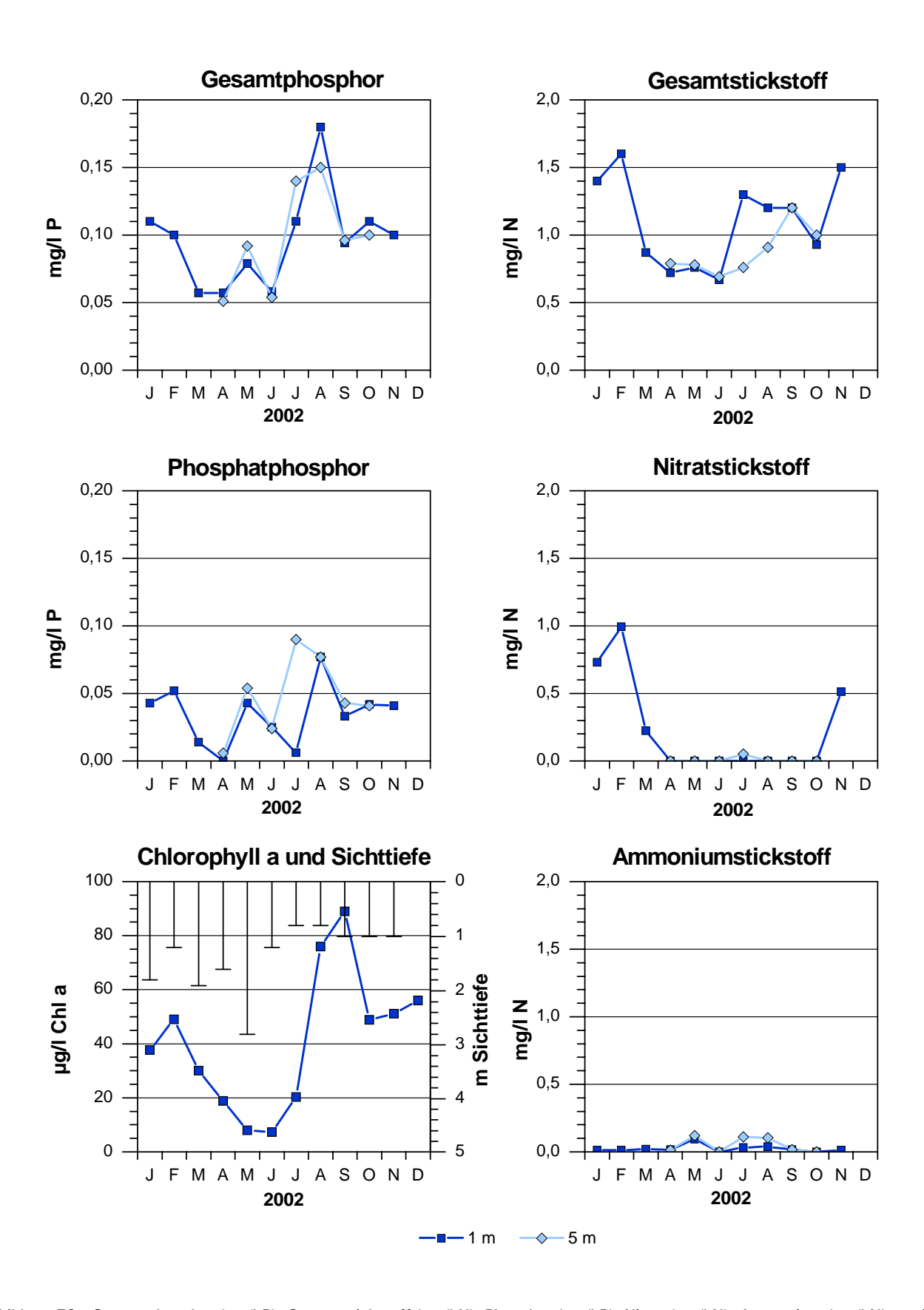


Abbildung 72: Gesamtphosphor (mg/l P), Gesamtstickstoff (mg/l N), Phosphat (mg/l P), Nitrat (mg/l N), Ammonium (mg/l N) sowie Chlorophyll a (µg/l) und Sichttiefen (m) im Südbecken des Lanker Sees 2002

### Nordbecken

Nachdem die Schwentine das Südbecken passiert hat, fließt sie durch eine ca. 200 m breite Passage in das Nordbecken. Die Probestelle liegt zwar etwas abseits des Hauptstroms, der Vergleich der Chloridkonzentrationen in der Schwentine bzw. im Südbecken zeigt jedoch, dass sich das Schwentinewasser im bis 10 m tief reichenden Epilimnion des Nordbeckens verteilt (Abbildung 70).

Die Stoffkonzentrationen im Epilimnion des Nordbeckens entwickeln sich im wesentlichen ähnlich wie die im Südbecken. Die beiden Zuflüsse "Kührener Mühle" und "Ablauf Scharsee" scheinen wegen der geringen Abflussmenge (meist unter 5 % des Gesamtzuflusses) trotz erhöhter Konzentrationen von Phosphor (z.T. über 0,5 mg/l P) und Stickstoff nur einen geringen Einfluss auf die Prozesse im Nordbecken zu nehmen. Bezogen auf die abgeschätzte Fracht trugen diese kleineren Zuflüssen lediglich im extrem regenreichen Juli merklich zur Gesamtfracht bei (P: 36 %, N: 9 %). In den übrigen Monaten lag der Beitrag meist unter 2 %.

Im Nordbecken waren die Gesamtphosphor- und die Kieselsäurekonzentrationen zu Beginn des Jahres durch die Kieselalgenblüte im Südbecken bereits verringert. Entsprechend fiel die Kieselalgenblüte im **Januar und Februar** gemessen am Biovolumen und Chlorophyllgehalt (Januar Nord: 38  $\mu$ g/l, Süd: 49  $\mu$ g/l Chlorophyll a) hier etwas geringer aus. Eine weitere Ursache könnte die im Norden höhere Biomasse der Kleinkrebse in diesen Monaten sein. Die dominate Kieselalgenart war wie im Südbecken *Aulacoseira islandica*.

Im März brach die Kieselalgenblüte zusammen, und die Phytoplanktonbiovolumina blieben bis Juni bei einer maximalen Sichttiefe von 2,8 m relativ gering. Im Nordbecken wurden nach Zusammenbruch der Frühjahrsblüte ebenso vermehrt Ciliaten beobachtet. Die Zusammensetzung der Phytoplanktongemeinschaft wies aber auch nach diesem Ereignis eine hohe Ähnlichkeit mit der des Südbeckens auf. So wurde die Algengemeinschaft zur Zeit des Klarwasserstadiums im Mai fast ausschließlich von Cryptophyceen dominiert, während im Juni ein Anstieg des Biovolumens aufgrund des Wachstums der centrischen Kieselalge Aulacoseira granulata zu verzeichnen war. Die Gesamtphosphorkonzentrationen fielen von 0,10 mg/l P im Januar auf unter 0,05 mg/l P im März. Schon Anfang April war eine leichte thermische Schichtung vorhanden, und es setzte eine rascher Sauerstoffschwund im Tiefenwasser ein (Abbildung 73), der bereits im Mai zu völliger Sauerstofffreiheit im unteren Hypolimnion und zu intensiver Desulfurikation führte. Starker Schwefelwasserstoffgeruch zeigte, dass die bereits Ende Mai festgestellte Desulfurikation weiter zugenommen hatte. Anorganisch gelöster Phosphor war jetzt im Oberflächenwasser wieder reichlich vorhanden, während der anorganische Stickstoff nur in sehr geringen Konzentrationen vorlag. Stickstoff, dessen Konzentration in der Schwentine im Verlauf des Jahres stark abnahm, wurde vermutlich ab etwa Ende April zumindest zeitweise zum wachstumslimitierenden Faktor. Im Tiefenwasser dagegen reicherten sich Phosphor und Stickstoff an und erreichten Konzentrationen von 0,68 mg/l P und 2,7 mg/l N.

Auch im Nordbecken dominierte Ende **Juli** zur Stickstofffixierung befähigte Cyanobakterienarten der Gattung *Anabaena* die Phytoplanktonbiomasse, wenn auch in etwas geringerer Dichte als im Südbecken. Ende **August** war die ebenso im Südbecken dominante Dinoflagellatenart *Peridinium polonicum* in größeren Abundanzen vertreten und erreichte mehr als 50% am Gesamtbiovolumen. Ende Juli dehnte sich das Epilimnion von 10 auf 14 m Tiefe aus, so dass möglicherweise phosphorreiches Tiefenwasser in das Epilimnion gelangte. Anfang September reichte die anaerobe Zone jedoch wieder bis 6 m Wassertiefe und schon bei 10 m wurde H<sub>2</sub>S-Geruch festgestellt.

Anfang Oktober brach die Temperaturschichtung zusammen und Mitte November war der See vollständig durchmischt. Ein Anstieg der Nährstoffkonzentrationen, wie es in weniger durch externe Frachten beeinflussten geschichteten See zu beobachten ist, wurde im Lanker See nicht deutlich. Lediglich die Nitratkonzentrationen zeigten im November einen leichten Anstieg. Die bessere Stickstoffversorgung aus der Schwentine, die ab Oktober 0,11 ma/l NO<sub>3</sub>-N enthielt, führte möalicherweise zu einer veränderten Zusammensetzung des Phytoplanktons. Dessen Herbstblüte erreichte im Oktober das Jahresmaximum und wurde wie im Südbecken durch die fädige Cyanobakteriengattung Limnothrix beherrscht. Im November konnten trotz abnehmender Tendenz noch immer hohe Biovolumina der Cyanobakterien beobachtet werden, wobei auch hier gegen Jahresende ein verstärktes Wachstum centrischer Kieselalgen einsetzte.

Lanker See

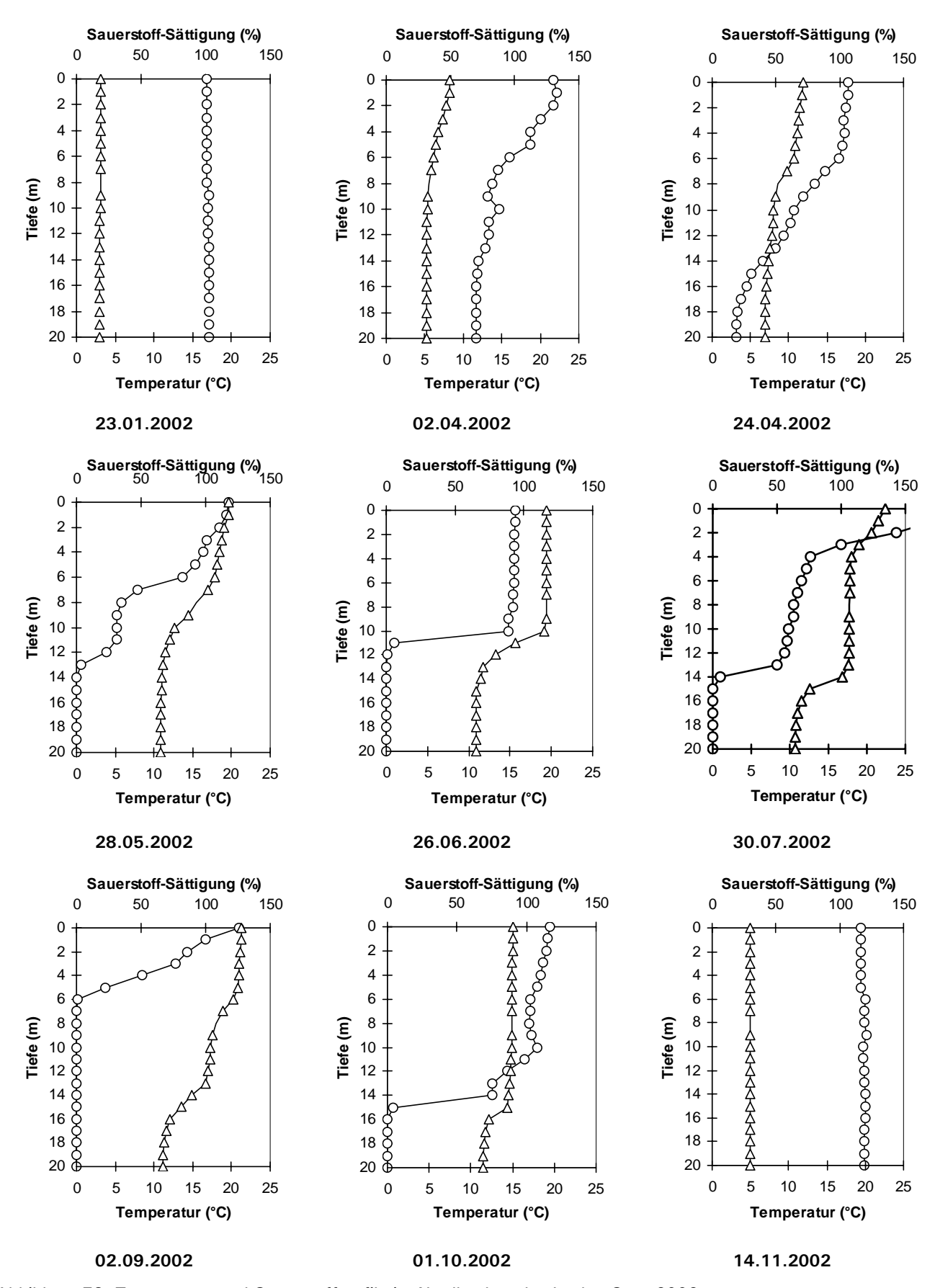


Abbildung 73: Temperatur- und Sauerstoffprofile im Nordbecken des Lanker Sees 2002 Temperatur Sauerstoff

121

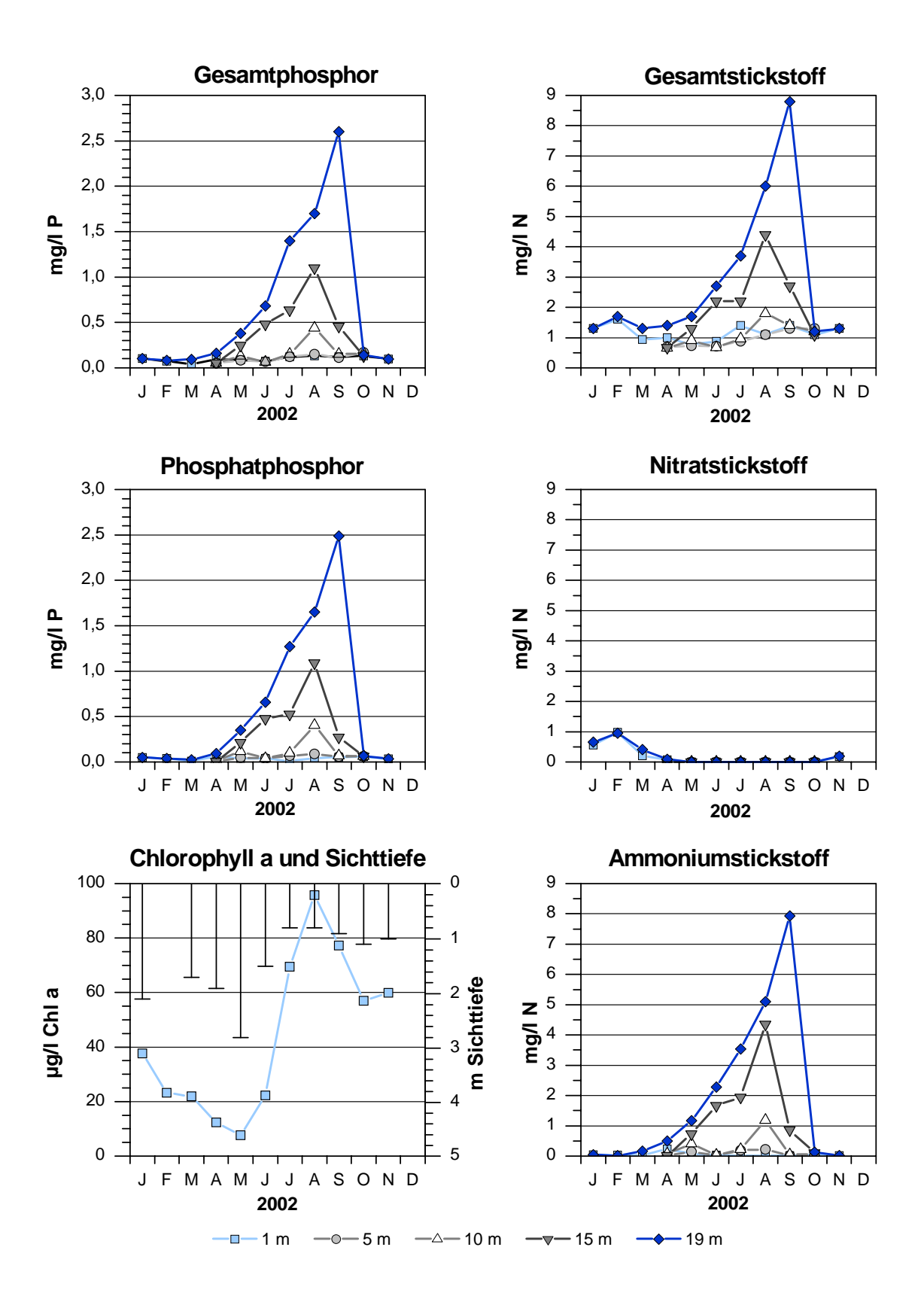


Abbildung 74: Gesamtphosphor (mg/l P), Gesamtstickstoff (mg/l N), Phosphat (mg/l P), Nitrat (mg/l N), Ammonium (mg/l N) sowie Chlorophyll a ( $\mu$ g/l) und Sichttiefen (m) im Nordbecken des Lanker Sees 2002

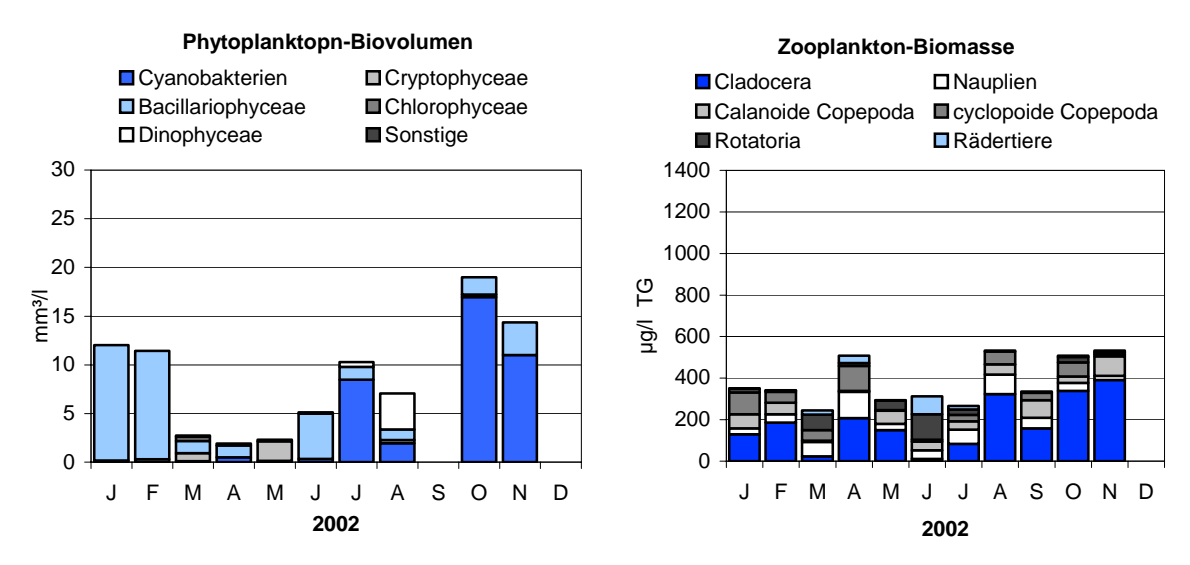


Abbildung 75: Phytoplankton-Biovolumen sowie Zooplankton-Biomasse (als Trockengewicht) im Nordbecken des Lanker Sees 2002 (Zooplankton-Trockengewicht ohne *Leptodora kindtii*, die durch ihre Körpergröße das Bild verfälschen würde)

Insgesamt sind die Stoffumsatzprozesse im Lanker See weitgehend von externen Faktoren, besonders dem Zufluss von Schwentinewasser abhängig. Da die Schwentine bis zum Eintritt in den Lanker See bereits einige Seen durchflossen hat, ist besonders im Sommer der Stickstoffgehalt durch Denitrifikationsverluste sehr gering, und das N/P-Verhältnis bereits früh im Jahr relativ niedrig. Ein über weite Phasen Stickstoff-kontrolliertes Algenwachstum mit Dominanz von Cyanobakterien ist die Folge. Größeres Zooplankton erlangt zwar vorübergehend eine gewisse Bedeutung, der Einfluss auf das Algenwachstum bleibt aber verglichen mit dem der Schwentine vermutlich gering. In tiefen Zonen des nördlichen Seebeckens finden intensive Zehrungsprozesse statt, die vermutlich mit Phosphorrücklösung verbunden sind,. Diese spielen aber wegen des geringen Anteils vom Gesamtnährstoffeintrag für den Gesamtstoffhaushalt eine untergeordnete Rolle.

Untersuchungen zu den **Fischen** des Lanker Sees liegen nicht vor. Hecht, Aal, Karpfen und Zander können nach Auskunft des ansässigen Angelvereins gefangen werden. In LANDESAMT FÜR WASSERHAUSHALT UND KÜSTEN SCHLESWIGHOLSTEIN (1989) wird DEHUS (1983) zitiert, der für den Lanker See folgende Fischarten aufzählt: Kleine Maräne *Coregonus albula*, Große Maräne *C. lavaretus*, Stint *Osmerus eperlanus*, Plötze *Rutilus rutilus*, Moderlieschen *Leucaspius delineatus*, Aland *Leuciscus idus*, Rotfeder *Scardinius erythrophtalmus*, Schlei *Tinca tinca*, Gründling *Gobio gobio* Ukelei *Alburnus alburnus*, Güster *Blicca björkna*, Brasse *Abramis brama* Aal *Anguilla anguilla*, Barsch *Perca fluviatilis*, Zander *Stizostedion* 

*lucioperca*, Kaulbarsch *Gymnocephalus cernus* und Quappe *Lota lota*.

Der Lanker See wurde vom Landesamt bereits 1986 (LANDESAMT FÜR WASSERHAUSHALT UND KÜSTEN SCHLESWIG-HOLSTEIN 1989) untersucht. Zwar sind Vergleiche mit älteren Untersuchungen wegen der verschiedenen Analysenmethoden und der unterschiedlichen meteorologischen Verhältnisse meist schwierig, insgesamt scheinen sich jedoch die trophischen Verhältnisse im Freiwasser nicht wesentlich verbessert zu haben. Der Sauerstoffgehalt fiel sowohl 1986 als auch 2002 im Hypolimnion bereits im Mai rapide ab, und von Juli bis September war die gesamte Tiefenzone in beiden Jahren sauerstofffrei. Auch die Gesamtstickstoff- und Gesamtphosphorgehalte im Oberflächenwasser lagen in einer ähnlichen Größenordnung. Das jahreszeitliche Sukzessionsmuster beim Phytoplankton war ebenfalls ähnlich: Bis zum Frühsommer herrschten zentrische Kieselalgen vor, wobei allerdings das 2002 erfasste kurze Klarwasserstadium im Mai 1986 nicht beobachtet wurde. Ab Juni dominierten in beiden Untersuchungsjahren Cyanobakterien, die 1986 bei abnehmender Biomasse ab Oktober wieder durch Kieselalgen abgelöst wurden, während sie 2002 bei weiterhin hoher Biomasse dominierten. Während im Spätsommer des Jahres 1986 jedoch coccale, aggregatbildende *Microcystis*-Arten das Bild prägten, war im Jahr 2002 die Dominanz des fädigen Cyanobakteriums Limnothrix auffällig. 2002 waren die Sichttiefen bis in den November hinein mit nur 1 m sehr gering.

Von 1992 bis 2000 wurde der Lanker See vom Kreis Plön an 6 Seemessstellen untersucht (KREIS PLÖN 1998 und KREIS PLÖN 2002). Die Schichtungsverhältnisse im Nordbecken waren sehr variabel sowohl was die Dauer der Schichtung als auch die Lage der Sprungschicht angeht, zeitweilig wurde eine doppelte Sprungschicht festgestellt. Dies entspricht den Beobachtungen von 2002 und stützt die Vermutung, dass das Schichtungsverhalten stark von den meteorologischen Bedingungen und insbesondere von den niederschlagsbedingten Zuflüssen aus der Schwentine, abhängt. Das Muster der Sichttiefen entsprach dem 2002 gefundenen mit einem Klarwasserstadium im Mai. Bezieht man die Ergebnisse von 2002 mit ein, so scheinen die Sichttiefen über die Jahre hinweg und insbesondere im Herbst tendenziell abzunehmen. .Phosphor und Stickstoff zeigten von Jahr zu Jahr starke Schwankungen, wobei sich beim Phosphor eine leicht abnehmende Tendenz abzeichnet.

Insgesamt scheint im Lanker See, ähnlich wie es bei einer Vielzahl anderer Seen zu beobachten ist, die Abnahme der Nährstoffkonzentrationen nicht nur zu einer Verringerung des Phytoplanktonwachstums zu führen. Inwieweit ein Zusammenhang mit zunehmend wärmeren Wintern besteht, kann jedoch nur anhand langjährig fortgeführter Datenreihen beurteilt werden.

# Seegrund

Das Sediment im Lanker See, das 1997 untersucht wurde, war weich, schwarz und wies mittleren H<sub>2</sub>S-Geruch auf. Der Phosphorgehalt lag in der Siebfraktion < 20  $\mu$ m bei 1900 mg/kg Trockensubstanz (TS). Der Schwefelgehalt lag mit 23 000 mg/kg TS ebenfalls recht hoch.

Die tierische Besiedlung des Sedimentes im Lanker Sees wurde 1998 im Auftrag des Landesamtes von OTTO (2002) untersucht. Die folgenden Ausführungen sind seinem Bericht entnommen.

Das Makrozoobenthos des Lanker Sees wurde an zwei Transekten, eines durch die tiefste Stelle im Nordbecken, das andere im Südbecken, untersucht.

Insgesamt wurden im Südbecken 41, im Nordbecken 56 Taxa gefunden. Weichtierarten stellten in beiden Seeteilen die meisten Taxa (10 bzw. 16), die Zuckmückenlarven waren ebenfalls mit vielen Arten vertreten (11 bzw. 21 spp.). Die Larve der Zuckmücke *Stictochironomus* sp.und die der Eintagsfliege *Gyraulus crista* sind nach WILSON (1996) Vertreter mesotropher Seen. Unterhalb von 5 m Wassertiefe dominierten an bei-

den Stellen Arten, die für die Tiefenzone typisch

Das Südbecken wurde in seinen flachen Bereichen durch die Zuckmückenlarve *Cladotanytarsus* sp. (0 -1 m) und durch Wenigborster (2 m) dominiert. Ab 5 m Tiefe dominierten die Wenigborster sowie Vertreter der *Chironomus-plumosus*-Gruppe.

Das Litoral des Nordbeckens wurde im oberen Bereich (0 – 2 m) durch die Zuckmückenlarven *Polypedilum* cf. *nubeculosum* und *Cladotanytarsus* sp., im unteren Bereich (2 m) sowie durch Wenigborster beherrscht. Das Profundal war vergleichsweise individuenarm. Hier erreichten lediglich die Wenigborster Dichten von fast 1000 Ind./m². Vertreter der *Chironomus-plumosus*-Gruppe waren bis zur tiefsten Stelle in geringen bis mittleren Zahlen vertreten. An beiden Transekten kam die Büschelmücke in geringen bis mittleren Dichten (max. 577 Ind./m²) vor.

Aufgrund der Präsenz von Vertretern der *Chirono-mus-plumosus-*Gruppe sowie von Larven der Büschelmücke *Chaoborus flavicans* im gesamten Profundal beider Seeteile kann der Lanker See im Sinne von THIENEMANN (1922) als eutropher *Chironomus plumosus-*See eingestuft werden.

Bei den Untersuchungen des Landesamtes für Wasserhaushalt und Küsten (1989) wurden auch Benthosproben entnommen. Die beiden Benthosuntersuchungen sind jedoch nicht vergleichbar. Die Bodenfauna scheint aber 1986 deutlich artenund individuenärmer als 1998.

# Nutzung des Sees und seines Einzugsgebietes

Die Beschreibung der Nutzung von Inseln und Ufer folgt im wesentlichen GARNIEL (2002).

Die fischereiliche Nutzung des **See**s erfolgt nach Aufgabe der Berufsfischerei jetzt durch einen Angelverein.

Von den Inseln wurde die größte, der mehrere Hektar große Probstenwerder, früher extensiv beweidet, diese Beweidung wurde jedoch 2002 aufgegeben. Hier brüten Lach- und Sturmmöwen sowie Flussseeschwalben und verschiedene Entenarten. Die kleineren Inseln sind mit Weidengebüsch bestanden und werden nicht genutzt.

Am Westufer des Sees liegt das Naturschutzgebiet "Halbinseln und Buchten im Lanker See". Es wurde im Kern bereits 1938 ausgewiesen und später erweitert. Schutzziel laut Verordnung vom 17.01.1995 ist der Erhalt der ausgedehnten Röhrichtzonen, Bruchwäldern, des weitgehend natür-

lichen Birkenwald sowie weiteren naturnahen Gehölzen und ökologisch bedeutsamen Feuchtgrünlandflächen. Die Ufer des NSG sind Sperrgebiet für Sportboote, an der Sonneninsel ist das Anlegen ebenfalls verboten (Vogelschutzgebiet). Schutzziel des direkt angrenzenden NSG "Kührener Teich und Umgebung", das mit Verordnung vom 21.12.1994 unter Schutz gestellt wurde, ist der Erhalt des flachgründigen, buchtenreichen Kührener Teichs mit ausgedehnten Röhrichtzonen, der baumbestandenen Inseln, der ufernahen Bruchwaldzonen, der kleinen naturnah ausgebildeten Gehölze sowie der ökologisch bedeutsamen Feuchtgrünlandflächen. Das Gebiet dieser beiden NSG ist weiterhin als Gebiet von Gemeinschaftlicher Bedeutung nach FFH-Richtlinie DE 1727-302 ausgewiesen, sowie als Europäisches Vogelschutzgebiet nach Vogelschutzrichtlinie DE 1727-401 und als IBA-Gebiet 028 "Kühren pond and Lanker See" (IBA = Important Bird Area). Es ist damit nach dem Großen Plöner See das zweitwichtigste Vogelschutzgewässer Schleswig-Holsteins (LANDESAMT FÜR NATUTSCHUTZ UND LANDSCHAFTSPFLEGE 1990).

Bebaute Grundstücke, die unmittelbar ans Ufer reichen, gibt es nur kleinflächig (Freudenholm, sowie das parkähnliche Gelände von Gut Wahlsdorf). Auf einer Landzunge im Nordosten des Sees liegt der große Campingplatz "Gläserkoppel", er grenzt jedoch nicht mehr unmittelbar an den See an. Die weitgehend vegetationsfreien und z.T. steil abfallenden Ausläufe des sich östlich anschließende Reiterhofs dagegen grenzen streckenweise direkt an den See. Bei Schellhorn gibt es ein Freizeitgelände, das jedoch nur auf kurzer Strecke direkt an den See grenzt.

Beiderseits der Klinik Freudenholm grenzt intensiv genutztes Weidegrünland ohne Abzäunung direkt ans Ufer. In den anderen Bereichen ist das Ufer mit Ausnahme einer kürzeren Strecke am Südufer für das Vieh nur punktuell zugänglich (Tränkestellen).

Bei Preetz wird nördlich des NSG das Ufer von mehreren Wassersportvereinen genutzt, es gibt zwei Sammelstege für Segelboote. Zehn Einzelstege gibt es bei Freudenholm. Die Stege des früheren Berufsfischers werden jetzt vom Angelverein genutzt. Die früher südlich der Linie Gläserkoppel-Appelwarder gelegenen Einzelstege sind inzwischen aufgegeben. Weite Bereiche insbesondere im NSG, aber auch an der gegenüber liegenden Halbinsel, sind inzwischen wieder relativ naturnah und werden nicht genutzt. Es gibt vier offizielle Badestellen: am Südrand von Preetz (Castöhlenweg), in Schellhorn am Gildehus, sowie am Campingplatz Gläserkoppel und östlich von Gut Wahlsdorf.

Das direkte **Einzugsgebiet** des Lanker Sees (ohne Scharsee) wird zu 57 % landwirtschaftlich, davon über 73 % als Acker, genutzt. 19 % sind Wasserflächen, etwa 7 % sind besiedelt. Der Waldanteil liegt bei knapp 15 % des Einzugsgebietes. Die Zahl der Großvieheinheiten liegt bei 0,8 GVE/ha landwirtschaftlicher Nutzfläche.

Abwasser erhält der Lanker See aus seinem direkten Einzugsgebiet aus den Kläranlagen Freudenholm, Campingplatz Lanker See, der Klärteichanlage Gut Wahlstorf, der Kläranlage Fäkaldeponie Kühren, der Kläranlage Kührsdorf, sowie den Hauskläranlagen Kühren und Preetz/Schellhorn.

# Belastungssituation des Sees

Aufgrund der Flächennutzung und der Abwasserbeseitigung im Einzugsgebiet sowie der Niederschlagsbeschaffenheit werden im Folgenden die Einträge der Nährstoffe Phosphor und Stickstoff in den Lanker See grob abgeschätzt (Abbildung 76 und Tabelle 14).

Tabelle 14: Einträge von Phosphor und Stickstoff in den Lanker See aus verschiedenen Quellen (Abschätzung gemäß Kapitel Auswertungsmethoden)

Flächennutzung	[ha] bzw.	[kg/ha a] bzw.	P-Eintrag	[kg/ha a] bzw.	N-Eintrag	
	Stück	[kg/GVE a]	[kg/a]	[kg/DE a]	[kg/a]	
Wasserflächen	420					
Acker	903	0,5	452	20	18.060	
Grünland	338	0,2	68	10	3.380	
Großvieheinheiten	993	0,20	199	0,9	894	
Moor	16	0,2	3	10	160	
Wald	334	0,05	17	7	2.338	
Siedlung	154	0,8	116	13	2.002	
Andere Nutzung	26	0,1	1	10	260	
Summe	2.191		854		27.094	
Niederschlag auf die Seefläche	380	0,15	57	12	4.560	
Punktquellen	Einleitmenge	P-Konzentration	P-Eintrag	N-Konzentration	N-Eintrag	
Schmutzwasser	[m³]	[mg/l] [kg/a]		[mg/l]	[kg/a]	
KA Freudenholm	9.000	2 18		40	360	
KA Campingplatz Lanker See	4.000	8	8 32		400	
KTA Wahlstorf-Hof	3.000	0,5	2	10	30	
KA Fäkaldeponie Kühren	12.000	6	72	60	720	
KA Kührsdorf	8.000	9	72	40	320	
Haus-KA´s Kühren	4.600	20	92	100	460	
Haus-KA´s Preetz/Schellhorn	5.000	20	20 100		500	
Summe			388		2.790	
	km²	Jahresmit	telwerte	Jahresmittelwerte		
aus Einzugsgebiet Scharsee	5,84	0,17	313	3,1	5.709	
	7.04	0.07	155	0.7	F 000	
aus Einzugsgebiet Wielener See	7,01	0,07	155	2,7	5.969	
aus Einzugsgebiet Schwentine	0,1	12.955	1,2	155.460		
Gesamteintrag in de	n See		Phosphor		Stickstoff	
Summe [kg/a]			14.593		201.581	
g/m² a (bezogen auf Seefläche) kg/ha a (bezogen auf Landfläch			3,84 0,33		53,05 4,43	

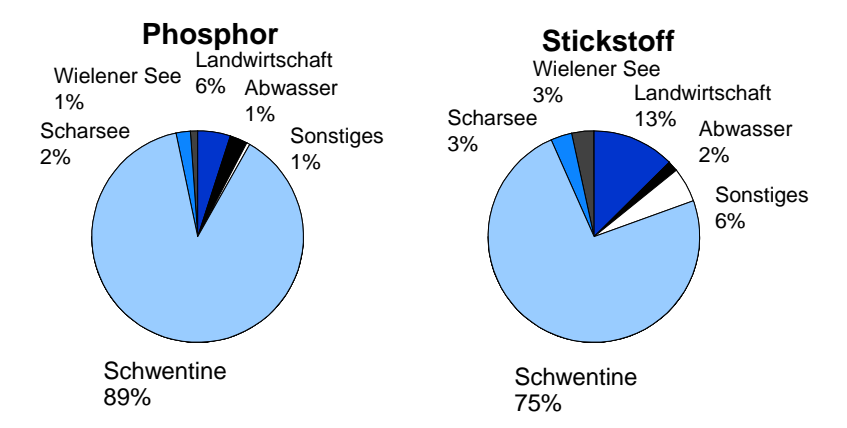


Abbildung 76: Quellen für Phosphor- und Stickstoffeinträge in den Lanker See

Die Einträge aus dem Einzugsgebiet und durch Niederschlag lagen insgesamt bei 14,6 t/a Phosphor und bei 201,6 t/a Stickstoff. Hauptbelastungsquelle (ca. 88 % beim Phosphor und 74 % beim Stickstoff) stellt die Schwentine dar, die landwirtschaftliche Nutzung im direkten Einzugsgebiet trägt beim Phosphor zu 5 %, beim Stick-

stoff zu 13 % bei. Auch der Beitrag aus den Teileinzugsgebieten von Wielener See und Scharsee hat, insbesondere beim Stickstoff, eine gewisse Bedeutung. Die direkte Abwasserbelastung ist nur beim Phosphor von Bedeutung. Mit jährlich 3,84 g/a\*m² Seefläche Phosphor ist die Flächenbelastung des Lanker Sees sehr hoch.

$$PE = \frac{L * Tw}{z (1 + \sqrt{Tw})}$$

P<sub>E</sub> : = erwartete Phosphor-Konzentration im See (mg/l) L : 3,84 = jährliche Phosphor-Belastung pro Seefläche (g/a⋅m²)

 $T_{W}$ : 0,10 = theoretische Wasseraufenthaltszeit (a)

z : 3,6 = mittlere Tiefe des Sees (m)

$$P_E = \frac{3.84 * 0.10}{3.6 (1 + \sqrt{0.10})} = 0.081 \,\text{mg/l P}$$

Anhand der ermittelten Phosphoreinträge lässt sich nach VOLLENWEIDER & KEREKES (1980) unter Einbeziehung der Seebeckengestalt und des Wasseraustausches die zu erwartende Phosphorkonzentration für einen See abschätzen:

Die nach VOLLENWEIDER zu erwartende Phosphorkonzentration im Lanker See liegt somit bei 0,08 mg/l Phosphor. Wegen des starken Wasseraustauschs, der im Jahresdurchschnitt theoretisch bei nur 36 Tagen liegt, im regenreichen 2002 aber noch deutlich höher war, der komplizierten Seebeckengestalt und der stark schwankenden Phosphorkonzentrationen ist ein Vergleich mit den tatsächlich gefundenen Konzentrationen schwierig. In der ersten Hälfte des Jahres lagen sie in beiden Becken etwa in dem theoretisch zu erwartenden Bereich, ab Juli dagegen lagen die P-Konzentrationen vor allem im flacheren Südbecken deutlich darüber. Da der Juli ein besonders regenreicher Monat war, bleibt offen, ob dieses Muster durch die außergewöhnlichen Niederschläge verursacht war und nur 2002 auftrat.

Bei einer überschlägigen Bilanz für die Seen der Schwentine-Kette (LANU 2005, unveröff.) wurde abgeschätzt, dass der Lanker See übers Jahr betrachtet als schwache Phosphorsenke wirkt.

# **Bewertung**

Der Lanker See hat auf Grund des großen, überwiegend landwirtschaftlich genutzten Einzugsgebietes seines Zuflusses, der Schwentine, Voraussetzungen für einen relativ nährstoffreichen Zustand. Durch die intensive landwirtschaftliche

Nutzung im Einzugsgebiet ist die derzeitige Phosphor-Belastung des Sees mit 3,84 g/a·m² Seefläche sehr hoch. Die geringe Tiefe des Sees sorgt darüber hinaus für eine effektive Umsetzung der zugeführten Nährstoffe.

Die Ufervegetation des Lanker Sees ist durch die reichhaltige Struktur sehr vielfältig und insbesondere in den Feuchtgrünlandbereichen artenreich, während das Röhricht in weiten Bereichen durch frühere Beweidung geschädigt ist und sich noch nicht regenerieren konnte. Die Unterwasservegetation hat sich gegenüber 1986 deutlich in die Tiefe ausgebreitet, ein Hinweis auf insgesamt erhöhte Wassertransparenz. Zum Teil besiedelt sie auch früher von Röhricht eingenommene Bereiche. Lanker See und Kührener Teich sind Gewässer mit internationaler Bedeutung für Wasservögel.

Die Stoffumsatzprozesse im Lanker See sind weitgehend von externen Faktoren, besonders dem Zufluss von Schwentinewasser, abhängig. Das Schwentinewasser weist im Sommer ein geringes N/P-Verhältnis auf, so dass das Algenwachstum über weite Phasen Stickstoff-kontrolliert ist. Die Dominanz von Cyanobakterien ist die Folge. Größeres Zooplankton erlangt zwar vorübergehend eine gewisse Bedeutung, der Einfluss auf das Algenwachstum bleibt aber verglichen mit dem der Schwentine vermutlich gering. Im Gegensatz zur Unterwasservegetation zeigte das Freiwasser 2002 trotz verringerter Nährstoffkonzentrationen weder gegenüber den Untersuchungen von 1986 noch gegenüber den Untersuchungen der 90er Jahre eine deutliche Verringerung der Trophie.

Die 1998 untersuchte Besiedlung des Seebodens wiederum, die wie die Besiedlung mit Unterwasserpflanzen eher langfristige Trends erkennen lässt, deutet auf eine Verbesserung der Trophieverhältnisse.

# **Empfehlungen**

Wegen des starken Wasseraustausches ist eine Klassifizierung der Trophie des Lanker Sees nach den Kriterien der LAWA nur eingeschränkt möglich. Aufgrund seiner Morphologie liegt der potenzielle Zustand bei mesotroph. Sein Istzustand ist schwach polytroph, so dass sich eine Bewertung von 4 und ein entsprechender Handlungsbedarf ergibt.

Der Lanker See liegt am Ende der Schwentine-Kette, so dass 88 % seiner Phosphor- sowie 74 % seiner Stickstoffbelastung bereits mit der einmündenden Schwentine aus dem oben liegenden Einzugsgebiet in den See gelangen. Maßnahmen im Einzugsgebiet müssen sich daher auf das oberhalb liegende Einzugsgebiet konzentrieren. Diese sind bereits bei den entsprechenden Seen besprochen.

Aus dem Teileinzugsgebiet des Lanker Sees (inklusive Wielener See und Scharsee) kommen nach der vorliegenden Abschätzung aber immerhin noch 12 % der Phosphor- und 26 % der Stickstoffbelastung. Hier werden folgende Maßnahmen empfohlen:

 Da einige der seenahen Ackerflächen eine starke Hangneigung aufweisen, tragen sie trotz größtenteils vorhandener, meist jedoch mehr oder weniger schmaler, Randsteifen vermutlich deutlich zur Nährstoffbelastung bei. Wie bereits von GARNIEL (2002) empfohlen, sollten daher die land-

- wirtschaftlich genutzten seenahen Flächen im Südosten des Sees stillgelegt oder extensiviert werden, wobei nach Angaben dieser Autorin auf dem früheren Niedermoorgebiet im Süden bereits eine Extensivierung erfolgt ist.
- Der Anschluss der Hauskläranlagen Kühren sowie Preetz/Schellhorn an die zentrale Abwasserentsorgung sollte geprüft werden.
- Insbesondere die weitgehend vegetationsfreien Pferdekoppeln des Reiterhofs Gläserkoppel sollten mit ausreichen Randsteifen oder anderen geeigneten Querstrukturen versehen werden, um eine direkte Boden- und Nährstofferosion zu verhindern.
- In Bereichen, in denen das Vieh auf den beweideten Flächen gegenwärtig freien Zugang zum Wasser hat, sollte eine Abzäunung vorgenommen werden.
- Der von Kührsdorf kommende Zufluss zum Kührener Teich verläuft größtenteils durch Ackerland. Hier ist die Ausweisung von ausreichend Gewässerrandstreifen besonders wichtig.
- Das Ablassen des Kührener Teichs, das zur Abfischung des Gewässers erfolgt, führt wahrscheinlich zu einer stoßweisen Einschwemmung von Nährstoffen in den Lanker See. Sollte dieses Ablassen unvermeidbar sein, so ist darauf zu achten, dass es außerhalb der Vegetationsperiode erfolgt, um eine effektive Nutzung durch das Phytoplankton zu verhindern.

# Literatur

ARP, W. (2005): Untersuchung des Phyto- und Zooplanktons schleswig-holsteinischer Seen 2004.- Bericht im Auftrag des Landesamtes für Natur und Umwelt Schleswig-Holstein, unveröffentlicht.

BRINKMANN, R. & REUSCH, H. (1998): Zur Verbreitung der aus dem norddeutschen Tiefland bekannten Ephemeroptera- und Plecoptera-Arten (Insecta) in verschiedenen Biotoptypen. - Braunschweiger Naturkundliche Mitteilungen **5** (3): 531-540

COLLING, M. (1996): Ökologische Typisierung der aquatischen Makrofauna. - Informationsberichte des Bayerischen Landesamtes für Wasserwirtschaft 4/96: 1-543.

DEHUS, P. (1983): Ergänzung von Daten zur Fischfauna Schleswig-Holsteins und ihre karteimäßige Darstellung. – Bericht im Auftrag des Landesamts für Naturschutz und Landschaftspflege Schleswig-Holstein.

FITTKAU, E.J., COLLING, M., HESS, M., HOF-MANN, G., ORENDT, C., REIFF, N. & RISS, H.W. (1992): Biologische Trophieindikation im Litoral von Seen.- Informationsbericht Bayer. Landesamt f. Wasserwirtschaft 7: 1-184.

GARNIEL, A. (2002b): Seenprogramm 2002 – Kartierung der Ufer- und Unterwasservegetation des Lanker Sees. Bericht des Kieler Institut für Landschaftsökologie im Auftrag des Landesamts für Natur und Umwelt Schleswig-Holstein.

GARNIEL, A. (2002a): Vegetation der Seen Schleswig-Holsteins - Diekseestudie, Grundlagen für eine gemeinsame Umsetzung von Wasser-Rahmenrichtlinie und FFH-Richtlinie, Studie des Kieler Instituts für Landschaftsökologie im Auftrag des Landesamts für Natur und Umwelt Schleswig-Holstein, unveröffentlicht.

GARNIEL, A. & HAMANN, U. (2002): Rote Liste der Armleuchteralgen Schleswig-Holstein. - Landesamt für Natur und Umwelt des Landes Schleswig-Holstein (Hrsg.), Flintbek.

GRIPP, K. (1953): Die Entstehung der ostholsteinischen Seen und ihre Entwässerung. – Schr. Geogr. Inst. Univ. Kiel, Schmieder-Festband: 11-26.

HAMM, A. (1976): Zur Nährstoffbelastung von Gewässern aus diffusen Quellen: Flächenbezogene P-Angaben - eine Ergebnis- und Literaturzusammenstellung.- Z. Wasser- Abw.-Forsch. 9 (1): 4-10.

HANSEN, P. (2001): Gesamtkonzept Schwentine oberhalb des Behler Sees, Gutachten im Auftrag des Wasser- und Bodenverbands Schwentine.

HARBST, D. (1993): Seen-Monitoring 19 schleswig-holsteinischer Seen: Messung der Sichttiefe, Temperatur und Sauerstoff von Mai bis Dezember 1993, Abschlussbericht im Auftrag des Landesamtes für Wasserhaushalt und Küsten, unveröffentlicht.

JENSEN, K. (2005): Renaturierung degradierter Uferabschnitte an See der Holsteinischen Schweiz.- Projektantrag der Universität Hamburg.

KLAPPER, H. (1992): Eutrophierung und Gewässerschutz, Gustav-Fischer-Verlag Jena 1992, 1. Aufl. ISBN 3-334-00394-9, S. 59.

KOPPE, F. (1923): Die Schlammflora der ostholsteinischen Seen und des Bodensees. – Archiv Hydrobiol., Band XIV: 619-675.

KREIS PLÖN (1998): Seen-Beobachtung – 50 Gewässer aus dem Kreis Plön im Vergleich, Seenmonographien, Entwicklungstendenzen, Badewasserqualität, Nährstoffpfade, Witterungseinflüsse, Schutzmaßnahmen. – Bericht des Kreises Plön.

KREIS PLÖN (2002): 10 Jahre Seen-Beobachtung im Kreis Plön 1991 - 2000 – Vergleich von 50 Seen und Teichen, Einzeldarstellungen der Seen, Entwicklungstendenzen, Erosion von Nährstoffeinträgen. – Bericht des Kreises Plön.

LANDESAMT FÜR NATUR UND UMWELT SCHLESWIG-HOLSTEIN (2001): Großer Plöner See – Zustand und Belastungsquellen,- Bericht des Landesamtes, ISBN 3-923339-69-0.

LANDESAMT FÜR NATUR UND UMWELT SCHLESWIG-HOLSTEIN (2004): Kleiner Plöner See – Zustand und Belastungsquellen,- Bericht des Landesamtes, ISBN 3-923339-95-X.

LANDESAMT FÜR NATUR UND UMWELT SCHLESWIG-HOLSTEIN (2005): Erstellung einer Stoffbilanz für das Schwentine-Einzugsgebiet. Bericht im Auftrag des Landesamtes, unveröffentlicht.

LANDESAMT FÜR NATURSCHUTZ UND LAND-SCHAFTSPFLEGE (1990): Seeufer schleswigholsteinischer Seen – Zustand, Nutzung, Gefährdung, Schutz – Lanker See/Kirchsee. – ISBN 3-923339-21-6.

LAWA (1998): Vorläufige Richtlinie für eine Erstbewertung von natürlich entstandenen Seen nach trophischen Kriterien. - Länderarbeitsgemeinschaft Wasser, Arbeitskreis "Gewässerbewertung Stehende Gewässer", (Hrsg.), ISBN 3-88961-225-3.

LANDESAMT FÜR WASSERHAUSHALT UND KÜSTEN (1989): Lanker See – Bericht des Landesamtes, Kiel.

LANDESAMT FÜR WASSERHAUSHALT UND KÜSTEN (1993): Die Seen der oberen Schwentine – Bericht des Landesamtes, Kiel.

LANDESAMT FÜR WASSERHAUSHALT UND KÜSTEN 1984: Dieksee. – Bericht des Landesamtes, Kiel.

LENZ, F. (1931): Untersuchungen über die Vertikalverteilung der Bodenfauna im Tiefensediment von Seen. – Verh. Int. Verein Limnol. 5: 232-260.

LUNDBECK, J. (1926): Die Bodentierwelt norddeutscher Seen. – Arch. Hydrobiol. Suppl. 7: 1-173.

MAKULLA, A. & U. SOMMER (1993): Relationships between resource ratios and phytoplankton species composition during spring in five north German lakes. – Limnol. Oceanogr. 38(4): 846-856.

MariLim (2004): Untersuchung der Ufer- und Unterwasservegetation ausgewählter Seen in Schleswig-Holstein - Bericht im Auftrag des Landesamtes für Natur und Umwelt Schleswig-Holstein, unveröffentlicht.

MATHES, J, G. PLAMBECK & J. SCHAUMBURG (2002): Das Typisierungssystem für stehende Gewässer in Deutschland mit Wasserflächen ab 0,5 km² zur Umsetzung der Wasserrahmenrichtlinie. – BTUC-AR 5/2002:15-23, ISSN 1434-6834.

MIERWALD, U. & J. BELLER (1990): Rote Liste der Farn- und Blütenpflanzen Schleswig-Holstein. 3. Fassung, Stand September 1990, – Landesamt für Naturschutz und Landschaftspflege Schleswig-Holstein (Hrsg.), Kiel.

MIERWALD, U. (2002): Kartierung der Ufer- und Unterwasservegetation des Lanker Sees. Bericht des Kieler Instituts für Landschaftsökologie im Auftrag des Landesamts für Natur und Umwelt Schleswig-Holstein, unveröffentlicht.

MLUR (2005): Hinweise für die Flächennutzung an Binnengewässern Schleswig-Holsteins, Ministerium für Landwirtschaft, Umwelt und Reaktorsicherheit Schleswig-Holstein, Juni 2005, Manuskript.

MOOG, O. (ed.)(1995): Fauna Aquatica Austriaca. - Wasserwirtschaftskataster, Bundesministerium für Land- und Forstwirtschaft Wien.

NABER, H. (1933): Die Schichtung des Zooplanktons in holsteinischen Seen und der Einfluss des Zooplanktons auf den Sauerstoffgehalt der bewohnten Schichten. – Archiv f. Hydrobiologie, Bd. XXV.

OHLE, W. 1959: Die Seen Schleswig-Holsteins, ein Überblick nach regionalen, zivilisatorischen und produktionsbiologischen Gesichtspunkten, Jahrbuch v. Wasser 26: 16-41.

OTTO (2001): Das Benthos des Dieksees und des Stendorfer Sees. – Studie im Auftrag des Landesamtes für Natur und Umwelt des Landes Schleswig-Holstein, unveröffentlicht.

OTTO, J. (1998): Seenmonitoring. – Studie im Auftrag des Landesamtes für Natur und Umwelt des Landes Schleswig-Holstein, unveröffentlicht.

OTTO, J. (2004): Das Benthos des Schwentinesees. – Studie im Auftrag des Landesamtes für Natur und Umwelt des Landes Schleswig-Holstein, unveröffentlicht.

REGIERUNG VON MITTELFRANKEN (2004): Die Datensammlung für die Landwirtschaft, erarbeitet von der mittelfränkischen Landwirtschaftsverwaltung.

SAUER, F. (1937): Die Makrophytenvegetation ostholsteinischer Seen und Teiche. Soziologischlimnologische Untersuchungen - Arch. Hydrobiol. Suppl. Bd. 6: 431-592.

SCHWERTMANN, U. (1973): Der landwirtschaftliche Anteil am Phosphoreintrag in Gewässer (Literaturübersicht) und die Bedeutung des Bodens hierfür.- Z. Wasser, Abw.- Forsch. 6: 190-195.

SPETH & SPETH (2002): Untersuchungen des Phyto- und Zooplanktons aus 13 Seen Schleswig-Hosteins. – Untersuchung im Auftrag des Landesamtes für Natur und Umwelt des Landes Schleswig-Holstein, unveröffentlicht.

SPETH, B. (2002): Untersuchung über die Beschaffenheit der schleswig-holsteinischen Seen im Seenprogramm 2002 - Untersuchung des Phytound Zooplanktons im Kleinen Plöner See und im Lanker See, Bericht im Auftrag des Landesamt für Natur und Umwelt des Landes Schleswig-Holstein, unveröffentlicht.

STUHR, J. (2002): Die Vegetation des Behler Sees, des Belauer Sees, des Bornhöveder Sees, des Großen Eutiner Sees, des Kellersees des Neversdorfer Sees, des Postsees, des Schmalensees, des Sibbersdorfer Sees, des Stendorfer Sees, des Stolper Sees und des Windebyer Noores.- Bericht im Auftrag des Landesamtes für Natur und Umwelt des Landes Schleswig-Holstein, unveröffentlicht.

STUHR, J. (2004): Die Vegetation von 13 Seen Schleswig-Hosteins, - Bericht im Auftrag des Landesamtes für Natur und Umwelt des Landes Schleswig-Holstein, unveröffentlicht.

TAPPENBECK, L. & RASCHEWSKI, U. (1993): Einfluss von Wassergeflügel auf den Nähr- und Sauerstoffhaushalt im Arendsee (Land Sachsen-Anhalt).- Archiv für Nat.- Lands, Vol. 32, Seite 295-301, Harvood Academic Publishers GmbH.

THIENEMANN, A. (1922): Die beiden Chironomus-Arten der Tiefenfauna der norddeutschen Seen. – Arch. Hydrobiol. 13: 609-646.

UTERMÖHL, H.: Gutachten über den Stendorfer See, Manuskript, Max-Planck-Instituts für Limnologie, Plön.

VOLLENWEIDER, R. A. & J. KEREKES (1980): The loading concept as a basis for controlling eutrophication. – Progress in water Technol. 12: 5-39.

# Anhang

Allgemeine Erläuterungen	134
Biologische, physikalische und chemische	e Daten
Stendorfer See	137
Sibbersdorfer See	145
Großer Eutiner See	153
Kellersee	162
Dieksee	171
Behler See	181
Schwentinesee	191
Lanker See	200

# Erläuterungen

# Ufer- und Unterwasservegetation

In der Spalte "Rote Liste" werden die Gefährdungskategorien aufgeführt. Die Status-Angaben richten sich nach der Roten Liste der Farn- und Blütenpflanzen Schleswig-Holstein (MIERWALD & BELLER 1990). Die Skala umfaßt die Kategorien:

- 0: ausgestorben
- 1: vom Aussterben bedroht
- 2: stark gefährdet
- 3: gefährdet
- 4: potentiell gefährdet

Die Angaben für Armleuchteralgen stammen aus der Roten Liste der Armleuchteralgen Schleswig-Holstein (GARNIEL & HAMANN 2002).

Die Häufigkeit der vorkommenden Arten wird nach folgender Abstufung geschätzt:

D: dominant Z: zahlreich

W: wenige Exemplare vorhanden, vereinzeltes Auftreten

Die Angaben beziehen sich jeweils auf die jeweilige Vegetationszone und/oder auf längere Uferabschnitte.

# Physikalisch-chemische Befunde

Die Kennziffern für das Wetter bedeuten:

- 1: kein
- 2: leichter
- 3: mittlerer
- 4: starker Niederschlag
- 5: Schneeschmelze

Die Kennziffern für die **Färbung** der filtrierten Probe werden als zweistellige Zahlen angegeben; die erste Ziffer entspricht der Farbstärke, die zweite dem Farbton:

Stärke: 1: farblos Farbton: 1: weiß 6: blau

3: sehr schwach2: gelb7: grün5: schwach3: orange8: braun7: mittel4: rot9: schwarz0: sonstige5: violett0: sonstige

Die Kennziffer für die Trübung gibt an:

Stärke: 1: ohne

3: sehr schwach (fast klar)

5: schwach7: mittel

9: stark (undurchsichtig)

0: sonstige

# Die Kennziffern für den Geruch der Probe bedeuten:

Stärke: 1: ohne Art: 1: Gewürze

> 2: Erde, Torf, Moder 3: sehr schwach 3: Jauche, Silage 5: schwach 7: mittel 4: Fisch, Tran 9: stark 5: Urin, Fäkalien 0: sonstige 6: organische Säuren

7: Mineralöl-Produkte

8: Chlor

9: Schwefelwasserstoff, Mercaptan

Die angegebenen Parameter wurden nach folgenden Methoden bestimmt:

Parameter	Formel	Einheit	Methode
Wassertemperatur	Т	°C	DIN 38 404- C4 - 2, Dezember 1976
elektrische Leitfähigkeit	LF	mS/m	DIN EN 27888, November 1993 (DEV C8)
pH-Wert	рН		DIN 38 404- C5, Januar 1984
Sauerstoff (iodometrisch)	$O_2$	mg/l	DIN EN 25813, Januar 1993 (DEV G21)
Sauerstoffsättigungsindex		%	DIN 38 408 - G23, November 1987
TOC, DOC, TIC		mg/l	DIN EN 1484, August 1997 (DEV H3)
SAK bei 254 nm		m <sup>-1</sup>	DIN 38404 – C3, Dezember 1976
SAK bei 436 nm		m <sup>-1</sup>	DIN EN ISO 7887, Dezember 1994 (DEV C1)
Säurekapazität pH 4,3	Ks	mmol/l	DIN 38 409 - H7, Mai 1979
Basekapazität pH 8,2	K <sub>B</sub>	mmol/l	DIN 38 409 - H7, Mai 1979
Hydrogencarbonat	HCO <sub>3</sub>	mg/l	berechnet aus der Säurekapazität
Chlorid	CI	mg/l	DIN 38 405 - D 1 - 2, Dezember 1985
Ammoniumstickstoff	NH <sub>4</sub> -N	mg/l	CFA <sup>1)</sup> , DIN EN ISO 11732, Sept. 1997 (DEV E 23)
Nitritstickstoff	NO <sub>2</sub> -N	mg/l	CFA <sup>1)</sup> , DIN EN ISO 13395, Dez. 1996 (DEV D 28)
Nitratstickstoff	NO <sub>3</sub> -N	mg/l	CFA <sup>1)</sup> , DIN EN ISO 13395, Dez. 1996 (DEV D 28)
Gesamtstickstoff	N	mg/l	Peroxodisulfat, DIN EN ISO 11905-1 (DEV H 36)
Orthophosphat	PO <sub>4</sub> -P	mg/l	DIN EN 1189, Dez. 1996 (DEV D 11)
Gesamtphosphor	Р	mg/l	DIN EN 1189, Dez. 1996 (DEV D 11) mit Peroxodisulfat
Sulfat	SO <sub>4</sub>	mg/l	FIA <sup>2</sup> , Trübungsmessung
Kieselsäure	SiO <sub>2</sub>	mg/l	FIA <sup>2</sup> , mit Ammoniummolybdat
Natrium	Na	mg/l	DIN EN ISO 11885, April 1998 (DEV E 22)
Kalium	K	mg/l	DIN EN ISO 11885, April 1998 (DEV E 22)
Calcium	Ca	mg/l	DIN EN ISO 11885, April 1998 (DEV E 22)
Magnesium	Mg	mg/l	DIN EN ISO 11885, April 1998 (DEV E 22)
Eisen	Fe	mg/l	DIN EN ISO 11885, April 1998 (DEV E 22), DIN 38406-32, Mai 2000 (DEV E 32)
Mangan	Mn	mg/l	DIN EN ISO 11885, April 1998 (DEV E 22), DIN 38406-33, Juni 2000 (DEV E 33)
Aluminium	Al	mg/l	DIN EN ISO 11885, April 1998, DIN EN ISO 12020, Mai 2000 (DEV E 25)
Chlorophyll a		μg/l	nach NUSCH (1980): Comparison of different methods for chlorophyll and phaeopigment determination Arch. Hydrobiol. Beih. 14, 14-36
Phaeophytin		μg/l	nach NUSCH (1980): Comparison of different methods for chlorophyll and phaeopigment determination Arch. Hydrobiol. Beih. 14, 14-36

<sup>1)</sup> CFA: Continuous Flow Analyzer <sup>2)</sup> FIA: Flow Injektion Analyzer

Für die Bestimmungen des **Phytoplanktons** wurde ein Netzzug durchgeführt, die Maschenweite betrug 10  $\mu$ m. Die Fixierung erfolgte mit 10 ml Formaldehyd (37 %ig). Die quantitativen Proben wurden mit einem 2,5 l-Schöpfer aus 1 m Tiefe entnommen und mit Lugol'scher Lösung fixiert. Die spätere Bestimmung der Phytoplanktonarten erfolgte im Lichtmikroskop. Die quantitativen Proben wurden in Absetzkammern überführt und im Inversmikroskop nach UTERMÖHL ausgezählt und vermessen (alle dominanten Arten).

Für die Bestimmung des **Zooplanktons** wurde ein Netzzug in den oberen Metern der Wassersäule durchgeführt, die Maschenweite betrug 55  $\mu$ m. Die theoretische Filtrierleistung des Netzes (filtriertes Wasservolumen pro Meter Zugstrecke) läßt sich aus der Größe der Netzöffnung (490,9 cm²) berechnen und betrug 49,09 l/m. Die Fixierung erfolgte nach Betäubung durch Mineralwasser mit 4 %iger Formaldehydlösung. Die Auswertung erfolgte halbquantitativ. Dabei wurden folgende Häufigkeitsklassen berücksichtigt:

Häufigkeitsklassen	Individuen/I
selten (s)	0 - 5
wenig (w)	5 - 25
mittel (mi)	25 - 125
häufig (h)	125 - 625
massenhaft (ma)	625 - 3125

Die **Makrozoobenthosprobenahme** wurden im Frühjahr 2002 bzw. beim Schwentinesee 2004 durchgeführt. In jedem See wurden entlang eines oder mehrerer Transektes aus verschiedenen Tiefen jeweils drei Parallelproben mit dem LIMNOS-Sedimentstecher (71 cm² Fläche) oder einem Ekmann-Greifer (225 cm² Fläche) entnommen. Die Probe wurde mit einem Sieb mit 400  $\mu$ m Maschenweite gespült. Im Labor fand mit Hilfe einer Stereolupe die Auslese und Sortierung des lebenden Materials statt. Im Anschluss wurden die Proben in Alkohol (70 %) konserviert. Die Mittelwerte der Parallelproben wurden auf Häufigkeiten (Abundanzen je m²) berechnet und gerundet.

Darüber hinaus wurden die Ergebnisse im Hinblick auf Zonierungsaspekte bzw. Ernährungstypen im Sinne von MOOG (1995) ausgewertet. Mit Hilfe der 10-Punkte-Methode wird die räumliche bzw. Ernährungstypen-Verteilung der einzelnen Arten auf verschiedene Biotoptypen bzw. Ernährungstypen und deren anteilige Gewichtung angegeben. Die anteiligen Gewichtungen für die Biotoptypen und die Ernährungstypen stammen aus MOOG (1995) und COLLING (1996). Hinsichtlich der Biotoptypen des nordeutschen Tieflandes liegen für die Eintags- und Steinfliegen (BRINKMANN & REUSCH 1998) sowie für die Köcherfliegen (REUSCH & BRINKMANN 1998) eigene Einstufungen, die auch verwendet wurden. Einstufungen für die Diptera im Tiefland wurden vom Autor aufgrund eigener Erfahrungen ergänzt, um nicht zu unverständlichen Auswertungsergebnissen zu kommen. Als Beispiel sei hier *Chaoborus flavicans* genannt. COLLING (1996) hat dieser Art eine Einstufung von 5 für das Litoral und von 3 für das Profundal gegeben. Wertet man nach diesen Einstufungen einen eutrophen See mit hohem Bestand der Büschelmücke, wie er nicht untypisch für Schleswig-Holstein ist, erhält man für das Profundal einen sehr hohen litoralen Anteil. Im Anschluss daran wird mit den folgenden Formeln der Anteil der Ernährungstypen an der Gesamtzönose bzw. der Anteil der Biotoptypen an der Gesamtzönose ermittelt. So errechnet sich beispielsweise der litorale Anteil an der Gesamtzönose (RLIT) nach folgender Formel

$$R_{\text{LIT}} = \begin{array}{c} S \text{ lit}_{i^*h_i} \\ \hline S \text{ h}_i \end{array}$$

wobei liti den Anteil der speziellen litoralen Valenz einer Art in dem Biotop Litoral und hi die Häufigkeit dieser Art kennzeichnet (S = Summe).

# Stendorfer See – Ufer- und Unterwasservegetation

# Armleuchteralgenzone

Wissenschaftlicher Artname	Deutscher Artname	Rote Liste	Häufigkeit
Chara contraria	Gegensätzliche Armleuchteralge	3	W
Chara globularis	Zerbrechliche Armleuchteralge		W

# **Tauchblattzone**

Wissenschaftlicher Artname	Deutscher Artname	Rote Liste	Häufigkeit
Callitriche spec.	Wasserstern		W
Chlorophyceae	Fädige Grünalgen		D
Elodea canadensis	Kanadische Wasserpest		Z
Potamogeton cripus	Krauses Laichkraut		W
Potamogeton friesii	Stachelspitziges Laichkraut	2	W
Potamogeton pectinatus	Kamm-Laichkraut		W
Potamogeton pusillus agg.	Zwerg-Laichkraut	3	Z
Ranunculus circinatus	Spreizender Wasserhahnenfuß		Z
Sparganium cf. emersum	Einfacher Igelkolben		W
Zannichellia palustris	Sumpf-Teichfaden		D

# Schwimmblattzone

Wissenschaftlicher Artname	Deutscher Artname	Rote Liste	Häufigkeit
Lemna minor	Kleine Wasserlinse		Z
Nuphar lutea	Gelbe Teichrose		D
Nymphaea alba	Weiße Seerose		D
Spirodela polyrhiza	Vielwurzelige Teichlinse		W

# Röhrichte, Bruchwälder, Feuchtgrünland und weitere angrenzende Flächen

Wissenschaftlicher Artname	Deutscher Artname	Rote Liste	Häufigkeit
Acer pseudoplatanus	Berg-Ahorn		Z
Acorus calamus	Kalmus		Z
Agrostis stolonifera	Weißes Straußgras		Z
Ajuga reptans	Kriechender Günsel		W
Alnus glutinosa	Schwarz-Erle		D
Alnus incana	Grau-Erle		W
Alopecurus geniculatus	Knick-Fuchsschwanz		Z
Alopecurus pratensis	Wiesen-Fuchsschwanz		Z
Angelica sylvestris	Wald-Engelwurz		W
Berula erecta	Berle		W
Betula spec.	Birke		W
Calamagrostis canescens	Sumpf-Reitgras		Z
Callitriche spec.	Wasserstern		W
Caltha palustris	Sumpf-Dotterblume		W
Calystegia sepium	Gewöhnliche Zaunwinde		Z
Cardamine amara	Bitteres Schaumkraut		W
Cardamine pratensis agg.	Wiesen-Schaumkraut		Z
Carex acutiformis	Sumpf-Segge		D
Carex elata	Steif-Segge		W
Carex hirta	Behaarte Segge		Z
Carex paniculata	Rispen-Segge		W

Röhrichte, Bruchwälder, Feuchtgrünland und weitere angrenzende Flächen

Wissenschaftlicher Artname	Deutscher Artname	Rote Liste	Häufigkeit
Carex rostrata	Schnabel-Segge		Z
Carpinus betulus	Hainbuche		W
Cerastium holosteoides	Gewöhnliches Hornkraut		W
Cirsium oleraceum	Kohldistel		Z
Cirsium palustre	Sumpf-Kratzdistel		W
Corylus avellana	Hasel		W
Crataegus monogyna	Eingriffliger Weißdorn		Z
Deschampsia cespitosa	Rasen-Schmiele		Z
Eleocharis palustris	Gewöhnliche Sumpfbinse		W
Elymus repens	Kriech-Quecke		Z
Epilobium hirsutum	Zottiges Weidenröschen		Z
Equisetum fluviatile	Teich-Schachtelhalm		W
Equisetum palustre	Sumpf-Schachtelhalm		Z
Eupatorium cannabinum	Wasserdost		Z
Fagus sylvatica	Rot-Buche		W
Festuca pratensis	Wiesen-Schwingel		Z
Filipendula ulmaria	Echtes Mädesüß		Z
Fraxinus excelsior	Gewöhnliche Esche		Z
Galium aparine	Kletten-Labkraut		Z
Galium palustre	Sumpf-Labkraut		W
Geum rivale	Bach-Nelkenwurz		Z
Glechoma hederacea	Gundermann		Z
Glyceria fluitans	Flutender Schwaden		Z
Glyceria maxima	Wasser-Schwaden		Z
Holcus lanatus	Wolliges Honiggras		Z
Humulus lupulus	Hopfen		Z
Impatiens noli-tangere	Echtes Springkraut		W
Iris pseudacorus	Sumpf-Schwertlilie		Z
Juncus articulatus	Glieder-Binse		Z
Juncus effusus	Flatter-Binse		Z
Lolium multiflorum	Vielblütiges Weidelgras		Z
Lolium perenne	Weidelgras		Z
Lotus uliginosus	Sumpf-Hornklee		W
Lycopus europaeus	Ufer-Wolfstrapp		Z
Lysimachia nummularia	Pfennigkraut		W
Lysimachia vulgaris	Gewöhnlicher Gilbweiderich		Z
Lythrum salicaria	Blut-Weiderich		W
Mentha aquatica	Wasser-Minze		Z
Mercurialis perennis	Ausdauerndes Bingelkraut		Z
Myosotis palustris agg.	Sumpf-Vergißmeinnicht		Z
Phalaris arundinacea	Rohr-Glanzgras		Z
Phragmites australis	Schilf		D
Poa trivialis	Gewöhnliches Rispengras		Z
Polygonum amphibium	Wasser-Knöterich		W
Polygonum hydropiper	Wasserpfeffer		W
Populus spec.	Pappel		W
Populus tremula	Espe		W
Potamogeton alpinus	Alpen-Laichkraut	2	W
Potentilla anserina	Gänse-Fingerkraut	2	Z
Prunus padus	Trauben-Kirsche		W
Quercus robur	Stiel-Eiche		Z
Ranunculus acris	Scharfer Hahnenfuß		W

# Röhrichte, Bruchwälder, Feuchtgrünland und weitere angrenzende Flächen

Wissenschaftlicher Artname	Deutscher Artname	Rote Liste	Häufigkeit
Ranunculus flammula	Brennender Hahnenfuß		W
Ranunculus repens	Kriechender Hahnenfuß		Z
Ribes nigrum	Schwarze Johannisbeere		W
Ribes rubrum agg.	Rote Johannisbeere		W
Rorippa amphibia	Wasser-Sumpfkresse		W
Rubus fruticosus agg.	Brombeere		Z
Rubus idaeus	Himbeere		Z
Rumex acetosa	Wiesen-Sauerampfer		Z
Rumex hydrolapathum	Fluß-Ampfer		W
Salix alba	Silber-Weide		W
Salix caprea	Sal-Weide		W
Salix cinerea	Grau-Weide		Z
Salix spec.	Weide		Z
Sambucus nigra	Schwarzer Holunder		Z
Schoenoplectus lacustris	Seebinse		Z
Scirpus sylvaticus	Wald-Simse		Z
Scutellaria galericulata	Sumpf-Helmkraut		Z
Solanum dulcamara	Bittersüßer Nachtschatten		Z
Sparganium erectum	Ästiger Igelkolben		Z
Stachys palustris	Sumpf-Ziest		Z
Trifolium repens	Weiß-Klee		Z
Typha angustifolia	Schmalblättriger Rohrkolben		D
Typha latifolia	Breitblättriger Rohrkolben		W
Ulmus spec.	Ulme		W
Urtica dioica	Große Brennessel		Z
Valeriana officinalis agg.	Echter Baldrian		Z
Veronica beccabunga	Bachbungen-Ehrenpreis		W
Viburnum opulus	Gewöhnlicher Schneeball		W

# Stendorfer See – Physikalische und chemische Befunde EDV-Nr.: 129175

Probenahmedatum		28.2	2.2002	12.6.	2002	6.8.2	2002	16.9	.2002
Uhrzeit [ME(S)Z]		10	0:00	10:	:00	14	:00	10	:00
Windrichtung		S	SW	S	W	(	)	S	W
Windstärke	Bft.	3	3-4	2-	-3	2	-3	0	-1
Lufttemperatur	°C	3	3,3	15	5,1	21	1,3	1.	1,9
Luftdruck	hPa	9	98	10	10	10	09	10	13
Sichttiefe	m	1	,10	1,	50	0.	60	0.	60
Entnahmetiefe	m	1	7	1	7	1	7	1	7
Wassertemperatur	°C	3,8		19,9	13,6	21,8	17,8	19,0	17,9
Leitfähigkeit b. 25 °C	mS/m	48,1		47,1	53,2	35,3	45,7	39,5	48,6
pH - Wert		8,14		8,59	7,78	8,96	7,61	8,48	7,37
Farbe		38		1	1	1	1	37	37
Trübung		3		3	3	3	3	5	5
Geruch		1		1	59	1	1	1	79
Sauerstoff	mg/l	12,2		11,7	0,4	15,2	0	8,3	8,2
O <sub>2</sub> -Sättigungsindex	%	94		129	4	174	0	89	86
TOC	mg/l	7,9		9,1	9,2	11	9,1	12	12
DOC	mg/l	7,1		8,4	8,5	9,3	9,1	9,5	11
SAK bei 254 nm	1/m	24,1		21,3	31,6	27,1	26,1	30,6	34,1
SAK bei 436 nm	1/m	1,1		0,8	7,3	1,5	1,0	5,1	1,6
Säurekapazität -( pH 4,3 )	mmol/l	3,47		3,59	4,46	2,5	3,64	2,97	4,12
Säurekapazität -( pH 8,2 )	mmol/l	-		0,12	-	0,12	-	-	0,02
Basenkapazität -( pH 8,2)	mmol/l	0,03		-	0,16	-	0,18	0,01	-
Hydrogencarbonat	mg/l	212		219	272	153	222	181	251
Chlorid	mg/l	23		24	24	22	22	22	22
Ammonium-N	mg/l	0,025		0,027	1,45	0,012	0,512	0,030	3,27
Nitrit-N	mg/l	0,031		0,016	0,043	<0,001	0,058	<0,001	0,0020
Nitrat-N	mg/l	2,71		0,380	<0,05	<0,05	0,094	<0,05	<0,05
Gesamtstickstoff	mg/l	3,6		1,4	2,1	1,6	1,3	1,4	4,2
o-Phosphat-P	mg/l	0,035		0,0059	0,145	0,012	0,116	0,175	1,53
Gesamtphosphor	mg/l	0,08		0,051	0,18	0,13	0,18	0,26	1,35
Sulfat	mg/l	27,3		26,2	16,9	31,9	23,9	18,8	11,1
SiO <sub>2</sub>	mg/l	10,9		5,49	19,2	4,39	19,7	13,4	22,3
Natrium	mg/l	11,9							
Kalium	mg/l	3,74							
Calcium	mg/l	77,2							
Magnesium	mg/l	5,32							
Eisen	mg/l	0,24							
Mangan	mg/l	0,026							
Aluminium	mg/l								
Chlorophyll a	μg/l	8	•	24		117		93	
Phaeophytin	μg/l	9		7		8		1	

# Stendorfer See – Phytoplankton

	28.2.2002		12.6.2002		6.8.2002		16.9.2002	
	Abund.	Bio-Vol.	Abund. Bio-Vol.		Abund.	Bio-Vol.	Abund.	Bio-Vol.
	n/ml	mm <sup>3</sup> /l	n/ml	mm <sup>3</sup> /l	n/ml	mm³/l	n/ml	mm³/l
KI. Cyanophyceae								
<i>Anabaena</i> spp.					x		х	
<i>Anabaena</i> sp.							6547,73	0,490
Anabaena circinalis					х		х	
Anabaena crassa							х	
Aphanizomenon flos-aquae (Fäden)			23,14	0,029	4805,50	5,009	93,45	0,113
Merismopedia spp.							х	
Microcystis aeruginosa			x		1244,36	0,051	14482,44	0,599
Microcystis viridis					x		6354,60	0,623
Microcystis wesenbergii					5616,52	0,637	66148,80	7,504
Rhabdoderma lineare							х	
Woronichinia naegeliana			х		10537,68	0,323	5199,02	0,159
KI. Cryptophyceae								
Cryptomonas spp.	х		769,53	0,845	х		110,09	0,175
Rhodomonas cf. lens	117,81	0,057						
Rhodomonas minuta	1685,04	0,264	9735,90	1,033	х		х	
KI. Bacillariophyceae								
Ord.: Centrales								
Acanthoceras zachariasii					х		х	
Aulacoseira granulata	32,04	0,035	989,72	0,979	6013,74	7,213	510,75	0,469
Cyclotella spp.	*				х		х	
Stephanodiscus spp.	*		х				х	
Zentrale Diatomeen <12µm	8178,16	1,465						
Zentrale Diatomeen >30µm	28,48	0,452						
Ord.: Pennales								
Asterionella formosa	205,59	0,115	42,10	0,023			x	
Diatoma sp.			x					
Fragilaria spp.			x		x			
Fragilaria crotonensis	х		308,83	0,647				
Kl. Euglenophyceae								
Euglena spp.							x	
Trachelomonas spp.							х	

	28.2.2002		12.6.2002		6.8.2002	16.9.2002		
	Abund.	Bio-Vol.	Abund.	Bio-Vol.	Abund.	Bio-Vol.	Abund.	Bio-Vol.
	n/ml	mm <sup>3</sup> /l	n/ml	mm³/l	n/ml	mm³/l	n/ml	mm <sup>3</sup> /l
Kl. Chlorophyceae								
Ord.: Volvocales								
Chlamydomonas spp.			х					
Eudorina elegans							х	
Pandorina morum					х		x	
Volvox aureus							x	
Ord.: Chlorococcales								
Ankistrodesmus bibraianus							x	
Ankyra judayi			х					
Botryococcus braunii			х					
Coelastrum astroideum			x					
Dictyosphaerium spp.			x					
Kirchneriella spp.			х					
Pediastrum boryanum			х				х	
Pediastrum duplex			х				x	
Pediastrum tetras							x	
Scenedesmus spp.			х				х	
Ord.: Ulotrichales								
Gloeotila pelagica f. spiralis					х		x	
KI. Conjugatophyceae								
Closterium spp.							x	
Closterium aciculare			х		х		х	
Closterium acutum var. variabile							x	
Spirogyra spp.			х					
Staurastrum spp.							x	
Staurastrum chaetoceras							x	
KI. Haptophyceae								
Chrysochromulina parva			8957,03	0,145			х	
KI. Dinophyceae								
Ceratium spp.					22,25	1,152		
Ceratium hirundinella			7,00	0,474	204,70	11,825	х	
Woloszynskia pseudopalustris			х		16,02	0,318		
Kolkwitziella acuta							х	
Peridiniopsis polonicum					20,47	0,303	х	
Peridinium spp.					10,68	0,429	х	
Kl. Xanthophyceae								
Pseudostaurastrum limneticum			x				х	
Unbestimmte Flagellaten								
SUMME		2,389		4,175		27,261		10,131

# Stendorfer See – Zooplankton

	28.2.2002	12.6.2002	6.8.2002	16.9.2002
Ciliata				
Ciliata indet.		s	s	s
Trichodina sp.			W	
Rotatoria				
Asplanchna priodonta		s	s	s
Collotheca spp.		W	S	W
Conochiloides natans	S			
Conochiloides dossuarius				W
Conochilus unicornis		h	W	s
Gastropus cf. stylifer		W		
Euchlanis cf. dilatata				s
Filinia longiseta				mi
Filinia terminalis	S			
Kellicottia longispina				s
Keratella cochlearis	S	h	W	mi
K. c. f. tecta			mi	S
Keratella hiemalis	S			
Keratella quadrata		W		s
Polyarthra spp.				W
Polyarthra dolichoptera/vulgaris			w	*
Pompholyx sulcata		mi	W	W
cf. Synchaeta spp.		mi	S	
Trichocerca capucina		s	S	
Trichocerca cf. porcellus			mi	s
Trichocerca similis		s	S	W
Cladocera				
Bosmina (Eubosmina) coregoni		s	s	
Bosmina (Bosmina) longirostris	S			
Ceriodaphnia pulchella			s	s
Chydorus sphaericus			s	s
Daphnia longispina-Komplex Summe	S	W	s	s
Daphnia cucullata		w	s	s
Daphnia hyalina/galeata		s		
Leptodora kindtii		s	s	
Copepoda				
Nauplien	w	w	w	s
Calanoida				
Copepodide		W	s	s
Eudiaptomus graciloides	S	S	S	s
Cyclopoida				
Copepodide	S	S	w	s
Cyclops kolensis	S			
Mesocyclops leuckarti		S	S	s
Thermocyclops crassus		s	S	
Sonstige				
Bivalvia: Dreissena-Larven		w		
Chaoborus sp.				

# Stendorfer See - Makrozoobenthos

Taxon	26.4.2001	0,5 m	2 m	3 m	4 m	5 m	6 m	8 m
Oligochaeta								
Castropoda								
Acroloxus lacustris		2070	0000	2000		2201	1007	1000
Anisus vortex		65	t	t				t
Bithynia tentaculata			<u> </u>	<b>-</b> `-				
Cyraulus albus			44	44				
Potamopyrgus antipodarum				<del>- ''-</del>				
Radix sp.	·							
Valvata piscinalis		•	t					
Dreissena polymorpha	,	t		44	t	t	t	t
Dreissena polymorpha   t		<u> </u>	100	<del>- ''-</del>	,		_ `	
Pisdlum sp.   229   133   133   178   222   133   t		t		178				
Spheerium corneum			133		178	222	133	t
Unio tumidus				100	170	LLL	100	•
Hirudinea   33	•	<u> </u>	_ `	t				
Glossiphonia complanata   33				<b>-</b> `-				
Heliobdella stagnalis		33	1					
Hydrachnidia   229   311   577   89			133					
Crustacea         Asellus aquaticus         1012         Ephemeroptera           Caenis horaria         588         577         ————————————————————————————————————				577	89			
Asellus aquaticus	-		711	<del></del>	- 55			
Ephemeroptera         588         577           Caenis horaria         588         577           Caenis luctuosa         44         Heteroptera           Micronecta sp.         229         266           Trichoptera         Athripsodes cinereus         33           Athripsodes cinereus         33         Molanna angustata         65           Mystacides nigra         33         Mystacides sp.         33           Diptera         Chaoborus flavicans         44         1199         3330         5261           Chinonomidae         Chinotanypus nevosus         33         Frocladius sp.         1208         622         799         666         2486         3863         3885           Tanypus vilipennis         44         89         44         A4         89         44           Orthocladiinae         Annocladius bicolor         44         A4         89         44           Chironominae         Chironominae         1021         666         622         266           Chironomus plumosus-Gr.         98         44         44         44         44           Chironomus thummi-Gr.         65         133         178         44         44         44		1012						
Caenis Incluosa         44           Heteroptera         44           Micronecta sp.         229           Trichoptera         33           Athripsodes cinereus         33           Molanna angustata         65           Mystacides nigra         33           Mystacides sp.         33           Diptera         Chaoboridae           Chaoboridae         1199           Ciniconomidae         22799           Ciniconomidae         33           Ciniconomidae         44           Cinicoladiinae         44           Nanocladius bicolor         44           Chironominae         44           Chironominae         1021           Chironomus plumosus-Gr.         98           Chironomus thummi-Gr.         65           Cryptochironomus cf. vulne         33           Demicryptochironomus cf. vulne         33           Gilyptotendipes pallens         229 <td></td> <td></td> <td>1</td> <td><del>                                     </del></td> <td></td> <td></td> <td></td> <td></td>			1	<del>                                     </del>				
Caenis luctuosa		588		577				
Heteroptera   Micronecta sp.   229   266		300						
Micronecta sp.         229         266           Trichoptera         Athripsodes cinereus         33           Molanna angustata         65         5           Mystacides nigra         33         Mystacides sp.           Diptera         Chaoboridae         Chaoboridae           Chaoboridae         Chironomidae         44         1199         3330         5261           Chironomidae         Clinotanypus nevosus         33         Procladius sp.         1208         622         799         666         2486         3863         3885           Zanypus vilipennis         44         89         44           Orthocladiinae         44         89         44           Orthocladius bicolor         44         89         44           Chironominie         44         1021         666         622         266           Chironomus plumosus-Gr.         98         44         44         44           Chironomus semireductus-Gr.         98         44         65         65         65         65         65         65         65         65         65         65         65         65         65         65         65         65         133         178 <td></td> <td></td> <td></td> <td></td> <td></td> <td></td> <td></td> <td></td>								
Trichoptera		229		266				
Athripsodes cinereus         33           Molanna angustata         65           Mystacides nigra         33           Mystacides sp.         33           Diptera								
Molanna angustata         65           Mystacides nigra         33           Mystacides sp.         33           Diptera         Chaoboridae           Chaoborus flavicans         44         1199         3330         5261           Chironomidae         Clinotanypus nevosus         33         790         666         2486         3863         3885           Procladius sp.         1208         622         799         666         2486         3863         3885           Tanypus vilipennis         44         89         44           Orthocladiinae         44         89         44           Nanocladius bicolor         44         44         44           Chironominae         Chironomini         666         622         266           Chironomus plumosus-Gr.         1021         666         622         266           Chironomus semireductus-Gr.         98         44         44         44           Chironomus thummi-Gr.         65         65         65         65         65         65         65         65         65         65         65         65         65         65         65         65         65         65         65		33						
Mystacides nigra         33           Mystacides sp.         33           Diptera         Chaoboridae           Chaoboridae         44           Chironomidae         2           Chironomidae         33           Procladius sp.         1208           Focladius sp.         1208           Focladius sp.         44           Additionae         44           Nanocladius bicolor         44           Chironominae         44           Chironomini         5           Chironomus plumosus-Gr.         1021           Chironomus thummi-Gr.         65           Chironomus thummi-Gr.         65           Cryptochironomus cf. vulne         33           Dicrotendipes modestus         65           Glyptotendipes paripes         98           Microtendipes paripes         98           Microtendipes cf. pedellus         65           Polypedilum cf. nubeculosum         33           Tribelos intextus         196           Tanytarsini         Cladotanytarsus sp.           Cladotanytarsus sp.         33           44         44								
Diptera   Chaoboridae   Chaoboridae   Chaoboridae   Chaoboridae   Chironomidae   Clinotanypus nevosus   33   Procladius sp.   1208   622   799   666   2486   3863   3885   387   3885	ŭ							
Diptera         Chaoboridae           Chaoborus flavicans         44         1199         3330         5261           Chironomidae         33         799         666         2486         3863         3885           Procladius sp.         1208         622         799         666         2486         3863         3885           Tanypus vilipennis         44         89         44           Orthocladiinae         44         89         44           Nanocladius bicolor         44         44         44           Chironominae         65         65         65         66         622         266           Chironomus plumosus-Gr.         98         44         44         44         44         44         44         44         44         666         622         266         666         622         266         666         622         266         666         622         266         666         622         266         666         622         266         666         622         266         666         665         666         665         666         665         666         666         666         666         666         666         66								
Chaoboridae         44         1199         3330         5261           Chironomidae         2         2         33         5261           Clinotarypus nevosus         33         3         862         799         666         2486         3863         3885           Tanypus vilipennis         44         89         44         89         44           Orthocladiinae         44         89         44         44           Chironominae         44         89         44           Chironominae         44         1021         666         622         266           Chironomus plumosus-Gr.         98         44         666         622         266           Chironomus semireductus-Gr.         98         44         666         622         266           Chironomus semireductus-Gr.         98         44         666         622         266           Chironomus thummi-Gr.         65         70		- 00						
Chaoborus flavicans         44         1199         3330         5261           Chironomidae         33         1208         622         799         666         2486         3863         3885           Tanypus vilipennis         44         89         44           Orthocladiinae         44         89         44           Nanocladius bicolor         44         666         622         266           Chironominae         65         1021         666         622         266           Chironomus plumosus-Gr.         98         44         666         622         266           Chironomus semireductus-Gr.         98         44         666         622         266           Cryptochironomus sp.         98         89         133         44         666         133<								
Chironomidae         33           Clinotanypus nevosus         33           Procladius sp.         1208         622         799         666         2486         3863         3885           Tanypus vilipennis         44         89         44           Orthocladiinae         44         89         44           Nanocladius bicolor         44         66         622         266           Chironominae         66         622         266         66         622         266           Chironomus plumosus-Gr.         98         44         666         622         266           Chironomus semireductus-Gr.         98         89         133         44         44         66         622         266           Chironomus semireductus-Gr.         98         89				44		1199	3330	5261
Clinotanypus nevosus         33           Procladius sp.         1208         622         799         666         2486         3863         3885           Tanypus vilipennis         44         89         44           Orthocladiinae         44         89         44           Nanocladius bicolor         44         666         622         266           Chironominae         1021         666         622         266           Chironomus plumosus-Gr.         98         44         666         622         266           Chironomus semireductus-Gr.         98         44         65         65         65         65         65         65         65         65         65         65         65         65         65         65         65         65         133         178         66         65				· · ·		1100	0000	0201
Procladius sp.         1208         622         799         666         2486         3863         3885           Tanypus vilipennis         44         89         44           Orthocladiinae         44         89         44           Nanocladius bicolor         44         44         44           Chironominae         5         65         66         622         266           Chironomus plumosus-Gr.         98         44         666         622         266           Chironomus semireductus-Gr.         98         44         666         622         266           Chironomus thummi-Gr.         65		33						
Tanypus vilipennis         44         89         44           Orthocladiinae         44			622	799	666	2486	3863	3885
Orthocladiinae         44           Nanocladius bicolor         44           Chironominae         1021           Chironomus plumosus-Gr.         1021           Chironomus semireductus-Gr.         98           Chironomus thummi-Gr.         65           Cryptochironomus sp.         98           Demicryptochironomus cf. vulne         33           Dicrotendipes modestus         65           Glyptotendipes pallens         229           Glyptotendipes paripes         98           Microtendipes cf. pedellus         65           Polypedilum cf. nubeculosum         33           Polypedilum sp.         44           Tribelos intextus         196           Tanytarsini         Cladotanytarsus sp.           33         44           Tanytarsus sp.         33           44         44	•	1200	022		000			
Nanocladius bicolor         44           Chironominae								
Chironomini         1021         666         622         266           Chironomus plumosus-Gr.         98         44				44				
Chironomini         1021         666         622         266           Chironomus plumosus-Gr.         98         44				· · ·				
Chironomus plumosus-Gr.         1021         666         622         266           Chironomus semireductus-Gr.         98         44								
Chironomus semireductus-Gr.         98         44           Chironomus thummi-Gr.         65           Cryptochironomus sp.         98         89         133         44           Demicryptochironomus cf. vulne         33         178         <					1021	666	622	266
Chironomus thummi-Gr.         65           Cryptochironomus sp.         98         89         133         44           Demicryptochironomus cf. vulne         33         33         33         33         33         33         34         33         34 <td< td=""><td></td><td>98</td><td></td><td>44</td><td>1021</td><td></td><td>- J22</td><td>200</td></td<>		98		44	1021		- J22	200
Cryptochironomus sp.         98         89         133         44           Demicryptochironomus cf. vulne         33				<del>- ' '</del>				
Demicryptochironomus cf. vulne         33           Dicrotendipes modestus         65         133         178           Glyptotendipes pallens         229         65         133         178           Glyptotendipes paripes         98			89	133	44			
Dicrotendipes modestus         65         133         178           Glyptotendipes pallens         229         8           Glyptotendipes paripes         98         98           Microtendipes cf. pedellus         65         89           Polypedilum cf. nubeculosum         33         44         89           Polypedilum sp.         44         44         44           Tribelos intextus         196         196         196           Tanytarsini         102         103         104         104           Cladotanytarsus sp.         33         44         44         144			- 55	1.55	<del>' ' ' ' ' ' ' ' ' ' ' ' ' ' ' ' ' ' ' </del>			
Glyptotendipes pallens         229           Glyptotendipes paripes         98           Microtendipes cf. pedellus         65           Polypedilum cf. nubeculosum         33         44           Polypedilum sp.         44           Tribelos intextus         196           Tanytarsini         Cladotanytarsus sp.         33         44           Tanytarsus sp.         33         44         44			133	178				
Glyptotendipes paripes         98           Microtendipes cf. pedellus         65           Polypedilum cf. nubeculosum         33         44           Polypedilum sp.         44           Tribelos intextus         196           Tanytarsini         Cladotanytarsus sp.         33         44           Tanytarsus sp.         33         44         44			1.00	<del></del>				
Microtendipes cf. pedellus         65           Polypedilum cf. nubeculosum         33         44           Polypedilum sp.         44           Tribelos intextus         196           Tanytarsini         Cladotanytarsus sp.         33         44           Tanytarsus sp.         33         44         44								
Polypedilum cf. nubeculosum         33         44         89           Polypedilum sp.         44         44           Tribelos intextus         196         5           Tanytarsini         6         6           Cladotanytarsus sp.         33         44           Tanytarsus sp.         33         44           44         44         44								
Polypedilum sp.         44           Tribelos intextus         196           Tanytarsini            Cladotanytarsus sp.         33         44           Tanytarsus sp.         33         44			44				89	
Tribelos intextus         196           Tanytarsini								
Tanytarsini         Cladotanytarsus sp.         33         44         44           Tanytarsus sp.         33         44         44		196	<del>  ''</del>					
Cladotanytarsus sp.         33         44           Tanytarsus sp.         33         44         44								
Tanytarsus sp.         33         44         44		33	44					
					44			
CELAROGOGIUGAE   474   69   777   178   44   178   77	Ceratopogonidae	424	89	222	178	44	178	22

## Sibbersdorfer See – Ufer- und Unterwasservegetation

#### **Tauchblattzone**

Wissenschaftlicher Artname	Deutscher Artname	Rote Liste	Häufigkeit
Butomus umbellatus	Schwanenblume		W
Callitriche spec.	Wasserstern		W
Chlorophyceae	Fädige Grünalgen		D
Elodea canadensis	Kanadische Wasserpest		W
Potamogeton cripus	Krauses Laichkraut		W
Potamogeton pectinatus	Kamm-Laichkraut		Z
Potamogeton pusillus agg.	Zwerg-Laichkraut	3	W
Ranunculus circinatus	Spreizender Wasserhahnenfuß		W
Sparganium cf. emersum	Einfacher Igelkolben		W
Zannichellia palustris	Sumpf-Teichfaden		Z

#### Schwimmblattzone

Wissenschaftlicher Artname	Deutscher Artname	Rote Liste	Häufigkeit
Lemna minor	Kleine Wasserlinse		W
Nuphar lutea	Gelbe Teichrose		D
Nymphaea alba	Weiße Seerose		W

Wissenschaftlicher Artname	Deutscher Artname	Rote Liste	Häufigkeit
Achillea ptarmica	Sumpf-Schafgarbe		W
Acorus calamus	Kalmus		D
Agrostis stolonifera	Weißes Straußgras		Z
Ajuga reptans	Kriechender Günsel		W
Alisma plantago-aquatica	Gewöhnlicher Froschlöffel		W
Alnus glutinosa	Schwarz-Erle		D
Alopecurus geniculatus	Knick-Fuchsschwanz		Z
Alopecurus pratensis	Wiesen-Fuchsschwanz		W
Anthriscus sylvestris	Wiesen-Kerbel		Z
Angelica sylvestris	Wald-Engelwurz		W
Berula erecta	Berle		W
Calamagrostis canescens	Sumpf-Reitgras		Z
Callitriche spec.	Wasserstern		W
Caltha palustris	Sumpf-Dotterblume		Z
Calystegia sepium	Gewöhnliche Zaunwinde		Z
Cardamine pratensis agg.	Wiesen-Schaumkraut		Z
Carex acuta	Schlank-Segge		Z
Carex acutiformis	Sumpf-Segge		D
Carex disticha	Zweizeilige Segge		Z
Carex elata	Steif-Segge		W
Carex hirta	Behaarte Segge		W
Carex nigra	Wiesen-Segge		W
Carex paniculata	Rispen-Segge		Z
Carex rostrata	Schnabel-Segge		W
Carex vesicaria	Blasen-Segge		Z
Cerastium holosteoides	Gewöhnliches Hornkraut		Z
Cirsium palustre	Sumpf-Kratzdistel		W
Cynosurus cristatus	Kammgras		Z

Röhrichte, Bruchwälder, Feuchtgrünland und weitere angrenzende Flächen

Wissenschaftlicher Artname	Deutscher Artname	Rote Liste	Häufigkei
Eleocharis palustris	Gewöhnliche Sumpfbinse		Z
Epilobium hirsutum	Zottiges Weidenröschen		Z
Equisetum fluviatile	Teich-Schachtelhalm		W
Equisetum palustre	Sumpf-Schachtelhalm		Z
Eupatorium cannabinum	Wasserdost		Z
Fagus sylvatica	Rot-Buche		W
Festuca pratensis	Wiesen-Schwingel		Z
Filipendula ulmaria	Echtes Mädesüß		Z
Fraxinus excelsior	Gewöhnliche Esche		W
Galium aparine	Kletten-Labkraut		Z
Galium palustre	Sumpf-Labkraut		Z
Geum rivale	Bach-Nelkenwurz		W
Glechoma hederacea	Gundermann		Z
Glyceria fluitans	Flutender Schwaden		Z
Glyceria maxima	Wasser-Schwaden		Z
Holcus lanatus	Wolliges Honiggras		Z
Humulus lupulus	Hopfen		Z
Hydrocotyle vulgaris	Wassernabel		Z
Iris pseudacorus	Sumpf-Schwertlilie		Z
Juncus articulatus	Glieder-Binse		Z
Juncus bufonius	Kröten-Binse		W
Juncus effusus	Flatter-Binse		Z
Juncus effusus Juncus inflexus	Blaugrüne Binse		Z
Lathyrus pratensis	Wiesen-Platterbse		Z
Lemna minor	Kleine Wasserlinse		W
Lotus uliginosus	Sumpf-Hornklee		Z
	Kuckucks-Lichtnelke		W W
Lychnis flos-cuculi			Z
Lycopus europaeus	Ufer-Wolfstrapp		Z
Lysimachia nummularia	Pfennigkraut Strauß-Gilbweiderich	2	
Lysimachia thyrsiflora		3	W
Lysimachia vulgaris	Gewöhnlicher Gilbweiderich		Z
Lythrum salicaria	Blut-Weiderich		W
Mentha aquatica	Wasser-Minze	2	Z
Menyanthes trifoliata	Fieberklee	3	W
Myosotis palustris agg.	Sumpf-Vergißmeinnicht		Z
Phalaris arundinacea	Rohr-Glanzgras		Z
Phragmites australis	Schilf		D
Poa trivialis	Gewöhnliches Rispengras		Z
Polygonum amphibium	Wasser-Knöterich		W
Polygonum hydropiper	Wasserpfeffer		W
Populus spec.	Pappel		W
Potentilla anserina	Gänse-Fingerkraut		Z
Potentilla palustris	Sumpf-Blutauge		W
Quercus robur	Stiel-Eiche		W
Ranunculus acris	Scharfer Hahnenfuß		W
Ranunculus lingua	Zungen-Hahnenfuß	3	W
Ranunculus repens	Kriechender Hahnenfuß		Z
Rorippa amphibia	Wasser-Sumpfkresse		Z
Rubus caesius	Kratzbeere		Z
Rubus fruticosus agg.	Brombeere		Z
Rumex acetosa	Wiesen-Sauerampfer		Z
Rumex hydrolapathum	Fluß-Ampfer		W

Wissenschaftlicher Artname	Deutscher Artname	Rote Liste	Häufigkeit
Salix caprea	Sal-Weide		W
Salix cinerea	Grau-Weide		Z
Salix pentandra	Lorbeer-Weide		W
Salix spec.	Weide		Z
Salix viminalis	Korb-Weide		W
Schoenoplectus lacustris	Seebinse		W
Scirpus sylvaticus	Wald-Simse		W
Scutellaria galericulata	Sumpf-Helmkraut		W
Solanum dulcamara	Bittersüßer Nachtschatten		Z
Sparganium erectum	Ästiger Igelkolben		Z
Stachys palustris	Sumpf-Ziest		Z
Stellaria palustris	Sumpf-Sternmiere	3	Z
Thelypteris palustris	Sumpffarn	3	W
Trifolium repens	Weiß-Klee		Z
Triglochin palustre	Sumpf-Dreizack	3	W
Typha angustifolia	Schmalblättriger Rohrkolben		Z
Typha latifolia	Breitblättriger Rohrkolben		W
Urtica dioica	Große Brennessel		Z
Valeriana officinalis agg.	Echter Baldrian		Z
Veronica beccabunga	Bachbungen-Ehrenpreis		Z
Veronica scutellata	Schild-Ehrenpreis	3	W

# Sibbersdorfer See – Physikalische und chemische Befunde EDV-Nr.: 129174

Probenahmedatum		28.2.	.2002	12.6.	2002	7.8.2	2002	16.9	.2002
Uhrzeit [ME(S)Z]		14	:30	14	:30	14:	:15		:00
Windrichtung		S	W		S	N	0	ı	V
Windstärke	Bft.	4	-5	2	-3	3-	-4	1	-2
Lufttemperatur	°C	4	,7	15	5,2	21	,7	17	7,1
Luftdruck	hPa	99	91	10	10	10	13	10	12
Sichttiefe	m	0,	60	1,	10	0,0	60	0,	50
Entnahmetiefe	m	1	4,5	1	7	1	7	1	7
Wassertemperatur	°C	4,8		19,6	19,4	21,6	18,0	18,6	18,4
Leitfähigkeit b. 25 °C	mS/m	49,3		50,1	50,7	41,2	47,0	42,9	41,8
pH - Wert		8,46		8,55	8,32	8,65	7,66	8,95	8,80
Farbe		38		37	1	37	1	37	37
Trübung		5		5	3	3	3	5	5
Geruch		1		1	1	1	32	1	1
Sauerstoff	mg/l	13,4	13,4	10,1	7,2	12	1,1	10,3	9
O <sub>2</sub> -Sättigungsindex	%	107	94	111	78	136	12	110	96
тос	mg/l	10		9,4	9,5	13	9,7	13	14
DOC	mg/l	7,9		9,0	8,9	10	9,3	10	11
SAK bei 254 nm	1/m	26,2		23,7	23,5	30,2	28,5	27,6	29,7
SAK bei 436 nm	1/m	1,0		0,9	0,9	1,4	1,2	1	2,7
Säurekapazität -( pH 4,3 )	mmol/l	3,64		3,82	3,84	3,05	3,69	3,21	3,23
Säurekapazität -( pH 8,2 )	mmol/l	0,05		0,08	-	0,10	-	0,21	0,14
Basenkapazität -( pH 8,2)	mmol/l	-		-	0,02	-	0,2	-	-
Hydrogencarbonat	mg/l	222		233	234	186	225	196	197
Chlorid	mg/l	23		25	24	22	22	23	26
Ammonium-N	mg/l	0,011		0,062	0,209	0,025	0,262	0,014	0,018
Nitrit-N	mg/l	0,022		0,019	0,017	0,0063	0,011	0,0031	0,0023
Nitrat-N	mg/l	2,33		0,201	0,191	<0,05	<0,05	<0,05	<0,05
Gesamtstickstoff	mg/l	3,4		1,5	1,3	2,0	1,1	1,8	2,0
o-Phosphat-P	mg/l	0,01		0,052	0,072	0,036	0,241	0,150	0,092
Gesamtphosphor	mg/l	0,09		0,15	0,13	0,21	0,33	0,30	0,29
Sulfat	mg/l	28,8		30,3	29,9	30,2	26,8	25,5	24,2
SiO <sub>2</sub>	mg/l	2,94		8,16	9,37	18,2	27,5	21,1	21,0
Natrium	mg/l	11,5							
Kalium	mg/l	4,0							
Calcium	mg/l	81							
Magnesium	mg/l	5,94							
Eisen	mg/l	0,43							
Mangan	mg/l	0,054							
Aluminium	mg/l								
Chlorophyll a	μg/l	59		53		100		126	
Phaeophytin	μg/l	2		6		6		6	

# Sibbersdorfer See – Phytoplankton

Nimi		18.2.2002		12.6.2002		7.8.2002		16.9.2002	
Ki   Cyanophyceae   Anabaena sp.		Abund.	Bio-Vol.	Abund.	Bio-Vol.	Abund.	Bio-Vol.	Abund.	Bio-Vol.
Anabaena spp. Anabaena sp. Anabaena compacta Anabaena compacta Anabaena flos-aquae (Fāden) Aphanizomenon flos-aquae (Fāden) Aphanizomenon flos flos aduae (Fāden) Aphanizomenon flos flos aduae (Fāden) Aphanizomenon flos aduae (Fāden) Aphani		n/mI	mm <sup>3</sup> /l	n/ml	mm <sup>3</sup> /l	n/ml	mm <sup>3</sup> /l	n/ml	mm <sup>3</sup> /l
Anabaena sp.  Anabaena sp.  Anabaena compacta  Anabaena compacta  Anabaena flos-aquae/ A. perturbate  Aphanizomenon flos-aquae (Fāden)  Aphanizomenon cl. gracile (Fāden)  Aphanizomenon cl. gracile (Fāden)  Aphanizomenon cl. gracile (Fāden)  Aphanizomenon cl. gracile (Fāden)  Aphanizomenon flos-aquae (Fāden)  Aphanizomenon cl. gracile (Fāden)  Aphanizoris sep.  Aphanizoris	Kl. Cyanophyceae								
Anabaena compacta Anabaena flos-aquae (Faden) Aphanizomenon flos-aquae (Fäden) Afficrocystis aenuginosa Afficrocystis ae	Anabaena spp.			x		Х			
Anabaena flos-aquae/ A. perturbata Aphanizomenon flos-aquae (Faden) Afticrocystis spp.  x 15694,13 1,538 23062,86 0, Microcystis spp.  x 15694,13 1,538 23062,86 0, Microcystis spp. Afticrocystis pos-aquae Microcystis viridis Afticrocystis vesenbergii  Pseudanabaena limnetica  X Woronichinia naegeliana Unbestimmte trichale Cyanophyceen  KI. Cryptophyceae  Cryptomonas spp. (> 20 µm)  Attala, 28 3,180  Cryptomonas rindiformis  149,94 0,931 X  Flodomonas minuta  574,77 0,079 2661,15 0,313 X  KI. Bacillarlophyceae  Ord.: Centrales  Acanthocoreas zachariasii  Aulacoseira granulata 34,71 0,043 X 190,68 0,219  Aluacoseira granulata Aluacoseira granulata Aluacoseira granulata Aluacoseira granulata Aluacoseira granulata var. angustissima  Cyclotelal spp.  X  X  X  Mellosira varians  X  X  X  Stephanodiscus pep.  378,42 0,869  Zentrale Diatomeen <20µm  1688,61 15,637  Zentrale Diatomeen >20µm  1688,61 15,637  X  X  X  X  X  X  X  X  X  X  X  X  X	Anabaena sp.			117,30	0,069				
Aphanizomenon filos-aquae (Fäden)         19,13         0,040         381,36         0,454         x           Aphanizomenon ci. gracile (Fäden)         x         x         x         x           Aphanizomenon issatischenkoi (Fäden)         145,28         0,158         x           Microcystis spp.         x         15694,13         1,538         23062,86         0,0           Microcystis spp.         x         15694,13         1,538         23062,86         0,0           Microcystis spp.         x         15694,13         1,538         23062,86         0,0           Microcystis versentergi         x         3694,75         0,391         24073,73         1,           Microcystis wesenbergii         x         8241,40         0,935         42152,68         4,           Pseudanabaena limnetica         x         Woronichinia naegeliana         y         933,23         0,036         16346,27         0,567         19875,57         0,           Woronichinia naegeliana         y         933,23         0,036         16346,27         0,567         19875,57         0,           KI Cryptomonas spp. (< 20 μm)	Anabaena compacta					х			
Aphanizomenon cf. gracile (Fäden) Aphanizomenon issatschenkoi (Fäden) Microcystis sepp.  ***X*** ***X*** ***Aphanizomenon issatschenkoi (Fäden) Microcystis sepp.  ***Aphanizomenon issatschenkoi (Fäden)  ***Aphani	Anabaena flos-aquae/ A. perturbata					28327,33	2,776	х	
Aphanizomenon issatschenkoi (Fäden)  Alfonorystis spr.  Alfonorystis wesenbergii	Aphanizomenon flos-aquae (Fäden)			19,13	0,040	381,36	0,454	x	
Microcystis spp.   X   15694,13   1,538   23062,86   0, Microcystis aeruginosa   4511,50   0,442   * 115492,6   11     Microcystis flos-aque   4511,50   0,442   * 115492,6   11     Microcystis viridis   X   8241,40   0,935   42152,68   4, Microcystis wesenbergii   X   8241,40   0,935   42152,68   4, Microcystis winding wesenbergii   X   8241,40   0,935   42152,68   4, Microcystis wesenbergii   X   8241,40   0,931   42473,73   4, Microcystis wesenbergii   X   8241,40   0,931   42473,73	Aphanizomenon cf. gracile (Fäden)					х		Х	
Microcystis aeruginosa Microcystis flos-aque Microcystis flos-aque Microcystis viridis Microcystis viridis  x 8641,40 0,935 42152,68 4,  Pseudanabaena limnetica x Woronichinia naegeliana Unbestimmte trichale Cyanophyceen KI. Cryptophyceae Cryptomonas spp. (> 20 μm) Cryptomonas cit. lens Rhodomonas cit. lens Rhodomonas cit. lens Rhodomonas dinuta 574,77 0,079 2661,15 0,313 x  KI. Bacillariophyceae Ord.: Centrales Acanthoceras zachariasii Aulacoseira granulata Aulacoseira granulata Aulacoseira granulata Aulacoseira granulata X X X X Stephanodiscus spp. X X X X X Stephanodiscus spp. X X X X X Stephanodiscus neoastraea Zentrale Diatomeen 12-20μm Zentrale Diatomeen 12-20μm Zentrale Diatomeen 2-20μm 1688,61 15,637 Cryclina x X X X X X X X X X X X X X X X X X X X	Aphanizomenon issatschenkoi (Fäden)					145,28	0,158	Х	
Microcystis viridis         *	Microcystis spp.			х		15694,13	1,538	23062,86	0,953
Microcystis viridis         3694,75         0,391         24073,73         1, Microcystis wesenbergii           Pseudanabaena limnetica         x         8241,40         0,935         42152,68         4, Pseudanabaena limnetica           Woronichinia naegeliana         933,23         0,036         16346,27         0,567         19875,57         0, 0, 0, 0, 0, 0, 0, 0, 0, 0, 0, 0, 0, 0	Microcystis aeruginosa			4511,50	0,442	*		115492,6	11,317
Microcystis wesenbergii	Microcystis flos-aque					*			
Pseudanabaena limnetica	Microcystis viridis					3694,75	0,391	24073,73	1,580
Woronichinia naegeliana	Microcystis wesenbergii			x		8241,40	0,935	42152,68	4,782
Unbestimmte trichale Cyanophyceen   x   X   KI. Cryptophyceae   Cryptomonas spp.   19,29   0,029   3648,54   7,597     x   X   Cryptomonas spp.   20,009   3648,54   7,597     x   X   X   X   X   X   X   X   X	Pseudanabaena limnetica	х							
KI. Cryptomonas spp.   19,29   0,029   3648,54   7,597	Woronichinia naegeliana			933,23	0,036	16346,27	0,567	19875,57	0,690
Cryptomonas spp.       19,29       0,029       3648,54       7,597       x         Cryptomonas spp. (> 20 μm)       1442,28       3,180       714,00       0,672         Cryptomonas spp. (< 20 μm)	Unbestimmte trichale Cyanophyceen							х	
Cryptomonas spp. (> 20 μm)       1442,28       3,180         Cryptomonas spp. (< 20 μm)	KI. Cryptophyceae								
Cryptomonas spp. (< 20 µm)         714,00         0,672           Cryptomonas rostratiformis         149,94         0,931         x           Rhodomonas cf. lens         39,27         0,019         2661,15         0,313         x           Rhodomonas minuta         574,77         0,079         2661,15         0,313         x           KI. Bacillariophyceae         Ord.: Centrales           Acanthoceras zachariasii         x         190,68         0,219           Aulacoseira granulata         34,71         0,043         x         1856,40         2,345         728,34         0,           Aulacoseira granulata var. angustissima         x         1856,40         2,345         728,34         0,           Cyclotella spp.         x         x         x         x         x         x           Melosira varians         x         x         x         x         x         x         x           Rhizosolenia sp.         x         x         x         x         x         x         x           Stephanodiscus neoastraea         *         x         x         x         x         x         x           Zentrale Diatomeen < 12-20µm         1688,61         15,637	Cryptomonas spp.	19,29	0,029	3648,54	7,597			х	
Cryptomonas rostratiformis  Rhodomonas cf. lens  39,27 0,019  Rhodomonas minuta  574,77 0,079 2661,15 0,313 x  KI. Bacillariophyceae  Ord.: Centrales  Acanthoceras zachariasii  Aulacoseira granulata  34,71 0,043 x 190,68 0,219  Aulacoseira granulata var. angustissima  Cyclotella spp.  Melosira varians  X  X  X  X  Mizsoolenia sp.  Stephanodiscus spp.  *  Zentrale Diatomeen 12-μm  Zentrale Diatomeen 12-20μm  Tentrale Diatomeen >20μm  Tentrale Diatomeen >20μ	Cryptomonas spp. (> 20 μm)					1442,28	3,180		
Rhodomonas cf. lens       39,27       0,019         Rhodomonas minuta       574,77       0,079       2661,15       0,313       x         KI. Bacillariophyceae       Ord.: Centrales         Acanthoceras zachariasii       x       190,68       0,219         Aulacoseira granulata       34,71       0,043       x       1856,40       2,345       728,34       0,         Aulacoseira granulata var. angustissima       Cyclotella spp.       x       x         Melosira varians       x       x         Rhizosolenia sp.       x       x         Stephanodiscus spp.       *       x       x         Stephanodiscus neoastraea       *       x       x       x         Zentrale Diatomeen <12-µm	Cryptomonas spp. (< 20 μm)					714,00	0,672		
Rhodomonas cf. lens       39,27       0,019         Rhodomonas minuta       574,77       0,079       2661,15       0,313       x         KI. Bacillariophyceae       Ord.: Centrales         Acanthoceras zachariasii       x       190,68       0,219         Aulacoseira granulata       34,71       0,043       x       190,68       0,219         Aulacoseira granulata       34,71       0,043       x       1856,40       2,345       728,34       0,         Aulacoseira granulata var. angustissima       x       x       1856,40       2,345       728,34       0,         Cyclotella spp.       x <td>Cryptomonas rostratiformis</td> <td></td> <td></td> <td>149,94</td> <td>0,931</td> <td>х</td> <td></td> <td></td> <td></td>	Cryptomonas rostratiformis			149,94	0,931	х			
KI. Bacillariophyceae   Ord.: Centrales	Rhodomonas cf. lens	39,27	0,019						
Ord.: Centrales         Acanthoceras zachariasii       x       190,68       0,219         Aulacoseira granulata       34,71       0,043       x       1856,40       2,345       728,34       0,         Aulacoseira granulata var. angustissima       367,71       0,160       x         Cyclotella spp.       *       x       x         Melosira varians       x       x       x         Rhizosolenia sp.       x       x       x         Stephanodiscus spp.       *       x       *       x         Stephanodiscus neoastraea       *       x       x       x         Zentrale Diatomeen <12µm	Rhodomonas minuta	574,77	0,079	2661,15	0,313	х			
Acanthoceras zachariasii       x       190,68       0,219         Aulacoseira granulata       34,71       0,043       x       1856,40       2,345       728,34       0,         Aulacoseira granulata var. angustissima       367,71       0,160       x         Cyclotella spp.       *       x       x         Melosira varians       x       x       x         Rhizosolenia sp.       x       x       x         Stephanodiscus spp.       *       x       x         Stephanodiscus neoastraea       *       x       x       x         Zentrale Diatomeen <12μm	KI. Bacillariophyceae								
Aulacoseira granulata       34,71       0,043       x       1856,40       2,345       728,34       0,         Aulacoseira granulata var. angustissima       367,71       0,160       x         Cyclotella spp.       *       x       x         Melosira varians       x       x       x         Rhizosolenia sp.       x       x       x         Stephanodiscus spp.       *       x       *         Zentrale Diatomeen <12μm	Ord.: Centrales								
Aulacoseira granulata var. angustissima       367,71       0,160         Cyclotella spp.       *       x         Melosira varians       x       x         Rhizosolenia sp.       x       x         Stephanodiscus spp.       *       x         Stephanodiscus neoastraea       *         Zentrale Diatomeen <12μm	Acanthoceras zachariasii			х		190,68	0,219		
Cyclotella spp.       *       x         Melosira varians       x       x         Rhizosolenia sp.       x       x         Stephanodiscus spp.       *       x       x         Stephanodiscus neoastraea       *       x       x         Zentrale Diatomeen <12μm       20380,48       3,511       378,42       0,869         Zentrale Diatomeen 12-20μm       1688,61       15,637       267,75       1,880         Ord.: Pennales         Amphora sp.       Asterionella formosa       276,79       0,159       x       x         Fragilaria crotonensis       x       x       x         Nitzschia sp.       x       x       x	Aulacoseira granulata	34,71	0,043	х		1856,40	2,345	728,34	0,482
Melosira varians         x         x           Rhizosolenia sp.         x         x           Stephanodiscus spp.         *         x         *           Stephanodiscus neoastraea         *         x         x           Zentrale Diatomeen <12 μm         20380,48         3,511           Zentrale Diatomeen 12-20 μm         378,42         0,869           Zentrale Diatomeen >20 μm         1688,61         15,637         267,75         1,880           Ord.: Pennales           Amphora sp.         Asterionella formosa         276,79         0,159         x         x           Fragilaria crotonensis         x         x         x           Nitzschia sp.         x         x	Aulacoseira granulata var. angustissima					367,71	0,160		
Rhizosolenia sp.	Cyclotella spp.					*		Х	
Stephanodiscus spp.       *       x       *       x         Stephanodiscus neoastraea       *       Zentrale Diatomeen <12μm	Melosira varians	Х		х					
Stephanodiscus spp.       *       x       *       x         Stephanodiscus neoastraea       *       Zentrale Diatomeen <12μm	Rhizosolenia sp.					х			
Zentrale Diatomeen <12μm	Stephanodiscus spp.	*		х		*		х	
Zentrale Diatomeen <12μm	Stephanodiscus neoastraea	*							
Zentrale Diatomeen 12-20μm 378,42 0,869  Zentrale Diatomeen >20μm 1688,61 15,637 267,75 1,880  Ord.: Pennales  Amphora sp.  Asterionella formosa 276,79 0,159 x x  Fragilaria crotonensis x x  Nitzschia sp. x		20380,48	3,511						
Zentrale Diatomeen >20μm 1688,61 15,637 267,75 1,880  Ord.: Pennales  Amphora sp.  Asterionella formosa 276,79 0,159 x x  Fragilaria crotonensis x x  Nitzschia sp. x	'	, -	•			378,42	0,869		
Ord.: Pennales  Amphora sp.  Asterionella formosa 276,79 0,159 x x  Fragilaria crotonensis x x  Nitzschia sp. x x		1688,61	15,637						
Asterionella formosa 276,79 0,159 x x  Fragilaria crotonensis x x  Nitzschia sp. x	,	•				•			
Asterionella formosa 276,79 0,159 x x  Fragilaria crotonensis x x  Nitzschia sp. x	Amphora sp.								
Fragilaria crotonensis x x x Nitzschia sp. x x	Asterionella formosa	276,79	0,159	х		х			
Nitzschia sp. x x	Fragilaria crotonensis	·							
	Nitzschia sp.					х			
Prinzscria sp. (epiphyliscri) 4179,48 0,	Nitzschia sp. (epiphytisch)							4179,48	0,342
Nitzschia cf. acicularis x				x				, -	•
KI. Euglenophyceae	KI. Euglenophyceae								
Euglena spp. 17,02 0,068		17.02	0,068						

	18.2.2002		12.6.2002		7.8.2002		16.9.2002	)
	Abund.	Bio-Vol.	Abund.	Bio-Vol.	Abund.	Bio-Vol.	Abund.	Bio-Vol.
	n/ml	mm <sup>3</sup> /l	n/ml	mm <sup>3</sup> /l	n/ml	mm <sup>3</sup> /l	n/ml	mm <sup>3</sup> /l
KI. Chlorophyceae								
Ord.: Volvocales								
Pandorina morum			х				х	
Phacotus lenticularis							х	
Pteromonas sp.							х	
Ord.: Chlorococcales								
Actinastrum hantzschii					x		х	
Ankistrodesmus bibraianus							х	
Ankyra judayi			х					
Ankyra lanceolata			х					
Botryococcus braunii			х		х			
Coelastrum astroideum					х			
Crucigeniella sp.							х	
Dictyosphaerium spp.					х			
Monoraphidium contortum	Х							
Nephrocytium agardhianum					x			
Oocystis spp.	x		464,10	0,136	x		х	
Pediastrum boryanum			Х		X		х	
Pediastrum duplex			х		x		х	
Pediastrum tetras					х			
Scenedesmus spp.	x		Х		x		х	
Scenedesmus acuminatus	x				x		х	
Scenedesmus dimorphus	x				х			
Scenedesmus disciformis			Х		X			
Schroederia spiralis			Х					
Tetraedron caudatum			Х		x		х	
Tetraedron minimum					x		х	
Ord.: Ulotrichales								
Elakatothrix genevensis	х				x			
Koliella longiseta	х							
KI. Conjugatophyceae								
Closterium spp.			х					
Closterium aciculare			х					
Closterium acutum var. variabile			223,39	0,103	x		х	
Closterium cf. limneticum			2,20	0,026				
Staurastrum spp.							х	
Staurastrum chaetoceras					x			
KI. Chrysophyceae								
Mallomonas spp.	Х				x			
KI. Dinophyceae								
Ceratium furcoides					x		x	
Ceratium hirundinella			2,80	0,232	4,30	0,228	1,90	0,101
Kolkwitziella acuta			-,	- ,— J <b>=</b>	x	- ,	-,	٠,٠٠٠
Peridiniopsis cf. berolinense					x		x	
Peridiniopsis cf. penardiforme					x			
Peridiniopsis polonicum					7,40	0,117	26,50	0,421
Peridinium spp.			х		4,50	0,181	X	<i>&gt;</i> , . <b>∠</b> .
Unbestimmte Flagellaten			,,		.,00	-,	,,	
		19,543		9,925		16,669		

## Sibbersdorfer See – Zooplankton

	18.2.2002	12.6.2002	7.8.2002	16.9.2002
Ciliata				
Ciliata indet.	W	S	s	s
Epistylis spp.		mi		mi
Tintinnidium/Membranicola spp.	S			
Codonella sp.	h	W	s	
Rotatoria				
Anuraeopsis fissa			s	
Asplanchna priodonta	S			
Collotheca spp.				W
Conochiloides natans	S			
Conochilus unicornis	S	S		
Filinia longiseta v. limnetica				W
Filinia terminalis	S			
Kellicottia longispina	S	S		s
Keratella cochlearis	S	mi	w	mi
K. c. f. tecta		S	mi	W
Keratella hiemalis	S			
Keratella quadrata		w	w	s
Polyarthra dolichoptera/vulgaris			s	W
Pompholyx sulcata		h	mi	mi
cf. Synchaeta spp.		W	s	
Trichocerca rousseleti	S		s	
Trichocerca similis		S	s	W
Cladocera				
Bosmina (Eubosmina) coregoni		mi	mi	s
Bosmina (Bosmina) longirostris	s			s
Chydorus sphaericus			mi	s
Daphnia longispina-Komplex Summe	s	s	w	W
Daphnia cucullata		s	w	W
Daphnia hyalina/galeata	s		s	
Copepoda				
Nauplien	W	w	mi	W
Calanoida				
Copepodide	s	s	s	s
Eudiaptomus graciloides	S	s	s	W
Cyclopoida				
Copepodide	s	s	w	s
Acanthocyclops cf. robustus			w	s
Cyclops kolensis	s			
Cyclops vicinus	s			
Mesocyclops leuckarti		S	S	s
Thermocyclops crassus		w	w	s
Sonstige				
Bivalvia: <i>Drei</i> sse <i>na</i> -Larven			s	

## Sibbersdorfer See -Makrozoobenthos

	1 m	2-3 m	4 m	5 m	5,5 m
Taxon	Tiere/m²	Tiere/m <sup>2</sup>	Tiere/m <sup>2</sup>	Tiere/m <sup>2</sup>	Tiere/m²
Oligochaeta	468	392	1372	873	5257
Stylaria lacustris	88		-		
Gastropoda					
Acroloxus lacustris		15			
Bithynia tentaculata	t				
Potamopyrgus antipodarum	2169			t	
Radix sp.	5				
Valvata piscinalis	15	47	t	t	
Bivalvia					
Anodonta sp.		t			
Dreissena polymorpha	5				
Pisdium sp.	47	249	15	t	t
Sphaerium corneum	t				
Hirudinea					
Erpobdella octoculata	170				
Helobdella stagnalis	47	47			
Hydrachnidia	287	358	47	94	
Crustacea					
Asellus aquaticus	148	1625			
Gammarus pulex		19			
Ephemeroptera					
Caenis horaria	433	1378			
Caenis luctuosa		62			
Caenis sp.		94			
Trichoptera					
Anabolia nervosa	5				
Limnephilus sp.		15			
Molanna angustata	5				
Mystacides longicornis	47				
Triaenodes bicolor					
Diptera					
Chaoboridae					
Chaoborus flavicans		47	235	469	133
<u>Chironomidae</u>					
Tanypodinae					
Procladius sp.		939	133	148	1314
Chironomus cf. plumosus		282	563	516	516
Chironomus sp.	88				
Cryptochironomus sp.	94				
Dicrotendipes modestus		47			
Einfeldia dissidens		47			
Endochironomus cf. albipennis	82				
Glyptotendipes pallens	345	94			
Glyptotendipes paripes	123				
Glyptotendipes sp.	25	-		-	
Tanytarsini					
Cladotanytarsus sp.	47				
Tanytarsus sp.			94		
Ceratopogonidae	276	15	375		47
Bezzia sp.	82		J. J		<del>-                                    </del>

# Großer Eutiner See – Ufer- und Unterwasservegetation

#### Armleuchteralgenzone

Wissenschaftlicher Artname	Deutscher Artname	Rote Liste	Häufigkeit
Chara contraria	Gegensätzliche Armleuchteralge	3	W
Chara globularis	Zerbrechliche Armleuchteralge		W

#### **Tauchblattzone**

Wissenschaftlicher Artname	Deutscher Artname	Rote Liste	Häufigkeit
Butomus umbellatus	Schwanenblume		W
Chlorophyceae	Fädige Grünalgen		D
Elodea canadensis	Kanadische Wasserpest		Z
Lemna trisulca	Dreifurchige Wasserlinse		W
Potamogeton cripus	Krauses Laichkraut		Z
Potamogeton friesii	Stachelspitziges Laichkraut	2	W
Potamogeton pectinatus	Kamm-Laichkraut		D
Potamogeton perfoliatus	Durchwachsenes Laichkraut		W
Potamogeton pusillus agg.	Zwerg-Laichkraut	3	Z
Ranunculus circinatus	Spreizender Wasserhahnenfuß		W
Zannichellia palustris	Sumpf-Teichfaden		Z

#### Schwimmblattzone

Wissenschaftlicher Artname	Deutscher Artname	Rote Liste	Häufigkeit
Lemna minor	Kleine Wasserlinse		Z
Nuphar lutea	Gelbe Teichrose		D
Nymphaea alba	Weiße Seerose		Z
Nymphaea spec.	Seerose		W
Spirodela polyrhiza	Vielwurzelige Teichlinse		Z

### $R\"{o}hrichte, Bruchw\"{a}lder, Feuchtgr\"{u}nland \ und \ weitere \ angrenzende \ Fl\"{a}chen$

Wissenschaftlicher Artname	Deutscher Artname	Rote Liste	Häufigkeit
Acer campestre	Feld-Ahorn		W
Acer pseudoplatanus	Berg-Ahorn		Z
Acorus calamus	Kalmus		Z
Aesculus hippocastanum	Gewöhnliche Roßkastanie		W
Agrostis stolonifera	Weißes Straußgras		Z
Ajuga reptans	Kriechender Günsel		Z
Alnus glutinosa	Schwarz-Erle		D
Alnus incana	Grau-Erle		W
Alopecurus geniculatus	Knick-Fuchsschwanz		Z
Angelica sylvestris	Wald-Engelwurz		W
Betula pendula	Hänge-Birke		Z
Betula pubescens	Moor-Birke		Z
Bidens tripartita	Dreiteiliger Zweizahn		W
Butomus umbellatus	Schwanenblume		W
Calamagrostis canescens	Sumpf-Reitgras		Z
Caltha palustris	Sumpf-Dotterblume		Z
Calystegia sepium	Gewöhnliche Zaunwinde		Z
Cardamine amara	Bitteres Schaumkraut		W
Carex acuta	Schlank-Segge		Z

Röhrichte, Bruchwälder, Feuchtgrünland und weitere angrenzende Flächen

Wissenschaftlicher Artname	Deutscher Artname	Rote Liste	Häufigkeit
Carex acutiformis	Sumpf-Segge		Z
Carex disticha	Zweizeilige Segge		Z
Carex elata	Steif-Segge		W
Carex hirta	Behaarte Segge		Z
Carex nigra	Wiesen-Segge		Z
Carex paniculata	Rispen-Segge		W
Carex pseudocyperus	Scheinzypergras-Segge		W
Carex riparia	Ufer-Segge		W
Chrysosplenium oppositifolium	Gegenblättriges Milzkraut		W
Cirsium oleraceum	Kohldistel		Z
Cirsium palustre	Sumpf-Kratzdistel		Z
Crepis paludosa	Sumpf-Pippau		W
Deschampsia cespitosa	Rasen-Schmiele		Z
Dryopteris dilatata	Breitblättriger Dornfarn		Z
Eleocharis palustris	Gewöhnliche Sumpfbinse		W
Epilobium hirsutum	Zottiges Weidenröschen		Z
Equisetum fluviatile	Teich-Schachtelhalm		W
Equisetum palustre	Sumpf-Schachtelhalm		Z
Eupatorium cannabinum	Wasserdost		Z
Fagus sylvatica	Rot-Buche		Z
Filipendula ulmaria	Echtes Mädesüß		Z
Fraxinus excelsior	Gewöhnliche Esche		Z
Galium aparine	Kletten-Labkraut		Z
Galium palustre	Sumpf-Labkraut		Z
Galium uliginosum	Moor-Labkraut	3	W
Geum rivale	Bach-Nelkenwurz	3	Z
Glechoma hederacea	Gundermann		Z
	Flutender Schwaden		Z
Glyceria fluitans	Wasser-Schwaden		Z
Glyceria maxima	Riesen-Bärenklau		
Heracleum mantegazzianum			W
Holcus lanatus	Wolliges Honiggras Wasserfeder		Z
Hottonia palustris			Z
Humulus lupulus	Hopfen		Z
Hydrocharis morsus-ranae	Froschbiß		W
Impatiens noli-tangere	Echtes Springkraut		W
Iris pseudacorus	Sumpf-Schwertlilie		Z
Juncus articulatus	Glieder-Binse		Z
Juncus effusus	Flatter-Binse		Z
Juncus inflexus	Blaugrüne Binse		W
Juncus tenuis	Zarte Binse		W
Lathyrus pratensis	Wiesen-Platterbse		W
Lemna minor	Kleine Wasserlinse		Z
Lotus uliginosus	Sumpf-Hornklee		W
Lycopus europaeus	Ufer-Wolfstrapp		Z
Lysimachia nummularia	Pfennigkraut		Z
Lysimachia vulgaris	Gewöhnlicher Gilbweiderich		Z
Lythrum salicaria	Blut-Weiderich		Z
Mentha aquatica	Wasser-Minze		Z
Myosotis palustris agg.	Sumpf-Vergißmeinnicht		W
Petasites hybridus	Gewöhnliche Pestwurz		Z
Phalaris arundinacea	Rohr-Glanzgras		Z
Phragmites australis	Schilf		D

Wissenschaftlicher Artname	Deutscher Artname	Rote Liste	Häufigkeit
Poa palustris	Sumpf-Rispengras		W
Poa trivialis	Gewöhnliches Rispengras		Z
Polygonum amphibium	Wasser-Knöterich		Z
Populus spec.	Pappel		Z
Potentilla anserina	Gänse-Fingerkraut		Z
Prunus padus	Trauben-Kirsche		Z
Quercus robur	Stiel-Eiche		W
Ranunculus acris	Scharfer Hahnenfuß		Z
Ranunculus repens	Kriechender Hahnenfuß		Z
Reynoutria spec.	Staudenknöterich		W
Ribes nigrum	Schwarze Johannisbeere		W
Ribes rubrum agg.	Rote Johannisbeere		W
Rorippa amphibia	Wasser-Sumpfkresse		Z
Rubus caesius	Kratzbeere		Z
Rubus fruticosus agg.	Brombeere		Z
Rubus idaeus	Himbeere		Z
Rumex acetosa	Wiesen-Sauerampfer		Z
Rumex conglomeratus	Knäuel-Ampfer		Z
Rumex hydrolapathum	Fluß-Ampfer		Z
Salix cinerea	Grau-Weide		D
Salix spec.	Weide		Z
Sambucus nigra	Schwarzer Holunder		Z
Schoenoplectus lacustris	Seebinse		Z
Scirpus sylvaticus	Wald-Simse		Z
Scutellaria galericulata	Sumpf-Helmkraut		W
Silene dioica	Rote Lichtnelke		W
Solanum dulcamara	Bittersüßer Nachtschatten		Z
Sonchus palustris	Sumpf-Gänsedistel		W
Sorbus aucuparia	Eberesche		Z
Sparganium erectum	Ästiger Igelkolben		Z
Spirodela polyrhiza	Vielwurzelige Teichlinse		W
Stachys palustris	Sumpf-Ziest		Z
Stachys sylvatica	Wald-Ziest		Z
Telekia speciosa	Telekie		W
Thelypteris palustris	Sumpffarn	3	W
Tilia spec.	Linde		W
Typha angustifolia	Schmalblättriger Rohrkolben		Z
Typha latifolia	Breitblättriger Rohrkolben		Z
Ulmus spec.	Ulme		W
Urtica dioica	Große Brennessel		Z
Valeriana officinalis agg.	Echter Baldrian		Z
Viburnum opulus	Gewöhnlicher Schneeball		Z

# Großer Eutiner See – Physikalische und chemische Befunde EDV- Nr.: 129103

Probenahmedatum			11.2.2002			11.6.2002	
Uhrzeit [ME(S)Z]			10:00			09:30	
Windrichtung			NW			SW	
Windstärke	Bft.		4-5			2-3	
Lufttemperatur	°C		8,6			13,6	
Luftdruck	hPa		992			1009	
Sichttiefe	m		1,60			1,20	
Entnahmetiefe	m	1	10	15	1	10	15
Wassertemperatur	°C	6,2			19,1	13,7	11,5
Leitfähigkeit b. 25 °C	mS/m	46,4			43,3	48,3	50,3
pH - Wert		8,40			8,64	7,64	7,66
Farbe		1			1	1	1
Trübung		3			3	3	3
Geruch		1			1	1	79
Sauerstoff	mg/l	13,6			12,5	0,8	0,3
O <sub>2</sub> -Sättigungsindex	%	112			136	8	3
TOC	mg/l	6,8			9,3	8,6	8,5
DOC	mg/l	6,0			7,8	7,6	8,1
SAK bei 254 nm	1/m	16,5			17,2	17,9	20,0
SAK bei 436 nm	1/m	0,1			0,6	0,6	0,7
Säurekapazität -( pH 4,3 )	mmol/l	3,10			2,83	3,43	3,69
Säurekapazität -( pH 8,2 )	mmol/l	0,03			0,09	-	-
Basenkapazität -( pH 8,2 )	mmol/l	-			-	0,18	0,18
Hydrogencarbonat	mg/l	189			173	209	225
Chlorid	mg/l	32			32	33	33
Ammonium-N	mg/l	0,023			0,024	0,684	1,68
Nitrit-N	mg/l	0,0066			0,0066	0,023	0,0018
Nitrat-N	mg/l	0,876			0,085	0,416	<0,05
Gesamtstickstoff	mg/l	1,7			0,99	1,9	2,4
o-Phosphat-P	mg/l	0,046			0,0066	0,129	0,603
Gesamtphosphor	mg/l	0,08			0,065	0,19	0,69
Sulfat	mg/l	32,7			26,2	25,4	23,7
SiO <sub>2</sub>	mg/l	0,247			1,67	5,86	8,49
Natrium	mg/l	17,0					
Kalium	mg/l	3,87					
Calcium	mg/l	69,2					
Magnesium	mg/l	6,70					
Eisen	mg/l	0,064					
Mangan	mg/l	0,027					
Aluminium	mg/l	0,055					
Chlorophyll a	μg/l	18			37		
Phaeophytin	μg/l	4			6		

Probenahmedatum			5.8.2002			12.9.2002	
Uhrzeit [ME(S)Z]			10:00			14:00	
Windrichtung			0			0	
Windstärke	Bft.		2-3			1-2	
Lufttemperatur	°C		18,4			19,9	
Luftdruck	hPa		1010			1027	
Sichttiefe	m		0,80			0,80	
Entnahmetiefe	m	1	10	15	1	10	15
Wassertemperatur	°C	21,8	18,2	11,5	21,0	17,5	12,5
Leitfähigkeit b. 25 °C	mS/m	39,3	42,3	58,1	39,6	44,4	60,9
pH - Wert		9,04	7,53	7,47	8,86	7,45	7,21
Farbe		1	1	1	1	1	37
Trübung		3	3	3	3	3	5
Geruch		1	1	99	1	79	99
Sauerstoff	mg/l	13	0,8	0,0	9,7	0	0
O <sub>2</sub> -Sättigungsindex	%	149	9	0	107	0	0
TOC	mg/l	11	7,4	9,9	11	8,0	12
DOC	mg/l	10	7,1	7,6	8,3	7,4	11
SAK bei 254 nm	1/m	30,4	18,0	18,4	18,6	20,2	32,8
SAK bei 436 nm	1/m	1,4	0,6	0,8	0,6	0,8	1,7
Säurekapazität -( pH 4,3 )	mmol/l	4,79	2,81	2,67	2,73	3,16	5,17
Säurekapazität -( pH 8,2 )	mmol/l	0,25	-	-	0,16	-	-
Basenkapazität -( pH 8,2 )	mmol/l	-	0,16	0,34	-	0,24	0,56
Hydrogencarbonat	mg/l	292	171	163	167	193	315
Chlorid	mg/l	30	30	34	30	30	35
Ammonium-N	mg/l	0,034	0,473	5,370	0,014	1,34	8,47
Nitrit-N	mg/l	0,0012	0,016	0,0031	<0,001	<0,001	<0,001
Nitrat-N	mg/l	<0,05	0,066	<0,05	<0,05	<0,05	<0,05
Gesamtstickstoff	mg/l	1,3	1,1	6,0	1,1	1,8	k.W.
o-Phosphat-P	mg/l	0,051	0,227	2,27	0,194	0,594	2,34
Gesamtphosphor	mg/l	0,16	0,25	2,4	0,25	k.W.	3,0
Sulfat	mg/l	23,4	22,9	10,9	19,9	16,8	13,6
SiO <sub>2</sub>	mg/l	9,470	12,10	14,5	12,4	13,7	17,4
Natrium	mg/l						
Kalium	mg/l						
Calcium	mg/l						
Magnesium	mg/l						
Eisen	mg/l						
Mangan	mg/l						
Aluminium	mg/l						
Chlorophyll a	μg/l	73			51		
Phaeophytin	μg/l	3			3		

# Großer Eutiner See – Phytoplankton

	11.2.2002		11.6.2002		5.8.2002		12.9.2002	
	Abund.	Bio-Vol.	Abund.	Bio-Vol.	Abund.	l. Bio-Vol. Abund.		Bio-Vol.
	n/ml	mm³/l	n/ml	mm <sup>3</sup> /l	n/ml	mm <sup>3</sup> /l	n/ml	mm <sup>3</sup> /l
KI. Cyanophyceae								
Anabaena spp.			x		х		x	
Anabaena circinalis					3563,56	1,794		
Anabaena compacta					х			
Anabaena flos-aquae/ A. perturbata					х		8888,79	0,871
Anabaena planctonica					3920,05	1,544		
Aphanizomenon flos-aquae (Fäden)			х		556,15	0,591	54,73	0,083
Aphanizomenon issatschenkoi (Fäden)					х			
Aphanothecoideae indet.			x					
Microcystis spp.			x					
Microcystis aeruginosa					14115,62	0,927	23303,22	1,530
Microcystis viridis					1167,68	0,114	79635,78	7,804
Microcystis wesenbergii					5260,17	0,597	2449,55	0,278
Woronichinia naegeliana			4556,37	0,213	6432,47	0,158	7035,72	0,172
KI. Cryptophyceae								
Cryptomonas spp.	6,37	0,006	124,85	0,198			88,53	0,141
Rhodomonas cf. lens	х							
Rhodomonas minuta	220,22	0,032	4608,33	0,415	х		x	
KI. Bacillariophyceae								
Ord.: Centrales								
Aulacoseira sp.	х							
Aulacoseira granulata	183,81	0,169	3298,68	4,167	109,47	0,199	404,06	0,397
Cyclotella spp.	*				х		x	
Melosira varians					х			
Stephanodiscus spp.	*				х		x	
Stephanodiscus neoastraea	*							
Zentrale Diatomeen <12µm	2609,18	0,407	1298,12	1,011	х			
Zentrale Diatomeen 10-15µm			*					
Zentrale Diatomeen 12-20µm	х							
Zentrale Diatomeen >20µm	363,22	4,038	204,30	1,501				
Ord.: Pennales								
Amphora sp.								
Asterionella formosa	59,40	0,029	44,50	0,026				
Cymatopleura sp.	х							
Fragilaria spp.	x							
Fragilaria crotonensis			51,17	0,083				
Nitzschia sp. (epiphytisch)							5040,84	0,457
Nitzschia cf. acicularis					х			
Nitzschia sigmoidea	х							

	11.2.2002	1	11.6.2002		5.8.2002		12.9.2002	2
	Abund.	Bio-Vol.	Abund.	Bio-Vol.	Abund.	Bio-Vol.	Abund.	Bio-Vol.
	n/ml	mm <sup>3</sup> /l	n/ml	mm <sup>3</sup> /l	n/ml	mm <sup>3</sup> /l	n/ml	mm <sup>3</sup> /l
KI. Chlorophyceae								
Ord.: Volvocales								
Chlamydomonas spp.					x			
Pandorina morum			х				х	
Phacotus lenticularis	x							
Ord.: Chlorococcales								
Ankyra judayi			х					
Ankyra lanceolata			х					
Botryococcus braunii							х	
Coelastrum astroideum			55559,64	5,438				
Dictyosphaerium spp.			9086,84	0,597				
Eutetramorus/ Sphaerocystis			1038,50	0,043				
Lagerheimia genevensis				·	x			
Monoraphidium contortum					х			
Monoraphidium minutum					х			
Nephrocytium agardhianum					x			
Oocystis spp.			10709,49	1,184				
Pediastrum boryanum	х		•	,			х	
Pediastrum duplex			x		x			
Scenedesmus spp.	х		x		х		х	
Scenedesmus acuminatus					х			
Tetraedron minimum					X			
Tetrastrum staurogeniaeforme	х		x				х	
Ord.: Ulotrichales								
Elakatothrix genevensis					x			
KI. Conjugatophyceae								
Closterium spp.	х				x		x	
Closterium aciculare			х		x		x	
Closterium acutum var. variabile			x		x		^	
Staurastrum spp.	х		X		x		x	
KI. Chrysophyceae								
Dinobryon divergens					x			
Mallomonas spp.	х				^			
KI. Haptophyceae	^							
Chrysochromulina parva	х				x			
KI. Dinophyceae	^				۸			
Ceratium furcoides			x					
Ceratium hirundinella			×				3,50	0,178
Kolkwitziella acuta			^		x		0,00	0,170
Peridiniopsis polonicum					^		4,30	0,058
Peridinium spp.			x				7,50	0,000
Unbestimmte Flagellaten	v							
SUMME	Х	4,682	Х	14,876		5,923		11,968

## Großer Eutiner See – Zooplankton

	11.2.2002	11.6.2002	5.8.2002	12.9.2002
Ciliata				
Ciliata indet.	W	s	s	s
Epistylis spp.		mi	w	
Tintinnidium/Membranicola spp.	s			
Codonella sp.	mi			s
Rotatoria				
Ascomorpha ecaudis			W	S
Brachionus angularis	S		s	
Collotheca spp.				s
Conochiloides natans	S			
Conochilus unicornis		mi	w	
Euchlanis sp.	S			s
Filinia longiseta v. limnetica			s	s
Filinia terminalis	S			
Kellicottia longispina	S	S	s	
Keratella sp.	S			
Keratella cochlearis	S	w	mi	w
K. c. f. tecta		S	w	W
Keratella quadrata		S	S	
Polyarthra vulgaris			W	s
Pompholyx sulcata		w	mi	W
cf. Synchaeta spp.	S		S	
Trichocerca similis	•	S	w	S
Cladocera				
Bosmina (Eubosmina) coregoni	S	S	w	S
Bosmina (Bosmina) longirostris	S			
Ceriodaphnia sp.				s
Chydorus sphaericus			S	s
Daphnia longispina-Komplex Summe	S	S	S	s
Daphnia cucullata	S	S	S	s
Daphnia hyalina	•	S	-	_
Diaphanosoma brachyurum		· ·	S	s
Leptodora kindtii		S		
Copepoda				
Nauplien	W	w	w	W
Calanoida				
Copepodide	S	S	s	s
Eudiaptomus graciloides	s	S	S	s
Cyclopoida	-	-	-	-
Copepodide	S		w	s
Acanthocyclops cf. robustus	-			s
Cyclops sp.	s			-
Cyclops cf. abyssorum	s	S		
Cyclops vicinus	S			
Mesocyclops leuckarti		S	w	
Paracyclops fimbriatus		S	-	
Thermocyclops crassus		s	s	
Sonstige		-	-	
Bivalvia: <i>Dreissena</i> -Larven		S	s	
Chaoborus sp.		-	s	

## Großer Eutiner See – Makrozoobenthos

1998		,	Transekt 1	nsekt 1 Transekt 2				ekt 2		
Tiefen	0,5 m	2 m	5 m	9 m	16 m	0,5 m	2 m	5 m	7 m	10 m
T	T: / 2	Ti/2	T:/2	Ti/2	T: / 2	T: / 2	T: / 2	Ti / 2	Ti/2	T:/2
Taxon Oligochaeta	Tiere/m <sup>2</sup> 2545,7	Tiere/m <sup>2</sup> 1398,6	Tiere/m² 2242,2	Tiere/m² 2397,6	Tiere/m² 44,4	Tiere/m <sup>2</sup> 3035,2	Tiere/m <sup>2</sup> 2619,6	Tiere/m² 976,8	Tiere/m² 1265,4	Tiere/m <sup>2</sup> 1531,8
-	2545,7	1396,6	2242,2	2397,0	44,4	3035,2	2019,0	970,0	1205,4	1551,6
Stylaria lacustris										
Gastropoda										
Acroloxus lacustris	t						4		t	
Bithynia leachii	32,6	4	t		4	t	t	t	t	
Bithynia tentaculata Potamopyrgus antipodarum	97,9	t	·	t	t	195,8	22,2			t
120	97,9 t	t	t	t	t	195,6 t	_		t	t
Valvata piscinalis  Bivalvia	,	ι	·	ι		l l	88,8		·	ι
		4					00.0			
Anodonta anatina	20.0	t				t	22,2			
Dreissena polymorpha	32,6	t	t	t		t	22,2	t		t
Pisdium sp.	t	t t	t	t	t	t	t	t t	t	t
Sphaerium corneum	200.4	t								
Hydrachnidia	326,4							577,2		
Ephemeroptera										
Caenis horaria	587,5	155,4					155,4	177,6		
Caenis luctuosa	261,1					97,9	44,4			
Heteroptera										
Micronecta sp.	65,3	754,8				65,3	910,2			
Coleoptera										
Donacia sp.						65,3				
Trichoptera										
Oecetis ochracea						32,6				
Diptera										
<u>Chaoboridae</u>										
Chaoborus flavicans		44,4	1309,8	2020,2	976,8			111,0	688,2	
<u>Chironomidae</u>										
Tanypodinae										
Procladius sp.	456,9	88,8	288,6	244,2	155,4		155,4	1021,2	888,0	177,6
Orthocladiinae										
Psectrocladius cf. sordidellus							22,2			
Chironominae										
Chironomini										
Chironomus anthracinus-Gr.										
Chironomus plumosus-Gr.			355,2	244,2	0,0			444,0	155,4	155,4
Chironomus cf. plumosus								88,8	199,8	22,2
Cryptochironomus sp.	1174,9	177,6				97,9	199,8			
Dicrotendipes sp							22,2			
Microtendipes cf. pedellus	97,9					65,3				
Polypedilum cf. nubeculosum	913,8	66,6			22,2	783,3	111,0			
Polypedilum sp.						163,2	976,8			
Cladotanytarsus sp.	7114,9	621,6				6690,6	777,0	44,4		
Ceratopogonidae	32,6	88,8						111,0		

## Kellersee – Ufer- und Unterwasservegetation

#### Armleuchteralgenzone

Wissenschaftlicher Artname	Deutscher Artname	Rote Liste	Häufigkeit
Chara contraria	Gegensätzliche Armleuchteralge	3	Z
Chara globularis	Zerbrechliche Armleuchteralge		W

#### **Tauchblattzone**

Wissenschaftlicher Artname	Deutscher Artname	Rote Liste	Häufigkeit
Butomus umbellatus	Schwanenblume		Z
Callitriche spec.	Wasserstern		$\mathbf{W}^*$
Ceratophyllum demersum	Rauhes Hornblatt		W
Chlorophyceae	Fädige Grünalgen		Z
Elodea canadensis	Kanadische Wasserpest		Z
Lemna trisulca	Dreifurchige Wasserlinse		W
Potamogeton cripus	Krauses Laichkraut		Z
Potamogeton friesii	Stachelspitziges Laichkraut	2	Z
Potamogeton pectinatus	Kamm-Laichkraut		D
Potamogeton perfoliatus	Durchwachsenes Laichkraut		Z
Potamogeton pusillus agg.	Zwerg-Laichkraut	3	Z
Ranunculus circinatus	Spreizender Wasserhahnenfuß		Z
Sparganium emersum	Einfacher Igelkolben		W
Zannichellia palustris	Sumpf-Teichfaden		Z

<sup>\* =</sup> nur im Wasser treibend in einem Abschnitt gefunden

#### Schwimmblattzone

Wissenschaftlicher Artname	Deutscher Artname	Rote Liste	Häufigkeit
Lemna minor	Kleine Wasserlinse		Z
Nuphar lutea	Gelbe Teichrose		D
Nymphaea alba	Weiße Seerose		Z
Polygonum amphibium	Wasser-Knöterich		Z
Spirodela polyrhiza	Vielwurzelige Teichlinse		W

Wissenschaftlicher Artname	Deutscher Artname	Rote Liste	Häufigkeit
Acer pseudoplatanus	Berg-Ahorn		Z
Acorus calamus	Kalmus		Z
Agrostis stolonifera	Weißes Straußgras		Z
Ajuga reptans	Kriechender Günsel		Z
Alnus glutinosa	Schwarz-Erle		Z
Alnus incana	Grau-Erle		Z
Alopecurus geniculatus	Knick-Fuchsschwanz		Z
Angelica sylvestris	Wald-Engelwurz		Z
Aster spec.	Aster		W
Berula erecta	Berle		W
Betula pendula	Hänge-Birke		Z
Betula pubescens	Moor-Birke		W
Butomus umbellatus	Schwanenblume		W
Calamagrostis canescens	Sumpf-Reitgras		Z
Callitriche spec.	Wasserstern		Z

Wissenschaftlicher Artname	Deutscher Artname	Rote Liste	Häufigkeit
Caltha palustris	Sumpf-Dotterblume		W
Calystegia sepium	Gewöhnliche Zaunwinde		Z
Cardamine amara	Bitteres Schaumkraut		W
Cardamine pratensis agg.	Wiesen-Schaumkraut		W
Carex acuta	Schlank-Segge		Z
Carex acutiformis	Sumpf-Segge		Z
Carex disticha	Zweizeilige Segge		Z
Carex elata	Steif-Segge		W
Carex hirta	Behaarte Segge		Z
Carex paniculata	Rispen-Segge		W
Carex pseudocyperus	Scheinzypergras-Segge		W
Chrysosplenium oppositifolium	Gegenblättriges Milzkraut		W
Circaea lutetiana	Großes Hexenkraut		Z
Circuea intentana Cirsium oleraceum	Kohldistel		Z
			W
Cirsium palustre	Sumpf-Kratzdistel Binsen-Schneide	2	
Cladium mariscus		2	Z*
Cornus sericea	Weißer Hartriegel		W
Cornus sanguinea	Roter Hartriegel		W
Corylus avellana	Hasel		Z
Crataegus monogyna	Eingriffliger Weißdorn		Z
Crepis paludosa	Sumpf-Pippau		W
Cynosurus cristatus	Kammgras		W
Deschampsia cespitosa	Rasen-Schmiele		Z
Dryopteris dilatata	Breitblättriger Dornfarn		Z
Eleocharis palustris	Gewöhnliche Sumpfbinse		W
Epilobium hirsutum	Zottiges Weidenröschen		Z
Equisetum fluviatile	Teich-Schachtelhalm		Z
Equisetum palustre	Sumpf-Schachtelhalm		Z
Eupatorium cannabinum	Wasserdost		Z
Fagus sylvatica	Rot-Buche		Z
Festuca pratensis	Wiesen-Schwingel		W
Filipendula ulmaria	Echtes Mädesüß		Z
Fraxinus excelsior	Gewöhnliche Esche		Z
Galium aparine	Kletten-Labkraut		Z
Galium palustre	Sumpf-Labkraut		Z
Geum rivale	Bach-Nelkenwurz		Z
Glechoma hederacea	Gundermann		Z
Glyceria fluitans	Flutender Schwaden		Z
Glyceria maxima	Wasser-Schwaden		Z
Heracleum mantegazzianum	Riesen-Bärenklau		W
Holcus lanatus	Wolliges Honiggras		Z
Humulus lupulus	Hopfen		Z
Impatiens noli-tangere	Echtes Springkraut		W
Iris pseudacorus	Sumpf-Schwertlilie		Z
Juncus articulatus	Glieder-Binse		Z
Juncus effusus	Flatter-Binse		Z
Juncus inflexus	Blaugrüne Binse		Z
Lemna minor	Kleine Wasserlinse		Z
Lotus uliginosus	Sumpf-Hornklee		W
Lycopus europaeus	Ufer-Wolfstrapp		Z
Lysimachia nummularia	Pfennigkraut		Z
i i vsimacnia nummuiaria			

Röhrichte, Bruchwälder, Feuchtgrünland und weitere angrenzende Flächen

Wissenschaftlicher Artname	Deutscher Artname	Rote Liste	Häufigkeit
Lythrum salicaria	Blut-Weiderich		Z
Malus sylvestris	Wild-Apfel	3	W
Mentha aquatica	Wasser-Minze		Z
Menyanthes trifoliata	Fieberklee	3	W
Myosotis palustris agg.	Sumpf-Vergißmeinnicht		W
Petasites hybridus	Gewöhnliche Pestwurz		Z
Phalaris arundinacea	Rohr-Glanzgras		Z
Phragmites australis	Schilf		D
Poa trivialis	Gewöhnliches Rispengras		Z
Polygonum amphibium	Wasser-Knöterich		Z
Populus spec.	Pappel		Z
Populus tremula	Espe		W
Potentilla anserina	Gänse-Fingerkraut		Z
Potentilla palustris	Sumpf-Blutauge		W
Prunus padus	Trauben-Kirsche		Z
Quercus robur	Stiel-Eiche		Z
Ranunculus acris	Scharfer Hahnenfuß		W
Ranunculus repens	Kriechender Hahnenfuß		Z
Reynoutria japonica	Japanischer Staudenknöterich		W
Ribes nigrum	Schwarze Johannisbeere		$\mathbf{z}$
Ribes rubrum agg.	Rote Johannisbeere		W
Rorippa amphibia	Wasser-Sumpfkresse		W
Rubus caesius	Kratzbeere		Z
Rubus fruticosus agg.	Brombeere		Z
Rubus idaeus	Himbeere		Z
Rumex acetosa	Wiesen-Sauerampfer		W
Rumex crispus	Krauser Ampfer		W
Rumex hydrolapathum	Fluß-Ampfer		W
Salix caprea	Sal-Weide		W
Salix cinerea	Grau-Weide		Z
Salix spec.	Weide		Z
Sambucus nigra	Schwarzer Holunder		Z
Schoenoplectus lacustris	Seebinse		D
Scirpus sylvaticus	Wald-Simse		Z
Scutellaria galericulata	Sumpf-Helmkraut		W
Solanum dulcamara	Bittersüßer Nachtschatten		Z
Solidago gigantea	Riesen-Goldrute		W
Sparganium erectum	Ästiger Igelkolben		Z
Spirodela polyrhiza	Vielwurzelige Teichlinse		W
Stachys palustris	Sumpf-Ziest		Z
Stachys sylvatica	Wald-Ziest		Z
Symphoricarpos albus	Gewöhnliche Schneebeere		W
Thelypteris palustris	Sumpffarn	3	W
Typha angustifolia	Schmalblättriger Rohrkolben	3	Z W
			Z Z
Typha latifolia	Breitblättriger Rohrkolben		Z
Ulmus spec.	Ulme		
Urtica dioica	Große Brennessel		Z
Valeriana officinalis agg.	Echter Baldrian		Z
Veronica beccabunga	Bachbungen-Ehrenpreis		W
Viburnum opulus	Gewöhnlicher Schneeball		Z

<sup>\* =</sup> nur in einem Abschnitt

# Kellersee – Physikalische und chemische Befunde EDV-Nr.: 129075

Probenahmedatum			11.2.2002				3.6.2002	
Uhrzeit [ME(S)Z]			15:00				09:30	
Windrichtung			NW				SO	
Windstärke	Bft.		4-5				2-3	
Lufttemperatur	°C		8,7				16,9	
Luftdruck	hPa		990				1017	
Sichttiefe	m		3,10				2,90	
Entnahmetiefe	m	1	10	2	4	1	10	24
Wassertemperatur	°C	5,2				18,2	10,7	9,4
Leitfähigkeit b. 25 °C	mS/m	48,0				48,7	49,8	50,1
pH - Wert		8,25				8,75	8,01	7,74
Farbe		1				1	1	1
Trübung		3				3	3	3
Geruch		1				1	1	1
Sauerstoff	mg/l	12,6				13,2	7,0	2,8
O <sub>2</sub> -Sättigungsindex	%	102				139	63	24
TOC	mg/l	6,6				8,5	7,7	8,1
DOC	mg/l	6,2				7,4	7,2	7,4
SAK bei 254 nm	1/m	17,5				18,2	18,5	18,6
SAK bei 436 nm	1/m	0,1				0,5	0,5	0,5
Säurekapazität -( pH 4,3 )	mmol/l	2,98				3,13	3,11	3,17
Säurekapazität -( pH 8,2 )	mmol/l	-				0,13	-	-
Basenkapazität -( pH 8,2 )	mmol/l	0,03				-	0,06	0,13
Hydrogencarbonat	mg/l	182				191	190	193
Chlorid	mg/l	34				33	33	33
Ammonium-N	mg/l	0,014				0,028	0,028	0,058
Nitrit-N	mg/l	0,0053				0,030	0,0059	0,011
Nitrat-N	mg/l	0,949				0,696	1,05	1,05
Gesamtstickstoff	mg/l	1,7				1,6	1,8	2,0
o-Phosphat-P	mg/l	0,115				<0,005	0,041	0,072
Gesamtphosphor	mg/l	0,13				0,038	0,057	0,13
Sulfat	mg/l	37,1				40,1	39,0	36,6
SiO <sub>2</sub>	mg/l	0,842				0,828	1,37	3,75
Natrium	mg/l	19,5				·		·
Kalium	mg/l	4,98						
Calcium	mg/l	67,8						
Magnesium	mg/l	7,53						
Eisen	mg/l	0,032						
Mangan	mg/l	0,022						
Aluminium	mg/l	0,010						
Chlorophyll a	μg/l	2			İ	11		
Phaeophytin	μg/l	1				1		

Probenahmedatum			22.7.2002			10.9.2002	
Uhrzeit [ME(S)Z]			10:45			10:30	
Windrichtung			NW			NO	
Windstärke	Bft.		5-6			2-3	
Lufttemperatur	°C		14,9			20,6	
Luftdruck	hPa		1005,4			1016	
Sichttiefe	m		2,10			1,40	
Entnahmetiefe	m	1	10	24	1	10	24
Wassertemperatur	°C	18,8	18,7	9,4	20,5	15,9	9,5
Leitfähigkeit b. 25 °C	mS/m	44,8	45,0	50,6	41,8	46,4	51,1
pH - Wert		8,40	8,39	7,62	8,42	7,56	7,47
Farbe		1	1	1	1	1	1
Trübung		3	3	3	3	3	3
Geruch		1	1	1	1	1	79
Sauerstoff	mg/l	8,5	8,4	0,1	9,3	0,9	0
O <sub>2</sub> -Sättigungsindex	%	92	91	1	103	9	0
TOC	mg/l	8,2	7,9	7,6	10	7,5	7,9
DOC	mg/l	7,6	7,4	7,4	8,3	7,4	7,9
SAK bei 254 nm	1/m	17,7	17,7	19,4	19,4	19,5	20,8
SAK bei 436 nm	1/m	0,6	0,6	0,6	0,6	0,7	0,7
Säurekapazität -( pH 4,3 )	mmol/l	2,75	2,81	3,38	2,51	2,99	3,55
Säurekapazität -( pH 8,2 )	mmol/l	0	0	-	0,04	-	-
Basenkapazität -( pH 8,2 )	mmol/l	-	-	0,18	-	0,19	0,26
Hydrogencarbonat	mg/l	168	171	206	206	153	182
Chlorid	mg/l	33	32	33	32	32	33
Ammonium-N	mg/l	0,061	0,067	0,448	0,034	0,160	1,37
Nitrit-N	mg/l	0,021	0,019	0,213	0,0054	0,061	<0,001
Nitrat-N	mg/l	0,36	0,359	0,425	<0,05	0,409	<0,05
Gesamtstickstoff	mg/l	1,1	1,1	1,8	0,92	1,2	2,0
o-Phosphat-P	mg/l	0,014	0,014	0,257	0,0052	0,064	0,426
Gesamtphosphor	mg/l	0,035	0,039	0,29	0,051	0,078	0,46
Sulfat	mg/l	38,9	37,1	37,8	31,5	34,1	33,1
SiO <sub>2</sub>	mg/l	3,330	3,42	6,68	6,60	5,99	8,57
Natrium	mg/l						
Kalium	mg/l						
Calcium	mg/l						
Magnesium	mg/l						
Eisen	mg/l						
Mangan	mg/l						
Aluminium	mg/l						
Chlorophyll a	μg/l	9			33		
Phaeophytin	μg/l	2			1		

## Kellersee – Phytoplankton

	11.2.2002		3.6.2002		22.7.2002		10.9.2002	
	Abund.	Bio-Vol.	Abund.	Bio-Vol.	Abund.	Bio-Vol.	Abund.	Bio-Vol.
	n/ml	mm³/l	n/ml	mm³/l	n/ml	mm³/l	n/ml	mm <sup>3</sup> /l
KI. Cyanophyceae								
Anabaena spp.			248,25	0,024			x	
<i>Anabaena</i> sp.			2428,79	0,117				
Anabaena cf. circinalis							х	
Anabaena flos-aquae/ A. perturbata							х	
Anabaena planctonica					Х		х	
Anabaena cf. viguieri							x	
Aphanizomenon flos-aquae (Fäden)			3,60	0,007	х		261,05	0,296
Aphanizomenon cf. gracile (Fäden)							111,23	0,134
Aphanizomenon issatschenkoi (Fäden)							149,82	0,069
Aphanocapsa sp.			х				-,-	-,
Aphanothecoideae indet.			X					
Chroococcus limneticus			X					
Gomphosphaerioideae indet.								
Limnothrix sp.	х						806,82	0,370
Microcystis aeruginosa	^				581,56	0,038	30000,12	1,970
Microcystis flos-aque					301,30	0,000	X	1,370
Microcystis viridis							2758,69	0,270
Microcystis wesenbergii					108,75	0,011	940,99	0,092
Planktolyngbya limnetica (Fäden)					100,75	0,011	242,76	
Planktothrix sp. (Fäden)	X 24.66	0.065					•	0,054
Pseudanabaena spp.	24,66	0,065					93,07	0,082
	Х							
Romeria sp.							Х	
Snowella spp.							Х	
Snowella litoralis							X	0.054
Woronichinia naegeliana							1980,00	0,051
KI. Cryptophyceae								
Cryptomonas spp.	18,65	0,041			120,12	0,191	113,50	0,180
Rhodomonas cf. lens	225,22	0,104	Х		Х			
Rhodomonas minuta	360,36	0,049	Х		Х		Х	
KI. Bacillariophyceae								
Ord.: Centrales								
Acanthoceras zachariasii					Х		Х	
Aulacoseira granulata	2,16	0,003			27,90	0,024	Х	
Aulacoseira islandica	X							
Cyclotella spp.	*		Х					
Rhizosolenia longiseta					Х			
Stephanodiscus spp.	*		Х				Х	
Stephanodiscus neoastraea	*							
Zentrale Diatomeen <12µm	214,50	0,027			Х			
Zentrale Diatomeen >20µm	6,41	0,057						
Ord.: Pennales								
Asterionella formosa	13,68	0,007	х		12,96	0,007		
Fragilaria capucina	x							
Fragilaria crotonensis			8,76	0,018			х	
Fragilaria spp.					х		x	
Gyrosigma sp.	x							
Nitzschia cf. acicularis					Х			

	11.2.2002		3.6.2002		22.7.2002		10.9.2002	
	Abund.	Bio-Vol.	Abund.	Bio-Vol.	Abund.	Bio-Vol.	Abund.	Bio-Vol.
	n/ml	mm <sup>3</sup> /l	n/ml	mm <sup>3</sup> /l	n/ml	mm³/l	n/ml	mm <sup>3</sup> /l
KI. Chlorophyceae								
Ord.: Volvocales								
Carteria sp.							x	
Pandorina morum			125,84	0,042	X			
Phacotus lenticularis					x		x	
Ord.: Tetrasporales								
Pseudosphaerocystis lacustris			Х		X		х	
Ord.: Chlorococcales								
Ankistrodesmus fusiformis							X	
Ankyra spp.			1038,48	0,048			X	
Ankyra judayi			*				*	
Ankyra lanceolata			*				*	
Botryococcus braunii			X				X	
Coelastrum spp.			5754,32	0,564				
Coelastrum astroideum			*		X		x	
Coelastrum microporum			*					
Dictyosphaerium spp.			122,98	0,012			x	
Eutetramorus/ Sphaerocystis			217,36	0,021				
Monoraphidium contortum					Х			
Nephrocytium agardhianum							X	
Oocystis spp.			150,15	0,024	Х		Х	
Pediastrum boryanum	x		X				X	
Pediastrum duplex			Х		Х		Х	
Pediastrum tetras					Х		Х	
Scenedesmus spp.	x		Х		Х		Х	
Scenedesmus acuminatus								
Scenedesmus obtusus					Х			
Tetraedron minimum					Х			
Ord.: Ulotrichales								
Elakatothrix genevensis			Х					
Planctonema lauterbornii							X	
KI. Conjugatophyceae								
Closterium sp.			Х		X			
Closterium aciculare					1,30	0,007	X	
Closterium acutum var. variabile			Х		36,54	0,013	Х	
Staurastrum spp.			Х		Х		Х	
KI. Chrysophyceae					05.04	0.044		
Dinobryon divergens					35,94	0,011		
Dinobryon sociale					Х			
Mallomonas spp.	Х							
KI. Haptophyceae Chrysochromulina parva								
•					Х			
KI. Dinophyceae			0.00	0.000	40.44	0.545	45.00	0.050
Ceratium furcoides			0,20	0,022	10,44	0,545	45,00	2,350
Ceratium hirundinella Gymnodinium sp.			0,70	0,048	0,90	0,048	29,88	1,597
·	Х				4.00	0.046	0.00	0.000
Woloszynskia pseudopalustris					1,92	0,016	0,90	0,008
Gymnodinium helveticum Kolkwitziella acuta	Х				,,			
Kolkwitziella acuta Peridiniopsis cf. berolinense					X			
•					X 0.76	0.045	2.70	0.053
Peridiniopsis polonicum Peridinium spp.			v		0,76	0,015	2,70	0,053
• •			х		х		Х	
KI. Xanthophyceae Pseudostaurastrum limneticum								
					х			
Unbestimmte Flagellaten SUMME	Х	0,355		0,947		0,925		7 575
168		0,000		0,341		0,323		7,575

## Kellersee – Zooplankton

	11.2.2002	3.6.2002	22.7.2002	10.9.2002
Ciliata				
Ciliata indet.	W		W	s
Epistylis spp.			mi	w
Codonella sp.	s			
Rotatoria				
Ascomorpha ecaudis			S	w
Asplanchna priodonta	S		S	
Collotheca spp.				S
Conochilus unicornis		S	W	S
Gastropus cf. stylifer			s	
Filinia terminalis	S			
Kellicottia longispina	S	s	S	
Keratella cochlearis	S	W	W	W
K. c. f. tecta			S	W
Keratella hiemalis	S			
Keratella quadrata			S	S
Polyarthra sp.	S			
Polyarthra dolichoptera/vulgaris		S		S
Pompholyx sulcata		S		W
cf. Synchaeta spp.	S	s	s	
Trichocerca capucina			S	S
Trichocerca similis			S	W
Cladocera				
Bosmina (Eubosmina) coregoni	S		W	S
Bosmina (Bosmina) longirostris	S	S		
Chydorus sphaericus			S	
Daphnia longispina-Komplex Summe	S	S	S	S
Daphnia cucullata	S	S	S	S
Daphnia hyalina/galeata	S	S	S	
Diaphanosoma brachyurum				S
Leptodora kindtii			S	
Copepoda				
Nauplien	W	W	mi	W
Calanoida				
Copepodide	S	S	W	W
Eudiaptomus graciloides	S	S	S	S
Cyclopoida				
Copepodide	W	S	S	S
Cyclops cf. abyssorum	S	S		
Cyclops kolensis	S			
Diacyclops bicuspidatus		S		
Mesocyclops leuckarti			S	S
Thermocyclops crassus				S
Thermocyclops oithonoides		S	S	S
Sonstige				
Bivalvia: Dreissena-Larven			S	

## Kellersee – Makrozoobenthos

1998			Transekt 1				Т	ransekt 2		
Tiefen	0,5 m	2 m	5 m	10 m	19 m	0,5 m	2 m	5 m	10 m	25 m
	,					,			-	
Taxon	Tiere/m²	Tiere/m <sup>2</sup>	Tiere/m²	Tiere/m²	Tiere/m <sup>2</sup>	Tiere/m <sup>2</sup>	Tiere/m²	Tiere/m²	Tiere/m²	Tiere/m²
Hydrozoa										
Hydra sp.		22,2								
Oligochaeta	2023,5	1620,6	177,6	133,2	1443,0	1305,5	2442,0	22,2	1887,0	0,0
Stylaria lacustris	32,6									
Gastropoda										
Acroloxus lacustris	t									
Anisus vortex	t					t	t			
Bithynia tentaculata	32,6		t	t		130,5				
Gyraulus albus	t									
Planorbis planorbis	20.0	t				t	00.0			
Potamopyrgus antipodarum	32,6	t				t	22,2			
Radix ovata		t	t t				_			
Theodoxus fluviatilis Valvata cristata	t		t			t	t		t	
Valvata cristata  Valvata piscinalis	t	t	t	22,2	t	32,6	44,4		t	
Bivalvia	-	L L	L .	<u> </u>	l	32,0	44,4		l	
Anodonta anatina	+	t	22,2							
Anodonta anatina Anodonta cygnea	+		,-							
Dreissena polymorpha	1	t	22,2	t		t	t	t	t	
Pisdium sp.	t	t	,-	t		t	t		44,4	t
Sphaerium corneum	<b>—</b>			,			t		t	
Unio tumidus			t				·		·	
Hirudinea										
Erpobdella octoculata		44,4				130,5				
Helobdella stagnalis		44,4				130,5				
Hydrachnidia		111,0	88,8			32,6				
Crustacea		,	i '			·				
Asellus aquaticus		199,8				97,9				
Ephemeroptera		,				ĺ				
Caenis horaria	195,8	510,6	22,2			32,6	510,6	22,2		
Caenis luctuosa	261,1	421,8				130,5	199,8			
Caenis robusta	32,6	88,8								
Centroptilum luteolum							22,2			
Cloeon dipterum										
Heteroptera										
Herperocorixa sahlbergi										
Trichoptera										
Limnephilidae										
Mystacides sp.	1									
Diptera	1									
Chaoboridae	1			4=== -	1005				105 -	
Chaoborus flavicans		44,4	1154,4	177,6	10966,8		22,2		133,2	5394,6
Chironomidae	400.5	000.1	444.0	00.0	44.4		477.0	44.4	400.0	
Procladius sp.	130,5	266,4	444,0	66,6	44,4		177,6	44,4	199,8	
Orthocladiinae	+									
Corynoneura sp. Cricotopus sp.	32,6									
Psectrocladius cf. sordidellus	65,3									
Chironominae	00,0		1							
Chironomini										
Chironomus plumosus-Gr.		66,6	199,8		266,4			333,0	222,0	66,6
Chironomus cf. plumosus		22,2			,				199,8	30,0
Chironomus sp.	<u> </u>	,_	44,4	lm	22,2		22,2		, .	
Chironomus cf. tentans		22,2	1		,		,=			
Cryptochironomus sp.	195,8	111,0					44,4	22,2		
Demeijera rufipes	1	,-	244,2				,	,		
Dicrotendipes sp		732,6	,							

## Dieksee – Ufer- und Unterwasservegetation

#### Armleuchteralgenzone

Wissenschaftlicher Artname	Deutscher Artname	Rote Liste	Häufigkeit
Chara vulgaris	Gemeine Armleuchteralge	3	
Chara globularis	Zerbrechliche Armleuchteralge		

#### **Tauchblattzone**

Wissenschaftlicher Artname	Deutscher Artname	Rote Liste	Häufigkeit
Ceratophyllum demersum	Rauhes Hornblatt		
Elodea canadensis	Kanadische Wasserpest		
Fontinalis antipyretica	Gemeines Brunnenmoos		
Myriophyllum spicatum	Ähriges Tausendblatt	3	
Potamogeton cripus	Krauses Laichkraut		
Potamogeton friesii	Stachelspitziges Laichkraut	2	
Potamogeton pectinatus	Kamm-Laichkraut		
Potamogeton x nitens	Glanz-Laichkraut		
Potamogeton perfoliatus	Durchwachsenes Laichkraut		
Potamogeton pusillus agg.	Zwerg-Laichkraut	3	
Ranunculus circinatus	Spreizender Wasserhahnenfuß		
Zannichellia palustris	Sumpf-Teichfaden		

#### Schwimmblattzone

Wissenschaftlicher Artname	Deutscher Artname	Rote Liste	Häufigkeit
Lemna minor	Kleine Wasserlinse		W
Nuphar lutea	Gelbe Teichrose		Z
Nymphaea alba	Weiße Seerose		W

Wissenschaftlicher Artname	Deutscher Artname	Rote Liste	Häufigkeit
Abies alba	Weiß-Tanne	-	
Acer pseudoplatanus	Berg-Ahorn	-	
Acorus calamus	Kalmus	-	
Achillea millefolium	Gemeine Schafgabe	-	
Achillea ptarmica	Sumpf-Schafgabe	-	
Aegopodium podagraria	Giersch	-	
Aesculus hippocastaneum	Gemeine Roßkastanie	-	
Agrostis stolonifera	Weißes Straußgras	-	
Ajuga reptans	Kriechender Günsel	-	
Alisma plantago-aquatica	Gemeiner Froschlöffel	-	
Alliaria petiolata	Knoblauchsrauke	-	
Alnus glutinosa	Schwarz-Erle	-	
Alnus incana	Grau-Erle	-	
Anemone nemorosa	Busch-Windröschen	-	
Angelica sylvestris	Wald-Engelwurz	-	
Anthriscus sylvestris	Wiesen-Kerbel	-	
Arctium lappa	Große Klette	-	
Arum maculatum	Gefleckter Aronstab	-	

Röhrichte, Bruchwälder, Feuchtgrünland und weitere angrenzende Flächen

Berula erecta       Berle       -         Betula pendula       Hänge-Birke       -         Butomus umbellatus       Schwanenblume       -         Bidens tripartita       Dreiteiliger Zweizahn       -         Caltha palustris       Sumpf-Dotterblume       -         Calystegia sepium       Echte Zaunwinde       -         Cardamine amara       Bitteres Schaumkraut       -         Carex acutiformis       Sumpf-Segge       -         Carex hirta       Behaarte Segge       -         Carex pendula       Hänge-Segge       -         Carex pseudocyperus       Scheinzyper-Segge       -         Carex remota       Winkel-Segge       -         Carex sylvatica       Wald-Segge       -         Chaerophyllum temulum       Taumel-Kälberkropf       -         Chrysosplenium oppositifolium       Gegenblättriges Milzkraut       -         Circaea lutetiana       Großes Hexenkraut       -	
Butomus umbellatus       Schwanenblume       -         Bidens tripartita       Dreiteiliger Zweizahn       -         Caltha palustris       Sumpf-Dotterblume       -         Calystegia sepium       Echte Zaunwinde       -         Cardamine amara       Bitteres Schaumkraut       -         Carex acutiformis       Sumpf-Segge       -         Carex hirta       Behaarte Segge       -         Carex pendula       Hänge-Segge       -         Carex pseudocyperus       Scheinzyper-Segge       -         Carex remota       Winkel-Segge       -         Carex sylvatica       Wald-Segge       -         Chaerophyllum temulum       Taumel-Kälberkropf       -         Chrysosplenium oppositifolium       Gegenblättriges Milzkraut       -	
Bidens tripartita       Dreiteiliger Zweizahn       -         Caltha palustris       Sumpf-Dotterblume       -         Calvstegia sepium       Echte Zaunwinde       -         Cardamine amara       Bitteres Schaumkraut       -         Carex acutiformis       Sumpf-Segge       -         Carex hirta       Behaarte Segge       -         Carex pendula       Hänge-Segge       -         Carex pseudocyperus       Scheinzyper-Segge       -         Carex remota       Winkel-Segge       -         Carex sylvatica       Wald-Segge       -         Chaerophyllum temulum       Taumel-Kälberkropf       -         Chrysosplenium oppositifolium       Gegenblättriges Milzkraut       -	
Caltha palustrisSumpf-Dotterblume-Calystegia sepiumEchte Zaunwinde-Cardamine amaraBitteres Schaumkraut-Carex acutiformisSumpf-Segge-Carex hirtaBehaarte Segge-Carex pendulaHänge-Segge-Carex pseudocyperusScheinzyper-Segge-Carex remotaWinkel-Segge-Carex sylvaticaWald-Segge-Chaerophyllum temulumTaumel-Kälberkropf-Chrysosplenium oppositifoliumGegenblättriges Milzkraut-	
Calvstegia sepiumEchte Zaunwinde-Cardamine amaraBitteres Schaumkraut-Carex acutiformisSumpf-Segge-Carex hirtaBehaarte Segge-Carex pendulaHänge-Segge-Carex pseudocyperusScheinzyper-Segge-Carex remotaWinkel-Segge-Carex sylvaticaWald-Segge-Chaerophyllum temulumTaumel-Kälberkropf-Chrysosplenium oppositifoliumGegenblättriges Milzkraut-	
Cardamine amara       Bitteres Schaumkraut       -         Carex acutiformis       Sumpf-Segge       -         Carex hirta       Behaarte Segge       -         Carex pendula       Hänge-Segge       -         Carex pseudocyperus       Scheinzyper-Segge       -         Carex remota       Winkel-Segge       -         Carex sylvatica       Wald-Segge       -         Chaerophyllum temulum       Taumel-Kälberkropf       -         Chrysosplenium oppositifolium       Gegenblättriges Milzkraut       -	
Carex acutiformis       Sumpf-Segge       -         Carex hirta       Behaarte Segge       -         Carex pendula       Hänge-Segge       -         Carex pseudocyperus       Scheinzyper-Segge       -         Carex remota       Winkel-Segge       -         Carex sylvatica       Wald-Segge       -         Chaerophyllum temulum       Taumel-Kälberkropf       -         Chrysosplenium oppositifolium       Gegenblättriges Milzkraut       -	
Carex hirta       Behaarte Segge       -         Carex pendula       Hänge-Segge       -         Carex pseudocyperus       Scheinzyper-Segge       -         Carex remota       Winkel-Segge       -         Carex sylvatica       Wald-Segge       -         Chaerophyllum temulum       Taumel-Kälberkropf       -         Chrysosplenium oppositifolium       Gegenblättriges Milzkraut       -	
Carex pendula       Hänge-Segge       -         Carex pseudocyperus       Scheinzyper-Segge       -         Carex remota       Winkel-Segge       -         Carex sylvatica       Wald-Segge       -         Chaerophyllum temulum       Taumel-Kälberkropf       -         Chrysosplenium oppositifolium       Gegenblättriges Milzkraut       -	
Carex pseudocyperusScheinzyper-Segge-Carex remotaWinkel-Segge-Carex sylvaticaWald-Segge-Chaerophyllum temulumTaumel-Kälberkropf-Chrysosplenium oppositifoliumGegenblättriges Milzkraut-	
Carex remotaWinkel-Segge-Carex sylvaticaWald-Segge-Chaerophyllum temulumTaumel-Kälberkropf-Chrysosplenium oppositifoliumGegenblättriges Milzkraut-	
Carex sylvaticaWald-Segge-Chaerophyllum temulumTaumel-Kälberkropf-Chrysosplenium oppositifoliumGegenblättriges Milzkraut-	
Chaerophyllum temulumTaumel-Kälberkropf-Chrysosplenium oppositifoliumGegenblättriges Milzkraut-	
Chrysosplenium oppositifolium Gegenblättriges Milzkraut -	
Circaea lutetiana Großes Hexenkraut -	
Cirsium oleraceum Kohldistel -	
Cirsium palustre Sumpf-Kratzdistel -	
Clematis vitalba Gemeine Waldrebe -	
Convallaria majalis Maiglöckchen -	
Cornus sanguinea Blutroter Hartriegel -	
Corylus avellana Haselnuß -	
Crataegus laevigata Zweigriffeliger Weißdorn -	
Crataegus monogyna Eingriffeliger Weißdorn -	
Crepis paludosa Sumpf-Pippau -	
Dactylis glomerata Knäuelgras -	
Deschampsia cespitosa Rasen-Schmiele -	
Deschampsia flexuosa Draht-Schmiele -	
Dryopteris dilatata Breitblättriger Dornfarn -	
Dryopteris filix-mas Gemeiner Wurmfarn -	
Epilobium hirsutum Behaartes Weidenröschen -	
Equisetum palustre Sumpf-Schachtelhalm -	
Europäisches Pfaffenhütchen -	
Eupatorium cannabinum Gemeiner Wasserdost -	
Fagus sylvatica Rot-Buche -	
Fallopia sachalinaris Sachalin-Staudenknöterich -	
Festuca altissima Wald-Schwingel -	
Filipendula ulmaria Echtes Mädesüß -	
Filipendula ulmaria ssp. denudata Echtes Mädesüß -	
Fontinalis antipyretica Gemeines Brunnenmoos -	
Frangula alnus - Faulbaum -	
Fraxinus excelsior Gemeine Esche -	
Galium aparine Kletten-Labkraut -	
Galium odoratum Waldmeister -	
Galium palustre Sumpf-Labkraut -	
Geranium robertianum Stinkender Storchschnabel -	
Geum rivale Bach-Nelkenwurz -	
Geum urbanum Echte Nelkenwurz -	
Glechoma hederacea Gundermann -	
Glyceria fluitans Flutender Schwaden -	
Glyceria maxima Wasser-Schwaden -	

Wissenschaftlicher Artname	Deutscher Artname	Rote Liste	Häufigkei
Hedera helix	Gemeiner Efeu	-	
Heracleum mantegazzianum	Riesen-Bärenklau	-	
Heracleum sphondylium	Gemeiner Bärenklau	-	
Holcus mollis	Weiches Honiggras	-	
Humulus lupulus	Gemeiner Hopfen	-	
Ilex aquifolium	Stechpalme	-	
Impatiens glandulifera	Drüsiges Springkraut	-	
Impatiens noli-tangere	Echtes Springkraut	-	
Iris pseudacorus	Wasser-Schwertlilie	-	
Juncus bufonius	Kröten-Binse	-	
Juncus effusus	Flatter-Binse	-	
Juncus tenuis	Sand-Binse	-	
Lamium galeobdolon	Goldnessel	-	
Lapsana communis	Gemeiner Rainkohl	_	
Lonicera periclymenum	Deutsches Geißblatt	_	
Lycopus europaeus	Ufer-Wolfstrapp	_	
Lysimachia vulgaris	Gemeiner Gilbweiderich	_	
Lythrum salicaria	Gemeiner Blutweiderich	_	
Melica uniflora	Einblütiges Perlgras	_	
Mentha aquatica	Wasser-Minze	_	
Milium effusum	Wald-Flattergras	_	
Mycelis muralis	Mauerlattich	_	
Moehringia trinervia	Dreinervige Nabelmiere	_	
Myosotis scorpioides	Sumpf-Vergißmeinnicht	_	
Nasturtium microphyllum	Kleinblättrige Brunnenkresse	_	
Oxalis acetosella	Wald-Sauerklee	_	
Paris quadrifolia	Einbeere	_	
Persicaria hydropiper	Pfeffer-Knöterich	_	
Petasites hybridus	Gemeine Pestwurz	_	
Phalaris arundinacea	Rohr-Glanzgras	_	
Phragmites australis	Gemeines Schilf	_	
Phyteuma spicatum	Ährige Teufelskralle	_	
Picea abies	Gemeine Fichte	_	
Plantago major s.l.	Breit-Wegerich	_	
Poa nemoralis	Hain-Rispengras		
Poa trivialis	Gemeines Rispengras		
Polygonatum multiflorum	Vielblütige Weißwurz		
Populus alba	Silber-Pappel		
Populus x canescens	Grau-Pappel	_	
Populus x canescens Populus tremula	Zitter-Pappel	_	
Populus tremula Primula elatior	Wald-Primel	_	
Prunus avium	Vogelkirsche		
Prunus avium Prunus padus	Gewöhnliche Traubenkirsche	_	
Prunus paaus Prunus serotina	Späte Traubenkirsche	_	
		_	
Quercus robur	Stiel-Eiche	_	
Ranunculus auricomus agg.	Gold-Hahnenfuß	-	
Ranunculus repens	Kriechender Hahnenfuß	-	
Ribes nigrum	Schwarze Johannisbeere	-	
Ribes uva-crispa Rorippa amphibia	Stachelbeere Wasser-Sumpfkresse	-	
	Maggar Nummtkragga	1	

Wissenschaftlicher Artname	Deutscher Artname	Rote Liste	Häufigkeit
Rubus idaeus	Himbeere	-	
Rumex sanguineus	Blut-Ampfer	-	
Rumex hydrolapathum	Fluß-Ampfer	-	
Rumex obtusifolius	Stumpfblättriger Ampfer	-	
Salix alba	Silber-Weide		
Salix caprea	Sal-Weide		
Salix cinerea	Grau-Weide		
Salix x multinervis	Vielnervige Weide		
Salix pentandra	Lorbeer-Weide		
Salix purpurea	Purpur-Weide		
Salix triandra	Mandel-Weide		
Salix viminalis	Korb-Weide		
Sambucus nigra	Schwarzer Holunder		
Sanicula europaea	Sanikel		
Schoenoplectus lacustris	Gemeine Teichsimse		
Scirpus sylvaticus	Waldsimse		
Scrophularia nodosa	Knoten-Braunwurz		
Scutellaria galericulata	Gemeines Helmkraut		
Solanum dulcamara	Bittersüßer Nachtschatten		
Sorbus aucuparia	Eberesche		
Sparganium erectum	Ästiger Igelkolben		
Spirodela polyrhiza	Vielwurzelige Teichlinse		
Stachys palustris	Sumpf-Ziest		
Stachys sylvatica	Wald-Ziest		
Stellaria media	Vogelmiere		
Stellaria nemorum	Hain-Sternmiere		
Tilia platyphyllos	Sommer-Linde		
Typha angustifolia	Schmalblättriger Rohrkolben		
Ulmus glabra	Berg-Ulme		
Urtica dioica	Große Brennessel		
Valeriana procurrens	Kriechender Baldrian		
Veronica beccabunga	Bachbunge		
Viburnum opulus	Gemeiner Schneeball		
Vinca minor	Kleines Immergrün		
Viola riviniana	Hain-Veilchen		

# Dieksee – Physikalische und chemische Befunde EDV-Nr.: 129076

Probenahmedatum			7.2.2002				2002	
Uhrzeit [ME(S)Z]			13:00				:30	
Windrichtung			W				)	
Windstärke	Bft.		2-3				-6	
Lufttemperatur	°C		7,9				2,7	
Luftdruck	hPa		1010,9			10	04	
Sichttiefe	m		4,50				20	
Entnahmetiefe	m	1	10	37	1	10	24	37
Wassertemperatur	°C	4,6			18,5	13,4	8,3	7,6
Leitfähigkeit b. 25 °C	mS/m	46,4			47,0	47,5	47,9	48,2
pH - Wert		8,18			8,73	8,40	8,02	7,89
Farbe		1			1	1	1	1
Trübung		3			3	3	3	3
Geruch		1			1	1	1	1
Sauerstoff	mg/l	-			11,3	9,1	7	5,2
O <sub>2</sub> -Sättigungsindex	%	-			122	88	60	44
TOC	mg/l	5,8			7,7	7,2	6,8	7,5
DOC	mg/l	5,8			7,1	6,8	6,6	7,1
SAK bei 254 nm	1/m	14,3			15,5	15,5	15,3	15,7
SAK bei 436 nm	1/m	0,4			0,2	0,3	0,2	0,3
Säurekapazität -( pH 4,3 )	mmol/l	2,62			2,85	2,86	2,86	2,89
Säurekapazität -( pH 8,2 )	mmol/l	0,04			0,12	0,04	-	-
Basenkapazität -( pH 8,2)	mmol/l	_			-	-	0,06	0,08
Hydrogencarbonat	mg/l	160			174	174	174	176
Chlorid	mg/l	36			35	35	35	35
Ammonium-N	mg/l	0,011			0,022	0,097	0,088	0,34
Nitrit-N	mg/l	0,0029			0,011	0,034	0,013	0,03
Nitrat-N	mg/l	0,704			0,421	0,441	0,683	0,515
Gesamtstickstoff	mg/l	1,1			1,2	1,3	1,4	1,6
o-Phosphat-P	mg/l	0,087			0,011	0,043	0,070	0,125
Gesamtphosphor	mg/l	0,10			0,041	0,065	0,092	0,16
Sulfat	mg/l	39,9			44,1	42,3	42,3	41,7
SiO <sub>2</sub>	mg/l	5,84			0,661	1,02	3,11	4,42
Natrium	mg/l	20,8						
Kalium	mg/l	4,93						
Calcium	mg/l	62,2						
Magnesium	mg/l	7,64						
Eisen	mg/l	0,014						
Mangan	mg/l	0,012						
Aluminium	mg/l	0,013						
Chlorophyll a	μg/l	2			8			
Phaeophytin	μg/l	0			1			

Probenahmedatum			24.	7.2002		17.9.2002						
Uhrzeit [ME(S)Z]			1	3:30			13:30					
Windrichtung				NW		NW						
Windstärke	Bft.			4-5				2-3				
Lufttemperatur	°C			17,4			1	18,4				
Luftdruck	hPa			004,4				011				
Sichttiefe	m			2,40				1,90				
Entnahmetiefe	m	1	10	Mitte Hypol.	37	1	10	Mitte Hypol.	37			
Wassertemperatur	°C	18,3	16,3	8,5	7,9	19,2	17,4	8,6	7,9			
Leitfähigkeit b. 25 °C	mS/m	43,4	45,5	47,8	48,9	41,7	44,2	48,1	49,9			
pH - Wert		8,38	7,98	7,62	7,74	8,38	7,62	7,57	7,57			
Farbe		1	1	1	1	1	1	1	1			
Trübung		3	3	3	3	3	3	3	3			
Geruch		1	1	1	1	1	1	1	99			
Sauerstoff	mg/l	9,1	4,9	2,0	0,4	8,6	1,0	0,3	0			
O <sub>2</sub> -Sättigungsindex	%	98	50	17	3	93	10	3	0			
TOC	mg/l	7,3	6,8	6,7	7,0	8,0	7,0	6,8	7,6			
DOC	mg/l	6.9	6,6	6,4	6.9	7,4	6.7	6,7	7,3			
SAK bei 254 nm	1/m	15,2	14,8	15,5	16,7	16	15,4	16	17,7			
SAK bei 436 nm	1/m	0,4	0,3	0,3	1,0	0,6	0,5	0,6	0,6			
Säurekapazität -( pH 4,3 )	mmol/l	2,47	2,65	2,81	2,97	2,32	2,57	2,94	3,26			
Säurekapazität -( pH 8,2 )	mmol/l	-,	-	-	-	-	-	-	-			
Basenkapazität -( pH 8,2 )	mmol/l		0.09	0,16	0,15	0,04	0,18	0,22	0,21			
Hydrogencarbonat	mg/l	151	162	171	181	142	157	179	199			
Chlorid	mg/l	34	35	36	35	34	34	35	35			
Ammonium-N	mg/l	0.059	0.075	0.028	0,334	<0.01	0,015	0,216	1,49			
Nitrit-N	mg/l	0,0098	0,0067	0,0048	0,114	0,0022	0,026	0,174	<0,001			
Nitrat-N	mg/l	0,131	0,244	0,765	0,355	<0,05	0,198	0,355	<0,05			
Gesamtstickstoff	mg/l	0,86	0,93	1,3	1,5	0,71	0,81	1,2	1,9			
o-Phosphat-P	mg/l	0,0083	0,013	0,124	0,219	0,0031	0,0062	0,164	0,434			
Gesamtphosphor	mg/l	0,031	0,029	0,14	0,24	0,038	0,028	0,22	0,49			
Sulfat	mg/l	39,3	40,7	40,3	41,2	37,2	38,4	35,2	35.3			
SiO <sub>2</sub>	mg/l	2,34	3,13	5,30	7,01	3,75	3,70	5,57	7,73			
Natrium	mg/l	_,-,-	-,	-,	.,		-,	-,	.,			
Kalium	mg/l											
Calcium	mg/l											
Magnesium	mg/l											
Eisen	mg/l											
Mangan	mg/l											
Aluminium	mg/l											
Chlorophyll a	μg/l	6				17						
Phaeophytin	µg/l	2				1						

## Dieksee – Phytoplankton

	7.2.2002		5.6.2002		24.7.2002		17.9.2002	
	Abund.	Bio-Vol.	Abund.	Bio-Vol.	Abund.	Bio-Vol.	Abund.	Bio-Vol.
	n/ml	mm <sup>3</sup> /l	n/ml	mm <sup>3</sup> /l	n/ml	mm <sup>3</sup> /l	n/ml	mm <sup>3</sup> /l
KI. Cyanophyceae								
Anabaena spp.			165,71	0,016			x	
Anabaena sp.			1678,59	0,093				
Anabaena flos-aquae					111,64	0,014		
Anabaena flos-aquae/ A. perturbata							х	
Anabaena planctonica							х	
Aphanizomenon flos-aquae (Fäden)			x		1,89	0,002	20,02	0,020
Aphanizomenon cf. gracile (Fäden)							56,48	0,056
Aphanizomenon issatschenkoi (Fäden)							25,02	0,015
Aphanothecoideae indet.			35178,51	0,018	х		x	
Aphanothece bachmannii							x	
Limnothrix sp.							813,96	0,212
Microcystis aeruginosa					555,26	0,054	64198,20	6,291
Microcystis viridis							1320,61	0,141
Microcystis wesenbergii					36,25	0,004	215,42	0,024
Planktolyngbya limnetica	х						х	
Planktothrix sp. (Fäden)	0,80	0,003					Х	
Pseudanabaena spp.							х	
Romeria sp.							х	
Snowella lacustris							х	
Snowella litoralis							х	
Woronichinia naegeliana			х		33,04	0,001	3352,83	0,086
KI. Cryptophyceae								
Cryptomonas spp.	2,09	0,005	x		68,25	0,142	67,21	0,120
Rhodomonas cf. lens	61,49	0,027						
Rhodomonas minuta	270,98	0,037	700,97	0,099	165,88	0,019	649,74	0,073
KI. Bacillariophyceae								
Ord.: Centrales								
Acanthoceras zachariasii					х		х	
Aulacoseira spp.	2,22	0,008						
Aulacoseira granulata	*				55,05	0,037	х	
Aulacoseira islandica	*							
Cyclotella spp.	*				Х			
Melosira varians	х							
Stephanodiscus spp.					х		х	
Stephanodiscus neoastraea	*							
Zentrale Diatomeen <12µm	x						х	
Zentrale Diatomeen >30µm	3,30	0,046						
Ord.: Pennales								
Asterionella formosa	35,53	0,018			12,87	0,007	х	
Fragilaria capucina	x				x			
Fragilaria crotonensis	x				12,42	0,022	x	
Fragilaria spp.					x			

	7.2.2002		5.6.2002		24.7.2002		17.9.2002	
	Abund.	Bio-Vol.	Abund.	Bio-Vol.	Abund.	Bio-Vol.	Abund.	Bio-Vol.
	n/ml	mm³/l	n/ml	mm <sup>3</sup> /l	n/ml	mm³/l	n/ml	mm <sup>3</sup> /l
KI. Chlorophyceae								
Ord.: Volvocales								
Carteria sp.							77,22	0,172
Chlamydomonas spp.			642,56	0,075				
Pandorina/Eudorina			40,32	0,026				
Pandorina morum			10,08	0,003	Х			
Phacotus lenticularis			х		Х		х	
Ord.: Tetrasporales								
Paulschulzia tenera							х	
Ord.: Chlorococcales								
Ankistrodesmus sp.							х	
<i>Ankyra</i> spp.			1369,50	0,067				
Ankyra judayi			*	-,				
Ankyra lanceolata			*					
Botryococcus braunii			х				х	
Coelastrum astroideum			1077,44	0,106	x		^	
Coelastrum astroideum, groß			189,28	0,148	^			
Coelastrum reticulatum			100,20	0,140	х			
Dictyosphaerium spp.					x			
Eutetramorus/ Sphaerocystis			575,12	0,056	^			
Monoraphidium contortum	x		373,12	0,030				
•					v			
Monoraphidium minutum	x				Х			
Nephrocytium agardhianum Oocystis spp.			х				x x	
Pediastrum boryanum			^					
•							X	
Pediastrum duplex					Х		X	
Pediastrum tetras							X	
Planktosphaeria gelatinosa Scenedesmus spp.	.,		Х				X	
Tetrastrum staurogeniaeforme	х				X		Х	
•					Х			
Tetrastrum triangulare							Х	
Ord.: Ulotrichales								
Koliella longiseta	X							
KI. Conjugatophyceae								
Closterium sp.	X		Х				X	
Closterium aciculare	0,20	0,001			0,54	0,003	4,02	0,021
Closterium acutum var. variabile	х				9,90	0,003	31,39	0,009
Cosmarium sp.							Х	
Mougeotia spp.							X	
Staurastrum spp.	Х				2,98	0,059		
Staurastrum chaetoceras							Х	
Kl. Chrysophyceae								
Dinobryon divergens					х			
Mallomonas spp.	X						X	
KI. Haptophyceae								
Chrysochromulina parva	x				х		X	
KI. Dinophyceae								
Ceratium furcoides			0,82	0,089	х		0,10	0,005
Ceratium hirundinella			0,14	0,010			7,66	0,428
Woloszynskia pseudopalustris			x					
Gymnodinium helveticum	x							
Kolkwitziella acuta					х		x	
Peridiniopsis polonicum							0,10	0,002
Peridinium/Peridiniopsis sp.	x							
Unbestimmte Flagellaten	x							
SUMME 178		0,145		0,805		0,366		7,674

## Dieksee – Zooplankton

	7.2.2002	5.6.2002	24.7.2002	17.9.2002
Ciliata				
Ciliata indet.	W	s	W	s
Epistylis spp.			h	s
Codonella sp.	W			s
Rotatoria				
Ascomorpha ecaudis			s	W
Asplanchna priodonta			s	
Collotheca spp.	S		s	s
Conochilus unicornis		W	W	s
Filinia longiseta v. limnetica				s
Filinia terminalis	S			
Kellicottia longispina	S	s	s	s
Keratella cochlearis	S	W	mi	w
K. c. f. tecta		s	W	W
Keratella quadrata		w	s	s
Polyarthra dolichoptera/vulgaris	S	S	W	W
Pompholyx sulcata		S	W	W
cf. Synchaeta spp.	S	s	s	
Trichocerca capucina			W	s
Trichocerca similis			s	W
Cladocera				
Bosmina (Eubosmina) coregoni		s	W	W
Bosmina (Bosmina) longirostris	S			
Chydorus sphaericus		s	s	
Daphnia longispina-Komplex Summe	S	W	s	s
Daphnia cucullata		s	s	s
Daphnia hyalina/galeata	s	s	s	s
Diaphanosoma brachyurum				s
Copepoda				
Nauplien	s	mi	mi	w
Calanoida				
Copepodide	S	mi	W	W
Eudiaptomus gracilis	S			
Eudiaptomus graciloides	S	W	W	S
Cyclopoida				
Copepodide	W	s	W	W
Cyclops cf. abyssorum	S			
Cyclops kolensis	S			
Mesocyclops leuckarti		s	s	S
Thermocyclops oithonoides		s	s	S
Sonstige				
Bivalvia: Dreissena-Larven			mi	s

## Dieksee – Makrozoobenthos

30.4.2001	0,5 m	2 m	3 m	4 m	5 m	6 m	7 m	8 m	9 m	15 m	37,5 m
Taxon		Tiere/m²			Tiere/m <sup>2</sup>			Tiere/m²	Tiere/m <sup>2</sup>		Tiere/m <sup>2</sup>
Hydrozoa	7.0.0/111		1.0.0/111				7.0.0/111		7.0.0/111		
Hydra sp.				89							
Oligochaeta	2024	133	1998	1154	44	133	488	1510	1421	799	
Turbellaria											
Dugesia sp.					89						
Polycelis sp.					89						
Gastropoda											
Acroloxus lacustris	33										
Anisus vortex		t		t							
Bithynia leachii	t		t								
Bithynia tentaculata		t	t	178	44	t	t	t	t		
Gyraulus albus	t	89									
Gyraulus crista						44		t			
Hippeutis complanatus	t										
Potamopyrgus antipodarum	1535		t								
Radix sp.	t							t			
Theodoxus fluviatilis	t		t		44	44		t			
Valvata cristata								t			
Valvata piscinalis	t	t	t	t	t	133	44	t	t	t	
Viviparus viviparus	t										
Bivalvia											
Anodonta anatina			44	05-	40	t					
Dreissena polymorpha	t	t	t	355	1909	355	t	t	t	t	
Pisdium sp.	t	t	t	133	t		t	89	t	t	
Sphaerium corneum	t							t			
Unio sp.					t						
Hirudinea					470						
Erpobdella octoculata		4.4			178						
Glossiphonia complanata		44			44 133						
Helobdella stagnalis Hydrachnidia	65		266	133	133	311	355	222	44	44	
Crustacea	00		200	133	133	311	333	222	44	44	
Asellus aquaticus	65	89			44						
Ephemeroptera	00	09			44						
Caenis horaria	588	622	311	488	133	89					
Caenis luctuosa	163	022	311	400	133	44					
Caenis sp.	816	44		44		7-7					
Heteroptera	010										
Micronecta sp.		488									
Trichoptera		400									
Cyrnus flavidus					44						
Molanna albicans				44			44				
Molanna angustata	33										
Mystacides sp.						44					
Oecetis ochracea				89							
Orthotrichia sp.	33										
Triaenodes bicolor					44						
Diptera											
Chaoboridae											
Chaoborus flavicans									178	89	599
Chironomidae											
Tanypodinae											
Ablabesmya sp.			44								
Procladius sp.	490	488	266	755	355		266	488	888		22
Tanypus vilipennis		1554									
Prodiamesinae											
Prodiamesa olivacea	33										
Orthocladiinae											
Psectrocladius cf. sordidellus	33										
Zalutschia zalutschicola									44		
Chironominae											
Chironomini											
Chironomus anthracinus-Gr.							89	133			
Chironomus plumosus-Gr.							89	178	222	355	44
Chironomus sp.	65	178	000			44	4.			89	67
Cryptochironomus sp.	98		266	89			44				
Dicrotendipes cf. lobiger	0.5	4.4	07-	F-7-	44	44	4.4				
Dicrotendipes modestus	65	44	977	577	977	710	44				
Endochironomus cf. albipennis	131	89									
Glyptotendipes paripes			44	400	000	044					
Microtendipes chloris	98		44	400	266	311					
Microtendipes cf. pedellus											

## Behler See – Ufer- und Unterwasservegetation

#### Armleuchteralgenzone

Wissenschaftlicher Artname	Deutscher Artname	Rote Liste	Häufigkeit
Chara contraria	Gegensätzliche Armleuchteralge	3	D
Chara globularis	Zerbrechliche Armleuchteralge		Z

#### **Tauchblattzone**

Wissenschaftlicher Artname	Deutscher Artname	Rote Liste	Häufigkeit
Alisma gramineum	Grasblättriger Froschlöffel	1	Z
Ceratophyllum demersum	Rauhes Hornblatt		Z
Chlorophyceae	Fädige Grünalgen		D
Elodea canadensis	Kanadische Wasserpest		Z
Lemna trisulca	Dreifurchige Wasserlinse		W
Myriophyllum spicatum	Ähriges Tausendblatt	3	Z
Potamogeton cripus	Krauses Laichkraut		W
Potamogeton friesii	Stachelspitziges Laichkraut	2	Z
Potamogeton pectinatus	Kamm-Laichkraut		D
Potamogeton perfoliatus	Durchwachsenes Laichkraut		Z
Potamogeton pusillus agg.	Zwerg-Laichkraut	3	Z
Ranunculus circinatus	Spreizender Wasserhahnenfuß		Z
Zannichellia palustris	Sumpf-Teichfaden		Z

#### Schwimmblattzone

Wissenschaftlicher Artname	Deutscher Artname	Rote Liste	Häufigkeit
Lemna minor	Kleine Wasserlinse		W
Nuphar lutea	Gelbe Teichrose		Z
Nymphaea alba	Weiße Seerose		W
Polygonum amphibium	Wasser-Knöterich		W
Spirodela polyrhiza	Vielwurzelige Teichlinse		W

#### $R\"{o}hrichte, Bruchw\"{a}lder, Feuchtgr\"{u}nland \ und \ weitere \ angrenzende \ Fl\"{a}chen$

Wissenschaftlicher Artname	Deutscher Artname	Rote Liste	Häufigkeit
Acer pseudoplatanus	Berg-Ahorn		Z
Achillea ptarmica	Sumpf-Schafgarbe		W
Acorus calamus	Kalmus		W
Aegopodium podagraria	Giersch		Z
Agrostis stolonifera	Weißes Straußgras		Z
Ajuga reptans	Kriechender Günsel		W
Alnus glutinosa	Schwarz-Erle		D
Alnus incana	Grau-Erle		W
Alopecurus geniculatus	Knick-Fuchsschwanz		Z
Angelica sylvestris	Wald-Engelwurz		Z
Athyrium filix-femina	Wald-Frauenfarn		Z
Berula erecta	Berle		W
Betula pendula	Hänge-Birke		W
Betula pubescens	Moor-Birke		Z
Blysmus compressus	Zusammengedrückte Quellbinse	2	W
Butomus umbellatus	Schwanenblume		Z

Röhrichte, Bruchwälder, Feuchtgrünland und weitere angrenzende Flächen

Wissenschaftlicher Artname	Deutscher Artname	Rote Liste	Häufigkeit
Calamagrostis canescens	Sumpf-Reitgras		Z
Callitriche spec.	Wasserstern		W
Caltha palustris	Sumpf-Dotterblume		Z
Calystegia sepium	Gewöhnliche Zaunwinde		Z
Cardamine amara	Bitteres Schaumkraut		W
Carex acuta	Schlank-Segge		W
Carex acutiformis	Sumpf-Segge		Z
Carex disticha	Zweizeilige Segge		Z
Carex elata	Steif-Segge		Z
Carex elongata	Walzen-Segge		W
Carex flacca	Blaugrüne Segge		W
Carex hirta	Behaarte Segge		Z
Carex nigra	Wiesen-Segge		W
Carex paniculata	Rispen-Segge		Z
Carex pseudocyperus	Scheinzypergras-Segge		W
Carex remota	Winkel-Segge		Z
Circaea lutetiana	Großes Hexenkraut		Z
Cirsium oleraceum	Kohldistel		Z
Cirsium palustre	Sumpf-Kratzdistel		Z
Corylus avellana	Hasel		Z
Crataegus monogyna	Eingriffliger Weißdorn		Z
Craidegus monogyna Crepis paludosa	Sumpf-Pippau		Z
Dactylorhiza majalis	Breitblättriges Knabenkraut	3	W
	Rasen-Schmiele	3	Z
Deschampsia cespitosa			Z
Dryopteris dilatata	Breitblättriger Dornfarn		
Eleocharis palustris	Gewöhnliche Sumpfbinse		W
Epilobium hirsutum	Zottiges Weidenröschen		Z
Epilobium parviflorum	Kleinblütiges Weidenröschen		W
Equisetum fluviatile	Teich-Schachtelhalm		W
Equisetum palustre	Sumpf-Schachtelhalm		Z
Eupatorium cannabinum	Wasserdost		Z
Fagus sylvatica	Rot-Buche		Z
Festuca pratensis	Wiesen-Schwingel		Z
Festuca rubra agg.	Rot-Schwingel		Z
Filipendula ulmaria	Echtes Mädesüß		Z
Fraxinus excelsior	Gewöhnliche Esche		Z
Galium aparine	Kletten-Labkraut		Z
Galium palustre	Sumpf-Labkraut		Z
Galium uliginosum	Moor-Labkraut	3	W
Geum rivale	Bach-Nelkenwurz		Z
Geum urbanum	Echte Nelkenwurz		Z
Glechoma hederacea	Gundermann		Z
Glyceria fluitans	Flutender Schwaden		Z
Glyceria maxima	Wasser-Schwaden		Z
Holcus lanatus	Wolliges Honiggras		Z
Humulus lupulus	Hopfen		Z
Hydrocotyle vulgaris	Gewöhnlicher Wassernabel		W
Hypericum tetrapterum	Vierflügeliges Johanniskraut		Z
Impatiens noli-tangere	Echtes Springkraut		W
Iris pseudacorus	Sumpf-Schwertlilie		W
Juncus articulatus	Glieder-Binse		Z
Juncus bufonius	Kröten-Binse		W

#### Röhrichte, Bruchwälder, Feuchtgrünland und weitere angrenzende Flächen

Wissenschaftlicher Artname	Deutscher Artname	Rote Liste	Häufigkeit
Juncus effusus	Flatter-Binse		Z
Juncus inflexus	Blaugrüne Binse		Z
Juncus subnodulosus	Stumpfblütige Binse	3	W
Lathyrus pratensis	Wiesen-Platterbse		Z
Lemna minor	Kleine Wasserlinse		Z
Lolium perenne	Weidelgras		Z
Lonicera periclymenum	Wald-Geißblatt		Z
Lotus uliginosus	Sumpf-Hornklee		Z
Lychnis flos-cuculi	Kuckucks-Lichtnelke		Z
Lycopus europaeus	Ufer-Wolfstrapp		Z
Lysimachia nummularia	Pfennigkraut		Z
Lysimachia thyrsiflora	Strauß-Gilbweiderich	3	W
Lysimachia vulgaris	Gewöhnlicher Gilbweiderich		Z
Lythrum salicaria	Blut-Weiderich		W
Mentha aquatica	Wasser-Minze		Z
Menyanthes trifoliata	Fieberklee	3	W
Molinia caerulea	Pfeifengras		Z
Myosotis palustris agg.	Sumpf-Vergißmeinnicht		Z
Peucedanum palustre	Sumpf-Haarstrang		W
Phalaris arundinacea	Rohr-Glanzgras		Z
Phragmites australis	Schilf		D
Plantago lanceolata	Spitz-Wegerich		Z
Poa trivialis	Gewöhnliches Rispengras		Z
Polygonum amphibium	Wasser-Knöterich		Z
Populus spec.	Pappel		Z
Populus tremula	Espe		Z
Potentilla anserina	Gänse-Fingerkraut		Z
Primula veris	Echte Schlüsselblume	3	W
Quercus robur	Stiel-Eiche	3	W
Ranunculus acris	Scharfer Hahnenfuß		Z
	Kriechender Hahnenfuß		Z
Ranunculus repens	Staudenknöterich		W
Reynoutria spec. Rhinanthus serotinus		2	
	Großer Klappertopf	3	W
Ribes grossularia	Stachelbeere		W
Ribes nigrum	Schwarze Johannisbeere		Z
Ribes rubrum agg.	Rote Johannisbeere		Z
Rorippa amphibia	Wasser-Sumpfkresse		W
Rubus caesius	Kratzbeere		Z
Rubus fruticosus agg.	Brombeere		Z
Rubus idaeus	Himbeere		Z
Rumex acetosa	Wiesen-Sauerampfer		Z
Rumex conglomeratus	Knäuel-Ampfer		Z
Rumex crispus	Krauser Ampfer		Z
Rumex hydrolapathum	Fluß-Ampfer		Z
Salix caprea	Sal-Weide		W
Salix cinerea	Grau-Weide		Z
Salix spec.	Weide		Z
Sambucus nigra	Schwarzer Holunder		Z
Schoenoplectus lacustris	Seebinse		Z
Schoenoplectus tabernaemontani	Salz-Teichsimse		W
Scirpus sylvaticus	Wald-Simse		Z
Scutellaria galericulata	Sumpf-Helmkraut		Z

#### Röhrichte, Bruchwälder, Feuchtgrünland und weitere angrenzende Flächen

Wissenschaftlicher Artname	Deutscher Artname	Rote Liste	Häufigkeit
Solanum dulcamara	Bittersüßer Nachtschatten		Z
Sorbus aucuparia	Eberesche		Z
Sparganium erectum	Ästiger Igelkolben		Z
Spirodela polyrhiza	Vielwurzelige Teichlinse		W
Stachys palustris	Sumpf-Ziest		Z
Stachys sylvatica	Wald-Ziest		Z
Telekia speciosa	Telekie		W
Thelypteris palustris	Sumpffarn	3	Z
Trifolium repens	Weiß-Klee		Z
Triglochin palustre	Sumpf-Dreizack	3	W
Typha angustifolia	Schmalblättriger Rohrkolben		D
Typha latifolia	Breitblättriger Rohrkolben		W
Ulmus spec.	Ulme		W
Urtica dioica	Große Brennessel		Z
Valeriana dioica	Kleiner Baldrian	3	Z
Valeriana officinalis agg.	Echter Baldrian		Z
Veronica beccabunga	Bachbungen-Ehrenpreis		W
Viburnum opulus	Gewöhnlicher Schneeball		Z

# Behler See – Physikalische und chemische Befunde EDV-Nr.:

Probenahmedatum			7.2.2002			5.6.2	2002	
Uhrzeit [ME(S)Z]			10:00				:00	
Windrichtung			W				0	
Windstärke	Bft.		2-3			4	-5	
Lufttemperatur	°C		6,8				),3	
Luftdruck	hPa		1010,7				04	
Sichttiefe	m		4,40			-	70	
Entnahmetiefe	m	1	10	41	1	10	25	41
Wassertemperatur	°C	4,8			19,0	10,8	6,9	6,1
Leitfähigkeit b. 25 °C	mS/m	45,1			44,0	45,6	46,4	47,1
pH - Wert		8,23			8,93	8,34	7,91	7,65
Farbe		1			1	1	1	1
Trübung		3			3	3	3	3
Geruch		1			1	1	1	1
Sauerstoff	mg/l	12,9			11,7	7,7	6,8	3
O <sub>2</sub> -Sättigungsindex	%	101			127	70	56	24
TOC	mg/l	5,7			7,5	6,9	6,9	7,2
DOC	mg/l	5,7			7,0	6,9	6,8	7,0
SAK bei 254 nm	1/m	13,9			14,6	14,8	14,8	15,4
SAK bei 436 nm	1/m	0,4			0,2	0,2	0,2	0,3
Säurekapazität -( pH 4,3 )	mmol/l	2,50			2,58	2,63	2,70	2,78
Säurekapazität -( pH 8,2 )	mmol/l	0,03			0,17	-	-	-
Basenkapazität -( pH 8,2)	mmol/l	_			-	-	0,07	0,13
Hydrogencarbonat	mg/l	153			157	160	165	170
Chlorid	mg/l	36			36	36	36	36
Ammonium-N	mg/l	0,016			0,024	0,218	0,324	0,79
Nitrit-N	mg/l	0,0038			0,0059	0,022	0,017	0,02
Nitrat-N	mg/l	0,488			<0,05	0,149	0,363	0,246
Gesamtstickstoff	mg/l	0,99			0,83	1,1	1,3	1,8
o-Phosphat-P	mg/l	0,078			<0,005	0,045	0,078	0,194
Gesamtphosphor	mg/l	0,10			0,037	0,063	0,12	0,27
Sulfat	mg/l	41,4			40,1	42,4	42,5	42,7
SiO <sub>2</sub>	mg/l	5,42			0,545	1,45	2,83	4,21
Natrium	mg/l	20,9						
Kalium	mg/l	4,80						
Calcium	mg/l	58,5						
Magnesium	mg/l	7,51						
Eisen	mg/l	0,002						
Mangan	mg/l	0,007						
Aluminium	mg/l	0,009						
Chlorophyll a	μg/l	2			5			
Phaeophytin	μg/l	1			1			

Probenahmedatum			24.7	7.2002			17.9.	2002	
Uhrzeit [ME(S)Z]		10:00				10:00			
Windrichtung			ı	٧W			N'	W	
Windstärke	Bft.		;	3-4			2	-3	
Lufttemperatur	°C		1	5,9			17	7.6	
Luftdruck	hPa			03.0			10	,	
Sichttiefe	m			,80				70	
Entnahmetiefe	m	1	10	Mitte Hypol.	41	1	10		41
Wassertemperatur	°C	18,4	15,4	6,4	6,2	19,0	15,2	6,9	6,4
Leitfähigkeit b. 25 °C	mS/m	41,5	44,1	46.3	47,1	40,6	44,1	46,6	47,3
pH - Wert		8,44	7,88	7,52	7,52	8,46	7,61	7,60	7,51
Farbe		1	1	1	1	1	1	1	1
Trübung		3	3	3	3	3	3	3	3
Geruch		1	1	1	1	1	59	59	79
Sauerstoff	mg/l	10,1	4,4	0,7	0,4	8,9	<0,2	0,4	<0,2
O <sub>2</sub> -Sättigungsindex	%	109	44	6	3	96		3	
TOC	mg/l	7,2	7,0	6,6	7,1	8,8	6,8	6,9	7,1
DOC	mg/l	7,1	6,8	6,6	6,9	7,8	6.8	6.9	7,0
SAK bei 254 nm	1/m	14,9	14,4	14,9	16,2	16,6	15,6	16,9	15,9
SAK bei 436 nm	1/m	0,3	0,3	0,3	1	0,5	0,6	0,8	0,6
Säurekapazität -( pH 4,3 )	mmol/l	2,27	2,48	2,63	2,73	2,26	2,56	2,69	2,83
Säurekapazität -( pH 8,2 )	mmol/l	-	-	-	-	-	-	-	-
Basenkapazität -( pH 8,2 )	mmol/l	-	0.08	0,15	0,18	-	0,15	0,19	0,22
Hydrogencarbonat	mg/l	138	151	160	167	138	156	164	173
Chlorid	mg/l	35	36	36	36	34	35	36	36
Ammonium-N	mg/l	0,023	0,045	0,029	0,400	0,015	0,177	0,290	0,785
Nitrit-N	mg/l	0.0022	0.0063	0.0059	0,153	<0.001	<0.001	0,151	0,025
Nitrat-N	mg/l	<0,05	0,144	0,706	0,27	<0,05	<0,05	0,181	<0,05
Gesamtstickstoff	mg/l	0,69	0.78	1,3	1,4	0,79	0,65	1,1	1,3
o-Phosphat-P	mg/l	0,012	0,038	0,168	0,243	<0,005	0,111	0,221	0,299
Gesamtphosphor	mg/l	0,035	0,054	0,21	0,27	0,053	0,12	0,250	0,35
Sulfat	mg/l	36,9	38,7	39,2	39,5	35,2	36,8	37,7	38,1
SiO <sub>2</sub>	mg/l	1,60	3,08	4,65	5,90	2,63	3,54	4,76	5,83
Natrium	mg/l	,	-,	,	-,	,	-,-	, -	-,
Kalium	mg/l								
Calcium	mg/l								
Magnesium	mg/l								
Eisen	mg/l								
Mangan	mg/l								
Aluminium	mg/l								
Chlorophyll a	μg/l	10				30			
Phaeophytin	μg/l	2				1			
	r 3	_							

## Behler See – Phytoplankton

	7.2.2002		5.6.2002		24.7.2002		17.9.2002	
	Abund.	Bio-Vol.	Abund.	Bio-Vol.	Abund.	Bio-Vol.	Abund.	Bio-Vol.
	n/ml	mm³/l	n/ml	mm³/l	n/ml	mm³/l	n/ml	mm³/l
KI. Cyanophyceae								
Anabaena spp.			1490,76	0,062				
Anabaena sp.			х					
Anabaena cf. circinalis							х	
Anabaena compacta							х	
Anabaena flos-aquae					х			
Anabaena flos-aquae/ A. perturbata							15202,13	1,490
Anabaena planctonica					x		х	
Anabaena solitaria f. smithii							х	
Aphanizomenon flos-aquae (Fäden)			5,94	0,008	4,50	0,004	396,27	0,440
Aphanizomenon cf. gracile (Fäden)							421,26	0,416
Aphanizomenon issatschenkoi (Fäden)							164,22	0,073
Aphanothecoideae indet.			66852,15	0,035	х		x	
Aphanothece bachmannii							х	
Cyanodictyon spp.			х					
Limnothrix sp.	×						х	
Microcystis spp.			х					
Microcystis aeruginosa					1458,56	0,096	6550,31	0,430
Microcystis viridis					00,00	0,000	х	0, .00
Microcystis wesenbergii					42,24	0,004	x	
Planktolyngbya sp.					72,27	0,004	1038,87	0,196
Planktothrix sp. (Fäden)			x				110,67	0,130
Pseudanabaena spp.			^				x	0,130
Snowella lacustris							x	
Snowella litoralis								
Woronichinia naegeliana							x 1039,10	0,027
KI. Cryptophyceae							1039,10	0,027
Cryptomonas spp.	24,57	0,051	v		146,05	0,183	104.42	0,161
Rhodomonas cf. lens			Х		140,03	0,103	104,42	0,101
Rhodomonas minuta	39,13	0,020	1200 10	0.145	1003,43	0.112		
	424,76	0,067	1298,10	0,145	1003,43	0,112	Х	
KI. Bacillariophyceae								
Ord.: Centrales					Х		Х	
Acanthoceras zachariasii					4.47.40	0.004		
Aulacoseira granulata	X				147,42	0,091	Х	
Aulacoseira islandica	X *							
Cyclotella spp.					Х			
Melosira varians	X							
Rhizosolenia sp.					Х			
Stephanodiscus spp.	*				X			
Stephanodiscus neoastraea	*							
Zentrale Diatomeen <12µm	91,52	0,012			X			
Zentrale Diatomeen >30µm	13,14	0,166						
Ord.: Pennales								
Amphora sp.	Х							
Asterionella formosa	61,20	0,033			164,25	0,085	Х	
Cymatopleura sp.	X							
Diatoma sp.					X			
Fragilaria crotonensis					162,40	0,269	х	
Fragilaria ulna, klein					4,41	0,009		
Fragilaria ulna, groß					2,43	0,016		
Nitzschia cf. acicularis	x				Х			

	7.2.2002		5.6.2002		24.7.2002		17.9.2002	
	Abund.	Bio-Vol.	Abund.	Bio-Vol.	Abund.	Bio-Vol.	Abund.	Bio-Vol.
	n/ml	mm <sup>3</sup> /l	n/ml	mm <sup>3</sup> /l	n/ml	mm <sup>3</sup> /l	n/ml	mm <sup>3</sup> /l
KI. Chlorophyceae								
Ord.: Volvocales								
Carteria sp.							481,24	0,884
Pandorina morum			х		x			
Phacotus lenticularis	x				x		x	
Ord.: Tetrasporales								
Paulschulzia tenera					x			
Ord.: Chlorococcales								
Actinastrum hantzschii							x	
Ankistrodesmus fusiformis							х	
Ankyra judayi					x		х	
Botryococcus braunii			х		х		x	
Coelastrum astroideum			596,96	0,058				
Dictyosphaerium spp.			3,00	-,500			х	
Eutetramorus/ Sphaerocystis			96,46	0,009				
Monoraphidium minutum			50,40	0,000			х	
Oocystis spp.							X	
Pediastrum boryanum							^	
Pediastrum duplex			v		v		v	
Pediastrum tetras			Х		Х		X	
Scenedesmus spp.							X	
Scenedesmus obtusus							X	
							Х	
Ord.: Ulotrichales								
Elakatothrix genevensis	х							
KI. Conjugatophyceae								
Closterium aciculare	Х				Х		Х	
Closterium acutum var. variabile	Х		Х		Х		Х	
Cosmarium spp.							Х	
Mougeotia spp.							Х	
Staurastrum spp.	X							
Staurastrum chaetoceras							Х	
KI. Chrysophyceae								
Dinobryon sociale					X		Х	
KI. Haptophyceae								
Chrysochromulina parva	х				Х		Х	
KI. Dinophyceae								
Amphidinium/Katodinium spp.							X	
Ceratium furcoides			0,10	0,011	0,56	0,036	2,70	0,110
Ceratium hirundinella			1,38	0,094	0,18	0,009	4,70	0,240
Gonyaulax apiculata							Х	
Gymnodinium sp.								
Woloszynskia pseudopalustris			x		x		x	
Gymnodinium helveticum	x							
Kolkwitziella acuta					x		x	
Peridiniopsis sp.								
Peridiniopsis berolinense					x			
Peridiniopsis polonicum					x		1,10	0,022
Peridinium spp.			0,08	0,004			1,10	0,053
Unbestimmte Flagellaten					x		x	
SUMME		0,349		0,426		0,915		4,671

## Behler See – Zooplankton

	7.2.2002	5.6.2002	24.7.2002	17.9.2002
Ciliata				
Ciliata indet.	W	s	W	s
Epistylis spp.			h	
Codonella sp.	W		mi	S
Rotatoria				
Ascomorpha ecaudis		s	W	S
Asplanchna priodonta			W	
Brachionus diversicornis				S
Collotheca spp.			S	S
Conochilus unicornis		W	W	S
Gastropus cf. stylifer			S	S
Euchlanis cf. dilatata		s	S	
Filinia longiseta				S
Filinia terminalis	S			
Kellicottia longispina	S	s	s	S
Keratella cochlearis	S	W	mi	w
K. c. f. tecta			W	w
Keratella hiemalis	S			
Keratella quadrata		w	W	w
Notholca sp.	S			
Polyarthra dolichoptera/vulgaris	S	s	mi	S
Pompholyx sulcata			W	S
cf. Synchaeta spp.	S	S	W	S
Trichocerca capucina	v	· ·	w	· ·
Trichocerca similis			w	w
Cladocera			-	
Bosmina (Eubosmina) coregoni			s	S
Bosmina (Bosmina) longirostris	S	s		
Bythotrephes longimanus		S		
Ceriodaphnia sp.				s
Chydorus sphaericus			s	S
Daphnia longispina-Komplex Summe	S	w	s	S
Daphnia cucullata		*	*	S
Daphnia hyalina/galeata	S	*	*	
Diaphanosoma brachyurum				S
Leptodora kindtii				S
Copepoda				
Nauplien	S	w	mi	w
Calanoida				
Copepodide	S	w	s	S
Eudiaptomus gracilis	S	s		S
Eudiaptomus graciloides	S	W	s	S
Cyclopoida				
Copepodide	W	s	W	w
Cyclops cf. abyssorum	s	s		
Cyclops kolensis	s	-		
Cyclops vicinus	Ü	s		
Mesocyclops leuckarti		s	s	S
Thermocyclops oithonoides		s	s	s
Sonstige		3	3	3
Bivalvia: <i>Dreissena</i> -Larven		s	mi	S
DIVARIA. DI GIGGOTIA LAI VOIT		3	1111	<u> </u>

### Behler See - Makrozoobenthos

4.5.2001	0,5 m	2 m	3 m	5 m	6 m	7 m	8 m	10 m	20 m	35 m
Taxon	Tiere/m²	Tiere/m²	Tiere/m²	Tiere/m²	Tiere/m <sup>2</sup>	Tiere/m²	Tiere/m²	Tiere/m²	Tiere/m²	Tiere/m²
Hydrozoa										
Hydra sp.	33		666	89						
Oligochaeta	1437	1154	311	89		133	666	355	2575	
Stylaria lacustris										
Turbellaria										
Dugesia sp.					44					
Polycelis sp.				44		44				
Gastropoda										
Acroloxus lacustris								t		
Anisus vortex Bithynia tentaculata		44	4.4				t			
	t t	44	44				t	t		
Gyraulus albus Potamopyrgus antipodarum	849	888	1066	2264	t	t	t		t	
Radix sp.	t	000	1000	2204	ι	ι	t		ı	
Valvata piscinalis	t	44	44			t	t	t		
Bivalvia	<u> </u>							,		
Dreissena polymorpha	424	89	222	444	400	t	133	t	t	
Pisdium sp.	33	- 00		89	178	89	t	t		
Hirudinea							-	-		
Erpobdella octoculata	229									
Helobdella stagnalis	33	44	44	Ì						
Hydrachnidia	196	222	266	666	266	44	1554	44		
Crustacea										
Asellus aquaticus	33			89	44					
Gammarus pulex	33									
Ephemeroptera										
Caenis horaria	98	178	622	400	799	533	400			
Caenis luctuosa	555	755	533	133	266	133	89			
Caenis sp.	131		533							
Centroptilum luteolum	33									
Heteroptera										
Micronecta sp.							44			
Trichoptera Agraylea multipunctata			44							
Athripsodes cinereus		44	44							
Cyrnus flavidus		44				44				
Molanna angustata	33					44				
Mystacides longicornis	33		44	44						
Mystacides sp.				178			222			
Orthotrichia sp.				170			89			
Oxyethira sp.				89	89	44				
Diptera										
<u>Chaoboridae</u>										
Chaoborus flavicans								89	266	400
Chironomidae										
Tanypodinae										
Conchapelopia melanops				44						
Procladius sp.		89		622		133	178	178	44	
Orthocladiinae										
Psectrocladius cf. sordidellus		89								
Psectrocladius cf. calcaratus	33									
Chironominae										
Chironomini Chironomus anthracinus-Gr.								255		
Chironomus anthracinus-Gr. Chironomus plumosus-Gr.								355 710	799	
Chironomus sp.							89	, 10	89	
Cryptochironomus sp.	163	44		133					- 55	
Demicryptochironomus cf. vulneratus	65			100			44	44		
Dicrotendipes cf. lobiger	65	89	44		89	44	44			
Dicrotendipes modestus	229	44	89		133	44	89			
Dicrotendipes sp	33									
Endochironomus cf. albipennis	33	44				44		44		
Microtendipes chloris			44		89	89	89	89		
Microtendipes cf. pedellus				178						
Microtendipes sp.	33									
Paracladopelma sp.		133	44				44			
Paratendipes albimanus			89							
Polypedilum cf. nubeculosum	490	2620	1199	799	444	266	977	444	178	44
Polypedilum sp.	98	266	44	178	44		444			
Stictochironomus sp.	65	44								
Pseudochironomini	45	15-								
Pseudochironomus prasinatus	1502	133								
Tanytarsini	2677	1770	00	-	44		00	-		
Cladotanytarsus sp.	2677	1776	89	44	44		89		44	
Paratanytarsus sp. Tanytarsus sp.	98	133	488	1643	266	44	533	133	44 44	
Tanytarsus sp. Tanytarsus usmaensis	90	133	400	1043	∠00	44	555	103	44	
Ceratopogonidae	98	***	44	89						
Bezzia sp.	163		888	311	44					44
Dozzia op.	100		000	911	74			i		74

## Schwentine-See - Ufer- und Unterwasservegetation

#### Armleuchteralgenzone

Wissenschaftlicher Artname	Deutscher Artname	Rote Liste
Chara globularis	Zerbrechliche Armleuchteralge	

#### **Tauchblattzone**

Wissenschaftlicher Artname	Deutscher Artname	Rote Liste
Butomus umbellatus	Schwanenblume	
Callitriche hermaphroditica	Herbst-Wasserstern	SH: 2
Elodea canadensis	Kanadische Wasserpest	
Elodea nuttallii	Amerikanische Wasserpest	
Myriophyllum spicatum	Ähriges Tausendblatt	SH: 3
Potamogeton crispus	Krauses Laichkraut	
Potamogeton lucens	SpiegeIndes Laichkraut	SH: 3
Potamogeton obtusifolius	Stumpfblättriges Laichkraut	SH: 2
Potamogeton pectinatus	Kamm-Laichkraut	
Potamogeton perfoliatus	Durchwachsenes Laichkraut	
Potamogeton pusillus	Zwerg-Laichkraut	SH: 3
Ranunculus aquatilis	Wasser-Hahnenfuß	
Ranunculus circinatus	Spreizender Hahnenfuß	
Zannichellia palustris	Sumpf-Teichfaden	

#### Schwimmblattzone

Wissenschaftlicher Artname	Deutscher Artname	Rote Liste
Nuphar lutea	Gelbe Teichrose	
Nymphaea alba	Weiße Seerose	

#### Röhrichte, Bruchwälder und angrenzende Flächen

Wissenschaftlicher Artname	Deutscher Artname	Rote Liste
Acer pseudoplatanus	Berg-Ahorn	
Acorus calamus	Kalmus	
Alnus glutinosa	Schwarz-Erle	
Alnus incana	Grau-Erle	
Betula nigra	Schwarz-Birke, Fluss-Birke	
Betula pendula	Hänge-Birke	
Betula pubescens	Moor-Birke	
Butomus umbellatus	Schwanenblume	
Calamagrostis canescens	Sumpf-Reitgras	
Calystegia sepium	Gemeine Zaunwinde	
Carex acutiformis	Sumpf-Segge	
Carex elata	Steife Segge	
Carex ssp.	Segge	
Carpinus betulus	Hainbuche	
Chrysosplenium alternifolium	Wechselblättriges Milzkraut	
Circaea lutetiana	Gewöhnliches Hexenkraut	
Cirsium palustre	Sumpf-Kratzdistel	
Cirsium vulgare	Gemeine Kratzdistel	
Corylus avellana	Gewöhnliche Haselnuss	
Crataegus laevigata	Zweigriffeliger Weißdorn	
Crataegus monogyna	Eingriffeliger Weißdorn	
Eleocharis palustris	Gemeine Sumpfbinse, Gemeines Sumpfried	
Epilobium hirsutum	Zottiges Weidenröschen	
Epilobium roseum	Rosarotes Weidenröschen	
Fagus sylvatica	Rotbuche	

Wissenschaftlicher Artname	Deutscher Artname	Rote Liste
Festuca gigantea	Riesen-Schwingel	
Filipendula ulmaria	Echtes Mädesüss	
Fraxinus excelsior	Gemeine Esche	
Galium aparine	Klebkraut	
Geranium robertianum	Stinkender Storchenschnabel	
Glechoma hederacea	Gundermann	
Glyceria maxima	Großer Schwaden	
Humulus lupulus	Hopfen	
Iris pseudacorus	Sumpf-Schwertlilie	
Juncus acutiflorus	Spitzblütige Binse	SH: 3
Juncus effusus	Flatter-Binse	<b>3</b> 1 <b>3</b>
Lycopus europaeus	Gemeiner Wolfstrapp	
Mentha aquatica	Wasser-Minze	
Mentha arvensis	Acker-Minze	
Myosotis scorpioides	Sumpf-Vergißmeinnicht	
Phalaris arundinacea	Rohr-Glanzgras	
Phragmites australis	Schilfrohr	
Picea abies	Fichte, Rottanne	
Populus nigra	Schwarz-Pappel	
Populus x canadensis	Kanadische Pappel	
Prunus avium	Süss-Kirsche	
Prunus aviam Prunus padus	Gewöhnliche Trauben-Kirsche	
Prunus spinosa	Schlehe, Schwarzdorn	
Quercus petraea	Trauben-Eiche	
Quercus robur	Stiel-Eiche	
Rumex hydrolapathum	Fluss-Ampfer	
Sagittaria sagittifolia	Echtes Pfeilkraut	
Salix alba	Silber-Weide	
Salix aurita	Ohr-Weide	
Salix babylonica	Trauer-Weide	
Salix caprea	Sal-Weide	
Salix fragilis	Bruch-Weide	
Salix pentandra	Lorbeer-Weide	
Salix triandra	Mandel-Weide	
Salix viminalis	Korb-Weide	
Sambucus nigra	Schwarzer Holunder	
Schoenoplectus lacustris	Sumpf-Binse, Flecht-Simse	
Scutellaria galericulata	Sumpf-Helmkraut	
Solanum dulcamara	Bittersüßer Nachtschatten	
Sorbus aucuparia	Eberesche	
Sparganium erectum	Ästiger Igelkolben	
Stachys palustris	Sumpf-Ziest	
Stachys sylvatica	Wald-Ziest	
Typha angustifolia	Schmalblättriger Rohrkolben	
Typha latifolia	Breitblättriger Rohrkolben	
Ulmus laevis	Flatter-Ulme	SH: 3
Urtica dioica	Große Brennessel	

## Schwentine-See – Physikalische und chemische Befunde EDV-Nr.:

Probenahmedatum		25.3.2004	24.5.	.2004	28.6.2	2004	4.8.2004	
Uhrzeit [ME(S)Z]		10:30	11	:00	11:00		10:00	
Windrichtung		NW	NW		W			
Windstärke	Bft.	1-2	3.	-4	2-3			
Lufttemperatur	°C	4,4	12	2,1	15,4		2	0
Luftdruck	hPa	1016	10	17	101	14		
Sichttiefe	m	1,80	4,	10	1,9	90	1,0	00
Entnahmetiefe	m	1	1	10	1	10	1	9
Wassertemperatur	°C	5,8	14,0	9,8	16,6	15,2	23,5	16,4
pH - Wert		9,06	8,27	7,70	8,41	7,67	9,15	7,39
Leitfähigkeit (TK 25 °C)	mS/m	46,3	45,1	47,3	45,8	47,3	38,5	47,1
Farbe		1	1	1	1	1	1	1
Trübung		3	3	3	3	3	3	3
Geruch		1	1	39	1	1	1	1
Sauerstoff	mg/l	16,2	9,4	0,4	8,9	5,6	21,6	0
O <sub>2</sub> -Sättigungsindex	%	128	91	5	90	57	253	0
TOC	mg/l	8,2	7,3	8,0	7,8	7,1	9,4	6,8
DOC	mg/l	6,5	6,8	6,4	6,8	6,4	7,6	6,6
TIC	mg/l	26	25	31	26	29	16	29
Säurekapazität -( pH 4,3 )	mmol/l	2,43	2,27	2,83	2,34	2,50	1,42	2,53
Säurekapazität -( pH 8,2 )	mmol/l	0,18			0,04		0,1	
Basenkapazität -( pH 8,2 )	mmol/l		0,04	0,23		0,15		0,2
Hydrogencarbonat	mg/l	126	138	173	138	153	74	154
Chlorid	mg/l	49	51	50	51	51	52	51
Ammonium-N	mg/l	0,012	0,148	0,628	<0,01	0,385	0,015	0,230
Nitrit-N	mg/l	0,0053	0,0035	0,0018	0,0010	0,0014	<0,001	<0,001
Nitrat-N	mg/l	0,157	<0,05	<0,05	<0,05	<0,05	<0,05	<0,05
Gesamtstickstoff	mg/l	0,96	0,81	1,4	0,63	1,0	1,2	0,80
o-Phosphat-P	mg/l	0,013	0,044	0,302	0,039	0,183	0,0074	0,195
Gesamtphosphor	mg/l	0,064	0,082	0,33	0,08	0,22	0,067	0,21
Sulfat	mg/l	35,4	37,1	32,6	35,7	35,7	37,7	33,7
SiO <sub>2</sub>	mg/l	<0,2	1,71	6,88	1,13	4,09	1,08	5,03
Natrium	mg/l	31,5						
Kalium	mg/l	4,64						
Calcium	mg/l	55,8						
Magnesium	mg/l	6,73						
Eisen	mg/l	0,11						
Mangan	mg/l	0,01						
Aluminium	mg/l	0,011						
Chlorophyll a	μg/l	36,3	7,3		14,8		53,0	
Phaeophytin	μg/l	1,9	1,9		1,9		10,7	

Probenahmedatum		30.8.	2004	4.10.	2004		
Uhrzeit [ME(S)Z]		11:		10:	10:00		
Windrichtung		SI	N	9	S		
Windstärke	Bft.	2-	3	3-4			
Lufttemperatur	°C	10	6	1	3		
Luftdruck	hPa	10	04	10	12		
Sichttiefe	m	1,2	25	1, <sup>-</sup>	75		
Entnahmetiefe	m	1	9	1	9		
Wassertemperatur	°C	18,6	14,3	14,2	14,2		
pH - Wert		8,38	7,29	8,22	8,12		
Leitfähigkeit (TK 25 °C)	mS/m	43,1	50,3	45,6	44,6		
Farbe		1	1	1	1		
Trübung		3	3	3	3		
Geruch		1	79	1	1		
Sauerstoff	mg/l	10,4	0,0	9,5	9,3		
O <sub>2</sub> -Sättigungsindex	%	114	0	92	89		
TOC	mg/l	7,8	6,5	6,9	6,8		
DOC	mg/l	6,8	6,3	6,6	6,3		
TIC	mg/l	21	31	23	23		
Säurekapazität -( pH 4,3 )	mmol/l	1,99	2,95	2,17	2,16		
Säurekapazität -( pH 8,2 )	mmol/l						
Basenkapazität -( pH 8,2 )	mmol/l	0,07	0,3	0,04	0,03		
Hydrogencarbonat	mg/l	121	180	132	132		
Chlorid	mg/l	53	52	53	53		
Ammonium-N	mg/l	0,012	1,15	0,074	0,07		
Nitrit-N	mg/l	<0,001	0,0010	0,0071	0,0071		
Nitrat-N	mg/l	<0,05	<0,05	0,077	0,077		
Gesamtstickstoff	mg/l	0,94	1,8	0,790	0,76		
o-Phosphat-P	mg/l	0,035	0,398	0,073	0,074		
Gesamtphosphor	mg/l	0,099	0,42	0,11	0,11		
Sulfat	mg/l	35,8	27,9	34,1	35,1		
SiO <sub>2</sub>	mg/l	2,75	8,85	0,454	0,594		
Natrium	mg/l						
Kalium	mg/l						
Calcium	mg/l				]		
Magnesium	mg/l						
Eisen	mg/l				]		
Mangan	mg/l				]		
Aluminium	mg/l						
Chlorophyll a	μg/l	36,7		22,5			
Phaeophytin	μg/l	3,0		1,8			

## Schwentine-See – Phytoplankton

	24.5.2004		28.6.	2004	4.8.2004		30.8.2	2004	4.10.2004	
	Abund.	BioVol.	Abund.	BioVol.	Abund.	. BioVol.	Abund.	BioVol.	Abund.	BioVol.
	n/ml	mm³/l	n/ml	mm³/l	n/ml	mm³/l	n/ml	mm³/l	n/ml	mm³/l
Bacillariophyceae										
Centrales										
Acanthoceras zachariasii									х	
Actinocyclus normanii							x			
Aulacoseira granulata	х		634,92	2,444	х		101,19	0,315	375,66	1,530
Aulacoseira granulata var. angustissima				•			•	•	164,02	
Cyclostephanos dubius			1934,38	0,218			х		x	
Cyclotella radiosa			x	-					x	
Melosira varians									x	
Rhizosolenia longiseta							x			
Skeletonema							53,57	0,055	х	
Stephanodiscus binderanus							,-	-,	x	
Stephanodiscus hantzschii			х						x	
Stephanodiscus neoastraea	2,72	2 0,026		0,161					x	
Zentrale Diatomeen 10-15µm	_,	- 0,020	20,10	0,.0.			217,12	0,164	20,68	0,008
Zentrale Diatomeen 20-25µm							217,12	0,101	99,94	•
Zentrale Diatomeen 25-30µm									37,91	
Pennales									01,01	0,201
Asterionella formosa			3595,24	1,977			16,53	0,010	108,47	0,077
Cocconeis placentula			0000,24	1,077			x	0,010	100,47	0,011
Diatoma tenuis					x		Α		<b>~</b>	
Fragilaria crotonensis	x		262,90	0,470			96,56	0,163	^ ~	
Fragilaria ulna	x		202,90	0,470			30,30	0,103	^	
Fragilaria ulna var. acus	^		v		320,5	51 0,105	37,04	0,088	9,92	0,025
Gyrosigma	V		Х		320,0	0,105	37,04	0,000	3,32	0,023
Nitzschia	Х		x				v		v	
Nitzschia acicularis-Typ			X		v		Х		X	
Nitzschia fruticosa					Х		197,09	0,071	^	
							197,09	0,071		
Chlamydophyceae Volvocales										
							000.00	0.007		
Carteria							283,33	0,297		
Chlorogonium							Х		Х	
Pandorina morum			х						Х	
Chlorophyceae										
Chlorococcales										
Actinastrum hantzschii	40404.04								Х	
Ankyra	10131,23	3 0,173								
Ankyra judayi										
Ankyra lanceolata	44.0				х		Х		Х	
Coelastrum astroideum	11,34	4 0,002							Х	
Dictyosphaerium pulchellum			х				X		х	
Elakatothrix	Х									
Lagerheimia genevensis							х			
Monoraphidium contortum					х		х			
Oocystis marssonii			х							
Planktosphaeria gelatinosa	175,26	0,233	х							
Scenedesmus acutus							x		x	
Scenedesmus quadricauda			х				Х		Х	

		24.5.	2004	28	3.6.200	4	4.8.2	004	30.8.	2004	4.10	0.2004
	Δ	bund.	BioVol.	Abun	d. Bio	oVol.			Abund.	BioVol	Abund.	BioVol.
		n/ml	mm³/l	n/m		nm³/l	n/ml	mm³/l	n/ml	mm³/l	n/ml	mm³/l
Protosiphonales												
Pediastrum boryanum				х					х			
Pediastrum duplex	х			х					х		x	
Pediastrum tetras				х							х	
Chrysophyceae												
Ochromonadales												
Dinobryon sertularia				х			883,33	0,183	x			
Synura							6929,13					
Conjugatophyceae												
Desmidiales												
Closterium aciculare											x	
Closterium acutum var. variabile	х			х					x		x	
Closterium parvulum	x											
Zygnematales												
Mougeotia									х		52,73	3 0.054
Cryptophyceae											,	-,
Cryptomonadales												
Cryptomonas 15-20µm		18,46	0,012				263,65	0,121			46,53	0,028
Cryptomonas 20-25µm		,	-,		,38	0,016				7 0,170		,
Cryptomonas 25-30µm		11,08	0,021		,	-,		-,	261,9			0,161
Rhodomonas lens		,00	0,02							_ 0,000	x	0,.0.
Rhodomonas minuta		800,00	0,063	485	.56	0,017	1102,36	0,055	11706,0	4 0,578	538,06	0,027
Cyanobakterien		000,00	0,000	.00	,00	0,0	1.02,00	0,000		. 0,0.0	000,00	0,02.
Chroococcales												
Aphanocapsa									x			
Coelosphaerium				х								
Microcystis									2298,2	8 0,056	x	
Microcystis aeruginosa				х			x		x	,		
Microcystis flos-aquae	x						x		x			
Microcystis viridis				х					x			
Microcystis wesenbergii							х		x			
Woronichinia naegeliana				х					x			
Nostocales												
Anabaena circinalis							2455,36	0,761				
Anabaena crassa							10714,29					
Anabaena flos-aquae				422	,65	0,020		,			x	
Anabaena macrospora					,		х					
Anabaena spiroides				х								
Aphanizomenon flos-aquae		1,42	0,004	х			х					
Aphanizomenon gracile		,	•								19,82	0,020
Aphanizomenon issatschenkoi									x		x	,
Oscillatoriales												
Limnothrix											59,62	2 0,019
Limnothrix amphigranulata									х		x	, -
Limnothrix redekei											х	
Planktolyngbya limnetica				х							x	
Planktothrix agardhii		0,97	0,004		.57	0,055			x		x	
Pseudanabaena limnetica		5,51	5,004		,	-,500			x		x	
Romeria elegans							×		x		<u> </u> ^	

	24.5.	2004	28.6.	2004	4.8.2004		30.8.2004		4.10.2004	
	Abund.	BioVol.	Abund.	BioVol.	Abund.	BioVol.	Abund.	BioVol.	Abund.	BioVol.
	n/ml	mm³/l	n/ml	mm³/l	n/ml	mm³/l	n/ml	mm³/l	n/ml	mm³/l
Dinophyceae										
Peridiniales										
Ceratium			10,91	0,434						
Ceratium furcoides			х		1005,29	35,170				
Ceratium hirundinella	х		х		502,65	17,301	3,87	0,128	x	
Peridinium					148,15	1,988	54,23	0,884		
Euglenophyceae										
Euglenomonadales										
Euglena							х		x	
Trachelomonas					х					
Haptophyceae										
Prymnesiales										
Chrysochromulina parva			4251,97	0,048	8398,95	0,153	3517,06	0,050	x	
Heterotrophe Flagellaten										
Heterotrophe Flagellaten										
Gymnodinium helveticum	х		х							

## Schwentine-See - Zooplankton

Cladocera   Alona affinis   Sominia coregoni gibbera   Sominia coregoni gibbera   Sominia coregoni gibbera   Sominia coregoni gibbera   Sominia congoni gibbera   Sominia congoni gibbera   Sominia conginarus   Ceriodaphnia pulchella   Ceriodaphnia pulchella   Ceriodaphnia quadrangula   Chydorus sphaericus   O.5   O.1   C.5   O.1   O.1   C.5   O.1   O.	Datum	<b>24.5.2004</b> Ind./I	<b>28.6.2004</b> Ind./l	<b>4.8.2004</b> Ind./l	<b>30.8.2004</b> Ind./l	<b>4.10.2004</b> Ind./l
Eudiaptomus gracilis						
Eudiaptomus graciloides						
Ciliata index						
Cilibata indet. Epistyles sp. 100,0   100,0	·	0,7	3,0	2,1	2,9	
Epistyles sp.			4.2		0.0	
Tintinnopsis sp. 0,1 0,1 0,6 0,2 127 Cladocera Alona affinis					0,9	
Cladocera   Alona affinis   Somina coregoni gibbera   Bosmina coregoni gibbera   Sosmina coregoni gibbera   Sosmina longirostris   1.0   Bythotrephes longimanus   0.0   Ceriodaphnia pulchella   Ceriodaphnia pulchella   Ceriodaphnia pulchella   Ceriodaphnia pulchella   Ceriodaphnia quadrangula   Chydorus sphaericus   0.5   0.1	. , .	0.1		0.6	0.2	127,4
Alona affinis   Sosmina coregoni   Bosmina coregoni   Bosmina coregoni   Bosmina coregoni gibbera   Sosmina longirostris   Bosmina longirostris   1,0		0,1	0,1	0,0	0,2	121,4
Bosmina coregoni   1,4   <0,1   <0,1   <0,1			<0,1			
Bosmina coregoni gibbera   Sosmina longirostris   1.0   Bythotrephes longimanus   0.0   Ceriodaphnia pulchella   Ceriodaphnia quadrangula   0.1   0.1   0.1   0.1   0.1   0.2   0.2   0.3   0.1   0.1   0.1   0.2   0.3   0.1   0.1   0.1   0.3   0.1   0.1   0.3   0.3   0.1   0.1   0.3   0.3   0.1   0.1   0.3   0.3   0.1   0.1   0.3   0.3   0.1   0.1   0.3   0.3   0.1   0.1   0.3   0.3   0.1   0.1   0.3   0.3   0.3   0.1   0.1   0.3   0.3   0.3   0.1   0.1   0.3   0.3   0.3   0.1   0.1   0.3   0.3   0.3   0.1   0.1   0.3   0.3   0.3   0.1   0.1   0.3   0.3   0.3   0.1   0.1   0.3   0.3   0.3   0.1   0.1   0.3   0.3   0.3   0.1   0.1   0.3   0.3   0.3   0.1   0.1   0.3   0.3   0.3   0.1   0.3   0.	Bosmina coregoni	1,4			<0,1	
Bythotrephes longimanus	Bosmina coregoni gibbera				•	6,2
Ceriodaphnia pulchella   Ceriodaphnia pulchella   Ceriodaphnia quadrangula   Contydorus sphaericus   Contydorus contydorus   Contyd	Bosmina longirostris	1,0				
Ceriodaphnia quadrangula	Bythotrephes longimanus	0,0				
Chydorus sphaericus						0,1
Daphnia cucullata         0,5         0,1         0,1         0,2           Daphnia galeata         0,2         0,3         0,1         0,1         0,2           Daphnia hyalina         -0,1         0,8         2           Daphnia x krausi         0,2         0,1         0,1         0,1           Daphnia x krausi         0,2         0,1         0,1         0,1         0,1           Diaphanosoma brachyurum         0,1         <0,1						
Daphnia galeata			<0,1	<0,1		3,9
Daphnia hyalina   Daphnia sp. juv.   11,5   0,1   0,8   2   2   2   2   2   2   2   2   2						0,5
Daphnia sp. juv.   11,5   0,1   0,8   22   20,1   12   20,1   20,2   20,2   20,6   20,6   2		0,2	0,3		0,1	0,0
Daphnia x krausi	. ,	,		<0,1		_
Daphnia x obscura			0,1			2,7
Diaphanosoma brachyurum   Leptodora kindti				2.4		2.2
Leptodora kindti		0,2		0,1		0,0
Nauplien		0.4	0.4	0.4		1,1
Nauplien		<0,1	<0,1	<0,1	<0,1	<0,1
Cyclopoida		19.9	22.8	20.6	16.2	22,3
Acanthocyclops robustus		.0,0		20,0	. 0,2	
Copepodite				0,1		
Cyclops kolensis         <0,1		1,2	1,2		15,1	19,2
Cyclops strenuus         <0,1	Cyclops kolensis	<0,1			•	
Diacyclops bicuspidatus   Eudiaptomus gracilis   Eudiaptomus gracilis   Company   Co	Cyclops strenuus	<0,1	<0,1			
Eudiaptomus graciloides         0,0         0,3         4,6         5,0         0           Mesocyclops leuckarti         0,0         0,3         4,6         5,0         0           Thermocyclops crassus         0,1         0,1         0,1         0,1           Thermocyclops oithonoides         0,2         0,2         0,6         0,9         0           Rotatoria         Ascomorpha saltans         0,5         1,8         Asplanchna c.f. priodonta         0,1         0,2         Brachionus angularis         1,4         5         1,4         5         1,4         5         1,4         5         1,4         5         1,4         5         1,4		<0,1				<0,1
Eudiaptomus graciloides   Mesocyclops leuckarti   0,0   0,3   4,6   5,0   0   0   0   0   0   0   0   0   0				<0,1		
Mesocyclops leuckarti						0,1
Thermocyclops crassus						0,8
Thermocyclops oithonoides		0,0	0,3	4,6		0,2
Rotatoria						
Ascomorpha saltans Asplanchna c.f. priodonta Brachionus angularis Brachionus calyciflorus Brachionus diversicornis Cephalodella sp. Conochillus unicornis Filinia longiseta Gastropus stylifer Kellicottia longispina Keratella cochlearis Keratella cochlearis f. tecta Keratella quadrata Polyarthra dolichoptera Polyarthra wulgaris Pompholyx sulcata Synchaeta sp. Trichocerca capucina Trichocerca rousseleti Trichocerca similis  Asplanchna c.f. priodonta D, 1 D, 2 D, 3 D, 4 D, 5 D, 6 D, 6 D, 6 D, 7	, ,	0,2	0,2	0,6	0,9	0,3
Asplanchna c.f. priodonta Brachionus angularis Brachionus calyciflorus Brachionus diversicornis Cephalodella sp. Conochillus unicornis Filinia longiseta Gastropus stylifer Kellicottia longispina Keratella cochlearis Keratella cochlearis Folyarthra dolichoptera Polyarthra wulgaris Pompholyx sulcata Synchaeta sp. Trichocerca capucina Trichocerca rousseleti Trichocerca rousseleti Trichocerca similis Sonstige Acari indet. Arcella sp. Con,1 Co,1 Co,1 Co,1 Co,1 Co,1 Co,1 Co,1 Co			0.5	4.0		
Brachionus angularis   1,4		0.1	0,5			
Brachionus calyciflorus   Cophalodella sp.   O,6   Conochilus unicornis   Sa,2   O,6   S,4   2   Castropus stylifer   Sa,5   Centella cochlearis   Senstige   Sonstige   Conochilus unicornis   Sa,2   O,6   S,4   2   Centella cochlearis   Sonstige   Conochilus unicornis   Sa,2   O,6   S,4   2   Centella cochlearis   Sa,5   Centella cochlearis	•	0,1		0,2	1.1	
Brachionus diversicornis   Cephalodella sp.   O,6						<0,1
Cephalodella sp.         0,6           Conochillus unicornis         38,2         0,6         5,4         2           Filinia longiseta         0,1         0,5         1,2         3         3           Gastropus stylifer         3,5         Kellicottia longispina         0,8         2,7         0,6         0,9         3           Kerlatella cochlearis         19,0         161,4         30,1         46,7         132           Keratella cochlearis f. tecta         1,6         7,7         57,1         17           Keratella quadrata         8,2         32,4         0,6         1,4         27           Polyarthra dolichoptera         1,9         1,1         0,6         1,4         27           Polyarthra major         0,6         0,5         2,9         9,4         13           Pompholyx sulcata         23,4         2,4         3,8         27           Synchaeta sp.         <0,1						ζ0,1
Conochilus unicornis				0.6	0,0	
Filinia longiseta Gastropus stylifer Kellicottia longispina 0,8 0,8 2,7 0,6 0,9 3 Keratella cochlearis 19,0 161,4 30,1 46,7 132 Keratella cochlearis f. tecta 1,6 7,7 57,1 17 Keratella quadrata 8,2 32,4 0,6 1,4 27 Polyarthra dolichoptera 1,9 1,1 0,6 Polyarthra wulgaris 0,6 0,5 2,9 9,4 13 Pompholyx sulcata 23,4 2,4 3,8 27 Synchaeta sp.    Synchaeta sp. <0,1 0,5 1,2 4 Trichocerca capucina Trichocerca pusilla Trichocerca rousseleti Trichocerca similis 1,1 44,2 0,2 1  Sonstige Acari indet. Arcella sp. Chaoborus sp. Chironomidae larvae			38.2		5.4	2,1
Gastropus stylifer       3,5         Kellicottia longispina       0,8       2,7       0,6       0,9       3         Keratella cochlearis       19,0       161,4       30,1       46,7       132         Keratella cochlearis f. tecta       1,6       7,7       57,1       17         Keratella quadrata       8,2       32,4       0,6       1,4       27         Polyarthra dolichoptera       1,9       1,1       0,6       0,6       0       0,6       0       0,6       0       0       0,6       0       0       0,6       0       0       0,6       0		0.1			٥, .	_, .
Kellicottia longispina         0,8         2,7         0,6         0,9         3           Keratella cochlearis         19,0         161,4         30,1         46,7         132           Keratella cochlearis f. tecta         1,6         7,7         57,1         17           Keratella quadrata         8,2         32,4         0,6         1,4         27           Polyarthra dolichoptera         1,9         1,1         0,6         1,4         27           Polyarthra major         0,6         0,5         2,9         9,4         13           Pompholyx sulcata         23,4         2,4         3,8         27           Synchaeta sp.         <0,1			-,-			
Keratella cochlearis         19,0         161,4         30,1         46,7         132           Keratella cochlearis f. tecta         1,6         7,7         57,1         17           Keratella quadrata         8,2         32,4         0,6         1,4         27           Polyarthra dolichoptera         1,9         1,1         0,6         7         7         7         7         18         17         18         13         13         13         13         13         13         13         13         13         13         13         14         13         13         14         13         13         14         14         13         14         14         14         14 <td></td> <td>0,8</td> <td>2,7</td> <td></td> <td>0,9</td> <td>3,2</td>		0,8	2,7		0,9	3,2
Keratella cochlearis f. tecta         1,6         7,7         57,1         17           Keratella quadrata         8,2         32,4         0,6         1,4         27           Polyarthra dolichoptera         1,9         1,1         0,6         0	Keratella cochlearis					132,7
Polyarthra dolichoptera	Keratella cochlearis f. tecta		1,6	7,7	57,1	17,0
Polyarthra major   Polyarthra vulgaris   0,6   0,5   2,9   9,4   13   13   13   13   13   13   13   1		8,2				27,6
Polyarthra vulgaris         0,6         0,5         2,9         9,4         13           Pompholyx sulcata         23,4         2,4         3,8         27           Synchaeta sp.         <0,1	Polyarthra dolichoptera	1,9	1,1	0,6		
Pompholyx sulcata       23,4       2,4       3,8       27         Synchaeta sp.       <0,1	,					0,9
Synchaeta sp.       <0,1	-	0,6				13,8
Trichocerca capucina         0,6         0           Trichocerca pusilla         2,4         0           Trichocerca rousseleti         0,6         0,2         4           Trichocerca similis         1,1         44,2         0,2         1           Sonstige         Acari indet.         <0,1	. ,				3,8	27,6
Trichocerca pusilla       2,4         Trichocerca rousseleti       0,6       0,2       4         Trichocerca similis       1,1       44,2       0,2       1         Sonstige         Acari indet.       <0,1	, ,	<0,1	0,5			4,2
Trichocerca rousseleti         0,6         0,2         4           Trichocerca similis         1,1         44,2         0,2         1           Sonstige         4         4         2         0,2         1           Acari indet.         <0,1						0,1
Trichocerca similis         1,1         44,2         0,2         1           Sonstige         Acari indet.         <0,1						
Sonstige <th< td=""><td></td><td></td><td>4.4</td><td></td><td></td><td>4,2</td></th<>			4.4			4,2
Acari indet.       <0,1			1,1	44,2	0,2	1,1
Arcella sp. 0,4 0,2 Chaoborus sp. <0,1 <0,1 <0 Chironomidae larvae <0,1 <0,1 <0,1	_	<i>-</i> ∩ 1	<b>-</b> ∩ 1	<b>-</b> 0 1		
Chaoborus sp. <0,1 <0,1 <0 Chironomidae larvae <0,1 <0,1 <0,1		\\\\\\\\\\\\\\\\\\\\\\\\\\\\\\\\\\\\\\	₹0,1		0.2	
Chironomidae larvae <0,1 <0,1 <0,1	•		<b>∠</b> ∩ 1		0,2	<0,1
	·	<0.1				٦٥,١
jureissena polymorpha   9.6 0.4 0.7 <0	Dreissena polymorpha	10,1	9,6	0,4	0,7	<0,1
			-,-	-, -	-,-	<0,1
		<0,1				<0,1

### Schwentine-See - Makrozoobenthos

	Transe	kt 1			Transe	kt 2	Transekt 3		
	0-1 m	2-4 m	5-7 m	10 m	0-1 m	2-4 m	0-1 m	2-4 m	
	Ind/m <sup>2</sup>	Ind/m <sup>2</sup>			Ind/m <sup>2</sup>		_	Ind/m <sup>2</sup>	
Mollusca									
Gastropoda									
Anisus sp					s				
Bithynia leachii			s			s			
Bithynia tentaculata					47	47		47	
Gyraulus albus	188								
Potamopyrgus antipodarum	658	564	141		141	329		141	
Radix sp.	S	S							
Theodoxus fluviatilis		S						47	
Valvata piscinalis	S	S	S		S			S	
Bivalvia									
Dreissena polymorpha	282	S	S		282	188	282	2303	
Pisidium sp.	94	47	S		S	S		47	
Unionidae								94	
Unio tumidus						47			
Oligochaeta									
Lumbricidae									
Tubificidae	188	893	1974	846	94		94	235	
Hirudinea							ĺ		
Erpobdella octoculata					47			94	
Helobdella stagnalis								141	
Theromyzon tessulatum									
Hydrachnidia		423	564				94	94	
Crustacea									
Asellus aquaticus								47	
Gammarus pulex									
Ephemeroptera									
Caenis horaria	1551	2867			1504	329	188	940	
Caenis luctuosa	1880	282			94	141	94	188	
Caenis sp.								94	
Centroptilum luteolum						94	47		
Ephemera vulgata					141		94	47	
Heteroptera							<u> </u>		
Micronecta sp.		1081							
Coleoptera									
Platambus maculatus									
Trichoptera									
Athripsodes cinereus						47			
Cyrnus trimaculatus						<u> </u>	1	47	
Molanna angustata							1	47	
Mystacides azurea						47		<u> </u>	
Mystacides nigra						47	1	1	
Mystacides sp.						<u> </u>	1	47	
Diptera							1	1	
Chaoboridae									
Chaoborus flavicans			282	282	94				
Chironomidae				<b></b> _					
Tanypodinae									
Procladius sp.	94	564	141		47	94			
Orthocladiinae	<u> </u>				47				
Cricotopus sp.					141		235	1	
Psectrocladius sordidellus	47						<u></u>		
Chironominae	<del>-   - :</del>	1					1	1	
					<b>!</b>	<b></b>	<del>                                     </del>	-	
Chironomini indet.									
Chironomini indet. Chironomus cf. plumosus			564	987					
Chironomus cf. plumosus		141	564	987	94	47		94	
Chironomus cf. plumosus Cryptochironomus sp.		141	564	987	94	47		94	
Chironomus cf. plumosus		141	564	987	94	47		94 47 94	

### Lanker See – Ufer- und Unterwasservegetation

Arten der Roten Liste sind fett gedruckt und mit Angabe ihres Gefährdungsstatus für Schleswig-Holstein aufgeführt (MIERWALD 1990, HAMANN & GARNIEL 2002) .

wissenschaftlicher Artname	deutscher Artname	Häufigkeit
Acer pseudoplatanus	Berg-Ahorn	Z
Achillea millefolium	Gemeine Schafgabe	Z
Achillea ptarmica	Sumpf-Schafgabe	Z
Acorus calamus	Kalmus	Z
Aegopodium podagraria	Giersch	Z
Aesculus hippocastaneum	Gemeine Roßkastanie	W
Agrostis canina	Hunds-Straußgras	W
Agrostis gigantea	Riesen-Straußgras	Z
Agrostis stolonifera	Weißes Straußgras	Z
Agrostis tenuis	Rot-Straußgras	Z
Ajuga reptans	Kriechender Günsel	Z
Alchemilla glabra (RL 3)	Kahler Frauenmantel	W
Alisma plantago-aquatica	Gemeiner Froschlöffel	Z
Alliaria petiolata	Knoblauchsrauke	Z
Allium oleraceum	Gemüselauch	W
Alnus glutinosa	Schwarz-Erle	Z
Alnus incana	Grau-Erle	W
Alopecurus geniculatus	Knick-Fuchsschwanz	Z
Alopecurus pratensis	Wiesen-Fuchsschwanz	Z
Anemone nemorosa	Busch-Windröschen	W
Angelica sylvestris	Wald-Engelwurz	Z
Anthoxanthum odoratum	Gemeines Ruchgras	Z
Anthriscus sylvestris	Wiesen-Kerbel	Z
Arctium lappa	Große Klette	Z
Arrhenatherum elatius	Glatthafer	Z
Artemisia vulgaris	Gemeiner Beifuß	Z
Barbarea vulgaris	Echtes Barbarakraut	Z
Bellis perennis	Gänseblümchen	Z
Berula erecta	Berle	Z
Betula pendula	Hänge-Birke	Z
Betula pubescens	Moor-Birke	Z
Bidens cernua	Nickender Zweizahn	Z
Bidens tripartita	Dreiteiliger Zweizahn	Z
Blysmus compressus (RL 2)	Flaches Quellried	W
Bolboschoenus maritimus	Gemeine Strandsimse	W
Bromus hordeaceus	Weiche Trespe	Z
Butomus umbellatus	Schwanenblume	W
Calamagrostis canescens	Sumpf-Reitgras	W
Calamagrostis epigejos	Sand-Reitgras	W
Calamagrostis stricta (RL 2)	Übersehenes Reitgras	W
Callitriche hermaphroditica (RL 2)	Herbst-Wasserstern	W
Caltha palustris	Sumpf-Dotterblume	Z
Calystegia sepium	Echte Zaunwinde	Z
Campanula rotundifolia	Rundblättrige Glockenblume	Z
Capsella bursa-pastoris	Gemeines Hirtentäschelkraut	Z
Cardamine amara	Bitteres Schaumkraut	W
Cardamine hirsuta	Behaartes Schaumkraut	W
Cardamine pratensis	Wiesen-Schaumkraut	Z
Carex acuta	Schlank-Segge	Z
Carex acutiformis	Sumpf-Segge	Z
Carex appropinquata (RL 2)	Wunder-Segge	W
Carex canescens	Grau-Segge	W

Carex disticha	Zweizeilige Segge	Z
Carex echinata (RL 3)	Igel-Segge	W
Carex elata	Steif-Segge	Z
Carex x elythroides	Bastard-Schlanksegge	W
Carex elongata	Langährige Segge	W
Carex flacca	Blaugrüne Segge	W
Carex hostiana (RL 1)	Saum-Segge	Stürmann 1998,
Carex muricata agg.	Dichtährige Segge	Z
Carex nigra	Wiesen-Segge	Z
Carex ovalis	Hasenpfoten-Segge	W
Carex pairae	Pairaes Segge	W
Carex panicea (RL 3)	Hirsen-Segge	W
Carex paniculata	Rispen-Segge	W
Carex pseudocyperus	Scheinzyper-Segge	Z
Carex remota	Winkel-Segge	W
Carex riparia	Ufer-Segge	W
Carex rostrata	Schnabel-Segge	W
Carex vesicaria	Blasen-Segge	Z
Carex viridula ssp. brachyrhyncha	Schuppen-Segge	Stürmann 1998,
Carex viridula ssp. oedocarpa	Aufsteigende Gelb-Segge	W
Carpinus betulus	Hainbuche	Z
Centaurea jacea	Wiesen-Flockenblume	Z
Cerastium holosteoides	Gemeines Hornkraut	Z
Ceratophyllum demersum	Gemeines Hornblatt	Z
Chaerophyllum temulum	Taumel-Kälberkropf	Z
Chara contraria (RL 3)	Gegensätzliche Armleuchteralge	W
Chara globularis	Zerbrechliche Armleuchteralge	Z
Chara vulgaris	Gemeine Armleuchteralge	W
Chenopodium album	Weißer Gänsefuß	Z
Chrysosplenium alternifolium	Wechselblättriges Milzkraut	W
Chrysosplenium oppositifolium	Gegenblättriges Milzkraut	W
Cicuta virosa	Wasserschierling	W
Cirsium arvense	Acker-Kratzdistel	Z
Cirsium oleraceum	Kohldistel	Z
Cirsium palustre	Sumpf-Kratzdistel	Z
Cirsium vulgare	Lanzett-Kratzdistel	Z
Conium maculatum	Gefleckter Schierling	W
Convolvulus arvensis	Acker-Winde	Z
Conyza canadensis	Kanadisches Berufkraut	Z
Corylus avellana	Haselnuß	Z
Crataegus laevigata	Zweigriffeliger Weißdorn	Z
Crataegus monogyna	Eingriffeliger Weißdorn	Z
Crepis capillaris	Wiesen-Pippau	Z
Crepis paludosa	Sumpf-Pippau	Z
Cynosurus cristatus	Weide-Kammgras	Z
Dactylis glomerata	Knäuelgras	Z
Dactylorhiza incarnata (RL2)	Fleischrotes Knabenkraut	W
Dactylorhiza majalis (RL3)	Breitblättriges Knabenkraut	W
Daucus carota	Wilde Möhre	Z
Deschampsia cespitosa	Rasen-Schmiele	Z
Dryopteris dilatata	Breitblättriger Dornfarn	Z
Dryopteris filix-mas	Gemeiner Wurmfarn	W
Eleocharis acicularis (RL3)	Nadel-Sumpfsimse	W
Eleocharis palustris	Gemeine Sumpfsimse	Z
Elodea canadensis	Kanadische Wasserpest	Z
Elodea nutallii	Nutall's Wasserpest	Z
Elymus repens	Gemeine Quecke	Z
Epilobium angustifolium	Schmalblättriges Weidenröschen	Z
Epilobium hirsutum	Behaartes Weidenröschen	z

Epilobium obscurum	Dunkelgrünes Weidenröschen	W
Epilobium palustre	Sumpf-Weidenröschen	Z
Epilobium parviflorum	Kleinblütiges Weidenröschen	W
Epilobium tetragonum	Vierkantiges Weidenröschen	W
Epipactis helleborine	Stendelwurz	W
Equisetum arvense	Acker-Schachtelhalm	Z
Equisetum fluviatile	Schlamm-Schachtelhalm	W
Equisetum palustre	Sumpf-Schachtelhalm	Z
Eriophorum angustifolium	Schmalblättriges Wollgras	W
Erodium cicutarium	Gemeiner Reiherschnabel	Z
Euonymus europaeus	Europäisches Pfaffenhütchen	Z
Eupatorium cannabinum	Gemeiner Wasserdost	Z
Fagus sylvatica	Rot-Buche	W
Fallopia convolvulus	Gemeiner Windenknöterich	W
Festuca pratensis	Wiesen-Schwingel	Z
Festuca rubra	Rot-Schwingel	Z
Filipendula ulmaria	Echtes Mädesüß	Z
Fontinalis antipyretica (RL 3)	Gemeines Brunnenmoos	Z
Frangula alnus	Faulbaum	Z
Fraxinus excelsior	Gemeine Esche	Z
Fumaria officinalis	Gemeiner Erdrauch	Z
Galeopsis bifida	Kleinblütiger Hohlzahn	Z
Galeopsis tetrahit	Stechender Hohlzahn	W
Galium album	Weißes Labkraut	Z
Galium aparine	Kletten-Labkraut	Z
Galium palustre	Sumpf-Labkraut	Z
Galium uliginosum (RL3)	Moor-Labkraut	w
Geranium molle	Weicher Storchschnabel	Z
Geranium palustre (RL3)	Sumpf-Storchschnabel	w
Geranium pusillum	Zwerg-Storchschnabel	W
Geranium robertianum	Ruprechtskraut	Z
Geum rivale	Bach-Nelkenwurz	Z
Geum urbanum	Echte Nelkenwurz	Z
Glechoma hederacea	Gundermann	Z
Glyceria declinata	Blaugrüner Schwaden	W
Glyceria fluitans	Flutender Schwaden	Z
Glyceria maxima	Wasser-Schwaden	W
Glyceria notata	Falt-Schwaden	W
Gnaphalium uliginosum	Sumpf-Ruhrkraut	Z
Hedera helix	Gemeiner Efeu	Z
Heracleum mantegazzianum	Riesen-Bärenklau	W
Heracleum sphondylium	Gemeiner Bärenklau	Z
Hieracium pilosella	Kleines Habichtskraut	W
Holcus lanatus	Wolliges Honiggras	Z
Holcus mollis	Weiches Honiggras	Z
Humulus lupulus	Gemeiner Hopfen	Z
Hydrocharis morsus-ranae	Froschbiss	W
Hypericum humifusum (RL 3)	Liegendes Johanniskraut	w
Hypericum maculatum	Kanten-Johanniskraut	W
Hypericum perforatum	Tüpfel-Johanniskraut	Z
Hydrocotyle vulgaris	Gemeiner Wassernabel	Z
Hypericum tetrapterum	Flügel-Johanniskraut	Z
Hypochoeris radicata	Gemeines Ferkelkraut	Z
Impatiens noli-tangere	Echtes Springkraut	Z
Iris pseudacorus	Wasser-Schwertlilie	Z
Isolepis setacea (RL 3)	Borstige Schuppensimse	w
Juglans regia	Walnuss	W
Juncus acutiflorus (RL 3)	Spitzblütige Binse	w
Juncus articulatus	Glieder-Binse	Z

Juncus bufonius	Kröten-Binse	Z
Juncus compressus	Zusammengedrückte Binse	Z
Juncus effusus	Flatter-Binse	Z
Juncus filiformis (RL 3)	Faden-Binse	W
Juncus inflexus	Blaugrüne Binse	Z
Juncus subnodulosus (RL 3)	Stumpfblütige Binse	w
Juncus tenuis	Sand-Binse	Z
Knautia arvensis	Knautie	W
Lamium album	Weiße Taubnessel	Z
Lamium galeobdolon	Goldnessel	Z
Lamium purpureum	Purpurrote Taubnessel	Z
Larix decidua	Europäische Lärche	W
Lathyrus pratensis	Wiesen- Platterbse	Z
Lemna minor	Kleine Wasserlinse	W
Lemna trisulca	Untergetauchte Wasserlinse	Z
Leontodon autumnalis	Herbst-Löwenzahn	Z
Leucanthemum vulgare	Wiesen-Margerite	W
Lolium perenne	Deutsches Weidelgras	Z
Lonicera periclymenum	Deutsches Geißblatt	Z
Lotus corniculatus	Gemeiner Hornklee	Z
Lotus pedunculatus	Sumpf-Hornklee	W
Lunaria annua	Einjähriges Silberblatt	W
Luzula campestris	Gemeine Hainsimse	Z
Luzula multiflora	Vielblütige Hainsimse	Z
Lycopus europaeus	Ufer-Wolfstrapp	Z
Lysimachia nummularia	Pfennig-Gilbweiderich	Z
Lysimachia thyrsiflora (RL 3)	Strauß-Gilbweiderich	W
Lysimachia vulgaris	Gemeiner Gilbweiderich	Z
Lythrum salicaria	Blut-Weiderich	Z
Medicago lupulina	Schneckenklee	W
Mentha aquatica	Wasser-Minze	Z
Mentha arvensis	Acker-Minze	W
Mentha x verticillata agg.	Quirl-Minze	Z
Matricaria chamomilla	Echte Kamille	Z
Matricaria discoidea	Strahlenlose Kamille	Z
Menyanthes trifoliata (RL 3)	Fieberklee	W
Molinia caerulea	Pfeifengras	W
Myosotis arvensis	Acker-Vergißmeinnicht	Z
Myosotis scorpioides	Sumpf-Vergißmeinnicht	Z
Myrica gale (RL 3)	Gagelstrauch	Stürmann 1998, 2002
Myriophyllum spicatum (RL 3)	Ähren-Tausendblatt	Z
Nasturtium microphyllum	Kleinblättrige Brunnenkresse	Z
Nitella flexilis (RL 3)	Biegsame Glanzleuchteralge	W
Nitella mucronata (RL 1)	Stachelspitzige Glanzleuchteralge	W
Nitellopsis obtusa (RL 3)	Stern-Armleuchteralge	W
Nuphar lutea	Gelbe Teichrose	Z
Nymphaea alba	Weiße Seerose	W
Oenanthe aquatica	Wasserfenchel	W
Ophioglossum vulgatum (RL 2)	Gemeine Natternzunge	W
Ornithopus perpusillus	Vogelfuß Wold Soverties	W
Oxalis acetosella	Wald-Sauerklee	Z
Papaver rhoeas	Klatsch-Mohn	Z 
Papaver dubium	Saat-Mohn Wagaar Knätariah	W
Persicaria amphibia	Wasser-Knöterich	W
Persicaria Inpathifolium	Pfeffer-Knöterich	Z
Persicaria lapathifolium	Ampfer-Knöterich	W
Persicaria maculosa	Floh-Knöterich	Z
Petasites hybridus	Gemeine Pestwurz	Z
Peucedanum palustre	Sumpf-Haarstrang	W

Phalaris arundinacea	Rohr-Glanzgras	Z
Phleum pratense	Echtes Wiesen-Lieschgras	Z
Phragmites australis	Gemeines Schilf	d
Picea abies	Gemeine Fichte	W
Plantago lanceolata	Spitz-Wegerich	Z
Plantago major s.l.	Breit-Wegerich	Z
Poa annua	Einjähriges Rispengras	Z
Poa palustris	Sumpf-Rispengras	W
Poa pratensis	Wiesen-Rispengras	Z
Poa trivialis	Gemeines Rispengras	Z
Potamogeton crispus	Krauses Laichkraut	W
Potamogeton friesii (RL 2)	Stachelspitziges Laichkraut	Z
Potamogeton lucens (RL 3)	SpiegeIndes Laichkraut	w
Potamogeton natans	Schwimmendes Laichkraut	W
Polygonum aviculare s.l.	Vogel-Knöterich	Z
Populus x canescens	Grau-Pappel	Z
Populus tremula	Zitter-Pappel	Z
Potamogeton pectinatus	Kamm-Laichkraut	d
Potamogeton perfoliatus	Durchwachsenes Laichkraut	Z
Potamogeton pusillus (RL 3)	Zwerg-Laichkraut	z
Potentilla anglica	Schmalblättriges Laichkraut	W
Potentilla anserina	Gänse-Fingerkraut	Z
Potentilla palustris	Sumpf-Blutauge	W
Potentilla reptans	Kriechendes Fingerkraut	W
Potentilla sterilis (RL 3)	Erdbeer-Fingerkraut	w
Primula veris (RL 3)	Duftende Schlüsselblume	z
Prunella vulgaris	Gemeine Braunelle	Z
Prunus avium	Vogelkirsche	Z
Prunus padus	Gewöhnliche Traubenkirsche	Z
Prunus spinosa	Schlehe	W
Pteridium aquilinum	Adlerfarn	W
Quercus robur	Stiel-Eiche	Z
Ranunculus acris	Scharfer Hahnenfuß	Z
Ranunculus circinatus	Spreizender Wasserhahnenfuß	Z
Ranunculus ficaria	Scharbockskraut	Z
Ranunculus flammula	Flammender Hahnenfuß	Z
Ranunculus lingua (RL 3)	Zungen-Hahnenfuß	W
Ranunculus repens	Kriechender Hahnenfuß	Z
Ranunculus sceleratus	Gift-Hahnenfuß	Z
Ribes nigrum	Schwarze Johannisbeere	W
Ribes rubrum	Rote Johannisbeere	Z
Ribes uva-crispa	Stachelbeere	Z
Rorippa amphibia	Wasser-Sumpfkresse	Z
Rorippa palustris	Gemeine Sumpfkresse	Z
Rosa canina agg	Hunds-Rose	Z
Rubus fruticosus agg.	Brombeere	Z
Rubus idaeus	Himbeere	Z
Rumex acetosa	Wiesen-Sauerampfer	Z
Rumex acetosella	Kleiner Sauerampfer	Z
Rumex conglomeratus	Knäuel-Ampfer	W
Rumex crispus	Krauser Ampfer	Z
Rumex hydrolapathum	Fluss-Ampfer	W
Rumex obtusifolius	Stumpfblättriger Ampfer	Z
Rumex sanguineus	Blut-Ampfer	W
Sagina procumbens	Liegendes Mastkraut	Z
Sagittaria sagittifolia	Pfeilkraut	W
Salix alba	Silber-Weide	Z
Salix aurita	Ohr-Weide	W
Salix caprea	Sal-Weide	Z

Salix cf. fragilis	Bruch-Weide	w
Salix cinerea	Grau-Weide	Z
Salix pentandra	Lorbeer-Weide	d
Salix viminalis	Korb-Weide	Z
Salix x multinervis	Vielnervige Weide	Z
Sambucus nigra	Schwarzer Holunder	Z
Sanguisorba officinalis (RL 3)	Großer Wiesenknopf	Stürmann 1998, 2002
Saxifraga granulata	Knollen-Steinbrech	Z
Schoenoplectus lacustris	Gemeine Teichsimse	z
Schoenoplectus tabernaemontani	Salz-Teichsimse	w
Scirpus sylvaticus	Waldsimse	z
Scrophularia nodosa	Knoten-Braunwurz	z
Scrophularia umbrosa (RL 3)	Flügel-Braunwurz	w
Scutellaria galericulata	Gemeines Helmkraut	z
Sedum maximum	Große Fetthenne	w
Senecio jacobaea	Jakobs-Greiskraut	w
Senecio vulgaris	Gemeines Greiskraut	z
Silene dioica	Rote Lichtnelke	z
Silene flos-cuculi	Kuckucks-Lichtnelke	z
Silene latifolia ssp. alba	Weiße Lichtnelke	Z
Silene vulgaris	Gemeines Leimkraut	W
Sisymbrium officinale	Weg-Rauke	z
Sium latifolium	Breitblättriger Merk	w
Solanum dulcamara	Bittersüßer Nachtschatten	z
Solanum nigrum	Schwarzer Nachtschatten	w
Sonchus asper	Rauhe Gänsedistel	w
Sorbus aucuparia	Eberesche	z
Sparganium emersum	Einfacher Igelkolben	w
Sparganium erectum	Ästiger Igelkolben	z
Spirea spec.	Spiree	w
Spirodela polyrhiza	Vielwurzelige Teichlinse	z
Stachys palustris	Sumpf-Ziest	z
Stachys sylvatica	Wald-Ziest	z
Stellaria alsine	Quell-Sternmiere	w
Stellaria graminea	Gras-Sternmiere	z
Stellaria holostea	Echte Sternmiere	Z
Stellaria media	Vogelmiere	z
Stellaria palustris (RL 3)	Sumpf-Sternmiere	w
Succisa pratensis (RL 3)	Teufelsabbiß	Stürmann 1998,
Symphytum x uplandicum	Beinwell	w
Tanacetum vulgare	Rainfarn	z
Taraxacum officinale agg.	Wiesen-Löwenzahn	z
Thelypteris palustris (RL 3)	Sumpffarn	w
Tolypella glomerata (RL 1)	Knäuel-Armleuchteralge	w
Torilis japonica	Gemeiner Klettenkerbel	Z
Tragopogon pratensis	Wiesen-Bocksbart	w
Trifolium arvense	Hasen-Klee	W
Trifolium campestre	Feld-Klee	Z
Trifolium dubium	Kleiner Klee	W
Trifolium pratense	Rot-Klee	Z
Trifolium repens	Weiß-Klee	Z
Triglochin palustre (RL 3)	Sumpf-Dreizack	w
	Geruchlose Kamille	Z
Tripleurospermum maritimum	Goldhafer	Z
Tripleurospermum maritimum  Trisetum flavescens (RL 2)	Ociditalei	
Trisetum flavescens (RL 2)		
Trisetum flavescens (RL 2) Typha angustifolia	Schmalblättriger Rohrkolben	Z
Trisetum flavescens (RL 2) Typha angustifolia Typha latifolia	Schmalblättriger Rohrkolben Breitblättriger Rohrkolben	Z W
Trisetum flavescens (RL 2) Typha angustifolia	Schmalblättriger Rohrkolben	Z

Valeriana procurrens	Kriechender Baldrian	z		
Verbascum nigrum	Schwarze Königskerze	w		
Veronica anagallis-aquatica	Blauer Wasser-Ehrenpreis	w		
Veronica arvensis	Feld-Ehrenpreis	w		
Veronica beccabunga	Bachbunge	Z		
Veronica catenata	Roter Wasser-Ehrenpreis	w		
Veronica chamaedrys	Gamander-Ehrenpreis	z		
Veronica persica	Persischer Ehrenpreis	Z		
Veronica scutellata (RL 3)	Schild-Ehrenpreis	w		
Veronica serpyllifolia	Quendel-Ehrenpreis	Z		
Viburnum opulus	Gemeiner Schneeball	Z		
Vicia cracca	Vogel-Wicke	Z		
Vicia lathyroides	Platterbsen-Wicke	W		
Vicia sepium	Zaun-Wicke	Z		
Viola palustris (RL 3)	Sumpf-Veilchen	Z		
Zannichellia palustris	Sumpf-Teichfaden	z		

# Lanker See – Physikalische und chemische Befunde EDV-Nr.: 129104 (tiefes Becken)

Probenahmedatum	1	24.4	2002	20.2	2002	2.4.2002				24.4.2002		
Uhrzeit [ME(S)Z]		10:30	10:30	10:00	10:00	10:30				09:30		
Windrichtung	1	SW	SW	W	W	SO				SW		
Windstärke	Bft.	_	-3		-5		-2			1-2		
Lufttemperatur	°C	9			-3 .8		-2 1.3			10,6		
Luftdruck	hPa		, ı 4,8		,o 0,8		1,3			10,0		
Sichttiefe	m		4,6 10	30	0,0	-	70			1,90		
Entnahmetiefe	m	1	19	1	19	1 '	19	1	5	10	15	19
Wassertemperatur	°C	3,4	3,4	4,8	4,8	8,2	5,6	11,7	11,2	8,5	7,6	7,2
Leitfähigkeit (TK 25 °C)	mS/m	49,3	49,4	47,1	47,4	43,2	44,5	43,5	43,5	44	45	45,6
pH - Wert		8,26	8,20	8.61	8.61	8.86	8.14	8,90	8,89	8,62	7,96	7,77
Farbe		1	1	1	1	1	1	1	1	1	32	32
Trübung		3	3	3	3	3	3	3	3	3	3	3
Geruch		1	1	1	1	1	1	1	1	1	1	1
Sauerstoff	mg/l	13,3	13,6			15,8	9,1	11,8	11,4	7,6	4	2,4
O2-Sättigungsindex	%	101	103			133	70	107	102	64	31	19
TOC	mg/l	6,9	7,2	8,3	6,5	6,9	8,7	6,8	7,1	7,1	7,4	7,3
DOC	mg/l	5,8	5,3	6,4	5,3	6,5	6,3	6,2	6,7	6,5	6,5	6,4
Chlorid	mg/l	47	47	43	43	41	41	41	42	42	43	41
Abfiltrierbare Stoffe	mg/l	4										
Sauerstoff (Winkler)	mg/l	13,2	13,2	13,4	13,4	16,3	9	11,9	11,9	8,8	5	2,8
O <sub>2</sub> -Sättigungsindex	%	102	102	108	108	138	71	108	107	74	41	23
SAK bei 254 nm	1/m	13,2	12,4	14,4	14,3	12,9	13,2	13,5	13,6	13,4	13,7	13,3
SAK bei 436 nm	1/m	0,5	0,4	0,5	0,5	0,3	0,4	0,6	0,6	0,5	0,5	0,4
Säurekapazität -( pH 4,3 )	mmol/l							2,50	2,52	2,47	2,59	2,51
Säurekapazität -( pH 8,2 )	mmol/l							0,12	0,11	0,06		
Basenkapazität -( pH 8,2 )	mmol/l										0,10	0,05
Hydrogencarbonat	mg/l							153	154	151	158	153
Ammonium-N	mg/l	0,038	0,048	0,024	0,021	0,023	0,157	0,239	0,015	0,076	0,018	0,494
Nitrit-N	mg/l	0,0056	0,0056	0,0072	0,0085	0,0069	0,01	0,0048	<0,001	0,0014	<0,001	0,0054
Nitrat-N	mg/l	0,562	0,659	0,975	0,949	0,203	0,402	0,078	<0,05	<0,05	<0,05	0,083
Gesamtstickstoff	mg/l	1,3	1,3	1,6	1,7	0,94	1,3	1,0	0,69	0,66	0,67	1,4
o-Phosphat	mg/l	0,050	0,050	0,039	0,039	0,0096	0,025	0,064	<0,005	0,016	0,0051	0,092
Gesamtphosphor	mg/l	0,10	0,10	0,071	0,084	0,044	0,094	0,094	0,052	0,052	0,054	0,16
Sulfat	mg/l					35,8	36,6	38.6	38.3	39,2	38.5	36,6
SiO <sub>2</sub>	mg/l	0,72	0,750	0,438	0,419	0.350	1,35	1,7	0,682	1,42	0,415	2,48
Natrium	mg/l	,				, , , , , , , , , , , , , , , , , , ,		23,5	24,0	22,9	22,2	22,7
Kalium	mg/l							4,10	4,17	3,99	3,94	4,16
Calcium	mg/l							56.7	58,1	58,2	59,1	59,5
Magnesium	mg/l							6,23	6,35	6,33	6,36	6,38
Eisen	mg/l							0,025	0,025	0,021	0,020	0,037
Mangan	mg/l							0,021	0,022	0,029	0,087	0,25
Aluminium	mg/l					<u> </u>		0,014	0,014	0,013	0,012	0,011
Chlorophyll a	μg/l	38		23		22		12				
Phaeophytin	μg/l	4		11		1		3				

Probenahmedatum				28.5.2002					26.6.2002		
Uhrzeit [ME(S)Z]											
Windrichtung				10:00 NO					09:30 SW		
Windstärke	Bft.			1-2					5vv 1-2		
Lufttemperatur	°C										
· ·	hPa			18,3					16,2		
Luftdruck				1007					1019		
Sichttiefe	m			2,80	45	40			1,50	45	40
Entnahmetiefe	m °C	<b>1</b> 19,6	<b>5</b> 18,5	10	15	19	<b>1</b> 19,7	<b>5</b> 19,7	10	15	<b>19</b> 10,7
Wassertemperatur Leitfähigkeit (TK 25 °C)	-	,	,	12,6	11,4	10,9	,	,	19,4	10,7	
0 (	mS/m	44,9	45,3	45,6	46,1	46,6	45,3	45,3	45,4	46	46,4
pH - Wert		8,56	8,28	7,69	7,54	7,51	8,37	8,37	8,29	7,48	7,39
Farbe		1	1	1	1	1	1	1	1	1	1
Trübung		3	3	3	3	3	3	3	3	3	3
Geruch	,	1	1	1	59	99	1	1	1	99	99
Sauerstoff O2-Sättigungsindex	mg/l	10,7	8,7	3,2	0,0	0,0	8,7	8,6	8,2	0,0	0,0
	%	116	92	31	0	0	94	9,3	89	0	0
TOC	mg/l	7,1	7	6,6	6,6	6,8	8,9	8,2	8,2	7,4	7,6
DOC	mg/l	7,0	6,5	6,4	6,4	6,8	7,3	7,2	7,2	7,2	7,4
Chlorid	mg/l	45	44	42	42	42	48	48	48	42	43
Abfiltrierbare Stoffe	mg/l										
Sauerstoff (Winkler)	mg/l	11	9	3,8	0,5	0,1	9,1	9	8,4	0	0
O <sub>2</sub> -Sättigungsindex	%	121	97	36	5	1	99	98	91	0	0
SAK bei 254 nm	1/m	15,0	14,7	14,3	14,8	15,5	14,5	14,5	14,6	16,5	17,7
SAK bei 436 nm	1/m	0,8	0,7	0,7	0,7	0,7	0,6	0,6	0,6	0,8	1,2
Säurekapazität -( pH 4,3 )	mmol/l										
Säurekapazität -( pH 8,2 )	mmol/l										
Basenkapazität -( pH 8,2)	mmol/l										
Hydrogencarbonat	mg/l										
Ammonium-N	mg/l	0,076	0,144	0,412	0,733	1,17	0,022	0,015	0,026	1,66	2,28
Nitrit-N	mg/l	0,0039	0,0033	0,0038	<0,001	<0,001	<0,001	<0,001	<0,001	<0,001	<0,001
Nitrat-N	mg/l	<0,05	<0,05	<0,05	<0,05	<0,05	<0,05	<0,05	<0,05	<0,05	<0,05
Gesamtstickstoff	mg/l	0,78	0,73	0,91	1,3	1,7	0,88	0,71	0,67	2,2	2,7
o-Phosphat	mg/l	0.040	0,051	0,119	0,212	0,351	0.037	0.037	0.038	0,476	0,657
Gesamtphosphor	mg/l	0.087	0,082	0,13	0,25	0,38	0,072	0.066	0,065	0.48	0,68
Sulfat	mg/l	0,00.	0,002	0,.0	0,20	0,00	0,0.2	0,000	0,000	0, .0	0,00
SiO <sub>2</sub>	mg/l	4,38	4,49	6,29	7,13	7,76	6,82	6.87	7,04	9,14	10,2
Natrium	mg/l	4,00	7,70	0,20	7,10	7,70	0,02	0,01	7,04	5,17	10,2
Kalium	mg/l										
Calcium	mg/l										
Magnesium	mg/l										
Eisen	mg/l										
Mangan	mg/l										
Aluminium	mg/l										
Chlorophyll a	µg/l	8					22				
Phaeophytin	μg/l μg/l	1					3				
гнаеорнушт	μg/i	1					3				

Probenahmedatum				31.7.2002			2.9.2002						
Uhrzeit [ME(S)Z]				09:30			09:30						
Windrichtung				NO					NW				
Windstärke	Bft.			1-2					0-1				
Lufttemperatur	°C			22,9					17,2				
Luftdruck	hPa			1013					1030				
Sichttiefe	m			0.80					0.80				
Entnahmetiefe	m	1	5	10	15	19	1	5	10	15	19		
Wassertemperatur	°C	21,7	18,1	17,9	14,2	11,1	21,5	21,3	17,8	13,5	11,6		
Leitfähigkeit (TK 25 °C)	mS/m	41,1	42,7	42,9	47,1	48,1	39,2	40,4	44,5	49,5	50,4		
pH - Wert		9,17	8,11	7,97	7,56	7,24	8,71	7,83	7,51	7,37	7,19		
Farbe		1	1	1	1	1	1	1	1	1	1		
Trübung		3	3	3	3	3	3	3	3	3	3		
Geruch		1	1	1	99	99	1	1	79	99	99		
Sauerstoff	mg/l	15,4	7	5,7	0	0	9,0	2	0	0	0,0		
O2-Sättigungsindex	%	173	73	59	0	0	100	22	0	0	0		
TOC	mg/l	9,7	7,6	7,5	7,6	7,8	10	8,5	7,2	7,5	8,0		
DOC	mg/l	7,3	6,9	6,7	7,1	7,3	7,9	7,5	6,8	7,4	7,9		
Chlorid	mg/l	47	46	46	45	43	44	44	46	44	45		
Abfiltrierbare Stoffe	mg/l												
Sauerstoff (Winkler)	mg/l	17,6	7,2	6,3	0	0	10	4,9	0	0	0		
O <sub>2</sub> -Sättigungsindex	%	200	76	66	0	0	111	54	0	0	0		
SAK bei 254 nm	1/m	15,7	15,4	15,4	16,6	19,8	16,6	16,7	16,4	19,2	21,7		
SAK bei 436 nm	1/m	0,6	0,6	0,6	0,7	1	0,7	0,9	0,7	0,9	1,4		
Säurekapazität -( pH 4,3 )	mmol/l												
Säurekapazität -( pH 8,2 )	mmol/l												
Basenkapazität -( pH 8,2 )	mmol/l												
Hydrogencarbonat	mg/l												
Ammonium-N	mg/l	0,017	0,195	0,226	1,95	3,53	0,018	0,217	1,18	4,36	5,10		
Nitrit-N	mg/l	<0,001	0,0050	0,0054	0,0013	<0,001	0,0015	0,0024	0,0011	0,0025	0,0093		
Nitrat-N	mg/l	<0.05	<0.05	<0.05	< 0.05	< 0.05	<0.05	< 0.05	< 0.05	< 0.05	<0,05		
Gesamtstickstoff	mg/l	1,4	0.88	0,96	2,2	3,7	1,1	1,1	1,8	4,4	6,0		
o-Phosphat	mg/l	0.0088	0,067	0.098	0,525	1,27	0.045	0.089	0,404	1,09	1,65		
Gesamtphosphor	mg/l	0,12	0,12	0,15	0,64	1,4	0,13	0,15	0,44	1,1	1,7		
Sulfat	mg/l	0,	0,	5,.5	0,0 .	.,.	0,10	0,.0	0,	.,.	.,.		
SiO <sub>2</sub>	mg/l	5,94	9,76	10,4	10,4	12,6	4,42	5,35	13,9	13,3	14,6		
Natrium	mg/l	0,01	0,70	10,1	10,1	12,0	1, 12	0,00	10,0	10,0	1 1,0		
Kalium	mg/l												
Calcium	mg/l												
Magnesium	mg/l												
Eisen	mg/l												
Mangan	mg/l												
Aluminium	mg/l												
Chlorophyll a	μg/l	70					96						
Phaeophytin	µg/l	4					9						

Probenahmedatum				30.9.2002					23.10.			14 11	.2002
Uhrzeit [ME(S)Z]				10:00			10:00					10:00	
Windrichtung				SW					0				
Windstärke	Bft.			1-2					W 3-4			1-2	
Lufttemperatur	°C	12,8						12,4				,3	
Luftdruck	hPa			1026					983				90
Sichttiefe	m			0.90					1,10			-	00
Entnahmetiefe	m	1	5	10	15	19	1	5	10	15	19	1	19
Wassertemperatur	°C	15,3	15,2	15,0	14,4	11,7	9,1	8,9	8,6	8,6	8,5	5,3	5,2
Leitfähigkeit (TK 25 °C)	mS/m	40,4	40,5	40,8	42,9	53,0	41,8	41,8	41,9	42	42,1	43,7	43,9
pH - Wert		8,68	8,58	8,46	7,54	7,05	8,24	8,19	8,13	8,1	8,08	8,35	8,31
Farbe		1	37	37	1	1	1	1	1	1	1	1	1
Trübung		3	5	5	5	3	3	3	3	3	3	3	3
Geruch		1	1	1	59	99	1	1	1	1	1	1	1
Sauerstoff	mg/l	11,9	11,1	11,1	0,4	0,0						14,8	15,0
O2-Sättigungsindex	%	115	108	108	4	0						117	119
TOC	mg/l	9,6	9,7	9,4	8,4	9,4	10	10	11	9,4	10	9,8	9,5
DOC	mg/l	7,4	7,4	7,5	6,7	8,8	7,9	7,8	8	7,8	8,1	7,2	7,5
Chlorid	mg/l	45	44	44	44	49	44	44	44	44	45	45	45
Abfiltrierbare Stoffe	mg/l												
Sauerstoff (Winkler)	mg/l	10,5	10,1	9,6	0,6	0	10,7	10,4	9,9	9,8	9,4	12,7	12,1
O <sub>2</sub> -Sättigungsindex	%	103	99	94	6	0	96	93	88	87	83	103	98
SAK bei 254 nm	1/m	16,3	16,2	16,2	15,6	23,6	15	14,8	14,7	14,7	14,9	15,2	15,0
SAK bei 436 nm	1/m	0,8	0,7	0,7	0,6	1,2	0,6	0,5	0,5	0,5	0,7	0,7	0,6
Säurekapazität -( pH 4,3 )	mmol/l	2,18	2,22	2,2	2,5	4,01							
Säurekapazität -( pH 8,2 )	mmol/l												
Basenkapazität -( pH 8,2 )	mmol/l	-	0,01	0,03	0,21	0,54							
Hydrogencarbonat	mg/l	133	135	134	153	245							
Ammonium-N	mg/l	0,021	0,016	0,038	0,864	7,94	0,037	0,051	0,068	0,098	0,129	0,018	0,021
Nitrit-N	mg/l	0,0012	0,001	<0,001	<0,001	0,0019	0,0032	0,003	0,0031	0,0031	0,0033	0,0070	0,0073
Nitrat-N	mg/l	<0,05	<0,05	<0,05	<0,05	<0,05	<0,05	<0,05	<0,05	<0,05	<0,05	0,175	0,195
Gesamtstickstoff	mg/l	1,4	1,3	1,4	2,7	8,8	1,1	1,3	1,2	1,1	1,2	1,3	1,3
o-Phosphat	mg/l	0,056	0,057	0,066	0,272	2,49	0,059	0,061	0,061	0,065	0,069	0,034	0,034
Gesamtphosphor	mg/l	0,12	0,11	0,15	0,46	2,6	0,13	0,17	0,16	0,13	0,14	0,098	0,096
Sulfat	mg/l	30,5	33,4	32,5	28,4	9,68							
SiO <sub>2</sub>	mg/l	3,31	3,30	3,46	5,53	14,9	6,07	6,19	6,19	6,27	6,36	5,67	5,96
Natrium	mg/l	23,7	23,4	24	23,7	22,3							
Kalium	mg/l	4,22	4,18	4,29	4,27	4,89							
Calcium	mg/l	50,3	49,2	51,2	51,5	62,8							
Magnesium	mg/l	6,26	6,15	6,33	6,24	6,41							
Eisen	mg/l	0,019	0,019	0,023	0,047	0,15							
Mangan	mg/l	0,060	0,062	0,093	1,1	3,2							
Aluminium	mg/l	0,085	0,082	0,078	0,076	0,062							
Chlorophyll a	μg/l	77					57					60	
Phaeophytin	μg/l	4					7					4	

# Lanker See – Physikalische und chemische Befunde EDV-Nr.: 129171 (flaches Becken)

14:00 W 1-2	
1-2	
13,2	
1	5
11,3	10,8
	43,7
	8,93
1	1
3	3
1	1
13,3	11,3
119	100
7,5	7,3
	6,7
13,6	13,5
0,6	0,5
	45,1
2,48	2,47
0,15	0,11
151	151
	42
0,016	,014
0,001 <	0,001
<0,05 <	0,005
0,72	0,79
	,0058
	,051
•	38,9
	0,632
	23,7
	3,98
	58,6
	6,43
	),035
	),034
	0,011
,	,
	11,3 43,5 9,0 1 3 1 13,3 119 7,5 6,7 13,6 0,6 45,3 2,48 0,015 151 43 0,016 0,001 <0,005 0,72 0,005 0,005 0,057 0,430 0 23,7 4,04 6,30 0,028 0,025 0,025

Probenahmedatum	robenahmedatum		2002	26.6.	2002	30.7.	2002	2.9.	2002	
Uhrzeit [ME(S)Z]		13:			:15		:30		:45	
Windrichtung		N		SW			0		0	
Windstärke	Bft.	1-		2-3			-2		-2	
Lufttemperatur	°C	19		18,3			- 6,8		9,8	
Luftdruck	hPa	100			19		14		31	
Sichttiefe	m	2,8			20	0,			80	
Entnahmetiefe	m	1	5	1	5	1	5	1 5		
Wassertemperatur	°C	20,1	18,6	19,9	19,9	23,6	18,7	22,0	21,5	
Leitfähigkeit (TK 25 °C)	mS/m	46,0	46,3	45,7	45,7	41,3	43,3	38,9	39,3	
pH - Wert		8,54	8,32	8,36	8,34	9,27	7,96	8,52	8,01	
Farbe		1	1,0	1	1,0	1	1	1	1	
Trübung		3	3,0	3	3,0	3	3	3	3	
Geruch		1	1,0	1	1,0	1	1	1	1	
Sauerstoff	mg/l	11,5	8,2	8,6	8,3	17,6	5,4	9,7	7,0	
O <sub>2</sub> -Sättigungsindex	%	126	86	94	90	199	57	108	77	
тос	mg/l	7,1	6,8	8,1	8,1	11	7,7	9,2	8,3	
DOC	mg/l	6,6	6,7	6,9	7,1	7,4	7,0	7,4	7,7	
SAK bei 254 nm	1/m	13,9	14,8	13,5	13,6	15,4	15,5	15,7	17,4	
SAK bei 436 nm	1/m	0,6	0,7	0,5	0,5	0,6	0,6	0,7	2,8	
Leitfähigkeit b. 25 °C	mS/m	48,0	48,1	48,8	48,5	43,6	46,4	41,0	41,8	
Abfiltrierbare Stoffe	mg/l									
Säurekapazität -( pH 4,3 )	mmol/l									
Säurekapazität -( pH 8,2 )	mmol/l									
Basenkapazität -( pH 8,2 )	mmol/l									
Hydrogencarbonat	mg/l									
Chlorid	mg/l	48	47	50	50	47	46	43	43	
Ammonium-N	mg/l	0,095	0,12	<0,01	<0,01	0,031	0,109	0,039	0,104	
Nitrit-N	mg/l	0,0055	0,01	<0,001	<0,001	<0,001	0,0077	0,0044	0,0045	
Nitrat-N	mg/l	<0,05	<0,05	<0,05	<0,05	<0,05	0,053	<0,05	<0,05	
Gesamtstickstoff	mg/l	0,76	0,78	0,67	0,69	1,3	0,76	1,2	0,91	
o-Phosphat-P	mg/l	0,043	0.054	0,025	0,024	0,0063	0,090	0,077	0,077	
Gesamtphosphor	mg/l	0,079	0,092	0,058	0,054	0,11	0,14	0,18	0,15	
Sulfat	mg/l	.,	-,	0,000	-,	,,,,,	-,	,,,,	-,	
SiO <sub>2</sub>	mg/l	k.P.	3,78	6,09	5,82	3,33	6,77	4,64	4,57	
Natrium	mg/l		-,	-,	-,	-,	-,	.,	.,	
Kalium	mg/l									
Calcium	mg/l									
Magnesium	mg/l									
Eisen	mg/l									
Mangan	mg/l									
Aluminium	mg/l									
Chlorophyll a	μg/l	7		20		76		89		
Phaeophytin	μg/l	2		5		3		6		
i nacopriyun	149/1			J		J		U		

Probenahmedatum	1.10.	2002	23.	10.	14.11.2002			
Uhrzeit [ME(S)Z]			:00		:15	13:00		
Windrichtung		SW			W	SO		
Windstärke	Bft.		 -3		 -5	1-2		
Lufttemperatur	°C		i,1		,4	8,7		
Luftdruck	hPa		25		, . 36	988		
Sichttiefe	m		00		00		,00	
Entnahmetiefe	m	1	5	1	5	1	5	
Wassertemperatur	°C	15,3	15,0	8,9	8,9	5,6	· ·	
Leitfähigkeit (TK 25 °C)	mS/m	40,7	40,9	42,9	43,0	45,8		
pH - Wert		8,59	8,37	8,21	8,17	8,33		
Farbe		37	37,0	1	1	1		
Trübung		3	3,0	3	3	3		
Geruch		1	1,0	1	1	1		
Sauerstoff	mg/l	11,0	9,6		<u>'</u>	12,7		
O <sub>2</sub> -Sättigungsindex	%	108	93			102		
TOC	mg/l	9,2	9,4	9,6	9,6	9,1		
DOC	mg/l	7,1	7,0	7,5	7,6	7,0		
SAK bei 254 nm	1/m	15,4	15,1	13,6	13,6	14,7		
SAK bei 436 nm	1/m	0,8	0,7	0,4	0,4	0,6		
Leitfähigkeit b. 25 °C	mS/m	43,8	43,6	45,5	45,5	46,2		
Abfiltrierbare Stoffe	mg/l	10,0	.0,0	10,0	.0,0	10,2		
Säurekapazität -( pH 4,3 )	mmol/l	2,13	2,18					
Säurekapazität -( pH 8,2 )	mmol/l	-	0,03					
Basenkapazität -( pH 8,2 )	mmol/l		0,00					
Hydrogencarbonat	mg/l	130	133					
Chlorid	mg/l	45	45	47	47	48		
Ammonium-N	mg/l	0,017	0,016	<0,01	<0,01	0,014		
Nitrit-N	mg/l	<0,001	<0,001	0,0044	0,0043	0,013		
Nitrat-N	mg/l	<0,001	<0,001	<0,05	<0,05	0,513		
Gesamtstickstoff	_	1,2	1,2	0,93	•	1,5		
	mg/l				1,0	· ·		
o-Phosphat-P	mg/l	0,033	0,043	0,042	0,041	0,041		
Gesamtphosphor	mg/l	0,094	0,096	0,11	0,10	0,10		
Sulfat	mg/l	35,1	31,5	0.55	0.74	0.00		
SiO <sub>2</sub>	mg/l	4,76	4,94	6,57	6,71	3,98		
Natrium	mg/l	23,6	23,7					
Kalium	mg/l	4,07	4,06					
Calcium	mg/l	48,4	49,8					
Magnesium	mg/l	6,15	6,13					
Eisen	mg/l	0,029	0,057					
Mangan	mg/l	0,041	0,055					
Aluminium	mg/l	0,077	0,099					
Chlorophyll a	μg/l	49		51		56		
Phaeophytin	μg/l	5		4		(	3	

## Lanker See – Physikalische und chemische Befunde EDV-Nr.: 126078 (Schwentine, Gut Wahlsdorf)

Probenahmedatum	2002	30.1.2002	27.2.2002	21.3.2002	23.4.2002	22.5.2002	19.6.2002	18.7.2002	20.8.2002	18.9.2002	22.10.2002	19.11.2002	17.12.2002
Windrichtung		SW	S		W			NW		NW	SO	NO	
Windstärke	Bft.	2-3	4-5		4-5			1-2		3-4	4	5	
Lufttemperatur	°C	6,4	5,3	5,2	12	20,6	17,2	15,7	21	15,6	8,5	5,1	0
Luftdruck	hPa	1015	987	1008	1023	999	1017	998	1003	1017	1000	1017	1022
Wassertemperatur	°C	5,7	4,1	6,0	11,0	18,0	21,2	20,2	22,3	17,6	9,1	6,9	1,8
Leitfähigkeit (TK 25 °C)	mS/m	46,9	45,4	43,0	44,2	41,2	46,1	43,7	39,5	45,3	44,5	47,3	46,9
pH - Wert		8,03	8,22	8,69	9,05	8,35	8,19	8,09	7,59	7,53	7,97	8,05	8,02
Farbe		1	1	1	1	1	1	1	1	1	1	1	1
Trübung		3	3	1	5	1	1	1	3	5	3	3	1
Geruch		1	1	1	1	1	1	1	1	1	1	1	1
Sauerstoff	mg/l												
O <sub>2</sub> -Sättigungsindex	%												
TOC	mg/l	6,5	7,2	7,5	7,3	6,2	7,6	6,7	8,6	7,6	8,6	8,1	6,7
DOC	mg/l	5,5	6,1	6,3	6,2	6,2	7,0	6,4	7,8	7,1	7,3	7,0	6,5
SAK bei 254 nm	1/m	12,9	13,7	12,6	13,1	13,0	13,5	12,9	15,5	14,0	13,5	15,0	12,6
SAK bei 436 nm	1/m	0,5	0,7	0,4	0,5	0,5	0,6	0,5	0,7	0,6	0,5	0,6	0,1
Säurekapazität -( pH 4,3 )	mmol/l				2,44					2,12			
Säurekapazität -( pH 8,2 )	mmol/l				-					-			
Basenkapazität -( pH 8,2 )	mmol/l				0,14					0,15			
Hydrogencarbonat	mg/l				149					129			
Chlorid	mg/l	45	42	41	44	50	51	47	44	45	49	51	49
Ammonium-N	mg/l	0,028	0,038	0,025	0,094	0,184	0,023	0,030	0,102	<0,01	0,109	0,216	0,083
Nitrit-N	mg/l	0,0077	0,0073	0,0057	0,0031	0,0066	<0,001	0,0023	0,0090	0,0014	0,0099	0,017	0,0076
Nitrat-N	mg/l	1,32	0,816	0,335	<0,05	<0,05	<0,05	<0,05	<0,05	0,051	0,111	0,783	0,497
Gesamtstickstoff	mg/l	2,1	1,7	0,98	0,77	0,75	0,77	0,71	1,1	0,89	1,1	1,8	1,5
o-Phosphat-P	mg/l	0,077	0,058	0,046	0,014	0,050	0,044	0,052	0,032	0,033	0,064	0,082	0,092
Gesamtphosphor	mg/l	0,12	0,13	0,073	0,061	0,076	0,086	0,084	0,079	0,069	0,13	0,14	0,17
Sulfat	_				39,1				-	36,6			
SiO <sub>2</sub>		2,55	1,04	<0,2	0,311	1,14	3,04	1,76	2,94	4,59	5,9	4,84	4,93
Natrium	mg/l				24,7					25,6			
Kalium	mg/l				3,89					4,19			
Calcium	mg/l				53,2					46,7			
Magnesium	mg/l				6,19					6,53			
Eisen	mg/l				0,052					0,025			
Mangan	mg/l				0,030					0,18			
Aluminium	mg/l				0,058					0,042			

## Lanker See – Physikalische und chemische Befunde EDV-Nr.: 126187 (Ablauf Scharsee)

Probenahmedatum	2002	30.1.2002	27.2.2002	21.3.2002	23.4.2002	22.5.2002	19.6.2002		20.8.2002		22.10.2002		17.12.2002
Windrichtung		SW	S	NW	W			NW		NW	SO	NW	
Windstärke	Bft.	1-2	4-5	1-2	4-5			1-2		3-4	4	5	
Lufttemperatur	°C	5,5	5,2	4,3	12,0	20	16,7	15,6	21,1		8,5	5,2	0,3
Luftdruck	hPa	1016	986	1008	1029	1000	1017	998	1003		1000	1020	1024
Wassertemperatur	°C	6,4	3,8	6,5	12,7	17,8	19,3	17,3	22,4		7,8	6,6	1,8
Leitfähigkeit (TK 25 °C)	mS/m	52,3	49,6	51,1	98,7	41,0	44,3	25,2	35,2		48,1	47,8	59,1
pH - Wert		7,83	8,04	8,22	7,93	7,72	7,54	7,09	7,43		7,48	7,79	7,90
Farbe		1	39	1	1	1	1	32	57		1	1	1
Trübung		5	7	3	5	1	1	3	5		5	3	1
Geruch		1	1	1	1	32	1	1	1		1	1	1
Sauerstoff	mg/l												
O <sub>2</sub> -Sättigungsindex	%												
TOC	mg/l	8,8	10	9,9	9,9	9,3	11	23	17		16	11	9,7
DOC	mg/l	7,6	7,4	9,3	9,2	9,3	11	21	14		13	10	9,7
SAK bei 254 nm	1/m	28,2	27,2	26,5	26,4	28,2	29,7	75,2	35,4		37,1	27,8	27,1
SAK bei 436 nm	1/m	1,2	1,3	1,1	1,1	1,2	1,5	5,5	1,9		1,9	1,3	0,7
Säurekapazität -( pH 4,3 )	mmol/l				3,54								
Säurekapazität -( pH 8,2 )	mmol/l				-								
Basenkapazität -( pH 8,2)	mmol/l				0,07								
Hydrogencarbonat	mg/l				216								
Chlorid	mg/l	27	25	25	26	27	29	12	23		27	25	30
Ammonium-N	mg/l	0,104	0,039	0,037	0,208	0,175	0,152	0,158	0,286		0,175	0,218	0,302
Nitrit-N	mg/l	0,027	0,012	0,014	0,022	0,036	0,053	0,024	0,031		0,016	0,025	0,025
Nitrat-N	mg/l	4,58	3,69	2,91	1,41	0,368	0,257	0,555	0,076		0,314	1,62	1,59
Gesamtstickstoff	mg/l	5,8	4,9	4.1	2,6	1,4	1,4	3,2	3,3		2,0	3,0	3,1
o-Phosphat-P	mg/l	0.053	0.0052	0.0078	0.030	0.067	0.167	0,273	0.066		0.031	0.041	0.041
Gesamtphosphor	mg/l	0,099	0,12	0.061	0,069	0.11	0,23	0,48	0,35		0,17	0,076	0,11
Sulfat	mg/l	0,000	0,12	0,00	39,6	0,	0,20	0,10	0,00		0,	0,0.0	0,
SiO <sub>2</sub>	mg/l	7.95	4,53	3.57	1,66	1.77	7,94	7.45	1,53		9,28	10.8	13.1
Natrium	mg/l	.,	.,	-,	13,2	.,	.,	.,	.,		-,	,-	, .
Kalium	mg/l				4,08		l					I	
Calcium	mg/l				78,7								
Magnesium	mg/l				6,37								
Eisen	mg/l				0,21		l					I	
Mangan	mg/l				0,094								
Aluminium	mg/l	I			0.082		l	l		1	l	l	

# Lanker See – Physikalische und chemische Befunde EDV-Nr.: 126188 (Kührener Mühle)

Probenahmedatum	2002	30.1.2002	27.2.2002	21.3.2002	23.4.2002	22.5.2002	19.6.2002	18.7.2002	20.8.2002	18.9.2002	22.10.2002	19.11.2002	17.12.2002
Windrichtung			SW		W			NW		NW	SO	NO	
Windstärke	Bft.		4-5		4-5			1		3-4	4	5	
Lufttemperatur	°C	5,1	6,7	4,2	15,5	23,2		15,4	23,4	17,7	8,6	5,2	0,2
Luftdruck	hPa	1015	988	1008	1029	999		999	1002	1017	998	1018	1019
Wassertemperatur	°C	6,3	4,8	6,8	13,2	19,3		16,9	21,0	15,0	7,6	7,2	1,0
Leitfähigkeit (TK 25 °C)	mS/m	57,5	50,0	50,0	63,4	50,9		35,7	57,6	60,5	56,9	57,6	68,4
pH - Wert		7,58	7,53	7,85	7,74	7,71		7,25		7,35	7,34	7,28	7,60
Farbe		32	32	32	1	32		58	1	1	1	1	32
Trübung		3	5	3	5	3		7	3	5	5	5	5
Geruch		1	1	1	1	1		1	1	1	1	1	1
Sauerstoff	mg/l												
O <sub>2</sub> -Sättigungsindex	%												
TOC	mg/l	9,1	10	15	20	14		26	15	8,8	19	20	8,0
DOC	mg/l	8,7	8,3	14	14	13		15	14	8,4	16	20	7,0
SAK bei 254 nm	1/m	32,6	31,7	44,5	44,9	41,9		52,6	48,6	28,3	50,6	67,7	20,1
SAK bei 436 nm	1/m	1,7	1,8	2,3	2,1	1,9		4,2	2,3	1,4	2,2	3,4	0,4
Säurekapazität -( pH 4,3 )	mmol/l				4,72					4,82			
Säurekapazität -( pH 8,2 )	mmol/l				-					-			
Basenkapazität -( pH 8,2 )	mmol/l				0,20					0,37			
Hydrogencarbonat	mg/l				288					294			
Chlorid	mg/l	30	28	30	35	32		18	28	32	32	24	35
Ammonium-N	mg/l	1,15	1,03	0,627	0,822	0,503		4,75	0,372	1,34	2,12	0,424	2,90
Nitrit-N	mg/l	0,054	0,027	0,032	0,082	0,087		0,144	0,167	0,071	0,073	0,051	0,037
Nitrat-N	mg/l	8,88	6,42	3,12	3,17	1,63		5,66	2,75	0,595	2,52	5,67	4,96
Gesamtstickstoff	mg/l	11	8,4	5,5	5,7	3,4		14	4,4	2,4	6,0	7,6	8,6
o-Phosphat-P	mg/l	0,129	0,088	0,063	0,053	0,067		0,274	0,131	0,068	0,074	0,093	0,064
Gesamtphosphor	mg/l	0,20	0,23	0,25	0,49	0,27		1,0	0,21	0,21	0,32	0,18	0,41
Sulfat	mg/l				30,4					29,5			
SiO <sub>2</sub>	mg/l	12,8	8,08	4,59	8,38	8,25		11,5	16,9	20,4	19,2	11,9	16,4
Natrium	mg/l				20,1					16,4			
Kalium	mg/l				6,43					7,51			
Calcium	mg/l				105					93,9			
Magnesium	mg/l				7,09					6,93			
Eisen	mg/l				2,89					0,49			
Mangan	mg/l				0,50					0,43			]
Aluminium	mg/l				0,43					0,035			

Lanker See – Phytoplankton EDV-Nr.: 129104 (tiefes Becken)

Datum	24.1.	2002	20.2.	2002	2.4.2	2002	24.4.	2002
Parameter	Abund.	Bio-Vol.	Abund.	Bio-Vol.	Abund.	Bio-Vol.	Abund.	Bio-Vol.
	n/ml	mm <sup>3</sup> /l	n/ml	mm <sup>3</sup> /l	n/ml	mm <sup>3</sup> /l	n/ml	mm <sup>3</sup> /l
KI. Cyanophyceae								
<i>Anabaena</i> sp.								
Anabaena affinis								
Anabaena circinalis								
Anabaena compacta								
Anabaena cf. planctonica								
Anabaena spiroides / crassa								
Anabaena flos-aquae/ A. spiroides var. tumida								
<i>Anabaenopsis</i> sp.								
Aphanizomenon spp.								
Aphanizomenon flos-aquae (Trichome)			х					
Aphanizomenon gracile (Trichome)								
Aphanizomenon issatschenkoi (Trichome)								
Aphanothecoideae indet.								
Gloeotrichia echinulata								
Limnothrix spp. (Trichome)					102,15	0,096	476,70	0,448
Limnothrix spp. (Trichome)					х		99,88	0,054
Limnothrix redekei					х		х	
Microcystis aeruginosa								
Planktolyngbya limnetica								
Planktothrix cf. agardhii (Trichome)	х						х	
Pseudanabaenaceae indet. (Trichome) Pseudanabaena spp.								
• •								
KI. Cryptophyceae	47.75	0.000	00.70	0.000	404.05	0.400		
Cryptomonas spp. Cryptomonas spp.	17,75	0,028	39,72	0,063	124,95	0,198		
Rhodomonas cf. lens	444.04	0.055	000.40	0.000	C40 47	0.000		
	114,24	•	203,49	0,099	610,47	0,283	X	
Rhodomonas minuta	581,91	0,086	903,21	0,133	3337,95	0,327	Х	
KI. Bacillariophyceae								
Ord.: Centrales								
Acanthoceras zachariasii								
Aulacoseira spp. < 9 μm								
Aulacoseira granulata Aulacoseira granulata < 6 µm								
Aulacoseira granulata var. angustissima								
Aulacoseira islandica	2791,74	9,350	2449,02	7,722				
<i>Aulacoseira islandica &lt;</i> 10 μm	963,9	1,594	506,94	0,838				
Cyclotella spp.								
Skeletonema sp.								
Stephanodiscus spp.							х	
Stephanodiscus spp., Kettenform								
Stephanodiscus binderanus			110,36	0,084	x			
Stephanodiscus neoastraea	х		x					
Zentrale Diatomeen <12µm	x		860,37		367,71	0,251		
Zentrale Diatomeen 4-6µm			-,	,	1963,5	0,216	4855,2	0,535
Zentrale Diatomeen 10-15µm					, 0	- , 0	,-	2,230

Datum	24.1.	2002	20.2.	2002	2.4.2	2002	24.4.	2002
Parameter	Abund.	Bio-Vol.	Abund.	Bio-Vol.	Abund.	Bio-Vol.	Abund.	Bio-Vol.
	n/ml	mm <sup>3</sup> /l						
Zentrale Diatomeen 15-20µm								
Zentrale Diatomeen 12-30µm					253,47	0,423	х	
Zentrale Diatomeen >30µm	64,52	0,910	151,3	2,152				
Ord.: Pennales								
Asterionella formosa	x		234,07	0,129	667,59	0,369	417,68	0,231
Diatoma cf. tenuis	х		х		х		х	
Fragilaria spp.								
Fragilaria crotonensis	х		х		х		383,77	0,444
Fragilaria ulna							х	
Nitzschia cf. acicularis					х			
Nitzschia cf. sigmoidea								
Kl. Euglenophyceae								
Phacus pyrum								
Kl. Chlorophyceae								
Ord.: Volvocales								
Chlamydomonas spp.					229,27	0,421	х	
Pandorina morum								
Phacotus lenticularis								
Ord.: Chlorococcales								
Actinastrum hantzschii								
Ankistrodesmus sp.								
<i>Ankyra</i> spp.								
Ankyra judayi								
Ankyra lanceolata								
Coelastrum spp.								
Coelastrum astroideum								
Coelastrum pseudomicroporum								
Dictyosphaerium spp.								
Eutetramorus/ Sphaerocystis								
Lagerheimia genevensis							х	
Monoraphidium spp.							х	
Monoraphidium arcuatum							х	
Monoraphidium contortum					Х		х	
Monoraphidium minutum							х	
Oocystis spp.								
Pediastrum boryanum								
Pediastrum duplex								
Pediastrum tetras			х					
Scenedesmus spp.			х		х		х	
Scenedesmus acuminatus								
Tetraedron caudatum								
Treubaria sp.								
Ord.: Ulotrichales								
Elakatothrix genevensis							х	
Planctonema lauterbornii							х	

Datum	24.1	24.1.2002		20.2.2002		2002	24.4.2002	
Parameter	Abund.	Bio-Vol.	Abund.	Bio-Vol.	Abund.	Bio-Vol.	Abund.	Bio-Vol.
	n/ml	mm <sup>3</sup> /l	n/ml	mm <sup>3</sup> /l	n/ml	mm <sup>3</sup> /l	n/ml	mm <sup>3</sup> /l
KI. Conjugatophyceae								
Closterium spp.								
Closterium aciculare			х					
Closterium acutum var. variabile			х					
Mougeotia spp.								
Staurastrum spp.								
KI. Chrysophyceae								
Dinobryon divergens							х	
Dinobryon sociale								
KI. Haptophyceae								
Chrysochromulina parva					7425,6	0,156	9317,7	0,196
KI. Dinophyceae								
Ceratium spp.								
Ceratium furcoides								
Ceratium hirundinella							х	
Gymnodinium sp.					х			
Gymnodinium helveticum	x	[	х		х		х	
Kolkwitziella acuta								
Peridiniopsis cf. berolinense								
Peridiniopsis cf. penardiforme								
Peridiniopsis polonicum								
Peridinium spp.								
Peridinium/Peridiniopsis sp.	×		х		х			
Woloszynskia pseudopalustris								
Unbestimmte Flagellaten					х		х	
SUMME		12,023		11,425		2,739		1,908

Datum	28.5.	2002	26.6.	2002	30.7.2	2002	2.9.2	2002
Parameter	Abund.	Bio-Vol.	Abund.	Bio-Vol.	Abund.	Bio-Vol.	Abund.	Bio-Vol.
	n/ml	mm <sup>3</sup> /l	n/ml	mm <sup>3</sup> /l	n/ml	mm <sup>3</sup> /l	n/ml	mm <sup>3</sup> /l
KI. Cyanophyceae								
<i>Anabaena</i> sp.	3084,38	0,089	1502,75	0,044				
Anabaena affinis			1606,81	0,225	39502,54	7,545	х	
Anabaena circinalis			х		х		1339,59	0,674
Anabaena compacta							х	
Anabaena cf. planctonica			35,44	0,017	х		х	
Anabaena spiroides / crassa					1778,22	0,628		
Anabaena flos-aquae/ A. spiroides var. tumida							х	
Anabaenopsis sp.					х			
Aphanizomenon spp.			27,56	0,055				
Aphanizomenon flos-aquae (Trichome)	32,40	0,057	х		118,04	0,170	106,69	0,154
Aphanizomenon gracile (Trichome)					83,99	0,126	124,85	0,187
Aphanizomenon issatschenkoi (Trichome)							63,56	0,043
Aphanothecoideae indet.			х				х	
Gloeotrichia echinulata			х					
Limnothrix spp. (Trichome)							392,70	0,245
Limnothrix spp. (Trichome)								
Limnothrix redekei								
Microcystis aeruginosa	х				х		х	
Planktolyngbya limnetica							х	
Planktothrix cf. agardhii (Trichome)							179,33	0,353
Pseudanabaenaceae indet. (Trichome)							1149,54	0,289
Pseudanabaena spp.							×	•
KI. Cryptophyceae								
Cryptomonas spp.	560,69	1,167			х		121,38	0,193
Cryptomonas spp.							142,8	0,119
Rhodomonas cf. lens								·
Rhodomonas minuta	6840,12	0,821	х		х		х	
KI. Bacillariophyceae	,	,						
Ord.: Centrales								
Acanthoceras zachariasii							х	
Aulacoseira spp. < 9 μm								
Aulacoseira granulata			2820,30	3,805	658,30	0,888	458,54	0,619
Aulacoseira granulata < 6 μm			560,49	0,370	,	-,	,-	-,-
Aulacoseira granulata var. angustissima			,	-,-			х	
Aulacoseira islandica								
<i>Aulacoseira islandica</i> < 10 μm								
Cyclotella spp.								
Skeletonema sp.								
Stephanodiscus spp.								
Stephanodiscus spp., Kettenform					1267,35	0.419	1435,14	0,475
Stephanodiscus binderanus			х		x	-,	x	-, 3
Stephanodiscus neoastraea			^		^		^	
Zentrale Diatomeen <12µm					х		х	
Zentrale Diatomeen 4-6µm					^		^	
Zentrale Diatomeen 10-15µm								
Zentrale Diatomeen 10-10µm								

Datum	28.5.	2002	26.6.	2002	30.7.	2002	2.9.2	2002
Parameter	Abund.	Bio-Vol.	Abund.	Bio-Vol.	Abund.	Bio-Vol.	Abund.	Bio-Vol.
	n/ml	mm <sup>3</sup> /l						
Zentrale Diatomeen 15-20µm								
Zentrale Diatomeen 12-30µm							х	
Zentrale Diatomeen >30µm								
Ord.: Pennales								
Asterionella formosa	30,9	0,017	274,89	0,148	х		х	
Diatoma cf. tenuis								
Fragilaria spp.			367,71	0,193				
Fragilaria crotonensis			106,80	0,135	Х			
Fragilaria ulna			х		х		х	
Nitzschia cf. acicularis					х			
Nitzschia cf. sigmoidea								
Kl. Euglenophyceae								
Phacus pyrum							Х	
KI. Chlorophyceae								
Ord.: Volvocales								
Chlamydomonas spp.								
Pandorina morum					Х			
Phacotus lenticularis			Х					
Ord.: Chlorococcales								
Actinastrum hantzschii					Х		Х	
Ankistrodesmus sp.					Х			
Ankyra spp.	4348,7	0,130						
Ankyra judayi	X							
Ankyra lanceolata	X							
Coelastrum spp.	78,22	0,008						
Coelastrum astroideum							Х	
Coelastrum pseudomicroporum	X							
Dictyosphaerium spp.								
Eutetramorus/ Sphaerocystis	92,8	0,009						
Lagerheimia genevensis					Х			
Monoraphidium spp.								
Monoraphidium arcuatum								
Monoraphidium contortum							Х	
Monoraphidium minutum								
Oocystis spp.					х			
Pediastrum boryanum	x				х			
Pediastrum duplex	х				Х		Х	
Pediastrum tetras							х	
Scenedesmus spp.			Х		х		х	
Scenedesmus acuminatus			Х				х	
Tetraedron caudatum								
Treubaria sp.							х	
Ord.: Ulotrichales								
Elakatothrix genevensis	X						х	
Planctonema lauterbornii								

Datum	28.5	28.5.2002		26.6.2002		2002	2.9.	2002
Parameter	Abund. n/ml	Bio-Vol. mm³/l	Abund. n/ml	Bio-Vol. mm <sup>3</sup> /l	Abund. n/ml	Bio-Vol. mm³/l	Abund. n/ml	Bio-Vol. mm³/l
KI. Conjugatophyceae								
Closterium spp.								
Closterium aciculare							х	
Closterium acutum var. variabile								
Mougeotia spp.					х		х	
Staurastrum spp.							х	
KI. Chrysophyceae								
Dinobryon divergens			х		х			
Dinobryon sociale								
KI. Haptophyceae								
Chrysochromulina parva			х		х		х	
KI. Dinophyceae								
Ceratium spp.								
Ceratium furcoides					4,60	0,204		
Ceratium hirundinella	x		2,70	0,140	х			
Gymnodinium sp.								
Gymnodinium helveticum								
Kolkwitziella acuta					х		х	
Peridiniopsis cf. berolinense					х			
Peridiniopsis cf. penardiforme			х					
Peridiniopsis polonicum					14,24	0,301	175,33	3,711
Peridinium spp.							х	
Peridinium/Peridiniopsis sp.								
Woloszynskia pseudopalustris							х	
Unbestimmte Flagellaten								
SUMME		2,299		5,132		10,282		7,060

Datum	30.9	.2002	23.10.	2002	14.11.2002		
Parameter	Abund. n/ml	Bio-Vol. mm <sup>3</sup> /l	Abund. n/ml	Bio-Vol. mm <sup>3</sup> /l	Abund. n/ml	Bio-Vol. mm³/l	
KI. Cyanophyceae							
<i>Anabaena</i> sp.							
Anabaena affinis							
Anabaena circinalis			х				
Anabaena compacta			х				
Anabaena cf. planctonica							
Anabaena spiroides / crassa							
Anabaena flos-aquae/ A. spiroides var. tumida			х		x		
Anabaenopsis sp.							
Aphanizomenon spp.							
Aphanizomenon flos-aquae (Trichome)			72,48	0,131	41,79	0,076	
Aphanizomenon gracile (Trichome)			263,23	0,461	226,86	0,397	
Aphanizomenon issatschenkoi (Trichome)			•	0,401	220,00	0,397	
Aphanothecoideae indet.			Х				
Aprianoinecoideae indet.  Gloeotrichia echinulata							
			40000 74	44470	10044 40	40 504	
Limnothrix spp. (Trichome)			18338,71	14,176	16941,48	10,521	
Limnothrix spp. (Trichome)							
Limnothrix redekei			Х		Х		
Microcystis aeruginosa							
Planktolyngbya limnetica							
Planktothrix cf. agardhii (Trichome)			930,86	2,173	Х		
Pseudanabaenaceae indet. (Trichome)							
Pseudanabaena spp.							
KI. Cryptophyceae							
Cryptomonas spp.			175,49	0,279	х		
Cryptomonas spp.							
Rhodomonas cf. lens					Х		
Rhodomonas minuta			Х		х		
KI. Bacillariophyceae							
Ord.: Centrales							
Acanthoceras zachariasii			х				
<i>Aulacoseira</i> spp. < 9 μm					90,78	0,134	
Aulacoseira granulata			354,02	0,227	х		
<i>Aulacoseira granulata</i> < 6 μm							
Aulacoseira granulata var. angustissima							
Aulacoseira islandica					244,75	0,597	
<i>Aulacoseira islandica &lt;</i> 10 μm					х		
Cyclotella spp.							
Skeletonema sp.			х		х		
Stephanodiscus spp.							
Stephanodiscus spp., Kettenform			х		х		
Stephanodiscus binderanus			X		,		
Stephanodiscus neoastraea			^				
Zentrale Diatomeen <12µm			x				
Zentrale Diatomeen <12µm			^				
·			1116 02	0.657	156 <b>3</b> 0	U 260	
Zentrale Diatomeen 10-15µm 222			1116,93	0,657	456,38	0,268	

Datum	30.9	.2002	23.10.	2002	14.11.	2002
Parameter	Abund.	Bio-Vol.	Abund.	Bio-Vol.	Abund.	Bio-Vol.
	n/ml	mm <sup>3</sup> /l	n/ml	mm³/l	n/ml	mm <sup>3</sup> /l
Zentrale Diatomeen 15-20µm			384,32	0,762	232,99	0,462
Zentrale Diatomeen 12-30µm						
Zentrale Diatomeen >30µm					145,96	1,813
Ord.: Pennales						
Asterionella formosa			246,26	0,127	172,66	0,089
Diatoma cf. tenuis					х	
Fragilaria spp.						
Fragilaria crotonensis					х	
Fragilaria ulna			х		х	
Nitzschia cf. acicularis					х	
Nitzschia cf. sigmoidea						
Kl. Euglenophyceae						
Phacus pyrum						
Kl. Chlorophyceae						
Ord.: Volvocales						
Chlamydomonas spp.						
Pandorina morum						
Phacotus lenticularis						
Ord.: Chlorococcales						
Actinastrum hantzschii			Х		х	
Ankistrodesmus sp.						
Ankyra spp.						
Ankyra judayi						
Ankyra lanceolata						
Coelastrum spp.						
Coelastrum astroideum			Х			
Coelastrum pseudomicroporum						
Dictyosphaerium spp.			Х		х	
Eutetramorus/ Sphaerocystis						
Lagerheimia genevensis			х			
Monoraphidium spp.						
Monoraphidium arcuatum						
Monoraphidium contortum			Х			
Monoraphidium minutum						
Oocystis spp.					х	
Pediastrum boryanum			х			
Pediastrum duplex			х		х	
Pediastrum tetras						
Scenedesmus spp.			х		х	
Scenedesmus acuminatus					х	
Tetraedron caudatum			Х			
Treubaria sp.						
Ord.: Ulotrichales						
Elakatothrix genevensis					х	
Planctonema lauterbornii						

Datum	30.9	.2002	23.10	.2002	14.11	.2002
Parameter	Abund.	Bio-Vol.	Abund.	Bio-Vol.	Abund.	Bio-Vol.
	n/ml	mm <sup>3</sup> /l	n/ml	mm <sup>3</sup> /l	n/ml	mm <sup>3</sup> /l
KI. Conjugatophyceae						
Closterium spp.			x			
Closterium aciculare					x	
Closterium acutum var. variabile						
Mougeotia spp.			x			
Staurastrum spp.			x			
Kl. Chrysophyceae						
Dinobryon divergens						
Dinobryon sociale						
Kl. Haptophyceae						
Chrysochromulina parva			x			
KI. Dinophyceae						
Ceratium spp.			x		x	
Ceratium furcoides						
Ceratium hirundinella						
<i>Gymnodinium</i> sp.						
Gymnodinium helveticum						
Kolkwitziella acuta						
Peridiniopsis cf. berolinense						
Peridiniopsis cf. penardiforme						
Peridiniopsis polonicum						
Peridinium spp.						
Peridinium/Peridiniopsis sp.						
Woloszynskia pseudopalustris						
Unbestimmte Flagellaten						
SUMME				18,992		14,357

Lanker See – Phytoplankton EDV-Nr.: 129171 (flaches Becken)

Datum	24.1.	2002	20.2.	2002	2.4.2	2002	24.4	.2002
Parameter	Abund.	Bio-Vol.	Abund.	Bio-Vol.	Abund.	Bio-Vol.	Abund.	
	n/ml	mm <sup>3</sup> /l	n/ml	mm <sup>3</sup> /l	n/ml	mm <sup>3</sup> /l	n/ml	mm <sup>3</sup> /l
KI. Cyanophyceae								
<i>Anabaena</i> sp.								
Anabaena affinis								
Anabaena circinalis								
Anabaena compacta								
Anabaena cf. planctonica								
Anabaena spiroides / crassa								
Anabaena flos-aquae/ A. spiroides var. tumida								
Anabaenopsis sp.								
Aphanizomenon spp.								
Aphanizomenon flos-aquae (Trichome)	х		х		х			
Aphanizomenon gracile (Trichome)								
Aphanizomenon issatschenkoi (Trichome)								
Aphanocapsa sp.								
Aphanothecoideae indet.								
Gloeotrichia echinulata								
Limnothrix spp. (Trichome)					161,17	0,151	295,10	0,277
Limnothrix spp. (Trichome)					45,40	0,025	306,45	0,166
Limnothrix redekei					х		х	
Microcystis aeruginosa								
Microcystis wesenbergii								
Planktolyngbya limnetica								
Planktothrix cf. agardhii (Trichome)			х				х	
Pseudanabaenaceae indet. (Trichome)								
Pseudanabaena spp.								
KI. Cryptophyceae								
Cryptomonas spp.	48,81	0,078	54,48	0,087	66,04	0,105	х	
Cryptomonas spp.								
Rhodomonas cf. lens	139,23	0,068	203,49	0,099	521,22	0,253	х	
Rhodomonas minuta	428,40	0,063	624,75	0,092	2891,70	0,425	х	
KI. Bacillariophyceae								
Ord.: Centrales								
Acanthoceras zachariasii								
<i>Aulacoseira</i> spp. < 9 μm								
Aulacoseira granulata			х					
Aulacoseira granulata < 6 μm								
Aulacoseira granulata var. angustissima								
Aulacoseira islandica	3387,93	11,346	4633,86	14,611	х			
Aulacoseira islandica < 10 μm	714,00	1,181	1420,86	2,350				
Cyclotella spp.								
Melosira varians								
Skeletonema sp.								
Stephanodiscus spp., Kettenform								
Stephanodiscus binderanus	х		х		х			
Stephanodiscus neoastraea	х		х					
Zentrale Diatomeen <12µm			599,76	0,143	664,02	0,453		

Datum	24.1.	2002	20.2.	2002	2.4.2	2002	24.4	.2002
Parameter	Abund.	Bio-Vol.	Abund.	Bio-Vol.	Abund.	Bio-Vol.	Abund.	Bio-Vol.
	n/ml	mm <sup>3</sup> /l	n/ml	mm <sup>3</sup> /l	n/ml	mm <sup>3</sup> /l	n/ml	mm <sup>3</sup> /l
Zentrale Diatomeen 4-6µm					4087,65	0,450	8978,55	0,988
Zentrale Diatomeen 10-15µm								
Zentrale Diatomeen 15-20µm								
Zentrale Diatomeen 12-30µm					321,30	0,536	160,05	0,267
Zentrale Diatomeen >30µm	53,84	0,760	272,40	3,874				
Ord.: Pennales								
Asterionella formosa	x		144,18	0,080	799,68	0,441	626,52	0,346
Diatoma cf. tenuis	x		×	,	×	,	,	,
<i>Fragilaria</i> spp.								
Fragilaria crotonensis			х		х		121,04	0,140
Fragilaria ulna			x		x		,o.	
Nitzschia cf. acicularis			,		×		X	
KI. Chlorophyceae					^		^	
Ord.: Volvocales								
Chlamydomonas spp.					Х		х	
Pandorina morum					^		^	
Phacotus lenticularis								
Pteromonas aculeata								
Ord.: Tetrasporales								
Pseudosphaerocystis lacustris								
Ord.: Chlorococcales								
Actinastrum hantzschii								
Ankistrodesmus fusiformis								
<i>Ankyra</i> spp.								
Ankyra judayi								
Ankyra lanceolata								
Coelastrum spp.								
Coelastrum astroideum								
Coelastrum pseudomicroporum								
Dictyosphaerium spp.								
Eutetramorus/ Sphaerocystis								
Lagerheimia genevensis							х	
Monoraphidium arcuatum							х	
Monoraphidium contortum					х		х	
Monoraphidium minutum								
Oocystis spp.								
Pediastrum boryanum								
Pediastrum duplex								
Pediastrum tetras								
Scenedesmus spp.	х		х		х		х	
Scenedesmus acuminatus								
Tetraedron minimum								
Tetrastrum staurogeniaeforme	x							
Treubaria sp.								
Ord.: Ulotrichales								
Elakatothrix genevensis							x	
Planctonema lauterbornii					х		X	

Datum	24.1	.2002	20.2	.2002	2.4.2	2002	24.4	.2002
Parameter	Abund.	Bio-Vol.	Abund.	Bio-Vol.	Abund.	Bio-Vol.	Abund.	
	n/ml	mm <sup>3</sup> /l	n/ml	mm <sup>3</sup> /l	n/ml	mm <sup>3</sup> /l	n/ml	mm <sup>3</sup> /l
KI. Conjugatophyceae								
Closterium spp.								
Closterium aciculare								
Closterium acutum var. variabile								
Mougeotia spp.								
Staurastrum spp.								
KI. Chrysophyceae								
Dinobryon divergens								
Dinobryon sociale								
KI. Haptophyceae								
Chrysochromulina parva					6354,60	0,133	6104,70	0,128
KI. Dinophyceae								
Ceratium furcoides								
Ceratium hirundinella							х	
Gymnodinium sp.					х			
Gymnodinium helveticum					х		х	
Kolkwitziella acuta								
Peridiniopsis cf. berolinense								
Peridiniopsis cf. penardiforme								
Peridiniopsis polonicum								
Peridinium spp.			х		х			
Peridinium/Peridiniopsis sp.								
Woloszynskia pseudopalustris								
Unbestimmte Flagellaten					х		х	
SUMME		13,495		21,334		2,972		2,312

Datum	28.5.	2002	26.6.	2002	30.7.2	2002	2.9.2	002
Parameter	Abund.	Bio-Vol.	Abund.	Bio-Vol.	Abund.	Bio-Vol.	Abund.	Bio-Vol.
	n/ml	mm <sup>3</sup> /l	n/ml	mm <sup>3</sup> /l	n/ml	mm <sup>3</sup> /l	n/ml	mm <sup>3</sup> /l
KI. Cyanophyceae								
Anabaena sp.	1513,22	0,044	2229,18	0,065				
Anabaena affinis			992,44	0,139	84246,89	16,091	х	
Anabaena circinalis			х		1523,50	0,766	1060,08	0,533
Anabaena compacta					х		х	
Anabaena cf. planctonica			57,59	0,028	х			
Anabaena spiroides / crassa			х		1512,00	0,534		
Anabaena flos-aquae/ A. spiroides var. tumida							14834,90	1,454
Anabaenopsis sp.					х			
Aphanizomenon spp.			13,79	0,028				
Aphanizomenon flos-aquae (Trichome)	20,70	0,036	х		97,61	0,141	29,51	0,042
Aphanizomenon gracile (Trichome)			х		47,67	0,072	131,66	0,198
Aphanizomenon issatschenkoi (Trichome)							61,29	0,041
Aphanocapsa sp.			х					
Aphanothecoideae indet.			х				х	
Gloeotrichia echinulata			х					
Limnothrix spp. (Trichome)							431,97	0,269
Limnothrix spp. (Trichome)								
Limnothrix redekei								
Microcystis aeruginosa	х		х					
Microcystis wesenbergii								
Planktolyngbya limnetica							х	
Planktothrix cf. agardhii (Trichome)							122,58	0,237
Pseudanabaenaceae indet. (Trichome)							456,96	0,115
Pseudanabaena spp.							х	
KI. Cryptophyceae								
Cryptomonas spp.	123,71	0,258			х		357	0,567
Cryptomonas spp.							728	0,604
Rhodomonas cf. lens								
Rhodomonas minuta	9606,09	1,153	х		х		х	
Kl. Bacillariophyceae								
Ord.: Centrales								
Acanthoceras zachariasii							х	
<i>Aulacoseira</i> spp. < 9 μm								
Aulacoseira granulata			2070,60	2,793	381,36	0,514	272,40	0,367
Aulacoseira granulata < 6 μm			253,47	0,168	163,44	0,108		
Aulacoseira granulata var. angustissima							х	
Aulacoseira islandica								
<i>Aulacoseira islandica &lt;</i> 10 μm								
Cyclotella spp.								
Melosira varians								
Skeletonema sp.								
Stephanodiscus spp., Kettenform					1513,68	0,501	1420,86	0,470
Stephanodiscus binderanus			564,06	0,487	х		х	
Stephanodiscus neoastraea								
Zentrale Diatomeen <12µm			х					

Datum	28.5	.2002	26.6.	2002	30.7.	2002	2.9.2	2002
Parameter	Abund.	Bio-Vol.	Abund.	Bio-Vol.	Abund.	Bio-Vol.	Abund.	Bio-Vol.
	n/ml	mm <sup>3</sup> /l	n/ml	mm <sup>3</sup> /l	n/ml	mm <sup>3</sup> /l	n/ml	mm <sup>3</sup> /l
Zentrale Diatomeen 4-6µm								
Zentrale Diatomeen 10-15µm								
Zentrale Diatomeen 15-20µm								
Zentrale Diatomeen 12-30µm			х					
Zentrale Diatomeen >30µm								
Ord.: Pennales								
Asterionella formosa	х		383,77	0,206				
Diatoma cf. tenuis								
Fragilaria spp.			676,51	0,356				
Fragilaria crotonensis			97,01	0,123	х			
Fragilaria ulna			х				)	(
Nitzschia cf. acicularis			х		х			
KI. Chlorophyceae								
Ord.: Volvocales								
Chlamydomonas spp.								
Pandorina morum					х			
Phacotus lenticularis			х					
Pteromonas aculeata							)	(
Ord.: Tetrasporales								
Pseudosphaerocystis lacustris							)	(
Ord.: Chlorococcales								
Actinastrum hantzschii			х		х		>	(
Ankistrodesmus fusiformis								
Ankyra spp.	7464,19	0,224						
Ankyra judayi	х							
Ankyra lanceolata	х						)	(
Coelastrum spp.	195,50	0,019			195,5	0,019		
Coelastrum astroideum					х		)	(
Coelastrum pseudomicroporum	х							
Dictyosphaerium spp.			х				)	(
Eutetramorus/ Sphaerocystis	185,6	0,018			185,6	0,018		
Lagerheimia genevensis					х			
Monoraphidium arcuatum								
Monoraphidium contortum					х		)	(
Monoraphidium minutum					х			
Oocystis spp.								
Pediastrum boryanum			х		х			
Pediastrum duplex	х		х		х		)	(
Pediastrum tetras							)	(
Scenedesmus spp.			х		х		>	(
Scenedesmus acuminatus					х		>	(
Tetraedron minimum					х			
Tetrastrum staurogeniaeforme								
Treubaria sp.							>	(
Ord.: Ulotrichales								
Elakatothrix genevensis	х							
Planctonema lauterbornii			х					

Datum	28.5	.2002	26.6	.2002	30.7.	2002	2.9.2	002
Parameter	Abund.	Bio-Vol.	Abund.		Abund.	Bio-Vol.	Abund.	Bio-Vol.
	n/ml	mm <sup>3</sup> /l						
KI. Conjugatophyceae								
Closterium spp.								
Closterium aciculare								
Closterium acutum var. variabile								
Mougeotia spp.			х		х			
Staurastrum spp.							х	
KI. Chrysophyceae								
Dinobryon divergens					х			
Dinobryon sociale					х			
KI. Haptophyceae								
Chrysochromulina parva			х		х		х	
KI. Dinophyceae								
Ceratium furcoides					43,16	1,913	х	
Ceratium hirundinella	×		2,1	0,109	5,34	0,277		
Gymnodinium sp.								
Gymnodinium helveticum								
Kolkwitziella acuta							х	
Peridiniopsis cf. berolinense					х		х	
Peridiniopsis cf. penardiforme			х				х	
Peridiniopsis polonicum			х		145,96	3,089	325,74	6,895
Peridinium spp.							х	
Peridinium/Peridiniopsis sp.								
Woloszynskia pseudopalustris							х	
Unbestimmte Flagellaten								
SUMME		1,752		4,501		24,043		11,792

Datum	30.9.2	2002	23.10.	2002	14.11	.2002
Parameter	Abund.	Bio-Vol.	Abund.	Bio-Vol.	Abund.	Bio-Vol.
	n/ml	mm <sup>3</sup> /l	n/ml	mm <sup>3</sup> /l	n/ml	mm <sup>3</sup> /l
KI. Cyanophyceae						
Anabaena sp.						
Anabaena affinis						
Anabaena circinalis	х					
Anabaena compacta						
Anabaena cf. planctonica						
Anabaena spiroides / crassa						
Anabaena flos-aquae/ A. spiroides var. tumida	х		х		х	
Anabaenopsis sp.						
Aphanizomenon spp.						
Aphanizomenon flos-aquae (Trichome)	47,76	0,086	64,18	0,116	99,88	0,181
Aphanizomenon gracile (Trichome)	207,46	0,363	111,94	0,196	145,28	0,254
Aphanizomenon issatschenkoi (Trichome)	40,30	0,027				
Aphanocapsa sp.						
Aphanothecoideae indet.						
Gloeotrichia echinulata						
Limnothrix spp. (Trichome)	15937,21	9,929	11527,19	8,911	9259,95	5,750
Limnothrix spp. (Trichome)						
Limnothrix redekei			х		х	
Microcystis aeruginosa						
Microcystis wesenbergii					х	
Planktolyngbya limnetica	х					
Planktothrix cf. agardhii (Trichome)	125,37	0,242	38,8	0,091	х	
Pseudanabaenaceae indet. (Trichome)						
Pseudanabaena spp.						
KI. Cryptophyceae						
Cryptomonas spp.	137,31	0,218	x		х	
Cryptomonas spp.						
Rhodomonas cf. lens					х	
Rhodomonas minuta	х		х		х	
KI. Bacillariophyceae						
Ord.: Centrales						
Acanthoceras zachariasii	х					
<i>Aulacoseira</i> spp. < 9 μm					63,5	0,094
Aulacoseira granulata	167,16	0,225	402,97	0,258	х	
Aulacoseira granulata < 6 μm						
Aulacoseira granulata var. angustissima			x			
Aulacoseira islandica					185,5	0,453
<i>Aulacoseira islandica</i> < 10 μm					x	
Cyclotella spp.	х		x			
Melosira varians			x		x	
Skeletonema sp.			х		x	
Stephanodiscus spp., Kettenform	252,53	0,084	1873,56	0,620	x	
Stephanodiscus binderanus	х		х		x	
Stephanodiscus neoastraea						
Zentrale Diatomeen <12µm						

Datum	30.9	2002	23.10.	2002	14.11	.2002
Parameter	Abund.	Bio-Vol.	Abund.	Bio-Vol.	Abund.	Bio-Vol.
	n/ml	mm <sup>3</sup> /l	n/ml	mm <sup>3</sup> /l	n/ml	mm <sup>3</sup> /l
Zentrale Diatomeen 4-6µm						
Zentrale Diatomeen 10-15µm			552,46	0,325	271,32	0,160
Zentrale Diatomeen 15-20µm			192,16	0,381	664,02	1,317
Zentrale Diatomeen 12-30µm						
Zentrale Diatomeen >30µm					141,51	1,758
Ord.: Pennales						
Asterionella formosa			510,43	0,263	125,13	0,064
Diatoma cf. tenuis			х			
Fragilaria spp.	>	(				
Fragilaria crotonensis	>	(			х	
Fragilaria ulna			х		х	
Nitzschia cf. acicularis						
KI. Chlorophyceae						
Ord.: Volvocales						
Chlamydomonas spp.						
Pandorina morum						
Phacotus lenticularis						
Pteromonas aculeata						
Ord.: Tetrasporales						
Pseudosphaerocystis lacustris						
Ord.: Chlorococcales						
Actinastrum hantzschii	>	•	х		х	
Ankistrodesmus fusiformis	ŕ	•	^		x	
Ankyra spp.					Α	
Ankyra judayi						
Ankyra lanceolata						
Coelastrum spp.						
Coelastrum astroideum						
Coelastrum pseudomicroporum						
Dictyosphaerium spp.	)	,	х		х	
Eutetramorus/ Sphaerocystis	,	`	^		^	
Lagerheimia genevensis						
Monoraphidium arcuatum						
Monoraphidium contortum						
Monoraphidium minutum						
Oocystis spp.					v	
Pediastrum boryanum	,			v	X	
Pediastrum duplex	,			х	X	
Pediastrum tetras	>	•	Х		Х	
Scenedesmus spp.						
Scenedesmus spp. Scenedesmus acuminatus	>		Х		X	
Tetraedron minimum					Х	
Tetrastrum staurogeniaeforme						
_						
Treubaria sp.						
Ord.: Ulotrichales						
Elakatothrix genevensis					Х	
Planctonema lauterbornii 232						

Abund. n/ml	(	Abund. n/ml	Bio-Vol. mm <sup>3</sup> /l	Abund. n/ml	Bio-Vol. mm <sup>3</sup> /l
> >	(			n/ml	mm <sup>3</sup> /l
>	(	x			
>	(	X			
>				х	
	_			х	
>	(				
-	(	x			
		x	[		
		x	[		
>	(	x	:		
>	(				
>	(				
>	(				
>	(				
	44 4==		44.465		10,031
	<b>&gt;</b>	x x x	x x x x x x x x x x	x x	x x x x x x x x x

Lanker See – Zooplankton EDV-Nr.: 129104 (tiefes Becken)

EDV-Nr.: 129104 (tie			24.1.20	002			20.2.20	002			2.4.20	02	
Parameter	Körper-TG		Abund.		TG		Abund.	[n/l]	TG		Abund.	[n/l]	TG
Taxon	μg	W	М	Sum	μg/l	W	М	Sum	μg/l	W	М	Sum	μg/l
Protozoa													
Gymnodinium helveticum	0,003							1200	3,991			3200	10,643
Ciliata													
Codonella cratera	0,020			X				X				3000	60,000
Tintinnidium/Tintinnopsis sp.	0,001			X				2600	2,496			1000	0,960
Ciliata indet. (groß)	0,005			3200	14,624			600	2,742			3200	14,624
Ciliata indet.	0,001			4400	5,280			800	0,960				
Rotatoria													
Anuraeopsis fissa													
Asplanchna priodonta													
Brachionus angularis													
Brachionus calyciflorus													
Brachionus diversicornis													
Collotheca sp.	0.000								0.400				
Conochiloides natans	0,080							2,0	0,160			4,0	0,320
Conochilus unicornis													
Euchlanis cf. dilatata													
Filinia longiseta inkl. var. limnetica												X	
Filinia terminalis	0,045											12,0	0,538
Kellicottia longispina	0,011			1,2	0,014							1,0	0,011
Keratella cochlearis	0,004			6,7	0,026			4,0	0,016			10,0	0,039
Keratella cochlearis f. tecta													
Keratella quadrata													
Keratella valga	0,070			4,0	0,280								
Notholca sp.	0,050			2,7	0,135			2,0	0,100			8,0	0,400
Polyarthra dolichoptera/ P. vulgaris	0,053			4,0	0,212			2,7	0,143			13,0	0,688
Pompholyx sulcata													
Synchaeta spp. (groß)	0,374											44,0	16,460
Synchaeta spp.													
Synchaeta spp.	0,042			8,0	0,334			14,0	0,584			35,0	1,460
Trichocerca capucina													
Trichocerca pusilla													
Trichocerca cf. porcellus													
Trichocerca similis													
Cladocera													
Bosmina coregoni	2,974			22,7	67,505			26,0	77,319			6,0	17,843
Bosmina longirostris	1,100			14,0	15,396			11,3	12,427			4,7	5,169
Chydorus sphaericus													
Daphnia cucullata & Hybriden													
Daphnia galeata & Hybriden	19,419							5,0	97,096				
Daphnia hyalina & Hybriden													
Daphnia longispina-Komplex	6,461			7,3	47,162			X				X	
Diaphanosoma brachyurum													
Leptodora kindtii													
Copepoda													
Nauplien	0,948			30,0	28,437			42,0	39,812			74,0	70,145
Calanoida													
Copepodide	2,860			2,0	5,719			7,0	20,017			0,2	0,572
Eudiaptomus gracilis	10,292			1,3	13,379		1,0	1,0	10,292	0,2	0,1	0,3	3,088
Eudiaptomus graciloides	12,213			4,0	48,852	1,0	1,0	2,0	24,426	0,1	0,1	0,2	2,443
Cyclopoida													
Copepodide	2,286			14,7	33,604			6,0	13,716			14,0	32,004
Acanthocyclops cf. robustus													
Cyclops kolensis	4,945	4,0		4,0	19,781	6,0		6,0	29,671	3,3		3,3	16,319
	3,378		6,0	6,0	20,266		3,0	3,0	10,133		0,7	0,7	2,364
Cyclops vicinus												X	
	15,154		2,0	2,0	30,308								
Diacyclops bicuspidatus													
Mesocyclops leuckarti													
Thermocyclops crassus													
Thermocyclops oithonoides													
Sonstige:													
Bivalvia: <i>Dreissena-</i> Larven													
Diptera: Chaoborus-Larven													

Datum			24.4.20	002			28.5.2	002			26.6.20	002	
Parameter	Körper-TG	A	Abund.	[n/l]	TG		Abund.	[n/l]	TG		bund.	[n/l]	TG
Taxon	μg	W	M	Sum	μg/l	W	M	Sum	μg/l	W	М	Sum	μg/l
Protozoa													
Gymnodinium helveticum	0,003			8600	28,604								
Ciliata													
Codonella cratera	0.004				4 700							X	
Tintinnidium/Tintinnopsis sp.	0,001			1800	1,728			40400	40.457			X	404.040
Ciliata indet. (groß)	0,011			2800	12,796			10100	46,157			11800	124,018
Ciliata indet.	0,001												
Rotatoria													
Anuraeopsis fissa	0.475			F 0	2 276								2 004
Asplanchna priodonta	0,475			5,0	2,376							8,0	3,801
Brachionus angularis	0.044			40.0	7.004								
Brachionus calyciflorus	0,641			12,0	7,694								
Brachionus diversicornis Collotheca sp.													
Conochiloides natans													
Conochilus unicornis	0.022			60.0	1 200							424,0	0.116
Euchlanis cf. dilatata	0,022			60,0	1,290							-	9,116
Filinia longiseta inkl. var. limnetica	0,104											4,0	0,416
Filinia terminalis	0,045			24.0	1,523			0.0	0,358				
Kellicottia longispina	0,045			34,0	0,023			8,0	0,358			46.0	0,182
<b>3</b> ,				2,0 46.0				22.0	0.420			16,0 1016.0	
Keratella cochlearis Keratella cochlearis f. tecta	0,004			46,0	0,179			33,0	0,129			1016,0	3,962
	0,003			20.0	1 500			0.0	0.675			96,0 24.0	0,240 1,800
Keratella quadrata	0,075			20,0	1,500			9,0	0,675			24,0	1,800
Keratella valga	0,070			4,0	0,280								
Notholca sp.	0,050			3,0	0,150			2.0	0.450				
Polyarthra dolichoptera/ P. vulgaris	0,053			198,0	10,474			3,0	0,159				
Pompholyx sulcata Synchaeta spp. (groß)	0.074			40.0	4 400				0.740				
,	0,374			12,0	4,489			2,0	0,748			504.0	C4 0C0
Synchaeta spp. Synchaeta spp.	0,106			400.0	F 000							584,0	61,962
	0,042			128,0	5,338								
Trichocerca capucina													
Trichocerca pusilla Trichocerca cf. porcellus	0.024											440.0	2.702
Trichocerca similis	0,034											112,0	3,763
	0,025											40,0	0,996
Cladocera	2.074			20.0	00 04 4			0.5	25 277				
Bosmina coregoni	2,974			30,0	89,214			8,5	25,277				
Bosmina longirostris	1,100			8,0	8,798			4.5	0.004			4.5	0.004
Chydorus sphaericus	0,416							1,5	0,624			1,5	0,624
Daphnia cucullata & Hybriden	17,278			х				2,0	34,556				
Daphnia galeata & Hybriden	05.045				70.000			0.5	00 004				0.504
Daphnia hyalina & Hybriden	35,345			2,0	70,689			2,5	88,361			0,1	3,534
Daphnia longispina-Komplex	6,461			6,0	38,764							1,0	6,461
Diaphanosoma brachyurum	4000 000								<b>500.000</b>				
Leptodora kindtii	1000,000							0,5	500,000				
Copepoda	0.000			405.0	400.057				04.000			44.0	44.004
Nauplien	0,938			135,0	126,657			34,0	31,899			44,0	41,281
Calanoida													
Copepodide	2,185			2,0	4,369			7,7	16,821			8,0	17,476
Eudiaptomus gracilis													
Eudiaptomus graciloides	12,213					0,7	3,0	3,7	45,188	1,3	0,7	2,0	24,426
Cyclopoida													
Copepodide	1,281			81,0	103,753			1,7	2,178			5,3	6,789
Acanthocyclops cf. robustus													
Cyclops kolensis	4,945	3,0		3,0	14,836								
Cyclops kolerisis	4,945	3,0		3,0	14,030								
Cyclops vicinus													
Diacyclops bicuspidatus								x					
Mesocyclops leuckarti	3,052												
	1,483		1,0	1,0	1,483						1,0	1,0	1,483
Thermocyclops crassus	,		, -	-,-	,						,-	-,-	,
Thermocyclops oithonoides	1,696					0,5		0,5	0,848	0,5		0,5	0,848
Sonstige:													
Bivalvia: <i>Dreissena-</i> Larven	0,288											12,0	3,454
Diptera: Chaoborus-Larven													

Datum			30.7.20	002			2.9.20	02			30.9.20	002	
Parameter	Körper-TG		Abund.		TG		Abund.		TG		Abund.		TG
Taxon	μg	W	М	Sum	μg/l	W	М	Sum	μg/l	W	М	Sum	μg/l
Protozoa													
Gymnodinium helveticum Ciliata													
Codonella cratera													
Tintinnidium/Tintinnopsis sp.	0,001			1200	1,152								
Ciliata indet. (groß)	0,005			4400	20,108								
Ciliata indet.	0,001			3600	4,320		,	x					
Rotatoria	5,551				,,,								
Anuraeopsis fissa	0,070							8,0	0,560				
Asplanchna priodonta	0,475			12,0	5,701								
Brachionus angularis	0,080			6,0	0,480								
Brachionus calyciflorus													
Brachionus diversicornis	0,150							4,0	0,600				
Collotheca sp.	0,025			4,0	0,100			4,0	0,100			12,0	0,300
Conochiloides natans	0.000				4 700								
Conochilus unicornis Euchlanis cf. dilatata	0,022			80,0	1,720								
Filinia longiseta inkl. var. limnetica	0,104			12,0	1,249								
Filinia terminalis													
Kellicottia longispina								x					
Keratella cochlearis	0,003			120,0	0,396			36,0	0,119			288,0	0,950
Keratella cochlearis f. tecta	0,003			112,0	0,280			70,0	0,175			128,0	0,320
Keratella quadrata	0,075			,-	-,			5,0	0,375			24,0	1,800
Keratella valga								-,-				,-	,
Notholca sp.													
Polyarthra dolichoptera/ P. vulgaris	0,053							10,0	0,529				
Pompholyx sulcata	0,030			36,0	1,062			24,0	0,708			76,0	2,242
Synchaeta spp. (groß)													
Synchaeta spp.													
Synchaeta spp.	0,042			104,0	4,337			9,0	0,375			X	
Trichocerca capucina	0,071			8,0	0,570								
Trichocerca pusilla Trichocerca cf. porcellus	0,007			40,0	0,280								0.000
Trichocerca similis	0,034 0,025			40.0	0,996			10.0	0,249			8,0	0,269 0,498
Cladocera	0,025			40,0	0,996			10,0	0,249			20,0	0,490
Bosmina coregoni	1,540			1,0	1,540			15,0	23,100			32,5	50,050
Bosmina longirostris	1,540			1,0	1,040			13,0	20,100			32,3	30,030
Chydorus sphaericus	0,416			41,0	17,060			42,0	17,476			6,0	2,497
Daphnia cucullata & Hybriden	7,240			4,0	28,961			39,0	282,372			11,5	83,263
Daphnia galeata & Hybriden	, -			,-	-,			,-	- /-			,-	,
Daphnia hyalina & Hybriden	35,345			1,0	35,345								
Daphnia longispina-Komplex	6,461												
Diaphanosoma brachyurum	3,000											7,5	22,500
Leptodora kindtii	1000,000			x				0,5	500,000			0,5	500,000
Copepoda													
Nauplien	0,872			80,0	69,792			108,0	94,219			58,0	50,599
Calanoida													
Copepodide	3,488			4,0	13,954			4,0	13,954		4.0	12,0	41,861
Eudiaptomus gracilis	8,244	4.0	2.0	2.0	20,402	4.5	2.5	4.0	24.024	2.5	1,0	1,0	8,244
Eudiaptomus graciloides	8,731	1,0	3,0	3,0	26,193	1,5	2,5	4,0	34,924	2,5	1,5	4,0	34,924
Cyclopoida Copepodide	0,767			32,0	24,550			44,0	33,757			41,0	31,455
Acanthocyclops cf. robustus	0,707			32,0	27,000			₩,0	55,151			41,0 X	51,435
	1,578		2,0	2,0	3,157		2,5	2,5	3,946			^	
Cyclops kolensis	1,070		2,0	_,0	0,101		2,0	2,0	0,010				
-,,,													
Cyclops vicinus													
Diacyclops bicuspidatus													
Mesocyclops leuckarti	3,052					4,7		4,7	14,345	1,0		1,0	3,052
	1,483		1,0	1,0	1,483		1,3	1,3	1,928		0,5	0,5	0,741
Thermocyclops crassus	2,484					3,0		3,0	7,452				
The sure as a selection of the selection	1,293						1,0	1,0	1,293				
Thermocyclops oithonoides	1,696	1,0		1,0	1,696								
<b>Sonstige:</b> Bivalvia: <i>Dreissena-</i> Larven	0.000				4 454								
Diptera: <i>Chaoborus</i> -Larven	0,288			4,0	1,151								
Diptera. Onaoborus-Larven												X	

Datum			23.10.2	002			4.11.2		
Parameter	Körper-TG		Abund.		TG		Abund.		TG
Taxon	μg	W	М	Sum	μg/l	W	М	Sum	μg/l
Protozoa									
Gymnodinium helveticum									
Ciliata Codonella cratera								v	
Tintinnidium/Tintinnopsis sp.	0.001							x 673	0,646
Ciliata indet. (groß)	0,001			5050	23,079			1345	6,147
Ciliata indet.	0,001			2350	2,820			1345	1,614
Rotatoria	0,001			2000	2,020			1010	1,011
Anuraeopsis fissa									
Asplanchna priodonta									
Brachionus angularis									
Brachionus calyciflorus	0,641							2,0	1,282
Brachionus diversicornis									
Collotheca sp.									
Conochiloides natans									
Conochilus unicornis	0,022			8,0	0,172			12,0	0,258
Euchlanis cf. dilatata									
Filinia longiseta inkl. var. limnetica									
Filinia terminalis									
Kellicottia longispina	0,011				0.070			2,0	0,023
Keratella cochlearis Keratella cochlearis f. tecta	0,003			628,0	2,072			824,0	2,719
	0,003			152,0	0,380			60,0	0,150
Keratella quadrata	0,075			12,0	0,900			32,0	2,400
Keratella valga									
Notholca sp.	0.050			4.0	0.040				
Polyarthra dolichoptera/ P. vulgaris	0,053			4,0	0,212			40.0	4.057
Pompholyx sulcata Synchaeta spp. (groß)	0,030			96,0	2,832			46,0	1,357
Synchaeta spp. (gros)									
Synchaeta spp.	0.042			20.0	0.024			12.0	0,500
Trichocerca capucina	0,042			20,0	0,834			12,0	0,500
Trichocerca capucina Trichocerca pusilla	0,007			8,0	0,056				
Trichocerca pusilia Trichocerca cf. porcellus	0,007			0,0	0,050			x	
Trichocerca similis	0,034			4,0	0,100			^	
Cladocera	0,023			4,0	0,100				
Bosmina coregoni	1,849			75,0	138,660			116,0	214,461
Bosmina longirostris	0,606			2,0	1,211			2,0	1,211
Chydorus sphaericus	0,416			29,0	12,067			10,0	4,161
Daphnia cucullata & Hybriden	8,132			23,0	187,034			21,0	170,770
Daphnia galeata & Hybriden	-,			,-	,			,-	,
Daphnia hyalina & Hybriden									
Daphnia longispina-Komplex			x :	x					
Diaphanosoma brachyurum									
Leptodora kindtii									
Copepoda									
Nauplien	0,872			44,0	38,386			23,0	20,065
Calanoida									
Copepodide	3,488			4,0	13,954			2,0	6,977
Eudiaptomus gracilis	8,244								
Eudiaptomus graciloides	8,731	1,0	1,0	2,0	17,462	5,0	5,0	10,0	87,311
Cyclopoida									
Copepodide	1,026			54,0	55,393			11,0	11,284
Acanthocyclops cf. robustus	4,158	1,0		1,0	4,158				
	1,578		3,0	3,0	4,735				
Cyclops kolensis									
Cyclops vicinus									
6: 1 1: 1:									
Diacyclops bicuspidatus									
Mesocyclops leuckarti									
The was evelone area - · · -	0.404	4.0		4.0	0.404				
Thermocyclops crassus	2,484	1,0		1,0	2,484				
Thermocyclops oithonoides									
Thermocyclops oithonoides  Sonstige:									
Bivalvia: <i>Dreissena</i> -Larven									
Diptera: Chaoborus-Larven									

Lanker See – Zooplankton EDV-Nr.: 129171 (flaches Becken)

	iches E												,
Datum	I/:: TO		24.1.2		<b>TO</b>		20.2.20		<b>TO</b>		2.4.20		то.
Parameter	Körper-TG		Abund.		TG		Abund. [		TG		bund.		TG
Taxon	μg	W	М	Sum	μg/l	W	М	Sum	μg/l	W	М	Sum	μg/l
Protozoa													
Gymnodinium helveticum	0,003							1000	3,326			2100	6,985
Ciliata													
Codonella cratera	0,020											3400	68,000
Tintinnidium/Tintinnopsis sp.	0,001							2200	2,112			2800	2,688
Ciliata indet. (groß)	0,005			1600	7,312			400	1,828			3600	16,452
Ciliata indet.	0,001			5600	6,720			1600	1,920				
Rotatoria													
Anuraeopsis fissa													
Asplanchna priodonta													
Brachionus angularis													
Brachionus calyciflorus	0,641											4,0	2,565
Brachionus diversicornis												•	
Collotheca sp.													
Conochiloides natans	0,080											8,0	0,640
Conochilus unicornis	0,022							4,0	0,086			10,0	0,215
Euchlanis cf. dilatata	0,022							4,0	0,000			10,0	0,210
Filinia terminalis	0,045							2.7	0.121			2.0	0,090
				X				2,7	0,121			2,0	0,090
Kellicottia longispina	0,011				0.004				0.004			x	
Keratella cochlearis	0,004			8,0	0,031			5,3	0,021				
Keratella cochlearis f. tecta													
Keratella quadrata												X	
Keratella valga	0,070												
Notholca sp.	0,050											x	
Polyarthra dolichoptera/ P. vulgaris	0,053											8,0	0,423
Pompholyx sulcata													
Synchaeta spp. (groß)	0,374											28,0	10,475
Synchaeta spp.	-,-											,-	-,
Synchaeta spp.	0,042			4,0	0,167			20,0	0,834			12,0	0,500
Trichocerca capucina	0,012			4,0	0,107			20,0	0,001			,0	0,000
Trichocerca pusilla													
Trichocerca cf. porcellus													
•													
Trichocerca similis													
Cladocera													
Bosmina coregoni	2,974			14,0	41,633			17,3	51,447			20,0	59,476
Bosmina longirostris	1,100			5,0	5,499			9,3	10,227			2,0	2,199
Chydorus sphaericus													
Daphnia cucullata & Hybriden													
Daphnia galeata & Hybriden	19,419							2,7	52,432				
Daphnia hyalina & Hybriden													
Daphnia longispina-Komplex				X									
Diaphanosoma brachyurum													
Leptodora kindtii													
Copepoda													
Nauplien	0,948			20,0	18,958			22,7	21,517			112,0	106,165
•	0,940			20,0	10,330			22,1	21,517			112,0	100,100
Calanoida	0.000			4.0	0.000				F 740			4.7	40.440
Copepodide	2,860			1,0	2,860	4.0		2,0	5,719			4,7	13,440
Eudiaptomus gracilis	10,292		1,0	1,0	10,292	1,3		1,3	13,379	0,7	0,7	1,3	13,379
Eudiaptomus graciloides	12,213	1,0		1,0	12,213		1,3	1,3	15,877		0,7	0,7	8,549
Cyclopoida													
Copepodide	2,286			4,0	9,144			7,0	16,002			7,3	16,688
Acanthocyclops cf. robustus													
Cyclops kolensis	4,945					1,0		1,0	4,945	4,7		4,7	23,242
	3,378		2,0	2,0			2,0	2,0	6,755		1,3	1,3	4,391
Cyclops vicinus	2,212		_,-	_,0			_,-	_,•	-,		.,-	.,•	.,
Cyclope viellide	15,154		1,0	1,0	15,154						0,7	0,7	10,608
	15,154		1,0	1,0	13,134						0,1	0,1	10,000
Managyalana layakarti													
Mesocyclops leuckarti													
Th													
Thermocyclops crassus													
Thermocyclops oithonoides													
Sonstige:													
Bivalvia: <i>Dreissena-</i> Larven													
Diptera: Chaoborus-Larven													

Datum			24.4.2	002			28.5.20	02			26.6.2	002	
Parameter	Körper-TG		Abund.		TG		Abund.	[n/l]	TG		Abund.		TG
Taxon	μg	W	М	Sum	μg/l	W	М	Sum	μg/l	W	М	Sum	μg/l
Protozoa													
Gymnodinium helveticum	0,003			4500	14,967								
Ciliata													
Codonella cratera	0,020											1600	32,000
Tintinnidium/Tintinnopsis sp.	0,001			1900	1,824							1000	0,960
Ciliata indet. (groß)	0,011			6800	31,076			2700	12,339			3500	36,785
Ciliata indet.	0,001												
Rotatoria													
Anuraeopsis fissa													
Asplanchna priodonta	0,475			2,0	0,950							40,0	19,004
Brachionus angularis													
Brachionus calyciflorus	0,641			24,0	15,389								
Brachionus diversicornis													
Collotheca sp.													
Conochiloides natans	0,080			4,0	0,320								
Conochilus unicornis	0,022			48,0	1,032							576,0	12,384
Euchlanis cf. dilatata	0,104												
Filinia terminalis	0,045			32,0	1,434								
Kellicottia longispina	0,011			8,0	0,091			8,0	0,091				
Keratella cochlearis	0,004			44,0	0,172			32,0	0,125			1024,0	3,994
Keratella cochlearis f. tecta	0,003			-				•				304,0	0,760
Keratella quadrata	0,075			48,0	3,600			8,0	0,600			x	,
Keratella valga	0,070			4,0	0,280			•	,				
Notholca sp.	0,050			x	,								
Polyarthra dolichoptera/ P. vulgaris	0,053			288,0	15,235							x	
Pompholyx sulcata	-,			_00,0	,								
Synchaeta spp. (groß)	0,374			48,0	17,957								
Synchaeta spp.	0,106			40,0	11,001							808,0	85,729
Synchaeta spp.	0,042			224,0	9,341							000,0	00,720
Trichocerca capucina	0,042			224,0	3,041								
Trichocerca capacina Trichocerca pusilla												v	
Trichocerca cf. porcellus	0,034											x 240,0	8,064
·												-	
Trichocerca similis	0,025			х								32,0	0,797
Cladocera	0.074				75.007			40 =	07.707				
Bosmina coregoni	2,974			25,3	75,237			12,7	37,767				
Bosmina longirostris	1,100			6,7	7,368								
Chydorus sphaericus	0,416							0,7	0,291			x	
Daphnia cucullata & Hybriden	17,278			6,0	103,668			2,7	46,651				
Daphnia galeata & Hybriden	19,419												
Daphnia hyalina & Hybriden	35,345							10,0	353,445			X	
Daphnia longispina-Komplex				X									
Diaphanosoma brachyurum													
Leptodora kindtii	1000,000							0,7	700,000			0,7	700,000
Copepoda													
Nauplien	0,938			168,0	157,618			54,0	50,663			44,0	41,281
Calanoida													
Copepodide	2,185			9,3	20,316			6,0	13,107			4,7	10,267
Eudiaptomus gracilis	10,292	0,8		0,8	8,233	2,7	2,7	5,3	54,546				
Eudiaptomus graciloides	12,213	0,5	0,1	0,6	7,328	5,3	10,0	15,3	186,857			x	
Cyclopoida	, -	-,-	-,	-,-	,	-,-	-,-	- /-	,				
Copepodide	1,281			112,0	143,461			3,3	4,227			2,7	3,458
Acanthocyclops cf. robustus	.,			,•	,			0,0	-,			_,.	-,
, ,				x									
Cyclops kolensis	4,945	4,0		4,0	19,781								
Cyclops Kolchala	7,575	٦,٥		4,0	13,701								
Cyclops vicinus	25,568	2,0		4,0	102,272								
Cyclops vicinus	15,154	2,0	2,0	2,0	30,308								
	10,104		2,0	2,0	50,500								
Mesocyclops leuckarti	3,052							•					
тиозосусторо тейскаги	1,483		4,0	4,0	5,931			x					
Thermocyclops crassus	1,403		4,0	4,0	ত,গুড়।								
τησιπουγοίορο στασούο													
Thormogralons sithansials	1.600	6.0			10 177								
Thermocyclops oithonoides	1,696	6,0		6,0	10,177								
Sonstige: Bivalvia: <i>Dreissena-</i> Larven	0.000											40.0	4.005
	0,288											16,0	4,605
Diptera: <i>Chaoborus</i> -Larven	0,288											16,0	4,00

Datum			30.7.20	002			2.9.200	)2			30.9.20	02	
Parameter	Körper-TG		Abund.		TG		Abund.		TG		Abund.		TG
Taxon	μg	W	М	Sum	μg/l	W	М	Sum	μg/l	W	М	Sum	μg/l
Protozoa													
Gymnodinium helveticum													
Ciliata Codonella cratera								x					
Tintinnidium/Tintinnopsis sp.	0,001			x				X				x	
Ciliata indet. (groß)	0,001			2900	13,253			X				X	
Ciliata indet.	0,001			4100	4,920			x				x	
Rotatoria	0,001			4100	4,520			^				^	
Anuraeopsis fissa	0,070							x					
Asplanchna priodonta	0,475			28,0	13,303								
Brachionus angularis	0,080			_0,0	,								
Brachionus calyciflorus	.,												
Brachionus diversicornis	0,150												
Collotheca sp.	0,025			16,0	0,400							16,0	0,400
Conochiloides natans				,								,	
Conochilus unicornis	0,022			64,0	1,376			24,0	0,516			20,0	0,430
Euchlanis cf. dilatata	0,104			8,0	0,833			•				•	
Filinia terminalis													
Kellicottia longispina	0,011							24,0	0,274				
Keratella cochlearis	0,003			128,0	0,422			272,0	0,898			288,0	0,950
Keratella cochlearis f. tecta	0,003			120,0	0,300			392,0	0,980			56,0	0,140
Keratella quadrata	0,075			8,0	0,600								
Keratella valga													
Notholca sp.													
Polyarthra dolichoptera/ P. vulgaris	0,053			32,0	1,693			16,0	0,846			24,0	1,270
Pompholyx sulcata	0,030			24,0	0,708			176,0	5,192			48,0	1,416
Synchaeta spp. (groß)													
Synchaeta spp.													
Synchaeta spp.	0,042			184,0	7,673			120,0	5,004			32,0	1,334
Trichocerca capucina	0,071							20,0	1,426				
Trichocerca pusilla	0,007			32,0	0,224								
Trichocerca cf. porcellus	0,034											40,0	1,344
Trichocerca similis	0,025			48,0	1,195			88,0	2,191			48,0	1,195
Cladocera													
Bosmina coregoni	1,540			4,0	6,160			37,0	56,980			101,0	155,540
Bosmina longirostris													
Chydorus sphaericus	0,416			10,7	4,452			94,0	39,113			5,0	2,081
Daphnia cucullata & Hybriden	7,240			5,0	36,202			103,0	745,751			18,0	130,325
Daphnia galeata & Hybriden													
Daphnia hyalina & Hybriden	35,345												
Daphnia longispina-Komplex													
Diaphanosoma brachyurum	3,000			2,0	6,000			x					
Leptodora kindtii	1000,000			4,0	4000,000								
Copepoda													
Nauplien	0,872			42,0	36,641			308,0	268,699			81,0	70,664
Calanoida													
Copepodide	3,488							5,0	17,442			7,0	24,419
Eudiaptomus gracilis	8,244												
Eudiaptomus graciloides	8,731	1,0	1,0	2,0	17,462	2,0	10,0	12,0	104,773		2,0	2,0	17,462
Cyclopoida													
Copepodide	0,767			10,0	7,672			32,0	24,550			79,0	60,609
Acanthocyclops cf. robustus													
	1,578												
Cyclops kolensis													
Cyclops vicinus													
Mesocyclops leuckarti	3,052			x		8,0		8,0	24,417	2,0		2,0	6,104
	1,483						8,0	8,0	11,862				
Thermocyclops crassus	2,484									2,0		2,0	4,968
	1,293												
Thermocyclops oithonoides	1,696	2,0		2,0	3,392	6,0		6,0	10,177				
Sonstige:													
Bivalvia: <i>Dreissena</i> -Larven	0,288			16,0	4,605								
Diptera: Chaoborus-Larven													

Datum		2	3.10.2	002		14.11.2002			
Parameter	Körper-TG		bund.		TG	Abund. [n/l]		TG	
Taxon	μg	W	М	Sum	μg/l	W	М	Sum	μg/l
Protozoa									
Gymnodinium helveticum									
Ciliata Codonella cratera									
Tintinnidium/Tintinnopsis sp.	0,001							2691	2,583
Ciliata indet. (groß)	0,005			2350	10,740			5380	24,587
Ciliata indet.	0,001			6730	8,076			5045	6,054
Rotatoria	•				,				•
Anuraeopsis fissa									
Asplanchna priodonta									
Brachionus angularis									
Brachionus calyciflorus	0,641			X				13,3	8,528
Brachionus diversicornis									
Collotheca sp.				X					
Conochiloides natans	0.022								
Conochilus unicornis Euchlanis cf. dilatata	0,022								
Filinia terminalis									
Kellicottia longispina	0,011			x					
Keratella cochlearis	0,003			496,0	1,637			336,0	1,109
Keratella cochlearis f. tecta	0,003			32,0	0,080			24,0	0,060
Keratella quadrata				·				,	
Keratella valga									
Notholca sp.									
Polyarthra dolichoptera/ P. vulgaris	0,053								
Pompholyx sulcata	0,030			56,0	1,652			60,0	1,770
Synchaeta spp. (groß)									
Synchaeta spp.	0.040				0.000				0.000
Synchaeta spp.	0,042			80,0	3,336			48,0	2,002
Trichocerca capucina Trichocerca pusilla	0,007								
Trichocerca cf. porcellus	0,007			12,0	0,403				
Trichocerca similis	0,025			8,0	0,199				
Cladocera	0,020			0,0	0,.00				
Bosmina coregoni	1,849			43,0	79,498			25,0	46,220
Bosmina longirostris	0,606							2,0	1,211
Chydorus sphaericus	0,416			6,0	2,497			1,0	0,416
Daphnia cucullata & Hybriden	8,132			21,0	170,770			17,0	138,242
Daphnia galeata & Hybriden									
Daphnia hyalina & Hybriden	35,345							1,0	35,345
Daphnia longispina-Komplex	0.000			4.0	0.000				
Diaphanosoma brachyurum	3,000			1,0	3,000				
Leptodora kindtii Copepoda									
Nauplien	0,872			22,0	19,193			8,0	6,979
Calanoida	0,012			,0	10,100			0,0	0,070
Copepodide	3,488			7,0	24,419				
Eudiaptomus gracilis	8,244			•					
Eudiaptomus graciloides	8,731	4,0	4,0	8,0	69,849	7,0	4,0	11,0	96,042
Cyclopoida									
Copepodide	1,026			17,0	17,439			11,0	11,284
Acanthocyclops cf. robustus									
	1,578								
Cyclops kolensis	4,945	1,0		1,0	4,945				
Cyclops vicinus									
Mesocyclops leuckarti									
Thermocyclops crassus	2,484								
Thermocyclops oithonoides									
Sonstige:									
Bivalvia: <i>Dreissena</i> -Larven									
Diptera: Chaoborus-Larven									

## Lanker See - Makrozoobenthos

1998			1. Transekt	1				2. Transekt	+	
1330	0,5 m	2 m	5 m	5,7 m	6,5 m	0,5 m	2 m	5 m	10 m	20 m
	0,0111	2	0111	0,7 111	0,0 111	0,0111	2	0 111	10 111	20 111
Taxon	Tiere/m²	Tiere/m <sup>2</sup>	Tiere/m²	Tiere/m <sup>2</sup>	Tiere/m <sup>2</sup>	Tiere/m <sup>2</sup>	Tiere/m²	Tiere/m²	Tiere/m²	Tiere/m²
Oligochaeta	554,8	2397,6	1509,6	1687,2	1598,4	620,1	1554,0	444,0	932,4	0,0
Stylaria lacustris	32,6					391,6	111,0			
Gastropoda										
Bithynia tentaculata		t	t	t	t	32,6	22,2	t		
Galba trunculata									t	
Gyraulus albus		t	t				t			
Lymnea stagnalis							t			
Planorbis carinatus								t		
Planorbis planorbis						t				
Potamopyrgus antipodarum	t	t	t		t	t	t			
Radix ovata		t					t		t	
Valvata piscinalis	65,3	t	t	t	t	163,2	22,2	t	t	t
Bivalvia										
Anodonta anatina								t		
Dreissena polymorpha		66,6	t	t	t			t	t	
Pisdium sp.		44,4	t	22,2	t			22,2	44,4	t
Sphaerium corneum					t			t	t	t
Unio tumidus								t		
Hirudinea										
Erpobdella octoculata	130,5					32,6				
Hydrachnidia	65,3	88,8			111,0	326,4	133,2	88,8	133,2	111,0
Crustacea										
Asellus aquaticus	97,9									
Gammarus pulex	32,6									
Ephemeroptera										
Caenis horaria	587,5	111,0			22,2		133,2			
Caenis robusta		22,2								
Caenis sp.						65,3	88,8			
Heteroptera										
Micronecta sp.	65,3					65,3				
Megaloptera										
Trichoptera										
Anabolia furcata	32,6									
Limnephilidae	32,6									
Mystacides sp.	32,6									
Orthotrichia sp.			22,2							
<u>Chaoboridae</u>										
Chaoborus flavicans	32,6	22,2	310,8	399,6	577,2	65,3		22,2	355,2	288,6
Chironomidae										
Procladius sp.			777,0	1221,0	821,4			44,4		
Tanypus sp.			22,2			07.0				
Cricotopus sp.						97,9				
Chironominae	+					1				
Chironomini	+	66.6	E00.4	010.0	1024.2	1	44.4	111.0	240.0	22.2
Chironomus plumosus-Gr.	+	66,6	599,4	910,2	1021,2	-	44,4	111,0	310,8	22,2
Chironomus cf. tentans	+					6F 2	22,2			
Cryptochironomus sp. Dicrotendipes sp	+	133,2				65,3 32,6	88,8 22,2			
Endochironomus cf. albipennis	+	100,2				32,0	22,2			
Glyptotendipes sp.	424.2		22.2			124.2				
Microtendipes sp.  Microtendipes cf. pedellus	424,3		22,2			424,3 32,6	44,4			
	22.6					3∠,0	66,6			
Microtendipes sp.	32,6			44,4	44,4	-				
Paratendipes albimanus Polypedilum cf. nubeculosum	07.0	15F 4	66.6		199,8	1958,2	2686,2	44,4		
	97,9	155,4	66,6	88,8	199,8			44,4		
Stictochironomus sp.	+					32,6	88,8			
Tanytarsini Cladotanytarsus sp.	1436,0	155,4				6135,8	4195,8			
Tanytarsus sp.	228,5	100,4				0133,0	177,6	22,2		
Ceratopogonidae	220,0		111,0	22,2		32,6	44,4	22,2		
Bezzia sp.	32,6		111,0	,-		32,6	, <del></del>	~~,~		
טטבבום שף.	52,0		l	l		J2,U				

## LISTE DER BISHER ERSCHIENENEN SEENBERICHTE

NR.	BEZEICHNUNG	AUSGABE	PREIS / €
B 1*	Bültsee	1975	
B 2*	Westensee, Bossee und Ahrenssee	1977	
В 3*	Ratzeburger See, Domsee, Küchensee	1977	
B 4*	Ihlsee	1978	
B 5*	Einfelder See	1979	
B 6*	Redingsdorfer See	1979	
В 7*	Blunker See	1979	
B 8*	Neversdorfer See	1980	
B 9*	Bistensee	1981	
B 10*	Wittensee	1981	
B 11*	Langsee	1981	
B 12*	Garrensee	1981	
B 13*	Hemmelsdorfer See	1981	
B 14*	Mözener See	1982	
B 15*	Postsee	1982	
B 16*	Bornhöveder Seenkette	1982	
B 17*	Bothkamper See	1982	
B 18*	Dobersdorfer See	1982	
B 19*	Schwansener See	1983	
B 20*	Sankelmarker See	1983	
B 21*	Nortorfer Seenkette	1984	
B 22*	Dieksee	1984	
B 23*	Hohner See	1985	
B 24	Bordesholmer See	1987	10,20
B 25*	Passader See	1988	
B 26	Kronsee und Fuhlensee	1988	10,20
B 27	Südensee	1989	10,20
B 28	Lanker See	1989	10,20
B 29	Gudower See / Sarnekower See	1989	10,20
В 30	Schluensee	1993	10,20
B 31	Selenter See	1993	10,20
B 32	Die Seen der oberen Schwentine	1993	12,80
В 33	Schaalsee	1994	15,30
В 34	Dobersdorfer See	1995	10,20
B 35	Großer Segeberger See	1995	10,20
В 36	Die Möllner Seenkette	1995	10,20
В 37	Seenkurzprogramm 1991 - 1992	1995	12,80
	Behlendorfer See, Culpiner See, Grammsee, Griebeler See, Klüthsee, Krummsee, Lankauer See, Middelburger See, Nehm- ser See, Seedorfer See, Wittensee		
В 38	Ihlsee	1996	10,20

NR.	BEZEICHNUNG	AUSGABE	PREIS / €
В 39	Seenkurzprogramm 1993 Großer und Kleiner Benzer See, Dörpumer Mergelkuhlen, Großensee, Havetofter See, Seekamper See	1996	10,20
B 40	Lankauer See	1996	10,20
B 41	Seenkurzprogramm 1994 Borgdorfer See, Großer Pönitzer See, Grebiner See, Stocksee, Suhrer See, Vierer See	1997	10,20
B 42	Grammsee	1997	10,20
В 43	Seenkurzprogramm 1995 Ankerscher See, Itzstedter See, Langsee, Lustsee, Neukirchener See, Poggensee, Schwonausee, Süseler See, Taschensee	1999	12,80
B 44	Empfehlungen zum integrierten Seenschutz	1999	
B 45	Wardersee	1999	10,20
В 46	Seenkurzprogramm 1996 Börnsee, Hemmelsdorfer See, Muggesfelder See, Passader See, Waldhusener Moorsee	1999	10,20
B 47	Seenbewertung in Schleswig-Holstein Erprobung der "Vorläufigen Richtlinie für die Erstbewertung von natürlich entstandenen Seen nach trophischen Kriterien" der LAWA an 42 schleswig-holsteinischen Seen	2000	10,20
B 48	Seenkurzprogramm 1997 Arenholzer See, Brahmsee, Wardersee, Selker Noor, Haddeby- er Noor, Hemmelmarker See, Klenzauer See	2000	12,80
B 49	Großer Plöner See	2001	10,20
B 50	Seenkurzprogramm 1998 Bordesholmer See, Bültsee, Gammellunder See, Owschlager See, Schülldorfer See, Winderatter See, Wittensee	2001	12,80
B 51	Die Ratzeburger Seen	2002	10,20
B 52	Seenkurzprogramm 1999/2000 Einfelder See, Garrensee, Holzsee, Kleiner Pönitzer See, Schierensee (Grebin), Trammer See, Tresdorfer See, Wielener See	2002	12,80
В 53	Seenkurzprogramm 2001 Bottschlotter See, Fastensee, Großer Schierensee, Kleiner Schierensee, Schöhsee, Sehlendorfer Binnensee	2003	10,20
B 54	Kleiner Plöner See	2004	7,80
B 55	Seen der Schwentine Stendorfer See, Sibbersdorfer See, Großer Eutiner See, Keller- see, Dieksee, Behler See, Schwentinesee, Lanker See	2006	10,20

<sup>\*</sup> Bericht vergriffen